

เอกสารประกอบการเรียนการสอน

431328 Powder Metallurgy

อาจารย์ ดร.สารัมภ์ บุญมี

สาขาวิชาวิศวกรรมโลหการ สำนักวิชาวิศวกรรมศาสตร์
มหาวิทยาลัยเทคโนโลยีสุรนารี

อกนันทนาการ

คำนำ

คงและอนุภาคมีพฤติกรรมการไหลตัวคล้ายกับของเหลวทำให้สามารถขึ้นรูปเป็นรูปทรงต่าง ๆ ได้โดยอาศัยแรงทางกล ดังนั้นผงจึงมีประโยชน์ในการขึ้นรูปวัตถุต่าง ๆ ดังเดชินส่วนยานยนต์ปัจจุบันเครื่องบันไดนิ่มเพาแกร์มวิธีการขึ้นรูปได้แก่ Axial Die Pressing, Slip Casting, Roll Compaction, Isostatic Pressing, Injection Molding เป็นต้น เมื่อผงถูกขึ้นรูปจะยังคงมีความแข็งแรงต่อ ทำให้ต้องเพิ่มความแข็งแรงขึ้นด้วยการเผาประสาน หรือมีชื่อเรียกว่า "Sintering" การเผาประสานจะทำให้ผงโลหะเชื่อมต่อสร้างพันธะกันและกันจนมีความแข็งแรงมากขึ้น

เทคโนโลยีโลหะผงเริ่มมีบทบาทสำคัญในอุตสาหกรรม เนื่องจากการผลิตขึ้นส่วนยานยนต์ในปัจจุบันมีปริมาณการผลิตมากขึ้น เทคโนโลยีโลหะผงจะได้เปรียบในการผลิตขึ้นส่วนที่มีขนาดเล็กและต้องการความแม่นยำทางด้านมิติ รวมไปถึงขั้นตอนที่ผลิตด้วยกรรมวิธีดังเดิมได้ยาก เช่น ทั้งสเตนท์มีจุดหลอมตัวสูงและมีความหนึ่งเดียว ทำให้หล่อหดลงและขึ้นรูปด้วยแรงทางกลได้ยาก

โลหะวิทยาโลหะผงเป็นวิชาที่ว่าด้วยการศึกษาธรรมชาติของโลหะที่อยู่ในรูปของผง เมื่อโลหะผงอยู่ในรูปของผงจะทำให้มีธรรมชาติแตกต่างออกไป เมื่อจากโลหะที่อยู่ในรูปผงจะมีพื้นที่ผิวต่อหواءมาก มีรัศมีความต้องทำให้สมดุลทางเคมี และกาภภาพเปลี่ยนแปลงไป

เอกสารประกอบการสอนฉบับนี้มีวัตถุประสงค์เพื่อให้ข้อมูลและทฤษฎีเบื้องต้นสำหรับนักศึกษาที่สนใจรวมทั้งวิศวกรที่ทำงานเกี่ยวกับด้านนี้ โดยดังใจให้ผู้ที่ไม่มีพื้นฐานทางด้านโลหะวิทยาก็สามารถศึกษาเข้าใจได้ ข้าพเจ้าได้รวบรวมทฤษฎีและข้อมูลจากหนังสือต่างๆ ที่ต้องการจะนำเสนอ โดยคัดเอาส่วนที่คิดว่ามีความสำคัญและร่ายรำต่อการเข้าใจมากขึ้น ดังนั้นเอกสารประกอบการสอนฉบับนี้จึงเหมาะสมสำหรับการต้นครัวเบื้องต้นและเป็นพื้นฐานให้กับผู้อ่านในการศึกษาในเบื้องต้นไป ในอนาคตเมื่อข้าพเจ้ามีความรู้เพิ่มเติมและเวลาข้าพเจ้ามีความต้องใจที่จะเพิ่มนื้องหาที่น่าสนใจเข้าไปอีก เพื่อเป็นประโยชน์สำหรับผู้อ่านมากขึ้น

ข้าพเจ้าขอขอบคุณผู้ที่เกี่ยวข้องและให้การสนับสนุน ในการเตรียมเอกสารประกอบการสอนเล่มนี้ โดยเฉพาะสำหรับผู้ที่ข้าพเจ้าต้องปลีกตัวออกจากเพื่อแบ่งเวลาของเข้าและขอเนลันน์ให้กับเอกสารประกอบการสอนเล่มนี้

สารัมภ์ บุญมี

บทที่ 1
บทนำ
Introduction

กระบวนการผลิตโลหะ (Powder Metallurgy Process) เป็นกระบวนการผลิตชิ้นส่วนต่าง ๆ ซึ่งเมื่อเทียบกับกระบวนการผลิตทั่วไปแล้ว กระบวนการผลิตโลหะเป็นกระบวนการที่มีความแตกต่างไปจากกระบวนการอื่นค่อนข้างมากในเรื่องของหลักการ, ขั้นตอน, ข้อดีและข้อจำกัด ข้อดีของกระบวนการผลิตโลหะที่โดดเด่นที่สุดคือสามารถผลิตชิ้นส่วนที่มีคุณภาพสูงและมีรูปร่างซับซ้อนได้ด้วยต้นทุนที่ไม่สูงเกินไปนัก นอกจากนี้กระบวนการผลิตยังเป็นกระบวนการที่สามารถทำได้อย่างอัตโนมัติและใช้พลังงานน้อย ประกอบกับมีเศษส่วนที่เหลือจากการผลิตยังเป็นกระบวนการที่สามารถทำได้อย่างอัตโนมัติและอยู่ในกระบวนการที่ได้รับความสนใจและอยู่ในกระแสที่ได้รับการพัฒนาอย่างจริงจังในช่วงที่ผ่านมา ในปัจจุบันนี้บทบาทของกระบวนการผลิตยังอยู่ในลักษณะที่เป็นอีกทางเลือกหนึ่งในการผลิตชิ้นส่วนท้าไปและเป็นทางเลือกสำหรับการผลิตชิ้นส่วนที่จำเป็นต้องอาศัยข้อดีของกระบวนการผลิต

เอกสารฉบับนี้จะกล่าวถึงหลักการและกลไกในกระบวนการผลิตโลหะเป็นหลัก เพื่อให้เป็นพื้นฐานความเข้าใจสำหรับผู้เริ่มต้นศึกษาและวิเคราะห์ที่เกี่ยวข้อง แต่จะไม่ได้กล่าวถึงรายละเอียดของกระบวนการที่มีความแตกต่างกันซึ่งอยู่กับเทคโนโลยีของผู้ผลิตแต่ละราย ดังนั้นหากเข้าใจในหลักการและกลไกของกระบวนการผลิตแล้วก็จะสามารถทำความเข้าใจในรายละเอียดปลีกย่อยของเทคโนโลยีที่เกี่ยวข้องได้ เช่น กัน

ตัวอย่างการนำไปใช้งานของชิ้นส่วนที่ผลิตด้วยกระบวนการผลิต ยกตัวอย่างเช่น ไส้หลอดไฟทั้งสูตร, self-lubricated bearing, เพื่องเกียร์เครื่องจักร, กระดูกเทียม, ตัวรองที่อุณหภูมิสูง เป็นต้น นอกจากนี้มีกระบวนการผลิตมีส่วนเกี่ยวข้องกับการใช้งานที่ไม่ได้อยู่ในชิ้นส่วน ยกตัวอย่างเช่น สีรถยนต์, สีทาบ้าน, ลดดูม, วัสดุระเบิด, หมึกพิมพ์ เป็นต้น ตาราง 1.1 แสดงรายการการนำไปใช้งาน ชนิดของผงโลหะและตัวอย่างการใช้งาน

1.1 นิยาม

ก่อนที่จะเข้าสู่เนื้อหาในบทต่อ ๆ ไปควรทำความเข้าใจกับคำศัพท์พื้นฐานที่เกี่ยวข้อง ได้แก่ “ผงโลหะ” คือ ส่วนของแข็งที่แยกจากกันอย่างสิ้นเชิงมีขนาดเส้นผ่านศูนย์กลางเล็กกว่า 1 มิลลิเมตรในทิศทางที่มีขนาดเส้นผ่านศูนย์กลางมากที่สุด โดยไม่จำเป็นที่จะต้องประกอบไปด้วยเฟสเดียวอาจประกอบไปด้วยเฟสอื่นด้วยก็ได้ ดังนั้นผงโลหะจึงมีอัตราส่วนระหว่างพื้นที่ผิวต่อบริเวณครุภักดีของวัสดุนิดเดียวกันที่ผลิตด้วยวิธีอื่น ด้วยเหตุผลนี้ จึงทำให้ศาสตร์ของพื้นผิวและความโครงสร้างมีบทบาทสำคัญต่อกระบวนการผลิตอย่างมาก

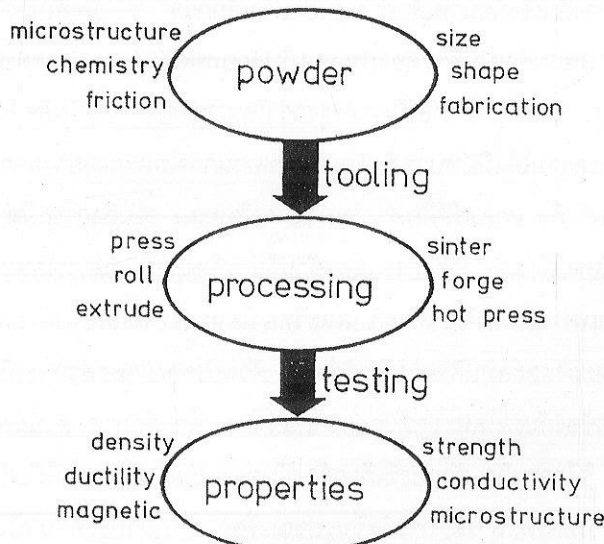
“โลหะวิทยาโลหะ” คือ ศาสตร์ที่ศึกษากระบวนการผลิต รวมถึงการผลิต, การวิเคราะห์และการนำผงโลหะนำมาให้เกิดประโยชน์ทั้งในทางวิศวกรรมและด้านอื่น ๆ โดยกระบวนการผลิตโลหะเป็นกระบวนการที่มีขั้นตอน 3 ส่วน ได้แก่ ผงโลหะ, กระบวนการผลิตและสมบัติของผลิตภัณฑ์ ตัวแปรของแต่ละส่วนจะเป็นตัวกำหนดสมบัติของผลิตภัณฑ์ได้ ตัวแปรที่เกี่ยวข้องกับผงโลหะยกตัวอย่าง ได้แก่ โครงสร้างจุลภาค, ส่วนผสมทางเคมี, ความเสียดทานภายใน, ขนาด, รูปร่าง, วิธีการผลิต ตัวแปรที่เกี่ยวข้องกับกระบวนการผลิตได้แก่วิธีการขึ้นรูปร่างต่าง ๆ เช่น การอัดขึ้นรูป, การรีด, การอัดรีด, การตี, การอัดขึ้นรูปขั้นตอนร้อน, การเผาประسان เป็นต้น สำหรับสมบัติของผลิตภัณฑ์ยกตัวอย่าง เช่น ความถ่วงจำเพาะ, ความหนืด, ความเป็นแม่เหล็ก, ความแข็งแรงดึง, ความสามารถ

ในการนำไฟฟ้าและความร้อน, โครงสร้างจุลภาค เป็นต้น ภาพ 1.1 แสดงภาพรวมของโลหะวิทยาโลหะผังจากตัวแบปร์ตดูดิบ, กระบวนการจนถึงสมบัติของผลิตภัณฑ์

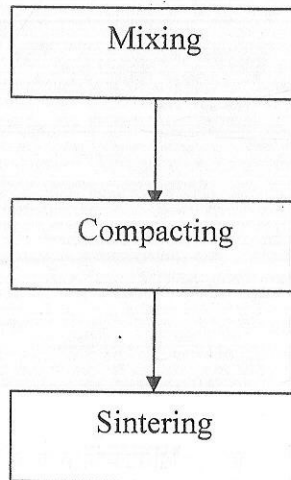
ตาราง 1.1 รายการการนำไฟฟ้าและความร้อน, ชนิดของผงโลหะและตัวอย่างการใช้งาน

Application	Metals	Uses
Abrasives	Fe, Sn, Zn	cleaning, abrasive wheels
Agriculture	Al, Fe, Mn	seed coatings, feed, fertilizer
Aerospace	Al, Be, Nb	jet engines, heat shields
Automotive	Cu, Fe, W	valve inserts, bushings, gears
Chemical	Cr, Ni, Pt	colorants, filters, catalysts
Coatings	Cd, Cr, Ti	paint, hard facings
Construction	Al, Cu, Fe	asphalt roofing, caulking
Electrical/Electronic	Ag, Au, Mo	contacts, diode heat sinks
Hardware	Cu, Fe	locks, wrenches
Heat Treating	Mo, Pt, W	furnace elements, thermocouples
Industrial	Co, Pb, W	sound adsorption, cutting tools
Joining	Cu, Fe, Sn	solders, electrodes
Lubrication	Cu, Fe, Zn	greases, abradable seals
Magnetic	Co, Fe, Ni	relays, magnets
Manufacturing	Cu, Mn, W	dies, tools, bearings
Medical/Dental	Ag, Au, W	implants, amalgams
Metallurgical	Al, Ce, Si	metal recovery, alloying
Nuclear	Be, Ni, W	shielding, filters, reflectors
Office Equipment	Al, Fe, Ti	electrostatic copiers, cams
Ordnance	Al, Ti, Zn	fuzes, ammunition, penetrators
Personal	Al, Fe, Zn	vitamins, cosmetics, soaps
Petrochemical	Pd, Ni, W	catalysts, drilling bits
Plastics	Al, Fe, Mg	tools, dies, fillers, cements
Printing	Ag, Al, Cu	inks, coatings, laminates
Pyrotechnics	Al, Mg, Zn	explosives, flares, fuel

“กระบวนการโลหะ” คือขั้นตอนการนำผงโลหะมาทำให้เกิดประกายวิธีทางกลและความร้อน ขั้นตอนหลักของกระบวนการโลหะผงประกอบไปด้วย 3 ขั้นตอน ได้แก่ การผสมผงโลหะ, การอัดขึ้นรูปผงโลหะ และการเผาประสาน ตัวแปรในการผสมผงโลหะ ได้แก่ เกลา, ความเร็ว, ขนาดผงโลหะ, บรรยายกาศ ตัวแปรในการอัดขึ้นรูปผงโลหะ ได้แก่ ความดัน, ทิศทาง เป็นต้น ตัวแปรในการเผาประสาน ได้แก่ เกลา, อุณหภูมิ, บรรยายกาศ, ความดัน เป็นต้น ภาพ 1.2 แสดงแผนผังขั้นตอนของกระบวนการโลหะผง



ภาพ 1.1 ภาพรวมของโลหะวิทยาโลหะผงจากตัวแบปร์ตดูดิบ, กระบวนการจนถึงสมบัติของผลิตภัณฑ์



ภาพ 1.2 แผนผังขั้นตอนของกระบวนการโลหะผง

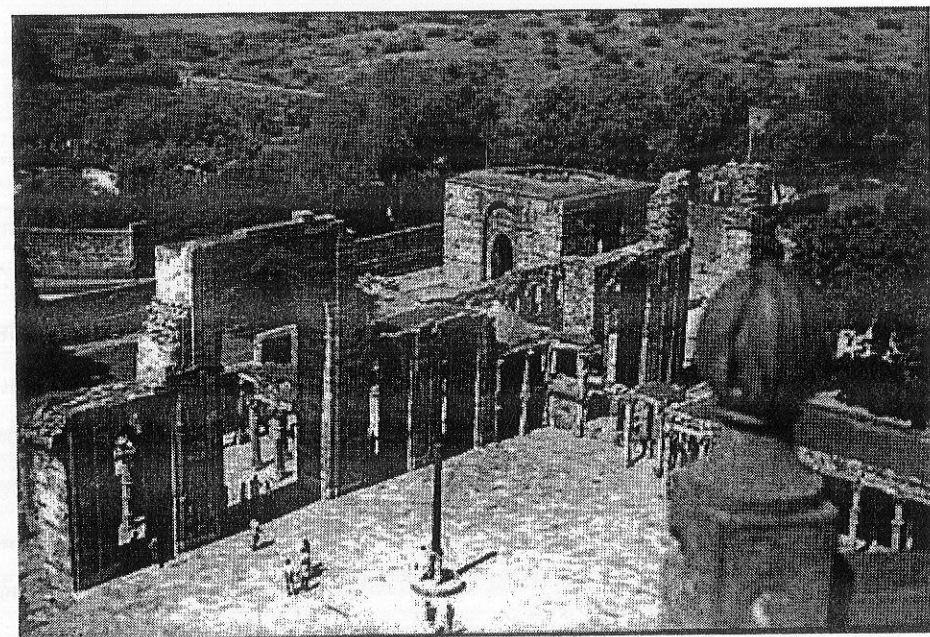
1.2 ประวัติโดยย่อ

การใช้งานผงโลหะในช่วงแรกปากฎในหลายภูมิภาคของโลก ยกตัวอย่าง เช่น ชาวอินคาทำเครื่องประดับจากการพงทองคำนำมารัดให้ได้รูปร่างที่ต้องการแล้วเผา ชาวอียิปต์ใช้ผงตะกั่วชัลไฟฟ์ (แร่กาลีนา) ทำเครื่องสำอางโดยการบดแห้งและบดเป็นก้อนให้แห้งใช้ห้ารอบดวงตาเมื่อประมาณ 3000 ปีก่อนคริสตกาล ตัวอย่างที่ยังคงหลงเหลือให้เห็นปัจจุบันคือเสาแห่งเมืองเดลี (Columns of Delhi) ทำขึ้นเมื่อ ค.ศ. 300 ซึ่งทำจากผงเหล็กที่ได้จากการรีดหัก ในช่วงศตวรรษที่ 18 เริ่มมีการศึกษาด้านค่าวัสดุกับโลหะวิทยาโลหะผง โดยเป้าหมายหลักคือการหลีกเลี่ยงการทำให้โลหะหลอมด้วย ซึ่งในการใช้งานจำเป็นต้องทำการรีดหักที่มีจุดหลอมตัวสูงมากและไม่สะดวกที่จะทำให้โลหะหลอมด้วย นำมาซึ่งจุดเริ่มน้ำของอุคโลหะวิทยาโลหะผงสมัยใหม่คือการประดิษฐ์หลอดไฟของ โธมัส แอลว่า เอดิสัน ซึ่งได้ทดลองไฟทำจากผงโลหะทั้งสูตรที่มีสมบัติเประะจึงไม่สามารถเข้าสูรูปด้วยวิธีการรีดได้ สมบัติที่จำเป็นของได้หลอดไฟคือทนความร้อนได้สูงดังนั้นโลหะทั้งสูตรซึ่งมีจุดหลอมตัวสูง (3440°C) จึงเหมาะสมกับการใช้งาน แต่จุดหลอมด้วยที่สูงก็ทำให้การหลอมทำได้ยาก จึงต้องอาศัยกระบวนการโลหะผง เป็นทางออก กระบวนการทำได้หลอดไฟคือ Coolidge process ผง WO_3 ถูกรีดด้วย H_2 จะได้ผง W และทำการอัดแล้ว presinter ที่ 1200°C ทำให้โครงสร้างแข็งแรงขึ้นจนสามารถยึดติดกับขั้วไฟทำได้และทำการเผาประสานต่อที่อุณหภูมิ 3000°C โดยการใช้ Joule's Heating ทำให้ชิ้นส่วนร้อนขึ้นเนื่องจากความต่างศักย์ไฟฟ้าและกระแสไฟฟ้าสูง

นอกจากหั้งสูตรแล้วโลหะที่ความร้อนนี้ ก็ได้รับการพัฒนาเช่นเดียวกัน เช่น โมลิบดีนัมชัลไฟฟ์ผสมกับชัลเฟอร์นวดเข้าด้วยกันเนื่องจากนั้นทำให้เป็นเส้นแล้วให้ความร้อนภายใต้บรรยากาศ H_2 ทำให้เกิด H_2S โมลิบดีนัมที่ได้นำไปใช้ทำหลอดไฟและอุตสาหกรรมเคมี นอกจากโมลิบดีนัมและหั้งสูตรแล้วโลหะชนิดอื่น ก็ได้รับการพัฒนาในเวลาต่อมาได้แก่ แทนกาลัม ไนโตรบียม คอเรียม ไททาเนียม เป็นต้น



ภาพ 1.3 ผงแร่โลหะกลีนไนท์กูกใช้เป็นเครื่องสำอางของชาวอียิปต์



ภาพ 1.4 เสาแฟ่งเมืองเดลีทำจากผงเหล็กที่ถูกรีดกั้กขัน

ในช่วงต้นศตวรรษที่ 20 ผงทองแดง, ดีบุกและแกรไฟต์ถูกนำมาใช้ทำเบริง แกรไฟต์จะเป็นตัวรีดิวซ์ออกไซด์ของทองแดงและดีบุกแล้วนำไปทำ oil treatment เพิ่มน้ำมันเข้าไปในชิ้นส่วนซึ่งจะเข้าไปอยู่ในโครงสร้างรูพุนทำให้สามารถหล่อลื่นคัวเงยได้ในขณะใช้งาน การนำไปใช้งานจากประไบคนของโครงสร้างพุนอีกอย่างหนึ่งก็คือตัวกรองที่อุณหภูมิสูงใช้กรองสารเวนลอยต์ต่าง ๆ

ในตอนต้นสังคมโลกครั้งที่ 2 เทคโนโลยีผงเหล็กเริ่มถูกนำมาใช้ในทางการค้า การพัฒนาที่สำคัญคือการใช้ชิ้นส่วนเหล็กที่ได้จากการกระบวนการผลิตหะลงทำเป็นปลอกลูกปืนใหญ่ มาทดแทนการขาดแคลนโลหะผสม Cu-Zn ที่สามารถชีบปูได้กว่าเหล็กซึ่งต้องใช้กระบวนการผลิตหะลงในการผลิต

ในทางด้านอุตสาหกรรมรัตน์นอกจาชิ้นส่วนเบริงแล้ว เป้องเกียร์ของเหล็กหล่อ ก็เริ่มถูกทดแทนด้วยชิ้นส่วนที่ได้กระบวนการผลิตหะลง หลังสังคมโลกครั้งที่ 2 การพัฒนาเทคโนโลยีนิวเคลียร์เริ่มต้นขึ้นทำให้มีการ

คันคัวเกี่ยวกับผลิตโลหะหนัก เช่น Zr, Th, U, Be และในช่วงสุดท้ายมีการพัฒนาเทคโนโลยีทางด้านอวกาศ อย่างมากทำให้มีการค้นค้นคัวเกี่ยวกับผลิตโลหะ Nb, Ti ซึ่งใช้งานที่อุณหภูมิสูงได้ดีและมีน้ำหนักเบา

หลังจากนั้นในช่วงปี ค.ศ. 1960-1980 การพัฒนามุ่งเน้นไปในเรื่องการปรับปรุงวิธีการอัดขี้นรูปให้ได้ compact ที่มีความหนาแน่นมากขึ้น ได้มีการประดิษฐ์การอัดแบบ Hot Pressing และ Hot Isostatic Pressing ในช่วงนี้

ในช่วงหลังจากปี ค.ศ. 1980 เป็นต้นมา กระบวนการผลิตโลหะผ่านเม็ดทบทำสำคัญในการผลิตวัสดุเชิงประกอบ (Composite materials) สมัยใหม่ เนื่องจากสามารถทำได้ง่ายและควบคุมโครงสร้างจุดภาคของวัสดุ ได้

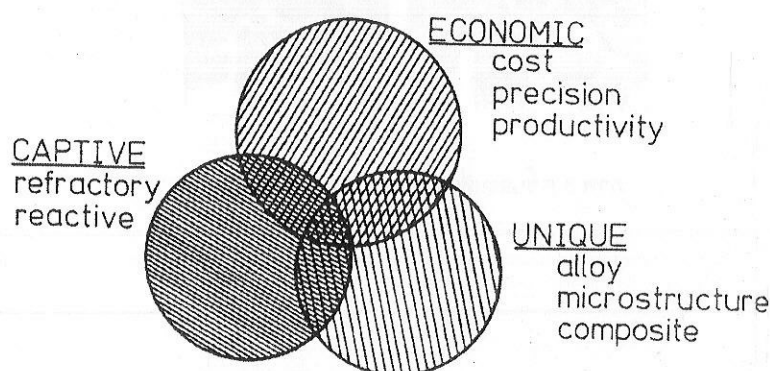
1.3 เหตุผลในการเลือกใช้กระบวนการผลิตโลหะ

มี 3 เหตุผลหลักในการเลือกใช้กระบวนการผลิตโลหะผ่านเม็ดที่กระบวนการดังเดิม ประการแรกคือ ต้นทุนการผลิตที่ต่ำ (Economic) ในการผลิตขึ้นส่วนที่มีรูปร่างซับซ้อนเป็นจำนวนมาก ตัวอย่างที่เห็นได้ชัดคืออุตสาหกรรมรถยนต์ โดยชิ้นส่วนเหล่านี้มักจะมีความต้องการความแม่นยำของมิติ และยังต้องการกำลังการผลิตที่สูงสามารถทำขึ้นได้และอัดในมัด ซึ่งเหมาะสมที่จะใช้กระบวนการผลิตเม็ดที่ดังกล่าว

เหตุผลประการที่สองคือความจำเป็นเนื่องจากความยากในการผลิต ได้แก่ ชิ้นส่วนที่ทำจากวัตถุดิบที่มีความไวต่อการเกิดปฏิกิริยาและชิ้นส่วนที่ทำวัตถุดิบที่สามารถหล่อหลอมได้ยาก สำหรับชิ้นส่วนที่ทำจากวัตถุดิบที่มีความไวต่อการเกิดปฏิกิริยาต้องการความคุ้มตัวแปรต่าง ๆ เป็นอย่างดี ซึ่งกระบวนการผลิตสามารถทำได้ในบรรยายกาศที่ควบคุม สำหรับชิ้นส่วนที่ทำจากวัตถุดิบที่หล่อหลอมได้ยาก เช่น โลหะที่ความร้อนซึ่งมีจุดหลอมตัวสูงมาก ตัวอย่างที่เห็นได้ชัดคือไส้หลอดไฟซึ่งนอกจากจะมีจุดหลอมตัวที่สูงมากแล้ว ทั้งส่วนยังมีความเปลี่ยวทำให้ไม่สามารถรีดหรือแปรรูปได้ กระบวนการผลิตสามารถขึ้นรูปให้มีความแข็งแรงได้ในสภาพของแข็งเจ็งสามารถซ่อมแซมได้

เหตุผลประการสุดท้ายคือสามารถใช้ในการผลิตชิ้นส่วนที่ต้องการสมบัติพิเศษ เช่น ต้องการโครงสร้างพิเศษในไปใช้ในทางการแพทย์, วัสดุเชิงประดิษฐ์ที่ต้องมีส่วนประกอบที่แตกต่างกันซึ่งมีจุดหลอมตัวและสมบัติเชิงกลต่างกัน, โลหะผสมที่ต้องการความเที่ยงตรงของส่วนผสมทางเคมีเป็นพิเศษ เช่น โลหะจำพวกที่การคลาดเคลื่อนของส่วนผสมทางเคมีเพียง 0.1% อาจทำให้อุณหภูมิการเปลี่ยนเฟสเปลี่ยนแปลงไปจนไม่สามารถยอมรับได้

แผนภาพที่แสดงเหตุผลในการเลือกใช้กระบวนการผลิตโลหะแสดงในภาพ 1.5



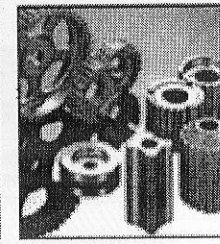
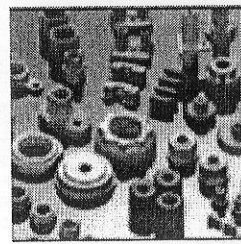
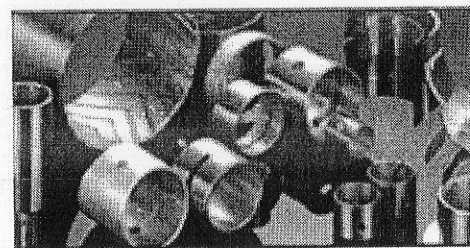
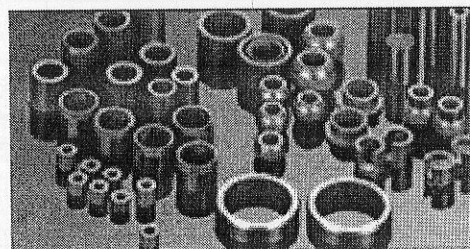
ภาพ 1.5 แผนภาพแสดงเหตุผลในการเลือกใช้กระบวนการผลิตโลหะ

1.4 อนาคตของกระบวนการผลิตหะง

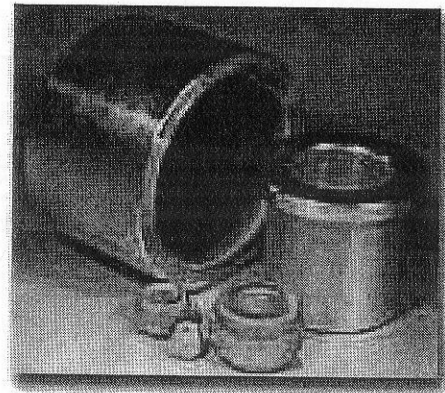
ในอดีตที่ผ่านมาความสำเร็จของการบวนการผลิตหะงคือข้อได้เปรียบทางเศรษฐกิจศาสตร์ แต่ในปัจจุบันกระบวนการผลิตหะงมีบทบาทต่อการผลิตวัสดุที่มีสมบัติพิเศษมากขึ้น ซึ่งด้วยเหตุผลนี้ทำให้ฐานของเทคโนโลยีวัสดุกว้างขวางขึ้น และทำให้มีการประยุกต์กระบวนการผลิตหะงไปใช้ผลิตชิ้นส่วนใหม่ ๆ อยู่ตลอดเวลา โดยในอนาคตบทบาทของกระบวนการผลิตหะงที่เพิ่มขึ้นจะปรากฏใน 5 สาขาดังนี้

- การผลิตชิ้นส่วนที่ต้องการความเที่ยงตรงเป็นปริมาณมาก ซึ่งส่วนใหญ่เป็นชิ้นส่วนที่ทำจากเหล็ก
- การผลิตชิ้นส่วนที่ทำจากวัสดุที่ยากต่อการผลิต
- การผลิตวัสดุพิเศษ โดยเฉพาะวัสดุเชิงประภณ
- การผลิตวัสดุกึ่งเหลว ได้แก่ วัสดุรีสันรูน (Amorphous materials) หรือโลหะผสมสารประภณ เชิงโลหะ
- การผลิตชิ้นส่วนที่มีรูปทรงซับซ้อนมากหรือชิ้นส่วนที่มีขนาดเล็กแต่มีราคาสูง

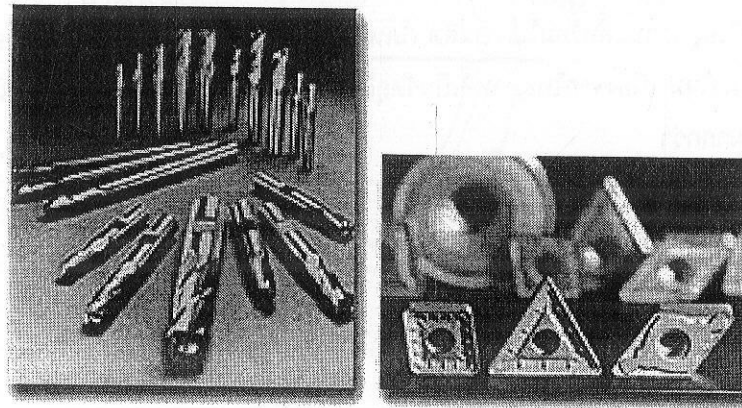
จากปี ก.ศ. 1960 ถึงปี ก.ศ. 1978 การใช้ผงเหล็กมีปริมาณเพิ่มขึ้นถึงสิบเท่าตัว แต่ในระยะหลังมีอัตราการขยายตัวลดลง อย่างไรก็ได้ก็ยังมีอัตราการขยายตัวที่สูงกว่าวัสดุในโลหะกึ่งรูปแบบอื่น ๆ เช่นกัน และในอนาคตคาดว่ากระบวนการผลิตหะงจะมีบทบาทสำคัญในทางเทคโนโลยีสมัยใหม่อย่างมาก



ภาพ 1.6 ชิ้นส่วนที่ผลิตด้วยกระบวนการผลิตหะง



ກາພ 1.7 Self-Lubricated bearing



ກາພ 1.8 ຂຶ້ນສ່ວນທີ່ຕ້ອງທັນຄວາມຮ້ອນທີ່ຜະລິດດ້ວຍກະບວນກາຣໂລະພັງ

บทที่ 2
การผลิตผงโลหะ¹
Powder Fabrication

ผงโลหะถูกนำไปใช้งานไม่เพียงต่อกระบวนการผลิตโลหะผงเพียงอย่างเดียว แต่ถูกนำไปใช้ในอุตสาหกรรมหลายประเภทด้วย เช่น ทำการผลิตตลาดเชื่อม, Submerged arc welding, การผลิตสี เป็นต้น อย่างไรก็ได้ปริมาณการใช้งานโลหะผงก็ขึ้นอยู่กับการนำมาใช้งานในกระบวนการผลิตเป็นหลัก โดยในปี ค.ศ. 1992 ปริมาณการใช้โลหะผงในประเทศไทยอยู่ในระดับ 246,000 ตันและ 570,000 ตันทั่วโลก ซึ่งถูกนำมาใช้กระบวนการผลิตร้อยละ 76-78%

หลักการของ การผลิตโลหะผงคือการใช้พลังงานภายนอก (ความร้อน, ปฏิกิริยาทางเคมี, พลังงานกล) เพื่อทำให้วัตถุดิบซึ่งอยู่สถานที่พร้อมในการผลิต (โลหะหลอมเหลว, สารตั้งต้นปฏิกิริยา, ก้อนโลหะ) สร้างพื้นที่ผิวจำนวนมากขึ้นมาใหม่ เนื่องจากในสภาพที่เป็นวัตถุดิบมีลักษณะตันแต่ในสภาพที่เป็นผงโลหะจะมีพื้นที่ผิวต่อมวลหรือปริมาตรมากกว่า

กระบวนการผลิตโลหะผงมีผลโดยตรงต่อสมบัติทางกายภาพและสมบัติทางเคมีของโลหะผงที่ได้ ดังนั้นจึงมีผลต่อการนำไปใช้งานด้วย กระบวนการผลิตโลหะผงสามารถแบ่งได้เป็นสองวิธีการหลัก คือ วิธีทางกายภาพ และ วิธีทางเคมี

2.1 กระบวนการทางกายภาพ (Physical Processes)

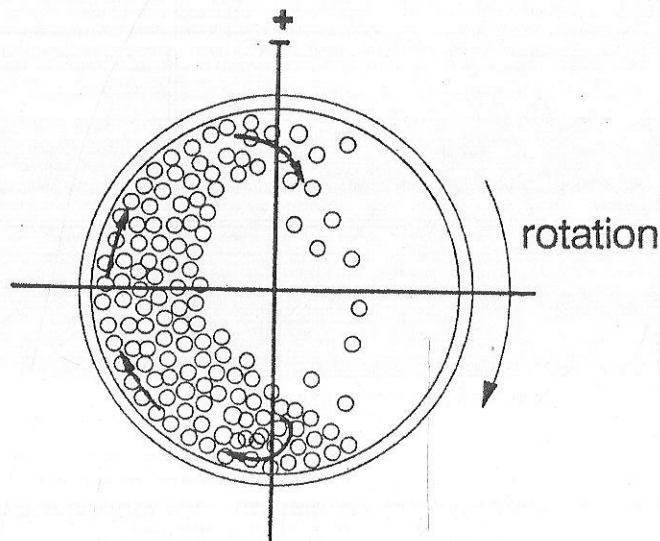
2.1.1 Machining

ในการกลึงโลหะจะทำให้เกิดชี้กกลึง ซึ่งจัดได้ว่าเป็นผงโลหะที่มีขนาดใหญ่และมีรูปร่างแบบ Irregular เนื่องจากเกิดขึ้นจากการที่ผิวโลหะได้รับแรงเฉือนจนหลุดออกมานอกไป ขณะที่ผิวโลหะที่ได้จะถูกนำไปบดให้ละเอียดขึ้น ก่อนนำไปใช้งาน ข้อด้อยของผงโลหะที่ได้จากการนีคือไม่สามารถควบคุมคุณลักษณะของโลหะผงได้ และมีอัตราการผลิตที่ช้า ดังนั้น machining จึงไม่ใช่ทางเลือกแรกสำหรับการเลือกวัตถุดิบมาใช้ในกระบวนการผลิต โลหะผง เนื่องจากรูปร่างของโลหะผงมีลักษณะรูปร่างที่เป็นแบบ irregular หากเกินกว่าที่จะสามารถนำมาผลิต ขึ้นส่วนที่ต้องการคุณภาพสูงได้ อย่างไรก็ได้เนื่องจากเป็นการนำของเหลวจากการกรองมาใช้งานทำให้มีราคาถูกและหาได้ง่าย จึงทำให้โลหะผงที่ได้จากการนีมีความสำคัญ เช่นกัน ปัจจุบันผู้ผลิตโลหะที่ได้จากการกลึงส่วนใหญ่ถูกนำมาใช้ผลิตเหล็กกล้าคาร์บอนสูงและ amalgam ในวงการหันตกروم

2.1.2 Milling

การบดเป็นกระบวนการผลิตผงโลหะที่มีความเก่าแก่ที่สุด ซึ่งดังเดิมนั้นใช้ในภารย่อยขนาดวัสดุจำพวก เชวนามิกส์ซึ่งมีความเปราะสูง การบดใช้หลักการกระแทกันของลูกบดกับผงโลหะและการกระแทกันของระหว่างผงโลหะด้วยกัน การบดมีหลายแบบได้แก่ Ball milling, Vibration milling และ planetary milling เป็นต้น พลังงานทางกลถูกเปลี่ยนไปเป็นพลังงานในการสร้างพื้นผิวใหม่ กระบวนการ Ball milling ทำโดยนำลูกบดและวัตถุดิบบรรจุลงในภาชนะที่เรียกว่าถังบด ทรงกระบอกแล้วให้พลังงานทางกลโดยการหมุนสั่นบดไปรอบ ๆ เมื่อ

ລູກບົດໄດ້ຮັບແຮງເໝື່ອຍ່ຈະລູກເໝື່ອຍ່ຕິດໄປທາງຜັນດັບຈົນດີ່ງຊຸດໜຶ່ງຊື່ງແລ້ງໃນໜຳຄ່ວງໂລກກະທຳຕ່ອງລູກບົດ ທຳໄໝມີນ້ຳໜັກມາການເຂົາຂະໜາດແຮງເໝື່ອຍ່ໄດ້ ຈຶ່ງທຳໄໝລູກບົດຕົກລົງມາກະແທກກັບວັດຖຸດິບທານດ້ານລ່າງ ກະບວນກາຈະເປັນເຫັນນີ້ຂໍ້ໄປເລື່ອຍ່ ພາພ 2.1 ແສດງແຜນກາພົກລົງການຢ່ອຍ່ຂາດຂອງໂລໜະພົງດ້າຍກະບວນການ Ball milling ພາພ 2.2 ແສດງຕົວອ່າງກາພຕ່າຍຂອງດັບຈົນ Ball mill



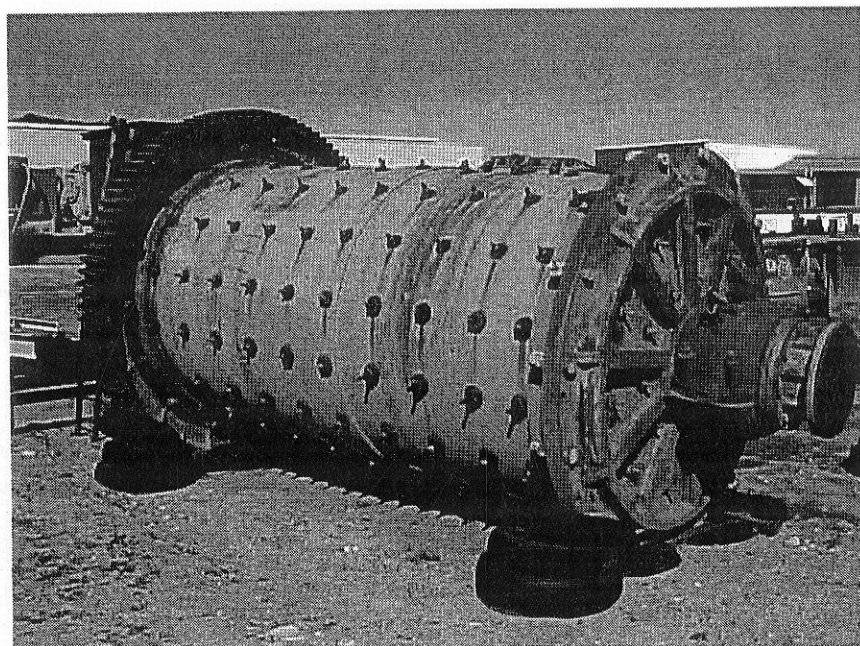
ພາພ 2.1 ແຜນກາພົກລົງການຢ່ອຍ່ຂາດຂອງໂລໜະພົງດ້າຍກະບວນການ Ball milling

ຄວາມເງົວໃນກາຮັດມູນຂອງດັບມືມີຜົດຕ່ອພຸດທິກວມຂອງລູກບົດໄດ້ທາກດັບມູນຂ້າເກີນໄປລູກບົດຈະເພີຍແດ່ມູນກົບພົງໂລໜະເທົ່ານັ້ນທຳໄໝການຢ່ອຍ່ຂາດໄມ່ເກີດຂຶ້ນ ໃນຂະໜາດທີ່ທາກດັບມູນເງົວເກີນໄປຈະທຳໄໝລູກບົດລູກ
ເໝື່ອຍ່ຕິດຜັນໄປໂດຍຕົດອດ ໄນຕົກລົງມາກະແທກກັບພົງໂລໜະຊື່ງກໍທຳໄໝການຢ່ອຍ່ຂາດພົງໂລໜະໄມ່ເກີດຂຶ້ນເຫັນກັນຄວາມເງົວທີ່ຈະທຳໄໝເກີດປະສິທິພາພໃນກາຮັດສູງສຸດຕີ້ຄວາມເງົວທີ່ທຳໄໝເຮັງໃນໜຳຄ່ວງທີ່ກະທຳຕ່ອງລູກບົດເທົ່າກັບເຮັງເໝື່ອຍ່ພອດີ

$$RPS = \frac{1}{2\pi} \frac{\sqrt{g}}{\sqrt{R}}$$

ເມື່ອ R ດີວ່າລົມື່ອງດັບ ແລະ g ດີວ່າ gravitational force

ລູກບົດທີ່ໃໝ່ໃນກະບວນການ Ball mill ມັກຈະມີຢູ່ປ່າງເປັນທຽບລົມື່ອທຽບກະບວນການ ວັດທິທີ່ນຳມາໃຫ້ກຳເປັນລູກບົດກາຈະມີຄວາມຄ່ວງຈຳເພາະພອສມວເພື່ອທີ່ຈະໄໝເກີດແຮງກະແທກເພີຍພອຕ່ອການຢ່ອຍ່ຂາດພົງໂລໜະໄດ້ ນອກຈາກນີ້ການເລື່ອກວັດສຸດຂອງລູກບົດຍັງຂຶ້ນອູ້ກັບຄວາມສາມາດໃນການຕ້ານທານກາຮັດຮອນເນື້ອໃຈ່ງກັບໂລໜະທີ່ເປັນວັດຖຸດິບ ລວມທັງຈາກແລະຄວາມຍາກ່າຍໃນການກຳຈັດກາປັນເປື້ອນອົກຈາກໂລໜະພົງ ສໍາຫຼັບວັດສຸດທີ່ນິຍົມ ລຳມາໃຫ້ກຳລົບດີໄດ້ແກ່ເຫັນກຳລັງທີ່ມີຮາຄາຖຸກແລະມີຄວາມຄ່ວງຈຳເພາະ 7.7 g/cm³ ຊຶ່ງຄ່ອນຂ້າງສູງແຕ່ມີຄວາມແຂ້ງທີ່ແລະທຳແກ່ທີ່ໄໝເກີດກາປັນເປື້ອນສູງຕ້ອງກຳຈັດອົກດ້າຍກາຮັດລະລາຍດ້າຍກຣດ, Al₂O₃ ມີຄວາມຄ່ວງຈຳເພາະເພີຍ 3.6 g/cm³ ຊຶ່ງເຊື່ອວ່າຄ່ອນຂ້າງນ້ອຍແຕ່ວ່າມີຄວາມແຂ້ງສູງແລະຮາຄາຖຸກ, Zirconia ມີຮາຄາແພັງແຕ່ມີຄວາມຄ່ວງຈຳເພາະປານກລາງ 5.4 g/cm³ ແລະມີຄວາມແຂ້ງຄ່ອນຂ້າງສູງ



ภาพ 2.2 ตัวอย่างภาพถ่ายของถังบด Ball mill

ลิ่งที่ขึ้นเกิดขึ้นกับผงโลหะในขณะที่ถูกบดคือในขันตอนแรก หากสมมุติว่าโลหะผงตั้งต้นมีรูปร่างกลม เมื่อถูกบดตกลงมากระแทกกับผงโลหะจะทำให้เกิดแรงเฉือนและแรงอัด ซึ่งจะทำให้เกิด plastic deformation ทำให้รูปร่างเปลี่ยนไปจากทรงกลมกลายเป็นทรงรีและเกิด work hardening ในขันตอนนี้ ทำให้โลหะเปลี่ยนสมบัติจากเนื้อยาไปเป็นเปราะ ในขันต่อมาโลหะที่มีความเปราะจะเริ่มเกิดการแตก โดยการแตกจะมีลักษณะคล้ายคลึงกับการเสียหายจากการล้า (fatigue failure) โดยเริ่มจาก crack initiation, crack propagation และแตกในที่สุด เมื่อผงโลหะแตกออกแล้วจะทำให้มีขนาดเล็กลงหลังจากนั้นผงโลหะอาจจะเกิดการรวมตัวกัน (agglomeration) และเกิดการหลุดออกจากรากัน (deagglomeration) ไปเรื่อยๆ จนเข้าสู่ภาวะสมดุลคือข้อตัวระหว่าง agglomeration และ deagglomeration เท่ากัน สำหรับวัสดุประเภทเซรามิกอาจจะไม่มี agglomeration เลยก็ได้

เมื่อผงโลหะถูกย่อยจนมีขนาดเล็กลงแล้ว ผงโลหะที่มีขนาดเล็กลงจะทำให้มีโอกาสยกขึ้นที่จะได้รับแรงเฉือนจากถูกบดที่ทำให้เกิดการแตกต่อไปได้ นอกจากนี้ผงโลหะที่มีขนาดเล็กกว่าจะมี activity มากกว่าผงโลหะที่มีขนาดใหญ่เนื่องจาก specific surface area ที่สูงกว่า ดังนั้นผงโลหะขนาดเล็กกว่าจึงมีโอกาสที่จะเกิด agglomeration สูงกว่า ซึ่งเมื่อเวลาในการบดผ่านไปจะพบว่าอัตราการย่อยขนาดผงโลหะลดลง (ภาพ 2.6)

อัตราการบดขึ้นอยู่กับหลายปัจจัยได้แก่ รัศมีของถังบด ถังบดที่มีขนาดใหญ่จะทำให้ส่วนสูงของระยะที่ถูกบดตกลงมากระแทกตุบมีมากขึ้น ทำให้สามารถย่อยขนาดได้เร็วขึ้นความต่วงจำเพาะของถูกบดที่มากขึ้นก็มีส่วนทำให้แรงกระแทกสูงขึ้นเช่นกัน รัศมีของถูกบดที่เล็กลงทำให้จำนวนการกระแทกมีมากขึ้น (ในกรณีที่มวลรวมของถูกบดเท่ากัน) แต่อย่างไรก็ด้วยรัศมีของถูกบดจะเล็กเกินไปไม่ได้เนื่องจากจะทำให้แรงกระแทกมีไม่มากพอที่จะทำให้เกิดการย่อยขนาดของผงโลหะ เมื่อพิจารณาข้อด้านของผงโลหะเปลี่ยนแปลงไปโดยเล็กลงเรื่อยๆ ขนาดของถูกบดที่เหมาะสมต่อการบดที่ตัดสินใจว่ามีขนาดเล็กลงเรื่อยๆ ด้วยเช่นกัน ดังนั้นในทางปฏิบัติอาจมีการตัดแปลงกระบวนการ Ball milling ให้มีหลายขั้นตอนโดยเปลี่ยนขนาดถูกบดจากขนาดใหญ่ไปสู่ขนาดเล็ก ศูนย์ในการคำนวนหาอัตราการบดอย่างง่ายได้แก่

$$M = \frac{C\rho\sqrt{RD}}{r}$$

เมื่อ M คืออัตราการบด

C คือค่าคงที่ของกระบวนการ

ρ คือความถ่วงจำเพาะของลูกบด

R คือรัศมีของถังบด

D คือเส้นผ่าศูนย์กลางของโลหะ

r คือรัศมีของลูกบด

ประสิทธิภาพเชิงพลังงานในการย่อยขนาดผงโลหะของกระบวนการ milling ค่อนข้างต่ำ พลังงานเพียงแค่ประมาณ 0.1% จากพลังงานทั้งหมดเท่านั้นที่ถูกนำไปใช้ในการสร้างพื้นผิวใหม่ โดยพลังงานที่ใช้ไปในการสร้างพื้นผิวใหม่ (E) คือ

$$E = \gamma \Delta s$$

เมื่อ γ คือ interfacial free energy ของพื้นผิว (J/mm^2)

Δs คือพื้นที่ผิวที่ถูกสร้างขึ้นมาใหม่ (mm^2)

การสูญเสียพลังงานไปเกิดจากหลายแหล่ง ได้แก่ พลังงานในการทำให้เกิด elastic และ plastic deformation, พลังงานจะนำส่วนหนึ่งที่ของลูกบดและผงโลหะ, พลังงานในการขับเคลื่อนถังบด, พลังงานเสียง และพลังงานความร้อนที่เกิดขึ้นจากการเสียดสี ซึ่งพลังงานที่สูญเสียไปเกิดเนื่องจากการทำให้เกิดความร้อนขึ้นเป็นหลัก

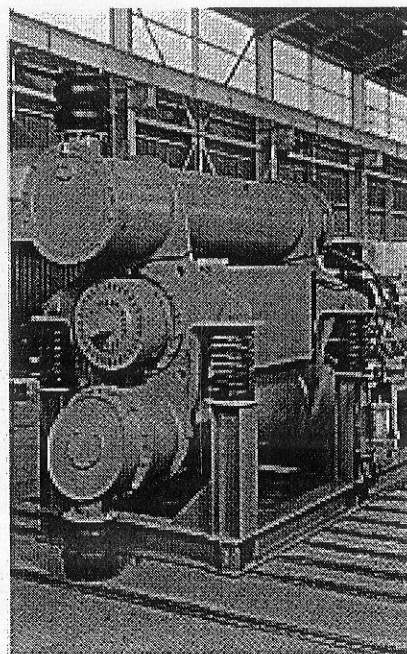
เพื่อที่จะปรับปรุงประสิทธิภาพเชิงพลังงานของการบด วิธีการต่าง ๆ ถูกนำมาใช้ เช่น การห้ามรีมาณ ลูกบดที่เหมาะสมโดยไม่มากเกินไปจนทำให้มวลภายในถังบดหนักเกินไปและไม่น้อยเกินไปจนทำให้การบดเกิดขึ้นได้ช้าช้า จึงทำให้สิ่งเปลืองพลังงาน โดยทั่วไปลูกบดจะเติมประมาณ 40-50% โดยปริมาตรของถังบดที่เหลือเป็นผงโลหะประมาณ 25% ลูกบดมักจะมีขนาดใหญ่กว่าขนาดของผงโลหะก่อนบดประมาณ 10-20 เท่า

การบดเปียก (wet milling) ก็เป็นอีกวิธีหนึ่งที่ช่วยปรับปรุงประสิทธิภาพเชิงพลังงานในการบดได้เนื่องจากการมีอยู่ของเหลวให้แนวโน้มที่จะซวย slavery agglomeration ของผงโลหะได้ สารจำพวก hydrocarbons, ethanol ช่วยป้องกันการ oxidation ได้ ในบางครั้งของเหลวที่เติมลงไปให้ผลพิเศษ (Rehbinder-Effect) โดยลด interfacial free energy ระหว่างผงโลหะลงและทำให้การขยายตัวของร่องแตกเป็นไปได้รวดเร็วขึ้น ตัวอย่างสารประเภทนี้ได้แก่ oleinic acid และสารจำพวกที่มีสายโซ่คาร์บอนยาว

ในการบดผงโลหะที่มีความแข็งมาก การบดเป็นอ่อนๆ ก็สามารถทำให้เกิดขึ้นสูงมาก เนื่องจากการสึกหรอของถังบด และลูกบดและความถี่ของการตกรักษาในกรณีบดเปียก การบดเป็นอ่อนๆ สามารถทำได้โดย acid leaching ถ้าผงโลหะนั้น ๆ สามารถดูดซึมน้ำได้ซึ่งมักจะเป็นผงโลหะออกคุณลักษณะเช่นมีกรดและเซรามิกส์ การบดผงด้วยยางช่วยลดการบดเป็นอ่อนๆ ได้ เช่นกัน ลูกบด Al_2O_3 มักจะถูกนำมาใช้ในกรณีต้องการความบริสุทธิ์ของผงโลหะมาก

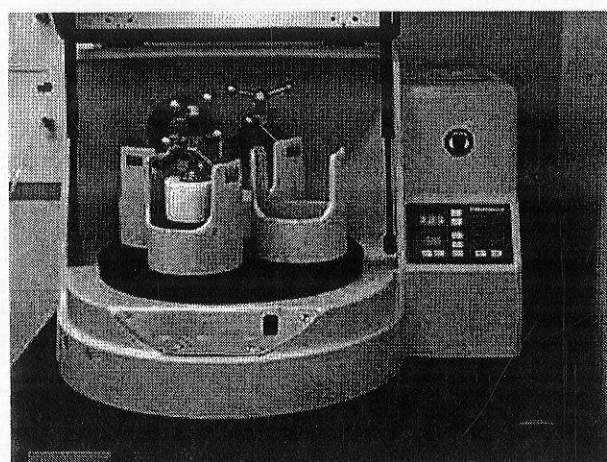
ภาพ 2.3 แสดงเครื่อง Vibration milling ซึ่งอาศัยการสั่นแทนการหมุนของถังบด แรงกระแทกที่เกิดขึ้นจากการสั่นของถังบดสูงกว่าแรงกระแทกที่เกิดจากการหมุนของลูกบด เนื่องจากเมื่อลูกบดได้วับแรงกระแทกทำให้เคลื่อนที่ไปติดผนังของถังบดเมื่อถังบดเคลื่อนตัวกลับทิศทาง ลูกบดจะกระแทกกับวัสดุดิน แรงกระแทกที่ได้

จากการผลิตในกระบวนการเคลื่อนที่สวนทางกันระหว่างลูกบดกับวัตถุดิบเจึงให้แรงกระแทกที่สูงกว่าการหมุนของถังบด จึงทำให้เหมาะสมที่จะนำใช้ในการทำ mechanical alloying ยัตราชารอบจะสูงกว่า ball milling เมื่อจากความถี่ในการสั่นที่สูง อัตราการบดขึ้นอยู่กับความถ่วงจำเพาะและขนาดของลูกบด, ความถี่ในการสั่น แต้มีข้อดีอยู่กับขนาดของถังบดเนื่องจากถังบดทำหน้าที่เป็นภาชนะเท่านั้น อย่างไรก็ได้ vibration milling ทำให้เกิดเสียงดังมาก ในปัจจุบันนี้ vibration milling ถูกทดสอบด้วย attritor เป็นส่วนใหญ่ ทำให้มีการใช้งานค่อนข้างน้อย



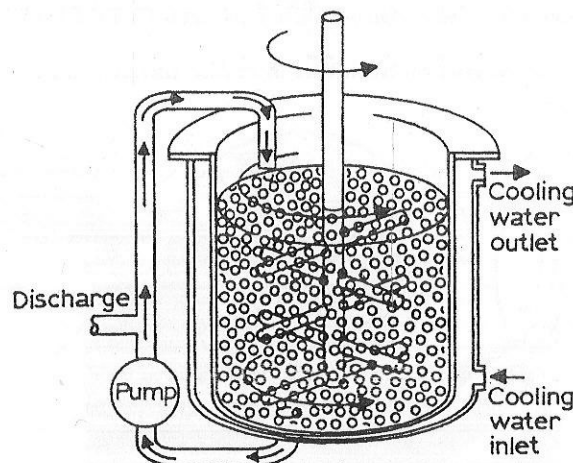
ภาพ 2.3 เครื่อง Vibration milling

ภาพ 2.4 แสดงเครื่อง planetary mill ซึ่งแตกต่างจาก ball milling โดยการเปลี่ยนจากการหมุนของถังบดเป็นการหมุนของงานที่เป็นรูปทรงร้อนแต่ยึดถังบดให้อยู่กับที่ เนื่องจากลักษณะการหมุนรอบตัวเองและหมุนรอบกันและกัน ซึ่งมีลักษณะคล้ายการเคลื่อนที่ของดาวเคราะห์จึงเรียกว่า planetary milling โดยคำว่า planet หมายถึงดาวเคราะห์

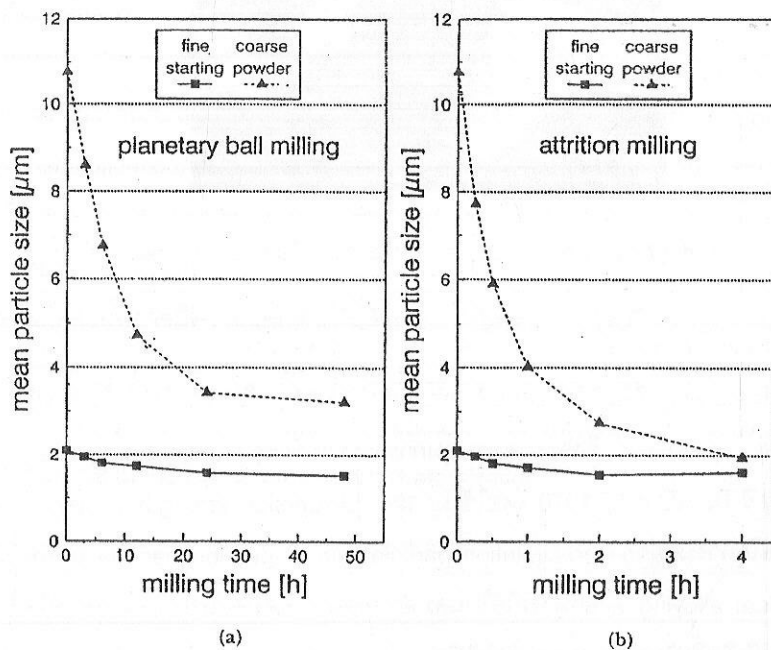


ภาพ 2.4 เครื่อง planetary mill

Attritor milling คือการบดอีกชุดแบบหนึ่งโดยลูกบดและวัตถุติดจะลูกบดด้วยแขนกวนซึ่งจะการดูดในความเร็วระดับ 100-300 รอบต่อนาที หรืออาจสูงถึง 2000 รอบต่อนาทีในเครื่องขนาดเล็ก ซึ่งแขนกวนที่ก้าวไปจะทำให้เกิดแรงเฉือนกับวัสดุและทำให้เกิดซ่องว่าง และเมื่อแขนกวนผ่านไปจะทำให้ลูกบดตกลงมากระแทกวัตถุติดทำให้เกิดการบดขึ้น โดยทั่วไปถังบดจะมีระบบหล่อเย็นเนื่องจากความร้อนที่เกิดขึ้นจากการบดสูงมาก กระบวนการการบดนี้อาจทำแบบแห้งหรือเปียกได้ ลูกบดมักจะมีขนาดค่อนข้างเล็กกว่า ball milling (ประมาณ 0.5-2 mm) ข้อดีของการบดด้วยวิธีนี้คือใช้เวลาอย่างน้อยและได้ผงโลหะขนาดเล็กกว่า แต่ว่าจะต้องผลิตจะน้อยกว่า ball milling เนื่องจากเป็นกระบวนการแบบ batch เมื่อเปรียบเทียบเวลาที่ใช้ในการบดระหว่าง planetary milling และ attritor milling จะพบว่า attritor milling จะใช้เวลาอย่างกว่า ดังภาพ 2.6

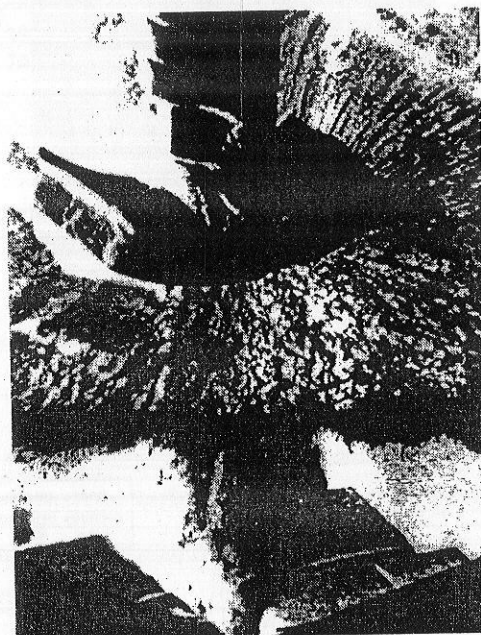


ภาพ 2.5 เครื่อง attritor milling

ภาพ 2.6 เมริยบเทียบเวลาในการบดผง TiB_2 ระหว่าง (a) Planetary milling (b) Attritor milling เพื่อให้ได้ขนาดผงเท่ากัน

2.1.3 Cold Steam Process

ในกระบวนการนี้อนุภาคขนาดใหญ่ (ประมาณ 2 mm) จะถูกนำพาด้วยก๊าซที่มีความเร็วและแรงดันสูงไปกระทบตัวเป็นรูปซึ่งทำจากวัสดุที่มีความสามารถด้านทานการสึกหรอสูงเป็นพิเศษ โดยทั่วไปแล้วความดันที่ใช้จะมีค่าประมาณ 70 bar และความเร็วของก๊าซอาจสูงถึง 1 Mach หรือสูงกว่า และเนื่องจากการลดลงของความดันอย่างมากในขณะที่ผ่านโลหะถูกพ่นไปกระทบเป้าทำให้เกิดการเย็นตัวอย่างรวดเร็ว ซึ่งจะทำให้ถ่องดูลักษณะร้อนที่เกิดขึ้นจากการกระทบของอนุภาค อีกทั้งก่อนการชนอนุภาคจะมีอุณหภูมิต่ำมากจึงทำให้เกิดการแตกแบบเปราะ ผลิตโลหะที่ได้ถ้ามีความละเอียดตามต้องการแล้วก็จะถูกนำไปเก็บ แต่ถ้ายังมีขนาดใหญ่เกินความต้องการ ก็จะถูกนำกลับไปทำซ้ำอีกครั้ง ก๊าซที่ใช้ในการพ่นนิยมใช้ก๊าซ Ar ด้วยวิธีการนี้ทำให้ได้ผลิตโลหะที่มีขนาดเล็กในระดับไมโครนและมีปริมาณ oxygen น้อย oxide ที่เกิดขึ้นสามารถกำจัดได้ง่าย แต่เนื่องจากค่าใช้จ่ายในกระบวนการนี้ค่อนข้างสูงจึงเหมาะสมที่จะใช้ผลิตผงโลหะที่มีราคาจำหน่ายแพงเท่านั้น เช่น superalloys, cemented carbides เป็นต้น

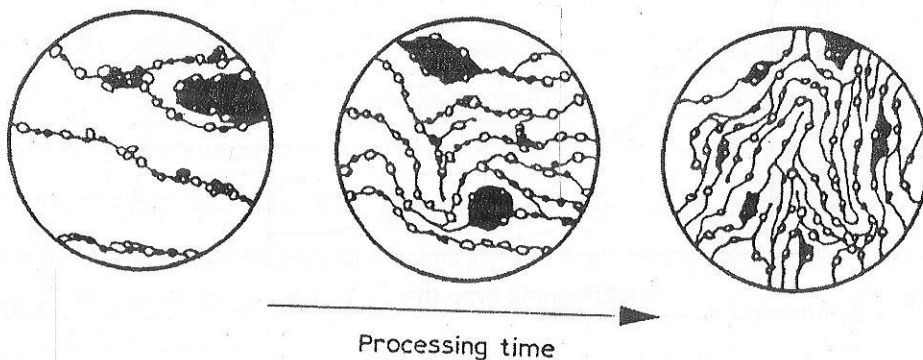


ภาพ 2.7 cold stream process ภาพขณะการชนใน blast chamber

2.1.4 Mechanical Alloying

Mechanical Alloying ก็คือการประยุกต์กระบวนการ milling โดยมีพัลส์งานในการบดสูงกว่าสำหรับการผลิต composite materials ซึ่งจะช่วยควบคุมการกระจายตัวของ second phase กระบวนการผลิต mechanical alloying ริเริ่มในปี ค.ศ. 1970 โดยใช้ในการทำ dispersion strengthen alloys โดยทำให้โลหะผสมแข็งแรงขึ้นด้วยกลไกการมีอู่ของ precipitation particle และ dispersion particle นอกจากกระบวนการทางกลแล้ว mechanical alloying ยังสามารถใช้ในผสมส่วนผสมทางเคมีลงในโลหะผสมที่ได้ด้วย เนื่องจากความร้อนและพลังงานที่เกิดขึ้นในกระบวนการทำให้เกิด solid state alloying โดยอาศัยหลักการแพร่ ดังนั้นในบางครั้ง mechanical alloying จึงถูกเรียกว่า "Reaction milling"

กระบวนการ Mechanical alloying ทำโดยการ milling ของผงสมเป็นระยะเวลางาน โดยของผงสมประกอบไปด้วยส่วนประกอบหลักซึ่งมีความหนาแน่น (Matrix) และส่วนประกอบเสริมที่ใช้เพิ่มสมบัติทางกล (Reinforcement) ดังนั้นสิ่งที่เกิดขึ้นขณะ milling คือ matrix และ reinforcement จะถูกบดโดยถูกบด matrix จะถูกทำให้เกิด plastic deformation จนเกิดการแตก, agglomeration และ deagglomeration ซึ่งไปมา ในขณะที่ reinforcement จะเกิดการเปลี่ยนแปลงทั้งหมด 3 ขั้นตอนคือ mini-forging ในขั้นตอนนี้ reinforcement จะถูกบดทำให้เกิด plastic deformation เล็กน้อย ต่อมาจะถูกบดจนมีลักษณะเป็น lamellar และจะถูกทำให้มีความละเอียดมากขึ้นในขั้นตอนสุดท้าย ภาพ 2.8 แสดงภาพจำลองโครงสร้างจุลภาคที่เกิดขึ้นในกระบวนการ Mechanical Alloying โดยหากผงโลหะมีความละเอียดค่อนข้างสูงเมื่อทำ mechanical alloying แล้วในขั้นต้นขนาดของผงโลหะจะใหญ่ขึ้นในช่วงแรกและเล็กลงเมื่อเข้าสู่สมดุลระหว่าง agglomeration-deagglomeration ภาพ 2.9 แสดงขนาดผงโลหะเฉลี่ยเมื่อทำ mechanical alloying เทียบกับเวลาในการทำ composite Fe - 10vol%NbC

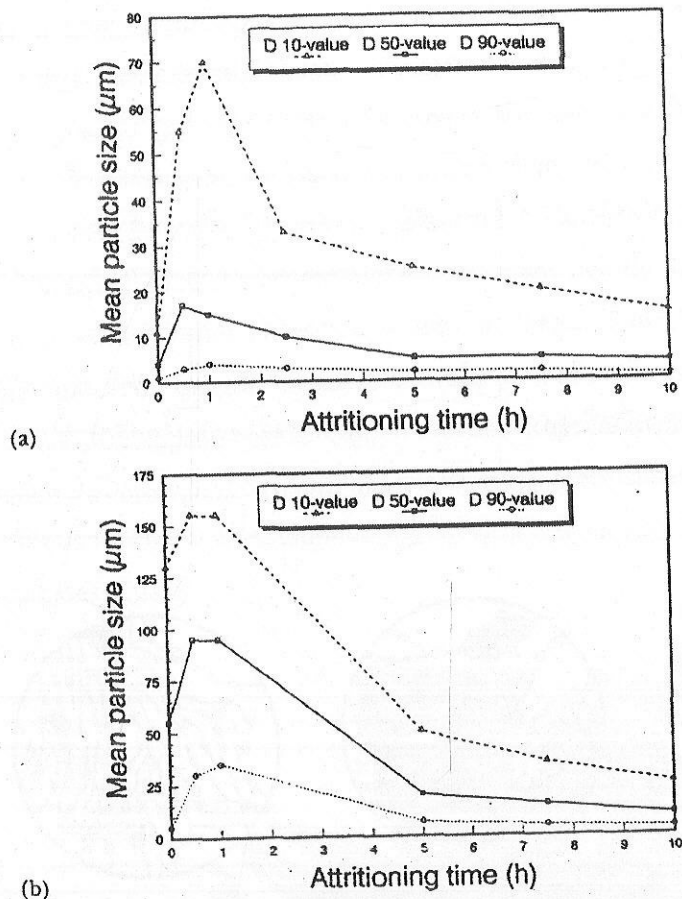


ภาพ 2.8 ภาพจำลองโครงสร้างจุลภาคที่เกิดขึ้นในกระบวนการ Mechanical Alloying

2.1.5 Atomization

กระบวนการ atomization มีความสำคัญที่สุดในการผลิตผงโลหะ โดยทั่วไปแล้วกระบวนการ atomization สามารถแบ่งได้เป็น 3 ขั้นตอนได้แก่ การหลอม (melting), การเกิดอนุภาค (atomization) และการแข็งตัวและเย็นตัว (solidification and cooling) นอกจาก 3 ขั้นตอนนี้ กระบวนการผลิตในทางปฏิบัติอาจประกอบด้วยขั้นตอนอื่นเช่นอยู่กับลักษณะของผงโลหะที่ต้องการ เช่น การลด oxide film, การคัดขนาด, การกำจัดสิ่งปนเปื้อน เป็นต้น

ในขั้นตอนแต่ละนั้นอาจมีความแตกต่างกันด้านตัวแปรได้ เช่น การใช้หรือไม่ใช้เบ้าหลอม, ประเภทของแหล่งกำเนิดความร้อนที่ใช้ในการหลอม, วิธีการทำให้โลหะแตกตัวเป็นอนุภาค เป็นต้น จึงทำให้กระบวนการ atomization มีความหลากหลายมาก many ขั้นอยู่กับการออกแบบกระบวนการและลักษณะของผงโลหะที่ต้องการ ตาราง 2.1 แสดงตัวแปรของแต่ละขั้นตอนในกระบวนการ atomization



ภาพ 2.9 ขนาดผงโลหะเคลือบเมื่อทำ mechanical alloying เทียบกับเวลาในการทำ composite Fe - 10vol%NbC

- (a) Carbonyl powder
- (b) Water atomization powder

ตาราง 2.1 ตัวแปรของแต่ละขั้นตอนในกระบวนการ atomization

Melting		Melt disintegration		Solidification & Cooling
Crucibles & Liners	Heating source	Melt volume	Energy input	Heat transfer
With	Induction	Melt stream	Liquid/gas stream	Radiation
	Arc	Melt film	Rotational energy	Convection
	Plasma	Melt droplet	Gas supersaturation	conduction
	Electron beam		Ultrasonic vibration Mechanical impact Hydrostatic pressure	

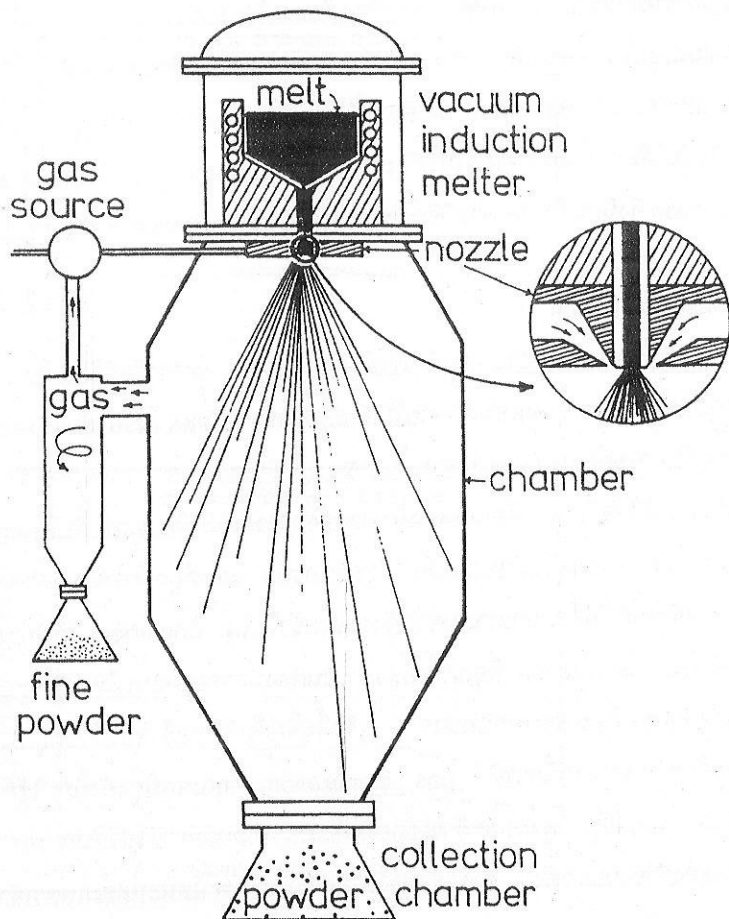
ในขั้นตอนการหล่อหลอม เนื่องจากที่สำคัญที่สุดคือการใช้หรือไม่ใช้ crucible เนื่องจาก crucible เป็นแหล่งที่มาของการปูนเป็นอิฐที่ได้มากที่สุด ในขั้นตอนการแข็งตัวและเย็นตัว อัตราการเย็นตัวเป็นตัวแปรที่ควบคุมขนาดและโครงสร้างจุลภาคของผงโลหะที่ได้ โดย undercooling ที่มากขึ้นมีส่วนทำให้การ nucleation เกิดขึ้นได้มากขึ้นและส่งผลให้ได้ผงที่มีความละเอียดกว่า ดังนั้นในการจำแนกประเภทของกระบวนการ atomization จึงนิยมจำแนกตามวิธีการทำให้โลหะหลอมเหลวแตกตัว (melt disintegration)

2.1.4.1 Gas Atomization

gas atomization ทำโดยการใช้ก๊าซเป็นตัวทำให้โลหะหลอมเหลวเกิดการแตกตัว โดยอาศัยใช้ก๊าซ Ar, Ni หรือ He ในขั้นตอนแรกโลหะจะถูกหลอมตัวภายในตัวและถูกทำให้หล่นช่องด้วยแรง capillary force หรือแรงในมั่นคงตัวของก๊อกแบบ หลังจากนั้นก๊าซจะถูกพ่นออกจาก nozzle โดยอาศัยหลักการการเปลี่ยนแปลงความดันทำให้ก๊าซมีการเปลี่ยนแปลงปริมาตรอย่างรวดเร็ว เมื่อกระแทกกับโลหะหลอมเหลวจะทำให้โลหะหลอมเหลวเกิดการแตกตัวออกในลักษณะเดียวกับลักษณะของน้ำ โลหะที่ถูกทำให้แตกตัวจะเกิดการแข็งตัวและเย็นตัวอย่างรวดเร็ว หลังจากนั้นก๊าซแรงดันจากก๊าซผลักเข้าไปใน chamber เพื่อนำไปเก็บและคัดขนาดต่อไป สำหรับการทำ gas atomization ที่อุณหภูมิสูงจำเป็นต้องมีการออกแบบให้ chamber มีระหัสห่างมาก พอน้ำจะทำให้โลหะแข็งตัวก่อนที่จะกระทบกับผนัง ซึ่งขึ้นอยู่กับความเร็วของก๊าซที่ถูกพ่นออกมาระหว่างความถ่วงจำเพาะของโลหะด้วย นอกจากนี้การทำ gas atomization ที่อุณหภูมิสูงยังนิยมใช้ก๊าซเชื้อเพลิงเนื่องจากที่อุณหภูมิสูงมีโอกาสเกิด oxidation สูง และก๊าซเชื้อเพลิงมีน้ำหนักมาก ดังนั้นในการออกแบบหัวไประจีนนิยมออกแบบแนวการไหลของก๊าซในแนวตั้ง ซึ่งอาศัยแรงโน้มถ่วงในการพาโลหะหลอมเหลวเข้าสูบริเวณที่เกิดการขยายตัวของก๊าซ ภาพ 2.10 แสดงแผนภาพของกระบวนการ gas atomization แบบแนวตั้ง โลหะหลอมเหลวจะถูก superheat ให้มีอุณหภูมิสูงกว่า liquidus temperature โดยอุณหภูมิจะเป็นตัวกำหนดอัตราในการหล่อเนื่องจากความหนืด (viscosity) ขึ้นอยู่กับอุณหภูมิเป็นหลัก

การทำ gas atomization ที่อุณหภูมิต่ำนิยมทางทิศทางการไหลตัวของก๊าซในแนวอนตั้งแสดงในภาพ 2.11 ก๊าซที่มีความเร็วสูงจะถูกพ่นออกจาก nozzle ผลักโลหะหลอมเหลวออกไปยังบริเวณที่ก๊าซเกิดการขยายตัวและทำให้เกิดแรงดึงโลหะหลอมเหลวส่วนถัดไปขึ้นมาตามท่อ โดยมีหลักการเดียวกันกับ “กลั้กน้ำ” (Siphon)

การออกแบบ nozzle สามารถทำได้หลายแบบดังต่อไปนี้ nozzle จำนวนหลาย nozzle เรียงตัวโดยรอบลักษณะโลหะ หรืออาจจะเป็น nozzle แบบกลมก็ได้ สำหรับ gas atomization แบบแนวอนตั้งปลาย chamber จะมีตัวรองผงโลหะออกจากก๊าซก่อนที่จะหมุนก๊าซกลับมาใช้ใหม่เพื่อป้องกันความเสียหายจากการที่ผงโลหะเข้าไปในระบบการไหลเวียนของก๊าซ สำหรับ gas atomization แบบแนวตั้งจะมีการติดตั้ง cyclone เพื่อคัดแยกผงโลหะออกจากก๊าซ เช่นกัน



ภาพ 2.10 แสดงแผนภาพของกระบวนการ gas atomization แบบแนวตั้ง

Gas atomization สามารถทำได้โดยการใช้ก๊าซเชือยได้ตลอดทั้งกระบวนการ รูปร่างของผงโลหะที่ได้จะมีลักษณะค่อนข้างกลม โดยมีการกระจายตัวของขนาดค่อนข้างกว้าง ด้วยการของกระบวนการ gas atomization ได้แก่ ชนิดของก๊าซ อัตราการไหลของโลหะหลอมเหลว ชนิดของโลหะ รูปร่างของ nozzle ความเร็ว แรงดัน อุณหภูมิก๊าซ มุกกระทำระหว่างก๊าซและโลหะหลอมเหลว อุณหภูมิและความหนืดของโลหะหลอมเหลว เป็นต้น ตัวอย่างค่าของตัวแปรในกระบวนการ gas atomization เช่น

$$\text{Gas} = \text{Ar}$$

$$\text{แรงดัน} = 2 \text{ MPa}$$

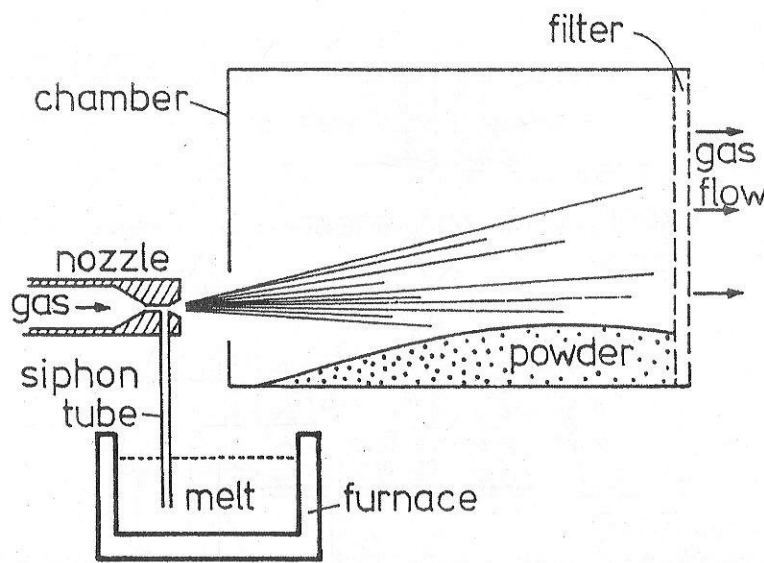
$$\text{ความเร็วของก๊าซ} = 100 \text{ m/s}$$

$$\text{Melt superheat} = 150^\circ\text{C}$$

$$\text{มุกกระทำระหว่างก๊าซและโลหะหลอมเหลว} = 40 \text{ องศา}$$

$$\text{อัตราถ่ายเทโลหะหลอมเหลว} = 20 \text{ kg/min}$$

$$\text{ขนาดเฉลี่ยของผงโลหะที่ได้} = 120 \mu\text{m}$$

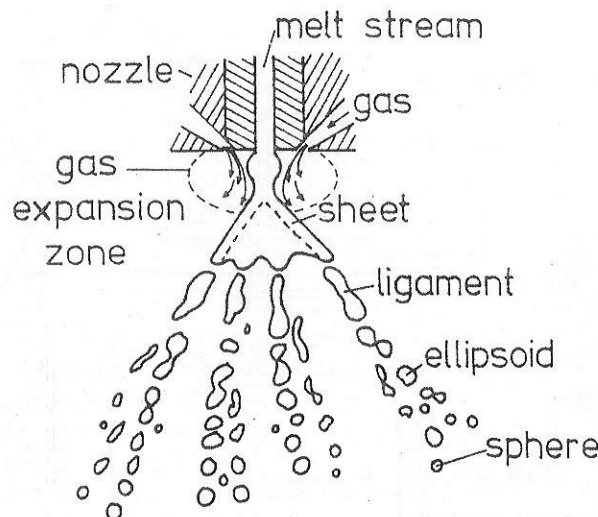


ภาพ 2.11 แผนภาพของกระบวนการ gas atomization แบบแนวอนุ

ในการกระบวนการ gas atomization ยิ่งพลังงานที่ป้อนเข้าสู่โลหะหลอมเหลวสูงขนาดผงโลหะที่ได้ก็จะมีความละเอียดมากขึ้น ประสิทธิภาพของกระบวนการ atomization สูงกว่ากระบวนการ milling แต่ยังคงต่ำกว่า 1% เมื่อโลหะหลอมเหลวสัมผัสกับก๊าซ ก๊าซที่เกิดการขยายตัวอันเนื่องมาจากการระเหยที่ต่างกันระหว่างภายในและภายนอก nozzle จะทำให้ interface ระหว่างก๊าซและโลหะหลอมเหลวถูกกระบวนการและทำให้เกิดการเปลี่ยนรูปร่างจากทรงกระบอกเป็นรูปกรวย โดยสมมุติให้ superheat มีมากพอที่จะทำให้ไม่เกิดการแข็งตัวของโลหะก่อน เมื่อโลหะหลอมเหลวห่างจากปาก nozzle มากขึ้นจะเปลี่ยนทรงเป็นแบบเส้นเนื่องจากทรงกรวยมีพื้นที่ผิวต่อปริมาตรมากกว่า และจะเปลี่ยนเป็นทรงรีและทรงกลมเพื่อลดพื้นที่ผิวต่อปริมาตรตามลำดับ ขนาดและรูปร่างของผงโลหะที่ได้จะขึ้นอยู่กับ superheat เป็นหลัก โดยขึ้นอยู่กับตัวแปรอื่น ๆ ที่ได้แก่ ทรงกระบอก – ทรงกรวย – เส้น – ทรงรี – ทรงกลม ภาพ 2.12 แสดงแบบจำลองรูปร่างของโลหะหลอมเหลวจากการ disintegration โดยก๊าซของโลหะหลอมเหลว

โดยหากโลหะเกิดการแข็งตัวในช่วงที่มีรูปร่างแบบใดก็มีแนวโน้มที่จะได้ผงโลหะรูปทรงเทenze้นนั้น ความเร็วและแรงดันของก๊าซที่มากเกินไปจะทำให้เกิด turbulent flow ซึ่งจะทำให้เกิด agglomeration ด้วย เช่นกัน ดังนั้นการควบคุมตัวแปรต่าง ๆ ก็จะทำให้ได้รูปร่างของผงโลหะตามต้องการ

อิทธิพลของตัวแปรของกระบวนการพิจารณาการป้อนพลังงานเข้าสู่ระบบ โดยถ้าสมมุติให้ระบบคือ บริเวณที่เกิดการ disintegration ของโลหะหลอมเหลว ความเร็วของก๊าซที่สูงขึ้นก็จะทำให้พลังงานที่ป้อนเข้าสู่ระบบสูงขึ้นด้วยเช่นกันทำให้ได้ผงโลหะที่มีความละเอียด อุณหภูมิหลอมที่สูงหรือ degree of superheat ที่มากกว่าจะทำให้โลหะหลอมเหลวมีความหนืดแน่นกว่า ซึ่งยิ่งอุณหภูมิหลอมสูงก็หมายถึงพลังงานที่ป้อนเข้าสู่ระบบสูงขึ้นด้วยเช่นกันซึ่งก็มีส่วนทำให้ได้ผงโลหะที่ละเอียดขึ้น



ภาพ 2.12 แสดงแบบจำลองรูป่างของโลหะหลอมเหลวจากการ disintegration โดยกําชีช่องโลหะหลอมเหลว

สูตร Empirical สำหรับคำนวณขนาดของผงโลหะที่ได้จากการกระบวนการ gas atomization ได้แก่

$$d_D = Cd_s \sqrt{\frac{v_s \gamma_s}{v_G v_G \rho_s d_s}} \sqrt{(1 + \frac{q_s}{q_G})}$$

เมื่อ d_D คือเส้นผ่าศูนย์กลางเฉลี่ยของผงโลหะ

d_s คือเส้นผ่าศูนย์กลางของโลหะหลอมเหลว

ρ_s คือความถ่วงจำเพาะของโลหะหลอมเหลว

γ_s คือแรงตึงผิวของโลหะหลอมเหลว

v_G คือความเร็วของกําชี

v_G คือความหนืดของกําชี

v_s คือความหนืดของโลหะหลอมเหลว

q_s คืออัตราการไหลดของโลหะหลอมเหลว

q_G คืออัตราการไหลดของกําชี

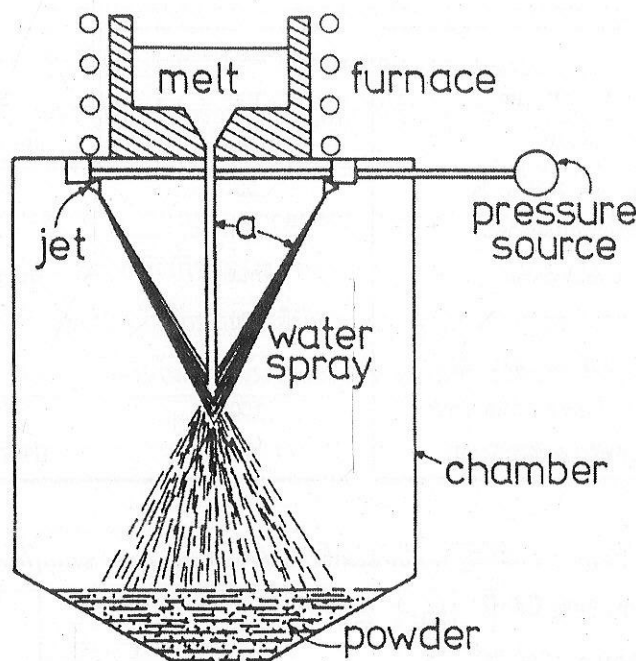
C คือค่าคงที่ของ nozzle ขึ้นอยู่กับรูปแบบ, การวางแผนและมุมที่กระทำต่อโลหะหลอมเหลว

โดยทั่วไปเส้นผ่าศูนย์กลางเฉลี่ยของผงโลหะที่ได้จากการกระบวนการ gas atomization จะมีขนาดประมาณ 50-300 μm

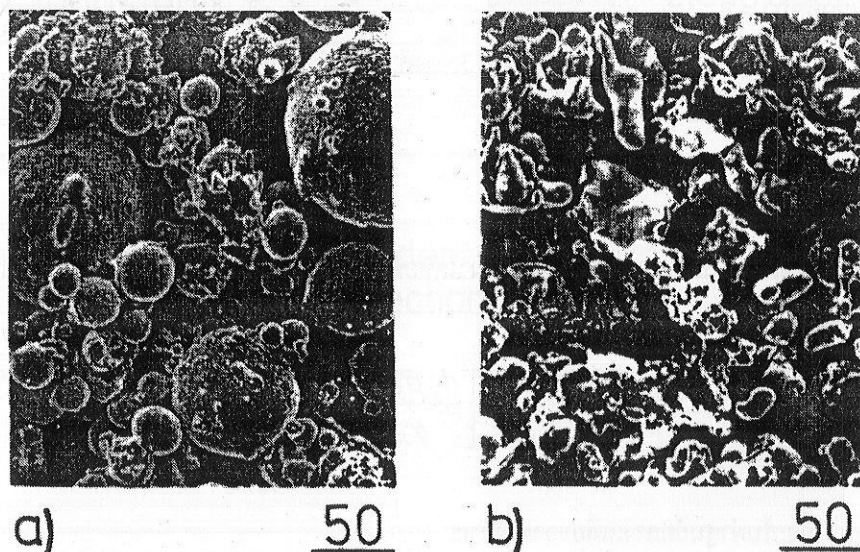
2.1.4.2 Water Atomization

water atomization เป็นกระบวนการ atomization ที่นิยมที่สุดสำหรับผลิตผงโลหะบริสุทธิ์ที่มีจุดหลอมตัวต่ำกว่า 1600°C ภาพ 2.13 แสดงแผนผังของการกระบวนการ water atomization ซึ่งมีหลักการคล้ายกับ gas atomization แต่ใช้น้ำในการทำให้เกิดการ disintegration ของโลหะหลอมเหลวแทนที่ gas ในกระบวนการ gas

atomization ซึ่งให้อัตราการเย็นตัวที่สูงกว่า gas atomization สำหรับหัวฉีดน้ำอาจมีเพียงหัวฉีดเดียวหรือหลายหัวฉีดก็ได้ น้ำจะถูกฉีดเข้าสู่โลหะหลอมเหลวโดยตรงและทำให้เกิด disintegration ด้วยแรงดันของน้ำ ทำให้เกิดการเย็นตัวอย่างรวดเร็ว จึงได้ผงโลหะที่มีรูปร่างแบบ irregular มากกว่าที่จาก gas atomization และผิวของผงโลหะจะมีความขรุขระกว่า รวมทั้งอาจมีการเกิด oxidation ขึ้นได้บ้าง ภาพ 2.14 แสดงการเปรียบเทียบรูปร่างของผงโลหะที่ได้จาก a) gas atomization b) water atomization ของ stainless steel



ภาพ 2.13 แผนผังของกระบวนการ water atomization



ภาพ 2.14 เปรียบเทียบรูปร่างของผงโลหะที่ได้จากการ(atomization

a) gas atomization b) water atomization ของ stainless steel

การที่ water atomization มีอัตราการเย็นตัวที่เร็วกว่า gas atomization ทำให้โลหะมีเวลาในการแข็งตัวน้อยกว่าทำให้ microsegregation เกิดขึ้นอย่างจำกัด ซึ่งส่งผลให้ผงโลหะที่ได้มีส่วนผสมทางเคมีค่อนข้างสม่ำเสมอ การเปลี่ยนของเหลวจากน้ำเป็นน้ำมันมีส่วนช่วยในการควบคุมรูปร่างของผงโลหะที่ได้แลงยังช่วยป้องกันการ oxidation ตาราง 2.2 เปรียบเทียบค่าของตัวแปรในกระบวนการ water atomization และ gas atomization

ตาราง 2.2 เปรียบเทียบค่าของตัวแปรในกระบวนการ water atomization และ gas atomization

	Gas Atomization	Water Atomization
ขนาดผงโลหะ, μm	100	150
รูปร่างผงโลหะ	ทรงกลม	irregular
apparent density, %	55	35
อัตราการเย็นตัว, K/s	104	105
microsegregation	เล็กน้อย	น้อยมาก
oxidation, ppm	120	300
แรงดันของของเหลว, MPa	3	14
ความเร็วของของเหลว, m/s	100	100
ประสิทธิภาพเชิงพลังงาน	ต่ำ	ปานกลาง

ตัวอย่างค่าของตัวแปรในกระบวนการ water atomization ของ stainless steel ที่ทำให้ได้ผงโลหะที่มีขนาดเล็กกว่า 100 mesh จำนวน 38% มีดังนี้

$$\text{อุณหภูมิหลอม} = 1510^\circ\text{C}$$

$$\text{ขนาด nozzle ของโลหะหลอมเหลว} = 6 \text{ mm}$$

$$\text{อัตราการไอล์ของโลหะหลอมเหลว} = 22 \text{ kg/min}$$

$$\text{จำนวนหัวสีด้น้ำ} = 8$$

$$\text{มุมกระทำระหว่างน้ำและโลหะหลอมเหลว} = 38 \text{ องศา}$$

$$\text{แรงดันของน้ำ} = 9 \text{ MPa}$$

$$\text{อัตราการไอล์ของน้ำ} = 200 \text{ l/min}$$

$$\text{ความเร็วของน้ำที่ nozzle} = 110 \text{ m/s}$$

สูตร Empirical สำหรับคำนวณขนาดของผงโลหะที่ได้จากการกระบวนการ atomization ได้แก่

$$d_D = d_s \left[\frac{d_s \rho_s v_s}{v_s} \right]^{-0.57} \left[\frac{d_s \rho_s v_s}{\gamma_s} \right]^{-0.22} \left[\frac{q_s}{q_w} \right]^{-0.043}$$

เมื่อ d_D คือเส้นผ่าศูนย์กลางเฉลี่ยของผงโลหะ

d_s คือเส้นผ่าศูนย์กลางของโลหะหลอมเหลว

ρ_s คือความถ่วงจำเพาะของโลหะหลอมเหลว

γ_s คือแรงตึงผิวของโลหะหลอมเหลว

v_s คือความเร็วของโลหะหลอมเหลว

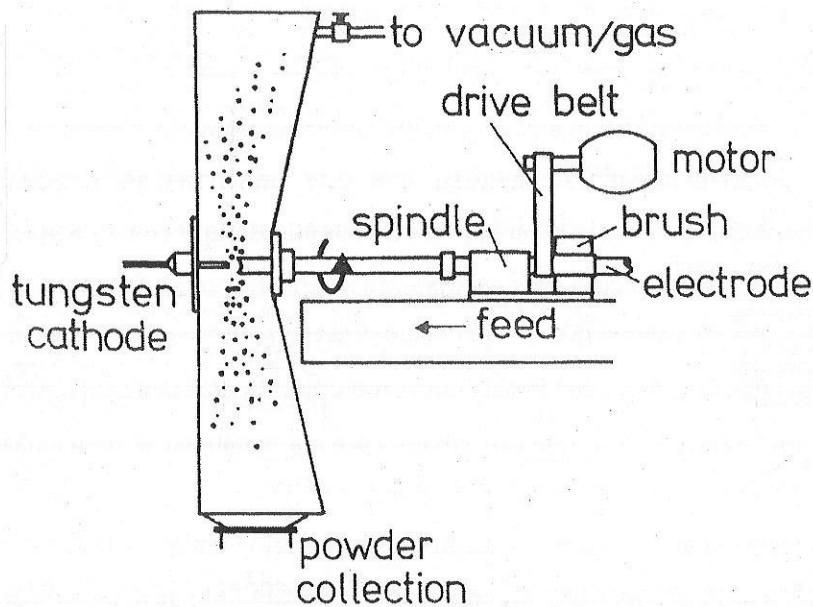
v_s' คือความหนึ่ดของโลหะหลอมเหลว

q_s คืออัตราการให้ลงของโลหะหลอมเหลว

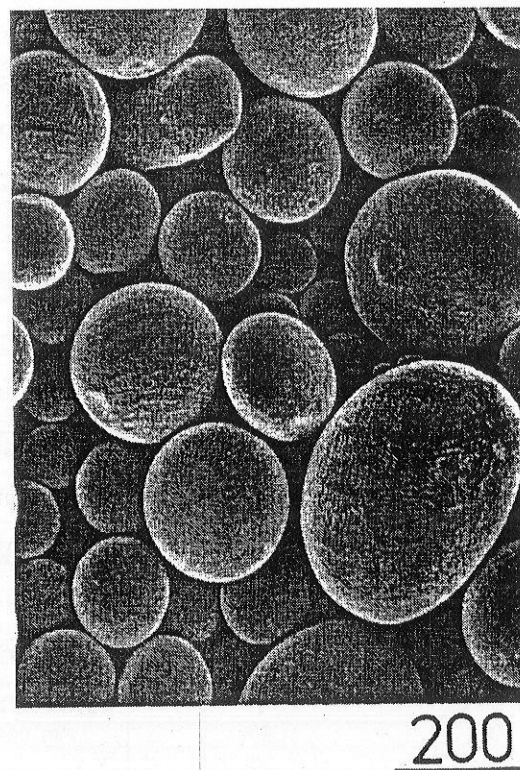
q_w คืออัตราการให้ลงน้ำ

2.1.4.3 Centrifugal Atomization

เนื่องจากความต้องการที่จะควบคุมรูปร่างของผงโลหะและความยุ่งยากของการป่นเปื้อนในการผลิตผงโลหะที่ oxidation ได้ง่าย เช่น Ti เป็นต้น จึงได้มีการคิดค้นวิธีการ atomization โดยอาศัยแรงเหวี่ยง ยกตัวอย่าง เช่น ในภาพ 2.15 electrode ถูกให้แรงเหวี่ยงไปพร้อม ๆ กับถูกทำให้เปลี่ยนเป็นโลหะหลอมเหลวด้วยความต่างศักย์ เมื่อแท่ง electrode ถูกเหวี่ยงโลหะหลอมเหลวจะถูกเหวี่ยงออกไปโดยรอบและแข็งตัวขณะที่ยังไม่ชนกับผนังแล้วจึงร่วงลงตามแรงน้ำมันถังเก็บ ภายใน chamber จะถูกทำให้เป็นสุญญากาศหรือภายใต้บรรยากาศของก๊าซเชื่อมเพื่อป้องกันการเกิด oxidation วิธีนี้ใช้อย่างแพร่หลายในการผลิตผง Zr, Ti และ superalloys ภาพ 2.16 เป็นภาพถ่าย SEM ซึ่งแสดงให้เห็นลักษณะผงที่มีความกลมมากที่ได้จากการ centrifugal atomization ของ maraging steel ความเร็วในการหมุน electrode อยู่ในช่วงระหว่าง 20000 – 50000 RPM (รอบต่อนาที)



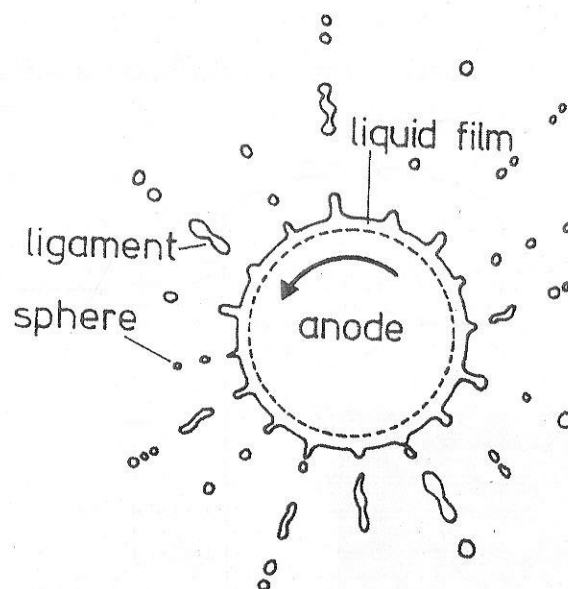
ภาพ 2.15 แผนผังแสดงส่วนประกอบของ centrifugal atomization แบบ electrode



ภาพ 2.16 ภาพถ่าย SEM ซึ่งแสดงให้เห็นลักษณะของผงที่มีความกลมมากที่ได้จากการน้ำดูด centrifugal atomization ของ maraging steel (สเกลได้ภาพเท่ากัน $200 \mu\text{m}$)

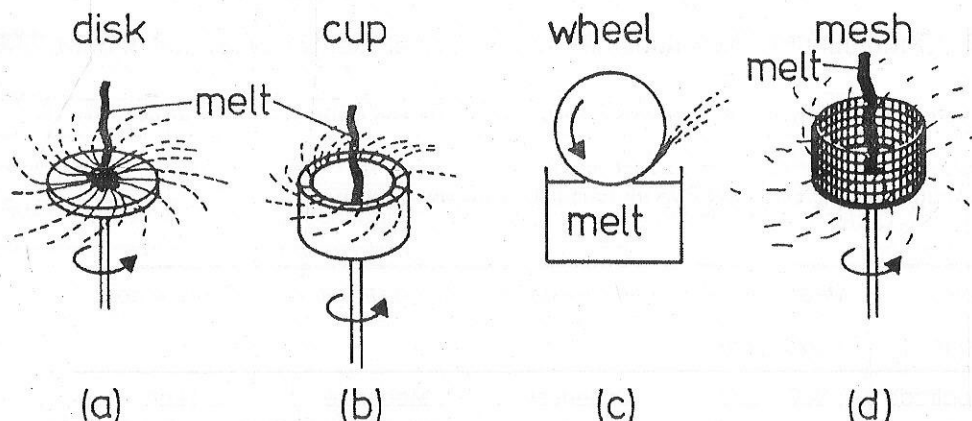
เมื่อ Anode หมุนในขณะที่ปลาย anode ถูกทำให้เป็นโลหะหลอมเหลว โลหะหลอมเหลวจะหลุดออกจากปลาย anode ด้วยแรงเหวี่ยงซึ่งทำให้เกิดแรงฉีด ภาพ 2.17 แสดงภาพจำลองการเคลื่อนที่ของโลหะหลอมเหลวในมุมมองเมื่อเรามองเข้ามาปลาย anode เมื่อโลหะหลอมเหลวหลุดออกจากปลาย anode จะมีรูปร่างแบบ ligament หรือเป็นเส้น และเมื่อ ligament เคลื่อนที่ห่างออกจาก anode แล้วจะแตกตัวออกเป็นหยดทรงกลมเนื่องจากการลดพื้นที่ผิวเพื่อลดพลังงานพื้นผิว งดโลหะที่ได้จากการ centrifugal atomization แบบนี้มักจะมีรูปร่างเป็นทรงกลม อย่างไรก็ได้ก็มี superheat "ไม่เพียงพอจะทำให้โลหะแข็งตัวก่อนตั้งแต่ในช่วงที่ยังเป็น ligament ซึ่งจะทำให้ผงโลหะมีรูปร่างแบบเส้น ในทางตรงกันข้ามหากมี superheat มากเกินไปก็จะทำให้โลหะหลอมเหลวกระแทกกับผนัง chamber ก่อนที่จะแข็งตัวทำให้เสียรูปร่างไป"

ข้อดีของ centrifugal atomization แบบนี้คือได้ผงโลหะที่มีความละเอียดสูงมากและมีขนาดเฉลี่ยค่อนข้างแคบ กล่าวคือผงโลหะมีขนาดค่อนข้างสม่ำเสมอ แต่ข้อด้อยของวิธีนี้ก็คือกำลังการผลิตที่ต่ำมาก รวมทั้งอุปกรณ์มีราคาแพงและได้ขนาดผงโลหะที่ค่อนข้างใหญ่มากเทียบกับ water atomization คือโดยทั่วไปมีขนาดประมาณ $200 \mu\text{m}$



ภาพ 2.17 ภาพจำลองการเคลื่อนที่ของโลหะหลอมเหลวใน centrifugal atomization แบบ electrode

นอกจาก centrifugal atomization แบบ electrode ยังมีอีกหลายแบบซึ่งอาศัยแรงเหวี่ยงในการทำให้เกิด disintegration โดยการทำให้โลหะหลอมเหลวด้วยวิธีการภายนอก ยกตัวอย่างดังภาพ 2.18 เช่นให้โลหะหลอมเหลวในลอดลงสู่แผ่นจาน, ถ้วย, วงล้อ, หรือตะแกรงที่กำลังหมุนด้วยความเร็วสูงตั้งแต่ 400 – 20000 RPM เส้นผ่าศูนย์กลางของจานมีตั้งแต่ 2 ถึง 8 cm ผงโลหะที่ได้จากการเหล่านี้มีลักษณะใกล้เคียงกับที่ได้จาก electrode centrifugal atomization ดังที่ได้กล่าวมาแล้ว

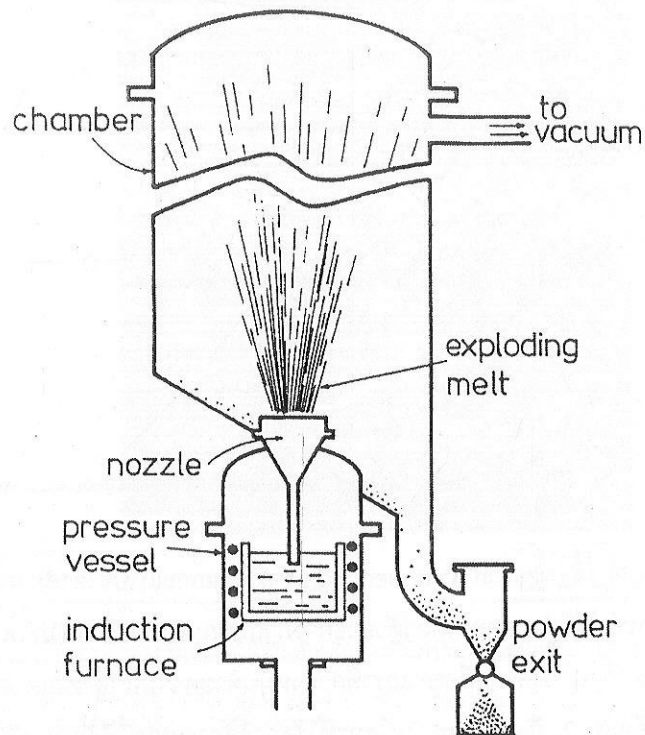


ภาพ 2.18 Centrifugal Atomization แบบต่าง ๆ

2.1.4.4 Melt Explosion Atomization

ภาพ 2.19 แสดงแผนภาพการทำงานของ melt explosion atomization ซึ่งอาศัยหลักการความแตกต่างของแรงดันของก๊าซ H โดยโลหะหลอมเหลวที่มีความอิ่มตัวของก๊าซ H อย่างยิ่งจะถูกนำเข้าสู่ nozzle โดยหลักการเดียวกับการฉีดน้ำ เมื่อโลหะหลอมเหลวเดินทางมาถึง nozzle จะมีความแตกต่างระหว่างแรงดันของ

ก๊าซ H อย่างมากเนื่องจากใน chamber จะถูกทำให้เป็นสุญญากาศ ทำให้น้ำโลหะเกิดการระเบิดขึ้น ทำให้เกิดการ disintegration และเมื่อโลหะหลอมเหลวแข็งตัวก็จะร่วงลงมาอย่างบริเวณด้านล่างเข้าสู่ถังเก็บต่อไป



ภาพ 2.19 แสดงแผนภาพการทำงานของ melt explosion atomization

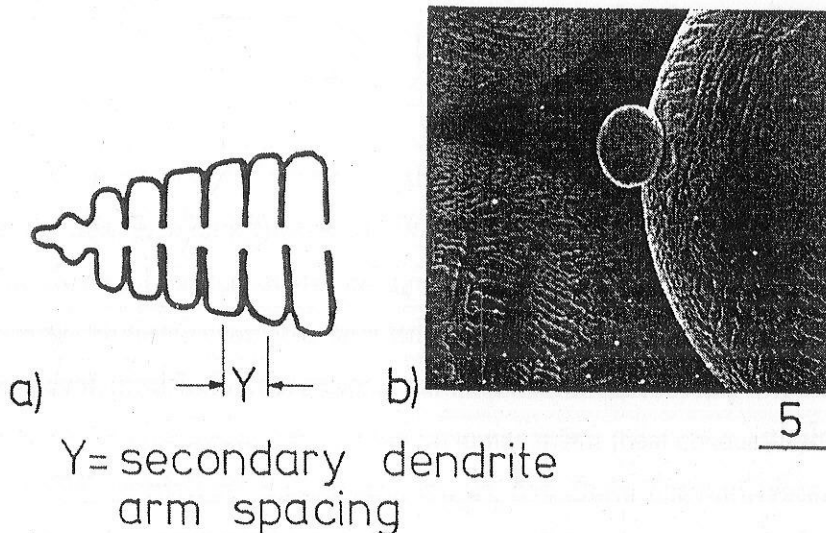
เมื่อเปรียบเทียบลักษณะของผงโลหะที่ได้จากการกระบวนการ atomization แต่ละแบบสามารถสรุปได้ดัง

ตาราง 2.3

ตาราง 2.3 เปรียบเทียบลักษณะของผงโลหะที่ได้จากการกระบวนการ atomization แต่ละแบบ

Atomization technique	Mean Particle size (μm)	Particle shape	Size distribution	Relative cost
Rotating electrode	200 – 600	Spherical	Moderate	High
Rotating disc	100 – 300	Spherical	Narrow	Moderate
Rotating crucible	200 – 1000	Ligament	Narrow	Low
Roller	200 – 300	Flake	Narrow	High
Water	200 – 800	Irregular	Wide	Low
Gas	100 – 300	Rounded	Moderate	Moderate
Melt explosion	200 – 500	Spherical	Moderate	moderate

เนื่องจากในกระบวนการการ atomization ทุกแบบเกี่ยวข้องกับการเย็นตัวอย่างรวดเร็วของโลหะ หลอมเหลว การเย็นตัวอย่างรวดเร็วนี้มีชื่อเรียกว่า "Rapid solidification" อัตราการเย็นตัวในกระบวนการการ atomization อยู่ในช่วงประมาณมากกว่า 10^6 K/s อัตราการเย็นตัวที่สูงขึ้นทำให้ได้ secondary dendrite arm spacing (Y) ที่เล็กลง ภาพ 2.20 แสดง secondary dendrite arm spacing a) นิยามค่า Y b) ภาพถ่าย SEM แสดงให้เห็น dendrite ที่ผิวของผงโลหะ การที่มี secondary dendrite arm spacing ละเอียดขึ้น หมายถึงการมีโครงสร้างที่ละเอียดขึ้นด้วยซึ่งมีส่วนทำให้ชิ้นงานที่ได้มี homogeneity ต่ำกว่า มี specific modulus ต่ำกว่าและในบางครั้ง rapid solidification ก็ถูกนำมาใช้ในการควบคุมสมบัติทางแม่เหล็กของโลหะด้วยเช่นกัน



ภาพ 2.20 Secondary dendrite arm spacing a) นิยามค่า Y b) ภาพถ่าย SEM แสดงให้เห็น dendrite ที่ผิวของผงโลหะ

สำหรับผงโลหะที่มีเส้นผ่าศูนย์กลางเท่ากับ D และถูกทำให้เย็นตัวด้วย convection ซึ่งในกระบวนการการ atomization ทุกกระบวนการโลหะถูกทำให้เย็นตัวด้วย convection ทั้งสิ้น แต่ต่างกันที่ข้อแตกต่างที่ใช้เช่น น้ำ หรือ ก๊าซ เป็นต้น ความสัมพันธ์ระหว่าง secondary dendrite arm spacing กับขนาดของผงโลหะ D เป็นดังนี้

$$Y = CD^n$$

โดย Y คือ secondary dendrite arm spacing

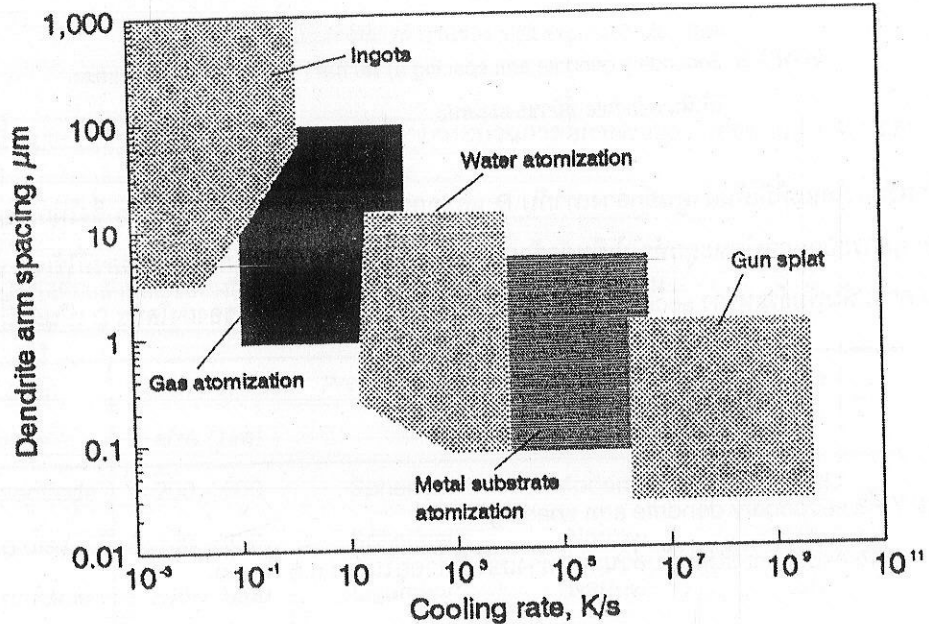
n คือ exponent ขึ้นอยู่กับส่วนผสมทางเคมี มีค่าอยู่ในช่วง 0.5 ถึง 1.0

อิทธิพลจากการถ่ายเทความร้อนในลักษณะอื่น ได้แก่การถ่ายเทความร้อนแบบ conduction และ radiation สำหรับ conduction การถ่ายเทความร้อนจะขึ้นอยู่กับค่า gas thermal conductivity (h) และสำหรับ radiation การถ่ายเทความร้อนจะขึ้นอยู่กับค่า radiant emissivity (f) ดังนั้นโดยสรุปอัตราการเย็นตัว (dT/dt) จะขึ้นอยู่กับ

$$\frac{dT}{dt} = \frac{6}{D\rho_s C_p} [h(T - T_0) + fk(T - T_0)^4]$$

เมื่อ ρ_s คือความถ่วงจำเพาะของโลหะ
 C_p คือ heat capacity ของโลหะ
 D คือสัมผัสนิยกรรมของโลหะผง
 h คือ gas thermal conductivity
 f คือ radiant emissivity
 T คืออุณหภูมิของโลหะขณะนั้น
 T_0 คืออุณหภูมิของบรรยายกาศรอบ ๆ
 k คือ Stefan-Boltzmann constant

ดังนั้นจะเห็นได้ว่าอัตราการเย็นตัวที่สูงขึ้นทำให้ขนาดของผงโลหะที่ละเอียดขึ้น และขนาดผงโลหะที่ละเอียดขึ้นทำให้ได้ secondary dendrite arm spacing ที่เล็กลงด้วย ภาพ 2.21 แสดงความสัมพันธ์ระหว่าง secondary dendrite arm spacing กับอัตราการเย็นตัวของ atomization สามารถเข้าใจในการคำนวณขนาดของ atomization chamber โดยจากเวลาในการเย็นตัวของผงโลหะกับความเร็วในการเคลื่อนที่ของผงโลหะ



ภาพ 2.21 แสดงความสัมพันธ์ระหว่าง secondary dendrite arm spacing กับอัตราการเย็นตัวของ atomization

สมการคำนวณเวลาการเย็นตัวของผงโลหะคือ

$$t_f = \frac{D\rho_s C_p}{6h} \ln \left[\frac{T - T_0}{T_m - T_0} \right] + \left[\frac{\Delta H_m}{T_m - T_0} \right]$$

t_f คือเวลาที่โลหะหลอมเหลวใช้ในการแข็งตัว

$$t_s = \frac{3\pi^2\nu}{4V\gamma_{l-g}} [r_2^4 - r_1^4]$$

t_s คือเวลาที่โลหะหลอมเหลวใช้ในการเปลี่ยนรูปทรงจากทรงรีที่มีรัศมี r_2 เป็นทรงกลมที่มีรัศมี r_1

เมื่อเปรียบเทียบ t_f กับ t_s แล้ว หาก $t_f < t_s$ ผงโลหะมีแนวโน้มที่จะมีรูปร่าง irregular แต่ถ้าหาก $t_f > t_s$ ผงโลหะมีแนวโน้มที่จะมีรูปร่างกลมเนื่องจากโลหะหลอมเหลวเปลี่ยนรูปร่างเป็นทรงกลมก่อนที่จะแข็งตัว เมื่อพิจารณาตัวแปรต่าง ๆ ในสมการจะเห็นว่ามีส่วนหนึ่งเป็นตัวแปรของวัสดุ (ความถ่วงจำเพาะ, ความหนืด, heat capacity) อีกส่วนหนึ่งเป็นตัวแปรของความถ่ายเทขายาวข้อน (heat conductivity) ซึ่งขึ้นอยู่กับประเภทของของเหลวที่ใช้ในการทำให้เกิด disintegration เช่น น้ำ, ก๊าซ เป็นต้น อีกส่วนหนึ่งของสมการเป็นตัวแปรของกระบวนการคืออุณหภูมิหลอมหรืออีกนัยหนึ่งก็คือ degree of superheat นั่นเอง สำหรับ water atomization มักจะได้ผงโลหะรูปร่าง irregular ก็ เพราะว่ามีค่า h สูงกว่า gas atomization มาก โลหะที่มีจุดหลอมตัวสูงหรือ T_m สูง มักจะมีรูปร่างกลม เพราะทำให้ของเหลวที่เป็นตัวที่ทำให้เกิดการเย็นตัวมี h น้อยลง เช่น น้ำจะถูกทำให้กลายเป็นไอลด้อมรอบบริเวณที่เกิดการ disintegration ทำให้โลหะเย็นตัวช้าลงจึงได้ t_f ค่อนข้างสูงไปด้วย การเติม Mg หรือ Ti ลงใน Cu จะลด interfacial free energy ลงทำให้ได้ spheroidize time สูงขึ้นจึงมักจะทำให้ได้ผงโลหะรูปแบบ irregular มากรขึ้น

2.2 กระบวนการทางเคมี

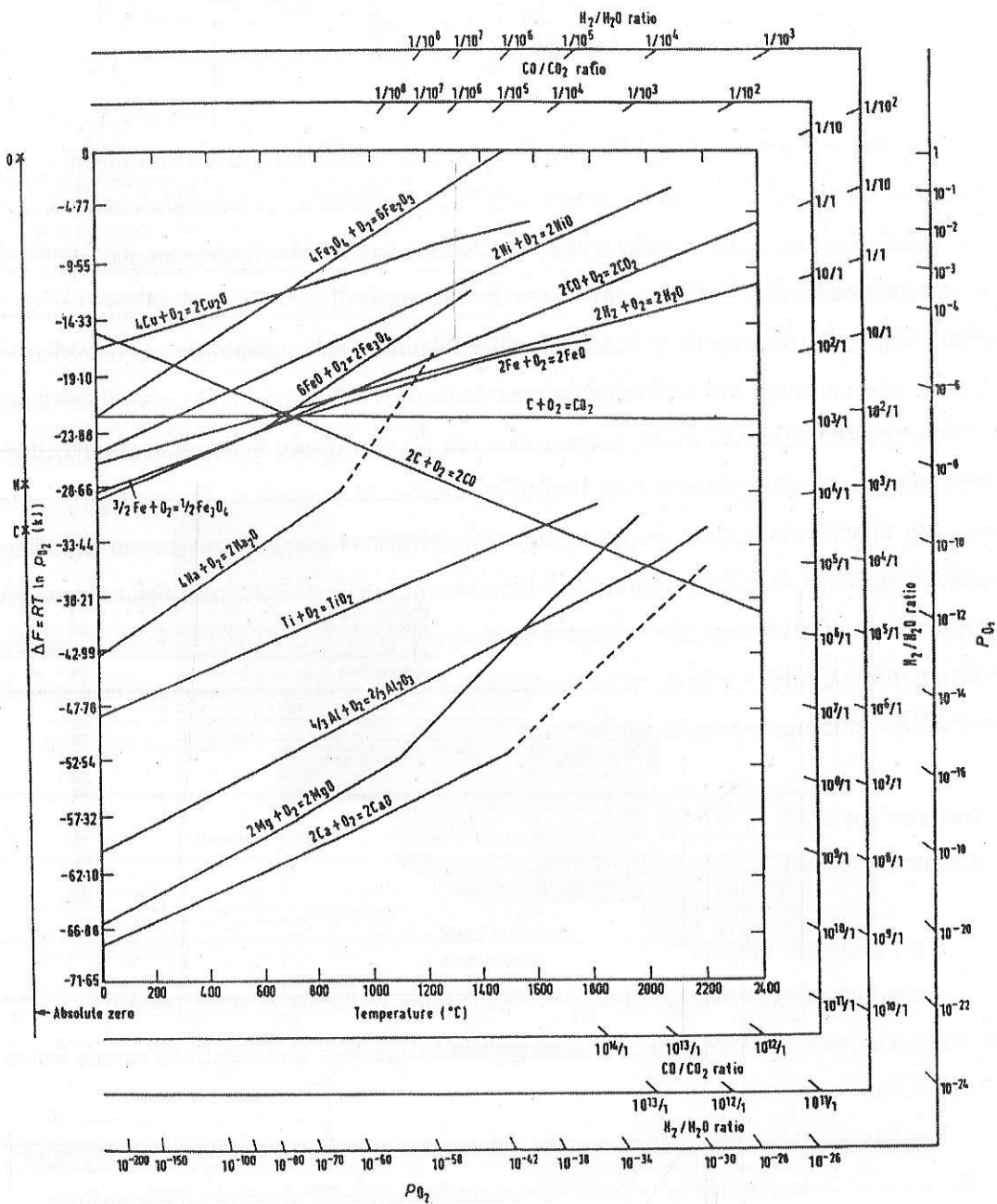
(Chemical Process)

2.2.1 Reduction Process

กระบวนการหลักของกระบวนการผลิตผงด้วยวิธีทางเคมีคือ reduction process โดยกระบวนการนี้มีสารตั้งต้นเป็นสารประกอบ เช่น oxide, carbonate, nitrate หรือ halogenides โดยมีก๊าซเป็นตัว reduce ซึ่งส่วนใหญ่ก๊าซที่ใช้ได้แก่ H_2 และ CO_2

โดยที่นำไปแล้วสารตั้งต้นจะอยู่สถานะของแข็ง สารประกอบเหล่านี้มักจะสมบูรณ์ค่อนข้างเป็นอยู่แล้ว จึงทำให้สามารถบดให้ละเอียดได้ง่าย วัตถุดิบที่มีความละเอียดจะมีพื้นที่ผิวสำหรับทำปฏิกิริยาเคมีมากกว่า จึงสามารถทำการ reduce ได้เร็วๆ ไวนั้นที่วัตถุดิบที่มีลักษณะเป็นก้อนอาจจะใช้เวลาในการทำปฏิกิริยามากจนไม่สามารถทำได้ในทางปฏิบัติ

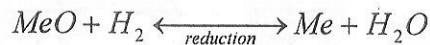
กระบวนการ reduction จะเกิดขึ้นได้ก็ต่อเมื่อ ปฏิกิริยามีค่า Gibbs free energy เป็นลบ โดยยิ่งวัดถูกดิบมีความเสถียรภาพในรูปสารประกอบมากเท่าได้ ตัว reduce ยิ่งต้องมีประสิทธิภาพมากขึ้นเท่านั้น ข้อมูลทาง thermodynamics ถูกแสดงไว้ในภาพ 2.22 สารจำพวก alkali จะมี affinity ต่อ oxygen สูงมาก เช่น Ca, Mg เป็นต้น เส้นกราฟที่ปรากฏในตอนล่างของไดอะแกรมแสดงถึงการมีความเสถียรภาพสูงกว่าเส้นกราฟที่ปรากฏในตอนบนของไดอะแกรม ในทางปฏิกิริยาจะใช้อุณหภูมิสูงกว่าอุณหภูมิที่ได้จากการคำนวณในไดอะแกรมมากเนื่องจากข้อมูลทาง thermodynamics "ไม่ได้คำนึงถึงรัศมีความโน้มโง่ดังของสารซึ่งผงวัตถุดิบมีขนาดเล็กมาก จึงมีผลกระทบจากรัศมีความโน้มโง่ดังของตัวเอง"



ภาพ 2.22 ข้อมูลทาง thermodynamics สำหรับการเกิด oxide ของโลหะชนิดต่าง ๆ

2.2.1.1 Hydrogen reduction

กระบวนการ reduction ด้วย H_2 เป็นที่แพร่หลายมากที่สุด ซึ่งนิยมใช้กับสารตั้งต้นที่เป็นสารประกอบประเภท oxide ปฏิกิริยาทั่วไปคือ

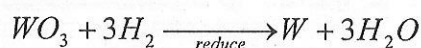


เมื่อ Me คือโลหะที่ form สารประกอบ oxide กระบวนการมักจะทำในเตา tube ชิ้งผง oxide จะถูกการให้ใน crucible โดยสัมผัสกับ H_2 stream ค่า K ของสมการคืออัตราส่วนระหว่าง partial pressure ของผลิตภัณฑ์ต่อ สารตั้งต้น

$$K = \frac{\rho_{H_2O}}{\rho_{H_2}}$$

โดยที่ acitivity ของของแข็งมีค่าเท่ากับ 1

ยกตัวอย่างเช่น การ reduction ของ WO_3 ในขั้นตอนเริ่มต้น วัตถุดิบจะอยู่ในรูป ammonium paratungstate $(5(NH_4)_2 \cdot 12WO_3 \cdot nH_2O)$ เมื่อทำการ calcinations แล้วจะได้ oxide สีเหลืองคือ WO_3 เมื่อกระบวนการ reduction เริ่มต้นขึ้น WO_3 จะถูก reduce โดยเปลี่ยนรูปโดยมีปฏิกิริยาดังต่อไปนี้

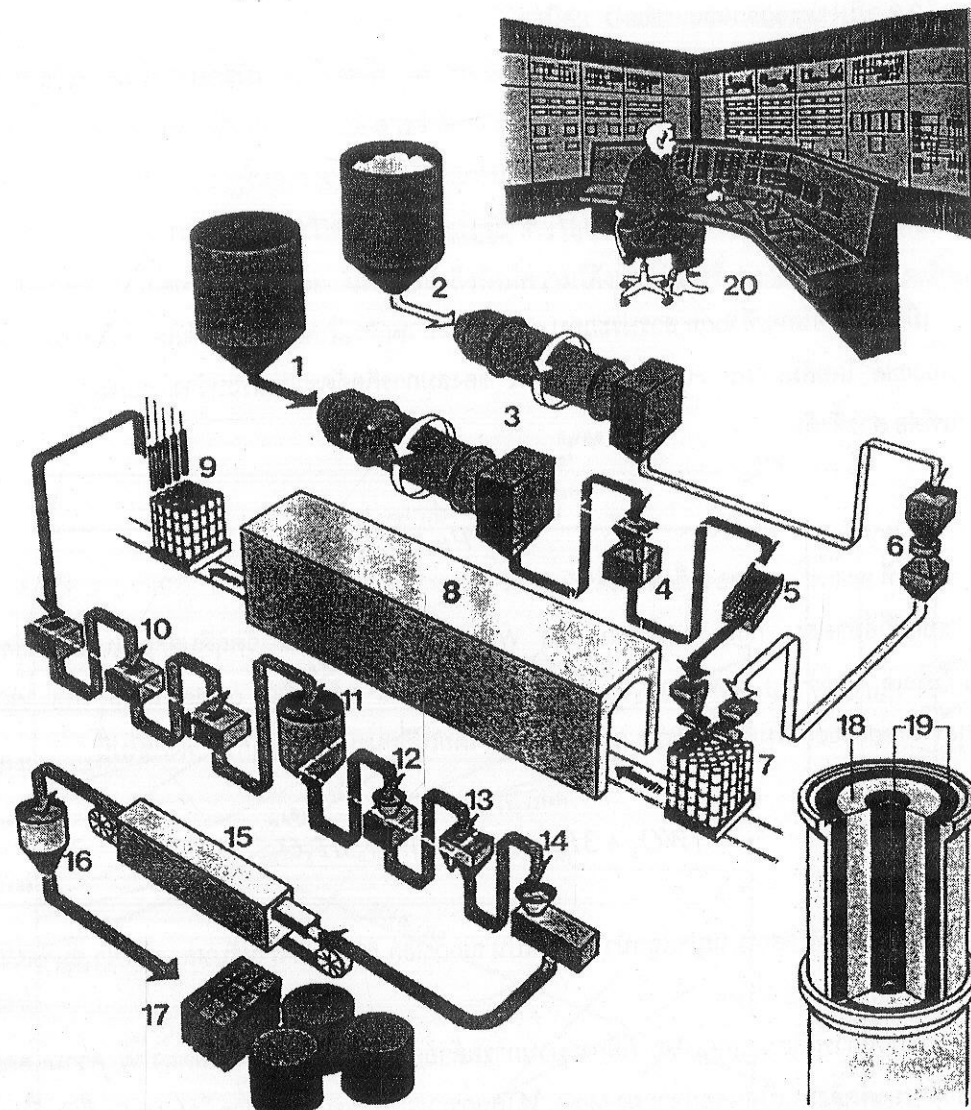


ผงโลหะ W ที่ได้ส่วนใหญ่จะถูกนำไปผลิตเป็น tungsten filament สำหรับหลอดไฟฟ้า ขนาดผงโลหะที่ใช้ส่วนใหญ่จะประมาณ 3-5 μm

กระบวนการผลิตผงโลหะ Mo ก็มีกระบวนการคล้ายคลึงกับกระบวนการผลิตผง W ความแตกต่างคือ Mo นั้นสามารถจัดสิ่งปนเปื้อนออกจากผง MoO_3 ได้โดยกระบวนการ sublimation โดย MoO_3 ที่ปนเปื้อนจะถูกบรรจุรวมกับ silica และ Fe_3O_4 จากนั้นจึงถูกนำไปเผาที่อุณหภูมิ $1000 - 1100 ^\circ C$ ทำให้สิ่งปนเปื้อนใน MoO_3 ถูกขจัดออกไปเนื่องจากจะหลอมละลายแยกออกจาก ทำให้ได้ MoO_3 ที่มีความเข้มข้นสูงขึ้น หลังจากนั้นจึงนำไป reduction เช่นเดียวกับ WO_3

2.2.1.2 Carbon reduction

กระบวนการ reduction ที่แพร่หลายของลงมาจากการ reduction ด้วย carbon reduction ยกตัวอย่างเช่น ในการผลิตผงเหล็กจากแร่ magnetite (Fe_3O_4) ด้วยการบ่อน ชิ้งผงเหล็กทั้งหมดที่มีการผลิตขึ้นได้มาจากกระบวนการนี้กว่า 50% ผงเหล็กที่ได้จะมีลักษณะ sponge กระบวนการ reduction ของแร่ Fe_3O_4 แสดงในภาพ 2.23

ภาพ 2.23 กระบวนการ carbon reduction ของผง Fe_3O_4

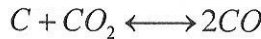
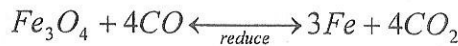
(1) reduction mix (2) แร่เหล็ก (3) ทำให้แห้ง (4) ย่อยขนาด (5) แยกขนาด (6) magnetic separation (7) เดิมลงใน ceramic tube (8) เตา reduction (9) แยกผลิตภัณฑ์ออก (10) ย่อยขนาดอย่างหยาบ (11) กีบใน silos (12) ย่อยขนาดอย่างละเอียด (13) magnetic separation (14) บดและคัดขนาด (15) annealing (16) equalizing (17) บรรจุลงหีบห่อ (18) แร่เหล็ก (19) reduction mix (20) ห้องควบคุม

กระบวนการเริ่มต้นที่การบดแร่ให้มีขนาดผงประมาณน้อยกว่า 0.5 mm แล้วคัดสิ่งปนเปื้อนออกด้วย magnetic separation จะมีความเสื่อมขั้นของเหล็กมากกว่า 71.5% (ค่าทางทฤษฎีคือ 72.5%) หลังนั้นจึงทำให้แห้ง แล้วบรรจุลงในภาชนะทวงกระบอกทำจากเซรามิกซึ่งร้อนกับผงถ่าน coke โดยเรียงลับชั้นตามแนวรัศมี ของทรงกระบอก (ดูภาพ 2.23 ประกอบ) และอาจมีการเติม lime เพื่อขัดสิ่งปนเปื้อนจำพวก sulphur จากนั้นจึงทำการเคลื่อนย้ายภาชนะไปยังเตา reduction ซึ่งมักจะเป็นเตาที่ใช้ก๊าซธรรมชาติเป็นเชื้อเพลิง

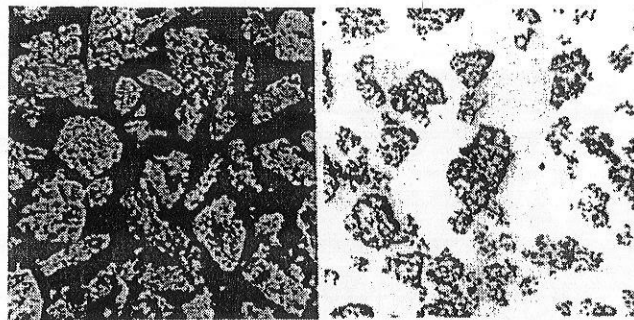
เตาเต่านั้นถูกแบ่งออกเป็น heating zone, reduction zone และ cooling zone อุณหภูมิสูงสุดภายในเตาประมาณ 1250°C ตัวเตาเมื่อความยาวประมาณ 200 – 270 เมตร กระบวนการ reduction เริ่มต้นเมื่ออุณหภูมิถึง $650 - 700^{\circ}\text{C}$ ซึ่งกินระยะเวลาประมาณ 2 – 3 วัน ระหว่างที่กระบวนการ reduction เกิดขึ้น ผง

เหล็กบางส่วนจะถูกเชื่อมติดกันจนทำให้มีลักษณะ sponge หลังจากนั้นจะถูกบดและแยกขนาด แล้วเข้าสู่กระบวนการการขึ้นสูตรท้ายคือการควบคุมปริมาณ oxygen, carbon และลด residual stress

ผงโลหะส่วนใหญ่จะถูกบดเพื่อให้ได้การกระจายตัวของอนุภาคและขนาดที่เหมาะสมต่อกระบวนการ powder metallurgy ซึ่งมีขนาดประมาณ 150 μm และอีกส่วนหนึ่งสำหรับกระบวนการผลิตผลิตภัณฑ์เชื่อม ปฏิกิริยาทางเคมีที่เกิดขึ้นภายในเตาได้แก่



อาจเกิด Fe_3C ขึ้นได้บ้างแต่พบได้น้อยและไม่ค่อยมีความสำคัญมากนัก ผงโลหะที่ได้จะมีรูปร่างแบบ irregular และรูปruny ภายในซึ่งเกิดเนื่องมาจากการเปลี่ยนแปลงความหนาแน่นของสารประกอบ กาว 2.24 แสดงตัวอย่างผงเหล็กที่ได้จากการกระบวนการ carbon reduction a) กาวตัดขวางให้เห็นรูปรุนป่ายใน b) กาวพื้นผิวผงเหล็กที่มีขนาดประมาณ 10 μm



ภาพ 2.24 ตัวอย่างผงเหล็กที่ได้จากการกระบวนการ carbon reduction a) กาวตัดขวางให้เห็นรูปรุนป่ายใน b) กาวพื้นผิวผงเหล็กที่มีขนาดประมาณ 10 μm

2.2.2 Carbonyl process

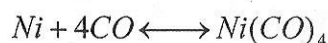
โลหะบางชนิดสามารถทำปฏิกิริยากับ Carbon monoxide (CO) ได้ดี ได้สารประกอบ $Me(CO)_x$ จุดเดือดต่ำ เช่น $Fe(CO)_5$ มีจุดเดือดที่ $102.7^{\circ}C$ และ $Ni(CO)_4$ มีจุดเดือดที่ $43^{\circ}C$ ซึ่งสามารถนำไปกลั่นได้ ทำให้ได้ผงโลหะที่มีความบริสุทธิ์สูงมาก สรุวใหญ่มีส่วนผสมดังตาราง 2.4

ปฏิกิริยาทางเคมีในการ form carbonyl ยกตัวอย่างเช่น

สำหรับ Fe



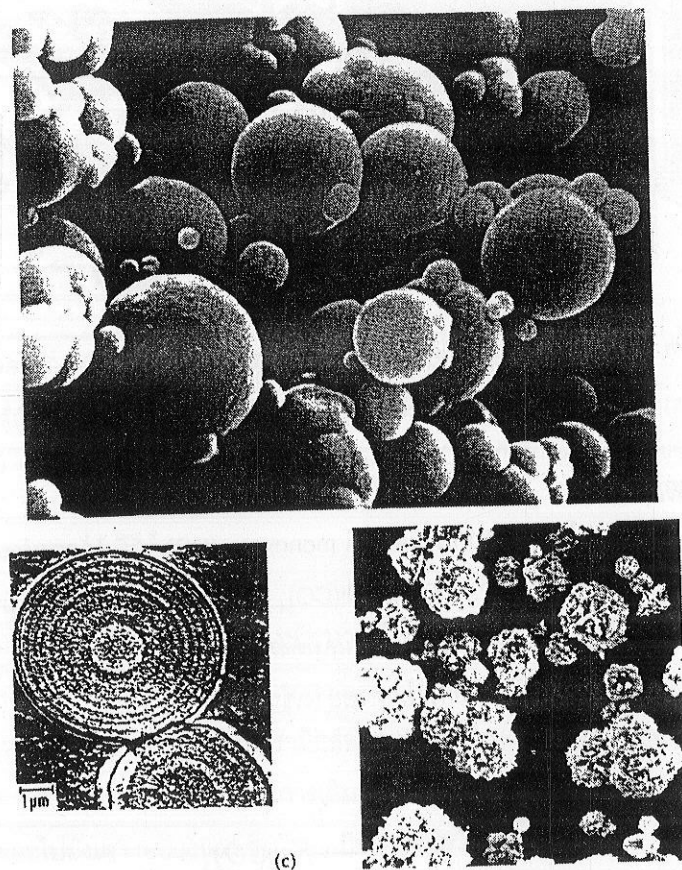
สำหรับ Ni



ตาราง 2.4 ส่วนผสมทางเคมีของผง carbonyl Fe และ Ni

Impurities (%)	Carbonyl Iron	Carbonyl Nickel
C	≈0.01	0.06 – 0.02
Si	<0.001	<0.001
Mn	<0.002	<0.001
P	<0.002	<0.001
S	<0.001	<0.0002
N	Variable	0.0002 – 0.003
O	Variable	0.05 – 0.07
Ni	-	Balance
Fe	Balance	0.005

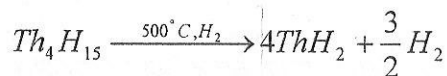
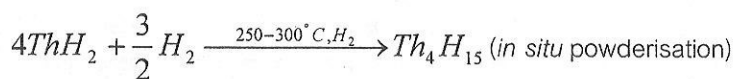
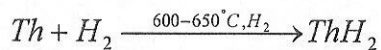
ผงโลหะที่ได้จะมีโครงสร้างคล้ายหอยหัวไช่ (Onion shell powder) ดังแสดงในภาพ 2.25 เนื่องจาก การทำปฏิกิริยาภายนอกกับภายนอกไม่มีเท่ากัน



ภาพ 2.25 โลหะผงจากกระบวนการ carbonyl a) ผง Fe carbonyl powder b) onion shell structure c) Ni carbonyl powder

2.2.3 Hydride – Dehydride process

กระบวนการ hydride – dehydride สามารถใช้ผลิตผงโลหะที่มีความบริสุทธิ์สูงและมีขนาดเล็กมากได้โดยการทำปฏิกิริยาระหว่างโลหะผงกับ hydrogen ที่อุณหภูมิสูงภายใต้บรรยากาศที่เหมาะสมจะทำให้ได้สารประกอบ hydride ของโลหะนั้น ซึ่งมีความเปราะจึงทำให้เป็นผงได้ง่าย แล้วจึงทำการ dehydride ในบรรยากาศ vacuum ในภายหลัง ผงโลหะที่ผลิตด้วยวิธีนี้ได้แก่ Ti, Zr, Hf, Ta, U, Th, Y และ Mg ยกตัวอย่างเช่น การผลิตผงโลหะ Th ปฏิกิริยาที่เกิดขึ้นคือ



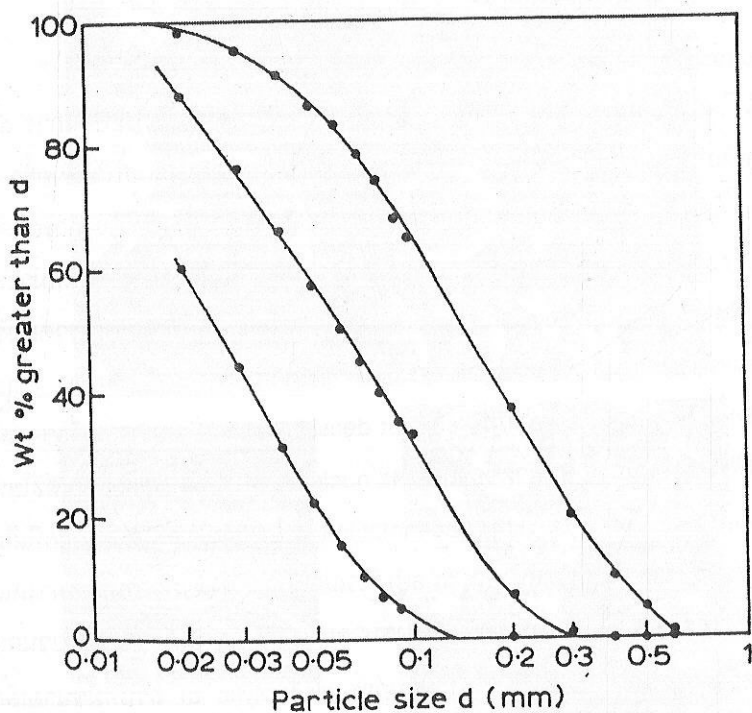
กระบวนการ hydride – dehydride ไม่เกี่ยวข้องกับกระบวนการการทำให้โลหะบริสุทธิ์ขึ้น ในทางตรงกันข้ามปริมาณ oxygen และ hydrogen ที่เพิ่มขึ้นอาจพบได้ในโลหะผงที่ได้จากการนี้

2.2.4 Electrochemical process

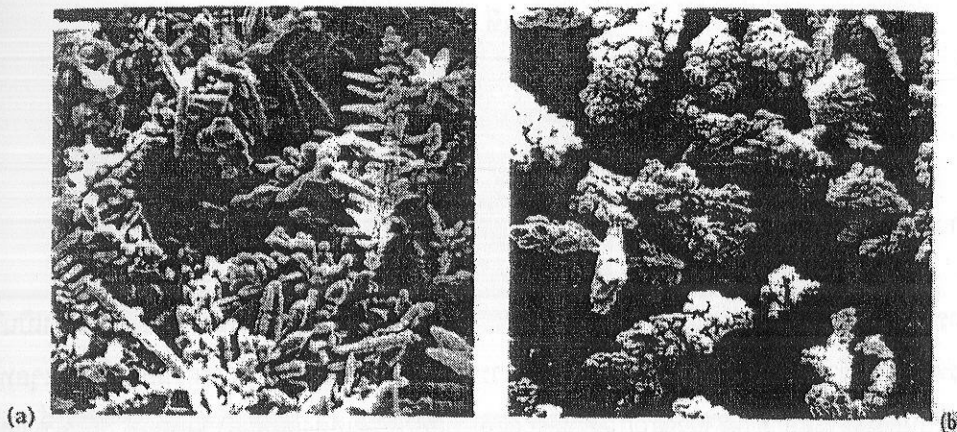
ผงโลหะที่ใช้ในกระบวนการ powder metallurgy สามารถผลิตได้โดยกระบวนการ electrochemical ได้ด้วยหลักการเดียวกันกับ electrodoposition หรือ electroplating โดยประกอบไปด้วยขั้ว cathode และ anode มี electrolyte โดยที่ว่าไปข้าว anode จะเป็นโลหะประเภทเดียวกับผงโลหะที่ต้องการผลิต ส่วน cathode จะเลือกจาก electromotive series (ตาราง 2.5) แล้วให้ความต่างศักย์และกระแสที่เหมาะสมแก่ระบบ ในบางครั้งก็ทำให้อุณหภูมิสูงกว่าอุณหภูมิห้องเล็กน้อย ($60-100^\circ C$) เพื่อให้ปฏิกิริยาเกิดได้รวดเร็วขึ้น ซึ่งขึ้นอยู่กับจุดหลอมเหลวของโลหะที่ต้องการผลิต ตัวแปรของกระบวนการได้แก่ ความเข้มข้นของ metal ion ใน electrolyte, electrolyte conductivity, อุณหภูมิ, current density, voltage และความเร็วของสารละลาย (การ กวน) เมื่อปฏิกิริยาไฟฟ้าเคมีดำเนินไป อนุภาคของโลหะจะ nucleate ที่บริเวณ cathode และโลหะที่ anode จะถูกละลายลงไปใน electrolyte เพื่อชดเชยการสูญเสีย metal ion ใน electrolyte เมื่ออนุภาคที่เกิดขึ้นมีน้ำหนักที่สามารถเข้าและ離れอย่างต่อตัวได้แล้วจะร่วงหล่นไปสะสมอยู่บริเวณก้นถัง ซึ่งสามารถนำมารีไซเคิลได้ ขนาดต่อไป ภาพ 2.26 แสดงตัวอย่างการกระจายตัวของขนาดผงโลหะ Cu ที่ได้จากการกระบวนการ electrolytic ภาพ 2.27 แสดงตัวอย่างผงโลหะ Cu ที่ได้จากการกระบวนการ electrolytic a) ส่วนที่มีขนาดเล็ก ($\sim 67 \mu\text{m}$) b) ส่วนที่มีขนาดใหญ่ ($\sim 200 \mu\text{m}$)

ตาราง 2.5 Standard emf series ของโลหะชนิดต่าง ๆ

	Metal-metal ion equilibrium	Electrode potential vs. normal hydrogen electrode at 25 °C, V
Noble or cathodic	Au-Au ⁺³	+1.498
	Pt-Pt ⁺²	+1.200
	Pd-Pd ⁺²	+0.987
	Ag-Ag ⁺²	+0.799
	Hg-Hg ⁺²	+0.788
	Cu-Cu ⁺²	+0.337
neutral	H ₂ -H ⁺	0.000
	Pb-Pb ⁺²	-0.126
	Sn-Sn ⁺²	-0.136
	Ni-Ni ⁺²	-0.250
	Co-Co ⁺²	-0.277
	Cd-Cd ⁺²	-0.403
	Fe-Fe ⁺²	-0.440
	Cr-Cr ⁺²	-0.744
	Zn-Zn ⁺²	-0.763
	Al-Al ⁺³	-1.662
Active or anodic	Mg-Mg ⁺²	-2.363
	Na-Na ⁺	-2.714
	K-K ⁺	-2.925



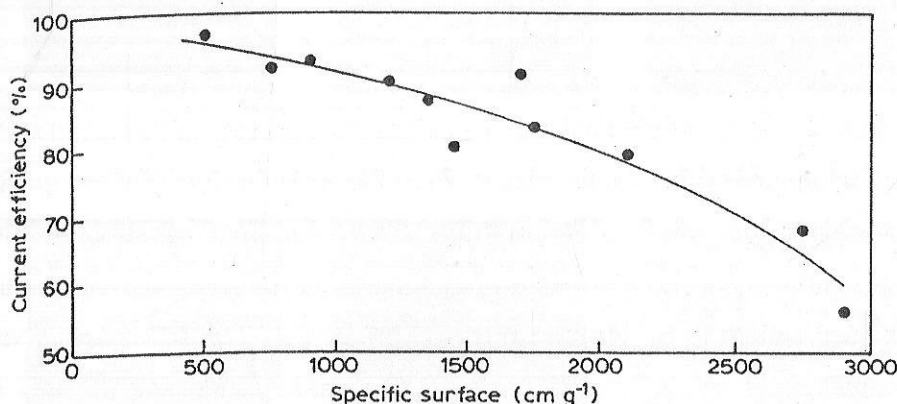
ภาพ 2.26 ตัวอย่างการกระจายตัวของขนาดผงโลหะ Cu ที่ได้จากการบานกราฟ electrolytic



ภาพ 2.27 ตัวอย่างผงโลหะ Cu ที่ได้จากการบานการ electrolytic a) ส่วนที่มีขนาดเล็ก ($\sim 67 \mu\text{m}$)
b) ส่วนที่มีขนาดใหญ่ ($\sim 200 \mu\text{m}$)

ตัวแปรที่มีผลต่อขนาดของผงโลหะและควบคุมได้ง่ายในกระบวนการ electrolytic คือ current density โดยเมื่อ current density สูงจะทำให้ผงโลหะที่ได้มีขนาดใหญ่ และเมื่อ current density ต่ำจะทำให้ผงโลหะที่ได้มีขนาดเล็ก ภาพ 2.28 แสดงอิทธิพลของ current density ต่อ specific area ของผง Cu จะเห็นได้ว่า current density ที่สูงจะให้ specific area ต่ำลง ซึ่งหมายความว่าผงโลหะมีพื้นที่ผิวต่อหน่วยปริมาตรน้อยลง ซึ่งก็คือผงโลหะมีขนาดใหญ่ขึ้น

รูปร่างของผงโลหะที่ได้จากการบานนี้คือ dendritic ซึ่งจะให้ green strength ที่สูงและมี green density ตุ้งเมากะที่จะนำไปใช้ทำ bronze bearing



ภาพ 2.28 อิทธิพลของ current density ต่อ specific area ของผง Cu

บทที่ 3
การระบุคุณลักษณะของผงโลหะ
Powder Characterization

3.1 บทนำ

กระบวนการการโลหะผงทั้งหมดเริ่มต้นที่ผงโลหะ ดังนั้นการเข้าใจคุณลักษณะของผงโลหะจึงเป็นวิธีที่ดีที่สุดในการทำความเข้าใจกระบวนการการโลหะผง ในการตรวจสอบเบื้องต้นของโลหะผงนิยมใช้กล้องทรารศน์อิเล็กทรอนแบบกวาด (Scanning Electron Microscope) ภาพ 3.1 แสดงตัวอย่างภาพถ่าย SEM ซึ่งแสดงให้เห็นว่ารูปร่างของโลหะผงมีความแตกต่างกันตั้งแต่แบบ flake ไปจนถึงกลมและมีขนาดที่แตกต่างกันตั้งแต่ 1 มิลลิเมตรไปจนถึงน้อยกว่า 1 มิครอน ตั้งนี้จะเห็นได้ว่าโลหะผงมีความแตกต่างกันด้านรูปร่างและขนาดอย่างมาก ซึ่งเกิดจากชนิดส่วนผสมทางเคมี และ/หรือกระบวนการการผลิตที่แตกต่างกันออกไป ซึ่งเนื้อหาในบทนี้จะว่าด้วยวิธีการระบุคุณลักษณะของโลหะผงเพื่อที่จะสามารถนำไปใช้อธิบายและอ้างอิงในรูปแบบบริมาณสัมพัทธ์ หรือสัมบูรณ์ได้

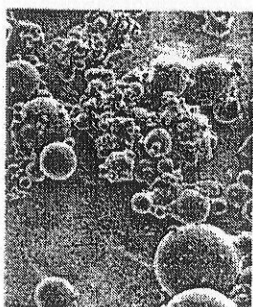
นอกเหนือจากไปรูปร่างลักษณะของผงโลหะที่แตกต่างกันแล้ว ยังมีปริมาณอื่นที่เกี่ยวข้องกับผงโลหะอีก เช่น การกระจายตัวของขนาดผงโลหะ รูปร่างของผงโลหะที่เปลี่ยนแปลงไปตามขนาดของผงโลหะ พื้นที่ผิวของผงโลหะ ความเสียดทานระหว่างอนุภาค ความสามารถในการไหลของผงโลหะ ลักษณะออกไซด์ที่มีของผงโลหะ เป็นต้น ปริมาณเหล่านี้ล้วนมีผลต่อกระบวนการโลหะผงและโดยเฉพาะอย่างยิ่งในการวิจัย ดังนั้นในการวิจัยเกี่ยวกับโลหะวิทยาโลหะผงจะพบว่ามีการระบุคุณลักษณะของผงโลหะอย่างละเอียด

3.2 การชักตัวอย่างผงโลหะ (Powder Sampling)

การชักตัวอย่างผงโลหะทำเพื่อที่จะให้ตัวอย่างที่เก็บมาเป็นตัวแทนของผงโลหะจำนวนมาก การชักตัวอย่างผงโลหะเป็นขั้นตอนที่ต้องให้ความระมัดระวังมาก สิ่งแรกที่ต้องระวังเกี่ยวกับการชักตัวอย่างผงโลหะคือ สำหรับกระบวนการการโลหะผงในการผลิตมีการใช้ผงโลหะอยู่ในระดับหลักตันและการชักตัวอย่างเพื่อให้เป็นตัวแทนของผงโลหะทั้งหมดอาจต้องทำการชักตัวอย่างอยู่ในระดับหลักกิโลกรัม แต่ในการทดสอบตัวอย่างผงโลหะด้วยเครื่องมือและเทคนิคต่าง ๆ ใช้ผงโลหะเพียงแค่มีถึงกรัมเท่านั้น ดังนั้นจึงเป็นภารยากที่จะให้การทดลองครั้งเดียวเป็นตัวแทนของผงโลหะทั้งหมดได้ และหากต้องทำการทดสอบผงโลหะจำนวนมากครั้ง ก็ทำให้เป็นการสิ้นเปลืองทั้งค่าใช้จ่ายและเวลา



a) 20



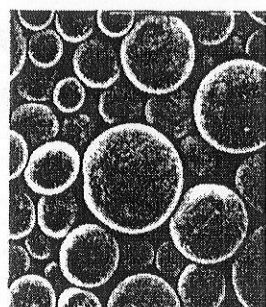
b) 100



c) 3



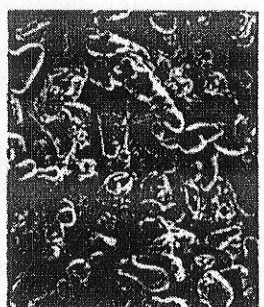
d) 100



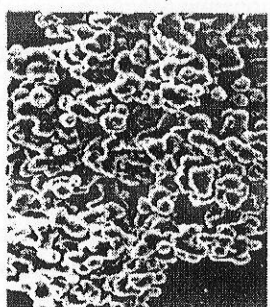
e) 200



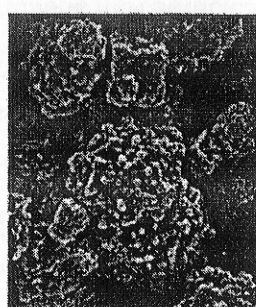
f) 1000



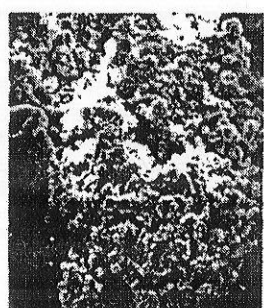
g) 30



h) 5



i) 3



j) 6



k) 40



l) 50

תמונה 3.1 a) acicular b) spherical with fine agglomerates c) polygonal aggregate d) ligament e) spherical
f) flake g) irregular h) sponge i) porous cubic j) aggregate k) dendritic and irregular l) angular

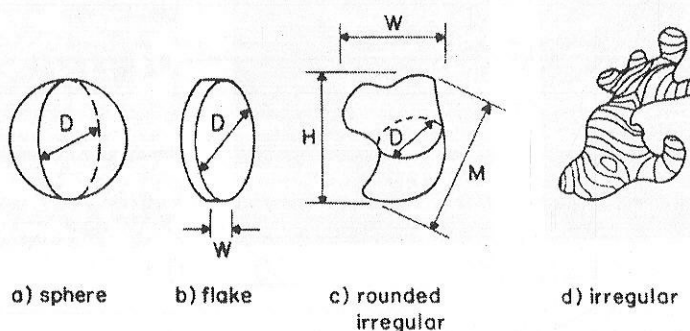
การหลีกเลี่ยงความผิดพลาดในการขักตัวอย่างทำให้โดยทำตามกฎเกณฑ์ดังนี้คือ (1) ไม่ควรขักตัวอย่างจากผงโลหะที่ผ่านการเคลื่อนย้ายที่ไดร์บและสันสะเทือนมาแล้ว เพราะแรงสั่นสะเทือนจะทำให้ผงโลหะขนาดเล็กถูกทำให้แตกงาไปบริเวณด้านใต้ของภาชนะมากเป็นพิเศษ ดังนั้นเมื่อทำการขักตัวอย่างจากด้านใต้ของภาชนะจะได้ผงโลหะที่มีขนาดใหญ่จำนวนมากกว่าปกติ และในทำนองเดียวกันถ้าขักตัวอย่างจากด้านบนของภาชนะจะได้ผงโลหะที่มีขนาดใหญ่จำนวนมากกว่าปกติ (2) ไม่ควรขักตัวอย่างผงโลหะที่เพิ่งผ่านการทำร้อนเทปี้ลี่ย์ภาชนะเนื่องจากเมื่อผงโลหะไนลอนผ่านเข้าไปในตัวกลาง (อากาศ, น้ำ, และกอโซล์ เป็นต้น) ผงโลหะที่มีขนาดใหญ่มีความเร็วการตก (Terminal Velocity) มากกว่าผงโลหะขนาดเล็ก ทำให้ถ้าขักตัวอย่างจากด้านบนของภาชนะจะได้ผงโลหะที่มีขนาดใหญ่จำนวนมากกว่าปกติ และในทำนองเดียวกันถ้าขักตัวอย่างจากด้านล่างของภาชนะจะได้ผงโลหะที่มีขนาดใหญ่จำนวนมากกว่าปกติ การขักตัวอย่างผงโลหะที่ดีควรขักตัวอย่างภายหลังจากการผสมผงโลหะและควรขักตัวอย่างจากหลาຍๆๆเพื่อลีกเลี่ยงผลการทำทดสอบที่คลาดเคลื่อน และถ้าต้องมีการเบรียบเที่ยบผลการทำทดสอบความมีการออกแบบแผนการขักตัวอย่างที่แน่นอน

3.3 คุณลักษณะของผงโลหะและการทดสอบ

3.3.1 ขนาดผงโลหะ

ขนาดผงโลหะเกี่ยวข้องกับมิติของผงโลหะโดยตรง วิธีการวัดขนาดผงโลหะมีหลายวิธี โดยแต่ละวิธีอาจใช้ให้ขึ้นขนาดผงโลหะที่วัดได้ต่างกัน ขึ้นอยู่กับหลักการของแต่ละวิธี ขนาดผงโลหะเป็นคุณลักษณะที่สำคัญที่สุดอย่างหนึ่งของนักโลหะวิทยาโลหะ เนื่องจากเกี่ยวข้องโดยตรงกับปริมาณฟื้นที่ผิวต่อหน่วยมวล ความสามารถในการไหลตัวของผงโลหะ เวลาที่ใช้ในการเผาประสาน รวมถึงแรงที่ต้องใช้ในการอัดผงโลหะ

ภาพ 3.2 แสดงตัวอย่างของรูปร่างผงโลหะแบบต่าง ๆ ซึ่งรูปร่างผงโลหะที่ต่างกันมีความจำเป็นที่จะต้องมีการนิยามขนาดผงโลหะด้วยตัวแปรมากน้อยต่างกันด้วย โดยยิ่งรูปร่างผงโลหะมีความซับซ้อนมากเท่าไหร่ยิ่งจำเป็นต้องใช้ตัวแปรในการนิยามขนาดผงโลหะมากขึ้นเท่านั้น ยกตัวอย่างเช่น สำหรับผงโลหะรูปร่างทรงกลม ใช้ตัวแปรเพียงตัวเดียวในการนิยามขนาดผงโลหะคือรัศมีของทรงกลม แต่สำหรับผงโลหะรูปจาน (ภาพ 3.2 b) ต้องใช้ตัวแปรสองตัวในการนิยามขนาดผงโลหะคือรัศมีและความหนา เป็นต้น สำหรับผงโลหะบางชนิดมีรูปร่างที่ซับซ้อนมากจนไม่สามารถนิยามได้ เช่นดังแสดงในภาพ 3.2 d)



ภาพ 3.2 การนิยามขนาดอนุภาคด้วยตัวแปรต่าง ๆ

a) sphere b) flake c) rounded irregular d) irregular

ວິທີ່ນຶ່ງໃນການບອກນາດຂອງພົດນະຄືການບອກຄ່າເສັ້ນຜ່ານສູນຍົກລາງເທິຍບ່າດ້ວຍທຳກັນທຽບ
ເທິຍບ່າດ້ວຍທຳກັນທີ່ປະຕິບັດ ທ່ານ ພື້ນທີ່ປົວ, ປຣິມາຕຣ, ພື້ນທີ່ກ່າວພາຍ ເປັນຫັນ ສໍາຮັບເສັ້ນຜ່ານສູນຍົກລາງທີ່ມີພື້ນທີ່ປົວ
ເທິຍບ່າດ້ວຍທຳກັນທີ່ປົວ ສະນັກງານພົດນະຄືການທີ່ມີພື້ນທີ່ປົວ
ເພື່ອນຳໄປປົດເປັນເສັ້ນຜ່ານສູນຍົກລາງທຽບກັນແລ້ວຈະໄດ້ຄ່າເທິຍບ່າດ້ວຍ ແລະໃນທຳກັນທີ່ປົວ
ປຣິມາຕຣເທິຍບ່າດ້ວຍທຳກັນທີ່ປົວ (Volume diameter) ນາຍຄວາມວ່າ ພົດນະຄືການທີ່ມີປຣິມາຕຣຄ່າໜຶ່ງແລະ
ປຣິມາຕຣຄ່າໜຶ່ງມີນຳໄປປົດເປັນເສັ້ນຜ່ານສູນຍົກລາງຂອງທຽບກັນທີ່ປຣິມາຕຣເທິຍບ່າດ້ວຍໃໝ່

Volume Diameter (d_V) ຄື່ອ “ເສັ້ນຜ່ານສູນຍົກລາງທຽບກັນທີ່ມີປຣິມາຕຣເທິຍບ່າດ້ວຍທຳກັນທີ່ປົວ”

$$V = \frac{4}{3} \pi r^3 = \frac{4}{24} \pi D^3 = \frac{\pi}{6} D^3$$

$$d_V = \left(\frac{6V}{\pi} \right)^{1/3}$$

Surface Diameter (d_S) ຄື່ອ “ເສັ້ນຜ່ານສູນຍົກລາງທຽບກັນທີ່ມີພື້ນທີ່ປົວເທິຍບ່າດ້ວຍທຳກັນທີ່ປົວ”

$$S = 4\pi r^2 = \frac{4}{4} \pi D^2 = \pi D^2$$

$$d_S = \left(\frac{S}{\pi} \right)^{1/2}$$

Project Area Diameter (d_A) ຄື່ອ “ເສັ້ນຜ່ານສູນຍົກລາງທຽບກັນທີ່ມີພື້ນທີ່ກ່າວພາຍເທິຍບ່າດ້ວຍທຳກັນທີ່ກ່າວພາຍຂອງ
ພົດນະ”

$$A = \pi r^2 = \frac{\pi}{4} D^2$$

$$d_A = \left(\frac{4A}{\pi} \right)^{1/2}$$

Perimeter Diameter (d_P) ຄື່ອ “ເສັ້ນຜ່ານສູນຍົກລາງທຽບກັນທີ່ມີເສັ້ນຮອບວາງຂອງກ່າວພາຍເທິຍບ່າດ້ວຍເສັ້ນຮອບວາງ
ຂອງພົດນະ”

$$P = 2\pi r = \pi D$$

$$d_P = \frac{P}{\pi}$$

Free falling diameter (d_f) ຄື່ອ “ເສັ້ນຜ່ານສູນຍົກລາງທຽບກັນທີ່ມີຄວາມເຈົ້າໃນກາວຕົກຕະກອນເທິຍບ່າດ້ວຍ
ຄວາມເຈົ້າໃນກາວຕົກຕະກອນຂອງພົດນະໃນຂອງເຫຼວທີ່ມີຄວາມໜຶ່ດທີ່ປົວ”

$$V = \frac{2R^2(\rho_s - \rho)g}{9\eta}$$

$$= \frac{D^2(\rho_s - \rho)g}{18\eta}$$

$$d_f = \sqrt{\frac{18\eta V}{(\rho_s - \rho)g}}$$

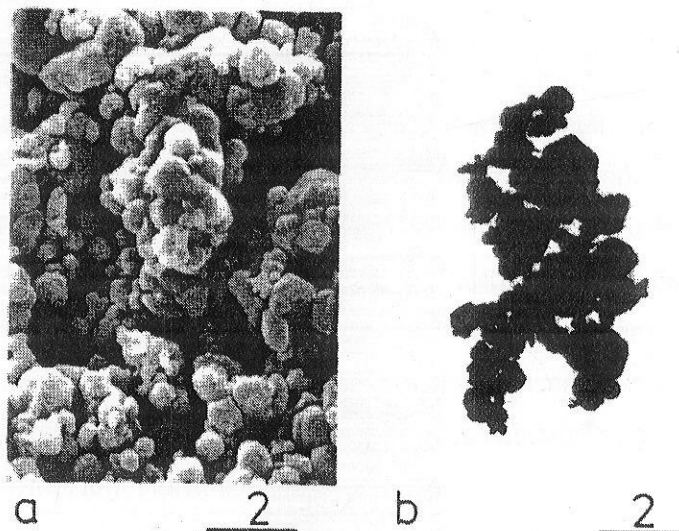
Sieve diameter (d_A) คือ “ความกว้างของสี่เหลี่ยมจัตุรัสที่เล็กที่สุดที่ใหอนุภาคลอดผ่านไปได้”

สำหรับเทคนิคการวัดขนาดผงโลหะสามารถทำได้หลายวิธีด้วยกัน เช่น Microscopy, screening, sedimentation เป็นต้น ซึ่งแต่ละวิธีล้วนมีข้อได้เปรียบและข้อจำกัดแตกต่างกันไป

3.3.1.1 Microscopy

การวัดขนาดผงโลหะด้วยวิธี Microscopy ทำได้โดยวัดจากภาพถ่ายด้วยกล้องจุลทรรศน์ซึ่งทำได้โดยตรงจากภาพโดยวัดที่ละเอียด โดยมีมาตรฐานของ American Society for Testing Materials E20 แต่หากต้องการหาการกระจายตัวของขนาดผงโลหะจำนวนมากจำเป็นต้องใช้โปรแกรมวิเคราะห์ทางภาพช่วย ขนาดผงโลหะที่ได้สามารถจัดอยู่ในรูปของ Project Area Diameter (d_p) โดยหาพื้นที่ภาพฉายของอนุภาคด้วยโปรแกรมวิเคราะห์ทางภาพแล้วนำมาคำนวณเทียบเป็นพื้นที่ภาพฉายของทรงกลม ภาพถ่ายส่วนใหญ่ได้จากการถ่ายจุลทรรศน์แบบแสงและกล้องจุลทรรศน์อิเล็กตรอน สำหรับการเลือกใช้ประเภทของกล้องจุลทรรศน์ขึ้นอยู่กับขนาดของผงโลหะที่ต้องการวัด ข้อได้เปรียบของวิธีการวัดขนาดผงโลหะด้วยวิธี Microscopy คือสามารถทำได้อย่างสะดวกและใช้อุปกรณ์ที่มีกันอย่างแพร่หลายทั่วไป ไม่จำเป็นต้องลงทุนเพื่อจัดหาอุปกรณ์เพิ่มเติมเพื่อวัดขนาดผงโลหะโดยเฉพาะ แต่ว่าข้อจำกัดของการวัดขนาดผงโลหะด้วยวิธีนี้คือ ในบางครั้งอนุภาคมีการรวมตัวเป็นกลุ่มก้อน (Agglomeration) ตัวอย่างแสดงในภาพ 3.3 ซึ่งทำให้การวัดขนาดอนุภาคและวิเคราะห์ด้วยโปรแกรมวิเคราะห์ทางภาพทำได้ยากและอาจคาดเคลื่อนได้มาก นอกจากนี้ภาพที่ได้มามักจะเป็นเพียงบางส่วนของตัวอย่างที่ซักมา ซึ่งอาจจะไม่ใช่ตัวแทนของผงโลหะทั้งหมดได้ จึงอาจต้องทำการซุ่มตัวอย่างมากครั้งขึ้นเพื่อความน่าเชื่อถือ

กล้องจุลทรรศน์แบบใช้แสง (Optical Microscope : OM) สามารถใช้กับผงโลหะขนาด 0.5 – 100 ไมครอน เป็นวิธีที่สะดวกและประหยัดที่สุด แต่มีข้อด้อยคือกระบวนการคือมีระยะหักล้าก่อนทำให้แยกแยกของผงโลหะยาก กล้องจุลทรรศน์อิเล็กตรอน (Electron Microscope : EM) ให้ระยะหักล้ากได้มากกว่า ใช้ได้สำหรับผงโลหะขนาด 0.1 ไมครอนไปจนถึง 1 มิลลิเมตร แต่ตัวเครื่องมีราคาแพงกว่ากางล้องจุลทรรศน์แบบใช้แสง



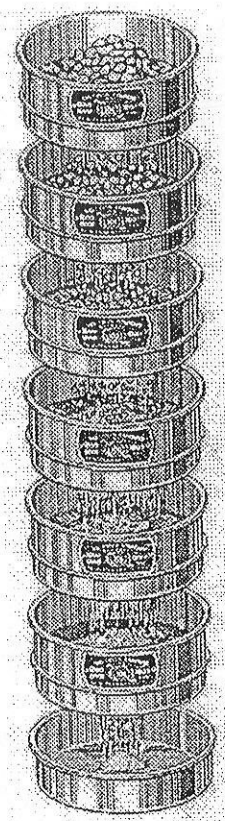
ภาพ 3.3 Agglomerated tungsten powder

- a) ภาพจากกล้องจุลทรรศน์อิเล็กตรอนแบบส่องการดู
- b) ภาพจากกล้องอิเล็กตรอนแบบส่องผ่าน

3.3.1.2 Screening

วิธีการวิเคราะห์ขนาดผงโลหะที่พื้นฐานที่สุดวิธีหนึ่งคือการใช้ตะแกรง โดยตะแกรงที่ได้จากการสารกันของ漉าทำให้เกิดช่องสี่เหลี่ยมจัตุรัส ลักษณะของการวิเคราะห์ขนาดผงโลหะด้วยวิธีนี้ (เรียกอีกอย่างหนึ่งว่า Sieve Analysis) แสดงดังภาพ 3.4 หมายเลข mesh size คือจำนวนของเส้น漉าต่อระยะหนึ่งนิ้ว หมายเลข mesh size ยิ่งมากยิ่งหมายถึงตะแกรงที่มีช่องขนาดเล็กขึ้น และในทางกลับกันหมายเลข mesh size น้อยหมายถึงตะแกรงที่มีช่องขนาดใหญ่ ตาราง 3.1 แสดง Standard Sieve Size ตามมาตรฐาน ASTM E11 ซึ่งขนาดของช่องในอนุกรมที่ปรากฏในตารางนี้มีการลดขนาดในอัตราส่วน $\sqrt{2}$ หรือ 1 : 1.1898

ถึงแม้ว่า Sieve analysis จะได้รับความนิยมแพร่หลาย แต่ก็ไม่ใช่ว่าจะปราศจากข้อจำกัดเลย ขนาดของช่องในตะแกรงอาจจะไม่ได้ขนาดขึ้นอยู่กับความเที่ยงตรงในการผลิต ปัญหาอีกอย่างหนึ่งคือการที่ผงโลหะขนาดเล็กกว่าไม่สามารถลอดผ่านตะแกรงไปได้ เพราะถูกผงโลหะขนาดใหญ่กั้นอยู่ แต่เมื่อผ่านตะแกรงไปแล้ว ผงโลหะขนาดใหญ่ก็จะถูกกั้นอยู่ในช่อง漉านี้ ทำให้ผลลัพธ์ที่ได้คือ漉าเคลื่อนไปทางขนาดใหญ่ขึ้นกว่าความเป็นจริง ปัญหานี้จะเพิ่มขึ้นเมื่ออัตราส่วนปริมาณผงโลหะต่อหน่วยพื้นที่ตะแกรงเพิ่มขึ้น นอกจากนี้ผงโลหะที่มีรูปร่างเป็นแท่งสามารถลอดผ่านช่องของตะแกรงได้ในบางทิศทาง จึงทำให้การกระจายตัวของขนาดผงโลหะคลาดเคลื่อนไปทางเล็กลงกว่าปกติ เวลาการทดสอบที่ผ่านเกินไปอาจเป็นสาเหตุผงโลหะแตกและมีขนาดเล็กลงกว่าปกติ เวลาการทดสอบที่สั้นเกินไปจะทำให้ผงโลหะที่มีขนาดเล็กกว่าช่องตะแกรงไม่มีเวลาพอที่จะหลอดผ่านช่องไป เนื่องจากปัญหาเหล่านี้การทดสอบวิธีนี้จึงต้องการมาตรฐานในการทดสอบเพื่อการเปรียบเทียบ ขนาดผงโลหะที่ได้จากการวิธีนี้คือ Sieve diameter (d_A)



ภาพ 3.4 ลักษณะของ Sieve analysis

ตาราง 3.1 Standard Sieve Size ตามมาตรฐาน ASTM E11

Mesh Number	Opening size (μm)	Permissible Variation +/- (μm)
18	1000	40
20	850	35
25	710	30
30	600	25
35	500	20
40	425	19
45	355	16
50	300	14
60	250	12
70	212	10
80	180	9
100	150	8
120	125	7
140	106	6
170	90	5
200	75	5
230	63	4
270	53	4
325	45	3
400	38	3

3.3.1.3 Sedimentation

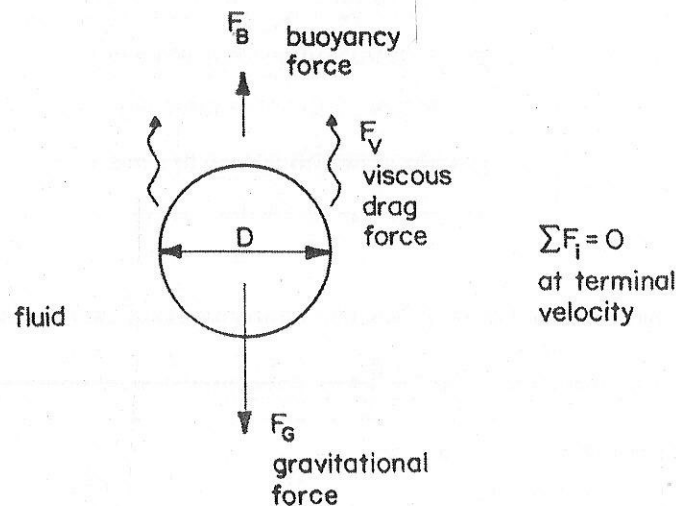
การวิเคราะห์ขนาดผงโลหะด้วยวิธีการตกละกาอนนิยมใช้กับผงโลหะขนาดเล็ก ($0.05 - 60 \text{ } \mu\text{m}$) โดยมีหลักการว่าผงโลหะเมื่อตกละกาอนในของเหลวจะมีความเร็วในการตกละกาอนไม่เท่ากันขึ้นอยู่กับขนาดผงโลหะโดยผงโลหะขนาดใหญ่จะตกละกาอนด้วยความเร็วสูงกว่าผงโลหะขนาดเล็ก การวิเคราะห์ขนาดผงโลหะด้วยวิธีนี้สามารถใช้กับผงโลหะที่เล็กลงได้อีกด้วยการใช้แรงเหวี่ยงหรือใช้ของเหลวที่มีความหนืดมากกว่าปกติ

ถ้าหากสมมุติว่าผงโลหะมีรูปร่างเป็นทรงกลม ความเร็วในการตกละกาอนในของเหลวสามารถหาได้จากสมดุลของแรงระหว่างแรงลอยตัว (Buoyancy force), แรงต้านทานการตกละกาอนของของเหลว (viscous drag force) และแรงโน้มถ่วงที่กระทำต่ออนุภาคผงโลหะ (ภาพ 3.5) หรืออาจมีแรงเหวี่ยง (centrifugal force) ร่วมด้วยในการนี้ที่ใช้แรงเหวี่ยงเพื่อวิเคราะห์ผงโลหะขนาดเล็ก

$$F_B : \text{Buoyancy force} = \frac{4}{3} \pi R^3 \rho g$$

$$F_V : \text{Viscous drag force} = 6\pi\eta R v_s$$

$$F_G : \text{Gravitational force} = \frac{4}{3} \pi R^3 \rho_s g$$



ภาพ 3.5 Free Body Diagram ของอนุภาคทรงกลมในของเหลว

ที่ Steady state : $\sum F_i = 0$

$$F_B + F_V - F_G = 0 \text{ หรือ } \frac{d\nu_s}{dt} = 0 \text{ (ไม่มีอัตราเร่งหรือความเร็วคงที่)}$$

$$F_G = F_B + F_V$$

$$\frac{4}{3}\pi R^3 \rho_s g = \frac{4}{3}\pi R^3 \rho g + 6\pi\eta R v_s$$

$$6\pi\eta R v_s = \frac{4}{3}\pi R^3 (\rho_s - \rho)g$$

$$v_s = \frac{\frac{4}{3}\pi R^3 (\rho_s - \rho)g}{6\pi\eta R}$$

$$= \frac{2R^2 (\rho_s - \rho)g}{9\eta}$$

$$= \frac{d^2 (\rho_s - \rho)g}{18\eta}$$

$$v_s = \boxed{\frac{d^2 (\rho_s - \rho)g}{18\eta}}$$

d : เส้นผ่านศูนย์กลางของอนุภาค (m)

ρ_s : ความหนาแน่นของอนุภาค (kg/m^3)

ρ : ความหนาแน่นของเหลว (kg/m^3)

g : อัตราเร่งแรงโน้มถ่วงโลก (9.8 m/s^2)

η : ความหนืดของเหลว (Ns/m^2)

สมการที่ได้ก็คือ Stokes Law ในทางปฏิบัติจะทำการวัดความสูงของขั้นตอนเมื่อเวลาเปลี่ยนไป ซึ่งก็

คือความเร็วในการตกตะกอนของผงโลหะ ($v_s = \frac{dh}{dt}$) สามารถนำไปแทนค่าหาขนาดของผงโลหะได้ โดยเปลี่ยนรูปสมการให้อยู่รูปของ d

$$d = \left(\frac{18\eta}{g(\rho_s - \rho)} \frac{h}{t} \right)^{1/2}$$

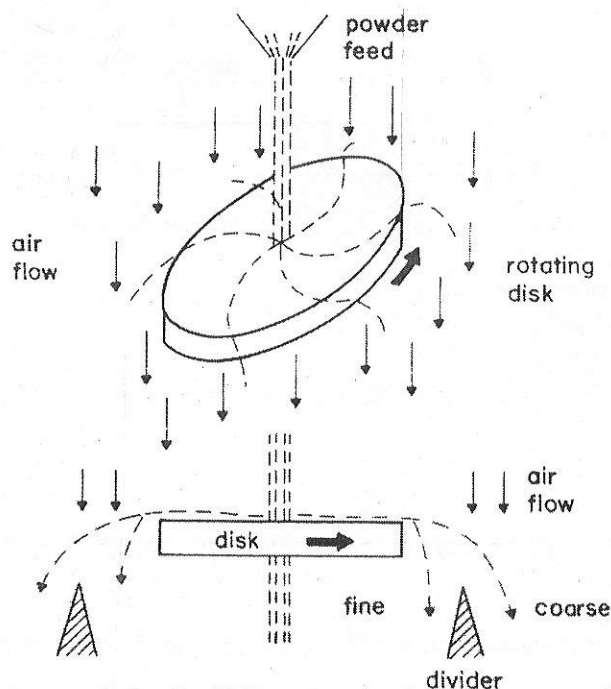
จะเห็นได้ว่าความสูงของขั้นตอนที่เปลี่ยนแปลงไปตามเวลาเมื่อนำไปคำนวณจะได้การกระจายตัวของขนาดผงโลหะ โดยผงโลหะที่มีขนาดใหญ่จะมีความเร็วในการตกตะกอนมากกว่าผงโลหะที่มีขนาดเล็ก เครื่องวิเคราะห์ขนาดผงโลหะด้วยวิธีการตกตะกอนสมัยใหม่อาจใช้หลักการการที่ขั้นตอนบังเสียงหรือลำแสง x-ray แล้วนำค่าความสูงของขั้นตอนที่ได้ไปคำนวณแล้วสร้างเป็นกราฟออกมาร้อยต่อนมติ

ความคลาดเคลื่อนของภาวิเคราะห์ขนาดผงโลหะด้วยวิธีการนี้อาจเกิดจาก (1) ผงโลหะบางชนิดมีรูพรุนภายในทำให้มีน้ำหนักเบากว่าปกติและตกตะกอนช้า ทำให้ค่าที่ได้คลาดเคลื่อนไปทางที่ลະเอียดขึ้น (2) ผงโลหะบางชนิดมีรูปร่างซับซ้อนและตกตะกอนไม่เป็นเส้นตรงดิ่ง โดยเป็นลักษณะคล้ายไปมา ทำให้ระยะทางและความเร็วคลาดเคลื่อนไป ขนาดผงโลหะที่ได้จะคลาดเคลื่อนไปในทางที่ลະเอียดขึ้น (3) สำหรับผงโลหะที่มีความ

จะมีค่ามากจะค่อนข้างอ่อนไหวต่อการไหลเวียนของของเหลว ซึ่งถ้า $Re = \frac{\rho V d}{\eta}$ มีค่าเกิน 1.2 ค่าที่จะได้ไม่มี

ความน่าเชื่อถือ (4) ปริมาณผงโลหะที่เติมลงไปในของเหลวทั้งหมดต้องเจือจางเพียงพอ ที่จะไม่ทำให้เกิดอันตรายระหว่างผงโลหะด้วยกัน รวมถึงอันตรายระหว่างผงโลหะกับผังภาชนะด้วย ก่อสร้างคือมี mean free path (ระยะทางการเคลื่อนที่ของอนุภาคโดยไม่มีการชนและลี้) สูง

อีกรูปแบบหนึ่งของการวิเคราะห์ขนาดผงโลหะด้วยหลักการการทดลองคือ การแยกขนาดด้วยอากาศ (Air Classification: ASTM B293) ผงโลหะที่ต้องการวิเคราะห์ขนาดจะถูกปล่อยให้ตกลงบนแผ่นจานที่กำลังหมุนรอบตัวเอง ผงโลหะจะถูกเรียกว่าให้หลุดออกนอกแผ่นไปตกยังบริเวณต่าง ๆ ผงโลหะที่มีขนาดใหญ่จะถูกเรียกว่าไกลกกว่าผงโลหะที่มีขนาดเล็ก (ภาพ 3.6) วิธีการนี้นิยมใช้ในอุตสาหกรรมที่ต้องการความรวดเร็วในการวิเคราะห์ขนาดมากกว่านำมาใช้ในการวิจัย



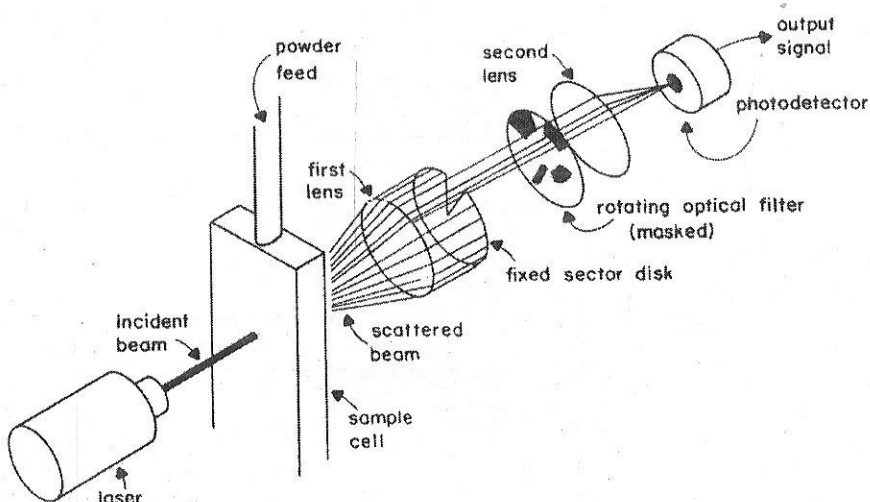
ภาพ 3.6 การวิเคราะห์ขนาดผงโลหะด้วยวิธีการ Air classification

3.3.1.4 Light Scattering

มีเทคนิคในการวัดขนาดผงโลหะโดยอาศัยการไหลของสารแขวนลอย (ระหว่างอนุภาคและของเหลว) อยู่หลายวิธี ซึ่งทุกวิธีนั้นมีหลักการเหมือนกันคือตรวจจับความไม่ต่อเนื่องที่พบในสารแขวนลอยที่ไหลอยู่ ความไม่ต่อเนื่องที่ตรวจพบจะมีขนาดที่สามารถนำไปสร้างความสัมพันธ์กับขนาดผงโลหะได้ เครื่องมือที่ใช้วัดจะถูกปรับตั้งค่าให้ถูกต้องกับความเป็นจริงแล้วนำค่าที่ได้ไปสร้างกราฟโดยอัตโนมัติ เนื่องจากเป็นเทคนิคที่มีความรวดเร็วและอัตโนมัติจึงทำให้ได้รับความนิยมมาก ประเด็นหนึ่งที่เกี่ยวข้องกับเทคนิคเหล่านี้คือ Dynamic range ซึ่งค่า Dynamic range เป็นช่วงระหว่างขนาดของผงโลหะที่ใหญ่ที่สุดถึงผงโลหะที่เล็กที่สุด Dynamic range ยิ่ง

ມີຄໍານາກໝາຍຄວາມວ່າເຄື່ອງມີອັນນີ້ມີຄວາມສາມາດຕຽບພິໂລະທີ່ດີ່
ຕ້ອນເນື່ອທີ່ແຕກຕ່າງກັນໄດ້ມາກ

ໜຶ່ງໃນເຖິງທີ່ໃຫ້ລັກການນີ້ກີ່ກາຮະວັດກາຮະຈິງຂອງແສ (Light Scattering) ວິທີກີ່ກີ່ໃຫ້ລຳແສ monochromatic ອ້ອງແສແລ້ວອ່ອສອງຝ່ານສາງແກ່ນລອຍທີ່ກຳລັງໄໝລອ່ອງ ເນື່ອແສສອງກະກົບອຸປະກອນນູ່ກາຈະທຳໄໝເກີດກາຮ້າເຫັນແສ ມຸນກາຮ້າເຫັນແສຈະເປັນສ່ວນກັບກັບຂະນະຂອງພິໂລະ ກລ່າວກີ່ອັນພິໂລະມີຂະນະເລື້ອກຈະທຳໄໝເກີດກາຮ້າເຫັນແສມາກ ອັນພິໂລະມີຂະນະໃໝ່ຈະທຳໄໝເກີດກາຮ້າເຫັນແສນ້ອຍ ແສທີ່ຖຸກທຳໄໝເກີດກາຮ້າເຫັນແສມາກ ໄປຢັ້ງ photo detector ເພື່ອນໍາໄປຄໍານາມກາຮະຈາຍຕ້າງຂະນະພິໂລະດ້ວຍເຄື່ອງຄອມພິວເຫຼວ່າຕ້ອໄປ ເຖິງ light scattering ໂດຍທ່ວ່າໄປສາມາດໃຫ້ Dynamic range ໄດ້ສູງເຖິງ 60:1 ສ່ວນໃໝ່
ເໝາະສໍາຫວັບໃຫ້ກັບພິໂລະຂະນະ 1 – 250 ໂມຄຣອນ



ກາພ 3.7 ກາຮີເຄວາໜີກາຮະຈາຍຂອງຂະນະພິໂລະດ້ວຍເຖິງ light scattering

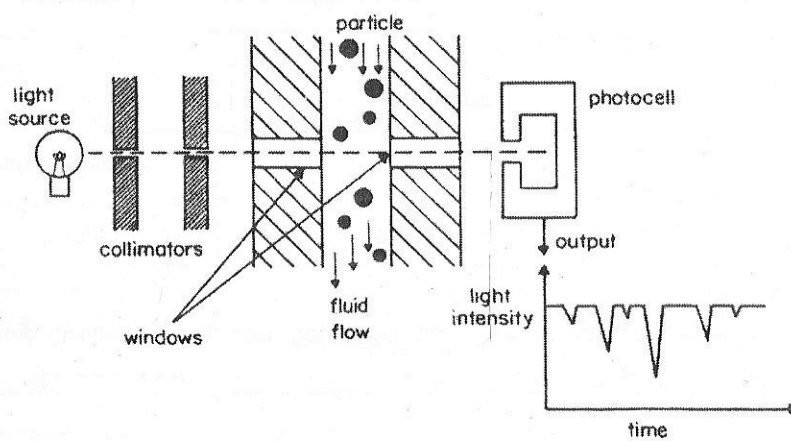
ຂ້ອຈຳກັດຂອງເຖິງທີ່ກາຮະວັດຂະນະພິໂລະດ້ວຍວິທີ Light scattering ດີ່ (1) ດຳທີ່ປັບຕັ້ງໄວ້ໃນເຄື່ອງມັກຈະ
ອີງກັບກາຮະສາມມຸດວ່າຜົນພິໂລະເປັນທຽບກອມ ດັ່ງນັ້ນດ້ານທີ່ກາຈະທຳໄໝເກີດເຄົ້າໂຄດເຄົ້າໂນ
ໄໝ ອ່ອຍ່າງໄວ້ກີ່ດຳເນີນພິໂລະຮູ່ປາກພິໂລະທີ່ກາຈະທຳໄໝເກີດເຄົ້າໂຄດເຄົ້າໂນໄປທາງຫຍາບເຂົ້ນ (2)
ຜົນພິໂລະທີ່ມີກາຮະ agglomeration ຈະທຳໄໝເກີດເຄົ້າໂຄດເຄົ້າໂນໄປທາງຫຍາບເຂົ້ນ (3)
ຄວາມໃຫ້ຈຳນວນປະກາຊາຂອງພິໂລະໃນຂອງເໜີໄໝໜ້າແນ່ນເກີນໄປ ເນື່ອຈາກຈະທຳໄໝພິໂລະເຂົ້າໄປໃນບວງເວັນ
ລຳແສພິວກົມກັນນັ້ນວ່າໜີ່ອຸປະກອນ ທຳໄໝເກີດຄວາມຄຸດເຄົ້າໂນໄດ້

ດຶງແນ່ຈະມີຂ້ອຈຳກັດດັ່ງກ່າວ ແຕ່ຄວາມສະດວກແລະກວດເວົ້າໃນກາຮີເຄວາໜີທຳໄໝເຖິງຄື້ນຍັງຄົງໄດ້ຮັບຄວາມ
ນິຍົມສູນມາກ

3.3.1.5 Light blocking

ເຖິງທີ່ເປັນອົກເຖິງທີ່ມີໜີ້ລັກກາຮ້າກີ່ຕຽບຈັບຄວາມໄມ່ຕ້ອນເນື່ອທີ່ເກີດຂຶ້ນໃນສາງແກ່ນລອຍທີ່ກຳລັງໄໝລອ່ອງ
ໂດຍແຕກຕ່າງຈາກ Light scattering ດີ່ຈາກກາຮະຈັບກາຮ້າເຫັນແສເປັນກາປັບແສຂອງພິໂລະ ວິທີກີ່ກີ່ມີ

แสงจากแหล่งกำเนิดแสงสองฝ่ายผ่านผงโลหะที่อยู่ในของเหลวที่กำลังไหล ผงโลหะจะบังแสง ทำให้เกิดความไม่ต่อเนื่องของความเข้มของแสงที่ตากกราฟบน photocell ผงโลหะที่มีขนาดใหญ่จะบังแสงเป็นเวลานาน ในขณะที่ผงโลหะขนาดเล็กจะบังแสงไปน้อยและเป็นเวลาสั้น Dynamic range ของเทคนิคนี้มีค่าประมาณ 30:1 การที่ dynamic range ของเทคนิคนี้ต่างกว่า light scattering เพราะขนาดของผงโลหะเล็กที่สุดที่วัดได้ขึ้นอยู่กับความสามารถในการแยกแยะของแสงซึ่งก็คือ 2 ไมครอน (เป็นข้อจำกัดจากการขยายคลื่นของแสงทำให้ไม่สามารถแยกแยะความแตกต่างมากกว่านี้ได้ ในทำนองเดียวกันกล้องจุลทรรศน์แบบใช้แสงก็ไม่สามารถแยกแยะความแตกต่างได้ละเอียดกว่า 2 ไมครอนเช่นกัน)

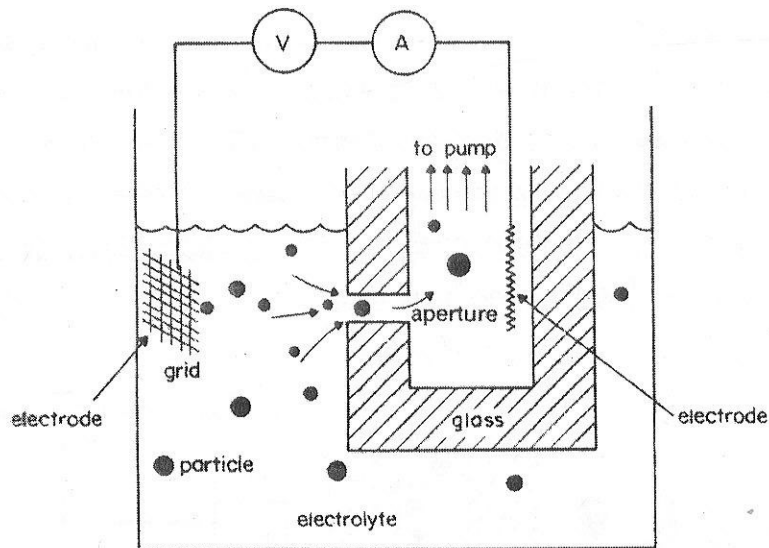


ภาพ 3.8 การวิเคราะห์การกระจายขนาดผงโลหะด้วยเทคนิค light blocking

ข้อจำกัดของเทคนิคถ่ายคลื่นกับเทคนิค Light scattering คือต้องให้จำนวนประชากรของผงโลหะในของเหลวเจือจางเพียงพอที่จะหลีกเลี่ยงการเข้าไปในบริเวณลำแสงพร้อม ๆ กัน รวมทั้งต้องระวังไม่ให้เกิด agglomeration ทั่วไป เช่นกัน

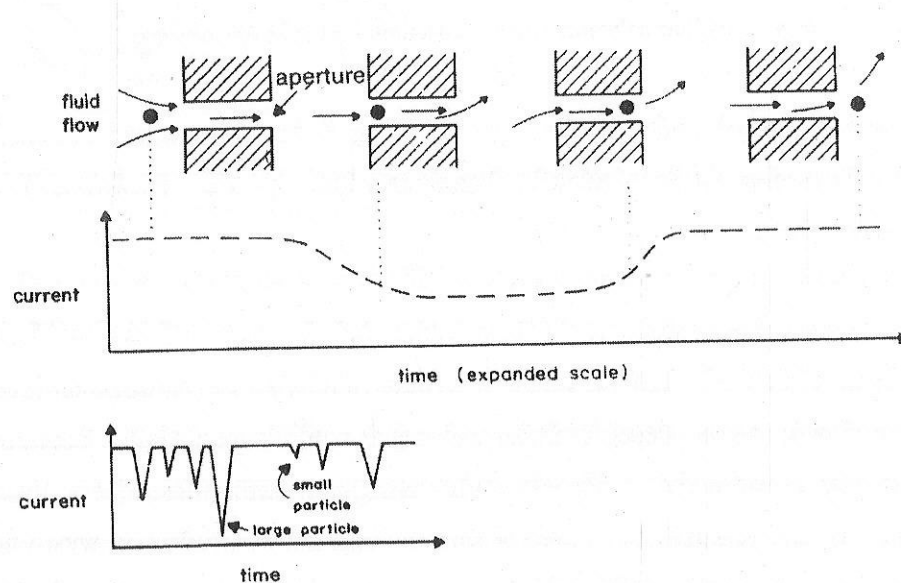
3.3.1.6 Electrical Conductivity

การตรวจจับความไม่ต่อเนื่องในสารแขวนลอยที่กำลังไหลอีกชิ้นหนึ่งคือการตรวจจับปริมาณกระแสไฟฟ้า ซึ่งมีมาตรฐานการวัดตาม ASTM C690 ซึ่งเป็นวิธีการเดียวกันกับการวัดจำนวนเม็ดโลหิต ซึ่งสามารถนำมาประยุกต์ใช้กับการวัดขนาดผงโลหะได้ วิธีการคือภายในภาชนะบรรจุสารแขวนลอยระหว่าง Electrode (น้ำเกลือเข้มข้น 1%) และผงโลหะที่ต้องการวัดขนาด มีกรอบแก้วที่ไม่นำไฟฟ้าเป็นตัวแบ่งระหว่าง electrode ภายในและภายนอก กรอบแก้วดังกล่าวมีช่องให้สารแขวนลอยไหลผ่านได้ สารแขวนลอยจะถูกทำให้ไหลผ่านช่องดังกล่าวด้วยระบบปั๊ม เมื่อผงโลหะเข้าไปในบริเวณช่องดังกล่าวจะทำให้กระแสไฟฟ้าที่วัดได้เปลี่ยนแปลงไปโดยผงโลหะขนาดใหญ่จะทำให้กระแสไฟฟ้าเปลี่ยนแปลงเป็นปริมาณมากกว่าและนานกว่า ผงโลหะขนาดเล็กจะทำให้ค่ากระแสไฟฟ้าเปลี่ยนแปลงเป็นปริมาณน้อยและสั้นกว่า ค่าที่ได้จะถูกบันทึกและนำไปคำนวณเปรียบเทียบกับค่าที่ปรับตั้งไว้ในเครื่องคอมพิวเตอร์ในรูปแบบเดียวกันกับเทคนิค light scattering และ light blocking



ภาพ 3.9 การวิเคราะห์การกระจายของขนาดผงโลหะด้วยเทคนิค electrical conductivity

ข้อจำกัดของเทคนิคลักษณะกับเทคนิค Light scattering และ light blocking คือควรให้จำนวนประชากรของผงโลหะในของเหลวเดียวกันจากการเพียงพอ รวมทั้ง agglomeration ทำให้ค่าที่วัดได้คลาดเคลื่อนด้วยเช่นกัน



ภาพ 3.10 ภาพจำลองการเปลี่ยนแปลงของกระแสไฟฟ้าเมื่อผงโลหะเข้าในบริเวณช่องตรวจ

เมื่อพิจารณาเปรียบเทียบวิธีการวิเคราะห์ขนาดผงโลหะทุกวิธีแล้วจะพบว่าข้อได้เปรียบและข้อจำกัดแตกต่างกันออกไป ซึ่งการเลือกใช้งานควรเลือกใช้ให้เหมาะสมกับขนาดและประเภทของผงโลหะที่ต้องการทดสอบ ตาราง 3.2 สรุปเกี่ยวกับการวิเคราะห์ขนาดผงโลหะ

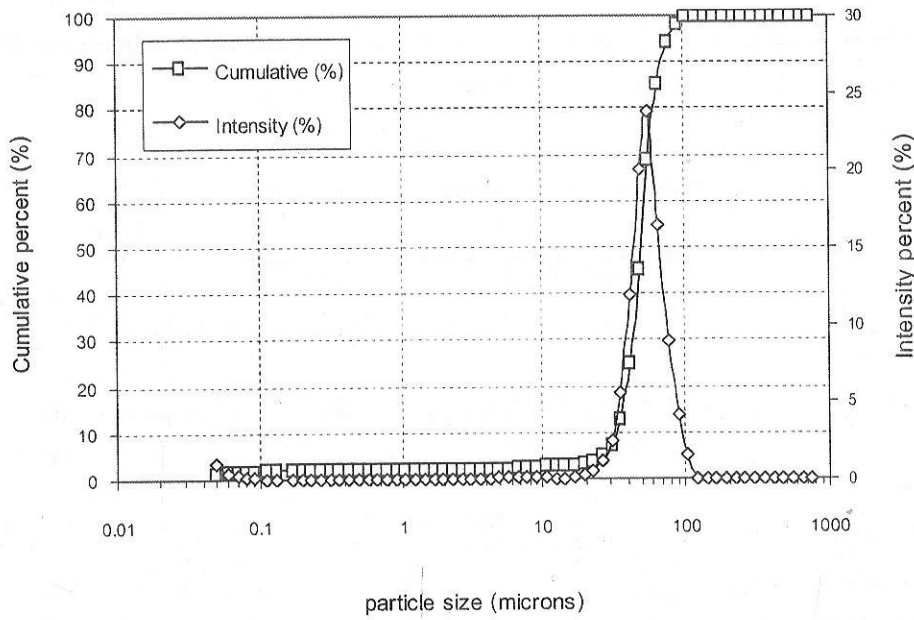
ตาราง 3.2 สรุปเกี่ยวกับการวิเคราะห์ขนาดผงโลหะ

Method	Measurement Basis	Parameter Measured	Size Range (μm)	Dynamic Range
Microscopy				
Optical	Projected Image	d_a	> 2	30:1
Electron			>0.001	30:1
Screening				
Woven screen	Weight Fraction	d_A	> 38	30:1
Electroformed screen			> 5	10:1
Sedimentation				
Air gravity	Settled Height	d_F	1 to 50	50:1
Liquid centrifuge			0.02 to 30	50:1
Light Scattering	Scattered Angle	d_a	0.1 to 200	60:1
Light Blocking	Light Intensity	d_a	2 to 400	30:1
Electrical Conductivity	Electrical Current	d_V	0.4 to 400	27:1

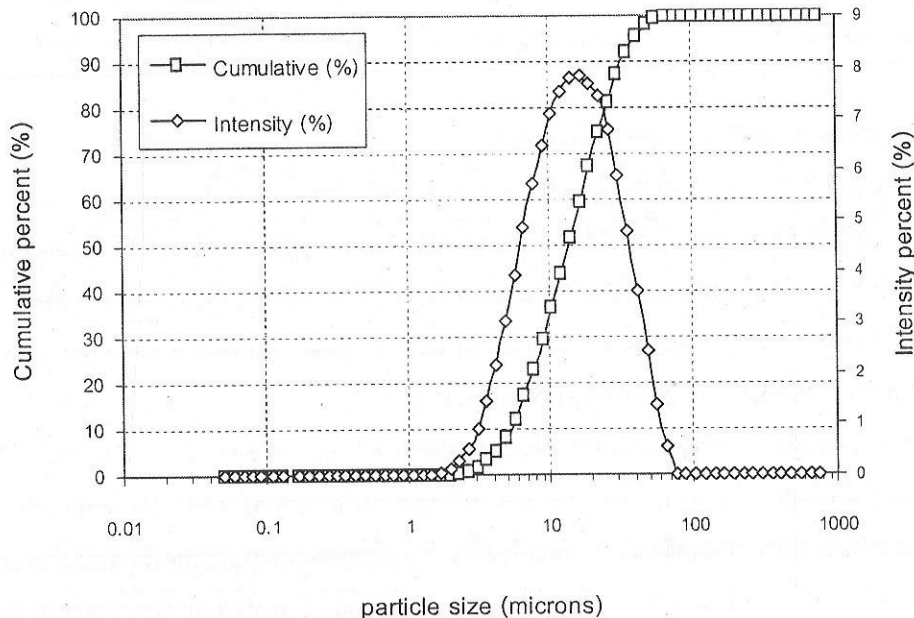
3.3.1.7 การรายงานผลวิเคราะห์ขนาดผงโลหะ

การรายงานผลวิเคราะห์ขนาดผงโลหะนิยมทำในสองรูปแบบคือ (1) Frequency plot และ (2) Cumulative plot สำหรับ Frequency plot คือกราฟแสดงเบอร์เซ็นต์ความถี่ของผงโลหะที่มีขนาดอยู่ในแต่ละช่วง ส่วน Cumulative plot คือกราฟแสดงเบอร์เซ็นต์ของผงโลหะที่มีขนาดน้อยกว่าขนาดผงโลหะที่ระบุ ภาพ 3.11 และ 3.12 แสดงตัวอย่างการรายงานผลการวิเคราะห์ผงโลหะ Ti และ Ni ด้วยเทคนิค Light scattering จะเห็นได้ว่าผง Ti และ Ni มีขนาดเฉลี่ย 59.6 และ 19.6 ไมครอน ตามลำดับ

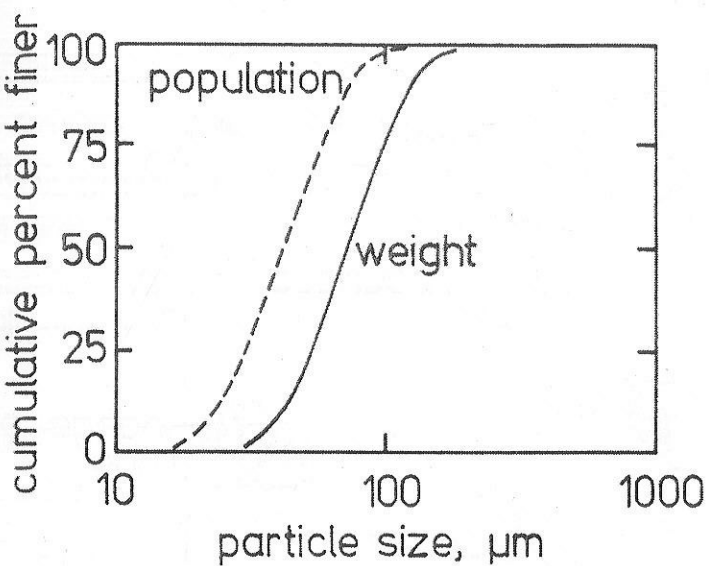
สิ่งที่ควรทราบเกี่ยวกับการรายงานผลวิเคราะห์ขนาดผงโลหะคือ ในกรณีที่ค่าในกราฟคลิตจากน้ำหนักจะให้ค่าที่ต่างจากในกรณีที่คิดจากประชากร โดยการกระจายตัวของน้ำหนักกราฟจะเคลื่อนไปทางขวาขึ้น แต่การกระจายตัวของประชากรกราฟจะเคลื่อนไปทางขวาขึ้น ทั้งนี้เนื่องจากผงที่มีขนาดเล็กจะมีน้ำหนักน้อยกว่าผงที่มีขนาดใหญ่ ภาพ 3.13 แสดงการเปรียบเทียบของ Cumulative plot ระหว่างการกระจายตัวของน้ำหนักและการกระจายตัวของประชากร จะสังเกตได้ว่าขนาดผงโลหะเฉลี่ยที่ได้แตกต่างกันพอสมควร โดยการกระจายตัวของน้ำหนักมีขนาดเฉลี่ยประมาณ 72 ไมครอน ส่วนการกระจายตัวของประชากรมีขนาดเฉลี่ยประมาณ 42 ไมครอน เทคนิคการวิเคราะห์ที่ให้การกระจายตัวของน้ำหนักได้แก่ screening เป็นต้น เทคนิคการวิเคราะห์ที่ให้การกระจายตัวของประชากรได้แก่ microscopy เป็นต้น



ภาพ 3.11 แสดงตัวอย่างการรายงานผลการวิเคราะห์ผงโลหะ Ti ด้วยเทคนิค Light scattering



ภาพ 3.12 แสดงตัวอย่างการรายงานผลการวิเคราะห์ผงโลหะ Ni ด้วยเทคนิค Light scattering



ภาพ 3.13 แสดงการเปรียบเทียบของ Cumulative plot ระหว่างการกระจายตัวของน้ำหนักและการกระจายตัวของประชากร

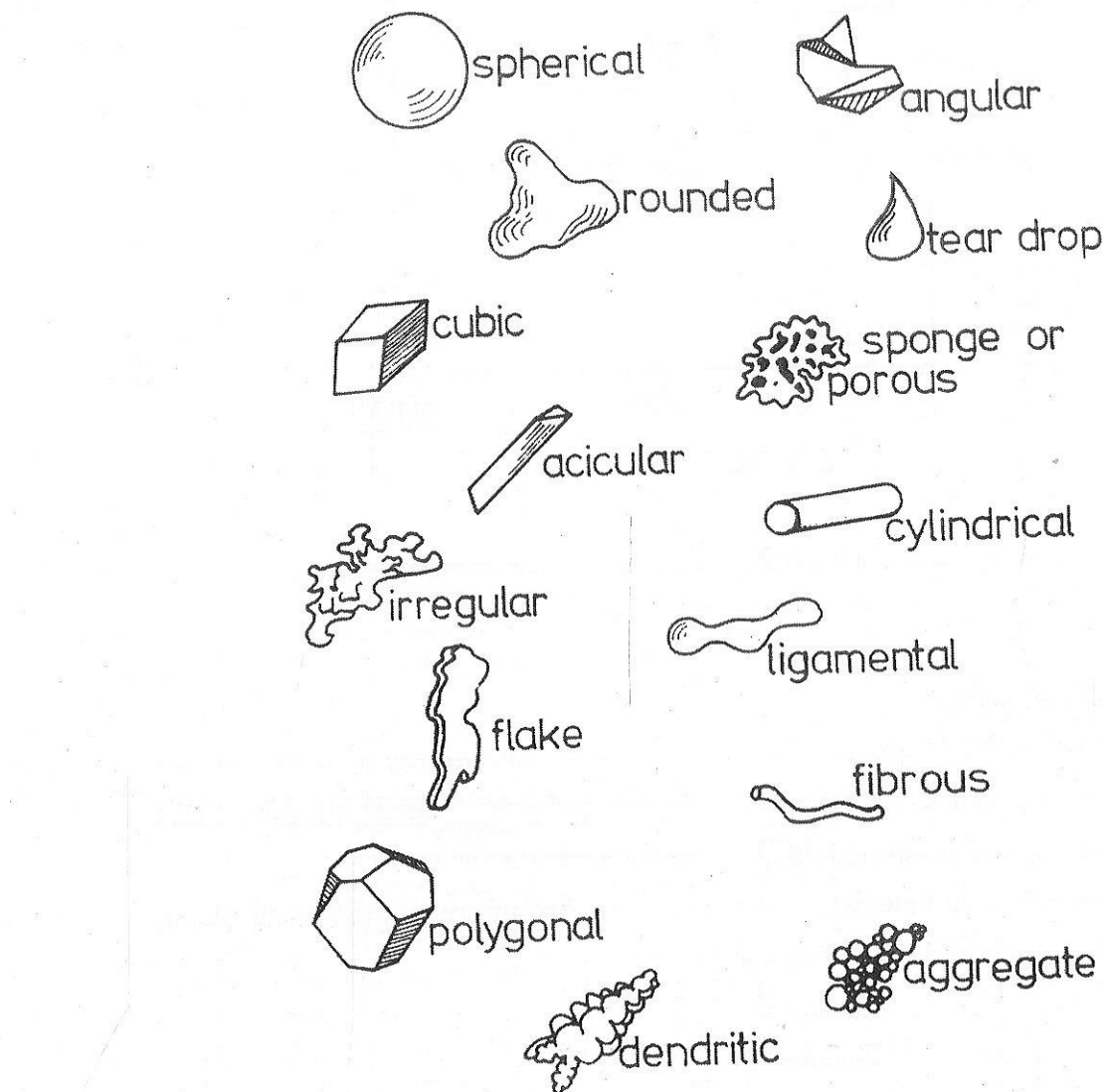
3.3.2 รูปร่างของผงโลหะ

รูปร่างของผงโลหะมีผลต่อ Inter-particle friction, flowability, compressibility ซึ่งมีผลต่อการนำไปใช้ในขั้นตอนการอัดและเผาประสาน รูปร่างของผงโลหะยังบอกข้อมูลเกี่ยวกับการผลิตอย่างคร่าวๆ ให้ทราบได้ดีก็ด้วย เนื่องจากกระบวนการผลิตผงโลหะแต่ละวิธีให้รูปร่างของผงโลหะที่แตกต่างกันออกไป

เนื่องจากการระบุรูปร่างผงโลหะเชิงปริมาณทำได้ยาก จึงนิยมที่จะระบุรูปร่างผงโลหะเชิงคุณภาพมากกว่า โดยมีชื่อเรียกรูปร่างผงโลหะที่แตกต่างกันออกไป เช่น

Acicular	:	เป็นเข็ม, แท่ง
Angular	:	เป็นเหลี่ยม, มน, ด้านมีแหลมคม
Aggregate	:	กลุ่มก้อนรวมตัวเป็นกระจุก
Polygonal	:	ทรงหลายเหลี่ยม
Dendritic	:	เป็นกิ่งก้าน
Fibrous	:	เป็นเส้น
Flaky	:	เป็นแผ่น
Granular	:	เป็นก้อน, มีลักษณะเป็นปกติทั้งอนุภาค
Nodular	:	รูปร่างกลมแต่ไม่สมบูรณ์
Spherical	:	ทรงกลม
Sponge	:	เป็นก้อนมีรูพรุนภายใน
Ligament	:	เป็นก้อน, กลมมน, ริ
Irregular	:	ไม่สามารถอธิบายได้

ลักษณะรูปร่างของผงโลหะและชื่อเรียกข้างต้นที่ได้กล่าวมาแสดงในภาพ 3.14



ภาพ 3.14 แสดงภาพตัวอย่างลักษณะรูปร่างของผงโลหะและชื่อเรียกข้างต้นที่ได้กล่าวมา

สำหรับการระบุรูปร่างของผงโลหะเริ่บปริมาณส่วนใหญ่นิยมอาศัยพื้นที่ผิวของผงโลหะเป็นตัวระบุ โดยนิยามให้ Sphericity (Ψ) เป็นอัตราส่วนระหว่างพื้นที่ผิวของทรงกลมต่อพื้นที่ผิวของผงโลหะชนิดนั้น โดยพื้นที่ผิวของทรงกลมได้จากการทรงกลมที่มีปริมาตรเท่ากับผงโลหะ ซึ่งค่า Sphericity จะมีค่าน้อยกว่าหนึ่งเสมอ (ทรงกลมเป็นทรงที่มีพื้นที่ผิวน้อยที่สุด) และยิ่งค่าน้อยเท่าใดหมายถึงความซับซ้อนของรูปร่างของผงโลหะมากขึ้นเท่านั้น

$$\Psi = \frac{\text{พื้นที่ผิวของทรงกลม}}{\text{พื้นที่ผิวของผงโลหะ}}$$

รูปร่างของผงโลหะจะขึ้นอยู่กับรวมวิธีการผลิตของผงโลหะชนิดนั้น ๆ เช่น ผงโลหะที่ได้จากการกระบวนการ Gas Atomization มักจะมีรูปร่างกลม, ผงโลหะที่ได้จากการกระบวนการ Water Atomization มักจะมีรูปร่าง Irregular, ผงโลหะที่ได้จากการกระบวนการ Milling และ Cold Stream มักจะมีรูปร่าง Angular หรือ Aggregate, ผงโลหะที่ได้จากการกระบวนการ Carbon Reduction มักจะมีรูปร่าง Sponge, ผงโลหะที่ได้จากการกระบวนการ Electrochemical มักจะมีรูปร่างแบบ dendrite, ผงโลหะที่ได้จากการกระบวนการ Carbonyl มักจะมีรูปร่างกลม เป็นต้น ตาราง 3.3 สรุปรูปร่างของผงโลหะที่เป็นไปได้จากการกระบวนการผลิตผงโลหะแต่ละวิธี

ตาราง 3.3 สรุปรูปร่างของผงโลหะที่เป็นไปได้จากการกระบวนการผลิตผงโลหะแต่ละวิธี

Powder Production Process	Possible Powder Shape
Gas Atomization	Spherical, Ellipsoid
Water Atomization	Irregular, Ligamental
Milling	Angular, Aggregate
Carbon Reduction, Hydrogen Reduction	Sponge
Electrochemical	Dendritic
Carbonyl	Spherical, Round

วิธีการวิเคราะห์รูปร่างของผงโลหะส่วนใหญ่มีใช้เพียงวิธี Microscopy เท่านั้น ซึ่งนิยมใช้กล้องจุลทรรศน์ ข้ามเล็กๆ ครอบแบบสองภาคเนื่องให้ระยะชัดลึกที่มากพอสำหรับการวิเคราะห์

3.3.3 พื้นที่ผิวของผงโลหะ

ผงโลหะมีพื้นที่ผิวต่อหน่วยมวลมากกว่าสุดชนิดเดียวกันที่มีเนื้อแน่นมาก บริมาณพื้นที่ผิวนิยมบอกเป็น พื้นที่ผิวต่อหน่วยมวล (Specific Surface Area) บริมาณพื้นที่ผิวมีผลต่อความสามารถในการอัด, ความเสียดทานระหว่างอนุภาค, ความไวต่อการเกิดปฏิกิริยา, ความไวต่อการปนเปื้อนและเงื่อนไขที่เหมาะสมในการเผาประสาน อย่างไรก็ได้การทราบพื้นที่ผิวต่อหน่วยมวลเพียงค่าเดียวไม่สามารถนำไปสู่การสรุปได้ โดยต้องนำไปพิจารณาร่วมกับคุณลักษณะอื่น ๆ ของผงโลหะ เช่น ขนาดผงโลหะ, รูปร่างของผงโลหะ เป็นต้น เนื่องจากผงโลหะที่มีขนาดเล็กหรือรูปร่างซับซ้อนย่อมมีพื้นที่ผิวมากกว่าผงโลหะอีกชนิดหนึ่งที่มีขนาดใหญ่กว่าหรือรูปร่างกลม ดังนั้นข้อมูลเกี่ยวกับขนาดและรูปร่างของผงโลหะจึงจำเป็นต้องถูกนำมาพิจารณาร่วมกัน โดยนำค่าพื้นที่ผิวที่ได้มาคำนวณเทียบเป็น Surface diameter (d_s)

การวิเคราะห์เพื่อหาปริมาณพื้นที่ผิวต่อหน่วยมวลของผงโลหะมีสองวิธีหลัก ได้แก่ Gas Adsorption และ Gas Permeability

3.3.3.1 Gas Adsorption Surface Area Analysis

การวิเคราะห์พื้นที่ผิวของผงโลหะด้วยวิธีนี้เริ่มต้นด้วยการทำสูญญากาศเพื่อเป็นการทำความสะอาดผิว ของผงโลหะให้พร้อมที่จะดูดกลืนแก๊สที่ใช้ในการวิเคราะห์ หลังจากนั้นผงโลหะที่ถูกทำความสะอาดผิวแล้วจะถูกทำให้อุ่นอย่างต่ำร้อยละ 100°C ที่ความดันต่าง ๆ แล้วบันทึกปริมาณ absorbing vapor ที่ถูก

ดูดกลืนไว้น้ำไปสร้างกราฟความสัมพันธ์กับ partial pressure แล้วนำค่าที่ได้จากการไปคำนวณพื้นที่ผิวต่อหน่วยมวลต่อไป ค่าที่ได้จากการวิเคราะห์ด้วยวิธีนี้เรียกว่า BET Specific Surface Area ตั้งชื่อตามผู้คิดค้น คือ Brunauer, Emmett และ Teller ซึ่งได้พัฒนาไว้ขึ้นในปี ค.ศ. 1938

ถ้าให้ P คือความดันที่ทดสอบของ adsorbate และ P_0 คือความดันอิมตัวของ adsorbate (ซึ่งเป็นอยู่กับชนิดของแก๊สและอุณหภูมิ) X เป็นมวลของแก๊สที่ถูกดูดกลืนที่ความดัน P และ X_m คือมวลของแก๊สที่จำเป็นต้องใช้เพื่อทำให้เกิดรั้นความหนาเท่ากับหนึ่งอะตอมของแก๊สบนผิวของผงโลหะ และค่า C คือค่าคงที่ของกระบวนการกราฟหาได้จากการทดลอง โดยตัวแปรทั้งหมดมีความสัมพันธ์ดังนี้

$$\frac{P}{X(P_0 - P)} = \frac{1}{X_m C} + \frac{C-1}{X_m C} \frac{P}{P_0}$$

ถ้าพิจารณาสมการข้างต้นเป็นสมการเส้นตรง

$$y = B + Ax$$

จะได้ว่า

$$y = \frac{P}{X(P_0 - P)}$$

$$B = \frac{1}{X_m C}$$

$$A = \frac{C-1}{X_m C}$$

$$x = \frac{P}{P_0}$$

เมื่อทำการทดลองที่ความดัน (P) ต่าง ๆ แล้วบันทึกมวลของแก๊สที่ถูกดูดกลืนไป (X) แล้วนำไปสร้างกราฟโดยให้ $\frac{P}{X(P_0 - P)}$ เป็นแกน y และ $\frac{P}{P_0}$ เป็นแกน x ดังภาพ 3.15 แล้วหาความชันและจุดตัดแกน y ค่าความชันของกราฟคือค่า A หรือ $\frac{C-1}{X_m C}$ จะตัดแกน y คือค่า B หรือ $\frac{1}{X_m C}$ จากค่า A และ B ที่ได้สามารถนำไปคำนวณค่า X_m ได้ดังนี้

$$A = \frac{C-1}{X_m C}$$

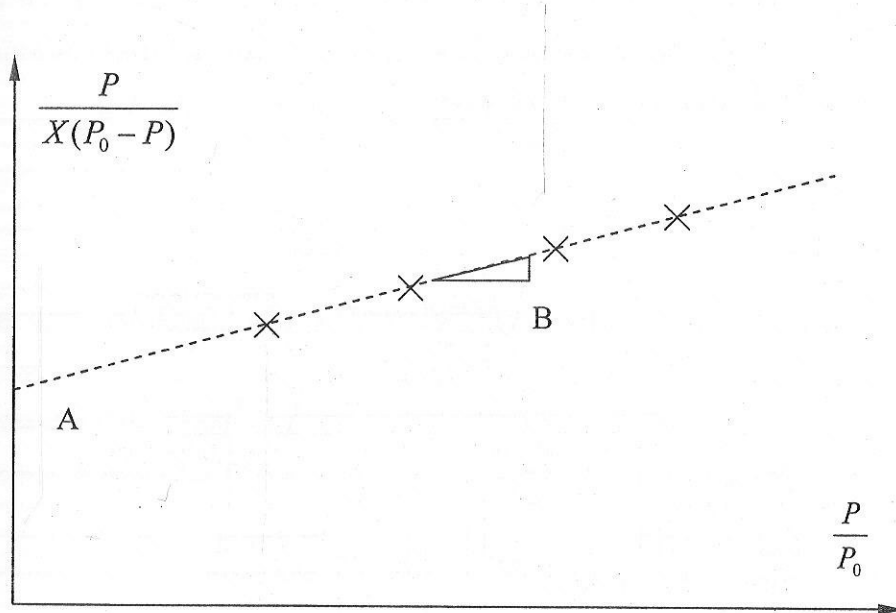
$$B = \frac{1}{X_m C}$$

$$A + B = \frac{C-1+1}{X_m C}$$

$$A + B = \frac{C}{X_m C}$$

$$A + B = \frac{1}{X_m}$$

$$X_m = \frac{1}{A + B}$$



ภาพ 3.15 การหาค่า A และ B จากกราฟความสัมพันธ์ระหว่าง $\frac{P}{X(P_0 - P)}$ และ $\frac{P}{P_0}$

และจากค่า X_m ที่ได้สามารถนำไปคำนวณหา BET Specific Surface Area (S_w) ได้จากสมการ

$$S_w = \frac{X_m N_0 A_0}{W M}$$

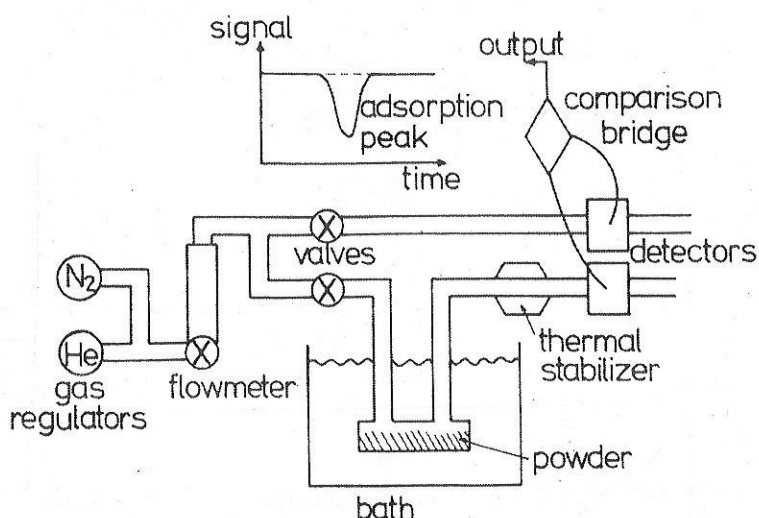
- | | | |
|-------|--|----------------------|
| เมื่อ | N_0 | คือ Arvogadro Number |
| A_0 | คือ พื้นที่เฉลี่ยต่อโมเลกุล (สำหรับ $N_2 = 16.2 \times 10^{-20} \text{ m}^2/\text{molecule}$) | |
| W | คือ น้ำหนักของผงในหน่วยที่ทดสอบ | |
| M | คือ มวลโมเลกุลของ absorbate | |

วิเคราะห์หน่วยได้ดังนี้

$$\left(\frac{m^2}{g}\right) = \frac{\left(g\right)\left(\frac{molecules}{mol}\right)\left(\frac{m^2}{molecules}\right)}{\left(g\right)\left(\frac{g}{mol}\right)}$$

ภาพ 3.16 แสดงแผนผังการทำงานของเครื่องวิเคราะห์พื้นที่ผิวของผงโลหะ แก๊ส absorbate จะถูกปล่อยผ่านวาล์วไปสองทาง ทางแรกคือเข้าสู่ตัวอย่างผงโลหะที่ต้องการวิเคราะห์ เมื่อ absorbate ถูกดูดกลืนด้วยผงโลหะแล้วจะผ่านไปสู่ detector ซึ่งจะทำการเปรียบเทียบมวลของ absorbate ที่หายไปกับ absorbate ที่มาจากการอัดแน่นซึ่งไม่ถูกดูดกลืนด้วยผงโลหะ แล้วนำค่าความแตกต่างไปคำนวณ

ตัวอย่างผลของการวิเคราะห์พื้นที่ผิวของผงโลหะด้วยวิธีนี้แสดงดังภาพ 3.17 ซึ่งเป็นการวิเคราะห์พื้นที่ผิวของผงแทนทาลัมรูปร่าง irregular ที่มีขนาดผงโลหะเฉลี่ย 4.1 ไมครอน โดยได้ความชันของกราฟเท่ากับ 2143 และอุดตันแกนเท่ากับ 60 เมตรนาโนเมตรที่ผิวต่อหน่วยมวลแล้วได้เท่ากับ $0.322 \text{ m}^2/\text{g}$



ภาพ 3.16 แสดงแผนผังการทำงานของเครื่องวิเคราะห์พื้นที่ผิวของผงโลหะ

ภาพ 3.17 ตัวอย่างการวิเคราะห์พื้นที่ผิวของผงแทนทาลัมที่มีขนาดผงโลหะเฉลี่ย 4.1 ไมครอน ซึ่งมีพื้นที่ผิวต่อหน่วยมวลแล้วเท่ากับ $0.322 \text{ m}^2/\text{g}$

3.3.3.2 Gas Permeability Surface Area Analysis

ความสามารถในการซึมผ่านของแก๊ส (Gas Permeability) ขึ้นอยู่กับพื้นที่ผิวต่อหน่วยมวลของผงโลหะดังนั้นถ้าสามารถวัดความสามารถในการซึมผ่านของแก๊สในผงโลหะได้ก็จะสามารถนำไปคำนวณพื้นที่ผิวต่อหน่วยมวลของผงโลหะได้ด้วยเช่นกัน จาก Darcy's Equation

$$\frac{1}{k_D} = \frac{A}{Q} \left(\left(\frac{P_0 - P_L}{L} \right) + \rho g \right)$$

เมื่อ	k_D	คือ Gas Permeability
	A	คือ พื้นที่หน้าตัดของตัวอย่างทดสอบที่ให้แก๊สไหลผ่าน
	$\frac{P_0 - P_L}{L}$	คือ Pressure Drop
	ρ	คือ ความหนาแน่นของแก๊ส
	g	คือ อัตราเร่งแรงโน้มถ่วงโลก

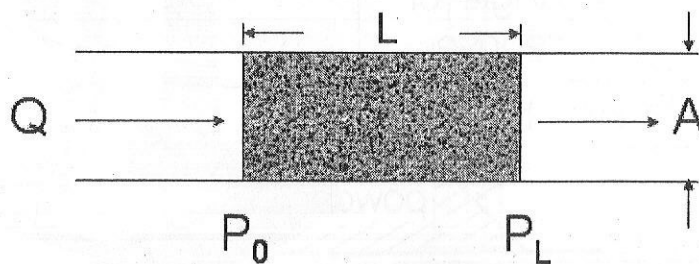
วิเคราะห์หน่วยได้ดังนี้

$$\left(\frac{Ns}{m^4} \right) = \frac{\left(m^2 \right) \left(\frac{N}{m^2} \right)}{\left(\frac{m^3}{s} \right)}$$

ภาพ 3.18 แสดงลักษณะและตัวแปรในการทดสอบ Gas Permeability ถ้าลักษณะการทดสอบเป็น
แนวอน พจน์ ρg มีค่าเป็นศูนย์ เมื่อทำการทดสอบโดยปล่อยให้แก๊สไหลผ่านตัวกลางคือผงโลหะความดันที่
ตกลงจะถูกวัดแล้วนำไปคำนวนหาค่า k_D และจากค่า k_D ที่ได้จะถูกนำไปคำนวณเป็นพื้นที่ผิวจาก
ความสัมพันธ์ของ Kozeny และ Carman

$$S = \frac{1}{\rho_m} \left[\frac{1}{5k_D} \frac{\varepsilon^3}{(1-\varepsilon)^2} \right]^{1/2}$$

เมื่อ ε คือ Porosity ของผงโลหะ



ภาพ 3.18 ลักษณะและตัวแปรในการทดสอบ Gas Permeability

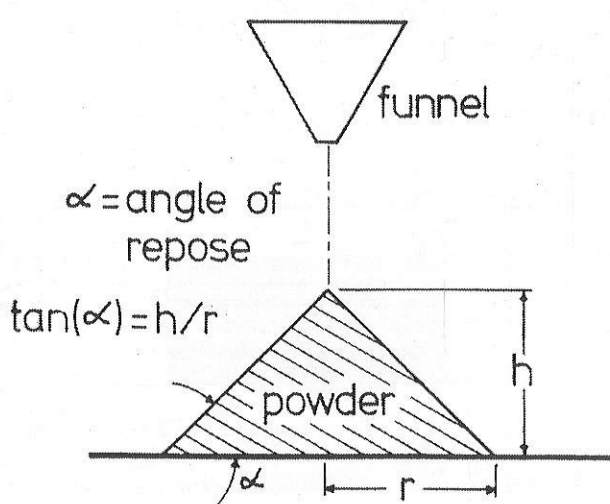
โดยทั่วไปแล้ววิธีการนี้สามารถหาพื้นที่ผิวได้ดีสำหรับผงโลหะขนาด 5 ถึง 50 ไมครอน ถึงแม้ว่าวิธีการนี้จะมีความแม่นยำน้อยกว่า BET Specific Surface Area Analysis แต่เนื่องจากความง่ายและสะดวกจึงทำให้มีการใช้อย่างแพร่หลายเช่นกัน

3.3.4 ความเสียดทานระหว่างอนุภาค (Inter-particle friction)

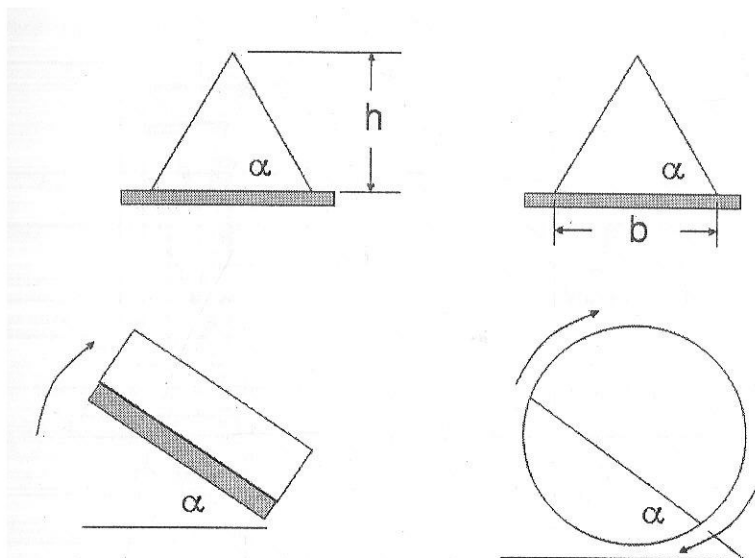
ความเสียดทานระหว่างอนุภาคมีบทบาทสำคัญเกี่ยวกับความสามารถในการไหล (Flowability) และความสามารถในการอัด (Compressibility) ของผงโลหะ นอกจากนี้ยังเกี่ยวข้องกับการถ่ายเทและขนส่งผงโลหะด้วย

เมื่อพื้นที่ผิวของผงโลหะเพิ่มขึ้นความเสียดทานในมวลของผงโลหะก็จะเพิ่มขึ้นด้วย เมื่อความเสียดทานเพิ่มขึ้นทำให้ต้องใช้แรงในการอัดเพิ่มขึ้นเพื่อเข้าแน่นความเสียดทาน การใช้แรงอัดที่เพิ่มขึ้นอาจเป็นผลให้อัตราการสึกหรอของแม่พิมพ์สูงขึ้น ซึ่งทำให้การออกแบบแม่พิมพ์ เครื่องจักรและการอุปกรณ์กระบวนการผลิตต้องคำนึงถึงความเสียดทานระหว่างอนุภาคของผงโลหะแต่ละชนิดด้วย

รูปแบบของความเสียดทานระหว่างอนุภาคสามารถวัดได้จากการด้านท่านการไหลตัวของผงโลหะ โดยนิยามดัชนีชี้วัดความด้านท่านการไหลตัวของผงโลหะคือ Angle of repose (α) ภาพ 3.19 แสดงให้เห็นลักษณะของ Angle of repose ซึ่งคือมุมระหว่างความชันของกองผงโลหะกับระนาบตั้งฉากกับแรงโน้มถ่วงโลก วิธีการทดสอบเพื่อหา Angle of repose ทำได้หลายวิธีด้วยกัน ยกตัวอย่าง เช่น ปล่อยผงโลหะให้ไหลผ่านกรวยเทลงไปยังพื้นเรียบจนกว่ากองผงโลหะจะเป็นรูปกรวยที่มีเส้นผ่านศูนย์กลางฐานตามที่กำหนด หรืออาจจะปล่อยผงโลหะให้ไหลผ่านกรวยเทลงไปยังพื้นเรียบจนกว่ากองผงโลหะจะเป็นรูปกรวยที่มีส่วนสูงตามที่กำหนด อีกวิธีหนึ่งคือเทղงโลหะลงบนพื้นแล้วเอียงพื้นไปจนกว่าผงโลหะจะเริ่มไหลตัวให้ถือมุมนั้นเป็น Angle of repose หรืออาจจะทำโดยบรรจุผงโลหะลงในภาชนะทรงกระบอกแล้วหมุนภาชนะไปจนกว่าผงโลหะจะเริ่มไหลตัวแล้วถือว่าองศาที่หมุนไปเป็น Angle of repose ภาพ 3.20 แสดงวิธีการวัด Angle of repose แบบต่าง ๆ ยิ่งมุม Angle of repose มากหมายความว่าผงโลหะมีความสามารถด้านท่านการไหลตัวมากหรือมีความเสียดทานระหว่างผงโลหะมาก



ภาพ 3.19 Angle of repose

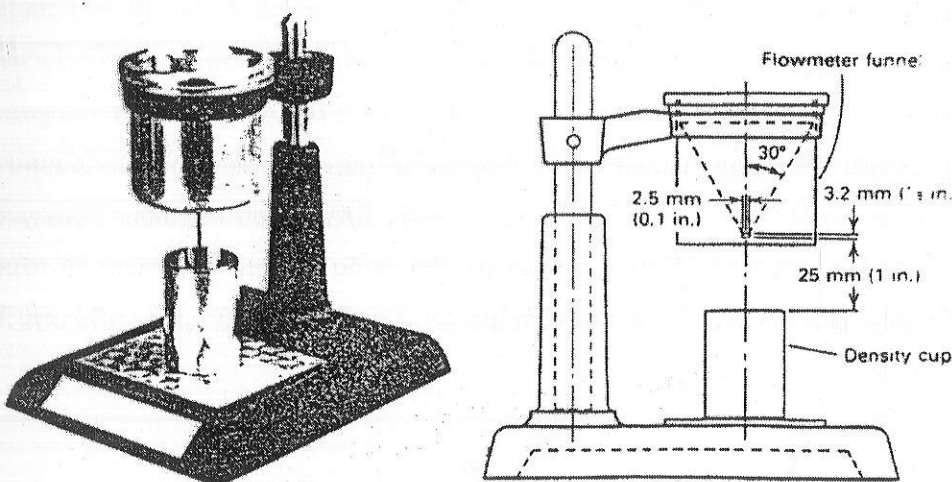


ภาพ 3.20 วิธีการวัด Angle of repose แบบต่าง ๆ

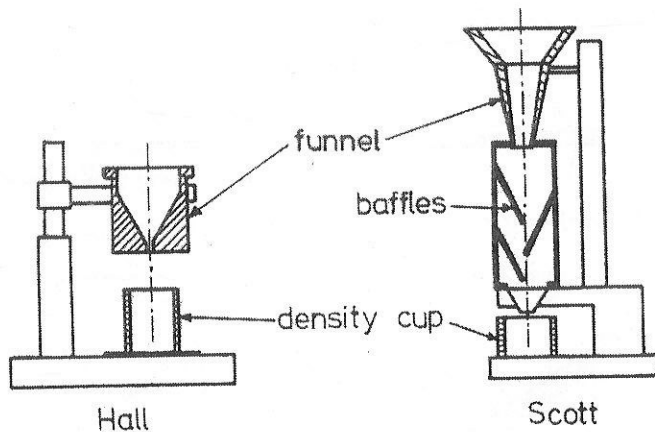
3.3.5 ความสามารถในการไหลตัว (Flowability)

ความสามารถในการไหลตัวทำได้โดยใช้ Hall flowmeter หรือ Scott flowmeter. ภาพ 3.21 แสดง Hall flowmeter วิธีการคือใช้ผงโลหะที่ต้องการทดสอบจำนวน 50 g ปล่อยให้หล่อผ่าน Hall flowmeter แล้วจับเวลาที่ผงโลหะใช้ในการหล่อผ่าน Hall flowmeter เวลาที่ใช้ในการไหลน้อยหมายถึงผงโลหะชนิดนั้นมี flowability ที่ดี เวลาที่ผงโลหะใช้ในการไหลมากหมายถึงผงโลหะชนิดนั้นมีความเสียดทานระหว่างอนุภาคมาก

สำหรับความแตกต่างระหว่าง Hall flowmeter และ Scott flowmeter คือ Hall flowmeter ใช้สำหรับทดสอบผงโลหะที่มีขนาดใหญ่ แต่สำหรับ Scott flowmeter ใช้สำหรับผงที่มีความละเอียดกว่าและมีความเสียดทานระหว่างอนุภาคมากกว่า มาตรฐานการทดสอบด้วย Hall flowmeter ได้แก่ ASTM B212 และ B213 สำหรับ Scott flowmeter ได้แก่ ASTM B329



ภาพ 3.21 Hall flowmeter



ภาพ 3.22 เปรียบเทียบ Hall flowmeter และ Scott flowmeter

3.3.5 ความหนาแน่น

เมื่อผงโลหะรวมตัวกันอยู่จะมีรูปรุ่นทำให้ความหนาแน่นต่างกับความหนาแน่นทางทฤษฎี (Theoretical density) ค่าความหนาแน่นที่สำคัญในกระบวนการผลิตหง่านได้แก่ (1) Apparent Density (A.D.) (2) Tap density (3) Green Density (G.D.) (4) Sintered Density (S.D.) สำหรับที่จะขอถ้าถึง Apparent Density (T.D.) (5) เท่านั้น ส่วน Green Density จะถูกใช้ในส่วนการอัดผงโลหะ และ Sintered Density จะถูกใช้ในการเผาประสาน

Apparent Density คือความหนาแน่นของผงโลหะเมื่อรวมตัวกันอยู่อย่างหลวม ๆ เช่น เทผงโลหะลงในภาชนะ โดยที่ผงโลหะยังไม่ได้รับแรงอัดและภาชนะยังไม่ได้รับแรงสั่นสะเทือนใด ๆ วิธีการวัด Apparent Density ทำได้โดยใช้ Hall flowmeter วิธีการคือเทผงโลหะผ่าน Hall flowmeter ลงไปยังภาชนะด้านล่างซึ่งมีปริมาตรเท่ากับ 25 cm^3 ใช้มีปัดผิวน้ำของผงโลหะให้เสมอภาคภานุ แล้วชั่งน้ำหนักผงโลหะ นำมาคำนวณเปรียบเทียบปริมาตร

$$A.D. = \frac{\text{weight}}{\pi r^2 l}$$

Tap Density คือความหนาแน่นของผงโลหะในสภาพที่ได้รับแรงสั่นสะเทือน ทำให้ผงโลหะพยายามจัดเรียงตัวมากที่สุด โดยที่ผงโลหะยังไม่ได้รับแรงอัด Tap Density มีค่ามากกว่า Apparent Density เสมอ วิธีการวัด Tap Density สามารถทำได้โดย Hall flowmeter ด้วยเช่นกัน โดยเทผงโลหะจำนวน 50 กรัมลงในภาชนะ ทำการสั่นภาชนะไปจนกว่าปริมาตรผงโลหะไม่ลดส่วนสูงลงอีก แล้ววัดส่วนสูงของปริมาตรผงโลหะนำค่าที่ได้ไปคำนวณ

$$T.D. = \frac{50}{\pi r^2 h}$$

ส่วน Green Density คือความหนาแน่นของผงโลหะที่ผ่านการอัดแล้ว และ Sintered Density คือความหนาแน่นของชิ้นงานที่ผ่านการเผาประสานแส้

3.3.6 ความสามารถในการอัด (Compressibility)

ความสามารถในการอัด (Compressibility หรือต่ำรากของเล่มเรียกว่า Compactibility) คือส่วนกลับของแรงดันที่ใช้อัดผงโลหะให้ได้ Green Density ตามที่กำหนด ดังนั้นผงโลหะที่มี Compressibility สูง จะใช้แรงดันในการอัดน้อยเพื่อให้ได้ Green Density ตามที่กำหนด ปัจจัยที่มีผลต่อ Compressibility ได้แก่ (1) ชนิดโลหะของผง โลหะที่มี work hardening rate สูงจะมี compressibility ต่ำ (2) รูปร่างผงโลหะ ผงโลหะที่มีรูปร่างซับซ้อนจะมี compressibility ต่ำ เนื่องจากจะมีการเกาะเกี่ยวกันระหว่างผงมากกว่า (3) รูปุบุภัยในผงโลหะซึ่งเป็นเชิงว่าง ซึ่งว่างเหล่านี้กำจัดได้ยากด้วยการอัด ทำให้ต้องใช้แรงดันในการอัดมากขึ้นเพื่อให้ได้ Green Density ตามที่กำหนด (4) การกระจายตัวของขนาดผงโลหะ ผงโลหะที่มีการกระจายตัวของขนาดแคบจะมีซ่องว่างระหว่างผงเยอะ เนื่องจากไม่มีอนุภาคขนาดเล็กกว่าไปแทรกอยู่ตามรูปุน (5) ชั้นอนุออกไซด์ที่ผิว ออกไซด์เหล่านี้มักจะมีสมบัติเปล่าและทำให้ต้องใช้แรงมากจึงจะทำให้ชั้นอนุออกไซด์เหล่านี้แตกและเกิดการอัดตัวของผงโลหะได้ (6) การเติม Solid lubricant ปริมาณมากเกินความจำเป็น เนื่องจาก Solid lubricant มีน้ำหนักเบาทำให้ความหนาแน่นต่ำถึงแม้ว่าจะช่วยลดอัลล์และความเสียดทานระหว่างอนุภาคก็ตาม

3.3.7 ส่วนผสมทางเคมีของผงโลหะ

ผงโลหะจำแนกตามลักษณะส่วนผสมทางเคมีออกเป็นสองชนิดคือ Elemental powder และ Prealloyed powder โดย Elemental powder ประกอบไปด้วยธาตุเดียว ส่วน Prealloyed powder ประกอบไปด้วยหลายธาตุโดยมีส่วนผสมทางเคมีตามที่ต้องการ ดังนั้นการวิเคราะห์ส่วนผสมทางเคมีของ Elemental powder จึงเน้นที่ความบริสุทธิ์หรือสารปนเปื้อน ส่วน Prealloyed powder เน้นไปที่ส่วนผสมทางเคมีของแต่ละธาตุ รวมถึงสารปนเปื้อนด้วย การหาส่วนผสมทางเคมีของผงโลหะทำได้โดยวิธีการวิเคราะห์ทางเคมีทั่วไป เช่น X-ray Fluorescence เป็นต้น

นอกจากการหาส่วนผสมทางเคมีของผงโลหะแล้ว ยังมีการหาปริมาณการเกิด Oxidation ด้วย หลักการคือนำผงโลหะไปทำ Reduction ในบรรยากาศ H₂ เมื่อเกิดการ Reduction หมดแล้ว นำผงโลหะไปชั่งน้ำหนัก น้ำหนักที่หายไปเนื่องจากการสลายตัวของฟิล์มออกไซด์จะแสดงถึงปริมาณการเกิด Oxidation ของผงโลหะชนิดนั้น ๆ มาตรฐานการทดสอบได้แก่ ASTM E159 และด้วยวิธีการคลายเคลือกันก็สามารถหาปริมาณ Inclusion ได้โดยนำผงโลหะไปทำ acid dissolution และนำมาชั่งน้ำหนัก น้ำหนักที่หายไปจะสัมพันธ์กับปริมาณ Inclusion ในผงโลหะ มาตรฐานการทดสอบได้แก่ ASTM E194

บทที่ 4
การเตรียมผงโลหะ
Powder Preparation

4.1 บทนำ

ในบทนี้จะกล่าวถึงขั้นตอนและเทคนิคในการเตรียมผงโลหะ ซึ่งว่าด้วยการผลิตผงโลหะ ตลอดจนกระบวนการที่เกี่ยวข้องก่อนการอัดและเผาประسان เช่น Classification, agglomeration, deagglomeration และ lubrication เป็นต้น Classification เป็นกระบวนการสำหรับการแยกขนาดเพื่อคัดขนาดผงโลหะช่วงใดช่วงหนึ่งหรือคัดแยกผงโลหะส่วนหนึ่งออกจากวัตถุดิบ Blending และ Mixing มีวัตถุประสงค์คือเพื่อผสมให้ผงโลหะมีความเป็นเนื้อเดียวทั้งทางด้านการกระจายตัวของส่วนผสมทางเคมีและการกระจายตัวของขนาดผงโลหะ ความแตกต่างระหว่าง Blending และ Mixing คือ สำหรับ Blending เป็นการผสมผงโลหะที่มีส่วนผสมทางเคมีเหมือนกัน แต่แตกต่างกันที่ขนาด วัตถุประสงค์ของ Blending คือเพื่อให้ได้ผงโลหะที่มีขนาดเป็นเนื้อเดียวกัน ส่วน Mixing เป็นการผสมผงโลหะที่มีส่วนผสมทางเคมีแตกต่างกัน วัตถุประสงค์ของ Mixing คือเพื่อให้ได้ผงโลหะที่มีส่วนผสมทางเคมีเป็นเนื้อเดียวกัน Agglomeration เป็นกระบวนการที่ทำเพื่อให้ได้ขนาดผงโลหะที่หยาบขึ้น เนื่องจากผงโลหะที่มีความละเอียดมากจะมีความเสียดทานระหว่างอนุภาคมากและหลัดตัวได้ยาก ซึ่งเป็นอุปสรรคต่อการป้อนผงโลหะเข้าสู่เครื่องอัดขึ้นรูปอัตโนมัติ Lubrication เป็นกระบวนการการผสมผงโลหะเข้ากับสารอินทรีย์ที่ช่วยให้การนำเข้างานออกแบบพิมพ์ได้ง่ายขึ้นและยืดอายุการใช้งานแม่พิมพ์ ดังนั้นจะเห็นได้ว่าขั้นตอนต่าง ๆ ก่อนการอัดผงโลหะมีวัตถุประสงค์เพื่อให้การอัดผงโลหะเป็นไปได้ง่ายขึ้น

Classification มีความคล้ายคลึงกับ Screening โดยตระแกรงขนาดใหญ่หรืออากาศถูกใช้ในการคัดแยกผงโลหะส่วนที่ไม่ต้องการออกจากวัตถุดิบ ในบางครั้งรวมไปถึงการคัดแยกสิ่งปนเปื้อน เช่น inclusion หรือวัสดุที่ใช้ทำลูกบด ซึ่งโดยทั่วไปแล้วสิ่งปนเปื้อนมักจะมีขนาดและการกระจายตัวที่แตกต่างออกไปจากผงโลหะที่เป็นวัตถุดิบ ดังนั้นการทำ Classification จึงช่วยเพิ่มคุณภาพของผงโลหะได้

Blending และ Mixing เป็นกระบวนการการพัฒนาทักษะในการเตรียมผงโลหะ สำหรับ Blending เป็นการผสมผงโลหะชนิดเดียวกันแต่มีขนาดต่างกันเข้าด้วยกัน วัตถุประสงค์โดยทั่วไปคือเมื่อผงโลหะผ่านการขยับจะเกิดการแยกตัวของผงโลหะ ผงโลหะขนาดเล็กจะลงไปอยู่ด้านล่าง ในขณะที่ผงโลหะขนาดใหญ่จะค้างอยู่ด้านบน ดังนั้นจึงไม่เหมาะสมที่จะนำผงโลหะไปใช้ในทันที วัตถุประสงค์ของลงมาของ Blending อาจทำเพื่อเพิ่มประสิทธิภาพในการอัดและเผาประسان โดยผสมผงโลหะที่มีขนาดใหญ่และเล็กลงไป เนื่องจากผงโลหะขนาดใหญ่อย่างเดียวจะสามารถอัดได้ง่ายแต่จะมีความแข็งแรงหลังเผาประسانต่ำ ดังนั้นการเสริมผงโลหะขนาดเล็กให้แทรกอยู่ตามช่องว่างของผงโลหะขนาดใหญ่ช่วยให้ได้ความหนาแน่นที่สูงได้ง่ายขึ้น สำหรับ Mixing เป็นการผสมผงโลหะต่างชนิดเข้าด้วยกันเพื่อให้ได้ส่วนผสมทางเคมีที่ต้องการ ผงโลหะที่ใช้ในการ Mixing ส่วนใหญ่เป็น Elemental powder ทั้งนี้เนื่องจาก Elemental powder มี work hardening rate ต่ำกว่า Prealloyed powder ทำให้สามารถอัดขึ้นรูปได้ง่ายกว่า ยกตัวอย่าง เช่น ในการผลิตบอร์นซ์ มีสองวิธี วิธีแรกคือใช้ Prealloyed powder ซึ่งมีส่วนผสมทางเคมีตามที่ต้องการ แต่กว่าเนื่องจาก Prealloyed powder มี work hardening rate สูง จึงทำให้ต้องใช้แรงในการอัดสูง และทำให้อัตราการสึกหรอของแม่พิมพ์สูงไปด้วย แต่ถ้าหากใช้ Elemental powder จะทำให้แรงที่ใช้ในการอัดไม่สูงนัก และทำให้แม่พิมพ์มีอายุการใช้งานยาวนานขึ้น

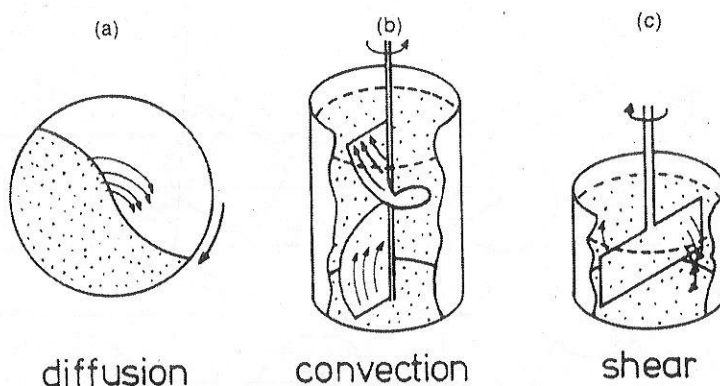
Lubrication เป็นการผสมสารหล่อลื่นกับผงโลหะเพื่อให้สามารถนำชิ้นงานออกจากแม่พิมพ์ได้ง่ายขึ้น และช่วยเพิ่มอายุการใช้งาน สารหล่อลื่นส่วนใหญ่เป็นกรดอะมิโนทรีฟ อินบังค์มีการเติม Binder เพื่อให้ชิ้นงานที่ได้จากการอัดขึ้นรูปมีความแข็งแรงมากขึ้นและสามารถทำการเคลื่อนย้ายได้ง่ายโดยไม่เสียหาย ทั้ง Lubricant และ Binder จะต้องเป็นสารที่กำจัดได้ง่ายในขั้นตอนการเผาประسان โดยจะระเหยกล่ายเป็นไอที่อุณหภูมิสูง และต้องไม่เหลือสิ่งปนเปื้อนหลังการเผาประسان

4.2 Mixing และ Blending

จากบทนำได้กล่าวไว้แล้วว่า Mixing และ Blending เป็นขั้นตอนที่จำเป็นก่อนการอัดขึ้นรูป ข้อควรระวังเกี่ยวกับ Mixing และ Blending คือ

1. อย่าใช้ผงโลหะที่ผ่านการขูดหรือเคลื่อนย้ายโดยไม่ทำการ Blending ใหม่
2. เมื่อ Blending ผงโลหะแล้วอย่าทำให้เกิดการสั่นสะเทือนก่อนนำไปใช้
3. ในกรณีของโลหะเป้าอ่อนอย่าใช้ผงโลหะผ่านกระบวนการบ้อนผงโลหะใด ๆ ที่มี free falling เนื่องจากผงโลหะที่มีขนาดใหญ่และเล็กมีความเร็วในการตกไม่เท่ากันจะทำให้เกิดการแยกขนาดกันอีก

ทั้งสามข้อนี้ถือเป็นกฎเบื้องต้นของ Mixing และ Blending สำหรับกลไกการผสมกันของผงโลหะมีสามลักษณะคือ (1) Diffusional Mixing (2) Convective Mixing และ (3) Shear Mixing โดย Diffusional Mixing เกิดจากการให้ลดตัวตอบสนองและกันของผงโลหะ (ภาพ 4.1a) Convective Mixing เกิดจากการเคลื่อนย้ายตัวของผงโลหะด้วยศรีบนำ (ภาพ 4.1b) Shear Mixing เกิดจากการเคลื่อนย้ายตัวของผงโลหะด้วยแรงเฉือนของใบพัด (ภาพ 4.1c)



ภาพ 4.1 กฎเบื้องต้นของการผสมกันของผงโลหะ a) Diffusional Mixing b) Convective Mixing
c) Shear Mixing

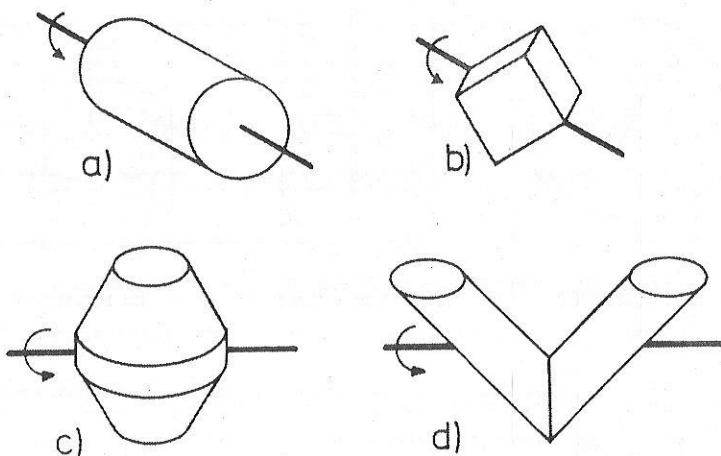
ส่วนใหญ่แล้วผงโลหะจะถูกผสมในภาชนะที่หมุนรอบตัวเอง ยกตัวอย่างดังภาพ 4.2 รูปทรงของภาชนะมีผลต่อการผสมผงโลหะด้วยเช่นกัน นอกจากนี้การออกแบบภายในก็มีผลต่อการผสมกันของผงโลหะด้วย เช่น Baffles, Spinning blade ซึ่งมีให้การผสมกันของผงโลหะเกิดได้ดีขึ้น โดยทั่วไปแล้วผงโลหะจะถูกบรรจุในภาชนะประมาณ 20 – 40 % ของปริมาตรของภาชนะ เพื่อให้มีช่องว่างพอเหมาะสมสำหรับการเคลื่อนย้ายของผง

โดยนั้น ความเร็วของการหมุนก็มีผลต่อการผสมคือถ้าหากภาชนะหมุนรอบตัวเองช้าเกินไปจะทำให้การผสมกันเกิดช้าลงซึ่งกระบวนการผสมจะเป็นแบบ Batch ดังนั้นจึงต้องขอให้การผสมแต่ละเที่ยวเสร็จสิ้นก่อน จึงจะนำภาชนะไปบรรจุลงในห้องใหม่ได้ การผสมจะให้เวลาจึงเป็นผลเสียในแง่ของกำลังการผลิต แต่ถ้าหากภาชนะหมุนรอบตัวเองเร็วเกินไป จะทำให้แรงโน้มถ่วงของอากาศแรงเหวี่ยงไม่ได้และทำให้เกิดการแยกตัวของผงโลหะและการผสมไม่เกิดขึ้น ทั้งนี้เนื่องจากในการ Mixing ผงโลหะสองชนิดเข้าด้วยกัน ผงโลหะทั้งสองชนิดมักจะมีความถ่วงจำเพาะไม่เท่ากันและทำให้เกิดแรงหนีจุดศูนย์กลางไม่เท่ากันด้วย ผงโลหะที่มีความถ่วงจำเพาะมากจะมีแนวโน้มที่จะไปอยู่ในบริเวณผิวชั้นนอก ผงโลหะที่มีความถ่วงจำเพาะน้อยจะมีแนวโน้มที่จะไปอยู่ในบริเวณใจกลาง นอกจากนี้ความเร็วในการหมุนที่มากเกินไปอาจทำให้เกิด Free Falling ภายนอกภาชนะซึ่งทำให้เกิดการแยกขนาดอีกด้วย กัน ดังนั้นจะเห็นได้ว่าความเร็วในการผสมที่ดีต้องมีความพอดีมาก หรือช้าเกินไปก็ไม่ดี ความเร็วที่เหมาะสมที่สุดคือความเร็วที่ให้เกิดสมดุลระหว่างแรงเหวี่ยงและแรงโน้มถ่วง ด้วยการคำนวณความเร็วในการหมุนต่ออัตราการผสมโลหะแสดงดังภาพ 4.3 Sundrica ได้เสนอสูตรคำนวณความเร็วในการผสมโลหะในภาชนะทรงกระบอก (ภาพ 4.2a) อย่างง่ายไว้ดังนี้

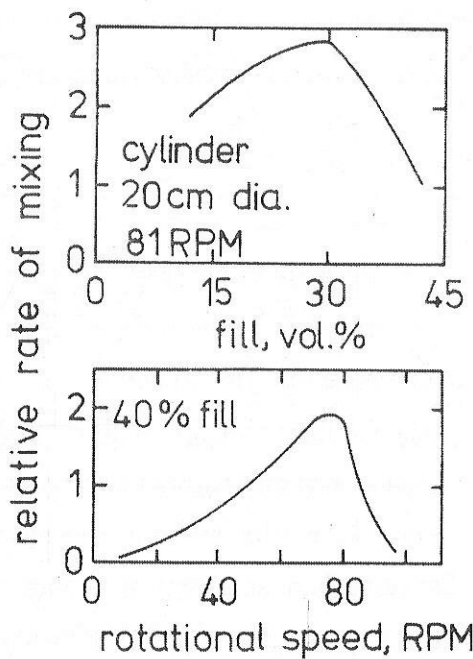
$$RPM = \frac{32}{\sqrt{d}}$$

เมื่อ d คือเส้นผ่านศูนย์กลางของภาชนะทรงกระบอก

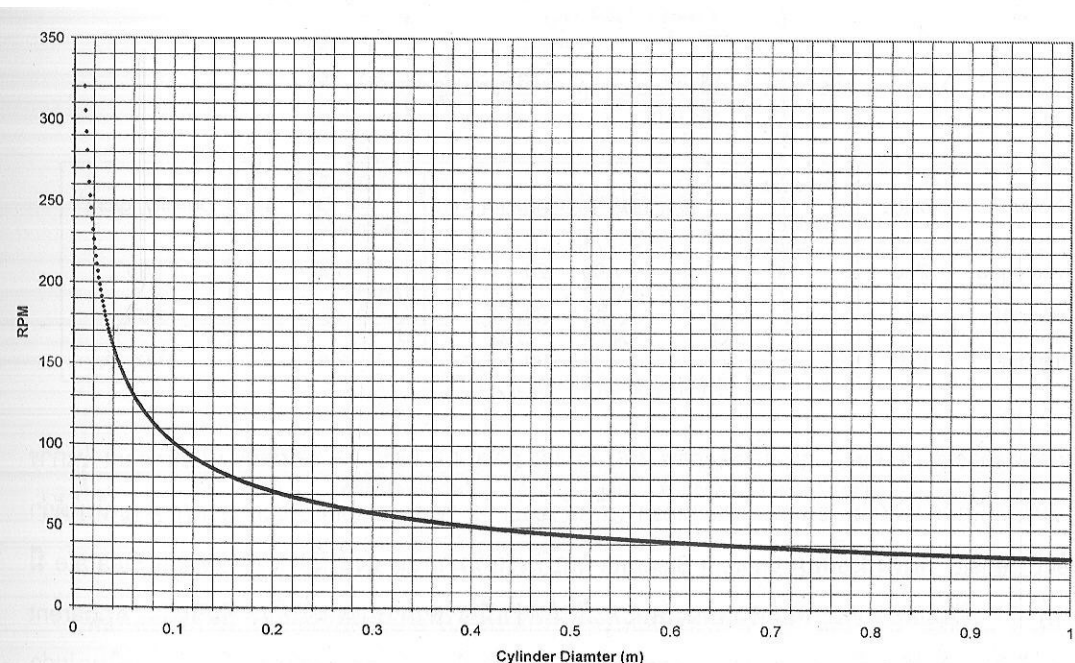
ยกตัวอย่างเช่น ทรงภาชนะทรงกระบอกเส้นผ่านศูนย์กลาง 1 เมตรควรใช้ความเร็ว 32 รอบต่อนาที ภาชนะที่ขนาดเล็กกว่านี้ต้องใช้ความเร็วเพิ่มขึ้น ภาพ 4.4 แสดงแผนภาพสำหรับการเลือกใช้ความเร็วในการหมุนตามขนาดภาชนะ ค่าที่ได้ในแผนภาพคำนวณจากสูตรของ Sundrica



ภาพ 4.2 ตัวอย่างรูปทรงภาชนะที่ใช้ผสมผงโลหะ



ภาพ 4.3 ตัวอย่างอิทธิพลของความเร็วในการหมุนต่ออัตราการผสมผงโดยหนึ่ง



ภาพ 4.4 แผนภาพสำหรับการเลือกใช้ความเร็วในการหมุนตามขนาดภาชนะ

สำหรับผลในแง่ลบจากการ Blending และ Mixing ก็มีเช่นกัน คือการปนเปื้อนจากวัสดุที่ทำภาชนะหรือวัสดุผนังภายใน, ใบกวน, ครีบนำ ฯลฯ และเมื่อทำการผสมผงโดยหนึ่งไปเรื่อย ๆ ผงโดยหนึ่งมีโอกาสที่แตกตัวและลายเป็นผงที่มีขนาดเล็กลง ผงโดยหนึ่งที่มีขนาดเล็กจะมีความเสียดทานระหว่างอนุภาคสูงและมีความสามารถในการ

การไหลดี ทำให้การผสมพงโลหะเป็นไปได้ยากขึ้น อย่างไรก็ได้มีอ่อนตัวของพงโลหะที่มีขนาดเล็กมีข้อดี เช่น กัน คือจะเกิดการแยกขนาดตื้นๆ ให้ยากเพราะมีความเสียดทานระหว่างอนุภาคสูง

4.3 Lubrication

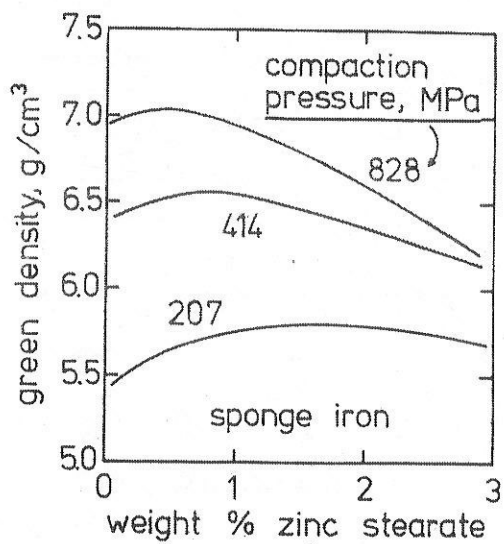
ความเสียดทานระหว่างอนุภาคลดความสามารถในการไหลด้วยของพงโลหะ นอกจากนี้ความเสียดทานระหว่างอนุภาคที่สูงทำให้ระหว่างผังแม่พิมพ์และชิ้นงานมีความเสียดทานสูง การนำชิ้นงานออกจากแม่พิมพ์ต้องใช้แรงมากและทำให้อัตราการสึกหรอของแม่พิมพ์สูงตามไปด้วย

การเติม Lubricant มีวัตถุประสงค์สองประการคือลดความเสียดทานระหว่างอนุภาคและลดความเสียดทานระหว่างแม่พิมพ์กับชิ้นงาน Lubricant จะถูกเติมลงในพงโลหะที่ผ่านการผสมแล้วเป็นขั้นตอนสุดท้ายก่อนการอัดขึ้นรูป สำหรับพงโลหะ Lubricant ได้แก่สารประกอบจำพวก Stearate ของ Al, Zn, Li, Mg หรือ Ca สารประกอบจำพวก Stearate จะมีสายใช้ของโมเดลยาวประมาณ 12 ถึง 22 อะตอมคาร์บอน ซึ่งหลอมเหลวและเป็นไอที่อุณหภูมิต่ำ สารประกอบจำพวก Stearate จะถูกเติมในรูปของอนุภาคทรงกลม มีขนาดประมาณ 30 ไมครอน ปริมาณที่ใช้ในการเติมประมาณ 2.0 – 4.0 % โดยน้ำหนัก ตาราง 4.1 แสดงสมบัติของ Lubricant จำพวก Stearate ของจากสารประกอบจำพวก Stearate และ Lubricant ประเภทอื่นได้แก่ wax และ cellulose เป็นต้น

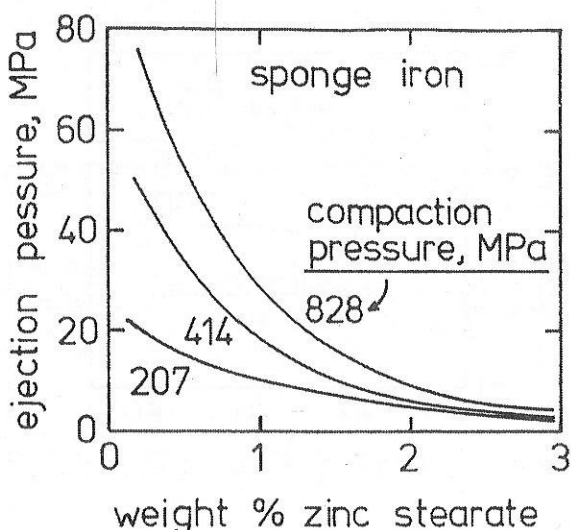
ตาราง 4.1 สมบัติของ Lubricant สารประกอบจำพวก Stearate

Name	Oxide	Amount of Oxide, %	Softening Temperature, °C	Melting Temperature, °C	Density, g/cm³
Zinc stearate	ZnO	14	100 – 120	130	1.09
Ca stearate	CaO	9	115 – 120	160	1.03
Li stearate	Li₂O	5	195 – 200	220	1.01

ผลของการเติม Lubricant แสดงดังภาพ 4.5 ถึง 4.8 ภาพ 4.5 และ 4.6 คือผลของ Lubricant ในการผสมพงโลหะเหล็กกล้าไร้สนิม ขนาด -100 mesh ผลิตด้วยวิธีการ Water Atomization จากภาพจะเห็นได้ว่า Apparent Density ลดลงเมื่อผสม Lithium Stearate ในปริมาณที่มากขึ้น ทั้งนี้เนื่องจาก Lithium Stearate มีน้ำหนักเบา ส่วนผลของเวลาในการผสมพงโลหะจะเห็นได้ว่าเมื่อเวลาการผสมพงโลหะเพิ่มขึ้น Apparent Density ก็เพิ่มสูงขึ้นด้วยเนื่องจากผงโลหะขนาดเล็กเข้าไปแทรกอยู่ระหว่างช่องของผงโลหะขนาดใหญ่กว่า แต่เมื่อเวลาการผสมพงโลหะผ่านไปจุดหนึ่งแล้ว Apparent Density จะไม่เพิ่มขึ้นอีกเนื่องจากเริ่มเข้าสู่การจัดเรียงผงโลหะที่ไม่สามารถเรียงตัวแน่นกันได้อีกแล้ว และเมื่อนำผงโลหะเหล็กกล้าไร้สนิมที่ได้จากการผสมไปทดสอบความสามารถในการไหลด้วยของพงโลหะที่ได้แสดงดังภาพ 4.6 จะเห็นได้ว่ายิ่งปริมาณ Lithium Stearate เพิ่มขึ้นความสามารถในการไหลด้วยของพงโลหะก็เพิ่มขึ้นด้วย



ภาพ 4.7 อิทธิพลของปริมาณ Zinc Stearate ต่อ Green Density

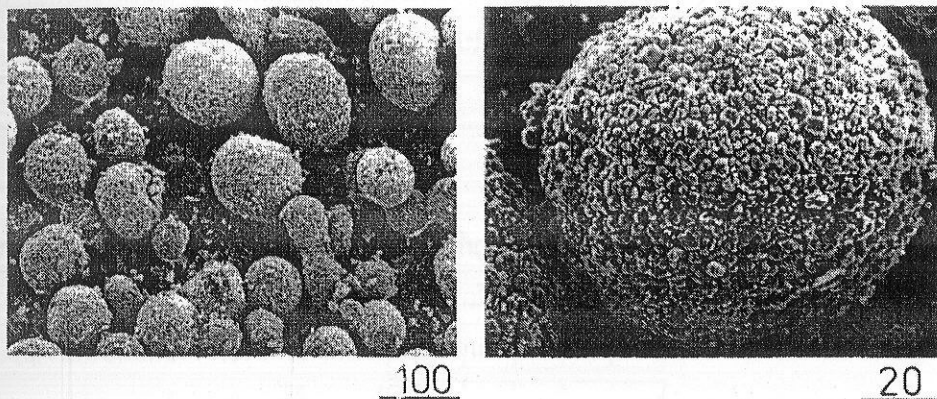


ภาพ 4.8 อิทธิพลของปริมาณ Zinc Stearate ต่อ Ejection Pressure

โดยสรุปบทบาทของ Lubricant คือช่วยเพิ่มความสามารถในการหดและช่วยลดแรงในการนำขึ้นงาน ของอุกจากแม่พิมพ์ แต่ก็มีผลเสียโดยทำให้ได้ Green Strength และ Green Density ต่ำลง เมื่อนำไปเผา ประสาน Lubricant จะถูกกำจัดไปและจะทำให้ได้ Sintered Density ต่ำกว่า ดังนั้นการใช้ Lubricant จึงควรใช้ ในปริมาณที่เหมาะสม

4.4 Agglomeration

ผงโลหะบางชนิด (เช่น W, Mo, WC, Al₂O₃) เมื่อมีขนาดผงเล็กมากจะมีความเสียดทานระหว่างอนุภาคสูงมากและความสามารถในการไหลตัวต้านไม่สามารถยอมรับได้ในขั้นตอนการผลิต ดังนั้นเพื่อลดความเสียดทานระหว่างอนุภาคจึงต้องทำ Agglomeration หรือในที่นี้มีอีกชื่อเรียกคือ “Spray Drying” เพื่อป้องกันความสับสนกับการรวมตัวเป็นกราะぐในขั้นตอนอื่น (การรวมตัวเป็นกราะぐในขั้นตอนอื่นเกิดขึ้นอย่างไม่ตั้งใจต่างกับ Spray Drying) ขั้นตอนการทำ Spray Drying คือนำผงโลหะมาผสมกับสารอินทรีและ volatile agent เป็น Slurry นำ Slurry ที่ได้ไปพ่นและให้ความร้อน ความร้อนจะทำให้สารอินทรีและ volatile agent กลายเป็นไอเคลือบผิวของผงโลหะกลายเป็น agglomerate particle ซึ่งมีความเสียดทานระหว่างผิวต่ำและมีความสามารถในการไหลตัวสูงขึ้น ภาพ 4.9 แสดงภาพถ่ายกล้องจุลทรรศน์อิเล็กตรอนแบบส่องการดูของผงไมลิบดีนัมที่ผ่านกระบวนการ Spray Drying



ภาพ 4.9 ภาพถ่ายกล้องจุลทรรศน์อิเล็กตรอนแบบส่องการดูของผงไมลิบดีนัมที่ผ่านกระบวนการ Spray Drying

บทที่ 5
การอัดขี้นรูปผงโลหะ
Powder Compaction

5.1 บทนำ

การอัดขี้นรูปโลหะเป็นการใช้แรงดันภายนอกทำให้ผงโลหะมีความหนาแน่นมากขึ้น ทำให้มีน้ำหนักตัวมากขึ้น ในการอัดขี้นรูปผงโลหะมีหลายประวัติขึ้นอยู่กับการจำแนก เช่น จำแนกด้วยลักษณะการอัด จำแนกด้วยแหล่งที่มาของแรงดัน หรือ จำแนกด้วยรูปร่างลักษณะความซับซ้อนของชิ้นงาน ตัวแปรที่มีความสำคัญที่สุดในการอัดขี้นรูปโลหะคงคือ ความหนาแน่น เนื่องจากความหนาแน่นเป็นตัวกำหนดคุณภาพและคุณลักษณะของผลิตภัณฑ์ที่ได้รับจะมีความแข็งแรง ความเปลี่ยนแปลงทางมิติหรือการบิดของชิ้นงานมากน้อยแค่ไหน

ในบทนี้จะกล่าวถึงลักษณะและพฤติกรรมทั่วไปของผงโลหะเมื่อได้รับแรงดัน ทฤษฎีและแบบจำลองคณิตศาสตร์ว่าด้วยการกระจายตัวของความหนาแน่นภายในชิ้นงาน เทคนิคโดยการอัดขี้นรูปโลหะ

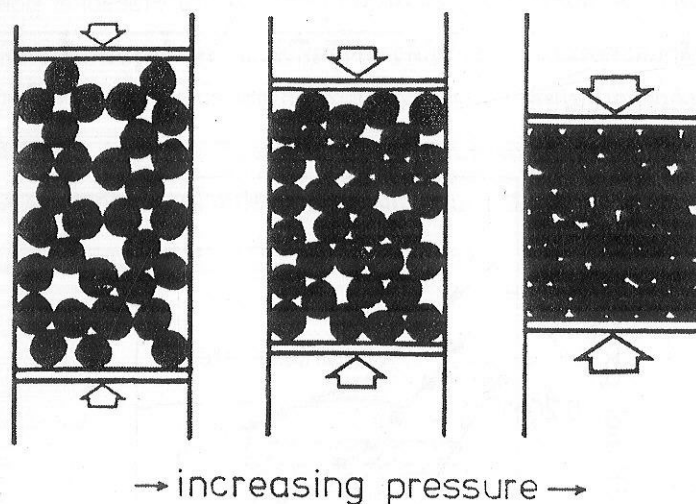
5.2 ความรู้พื้นฐานเกี่ยวกับการอัดขี้นรูปผงโลหะ

เมื่อผงโลหะถูกป้อนลงสู่แม่พิมพ์ ผงโลหะจะเรียงตัวกันอย่างหลวม ๆ มีช่องว่างระหว่างผงโลหะมาก มี Coordination Number (จำนวนผงโลหะที่ติดกัน) น้อย ผงโลหะบางบริเวณจะมีลักษณะเป็น Bridging คือก่อตัวพิงพาันและกันทำให้เกิดช่องว่างเป็นบริเวณ ในช่วงนี้ความหนาแน่นของผงโลหะจะมีค่าใกล้เคียงกับ Apparent Density

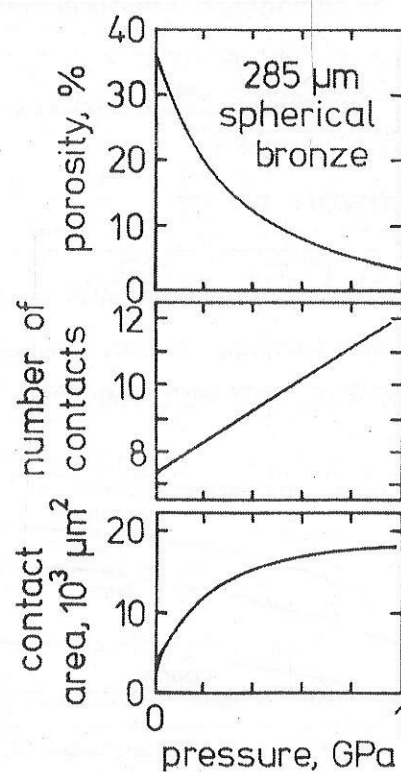
เมื่อผงโลหะเริ่มได้รับแรงดันในปริมาณน้อย จะทำให้เกิดการสั่นไหวและจัดเรียงตัวของผงโลหะใหม่ ทำให้มี Coordination Number มากรีน ช่องว่างระหว่างผงโลหะน้อยลง และมีความหนาแน่นมากขึ้น ความหนาแน่นของผงโลหะจะมีค่าใกล้เคียงกับ Tap Density

เมื่อผงโลหะได้รับแรงดันเพิ่มขึ้นจะทำให้ Bridging ถูกทำลายลง Coordination Number เพิ่มขึ้น ผงโลหะถูกแรงดันผลักให้เข้าไปแทนที่บริเวณช่องว่าง ทำให้ช่องว่างมีจำนวนน้อย ผงโลหะบางส่วนเกิดการเสียรูปอย่างถาวรสิ่งที่เป็นจุดเชื่อมต่อระหว่างผงโลหะแต่ละเม็ด พื้นที่ผิวของโลหะเริ่มลดลงเนื่องจากบริเวณรอยต่อของผงโลหะเริ่มนบนสนิท ก่อให้เกิดการเสียรูปอย่างต่อเนื่อง ดังแสดงในภาพ 5.2

เมื่อผงโลหะได้รับแรงดันสูงขึ้นอีกจะทำให้เกิดการเสียรูปอย่างถาวรทั่วทั้งชิ้นงาน ผงโลหะจะเสียรูปไปจากรูปร่างที่เพิ่งผ่านกระบวนการผลิตมา เกิดการเกะกะเกี่ยวกันอย่างหนาแน่นระหว่างผงโลหะ ทำให้มีความแข็งแรง ความหนาแน่นเพิ่มขึ้นจนมีค่าเท่ากับ Green Density และมีความแข็งแรงหลังอัดคือ Green Strength ในขั้นตอนนี้สำหรับวัสดุเซรามิกหรือโลหะที่มีความแข็งแรงมาก ผงจะเกิดการแตก และโดยภาพรวมจะอัดให้ได้ความหนาแน่นสูงมากกว่าโลหะที่มีความหนืดหยด หากให้แรงดันเพิ่มขึ้นไปจากนี้ ความหนาแน่นจะเพิ่มขึ้นเล็กน้อย ซึ่งไม่ค่อยมีประโยชน์เท่าใดนัก เมื่อปลดแรงดัน ชิ้นงานจะขยายตัวคืนเล็กน้อยจากการเสียรูปอย่างไม่ถาวร



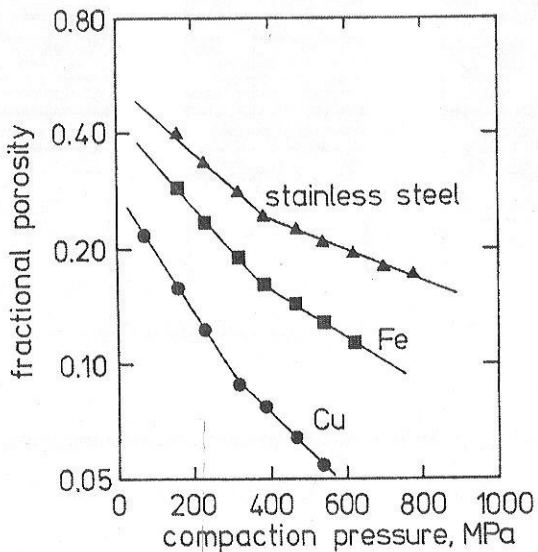
ภาพ 5.1 ภาพจำลองการอัดเรียงตัวของโลหะเมื่อได้รับแรงดันเพิ่มขึ้น



ภาพ 5.2 อิทธิพลของแรงดันในการอัดขึ้นรูปผลิตต่อพื้นที่ร้อยต่อ, จำนวนจุดเชื่อมต่อและความพรุน ในการอัดขึ้นรูปbronzeที่มีรูปทรงกลมมีขนาดผงเฉลี่ย 285 ไมครอน

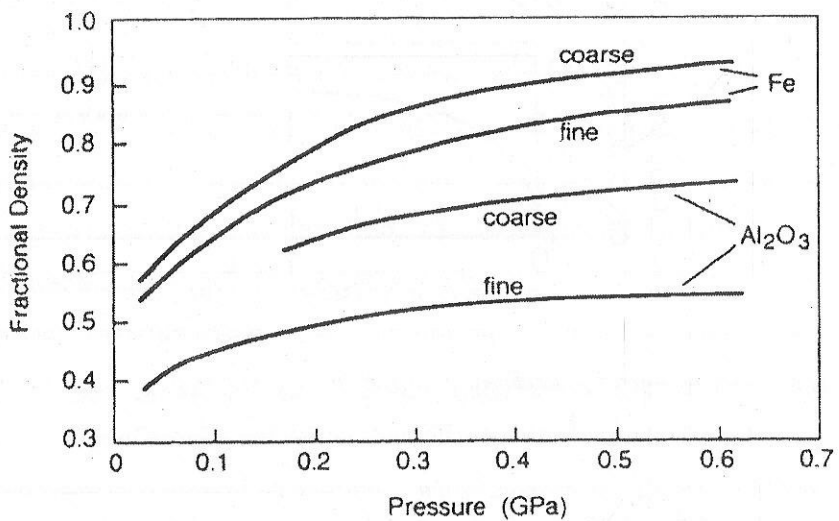
สำหรับโลหะส่วนใหญ่การอัดขึ้นรูปให้มีความหนาแน่นเกิน 90% ของ Theoretical Density เป็นไปได้ยาก โลหะบางชนิดมี work hardening rate สูงมาก ทำให้อัดขึ้นรูปได้ความหนาแน่นต่ำกว่าที่ไว้

ภาพ 5.3 แสดงความสัมพันธ์ระหว่างแรงดันที่ใช้ในการอัดขึ้นรูปกับ Fractional porosity ในการอัดผงเหล็กกล้าไร้สนิม, เหล็กและทองแดง จะเห็นได้ว่าแรงดันที่ใช้ในการอัดขึ้นรูปเพิ่มขึ้นจะทำให้ Fractional porosity ลดลง



ภาพ 5.3 ความสัมพันธ์ระหว่างแรงดันที่ใช้ในการอัดขึ้นรูปกับ Fractional porosity ในการอัดผงเหล็กกล้าไร้สนิม, เหล็กและทองแดง

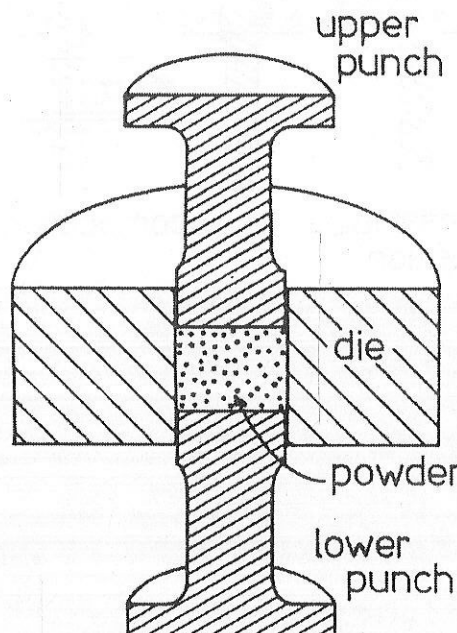
ผงโลหะที่มีขนาดเล็กจะต้องใช้แรงในการอัดขึ้นรูปมากกว่าผงโลหะที่มีขนาดใหญ่ ตัวอย่างแสดงในภาพ 5.4 จะเห็นได้ว่าผงเหล็กที่มีความละเอียดใช้แรงดันมากกว่าเพื่อที่จะให้ได้ Fractional Density เท่ากัน ทั้งนี้เนื่องจากผงโลหะที่มีขนาดเล็กมีความเสียดทานระหว่างอนุภาคมากกว่า ผงอะลูминินาสามารถอัดให้แน่นได้ยากกว่า เพราะเกิดการเสียรูปอย่างถาวរยากกว่า ซึ่งเป็นสมบัติทั่วไปของวัสดุเซรามิก



ภาพ 5.4 ความสัมพันธ์ระหว่าง Fractional Density และแรงดันที่ใช้ในการอัดขึ้นรูปผงเหล็กและอะลูминินา

5.3 การอัดขึ้นรูปแบบ Axial Die Pressing

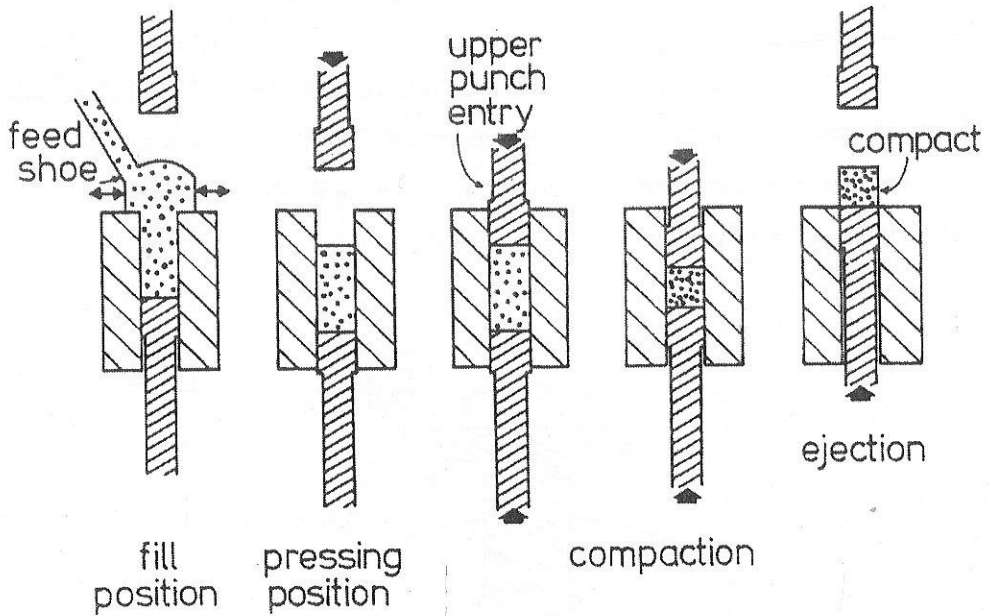
หัวข้อนี้จะกล่าวถึงการอัดขึ้นรูปแบบโลหะแบบ Axial Die Pressing โดยไม่ยังกล่าวถึงเทคโนโลยีการอัดขึ้นรูป การอัดขึ้นรูปแบบ Axial Die Pressing มีลักษณะค่อนข้างเข้าใจง่ายดังภาพ 5.5 ประกอบไปด้วย Upper punch และ Lower punch ทำหน้าที่ป้อนแรงดันสู่ผงโลหะ และ Die ทำให้หน้าที่กำหนดรูปทรงให้เป็นไปตามต้องการ ผงโลหะจะถูกป้อนลงไประหว่าง Die กับ Punch ทั้งสอง



ภาพ 5.5 การอัดขึ้นรูปแบบโลหะแบบดั้งเดิม

ขั้นการอัดขึ้นรูปแบบ Axial Die Pressing แสดงดังภาพ 5.6 โดยเริ่มต้นจากการป้อนผงโลหะเข้าไปในแม่พิมพ์ด้วย Feed shoe ขณะที่ทำการป้อน Feed shoe จะมีการสับไวน้ำเล็กน้อยเพื่อให้ผงโลหะในหลังไปและจัดเรียงตัวพอดีกับสมควร ต่อมา Upper punch จะถูกนำเข้าไปใน Die และทำการป้อนแรงดันจากทั้งด้านบนและด้านล่าง ซึ่งการให้แรงดันอย่างนี้ถือว่าเป็นการให้แรงดันจากสองทิศทาง (บนและล่าง) การอัดขึ้นรูปแบบโลหะอาจจะเกิดจากการป้อนแรงดันทางด้านเดียวได้ แต่เมื่อมีข้อจำกัดเรื่องการกระจายตัวของความหนาแน่น เมื่ออัดผงโลหะด้วยแรงดันตามที่กำหนดแล้ว Lower punch จะทำหน้าที่ดันให้ชิ้นงานออกจากแม่พิมพ์

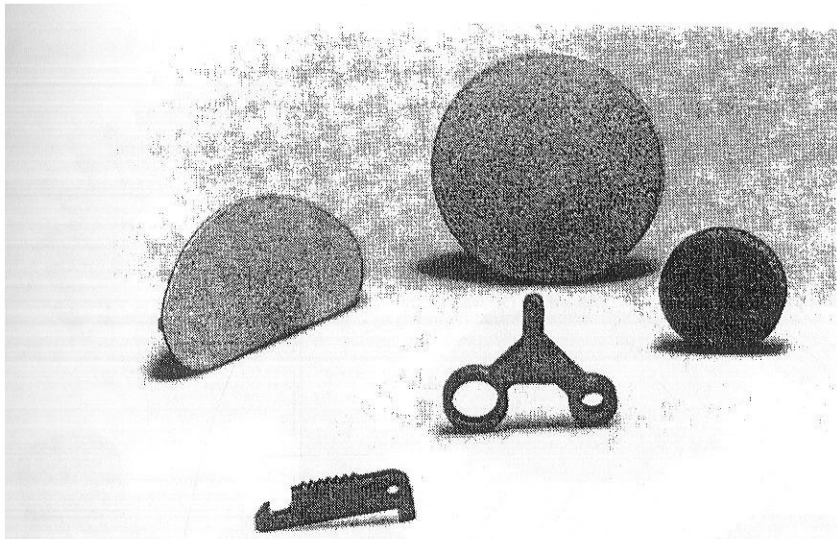
ข้อควรสังเกตอีกประการหนึ่งคือตำแหน่งของ Lower punch ขณะที่ทำการป้อนผงโลหะ Lower punch จะถูกเลื่อนขึ้นไปอยู่ในตำแหน่งที่สูงขึ้น เรียกว่า "Fill position" และเมื่อทำการอัด Lower punch จะลดลงมาที่ตำแหน่ง "Pressing position" เนตผลที่ Lower punch ต้องขยับขึ้นไปที่ตำแหน่ง Fill position คือเพื่อกำหนดปริมาตรผงโลหะที่จะถูกเติมลงมา ผงโลหะส่วนเกินอาจถูกปัดทิ้งที่จุดเสมอ กับปากแม่พิมพ์



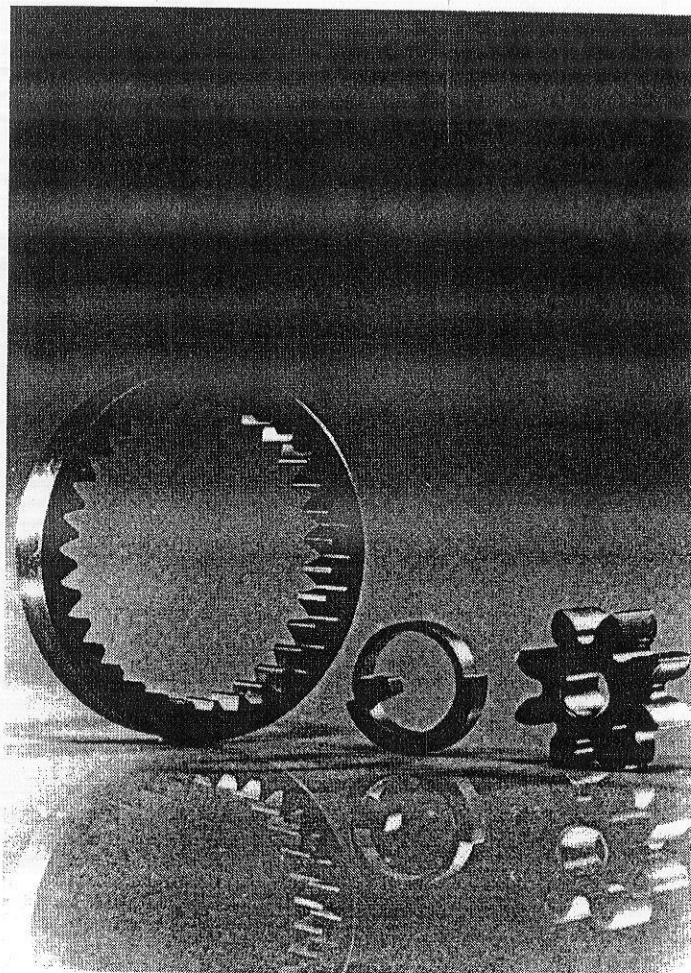
ภาพ 5.6 ขั้นตอนและการว่างด้าวของการอัดขี้นรูปโลหะแบบดังเดิม

ขั้นตอนการอัดขี้นรูปโลหะที่ได้ก่อตัวถึงไปเป็นการอัดขี้นรูปในกรณีที่ชิ้นงานมีรูปร่างพื้นฐาน ในทางปฏิบัติการอัดขี้นรูปโลหะ ชิ้นงานจะมีรูปร่างที่ซับซ้อนกว่านี้ เนื่องจากข้อได้เบรียบของกระบวนการโลหะผงคือ ได้รูปร่างใกล้เคียงรูปร่างสุดท้าย โดยไม่ต้องมีการกลึง ໄส กัด เจาะ เรื่อง ดังนั้นรูปร่างที่ต้องอัดจึงมักมีความซับซ้อนกว่ารูปร่างชิ้นงานหล่อ รูปร่างที่มีซึ่งว่างต้องมีการใช้ Split Die, Floating die หรือ Core die ซึ่งจะกล่าวถึงในภายหลังจากทฤษฎีที่เกี่ยวข้องกับการกระจายตัวของความหนาแน่นจากการอัด

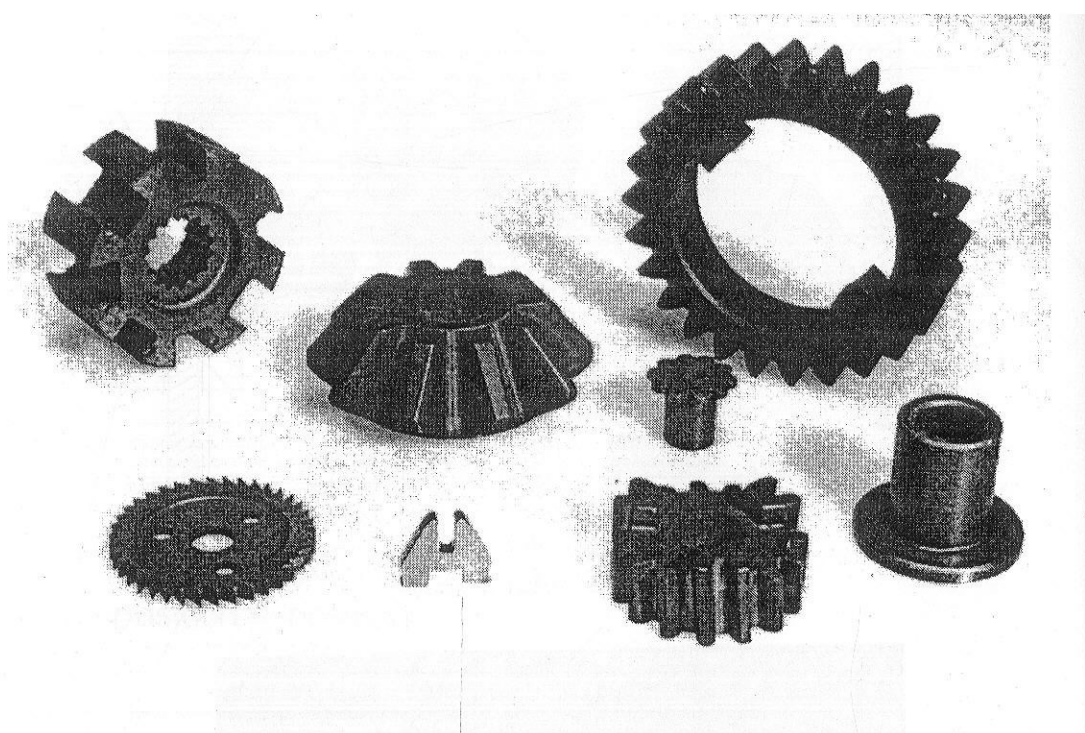
มีการจำแนกลักษณะชิ้นงานโลหะจากรูปร่างและความยากง่ายในการอัดทั้งหมดออกเป็น 4 ประเภท ดังนี้ (1) Class I ชิ้นงานมีความหนาเท่ากันทั้งชิ้นและมีความหนาน้อยสามารถอัดได้ด้วยแรงดันทิศทางเดียว (2) Class II ชิ้นงานมีความหนาเท่ากันทั้งชิ้นแต่มีความหนานามากขึ้นจาก Class I ทำให้ต้องอัดด้วยแรงดันสองทิศทาง (3) Class III ชิ้นงานมีความหนาสองระดับ ทำให้ต้องอัดด้วยแรงดันสองทิศทาง และต้องออกแบบแม่พิมพ์ซับช้อนเข้า (4) Class IV ชิ้นงานมีความหนานามากกว่าสองระดับ และมีความยากในการอัดที่สุด ต้องอัดด้วยแรงดันสองทิศทาง และอาจต้องมีรีบส่วนของแม่พิมพ์เพิ่มขึ้นมาเพื่อใช้ในการทำให้เกิดรูกลวง, ร่อง หรืออาจต้องมีการป้อนผงโลหะแบบพิเศษโดยทำให้แต่ละบริเวณมีปริมาณผงโลหะไม่เท่ากันตามความหนาของชิ้นงานในบริเวณนั้น ๆ ภาพ 5.7, 5.8, 5.9 และ 5.10 แสดงภาพถ่ายของชิ้นงานใน Class I, II, III, IV ตามลำดับ เหตุผลในการอัดด้วยแรงดันสองทิศทางคือต้องการกระจายตัวของความหนาแน่นในชิ้นงานที่สม่ำเสมอกว่า เพื่อให้ได้ชิ้นงานที่มีรูปร่างตามต้องการและมีสมบัติเริ่งกลเท่ากันทั่วทั้งชิ้น ซึ่งสามารถอธิบายได้ด้วยทฤษฎีและแบบจำลองทางคณิตศาสตร์



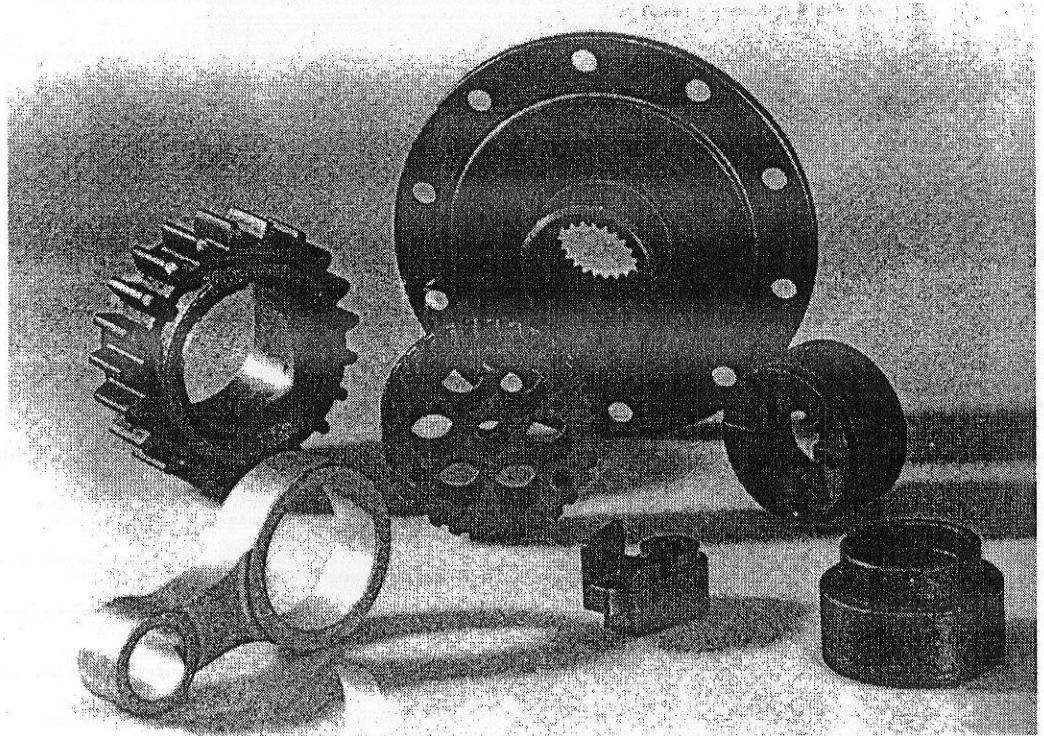
ภาพ 5.7 ภาพถ่ายชิ้นงาน Class I



ภาพ 5.8 ภาพถ่ายชิ้นงาน Class II



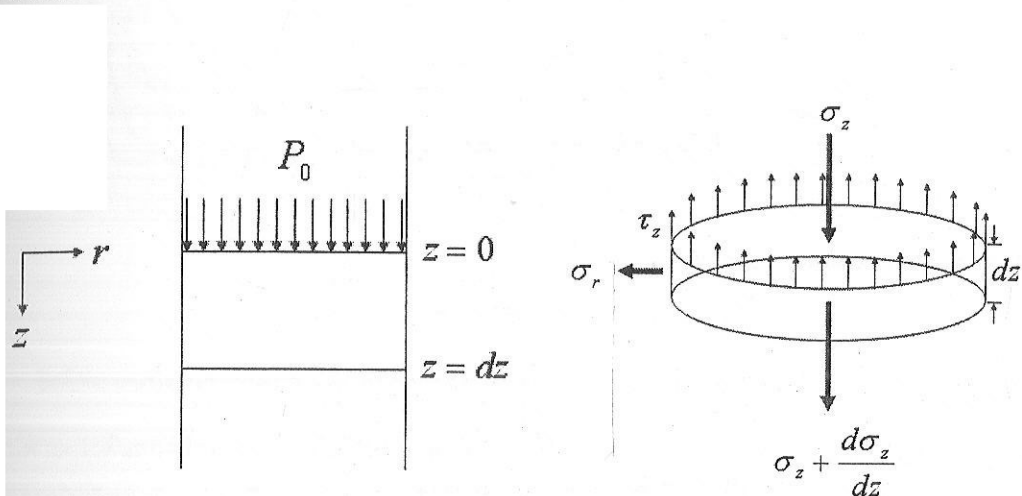
ภาพ 5.9 ภาพถ่ายชิ้นงาน Class III



ภาพ 5.10 ภาพถ่ายชิ้นงาน Class IV

5.4 ทฤษฎีและแบบจำลองทางคณิตศาสตร์

หลังจากผงโลหะได้รับแรงดันแล้วจะมีความหนาแน่นเพิ่มขึ้น ความหนาแน่นที่เพิ่มขึ้นในแต่ละวินาทีค่าไม่เท่ากัน ขึ้นอยู่กับพิศทางการให้แรงดัน, รูปร่างชิ้นงาน, ความสามารถในการโหลดตัวของผงโลหะ, ตำแหน่งในชิ้นงาน, ความเสียดทานระหว่างชิ้นงานและผังแม่พิมพ์ เป็นต้น เพื่อทำความเข้าใจรวมชาติของความหนาแน่นใช้ชิ้นงาน จึงต้องทำนายด้วยแบบจำลองทางคณิตศาสตร์ โดยพิจารณาชิ้นงานที่มีรูปร่างพื้นฐาน เป็นรูปทรงกรวยบ่อ กดดังภาพ 5.11



ภาพ 5.11 ตัวแปรและนิยามในการพิสูจน์สูตรการกระจายตัวของความหนาแน่นชิ้นรูปร่างทรงกรวยบ่อ

$$\text{ที่สมดุล} \quad \sum F_y = 0;$$

$$\begin{aligned} \frac{\pi}{4} D^2 \left(\sigma_z - \left(\sigma_z + \frac{d\sigma_z}{dz} \right) \right) dz - \tau_z \pi D dz &= 0 \\ -\frac{\pi}{4} D^2 \frac{d\sigma_z}{dz} dz &= \tau_z \pi D dz \\ \frac{d\sigma_z}{dz} &= -\frac{4}{D} \tau_z \end{aligned}$$

สมมุติฐาน:

$$\tau_z = \mu \sigma_r$$

$$\sigma_r = \alpha \sigma_z$$

μ = สัมประสิทธิ์ความเสียดทานระหว่างผังแม่พิมพ์กับผงโลหะ

α = สัมประสิทธิ์ความเสียดทานระหว่างอนุภาค มีค่าเท่ากับ 1 สำหรับ Perfect fluid มีค่าเท่ากับ 0
สำหรับ Rigid body

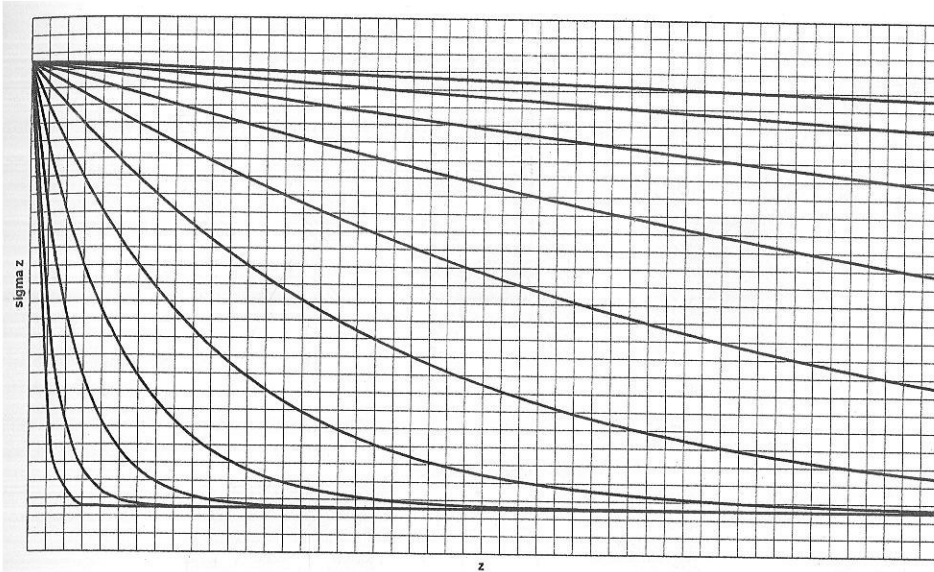
$$\begin{aligned}
\frac{d\sigma_z}{dz} &= -\frac{4}{D}\tau_z \\
&= -\frac{4}{D}\mu\sigma_r \\
&= -\frac{4}{D}\mu\alpha\sigma_z \\
\frac{d\sigma_z}{dz} &= -\frac{4}{D}\mu\alpha\sigma_z \\
\int \frac{d\sigma_z}{dz} dz &= -\int \frac{4}{D}\mu\alpha\sigma_z dz \\
\ln \sigma_z + C_1 &= -\frac{4}{D}\mu\alpha\sigma_z z
\end{aligned}$$

หาค่า C_1 จาก Boundary Condition

$$z = 0, \sigma_z = P_0$$

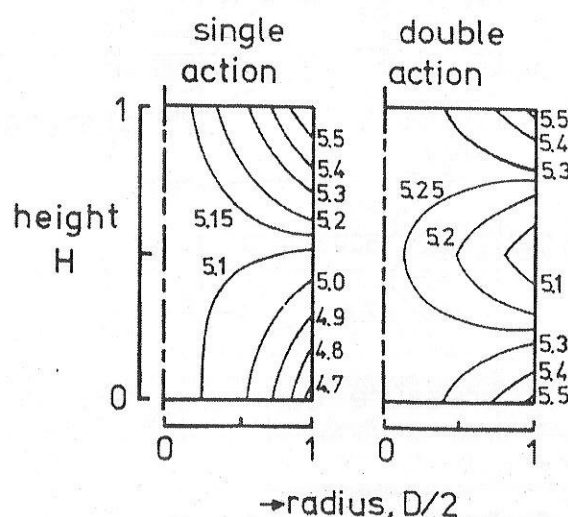
$$\begin{aligned}
C_1 &= -\ln P_0 \\
\ln \sigma_z - \ln P_0 &= -\frac{4}{D}\mu\alpha\sigma_z \\
\ln \frac{\sigma_z}{P_0} &= -\frac{4}{D}\mu\alpha\sigma_z z \\
\sigma_z &= P_0 \exp\left(-\frac{4}{D}\mu\alpha\sigma_z z\right)
\end{aligned}$$

จากสมการที่ได้ เมื่อนำมาสร้างกราฟจะได้ดังภาพ 5.12 ค่า σ_z ส่งผลโดยตรงต่อความหนาแน่น โดยถ้าค่า σ_z สูงจะทำให้มีความหนาแน่นสูงไปด้วย หากกราฟจะเห็นได้ว่าเมื่อค่า $\frac{\mu\alpha}{D}$ เพิ่มขึ้นความชันของกราฟจะเพิ่มขึ้นด้วยเช่นกัน ความชันที่มากหมายถึงความแตกต่างระหว่างความหนาแน่นที่ความลึกต่างกันจะมากขึ้นด้วย หรืออาจพูดอีกอย่างหนึ่งได้ว่ามี "Stress Gradient" สูง ดังนั้นที่ความลึกต่างกันในชิ้นงานก็จะมีความหนาแน่นต่างกัน (Density Gradient) มาไปด้วย เมื่อนำไปเผาประสานความหนาแน่นที่ต่างกันในชิ้นงานจะทำให้มีการเปลี่ยนแปลงมิติของชิ้นงานที่ไม่เท่ากันและอาจทำให้ชิ้นงานบิดเบี้ยวได้ หรือมีสมบัติเชิงกลไม่เท่ากัน ดังนั้นเพื่อให้การกระจายตัวของความหนาแน่นทั่วถึงดียิ่งขึ้นจึงควรลดค่า $\frac{\mu\alpha}{D}$ ซึ่งก็คือ (1) ลดค่าสัมประสิทธิ์ความเสียดทานระหว่างชิ้นงานกับผนังแม่พิมพ์ (2) ลดค่าสัมประสิทธิ์ความเสียดทานระหว่างอนุภาค (3) เพิ่มขนาดเส้นผ่านศูนย์กลางของชิ้นงาน หรืออีกนัยหนึ่งคือลดค่าอัตราส่วน $\frac{H}{D}$ เมื่อ H คือส่วนสูงของชิ้นงาน D คือเส้นผ่านศูนย์กลางของชิ้นงาน ในทางปฏิบัติเพื่อลด μ และ α ทำได้โดยเติม Lubricant ส่วนค่า $\frac{H}{D}$ ทำได้โดยการออกแบบแม่พิมพ์ให้ด้านที่มีความหนาแน่นอยู่ที่สุดชนวนกับทิศทางการอัด (ลดค่า H) หรืออีกนัยหนึ่งคือออกแบบแม่พิมพ์ให้ด้านที่มีความหนาที่สุดตั้งฉากกับทิศทางการอัด (เพิ่มค่า D)

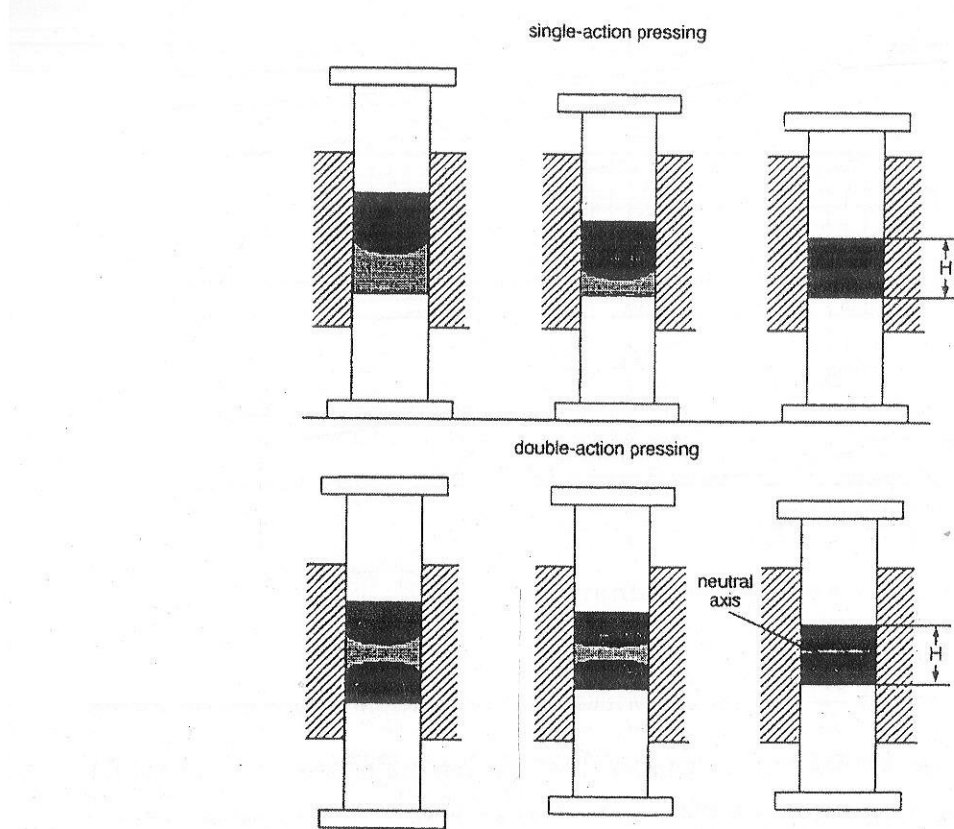


ภาพ 5.12 ความสัมพันธ์ระหว่าง σ_z และ z

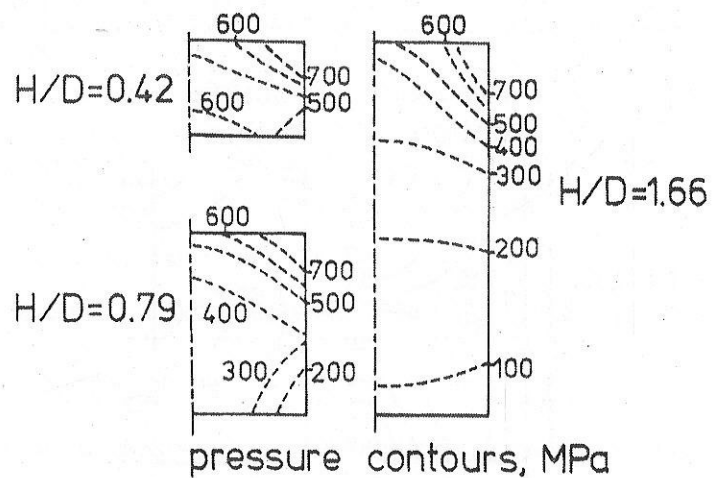
อีกวิธีการหนึ่งในการลดค่า $\frac{H}{D}$ คือการอัดขึ้นรูปด้วยแรงดันมากกว่าหนึ่งทิศทาง ยกตัวอย่าง เช่น การอัดขึ้นรูปด้วยแรงดันสองทิศทาง จากทั้งด้านบนและด้านล่างทำให้ค่า H ในทางปฏิบัติลดลง ระยะ z จะไม่ใช่ระยะจากผิวด้านบน แต่จะเป็นระยะห่างจากผิวที่ได้รับแรงดันที่ใกล้ที่สุด ภาพ 5.13 แสดงการกระจายตัวของความหนาแน่น (Density Gradient) ในชิ้นงานที่ผ่านการอัดขึ้นรูปแบบ Single Action และ Double Action จากภาพจะเห็นได้ว่าชิ้นงานที่ผ่านการอัดขึ้นรูปด้วยแรงดันทิศทางเดียว (Single Action) มี Density Gradient มากกว่าชิ้นงานที่ผ่านการอัดขึ้นรูปด้วยแรงสองทิศทาง (Double Action) ภาพ 5.14 เปรียบเทียบขั้นตอนการอัดขึ้นรูปแบบ Single Action และ Double Action ภาพ 5.15 เปรียบเทียบ Pressure Gradient ในชิ้นงานที่มีค่า $\frac{H}{D}$ ต่างกัน



ภาพ 5.13 การกระจายตัวของความหนาแน่นในชิ้นงานที่ผ่านการอัดขึ้นรูปแบบ Single Action และ Double Action

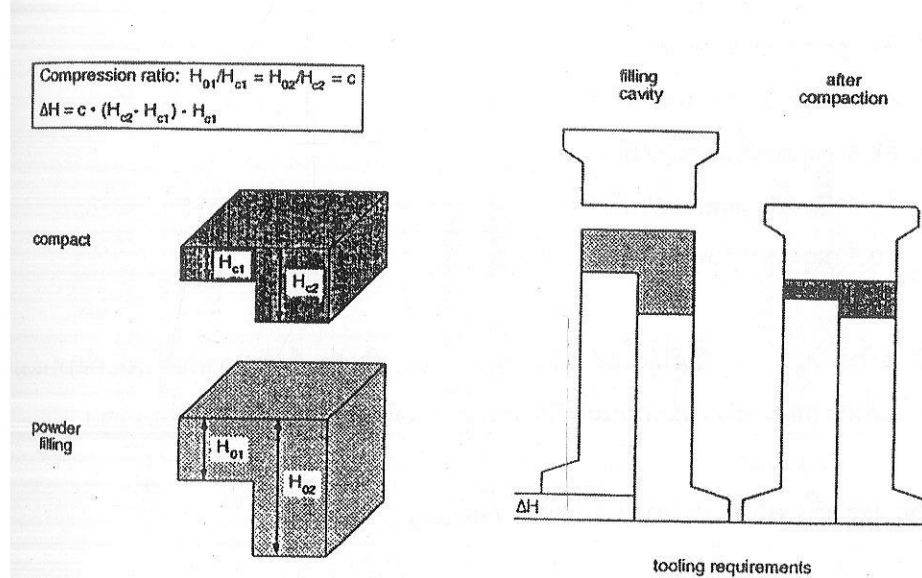


ภาพ 5.14 เมริยบเทียบขั้นตอนการอัดชิ้นรูปแบบ Single Action และ Double Action



ภาพ 5.15 เมริยบเทียบ Pressure Gradient ในรีมงานที่มีค่า $\frac{H}{D}$ ต่างกัน

สำหรับรูปร่างชิ้นงานบางประเภทมีความหนาในแต่ละบริเวณไม่เท่ากัน ยกตัวอย่างเช่น ชิ้นงานประเภท Class III และ Class IV ที่หากอัดโดยตรงจะทำให้ส่วนที่บางมีความหนาแน่นมากกว่าส่วนที่หนา เมื่อนำไปเผาประสานจะทำให้ชิ้นงานบิดเบี้ยวและมีสมบัติเชิงกลไม่เท่ากัน เพื่อให้ความหนาแน่นแต่ละบริเวณเท่ากันจึงต้องออกแบบแบบพิมพ์ให้สามารถเยื่องระะภกันได้ เมื่ออัดแล้วแต่ละบริเวณจะถูกอัดด้วยอัตราส่วนเท่า ๆ กัน (ภาพ 5.16)



ภาพ 5.16 ตัวอย่างลักษณะการอัดขึ้นรูปชิ้นงานที่มีความหนาสองด้านให้มีความหนาแน่นเท่ากัน

จากภาพ 5.16 จะสังเกตได้ว่าส่วนสูงของผงโลหะกับส่วนสูงของชิ้นงานต่างกัน ในทางวิศวกรรมสิ่งที่ต้องการคือรูปร่างของชิ้นงานหลังจากอัดขึ้นรูปแล้ว จากรูปร่างของชิ้นงานที่ต้องการจะถูกนำไปออกแบบแบบพิมพ์ว่าความสูงเท่าใดจึงจะสามารถบรรจุผงโลหะแล้วอัดได้ความสูงของชิ้นงานตามที่กำหนด ดังนั้นในการออกแบบจึงต้องทราบค่า Compression Ratio ซึ่งมีค่าเท่ากับ

$$\text{Compression Ratio (c)} = \frac{\text{ส่วนสูงของผงโลหะ}}{\text{ส่วนสูงของชิ้นงาน}}$$

$$\text{หรือ} \quad = \frac{\text{Apparent Density}}{\text{Green Density}}$$

ยกตัวอย่าง เช่น ถ้าต้องการชิ้นงานเหล็กกล้าไว้สนิมที่มีส่วนสูง 4 มิลลิเมตร มี Green Density 6.5 g/cm^3 ถ้า Apparent Density ของผงเหล็กกล้าไว้สนิมที่ใช้มีค่าเท่ากับ 2.7 g/cm^3 ต้องเติมผงโลหะลงในแม่พิมพ์สูงเท่าใด

$$\text{Compression Ratio} = \frac{2.7}{6.5} = 2.41$$

$$\text{ส่วนสูงของชิ้นงาน} = 2.41 \times 0.004 = 0.0093 \text{ m}$$

การอัดแบบแม่พิมพ์สำหรับกรณีที่ชิ้นงานมีความหนาไม่เท่ากันทั้งชิ้นงานมีความซับซ้อนมากขึ้น (ภาพ 5.16) จะเห็นว่าเพื่อให้ชิ้นงานที่ได้จากการอัดมีความหนาแน่นเท่ากันทั้งชิ้น Lower punch ของส่วนที่บาง กว่าจะต้องมีการเคลื่อนตัวไปประยุกต์จาก Fill position โดยระยะนี้คือ ΔH คำนวนได้จาก

$$\Delta H = c \cdot (H_{c2} - H_{c1}) - H_{01}$$

เมื่อ c คือ Compression Ratio

H_{c1} คือ ส่วนสูงของชิ้นงานส่วนที่ 1

H_{c2} คือ ส่วนสูงของชิ้นงานส่วนที่ 2

H_{01} คือ ส่วนสูงของผงโลหะส่วนที่ 1

H_{02} คือ ส่วนสูงของผงโลหะส่วนที่ 2

ในอัดขึ้นรูปชิ้นส่วนต่าง ๆ นั้นมีทั้งชิ้นส่วนที่มีรูกลวง, ร่อง เป็นต้น ซึ่งต้องอาศัยการอัดแบบแม่พิมพ์ที่ซับซ้อนขึ้น โดยในที่นี้จะกล่าวถึงให้หัวข้อเทคโนโลยีการอัดขึ้นรูปผงโลหะแบบ Axial Die Pressing

5.5 เทคโนโลยีการอัดขึ้นรูปผงโลหะแบบ Axial Die Pressing

การอัดขึ้นรูปผงโลหะแบบ Axial Die Pressing เป็นกรรมวิธีที่มีการใช้ในโรงงานอุตสาหกรรมมากที่สุด เนื่องจากเทคโนโลยีการอัดขึ้นรูปโลหะผงชนิดอื่นมีอัตราการผลิตต่ำกว่าหรือมีต้นทุนสูงหรือไม่เป็นระบบอัตโนมัติ จึงไม่เป็นที่นิยม ถึงแม้ว่าจะให้ผลิตภัณฑ์มีคุณภาพสูงกว่าก็ตาม

5.5.1 ประเภทของแหล่งกำเนิดแรงดัน

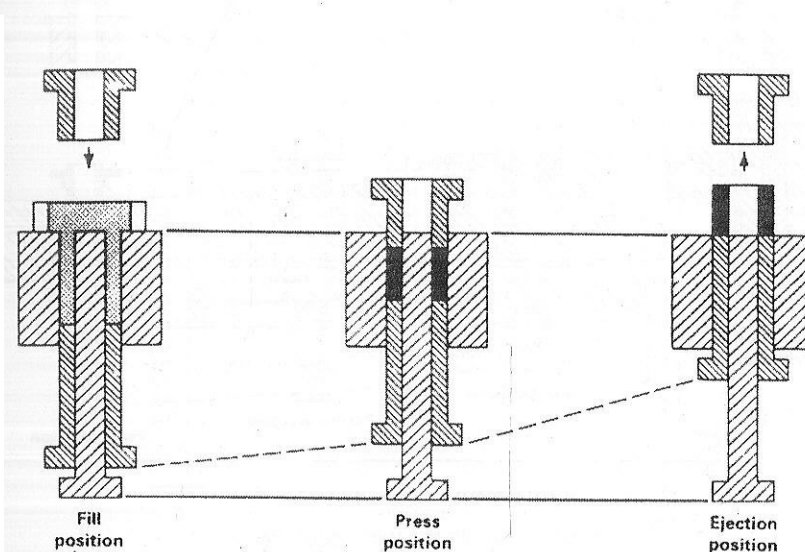
เครื่องจักรที่ใช้ในการให้แรงดันสำหรับการอัดขึ้นรูปโลหะผงแบบ Axial Die Pressing ในปัจจุบันมีสองชนิดคือ Mechanical Press และ Hydraulic Press ซึ่งมีข้อดีข้อเสียต่างกันไป ในแง่ของอัตราการผลิต Mechanical Press สามารถให้อัตราการผลิตได้สูงกว่า Hydraulic Press ประมาณ 1.5 – 5 เท่า เนื่องจากสามารถออกแบบ, การถ่ายเทแรงและ Stroke Length ที่สั้นกว่า ในแง่ของค่าดำเนินการ Mechanical Press มีค่าดำเนินการต่ำกว่าเมื่อจาก Hydraulic Press มีประสิทธิภาพในการใช้พลังงานต่ำกว่าในกรณีที่ชิ้นงานมีขนาดเล็ก แต่ในกรณีที่ชิ้นงานขนาดใหญ่ Hydraulic Press จะมีประสิทธิภาพในการใช้พลังงานสูงกว่า แต่ว่าชิ้นงานส่วนใหญ่ในกระบวนการโลหะจะมีขนาดเล็ก ดังนั้นในแง่ค่าดำเนินการ Mechanical Press จึงได้เปรียบกว่า ในแง่ของค่าเครื่องจักร Hydraulic Press จะมีต้นทุนประมาณกึ่งหนึ่งหนึ่งในสามของต้นทุนสำหรับ Mechanical Press 況ว่าเรื่องความปลอดภัย Hydraulic Press ได้เปรียบกว่าเมื่อจากกลไกของ Hydraulic Press ช่วยทำให้เครื่องจักรไม่สามารถออกแรงเกินค่าที่ออกแบบไว้ แต่สำหรับ Mechanical Press ความผิดพลาดของผู้ควบคุมเครื่องจักรอาจทำให้เครื่องจักรออกแรงเกินและเป็นอันตรายได้

5.5.2 ประเภทของแม่พิมพ์

ประเภทของแม่พิมพ์แบ่งตามกลไกการเคลื่อนตัวของส่วนประกอบต่าง ๆ ของแม่พิมพ์ โดยแบ่งออกได้

เป็น 3 ประเภทคือ Fix Die, Floating Die และ Withdrawal Die

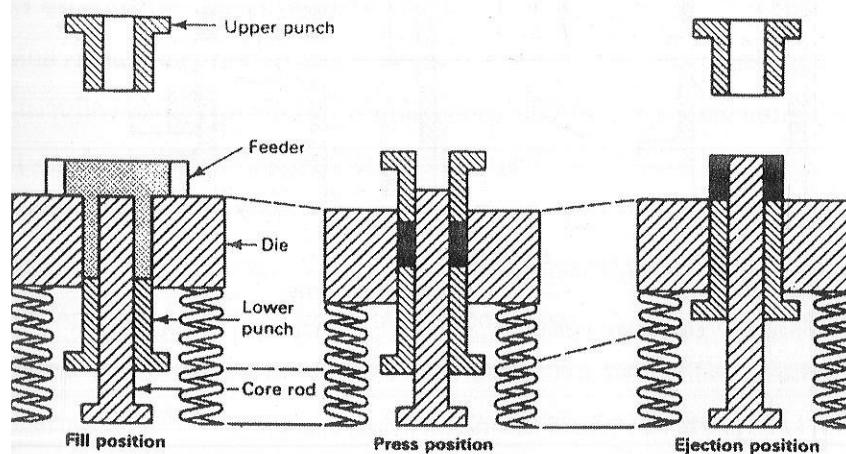
Fixed Die เป็นแม่พิมพ์แบบที่ไม่มีการเคลื่อนที่ของตัวแม่พิมพลาย ส่วนประกอบที่เคลื่อนที่ได้แก่ Upper Punch และ Lower Punch เท่านั้น ตัวอย่างแสดงดังภาพ 5.17



ภาพ 5.17 การทำงานของ Fixed Die

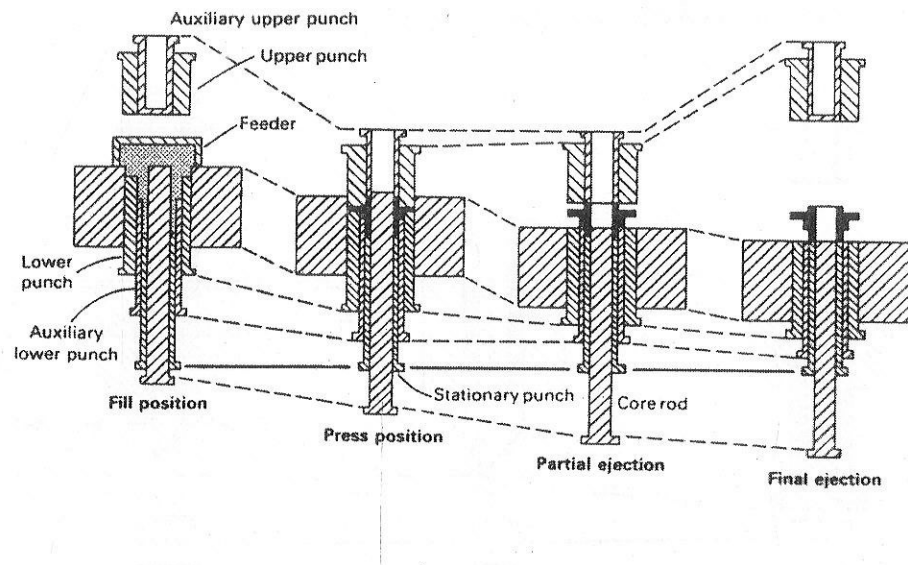
Floating Die เป็นระบบที่แม่พิมพ์ตั้งอยู่บนสปริงหรือลูกศูน Hydraulics เพื่อใช้ในการปรับระดับของแม่พิมพ์ โดยแม่พิมพ์จะเคลื่อนตัวลงขณะที่ทำการอัดขึ้นรูปด้วยแรงอัดเนื่องจากแรงเสียดทาน การเคลื่อนตัวลงของแม่พิมพ์ช่วยลดแรงเสียดทานระหว่างผนังแม่พิมพ์กับชิ้นงาน ทำให้แรงที่ใช้ในการอัดขึ้นรูปลดลง แต่ยังคงได้ความหนาแน่นเท่าเดิม กล่าวคือประสิทธิภาพในการอัดเพิ่มขึ้น รวมทั้งทำให้ได้ Density Gradient ต่ำลงด้วย

ภาพ 5.18 แสดงการทำงานของแม่พิมพ์แบบ Floating Die



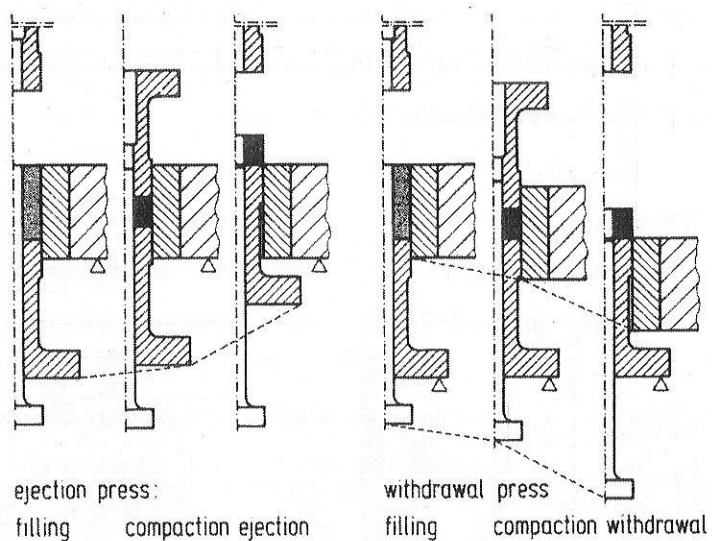
ภาพ 5.18 การทำงานของ Floating Die

Withdrawal Die มีหลักการเดียวกันกับ Floating Die ยกเว้นตรงที่มี Stationary punch คือ punch ที่อัดโดยอาศัยการเคลื่อนตัวลงของแม่พิมพ์และ Upper punch ส่วนตัวแม่พิมพ์เคลื่อนที่ลงเอง ต่างจาก Floating Die ซึ่งเคลื่อนลงด้วยแรงขัดของ Upper punch ภาพ 5.19 แสดงการทำงานของแม่พิมพ์แบบ Withdrawal Die



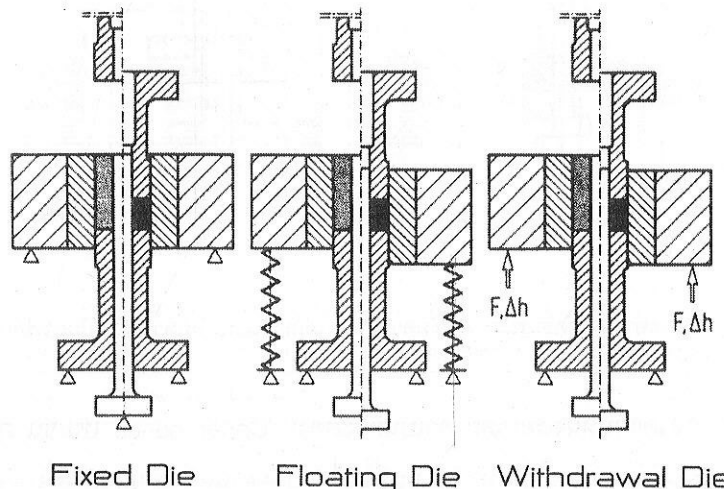
ภาพ 5.19 การทำงานของ Withdrawal Die

สำหรับการนำชิ้นงานออกจากแม่พิมพ์ทำได้สองวิธีคือ (1) ใช้ Lower punch ขยับขึ้นดันชิ้นงานออกจากแม่พิมพ์ (2) แม่พิมพ์ขยับตัวลงให้ Lower punch ดันชิ้นงานออกจากแม่พิมพ์ ภาพ 5.20 เปรียบเทียบการนำชิ้นงานออกจากแม่พิมพ์



ภาพ 5.21 เปรียบเทียบการนำชิ้นงานออกจากแม่พิมพ์

เมื่อเปรียบเทียบการทำงานของแม่พิมพ์ทั้ง 3 ประเภทจะได้ดังภาพ 5.21 โดย Fixed Die มีประสิทธิภาพในการอัดต่ำกว่าแม่พิมพ์ทั้งสองแบบ เนื่องจากไม่มีการเคลื่อนตัวของแม่พิมพ์ทำให้มีแรงเสียดทานระหว่างแม่พิมพ์กับชิ้นงาน ผลิตภัณฑ์ที่ได้มีความสม่ำเสมอของความหนาแน่นน้อย แต่อย่างไรก็ดี Fixed Die มีข้อดีคือ น้ำหนักต่ำและราคาถูก เหมาะสมที่จะใช้กับชิ้นงานที่คงทนมากบาง แม่พิมพ์ที่ได้รับความนิยมใช้ในโรงงานอุตสาหกรรมส่วนใหญ่ได้แก่ Floating Die และ Withdrawal Die



ภาพ 5.21 เปรียบเทียบการทำงานของ Fixed Die, Floating Die และ Withdrawal Die

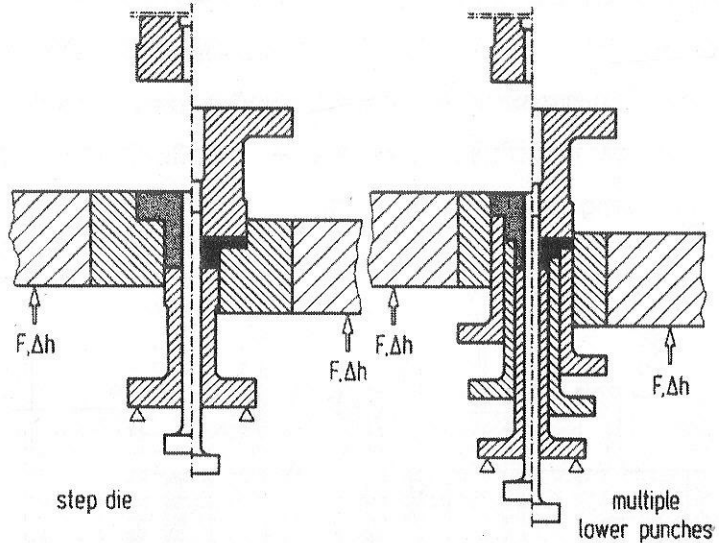
5.5.3 การอัดชิ้นรูปแบบ Axial Die Pressing และรูปร่างของชิ้นงาน

การอัดชิ้นรูปชิ้นงานที่มีรูปร่างต่าง ๆ ทำให้การออกแบบแม่พิมพ์และการเคลื่อนไหวของ Punch แตกต่างกันออกไป ชิ้นงานที่มีรูปร่างค่อนข้างซับซ้อนอาจใช้ Punch มากกว่า 8 ชิ้น นอกจากนี้การอัดชิ้นรูปชิ้นงานบางลักษณะต้องมีการออกแบบการป้อนผงโลหะด้วย

5.5.3.1 ชิ้นงานที่มีความหนาไม่เท่ากัน

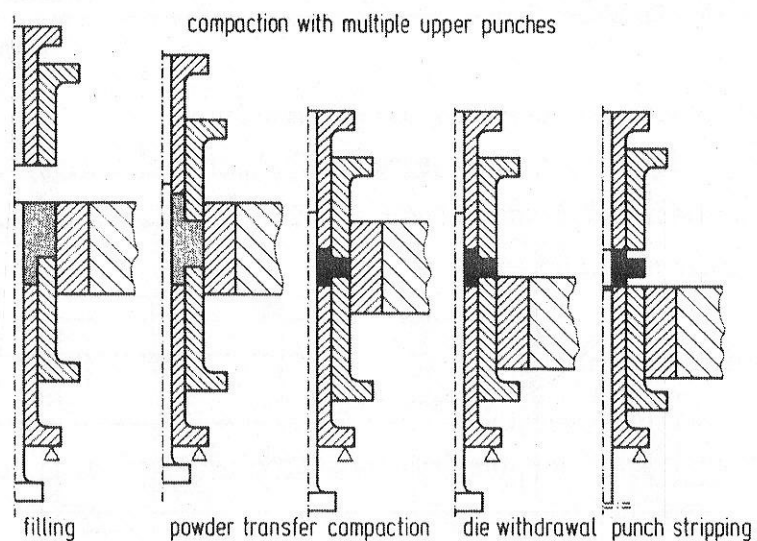
ดังที่ได้กล่าวมาแล้วว่าการอัดชิ้นรูปมีภาระให้กับชิ้นงานที่ต้องคำนึงถึงการกระจายตัวของความหนาแน่นเป็นหลัก ซึ่งในกรณีที่ชิ้นงานมีความหนาไม่เท่ากันนั้น เพื่อให้ความหนาแน่นภายในชิ้นงานสม่ำเสมอ Punch จะต้องเคลื่อนไหวขึ้น – ลง ไม่เท่ากันเพื่อให้ได้ Compression Ratio เท่ากัน

ขั้นตอนของการอัดชิ้นรูปชิ้นงานที่มีความหนาไม่เท่ากัน เริ่มจากการป้อนผงโลหะ ในขณะที่ทำการป้อนผงโลหะ Lower punch จะขยับไปตำแหน่ง Fill position ซึ่งทำให้ได้ช่องว่างพอต่อกับส่วนสูงของผงโลหะที่มีความหนาแน่นเท่ากับ Apparent Density ซึ่งคำนวณได้จาก Compression Ratio และส่วนสูงของชิ้นงานที่ต้องการหลังจากนั้น Upper Punch ก็จะอัดผงโลหะให้มีความหนาแน่นมากขึ้น ในขณะที่อัด แม่พิมพ์จะเคลื่อนตัวลงในกรณีที่เป็น Floating Die หรือ Withdrawal Die ภาพ 5.22 แสดงตัวอย่างการอัดชิ้นรูปชิ้นงานที่มีความหนาไม่เท่ากันแบบที่มีด้านหนึ่งมีผิวเรียบ



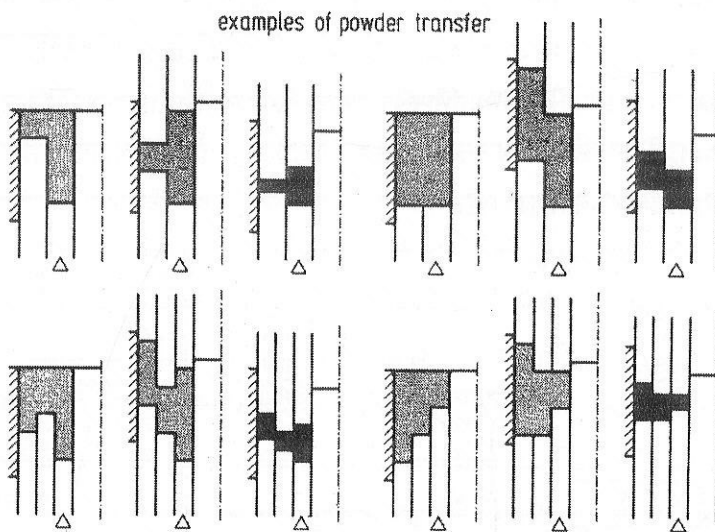
ภาพ 5.22 ตัวอย่างการอัดขึ้นรูปชิ้นงานที่มีความหนาไม่เท่ากันแบบที่มีด้านหนึ่งเป็นผิวเรียบ

ในกรณีที่ไม่มีผิวด้านใดด้านหนึ่งเรียบเลย จำเป็นที่จะต้องมี Upper punch เพิ่มขึ้น ภาพ 5.23 แสดงตัวอย่างการอัดขึ้นรูปชิ้นงานที่มีความหนาไม่เท่ากันแบบที่ไม่มีด้านใดด้านหนึ่งเป็นผิวเรียบ



ภาพ 5.23 ตัวอย่างการอัดขึ้นรูปชิ้นงานที่มีความหนาไม่เท่ากันแบบที่ไม่มีด้านหนึ่งเป็นผิวเรียบ

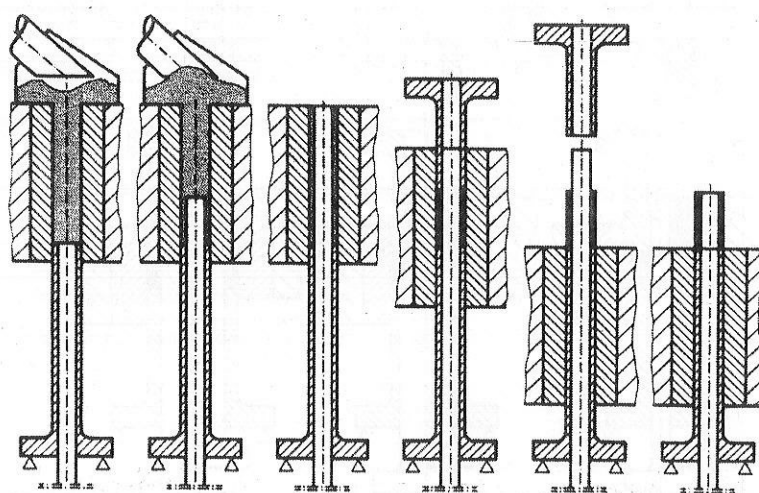
ในบางครั้งจะต้องใช้ Upper punch มากกว่า 2 ส่วน การอัดขึ้นรูปก็ยังเป็นไปตามหลักการเดิมคือให้มี Compression Ratio เท่ากันทั้งชิ้น และมีขั้นตอนการป้อนผงโลหะเช่นเดิม ตัวอย่างของการทำงานของ Punch ใน การอัดขึ้นรูปชิ้นงานที่มีความหนาไม่เท่ากันมากกว่า 2 ส่วนแสดงดังภาพ 5.24



ภาพ 5.24 ตัวอย่างของการทำงานของ Punch ใน การอัดขี้นรูปชิ้นงานที่มีความหนาไม่เท่ากันมากกว่า 2 ส่วน

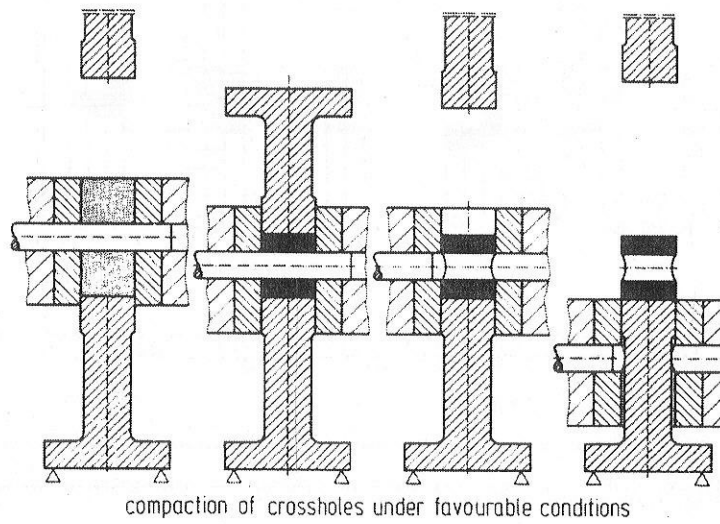
5.5.3.2 ชิ้นงานที่มีรู

การอัดขี้นรูปชิ้นงานที่มีรูสามารถทำได้โดยเพิ่มแกนกลางเข้าไปทำงานร่วมกับ Punch ชิ้นนี้เรียกว่า "Core rod" ทำหน้าที่คล้าย Core ในงานหล่อ ขั้นตอนการอัดเริ่มต้นจากการป้อนผงโลหะ ในขั้นตอนนี้ Core rod จะลงไปอยู่ที่ Fill position ด้านล่างของแม่พิมพ์ หันนี้เนื่องจากถ้าให้ Core rod อยู่ภายในแม่พิมพ์ดังแต่ต้นจะทำให้การไหลตัวของผงโลหะเป็นไปได้ยากขึ้น หลังจากนั้นจึงเคลื่อน Core rod เข้ามาในแม่พิมพ์แล้วจึงทำการอัดขี้นรูปด้วย Upper punch ตามปกติ ภาพ 5.25 แสดงตัวอย่างการอัดขี้นรูปชิ้นงานที่มีรูขนาดกับทิศทางการอัด



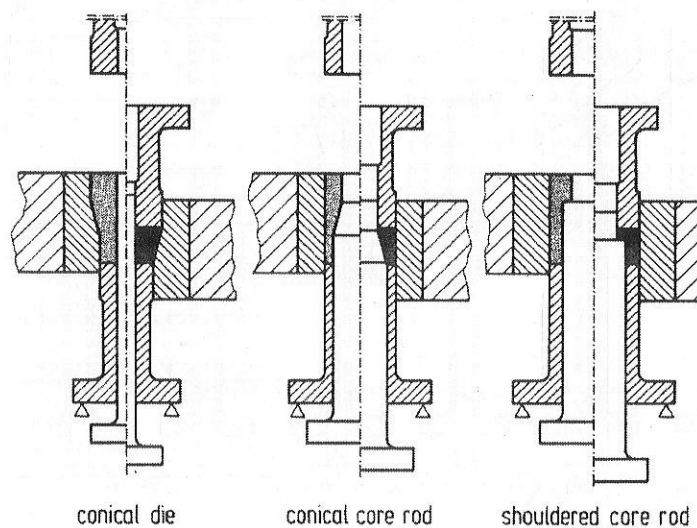
ภาพ 5.25 ตัวอย่างการอัดขี้นรูปชิ้นงานที่มีรูขนาดกับทิศทางการอัด

ในกรณีนี้ที่รูในชิ้นงานตั้งฉากกับทิศทางการอัด Core rod จะทำงานในลักษณะที่ต่างจากไป โดย Core rod จะวางตัวในทิศทางตั้งฉากกับทิศทางการอัด และ Fill position ของ Core rod จะอยู่ภายใต้แม่พิมพ์ตั้งแต่ต้น เนื่องจากถ้านำ Core rod เข้ามาในแม่พิมพ์ที่หลังจะผลักผงโลหะออกไปในช่องสำหรับ Core rod หลังจากนั้นก็ทำการอัดขึ้นรูปตามปกติแล้วจึงจะนำ Core rod ออก จึงจะนำชิ้นงานออกจากแม่พิมพ์ได้ ภาพ 5.26 แสดง การอัดขึ้นรูปชิ้นงานที่มีรูตั้งฉากกับทิศทางการอัด



ภาพ 5.26 การอัดขึ้นรูปชิ้นงานที่มีรูตั้งฉากกับทิศทางการอัด

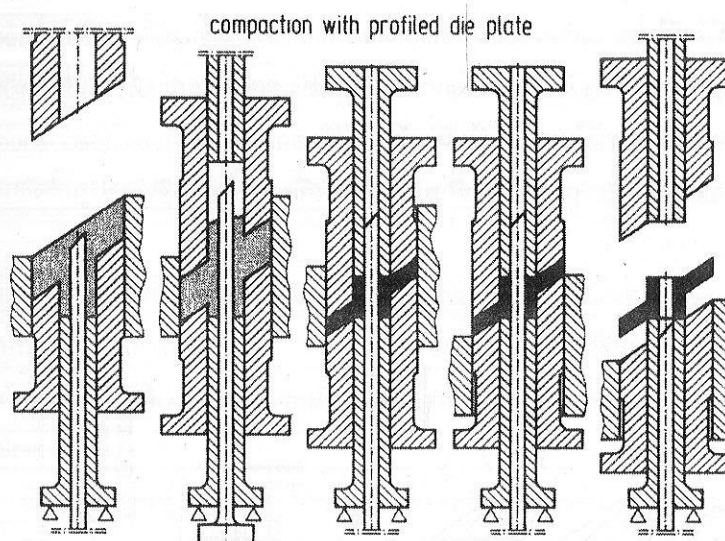
ในกรณีที่รูภายในชิ้นงานมีลักษณะพิเศษ เช่น มีป่า, มีพื้นที่หน้าตัดลดลง Core rod ของชิ้นงานเหล่านี้จะมีรูปร่างเปลี่ยนไปตามลักษณะของรูนั้น ภาพ 5.27 แสดงตัวอย่างการอัดขึ้นรูปชิ้นงานที่มีรูลักษณะพิเศษ



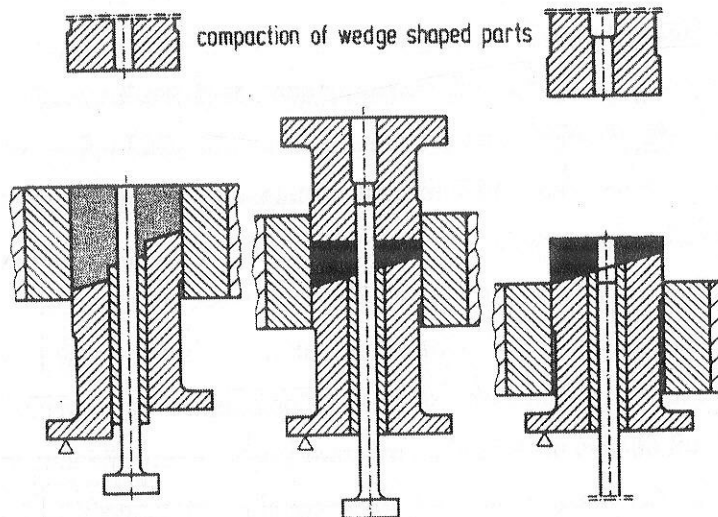
ภาพ 5.27 ตัวอย่างการอัดขึ้นรูปชิ้นงานที่มีรูลักษณะพิเศษ

5.5.3.3 ชิ้นงานที่มีผิวไม่เรียบกันกัน

ชิ้นงานที่มีผิวไม่เรียบกันหมายถึงชิ้นงานที่มีผิวด้านบนและล่างของชิ้นงานไม่เรียบกัน เช่น ผิวด้านบนเรียบ แต่ผิวด้านล่างตรง หรือ เอียงทั้งด้านบนและด้านล่างแต่ไม่เรียบกัน เป็นต้น ซึ่งการอัดขี้นรูปชิ้นงานที่มีรูปร่างแบบนี้ค่อนข้างยุ่งยาก ต่างจากชิ้นงานที่มีผิวเรียบทั้งด้านบนและล่างแต่เรียบกัน ภาพ 5.28 แสดงการอัดขี้นรูปชิ้นงานที่มีผิวเอียงทั้งด้านบนและล่างของชิ้นงาน กะหินได้ว่าการอัดขี้นรูปคล้ายคลึงกับชิ้นงานที่มีความหนาไม่เท่ากันทั่วไป สำหรับชิ้นงานที่มีผิวไม่เรียบกัน ถ้าหากมีผิวด้านหนึ่งตั้งฉากกับแนวการอัด จะมีลักษณะดังภาพ 5.29 คือ Upper punch มีผิวเรียบตามปกติ ส่วนด้านล่างจะประกอบไปด้วย Lower punch หลายอัน ซึ่งในขั้นตอนป้อนผงโลหะจะขับตัวไปที่ตำแหน่งต่าง ๆ ทำให้ได้ Compression Ratio เท่ากันในขั้นตอนการอัดอย่างไรก็ได้เนื่องจากผิวด้านที่เอียงมีความต่อเนื่องกัน การที่ Lower punch เคลื่อนไปที่ตำแหน่งต่าง ๆ ในขั้นตอนป้อนผงโลหะก็ไม่ได้ทำให้ได้ Compression Ratio เท่ากันอย่างแท้จริง แต่ก็อยู่เกณฑ์ที่รับได้ ยิ่งออกแบบให้มี Lower punch จำนวนมากขึ้นเท่าไหร่ ยิ่งมีโอกาสได้ชิ้นงานที่มีความหนาแน่นสม่ำเสมอมากขึ้น

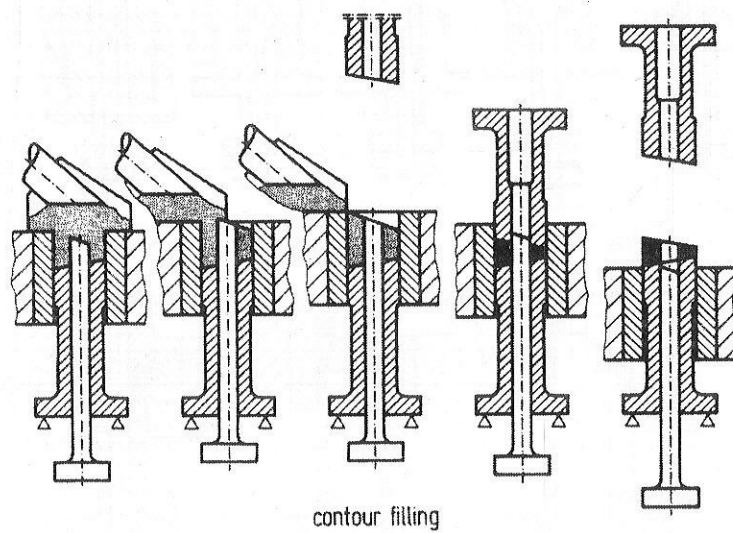


ภาพ 5.28 การอัดขี้นรูปชิ้นงานที่มีผิวเอียงทั้งด้านบนและล่างของชิ้นงานกัน



ภาพ 5.29 การอัดขี้นรูปชิ้นงานที่มีผิวไม่ราบงานกัน โดยมีผิวต้านหนึ่งดึงจากกับพิเศษทางการอัด

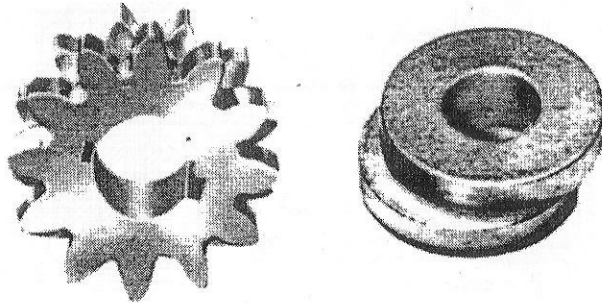
ในกรณีที่ชิ้นงานมีผิวที่ไม่ราบงานกันและมีผิวเอียงทั้งสองด้าน การอัดขี้นรูปจะขับช้อนขึ้นอีก โดยจะต้องมีการป้อนผงโลหะแบบ Contour filling คือป้อนผงโลหะไม่เท่ากันในแต่ละบริเวณ บริเวณที่หนาป้อนผงโลหะมาก บริเวณที่บางป้อนผงโลหะน้อย การป้อนผงโลหะไม่เท่ากันทำได้โดยการเคลื่อนที่ของ feed shoe ดังภาพ 5.30 จากนั้นใช้ Upper punch และ Lower punch ที่มีลักษณะเอียงอัดขี้นรูปตามปกติ



ภาพ 5.30 การอัดขี้นรูปชิ้นงานที่มีผิวไม่ราบงานกันและมีผิวเอียงทั้งสองด้าน

5.5.3.4 ชิ้นงานที่มีร่อง

ชิ้นงานที่มีร่องหมายถึงชิ้นงานที่มีร่องในแนวตั้งจากกับพิเศษทางการอัด ซึ่งชิ้นงานแบบนี้ถ้าอัดขึ้นรูปด้วยแม่พิมพ์แบบธรรมดاجะจะนำชิ้นงานออกจากแม่พิมพ์ไม่ได้ (ดูภาพ 5.31 ประกอบ)



ภาพ 5.31 ตัวอย่างชิ้นงานที่อัดขึ้นรูปด้วย Split Die

ชิ้นงานที่มีรูปร่างลักษณะนี้อาจใช้แม่พิมพ์แบบ Split Die ในกระบวนการอัด ซึ่งแม่พิมพ์แบบ Split Die มีการทำางานดังภาพ 5.32 จะไดเห็นว่าตัวแม่พิมพ์แบ่งออกเป็นสองชิ้นคือ Upper Die และ Lower Die ซึ่งจะถูกจัดวางประกอบกันที่ตัวแม่พิมพ์ที่แน่นอนในขณะที่ทำการป้อนผงโลหะ หลังจากนั้นจึงทำการอัดขึ้นรูป ในขั้นตอนนี้ถ้าสังเกตลักษณะการวางแผนตัวของชิ้นงาน จะพบว่าถ้าเป็นแม่พิมพ์ประเภทนี้จะไม่สามารถนำชิ้นงานออกจากแม่พิมพ์ได้ หลังจากอัดขึ้นรูปจนได้รูปร่างชิ้นงานที่ต้องการแล้ว จึงนำ Upper Die ออกและนำชิ้นงานออกจากแม่พิมพ์

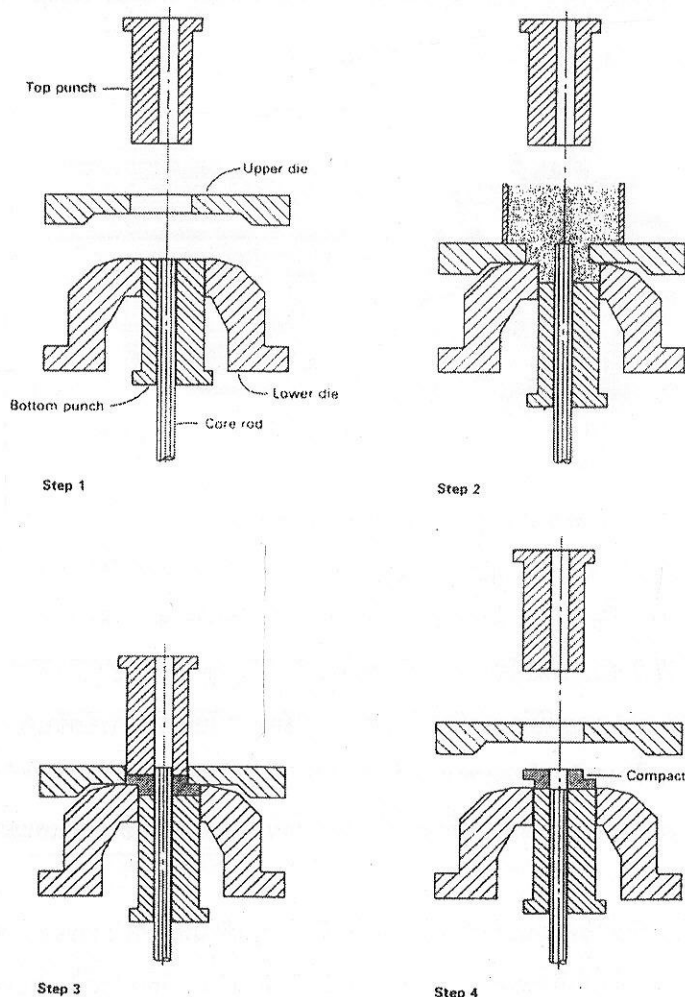
ข้อสังเกตเพิ่มเติมเกี่ยวกับการอุดแบบ Split Die คือบริเวณมุมด้านหนึ่งของ Lower Die จะเป็นบริเวณผงโลหะถูกป้อนเข้าไปได้ยาก ทำให้เกิดช่องว่างหลังจากป้อนผงโลหะแล้ว วิธีการแก้ไขปัญหานี้ทำได้โดยเพิ่มระยะส่วนสูงของผงโลหะที่ Lower Die เพื่อชดเชยปริมาณผงโลหะที่หายไป ภาพ 5.33 แสดงบริเวณที่ผงโลหะถูกป้อนเข้าได้ยากใน Split Die

Split Die มักจะมีต้นทุนสูง เพราะมีจำนวนชิ้นส่วนที่เคลื่อนไหวเพิ่มขึ้น อีกทีก็การนึ่งในการอัดขึ้นรูปชิ้นงานที่มีร่องคือการใช้ Core plate อยู่บริเวณด้านข้างเพื่อทำให้เกิดร่องในขั้นตอนการอัดขึ้นรูป เมื่อนำชิ้นงานออกจากแม่พิมพ์ ชิ้นงานจะถูกดันขึ้นพร้อมกับ Core plate ในแนวตั้งจนพ้นแม่พิมพ์ หลังจากนั้นก็สามารถนำชิ้นงานออกจากทางด้านข้างได้ ภาพ 5.34 แสดงขั้นตอนการอัดขึ้นรูปชิ้นงานที่มีร่องด้วย Core plate

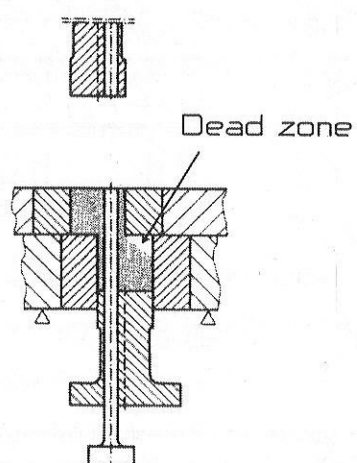
5.5.3.5 ชิ้นงานที่มีชั้น Compound

ชิ้นงานบางมีลักษณะเป็นชั้นของโลหะผสมต่างชนิดกัน เช่น Double layer valve ที่มีผิวภายนอกเป็นหงหเลื่องภายในเป็นเหล็กกล้าไร้สนิม หรือ ชิ้นงานลักษณะเดียวกับ Cladding เป็นต้น ชิ้นงานเหล่านี้ต้องมีการใช้ผงโลหะมากกว่าหนึ่งชนิด วิธีการอัดขึ้นรูปชิ้นอยู่กับลักษณะการเรียงตัวของชั้น Compound

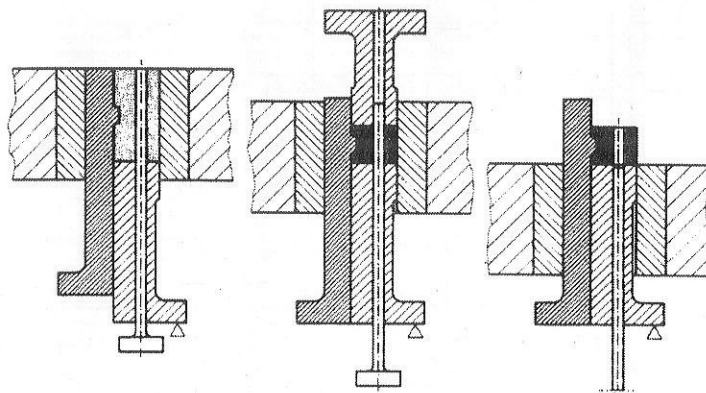
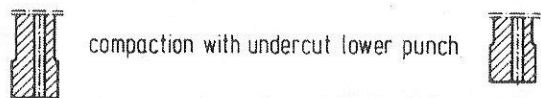
สำหรับชิ้นงานที่มีชั้น Compound ในแนวตั้งจากกับพิเศษทางการอัดขึ้นรูป ทำได้โดยเติมผงโลหะชนิดแรกเข้าไปก่อน Lower punch เป็นตัวกำหนดปริมาณผงโลหะชนิดแรก หลังจากนั้น Lower punch จะเคลื่อนตัวลงเพื่อรับผงโลหะชนิดที่สอง หลังจากนั้นจึงทำการอัด ภาพ 5.35 แสดงขั้นตอนการอัดขึ้นรูปชิ้นงานที่มีชั้น Compound ในแนวตั้งจากกับพิเศษทางการอัดขึ้นรูป



ภาพ 5.32 ขั้นตอนการอัดขี้นรูปชิ้นงานที่มีร่องด้วย Split Die

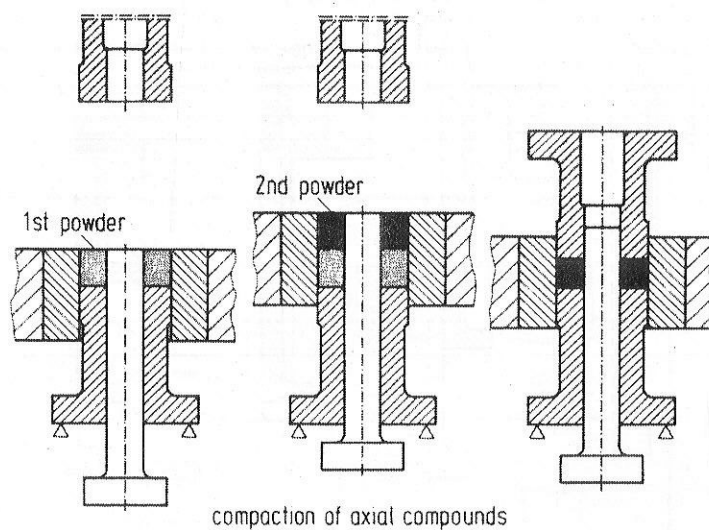


ภาพ 5.34 แสดงบริเวณที่ผงโลหะถูกป้อนเข้าได้ยากใน Split Die

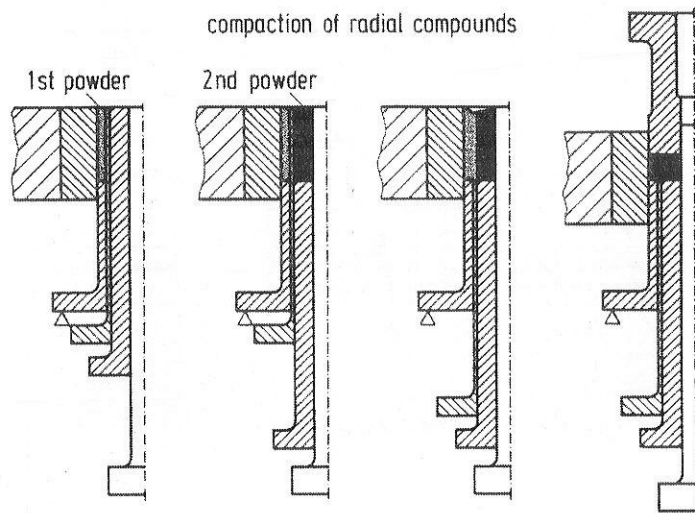


ภาพ 5.34 ขั้นตอนการขัดขันรูปชิ้นงานที่มีร่องหัวข่าย Core plate

สำหรับชิ้นงานที่มีชั้น Compound ในแนวนานกับทิศทางการอัดขันรูปจะมี Lower punch เพื่อขึ้นตามจำนวนชั้น Compound เพื่อทำหน้าที่รับผงโลหะเข้ามาที่ลักษณะและมีแผงกันระหว่างผงโลหะแต่ละชั้นโดยด้วยชั้นตอนคือเริ่มจาก Lower punch ของชั้น Compound แรกเคลื่อนตัวลงเพื่อรับผงโลหะ หลังจากนั้น Lower punch ของชั้น Compound ที่สองเคลื่อนตัวลงเพื่อรับผงโลหะ โดยที่ในชั้นตอนนี้จะมีแผงกันระหว่างชั้น Compound ทั้งสอง เมื่อป้อนผงโลหะทั้งสองชั้นนิดเดียวแล้วจึงเอาแผงกันออก แล้วจึงทำการอัดขันรูป ขั้นตอนของการอัดขันรูปชิ้นงานที่มีชั้น Compound ในแนวนานกับทิศทางการอัดขันรูปแสดงดังภาพ 5.36

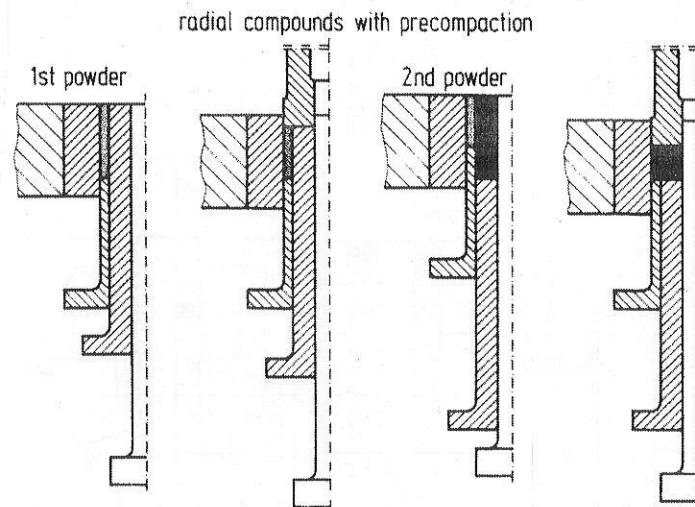


ภาพ 5.35 ขั้นตอนการอัดขันรูปชิ้นงานที่มีชั้น Compound ในแนวตั้งจากกับทิศทางการอัดขันรูป



ภาพ 5.36 ขั้นตอนการอัดขึ้นรูปชิ้นงานที่มีชิ้น Compound ในแนวขวางกับทิศทางการอัดขึ้นรูป

วิธีการอัดขึ้นรูปชิ้นงานที่มีชิ้น Compound ในแนวขวางกับทิศทางการอัดขึ้นรูปยังมีอีกวิธีหนึ่ง เรียกว่า วิธี "Pre-compaction" วิธีการนี้มีหลักการคือหลังจากป้อนผงโลหะชนิดแรกเสร็จแล้ว ทำการอัดผงโลหะชนิดแรก ในเบริมาณน้อยก่อน เพื่อให้ผงโลหะชนิดแรกมีความแข็งแรงพอประมาณ แล้วจึงทำการป้อนผงโลหะชนิดที่สอง แล้วค่อยทำการอัดขึ้นรูปให้ได้ความหนาแน่นและรูปร่างที่ต้องการพร้อมกันอีกด้วย จนสังเกตเห็นได้ว่าวิธีการนี้ไม่ต้องมีแผงกัน ทำให้ต้นทุนการสร้างแม่พิมพ์ลดลง แต่ว่าต้องมีการอัดสองครั้งซึ่งทำให้อัตราการผลิตลดลง

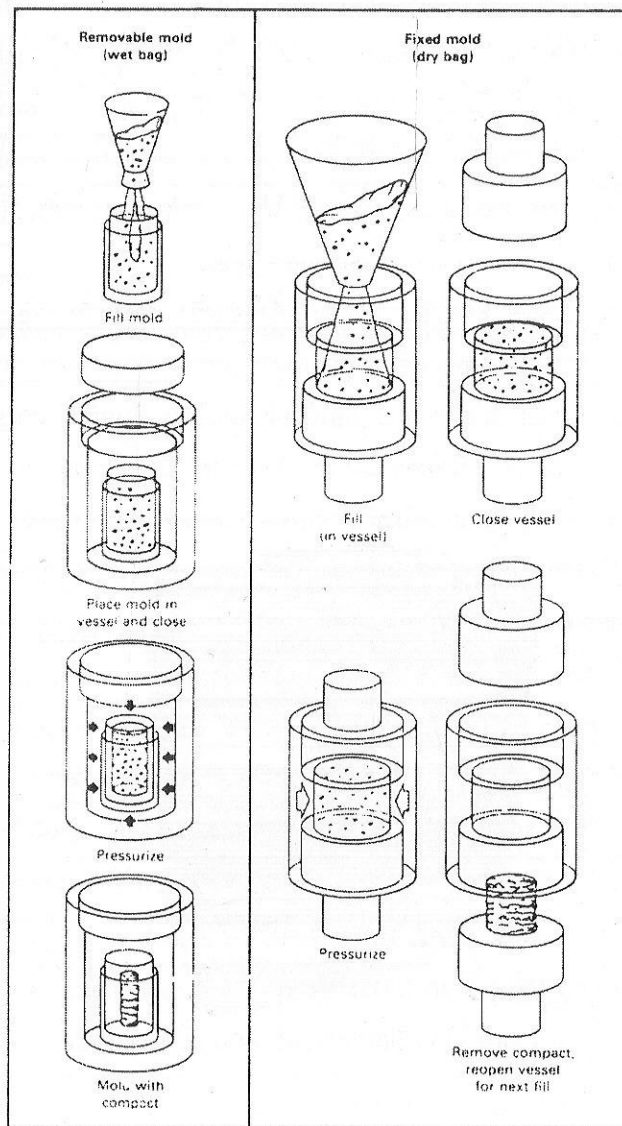


ภาพ 5.37 ขั้นตอนการอัดขึ้นรูปชิ้นงานที่มีชิ้น Compound ในแนวขวางกับทิศทางการอัดขึ้นรูป แบบ pre-compaction

5.6 Cold Isostatic Pressing (CIP)

Cold Isostatic Pressing (CIP) เป็นเทคโนโลยีการอัดขึ้นรูปคงโลหะให้มีรูปร่างตามต้องการ โดยป้อนแรงดันผ่านของเหลวที่อุณหภูมิห้อง ของเหลวที่ใช้ส่วนใหญ่ได้แก่น้ำมันและน้ำ แรงดันในการอัดส่วนใหญ่อยู่ในช่วงระหว่าง 210 ถึง 410 MPa และในบางครั้งสูงถึง 700 MPa สามารถได้ความหนาแน่นอยู่ในช่วง 60 ถึง 80% Theoretical Density

Cold Isostatic Pressing แบ่งออกเป็นสองประเภท โดยทั้งสองประเภทใช้แม่พิมพ์ทำจาก Elastomer เมื่อองค์กัน ถ้า Elastomeric Mold ถูกยึดติดอยู่กับภาชนะจุความดัน (Pressure Vessel) เรียกว่า "Dry Bag" ถ้า Elastomeric Mold สามารถนำออกมากจากภาชนะจุความดันได้ เรียกว่า "Wet Bag" การทำงานของทั้งสองประเภทแสดงในภาพ 5.38



ภาพ 5.38 ขั้นตอนการทำงานของ Cold Isostatic Pressing (CIP) แบบ Wet Bag และ Dry Bag

หลักการของ Cold Isostatic Pressing คือการให้แรงดันผ่านของเหลวไปยัง Elastomeric Mold แรงดันที่กระทำต่อผงโลหะจะมาจากการบีบอัด ดังนั้นข้อได้เปรียบท่อง Cold Isostatic Pressing คือการกระชายตัวของความหนาแน่นจะสม่ำเสมอกว่าการอัดขึ้นรูปแบบ Double Action มาก ทำให้สามารถอัดขึ้นรูปปิ้นที่มีอัตราส่วน $\frac{H}{D}$ สูงได้ ชิ้นงานทรงกระบอกอาจมีความสูงได้ถึง 3 – 5 เมตร นอกจากนี้ Cold Isostatic Pressing ยังหลีกเลี่ยงแรงเสียดทานระหว่างแม่พิมพ์กับชิ้นงานได้ ทำให้มีประสิทธิภาพในการอัดสูง โดยไม่มี Residual Stress ในชิ้นงาน ไม่เสียต่อการแตกหรือหลุดร่อนของชิ้นงานในขณะเคลื่อนย้าย และไม่จำเป็นต้องมีการเติม Binder หรือ Lubricant เนื่องจากไม่มีแรงเสียดทานระหว่างแม่พิมพ์กับชิ้นงาน และมีความสม่ำเสมอของความหนาแน่นเดียวกัน และเมื่อไม่มีการใช้ Binder และ Lubricant ทำให้ชิ้นงานที่ได้มีความสามารถกัดกร่อนในกรณีที่ไม่สามารถกำจัด Binder และ Lubricant ออกໄไปได้หมดในขั้นตอนเผาประสาน

ข้อเสียเบรียบท่อง Cold Isostatic Pressing คือมีอัตราการผลิตต่ำ เนื่องจากไม่ใช่กระบวนการต่อเนื่องเหมือน Axial Die Pressing ในการอัดแต่ละครั้งต้องทำการบรรจุผงโลหะลงใน Elastomeric Mold ก่อน จึงนำลงไปในภาชนะจุความดัน แล้วค่อยให้แรงดัน (Wet Bag) แต่ข้อเสียเบรียบท่องนี้ได้รับการปรับปรุงให้มีอัตราการผลิตสูงขึ้น โดยมี Elastomeric Mold ยึดติดอยู่กับภาชนะจุความดัน (Dry Bag) ทำให้ลดขั้นตอนการทำงานไปได้และมีอัตราการผลิตสูงขึ้น ตัวอย่าง เช่น ในการผลิตหัวเทียนสามารถทำได้ประมาณ 2800 ชิ้นต่อชั่วโมง

ส่วนประกอบของเครื่อง Cold Isostatic Pressing ได้แก่ ภาชนะจุความดัน (Pressure Vessel), แหล่งกำเนิดความดัน (Pressure Generator), และ Elastomeric Mold

การออกแบบ Pressure Vessel ต้องให้ความระมัดระวังอย่างยิ่ง เนื่องจาก Pressure Vessel ต้องมีหน้าที่บรรจุความดันมหาศาล แรงดันภายในอาจเทียบได้กับแรงระเบิดของวัตถุระเบิดหลายร้อยกิโลกรัม ในการออกแบบส่วนใหญ่มี Safety factor ไม่ต่ำกว่า 3 คือให้รับแรงดันได้ไม่เกินหนึ่งในสามของความแข็งแรงดึงสูงสุด (Ultimate Tensile Stress) นอกจากนี้ต้องคำนึงถึงความล้าด้วย เนื่องจาก Pressure Vessel ได้รับแรงแบบว้าวจักร ในขณะใช้งานจะมีการตรวจสอบแบบไม่ทำลายเพื่อความปลอดภัยเป็นประจำ

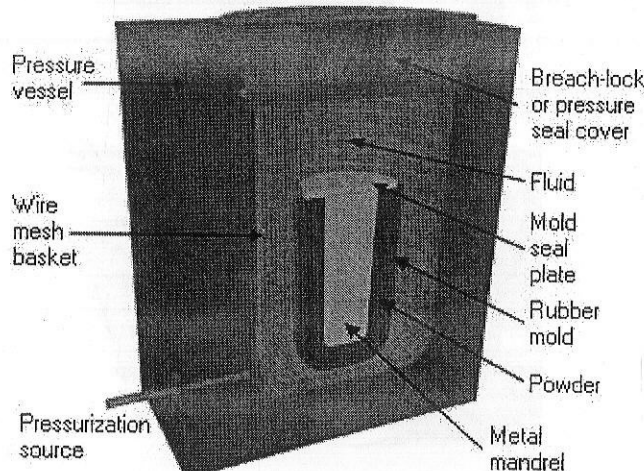
Pressure Generator มีสองแบบคือ Air driven pump และ Hydraulic pump สำหรับ Air driven pump นิยมใช้กับการอัดขึ้นรูปชิ้นงานขนาดเล็กและอัตราการผลิตต่ำ ส่วน Hydraulic pump ใช้กับชิ้นงานที่มีขนาดใหญ่และต้องการอัตราการผลิตสูง Air driven pump มีต้นทุนต่ำกว่า Hydraulic pump ของเหตุที่ใช้ส่งผ่านแรงดันนิยมใช้น้ำมันสำหรับ Dry Bag และใช้น้ำมันสมนับ corrosion inhibitor สำหรับ Wet Bag ระบบการกรองอนุภาคปีก่อนจะถูกติดตั้งไว้เสมอเพื่อป้องกันการสะสมตัวของตะกอนใน Pressure Vessel

Elastomeric Mold สามารถทำจากวัสดุพอลิเมอร์หลายประเภทด้วย ปัจจัยในการเลือกวัสดุมាតาม Elastomeric Mold ได้แก่ (1) วัสดุชนิดนั้นจะต้องไม่ทำปฏิกิริยากับผงโลหะหรือของเหลวใน Pressure Vessel (2) วัสดุชนิดนั้นจะต้องมีความทนทานต่อการสึกหรอสามารถใช้งานได้นาน ภายใต้การเสียดสีกับผงโลหะปัจจุบันนี้วัสดุที่ใช้ทำ Elastomeric Mold ได้แก่ ยางธรรมชาติ, Neoprene, Urethane, Polyvinyl Chloride, Butyl, Nitrile และ Silicone สมบัติของวัสดุที่ใช้ทำ Elastomeric Mold ชนิดต่าง ๆ แสดงไว้ในตาราง 5.1

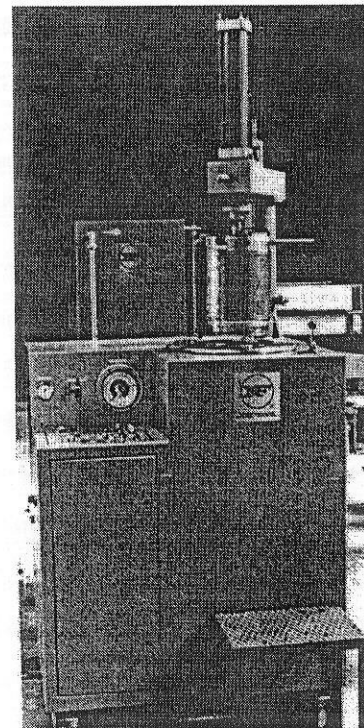
ตาราง 5.1 สมบัติของวัสดุที่ใช้ทำ Elastomeric Mold ชนิดต่าง ๆ

Properties	Natural Rubber (Molded)	Natural Rubber (Latex)	Butyl	Polyvinyl Chloride	Polyurethane	Neoprene	Nitrile	Silicone
Tensile Strength (MPa)	21	21	14	14 - 21	28	14	10	7
Shore Hardness	30 - 90	40	40 - 75	-	20 - 98	40 - 95	40 - 95	40 - 85
Tear Resistance	Very Good	Very Good	Good	Fair	Excellent	Good	Fair	Poor
Abrasion Resistance	Excellent	Good	Good	Fair	Excellent	Good	Good	Poor
Resilience	Excellent	Excellent	Bad	Bad	Good	Good	Fair	Excellent
Resistance to Lubricating Oil	Poor	Poor	Poor	Poor	Excellent	Good	Very Good	Fair
Petrol	Poor	Poor	Poor	Poor	Excellent	Fair	Excellent	Fair
Heat	Good	Good	Excellent	Good	Poor	Excellent	Excellent	Excellent

ภาพ 5.38 แสดงองค์ประกอบของเครื่อง Cold Isostatic Pressing สำหรับเครื่อง Cold Isostatic Pressing มีดังนี้แต่ขนาดเล็กสำหรับใช้ในการวิจัยและขนาดใหญ่ที่ใช้การผลิต ภาพ 5.39 และ 5.40 แสดงตัวอย่างเครื่อง Cold Isostatic Pressing

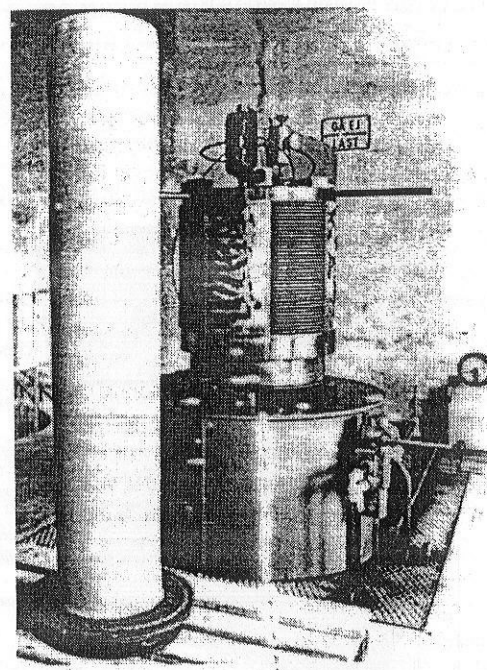


ภาพ 5.38 องค์ประกอบของเครื่อง Cold Isostatic Pressing



ภาพ 5.39 เครื่อง Cold Isostatic Pressing

ขนาดเล็กสำหรับใช้ในการวิจัย



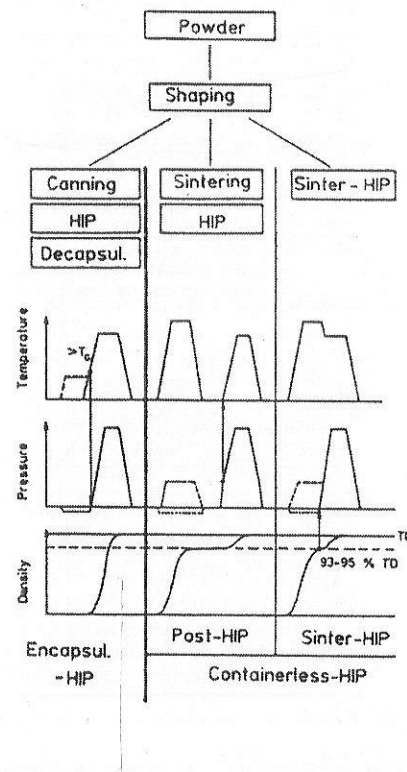
ภาพ 5.40 เครื่อง Cold Isostatic Pressing ขนาดใหญ่

สำหรับใช้ในการผลิตชิ้นส่วน

5.7 Hot Isostatic Pressing (HIP)

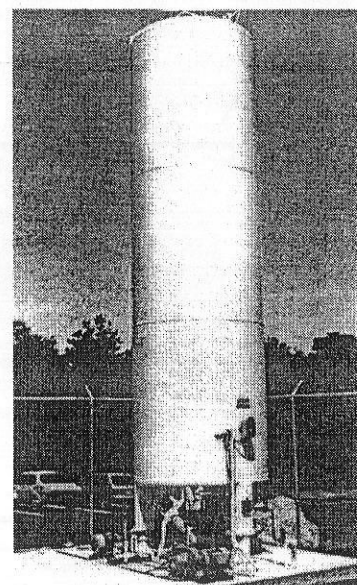
Hot Isostatic Pressing (HIP) เป็นเทคโนโลยีการอัดขึ้นรูปผลิตให้มีรูปทรงตามต้องการ โดยปัจจุบัน แรงดันผ่านก้ามที่อุณหภูมิสูง Hot Isostatic Pressing มีหลักการคล้ายคลึงกับ Cold Isostatic Pressing แต่แตกต่างกันที่ Hot Isostatic Pressing ทำที่อุณหภูมิสูง ($>0.5T_m$) และเพาประสาณไปพร้อมกับการอัดขึ้นรูป ซึ่ง จะทำให้ได้ชิ้นงานที่มีความหนาแน่นสูงและสม่ำเสมอ ในทำนองเดียวกับ Cold Isostatic Pressing แรงดันที่ป้อนให้กับชิ้นงานผ่านก้ามจะมีผลก็ต่อเมื่อชิ้นงานไม่มี Open pore เนื่องจากถ้ามี Open pore แล้วแรงดันจะไม่สามารถทำให้ผงโลหะอัดตัวได้ความหนาแน่นมากขึ้นได้ ดังนั้นจึงต้องมีการทำ Canning หรือ Encapsulation เพื่อเป็นภาชนะบรรจุผงโลหะและส่งผ่านแรงดันสู่ชิ้นงาน ซึ่งวัสดุที่ใช้ทำ Mold นี้ต้องมีความยืดหยุ่นเหมือนกับ Elastomeric Mold ในกรณีของ Cold Isostatic Pressing แต่เนื่องจาก Hot Isostatic Pressing ทำที่อุณหภูมิสูงกว่าทำให้วัสดุที่ใช้ทำ Mold ต้องทนแรงดันและไม่เกิดปฏิกิริยา กับผงโลหะที่อุณหภูมิสูง ซึ่งเป็นเหตุผลหลักที่ทำให้ Hot Isostatic Pressing มีต้นทุนสูง

Hot Isostatic Pressing แบ่งออกเป็นสองประเภทคือ Encapsulated HIP และ Containerless HIP สำหรับ Encapsulated HIP เป็นกระบวนการที่มีการทำ Canning แล้วนำไปทำ Hot Isostatic Pressing ทำให้ชิ้นงานมีความหนาแน่นขึ้นพร้อมกับการเพาประสาณ แล้วจึงนำมາ Decapsulation คือแยกชิ้นงานออกจากภาชนะ สำหรับ Containerless HIP แบ่งได้เป็นสองวิธีการซึ่งคือ Post-HIP และ Sinter-HIP ทั้งสองวิธีนี้ไม่มีการทำ Canning แต่ว่าสามารถทำ HIP ได้ด้วยหลักการเดียวกันคือปิด Open pore ให้หมดก่อน Post-HIP ทำภายหลังจาก Pressureless sintering ก่อน เมื่อได้ชิ้นงานที่มีความหนาแน่นสูง (93-95% Theoretical Density) ซึ่งปราศจาก Open pore แล้วจึงนำชิ้นงานมาทำ Hot Isostatic Pressing เพื่อเพาประสาณต่อให้ได้ความหนาแน่นสูงขึ้นอีก สำหรับ Sinter-HIP ต่างจาก Post-HIP ตรงที่ไม่ปล่อยให้ชิ้นงานเย็นตัวก่อน โดยทำ Pressureless sintering จนชิ้นงานปราศจาก Open pore แล้วทำ Hot Isostatic Pressing ต่อเนื่องจนกระทั่งชิ้นงานมีความหนาแน่นตามต้องการ ภาพ 5.41 เปรียบเทียบกระบวนการ Encapsulated HIP, Post-HIP และ Sinter-HIP โดยทั่วไป Containerless HIP มีต้นทุนที่ต่ำกว่า Encapsulated HIP หาก การประยุกต์ใช้งาน HIP นอกเหนือไปจากการผลิตชิ้นส่วนคือการซ่อมแซมงานหล่อที่มีขนาดใหญ่และราคาแพง



ภาพ 5.41 เปรียบเทียบกระบวนการ Encapsulated HIP, Post-HIP และ Sinter-HIP

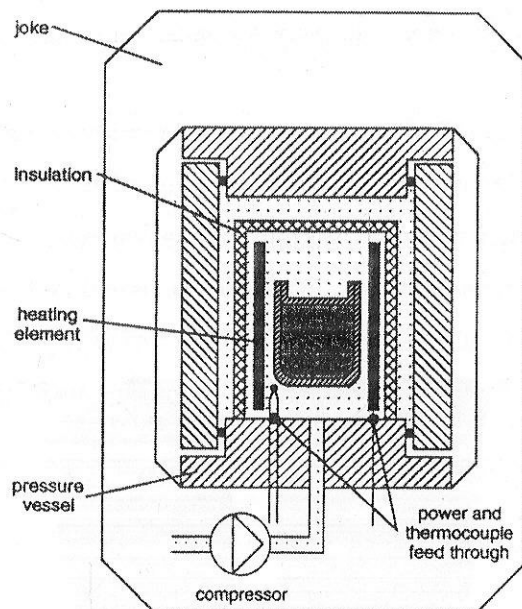
ก้าชที่ใช้ในกระบวนการ Hot Isostatic Pressing ทั่วไปได้แก่ ก้าชอาร์กอน ฮีเลียมและไนโตรเจน ก้าชที่ใช้นั้นมีสมบัติหลักคือเป็นก้าชอ่อน ที่นิยมมากที่สุดคือ ก้าชอาร์กอน สำหรับก้าชไนโตรเจนนอกจากจะเป็นก้าชเดือยแล้ว ในบางกรณีใช้ใน Reactive Sintering ด้วย คือ ทำให้ลดการสูญเสียในโตรเจนของ Si_3N_4 ภาพ 5.42 แสดงภาพถ่ายถึงเก็บก้าชอาร์กอนสำหรับใช้ในเครื่อง Hot Isostatic Pressing



ภาพ 5.42 ภาพถ่ายถึงเก็บก้าชอาร์กอนสำหรับใช้ในเครื่อง Hot Isostatic Pressing

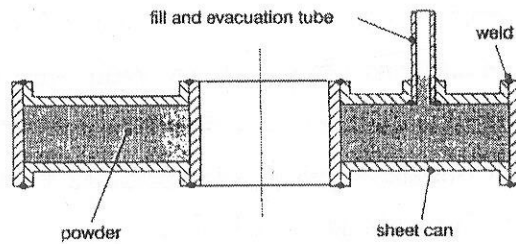
เมื่อก๊าซได้รับแรงดันสูง (ประมาณ 5 - 20 MPa) ก๊าซจะมีความสามารถในการนำความร้อนไก่เดียงกับช่องเหลาและทำให้มีการนำความร้อนและพากความร้อนที่รุนแรงมาก ดังนั้น Pressure Vessel สำหรับ Hot Isostatic Pressing จะต้องมีความเป็นจนวนความร้อนมากพอที่จะรักษาค่าความร้อนให้ภายในได้

องค์ประกอบของเครื่อง Hot Isostatic Pressing แสดงดังภาพ 5.43 ซึ่งมีส่วนที่แตกต่างไปจาก Cold Isostatic Pressing ที่ชัดเจนคือมีการให้ความร้อนแก่ชิ้นงานด้วย



ภาพ 5.43 องค์ประกอบของเครื่อง Hot Isostatic Pressing

ในการทำ Canning สำหรับ Encapsulated HIP มีหลักการเหมือนกับ Cold Isostatic Pressing แต่ต่างกันคือ ที่อุณหภูมิสูง Elastomeric Mold จะไม่เหมาะสมต่อการใช้งาน ดังนั้นสำหรับ Hot Isostatic Pressing จึงเปลี่ยนวัสดุมาใช้แผ่นโลหะ แผ่นโลหะที่นำมาใช้จะต้องไม่ทำปฏิกิริยา กับ ผงโลหะภายใต้ความดันสูง แต่ต้องสามารถนำเข้าไปใน Open pore เมื่อได้รับแรงดันสูง แผ่นโลหะจะถูกนำมาเชื่อมเพื่อบรรจุผงโลหะ ภาพ 5.44 แสดงตัวอย่างภาชนะบรรจุผงโลหะที่จากแผ่นโลหะหลายแผ่นเชื่อมกัน ด้วยเหตุนี้แผ่นโลหะที่นำมาใช้ต้องมีความสามารถเชื่อมได้ง่าย เมื่อเชื่อมเสร็จแล้วจะถูกตรวจสอบร้าวด้วยก๊าซไฮเดรน แล้วนำไปบรรจุผงโลหะก่อนจะ Degassing และปิดผนึกโดยให้ความร้อนที่บริเวณ Evacuation Tube และตัดออก

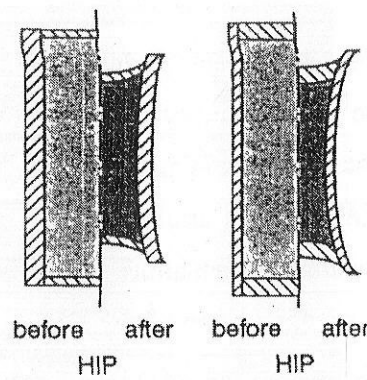


ภาพ 5.44 ตัวอย่างภาชนะบรรจุผงโลหะที่จากแฟ้มโดยหลักการแผ่นเชื่อมกัน

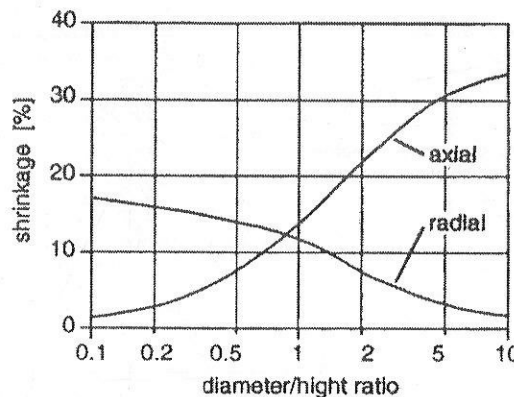
ภายหลังจากให้แรงดันและอุณหภูมิแล้วภาชนะบรรจุผงโลหะและชิ้นงานจะเกิดการหดตัว แต่เนื่องจากรูปร่างของภาชนะทำให้แฟ้มโดยหลักการเกิดการหดตัว ทำให้การหดตัวไม่แต่ละทิศทางไม่เท่ากัน (ซึ่งมักเข้าใจผิดว่า การหดตัวของชิ้นงานจาก HIP จะเท่ากันทุกทิศทางเสมอ ซึ่งถูกต้องตามทฤษฎีแต่ในทางปฏิบัติการหดตัวไม่เท่ากันเกิดจากข้อจำกัดของภาชนะบรรจุผงโลหะ) การหดตัวของภาชนะนั้นสามารถลดได้ด้วยการออกแบบภาพ 5.45 แสดงให้เห็นผลของการออกแบบต่อปริมาณการหดตัวของภาชนะบรรจุผงโลหะ จากภาพจะเห็นได้ว่า การเพิ่มความหนาของแฟ้มโดยในด้านที่มีการหดตัวมากนั้น จะช่วยให้การหดตัวในแต่ละทิศทางแตกต่างกันน้อยลง ประเดิมที่มีสนิใจเกี่ยวกับปัญหาการหดตัวของภาชนะบรรจุผงโลหะคือ ถ้ามีค่า $\frac{H}{D}$ ที่เปลี่ยนไปจาก 1 มาก การหดตัวที่ไม่เท่ากันในแต่ละทิศทางยิ่งมากขึ้น ชิ้นงานที่มีค่า $\frac{H}{D}$ ใกล้เคียง 1 จะมีผลน้อยดังกล่าวน้อยกว่า

a)

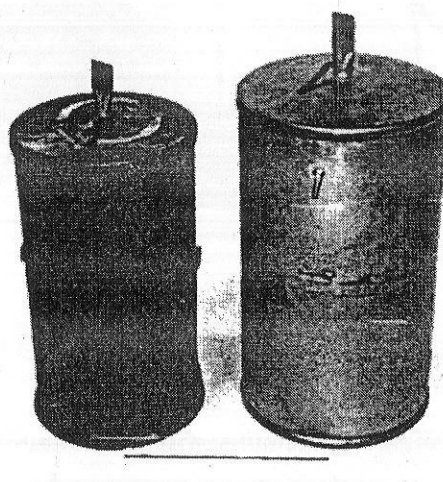
b)



ภาพ 5.45 ผลของการออกแบบต่อปริมาณการหดตัวของภาชนะบรรจุผงโลหะ

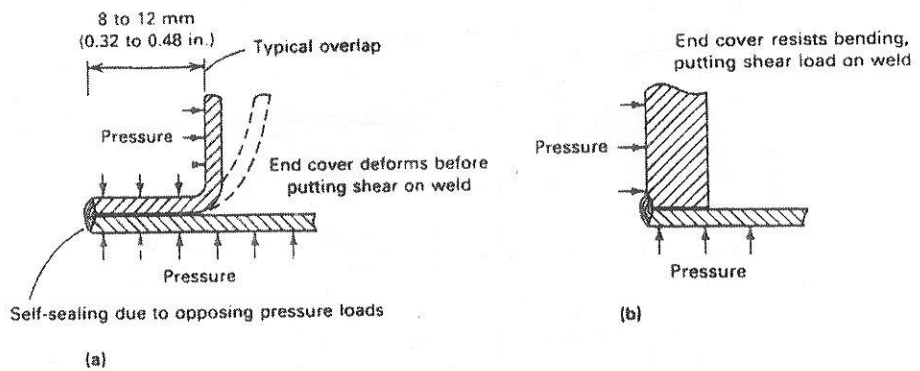


ภาพ 5.46 อิทธิพลของค่า $\frac{H}{D}$ ต่อ %Shrinkage ใน axial และ radial

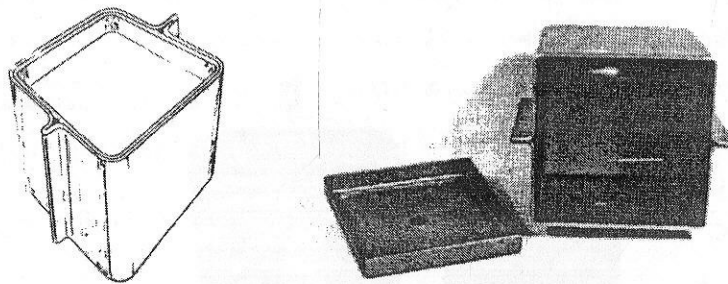


ภาพ 5.47 ภาพถ่ายตัวอย่างภาชนะบรรจุผลิตจากก้อนและหลังการทำ Hot Isostatic Pressing

ลักษณะของร้อยต่อและร้อยเชื่อมระหว่างแผ่นโลหะก็มีผลในทางปฏิบัติ เช่นที่บริเวณมุม หากทำการเชื่อมปิดทับรอยต่อระหว่างแผ่นโลหะแบบทั่วไป (ภาพ 5.48b) จะทำให้แรงดันกระทำต่อร้อยเชื่อมโดยตรงซึ่งอาจจะเกิดการแตกหักได้ขณะรับแรงดันสูง จึงควรออกแบบให้บริเวณมุมเป็นดังภาพ 5.48a) ซึ่งจะทำให้แรงดันกระทำต่อแผ่นโลหะโดยตรงแทนที่ร้อยเชื่อม จากตัวอย่างการออกแบบบริเวณมุม เมื่อนำแผ่นโลหะมาเชื่อมกัน เพื่อให้ได้ภาชนะบรรจุผลิตจากก้อนที่รูปทรงปรีซีมฐานสี่เหลี่ยมจัตุรัสจึงความมีลักษณะดังภาพ 5.49 ภาพ 5.51 แสดงตัวอย่างของภาชนะบรรจุผลิตสำหรับขั้นงานครุภัณฑ์ต่าง ๆ กัน

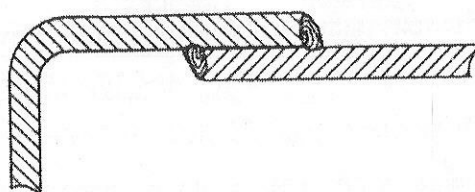


ภาพ 5.48 ตัวอย่างการอุกแบบ Canning บริเวณnum a) การอุกแบบที่ดี b) การอุกแบบที่ไม่ดี

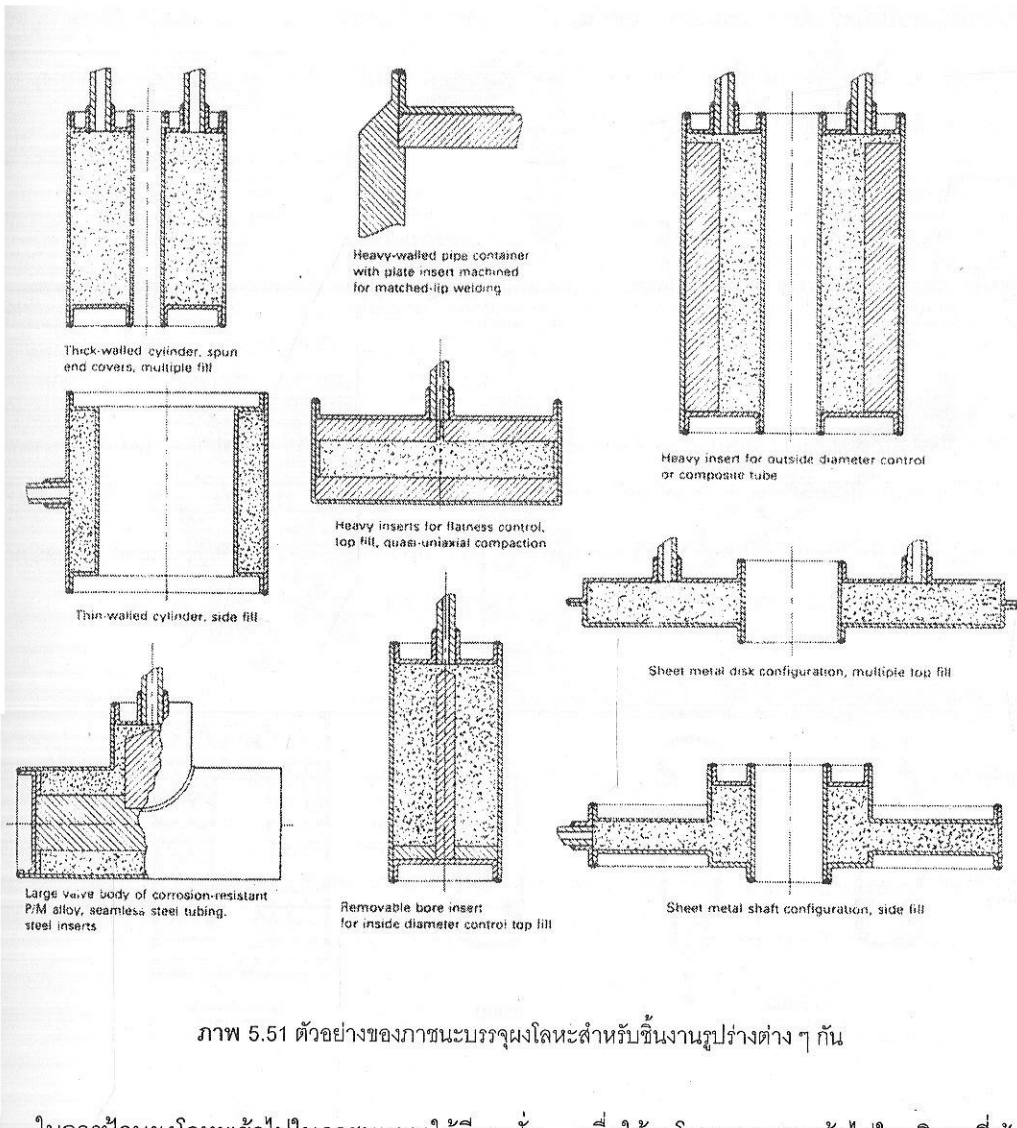


ภาพ 5.49 ภาพขณะบรรจุภัณฑ์โลหะรูปทรงปริซึมฐานลีสเลี้ยมจักรีสตามลักษณะการอุกแบบที่ดี

ลักษณะการอุกแบบที่ดีควรไม่ให้มีช่องว่างที่ผงโลหะจะสามารถเดินลอดเข้าไปอยู่ในส่วนที่แผ่นโลหะสองแผ่นซ้อนทับกัน จึงควรมีการเชื่อมปิดบริเวณตั้งกล่าวด้วย ภาพ 5.50 แสดงตัวส่วนซ้อนทับของแผ่นโลหะที่มีการเชื่อมปิดเพื่อป้องกันผงโลหะ

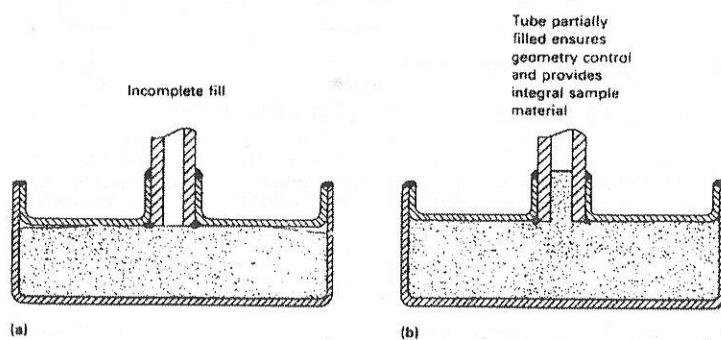


ภาพ 5.50 ตัวส่วนซ้อนทับของแผ่นโลหะที่มีการเชื่อมปิดเพื่อป้องกันผงโลหะ



ภาพ 5.51 ตัวอย่างของการออกแบบโลหะสำหรับขึ้นงานรูปร่างต่าง ๆ กัน

ในการป้อนผงโลหะเข้าไปในภาชนะควรให้มีการสัน เพื่อให้ผงโลหะสามารถเข้าไปในบริเวณที่เข้าถึงได้มาก นอกจานี้อาจเติมผงโลหะมากขึ้นกว่าปกติเพื่อยืนยันให้แน่ใจว่าผงโลหะถูกบรรจุในภาชนะอย่างเหมาะสม ภาพ 5.52 แสดงภาพตัวอย่างการป้อนผงโลหะ

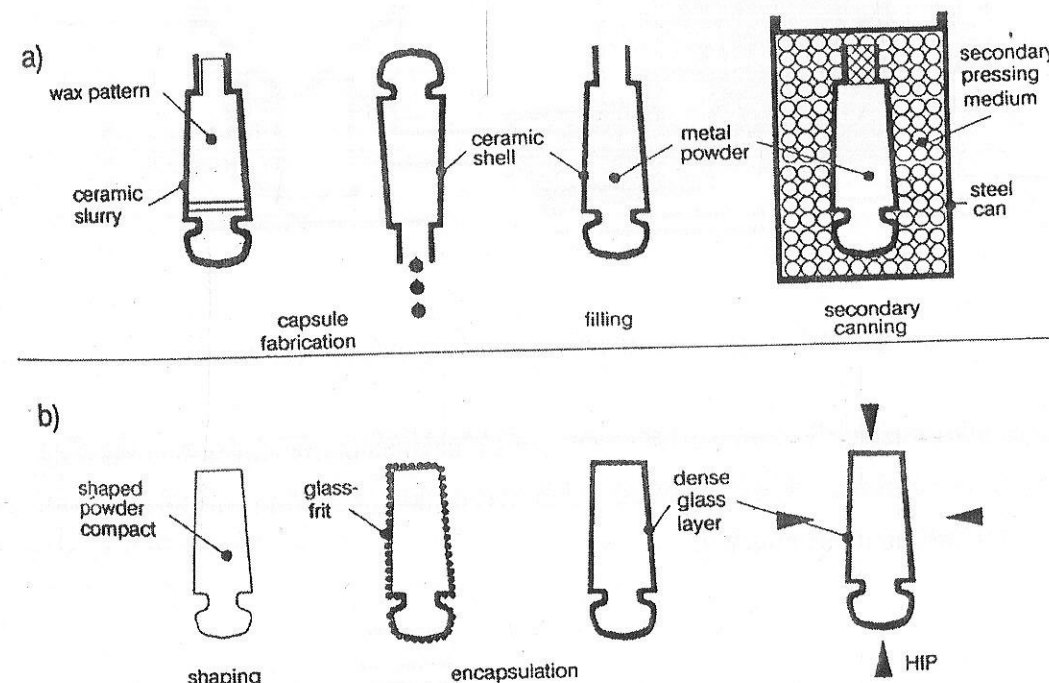


ภาพ 5.52 ตัวอย่างการป้อนผงโลหะ a) ไม่มีการสัน b) มีการสันและเพื่อส่วนเกินผงโลหะ

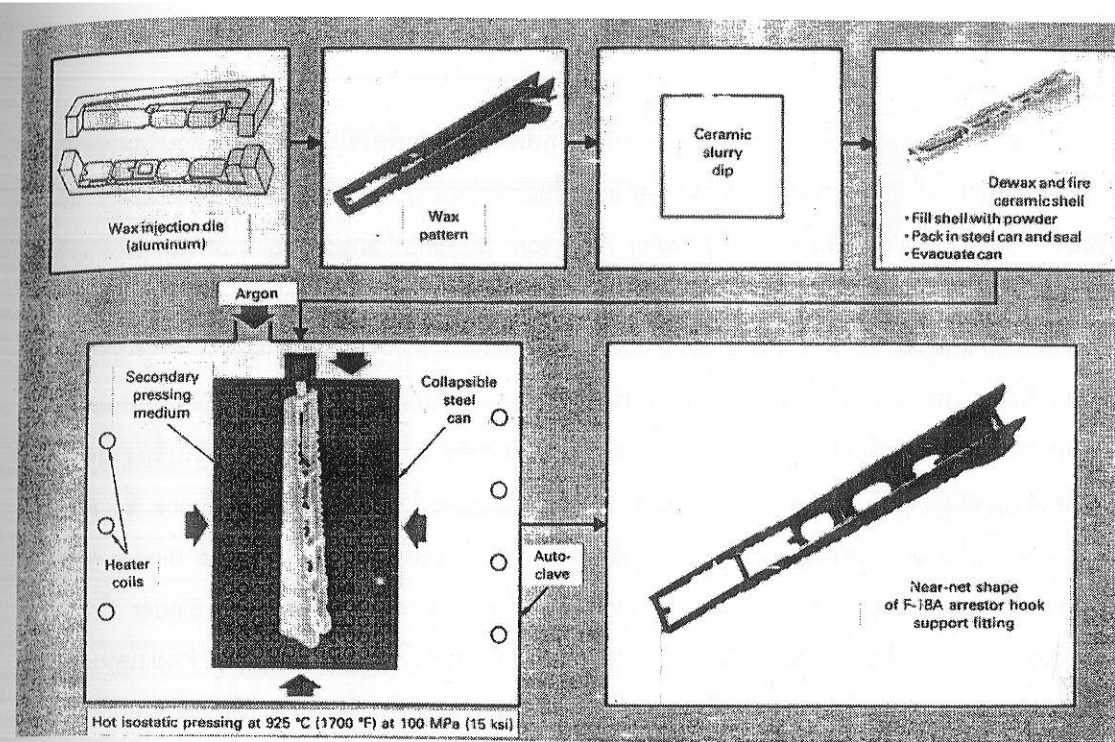
โดยทั่วไปแผ่นโลหะที่ใช้ภาชนะเลือกจากอุณหภูมิในการทำ Hot Isostatic Pressing คือที่อุณหภูมิประมาณ 1400°C นิยมใช้แผ่นเหล็กกล้าหรือเหล็กกล้าไร้สนิมอสเตรนิติก ที่อุณหภูมิสูงกว่า 1400°C ไปจนถึง 1650°C จะเปลี่ยนไปใช้แผ่นเทาเนียม ซึ่งมักจะเป็นการทำ Hot Isostatic Pressing สำหรับ วัสดุจำพวก Refractory Metal

วิธีการ Encapsulation คือวิธีการนี้คือ Ceramic Investment Molding ทำโดยปั้นขี้ผึ้งให้มีรูปร่างเหมือนกับรูปร่างชิ้นงานที่ต้องการ แล้วนำไปปุ่มลงใน Ceramic Slurry ทำให้แห้ง แล้วให้ความร้อนจนขี้ผึ้งหลอมละลายแล้วเทออก หลังจากนั้นจึงนำลงโลหะนานาชนิดในเปลือกเซรามิก ปิดฝึกแล้วจึงนำไปทำ Hot Isostatic Pressing

อีกวิธีการหนึ่งที่คล้ายคลึง Ceramic Investment Molding คือ Glass Encapsulation ทำโดยขัดขึ้นรูปลงโลหะขันตันให้มีรูปร่างใกล้เคียงกับรูปร่างสุดท้ายที่ต้องการ แล้วนำไปคลุกกับผงแก้ว ผงแก้วจะเคลือบผิวนอกของชิ้นงาน เมื่อให้ความร้อนเล็กน้อยแก้วจะหลอมตัวปิดชิ้นงานไว้ แล้วนำไปทำ Hot Isostatic Pressing ต่อไป ภาพ 5.53 วิธีการ Encapsulation a) Ceramic Investment Molding b) Glass Encapsulation



ภาพ 5.53 วิธีการ Encapsulation a) Ceramic Investment Molding b) Glass Encapsulation



ภาพ 5.54 ตัวอย่างการทำ Encapsulation ด้วยวิธี Ceramic Investment Molding

การเลือกอุณหภูมิและความดันในการทำ Hot Isostatic Pressing ส่วนใหญ่จะเลือกเงื่อนไขที่ทำให้มีความหนาแน่นสูงสุดในเวลาไม่เกินกว่า 3 – 4 ชั่วโมง เพื่อให้มีกำลังการผลิตที่พอสมควร อุณหภูมิและความดันที่เลือกใช้ขึ้นอยู่กับชนิดของผงโลหะและประเภทของ Hot Isostatic Pressing ค่าอุณหภูมิและความดันตัวอย่างแสดงดังตาราง 5.2

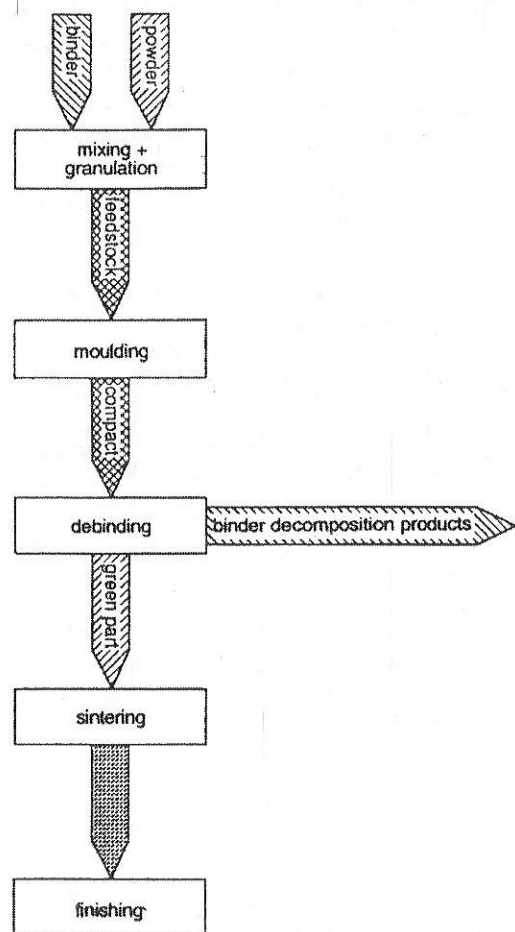
ตาราง 5.2 ค่าอุณหภูมิและความดันที่นำไปสำหรับ Hot Isostatic Pressing ผงโลหะชนิดต่าง ๆ

Materials	Temperature (°C)	Pressure (MPa)	Type
Al alloys	450 – 530	100	Encapsulated HIP
Ti alloys	850 – 950	100	Encapsulated HIP
Tool Steel	1000 – 1200	100 – 150	Encapsulated HIP
Stainless Steel	1000 – 1200	100 – 150	Encapsulated HIP
Ni Alloys	1100 – 1200	100 – 150	Encapsulated HIP
Mo, Nb, W	1250 – 1650	100 – 150	Encapsulated HIP
Al_2O_3	1300 – 1500	100	Encapsulated HIP
Si_3N_4	1750	100 – 200	Encapsulated HIP
WC-Co	1350	6 – 10	Containerless HIP
Si_3N_4	1750 – 2000	10 – 150	Containerless HIP

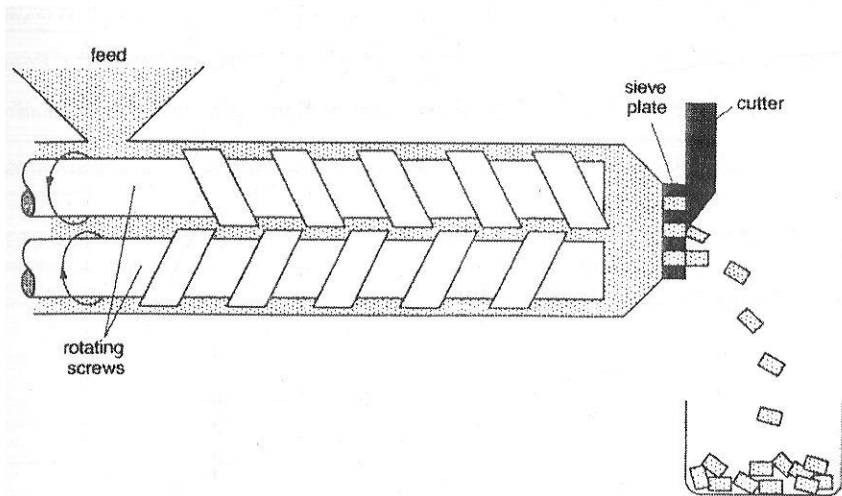
5.8 Powder Injection Molding (PIM)

กระบวนการ Powder Injection Molding (PIM) เดิมที่พัฒนาขึ้นมาเพื่อใช้ในการผลิตชิ้นส่วนวัสดุเชรามิก ต่อมาก็มีผู้พัฒนามาใช้กับกระบวนการผลิตด้วย โดยมีชื่อเรียกต่างหากว่า "Metal Injection Molding" หรือ ข้อควรรู้ว่า "MIM" ซึ่งเป็นคำที่แคนบกว่า Powder Injection Molding ลักษณะของกระบวนการคล้ายกับกระบวนการผลิตชิ้นส่วนพอลิเมอร์แบบ Injection Molding ซึ่งมีการใช้อุปกรณ์อย่างแพร่หลาย

ภาพ 5.55 แสดงแผนภาพของกระบวนการ Powder Injection Molding ในขั้นแรกจะถูกผสมรวมกับ Binder ซึ่งส่วนใหญ่ได้แก่สารอินทรีย์ Binder มีหน้าที่ทำให้แห้งโลหะได้ โดย Binder จะมีจุดหลอมตัวต่ำ กลไกเป็นของเหลวที่อุณหภูมิ Molding นอกจากนี้ Binder ยังมีหน้าที่เพิ่ม Green Strength ให้กับชิ้นงานทำให้สามารถเคลื่อนย้ายได้ง่าย เมื่อผงโลหะและ Binder ผสมรวมกันแล้วจะนำไปอัดเป็น Feed Stock ซึ่ง Feed Stock จะเป็นวัตถุดิบในการจัดชิ้นรูปต่อไป ภาพ 5.56 แสดงการทำ Feed Stock ผงโลหะและ Binder จะถูกป้อนจากทางด้านบน และถูก Twin Screw Extruder ทำหน้าที่ผสมและผลักให้ผงโลหะและ Binder เข้าไปสู่ Sieve Plate ในลักษณะเดียวกันกับกระบวนการ Extrusion ของโลหะทั่วไป เมื่อผงสมรรถนะผงโลหะและ Binder ที่ผ่าน Sieve Plate ได้ขนาดตามต้องการแล้วจะถูกตัดและนำไปเผาเพื่อเป็นวัตถุดิบในขั้นตอนการจัดชิ้นรูปชิ้นงานต่อไป

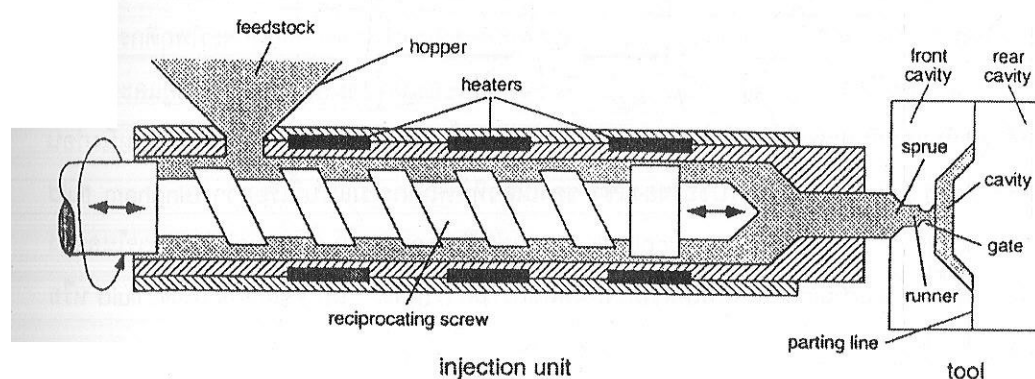


ภาพ 5.55 แผนภาพของกระบวนการ Powder Injection Molding



ภาพ 5.56 กระบวนการการ Mixing และ Granulation ของ Feed Stock

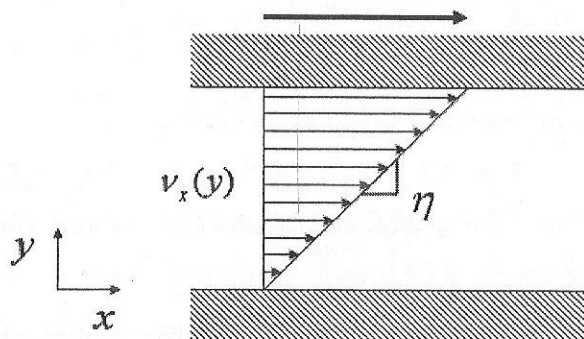
การฉีดขึ้นรูปชิ้นงานจะทำโดยเครื่อง Injection Molding ดังแสดงในภาพ 5.57 Feed Stock จะถูกป้อนจาก Hopper ด้านบน Feed Stock จะถูก Screw ผลักเข้าสู่บริเวณที่ให้ความร้อน เมื่ออุณหภูมิสูงกว่าจุดหลอมตัวของ Binder จะทำให้ Feed Stock หลอมได้ ค่าอุณหภูมิและแรงดันของ Screw จะสัมพันธ์กันโดยความหนืดของ Feed Stock จะอย่างเมื่ออุณหภูมิเพิ่มขึ้น ทำให้แรงดันที่จำเป็นในการฉีดขึ้นรูปต่ำลง เมื่อ Feed Stock เข้าสู่บริเวณทางเข้าแม่พิมพ์ Screw จะถอยหลังและเดินหน้าเพื่อผลัก Feed Stock เข้าไปในแม่พิมพ์ด้วยแรงดันสูง เมื่อเสร็จสิ้นแล้วแม่พิมพ์จะถูกแยกเพื่อนำชิ้นงานออก เมื่อแม่พิมพ์ประบกกันใหม่ Screw ก็จะถอยหลังและเดินหน้าเพื่อฉีดอีกรอบเป็นจังหวะเช่นนี้ไปเรื่อยๆ กระบวนการ Powder Injection Molding เป็นกระบวนการที่ต้องการทำให้มีอัตราการผลิตสูง แรงดันที่ใช้ในการฉีดอยู่ในช่วง 15 – 30 MPa อุณหภูมิในการฉีดประมาณ 100 – 180 องศาเซลเซียส ความถี่ในการฉีดมีตั้งแต่ 5 วินาทีไปจนถึง 1 นาทีต่อครั้ง



ภาพ 5.57 การฉีดขึ้นรูปชิ้นงานจะทำโดยเครื่อง Injection Molding

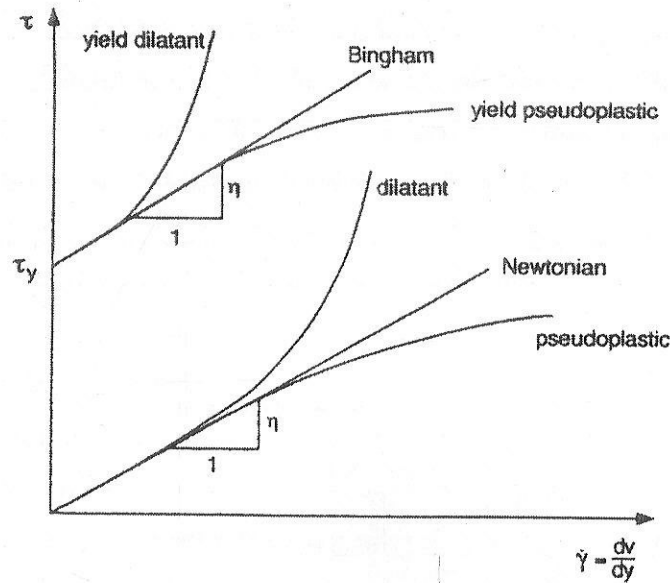
จะเห็นได้ว่าในขั้นตอนการนีดขึ้นรูปจะเกี่ยวข้องกับการไหลตัวของ Feed Stock การไหลตัวของ Feed Stock ต่างไปจากการไหลตัวของเหลวทั่วไปเนื่องจากมีอนุภาคผละประกอบอยู่ใน Feed Stock ด้วยของเหลวทั่วไป เช่น น้ำ มักจะมีพฤติกรรมการไหลแบบ Newtonian Fluid ภาพ 5.58 แสดงตัวแปรที่เกี่ยวข้องกับพฤติกรรมการไหลแบบ Newtonian จากภาพจะเห็นได้ว่า Newtonian Fluid ค่า Shear Stress (τ_{yx}) ขึ้นอยู่กับ Shear Strain Rate ($\dot{\gamma}_{yx} = \frac{dv_x}{dy}$) โดยความชันของกราฟมีค่าคงที่เท่ากับความหนืดของของเหลว (η) ดังนั้น τ_{yx} มีความสัมพันธ์กับ $\dot{\gamma}_{yx}$ ดังนี้

$$\tau_{yx} = \eta \frac{dv_x}{dy}$$



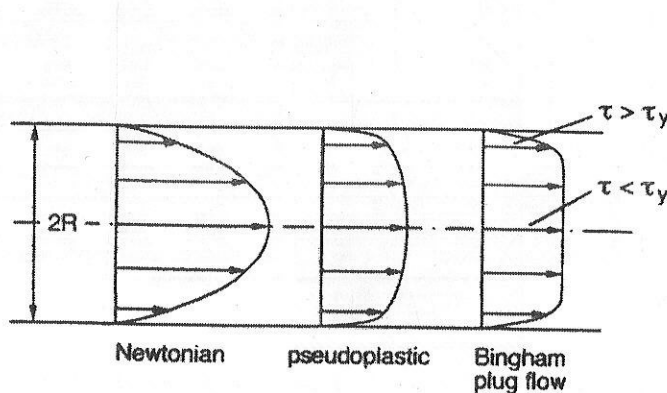
ภาพ 5.58 ตัวแปรที่เกี่ยวข้องกับพฤติกรรมการไหลแบบ Newtonian

สำหรับการไหลตัวของเหลวที่มีอนุภาคปะปนอยู่อาจมีพฤติกรรมที่แตกต่างออกไป คือ ค่าความหนืดไม่คงที่ (กราฟ τ_{yx} - $\dot{\gamma}_{yx}$ มีความชันไม่คงที่) เช่น ของเหลวบางชนิดจะมีความหนืดมากขึ้นเมื่อได้รับ $\dot{\gamma}_{yx}$ มากขึ้น ของเหลวประเภทนี้เรียกว่า Dilatant fluid ในขณะที่พอลิเมอร์ลดลงเหลวมักจะมีพฤติกรรมแบบ Pseudoplastic fluid คือมีความหนืดลดลงเมื่อ $\dot{\gamma}_{yx}$ เพิ่มขึ้น หรือของเหลวที่มีอนุภาคปะปนอยู่และอนุภาคเหล่านั้นมีการดึงดูดกันและกันจะทำให้การไหลตัวของเหลวจะเกิดขึ้นก็ต่อเมื่อได้รับ τ_{yx} ในระดับหนึ่งก่อนเปรียบเสมือนจุด Yield point ในการเสียรูปของของแข็ง ของเหลวที่มีพฤติกรรมแบบนี้เรียกว่า Bingham fluid ซึ่งก็มีทั้งแบบ Newtonian, Dilatant และ Pseudoplastic fluid เช่นกัน ภาพ 5.59 แสดงพฤติกรรมการไหลของของเหลวแบบต่าง ๆ เมื่อ Feed Stock ลดลงเหลวมักจะมีพฤติกรรมการไหลตัวแบบ Pseudoplastic fluid หรือ Bingham fluid



ภาพ 5.59 พฤติกรรมการไหลของเหลวแบบต่าง ๆ

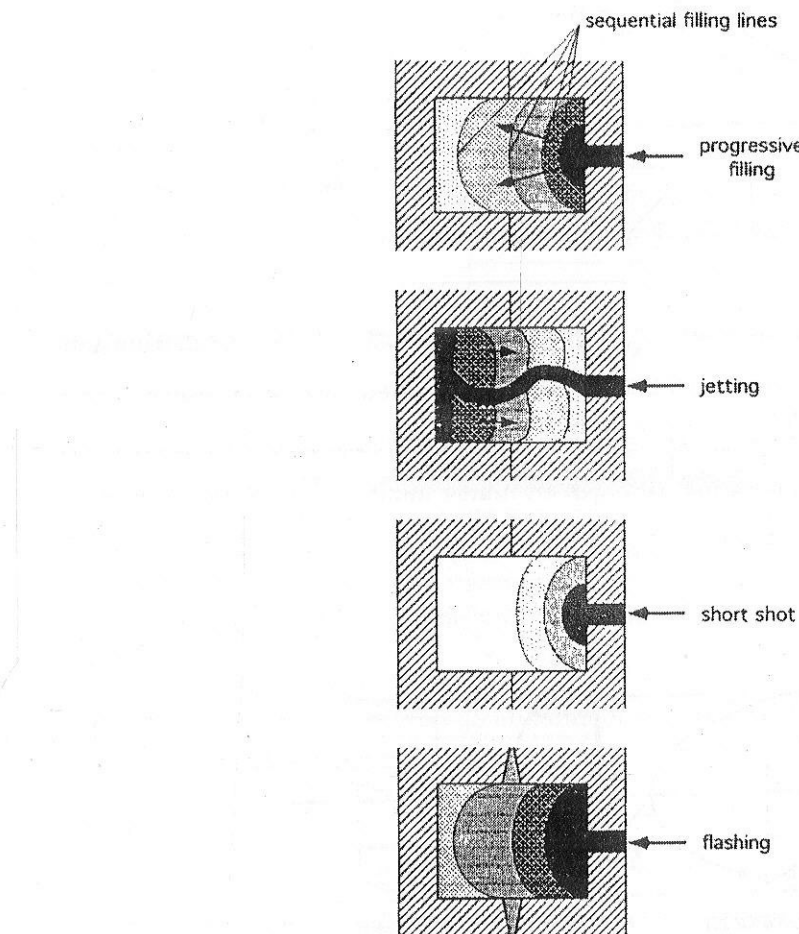
การที่ค่าความหนืดของของเหลวลดลงเมื่อ τ_{yx} สูงขึ้นทำให้ Velocity Profile ของการไหลในท่อเปลี่ยนแปลงไป ภาพ 5.60 แสดง Velocity Profile ของการไหลในท่อของ Newtonian fluid, Pseudoplastic fluid และ Bingham fluid จะเห็นได้ว่าความเร็วบริเวณใจกลางห้องของ Pseudoplastic fluid มีค่าน้อยกว่า Newtonian fluid ทั้งนี้เนื่องจากค่าความหนืดที่ความเร็วสูงต่ำกว่านั้นเอง และในกรณีของ Bingham fluid จะพบว่าความเร็วบริเวณใจกลางมีค่าเท่ากันเมื่อจาก τ_{yx} มีค่าน้อยกว่า τ_y



ภาพ 5.60 Velocity Profile ของการไหลในท่อของ Newtonian fluid, Pseudoplastic fluid และ Bingham fluid

ลักษณะการไหลของ Feed Stock เข้าสู่แม่พิมพ์มีผลโดยตรงต่อชั้นงานที่ได้ ชั้นงานที่ได้จากการไหลเดิน Feed Stock เข้าไปในโพรงแบบอย่างเป็นลำดับ (Progressive Filling) ซึ่งได้จากการเร็วของการไหลที่เหมาะสม ความเร็วนี้คำนวณได้จากการพฤติกรรมการไหลตัวของเหลวและความหนืด ซึ่งสามารถควบคุมได้ด้วยแรงดันที่ใช้ในการฉีด ถ้าหากความเร็วของการไหลต่ำมากเกินไปจะทำให้เกิดลักษณะที่เรียกว่า "Jetting" ซึ่ง

การให้เลติม Feed Stock เข้าไปในพิรงแบบเป็นแบบจากด้านในของมาสูด้านนอก ชิ้นงานที่ได้จะมีจุดอ่อนบริเวณสันทางที่ Feed Stock ถูกนัดเข้าไป ถ้าความเร็วในการให้เลตัวของ Feed Stock มากเกินไปจะทำให้เกิดลักษณะที่เรียกว่า "Short Shot" คือ Feed Stock แข็งตัวก่อนที่จะไหลเข้าไปเต็มพิรงแบบ ในบางครั้งถ้าความหนืดของ Feed Stock มีมากเกินไปทำให้ต้องใช้แรงดันมากเพื่อไม่ให้เกิด Short Shot แต่ก็มีผลให้เกิดผลเสียอย่างอื่นได้ คือ แรงดันที่มากเกินไปทำให้ Feed Stock ไหลเข้าไปใน Parting Line ของแม่พิมพ์ ก็เป็นครึ่งชิ้นมา ลักษณะแบบนี้เรียกว่า "Flashing" จากที่ได้กล่าวมาห้ามดันน้ำจลน์ให้ไว้ตัวแปรที่สำคัญในการฉีดขึ้นรูปได้แก่ ความหนืด ความเร็วและแรงดัน ความหนืดของ Feed Stock ไม่ควรเกิน 100 Pa.s ที่ Shear rate $10^2 - 10^5 \text{ s}^{-1}$



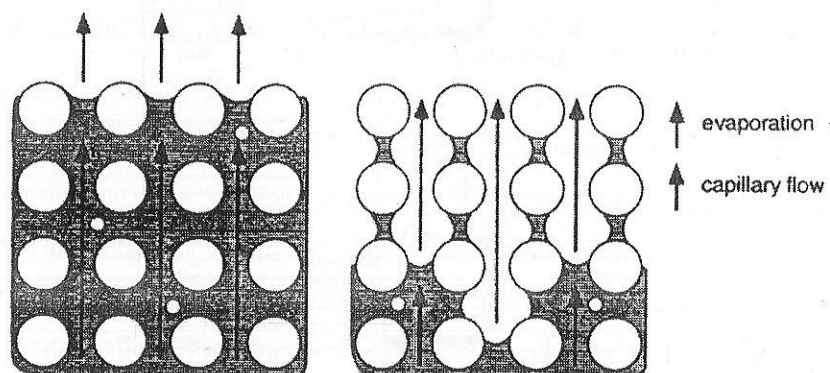
ภาพ 5.61 ลักษณะของ Progressive Filling, Jetting, Short Shot และ Flashing ในการฉีดขึ้นรูป

ก่อนที่จะนำชิ้นงานที่ได้ไปทำการเผาประสานต้องมีการ Debinding หรือกำจัด Binder ก่อน เนื่องจาก Binder ที่ใช้ในกระบวนการ Powder Injection Molding มีปริมาณมากกว่าการอัดขึ้นรูปคงเหลือแบบอื่น ถ้าหากไม่กำจัด Binder ในชิ้นตอนเผาประสาน Binder จะระหวェไปปะปนกับบรรจุภัณฑ์เผาประสานและอาจเป็นผลเสียต่อ Heating Element ได้ หลังจากทำการ Debinding แล้วชิ้นงานต้องยังคงรูปร่างเดิมไว้ได้

Binder ที่ใช้ส่วนใหญ่จะเป็น Thermoplastic หรือขี้ผึ้งที่มีจุดหลอมตัวหรือคล้ายเป็นไออ่องจากผงโลหะมากเพื่อให้สามารถกำจัดได้ง่ายในขั้นตอน Debinding สำหรับ Thermoplastic ที่ใช้ความเร็วความยาวของสายไฟ ไม่เลกน้อยเมื่อจากจะทำให้มีความหนืดต่ำ นอกจากนี้ Binder ที่ใช้ควรมี wettability ที่ดีซึ่งจะทำให้สมบูรณ์ ผงโลหะได้ง่ายและสามารถกำจัดด้วย Capillary force ได้ง่ายในขั้นตอน Debinding สมประสิทธิ์การขยายและหดตัวด้วยความร้อนของ Binder ก็มีผลต่อการเลือกใช้ Binder คือถ้า Binder มีสมประสิทธิ์การขยายหดตัวด้วยความร้อนมากจะทำให้เกิดการแตกในชิ้นงานได้ง่ายขณะเย็นตัวในขั้นตอน Debinding

การทำ Debinding จำแนกออกเป็น 2 ประเภทคือ Thermal Debinding และ Solvent Debinding สำหรับ Thermal Debinding เป็นการแยก Binder ออกด้วยการทำให้กล้ายเป็นไอ ในขณะที่ Solvent Debinding เป็นการนำชิ้นงานลงในตัวทำละลายที่ละลายเฉพาะ Binder และไม่ไปปนเปื้อนกับผงโลหะ ในการทำ Debinding อาจใช้ห้องสองประเภทนี้ร่วมกันได้

การแยก Binder ออกด้วยวิธี Thermal Debinding อาศัยการถ่ายเทมวลสารแบบ Capillary flow โดยในตอนแรก Binder จะเริ่มกล้ายเป็นไอจากบริเวณผิวด้านบนสุดก่อน เมื่อ Binder ส่วนหนึ่งระเหยออกไปจะทำให้เกิด Capillary Force ทำให้ Binder ที่อยู่ลึกลงไปถูกดึงให้ออกมาทางแทนที่ ในช่วงนี้อัตราการกำจัด Binder จะค่อนข้างคงที่และมีอัตราสูง หลังจากที่ผิวน้ำมันป่วยจาก Binder จะทำให้ Capillary flow เกิดขึ้นไม่ได้อีก ทำให้การกำจัด Binder หลังจากนี้เกิดขึ้นจากการกล้ายเป็นไอของ Binder อย่างเดียวและทำให้อัตราการกำจัด Binder ช้าลงในช่วงหลัง ภาพ 5.62 แสดงกลไกของ Thermal Debinding



ภาพ 5.62 กลไกของ Thermal Debinding (ซ้าย) ระยะเริ่มต้น (ขวา) ระยะหลัง

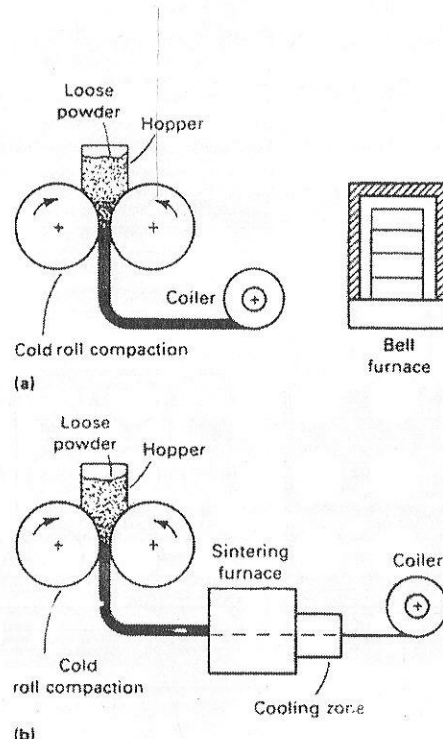
สำหรับ Solvent Debinding นิยมใช้เป็นขั้นตอนแรกก่อน Thermal Debinding วัตถุประสงค์คือเพื่อทำให้เกิด Open pore ที่บริเวณผิวด้านของชิ้นงานแล้วจึงทำการ Debinding ต่อด้วยการทำให้กล้ายเป็นไอ การทำ Solvent Debinding ก่อนมีส่วนช่วยให้อัตราการ Debinding รวดเร็วขึ้น

ปริมาณการกำจัด Binder เป็นสัดส่วนกับเวลาที่สองของเวลาในการทำ Debinding กล่าวคืออัตราการ Debinding จะช้าลงเมื่อเวลาผ่านไปและจะใช้เวลามากสำหรับชิ้นงานที่มีขนาดใหญ่ เนื่องจากมีความลึกจากผิวมากกว่า ชิ้นงานที่มีความหนาแน่นของผงโลหะต่ำจะทำ Debinding ได้เร็วกว่าแต่ก็จะมีความแข็งแรงต่ำหลังจากทำ Debinding หรืออาจเกิดการเสียรูปทรงระหว่าง Debinding ก็ได้ การ Debinding จะทำได้ยากขึ้น

เมื่อมีสัดส่วนของโลหะมากกว่า 75% ขนาดของผงโลหะก็มีผลต่อการ Debinding ผงโลหะที่มีขนาดใหญ่กว่าจะทำให้รูพรุนมีขนาดใหญ่และ Debinding ได้ง่ายขึ้น อุณหภูมิ Debinding ที่สูงกว่าจะทำให้อัตราการ Debinding สูงไปด้วยแต่ถ้าหากสูงเกินไปอาจทำให้ชิ้นงานพองตัวเนื่องจากแรงดันของไออกไซในชิ้นงานสูงเกินไป หรืออาจทำให้ชิ้นงานระเบิดได้

5.9 Roll Compaction

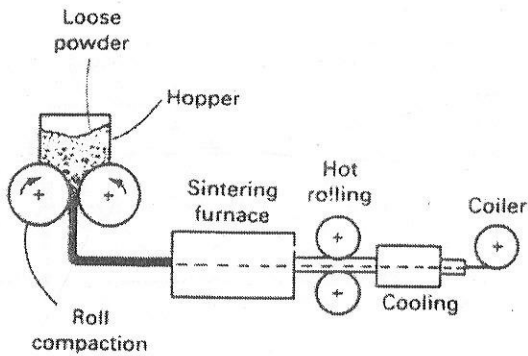
Roll Compaction หรืออีกชื่อหนึ่ง Powder Rolling เป็นกระบวนการการขัดขึ้นรูปของโลหะอย่างต่อเนื่องด้วยลูกรีด ชิ้นงานที่ได้จะมีรูปร่างเป็นแบบหรือแผ่น ซึ่งจะถูกนำไปเผาประสานต่อไปในภายหลัง อย่างไรก็ได้กระบวนการการ Roll Compaction มักจะเป็นกระบวนการการต่อเนื่องกับการเผาประสาน โดยเมื่อชิ้นงานผ่านการรีดขึ้นรูปด้วยลูกรีดแล้วจะถูกลำเลียงเข้าสู่เตาเผาประสานแล้วจึงม้วนเก็บ ภาพ 5.63 แสดงแผนภาพขั้นตอนของกระบวนการการ Roll Compaction



ภาพ 5.63 แผนภาพขั้นตอนของกระบวนการ Roll Compaction

a) กระบวนการไม่ต่อเนื่อง b) กระบวนการต่อเนื่อง

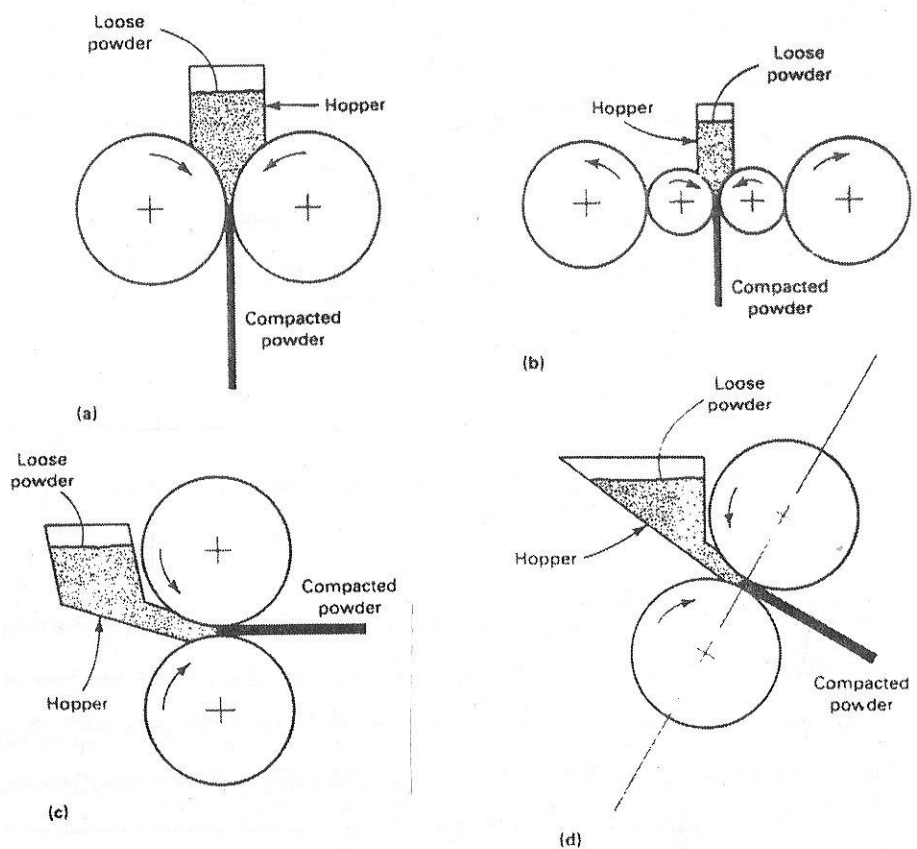
ในอุตสาหกรรมจากการรีดขึ้นรูปและการเผาประสานแล้วจะมีขั้นตอนเพิ่มขึ้นอีกเช่น Hot Rolling หรือ การรีดร้อนเพื่อเพิ่มความหนาแน่นให้กับชิ้นงานอีก หรืออาจมีการ Cold Rolling เพื่อกำหนดขนาดชิ้นงานให้แน่นอนแล้วจึงไป Annealing ก่อนจะม้วนเก็บ ภาพ 5.64 แสดงตัวอย่างแผนภาพขั้นตอนของกระบวนการ Roll Compaction ที่มีการรีดร้อนด้วย



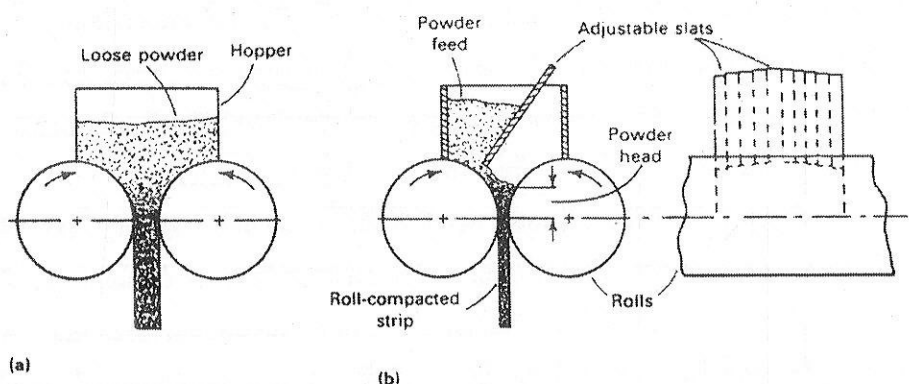
ภาพ 5.64 ตัวอย่างแผนภาพขั้นตอนของกระบวนการ Roll Compaction ที่มีการรีดร้อน

ในการออกแบบกระบวนการ Roll Compaction ปัจจัยหลักที่มีผลมากคือการวางแผนตัวของลูกรีด ภาพ 5.65 แสดงการวางแผนตัวของลูกรีดในลักษณะต่าง ๆ กัน แบบ Vertical Roll Compaction (ภาพ 5.65a และ 5.65b) ได้เปรียบในแข็งของป้อนผงโลหะ โดยจะมีแรงโน้มถ่วงช่วยในการป้อนผงโลหะเต็มที่ แต่ถ้าการวางแผนตัวของลูกรีดในลักษณะนี้มีข้อจำกัดคือจะต้องมีเตาเผาประสานที่สูงมาก (เตาในแนวตั้ง) รวมทั้งการควบคุมอุณหภูมิภายในเตาเผาประสานจะยากขึ้น เนื่องจากก๊าซที่มีอุณหภูมิสูงกว่าจะมีความหนาแน่นต่ำและไม่เหลือสูตรอบบนของเตา (Natural Convection) ทำให้อุณหภูมิในเตาลดลงไม่เท่ากัน หรือถ้าต้องการใช้เตาเผาประสานแนวนอน แบบหรือแผ่นที่ผ่านการรีดจะต้องตัดโค้งมากและอาจแตกหรือหักได้ เนื่องจากในสภาพผ่านการรีดนั้น ผงโลหะจะเกี่ยวกันอยู่ด้วยแรงทางกลเท่านั้น ในทางกลับกันแบบ Horizontal Roll Compaction (ภาพ 5.65c) จะสามารถใช้เตาเผาประสานแนวนอนได้ โดยไม่ต้องมีการตัดโค้งของแบบหรือแผ่นที่ผ่านการรีดเลย แต่ถ้าการป้อนผงโลหะจะไม่สะดวกเท่ากับแบบ Vertical Roll Compaction แบบ Inclined Roll Compaction เป็นแบบที่อยู่ระหว่าง Vertical และ Horizontal Roll Compaction ซึ่งสามารถป้อนผงโลหะได้ระดับหนึ่งและสามารถใช้เตาเผาประสานในแนวนอนได้โดยต้องมีตัดโค้งแบบหรือแผ่นที่ผ่านการรีดในระดับหนึ่ง เช่นกัน

การป้อนผงโลหะเข้าสู่ลูกรีดมี 2 วิธีคือ Saturated Feeding และ Unsaturated Feeding ทั้งสองวิธีมีลักษณะต้องควบคุมเหมือนกันคือ ต้องให้แบบหรือแผ่นที่ได้มีความหนาแน่นสูงกันตลอด ถ้าในแต่ละส่วนมีความหนาแน่นไม่เท่ากันจะทำให้มีปริมาณการหลุดตัวไม่เท่ากันและเกิดการบิดเบี้ยวในขั้นตอนเผาประสานได้ สำหรับ Saturated Feeding คือปล่อยให้ผงโลหะไหลเข้าสู่ลูกรีดอย่างเต็มที่ ความหนาแน่นของแบบหรือแผ่นที่ได้จะขึ้นอยู่กับความสูงของผงโลหะเหนือลูกรีด (Feed Head) เนื่องจากน้ำหนักของ Feed Head จะทำให้ได้แรงดันแก่งโลหะ ถ้า Feed Head มาจะทำให้ได้ความหนาแน่นมาก ถ้า Feed Head น้อยจะทำให้ได้ความหนาแน่นน้อย ดังนั้นเพื่อให้ได้ความหนาแน่นของผลิตภัณฑ์สม่ำเสมอตลอดจะต้องควบคุมให้ Feed Head มีค่าคงที่ เช่นกัน สำหรับ Unsaturated Feeding ใช้สำหรับควบคุมความหนาแน่นของแบบหรือแผ่นที่ได้ ถ้าต้องการให้ได้ความหนาแน่นสูงก็ปรับ Adjustable Slat ให้เปิดกว้างเพื่อให้ได้ Feed Head มาก ถ้าต้องการให้ได้ความหนาแน่นต่ำก็ปรับ Adjustable Slat ให้ปิดแคบเพื่อให้ได้ Feed Head น้อย ภาพ 5.66 แสดง Saturated Feeding และ Unsaturated Feeding

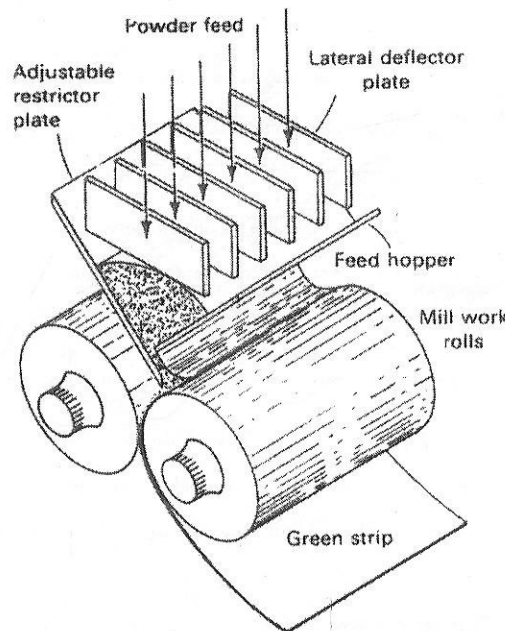


ภาพ 5.65 การวางแผนตัวของลูกรีดในลักษณะต่าง ๆ



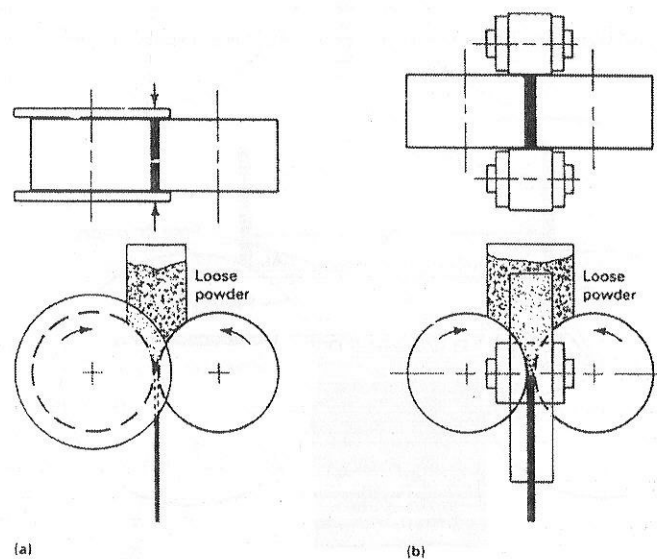
ภาพ 5.66 Saturated Feeding และ Unsaturated Feeding

เพื่อให้ได้ Feed Head ที่เท่ากันในสามมิติจึงมีการใช้คุปภรณ์เสริมคือ Lateral Deflector Plate ทำหน้าที่กำหนดทิศทางการเคลื่อนที่ของผงโดยจะลงสู่ Feed Head ให้มีทิศทางกับแนวการรีด ซึ่งคล้ายกับช่องลมของเครื่องปรับอากาศ ถ้าไม่มี Lateral Deflector Plate ผงจะหละจะไปรวมตัวกันอยู่บริเวณใจกลางของ Feed Head มากกว่าบริเวณอื่น

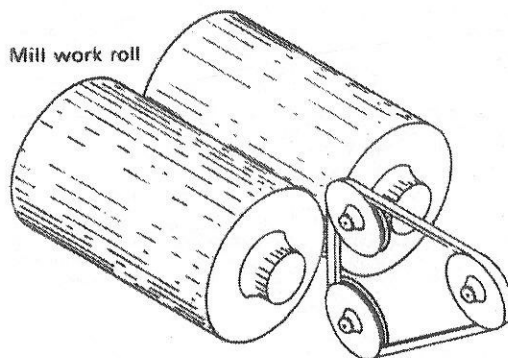


ภาพ 5.67 การทำงานของ Lateral Deflector Plate

เมื่อผงโลหะถูกป้อนเข้าสู่ลูกรีดแล้วจะได้รับแรงดันจากลูกรีด ถ้าหากไม่มีการบังคับทิศทางทางด้านขอน จะทำให้ผงโลหะหล่นออกจาก Roll Gap และทำให้ແດນหรือแผ่นที่ได้มีความหนาแน่นต่ำบริเวณขอบอาจแตกหรือบิดเบี้ยวในขั้นตอนเผาประสานได้ และถ้าบังคับทิศทางของผงโลหะโดยใช้จากก้นที่ไม่มีการเคลื่อนที่จะทำให้มีแรงเสียดทานในบริเวณขอบมากเป็นพิเศษและทำให้ความหนาแน่นไม่เท่ากัน วิธีการบังคับทิศทางทางด้านขอนได้แก่ Flange Edge Control โดยที่ลูกรีดยันได้แน่นหนึ่งจะมีແດນยื่นออกมาเพื่อป้องกันไม่ให้ผงโลหะหล่นออกมาได้ อีกวิธีหนึ่งคือ Belt Edge Control โดยจะมี Pulley ทำหน้าที่ให้เริ่มขัดหมุนไปตามทิศทางเดียวกับลูกรีด ภาพ 5.68 และ 5.69 แสดงวิธีการบังคับทิศทางทางด้านขอน



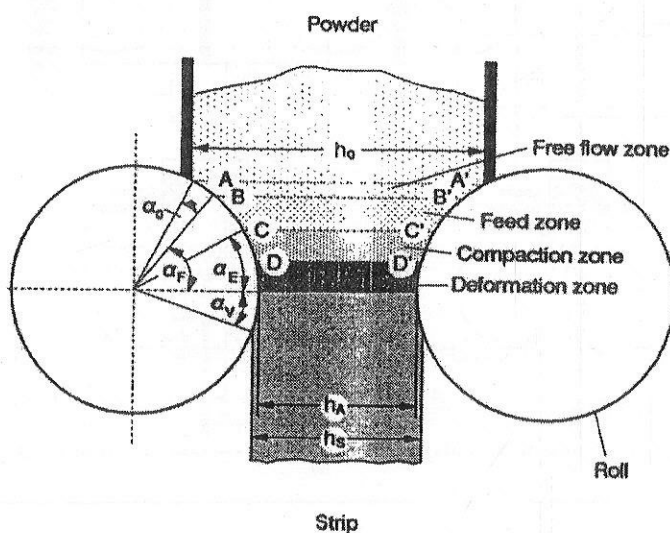
ภาพ 5.68 วิธีการบังคับทิศทางทางด้านขอน a) Flange Edge Control b) Belt Edge Control



ภาพ 5.69 Belt Edge Control

เมื่อผงโลหะถูกวีดจะแบ่งบริเวณต่าง ๆ ออกได้ดังนี้

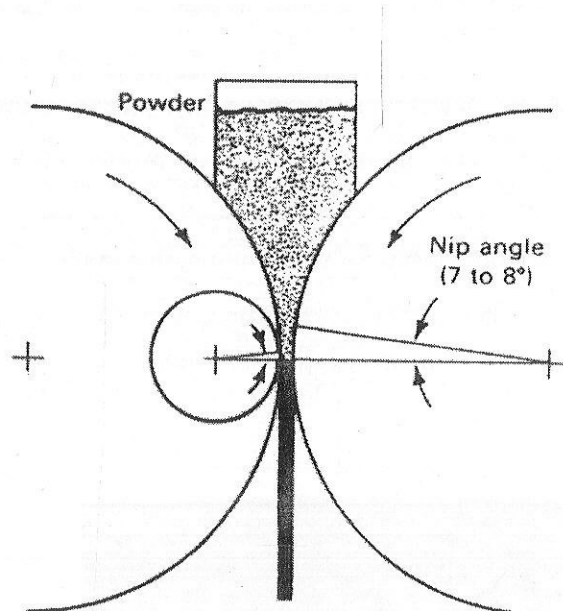
- (1) Feed Head เป็นบริเวณที่ผงโลหะทับกันตัวทำให้เกิดแรงดันต่อผงโลหะที่อยู่บริเวณล่างให้ไหลเข้าไปใน Roll Gap บริเวณนี้มีความกว้างเท่ากับ h_0
- (2) Free Flowing Zone เป็นบริเวณที่แรงโน้มถ่วงเป็นแรงเดียวเท่านั้นที่กระทำต่อผงโลหะ α_0 เป็นมุมที่การพื้นที่บริเวณตามภาพ 5.70 บริเวณนี้ได้แก่ A – A' ถึง B – B'
- (3) Feed Zone เป็นบริเวณที่แรงเสียดทานระหว่างผงโลหะกันเองและระหว่างผงโลหะกับผังลูกรักษาความเริ่มมีบทบาท ทำให้เกิดการจัดเรียงตัวใหม่ของผงโลหะ (Rearrangement) บริเวณนี้ได้แก่ B – B' ถึง C – C' หรือ ผลต่างระหว่างมุม α_F และมุม α_E ในช่วงนี้อากาศที่อยู่ระหว่างผงจะถูกกระบายขึ้นไปด้านบน
- (4) Compaction Zone เป็นบริเวณที่ผงโลหะเริ่มได้รับแรงดันจากการลดลงของพื้นที่หน้าตัดและเริ่มเกิดการเสียบปอกอย่างถาวร บริเวณนี้ได้แก่ C – C' ถึง D – D'
- (5) Deformation Zone การเสียบปอกอย่างถาวรส่วนใหญ่เกิดในบริเวณนี้ซึ่งเป็นบริเวณที่มีพื้นที่หน้าตัดน้อยที่สุด ผงโลหะที่ผ่านบริเวณนี้ไปแล้วอาจมีการคืนรูปจากการเสียบปอกอย่างไม่ถาวรได้บ้าง ($h_A \rightarrow h_S$)



ภาพ 5.70 นิยามบริเวณต่าง ๆ ใน Roll Gap

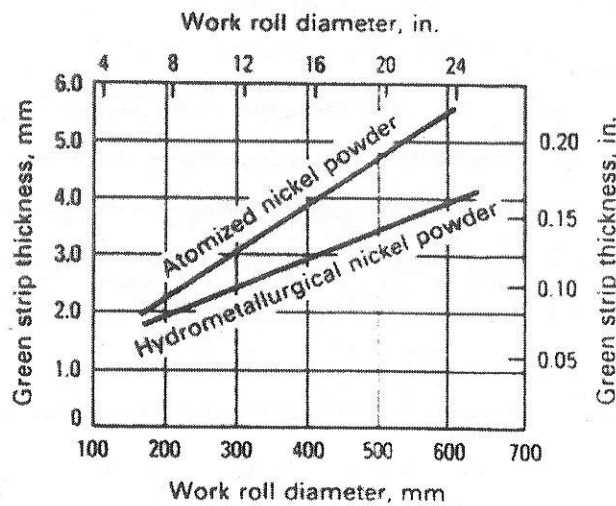
ในบริเวณ Deformation Zone ถ้าผังโลหะที่ลูกรีดทั้งสองด้านมีความหนาแน่นไม่เท่ากันจะทำให้เกบหรือแผ่นที่ได้อ่อนตัวจากแรงการรีด และจะบิดได้มากขึ้นเมื่อผ่านการเผาประสาน

ในการผลิตแบบหรือแผ่นที่ได้จากการรีด สามารถควบคุมความหนาได้โดยเปลี่ยนขนาดลูกรีดซึ่งมีขนาดตั้งแต่ 0.5 นิ้ว ไปจนถึง 36 นิ้ว ลูกรีดกับผังโลหะจะมีมุม Nip Angle เมื่อกับกรณีการรีดโลหะทั่วไปมีค่าประมาณ 7 – 8 องศา (ภาพ 5.71) Nip Angle เป็นมุมกว้างซึ่งลูกรีดจะมีแรงเสียดทานมากพอที่จะดึงผังโลหะเข้ามาใน Roll Gap ถ้าลูกรีดมีขนาดใหญ่จะทำให้มีพื้นที่มากกว่าและสามารถดึงผังโลหะเข้ามาใน Roll Gap ได้มากกว่าลูกรีดขนาดเล็กในเวลาเท่ากัน ทำให้ความหนาของแบบหรือแผ่นที่ได้ต่างกัน (ถ้ากำหนดให้ความหนาแน่นเท่ากัน) ภาพ 5.72 แสดงอิทธิพลของขนาดลูกรีดต่อความหนาของแบบหรือแผ่นที่ได้สำหรับ Atomized Nickel Powder และ Hydrometallurgical Nickel Powder จะเห็นได้ว่าขนาดลูกรีดและความหนาแปรผันตรงต่อ กัน สำหรับ Atomized Nickel Powder มีความสามารถในการหล่อตัวมากกว่า Hydrometallurgical Nickel Powder ทำให้ได้ความหนาของแบบหรือแผ่นที่ได้มากกว่า ทั้งนี้ความหนาของแบบหรือแผ่นที่ได้นั้นขึ้นอยู่กับคุณลักษณะของผังโลหะไม่ว่าจะเป็นรูปทรง ขนาด ความเสียดทานระหว่างอนุภาค ความเสียดทานระหว่างผังโลหะและลูกรีด ความสูงของ Feed Head ฯลฯ



ภาพ 5.71 เปรียบเทียบขนาดของลูกรีดและนิยาม Nip Angle

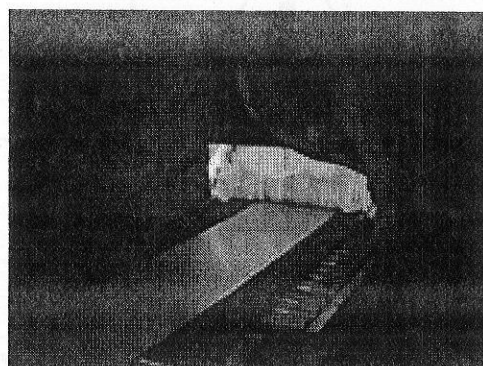
การเพิ่มความเสียดทานระหว่างผังโลหะและลูกรีดในทางปฏิบัติสามารถทำได้โดยทำให้ผิวของลูกรีดขูดขึ้น สามารถดึงผังโลหะเข้าไปใน Roll Gap ได้มากขึ้น นอกจากนี้การป้อนแรงดันให้กับ Feed Head ก็ช่วยให้ผังโลหะไหลเข้าสู่ Feed Head ได้มากขึ้นเช่นกัน



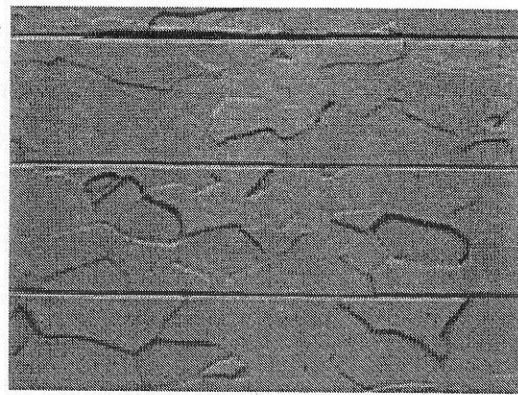
ภาพ 5.72 อิทธิพลของขนาดลูกรีดต่อความหนาของแถบหรือแผ่นที่ได้สำหรับ

Atomized Nickel Powder และ Hydrometallurgical Nickel Powder

เมื่อผงโลหะผ่านการรีดแล้วจะถูกน้ำเข้าสู่เตาเผาประสานด้วยเวลาและอุณหภูมิที่เหมาะสม บริเวณปากทางเข้าเตาเผาประสานจะมีม่านก๊าซ (เช่น ไฮโดรเจน) ปักคุณเพื่อไม่ให้อากาศเข้าไปทำปฏิกิริยา กับชิ้นงาน ภาพ 5.73 แสดงภาพถ่ายบริเวณปากเตาเผาประสานที่ผงโลหะที่ผ่านการรีดเป็นแถบหรือแผ่นถูกนำเข้าสู่เตา เมื่อผ่านการเผาประสานไปแล้ว อาจมีการรีดร้อนเพื่อให้ได้ความหนาแน่นสูงสุดอีก และอาจมีการรีดเย็นเพื่อให้ได้ความหนาที่แน่นยึดขึ้น หลังจากการรีดเย็นอาจมีการอบชุบหรือคายความเด็นเหลือค้างหรือเพื่อปรับโครงสร้างจุลภาคให้เป็นไปตามต้องการ ภาพ 5.74 แสดงโครงสร้างจุลภาคและความหนาของแผ่น Ni ที่ผ่านกระบวนการ Roll Compaction



ภาพ 5.73 ภาพถ่ายบริเวณปากเตาเผาประสานที่ผงโลหะที่ผ่านการรีดเป็นแถบหรือแผ่นถูกนำเข้าสู่เตา

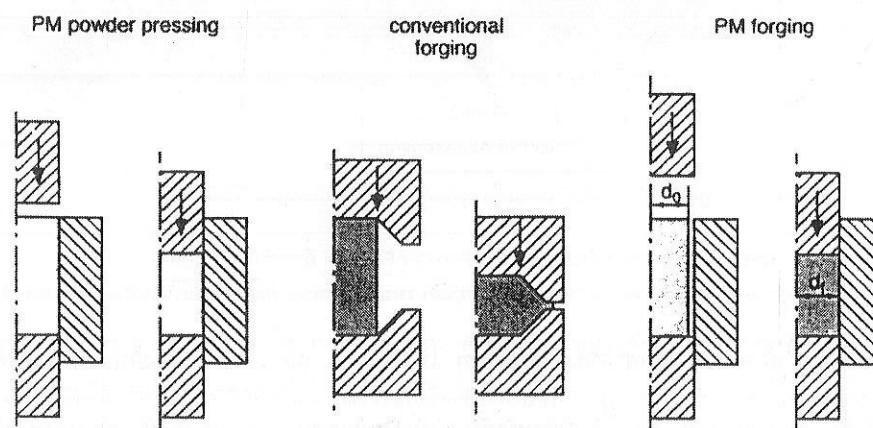


ภาพ 5.74 โครงสร้างจุลภาคและความหนาของแผ่น Ni ที่ผ่าน

กระบวนการ Roll Compaction

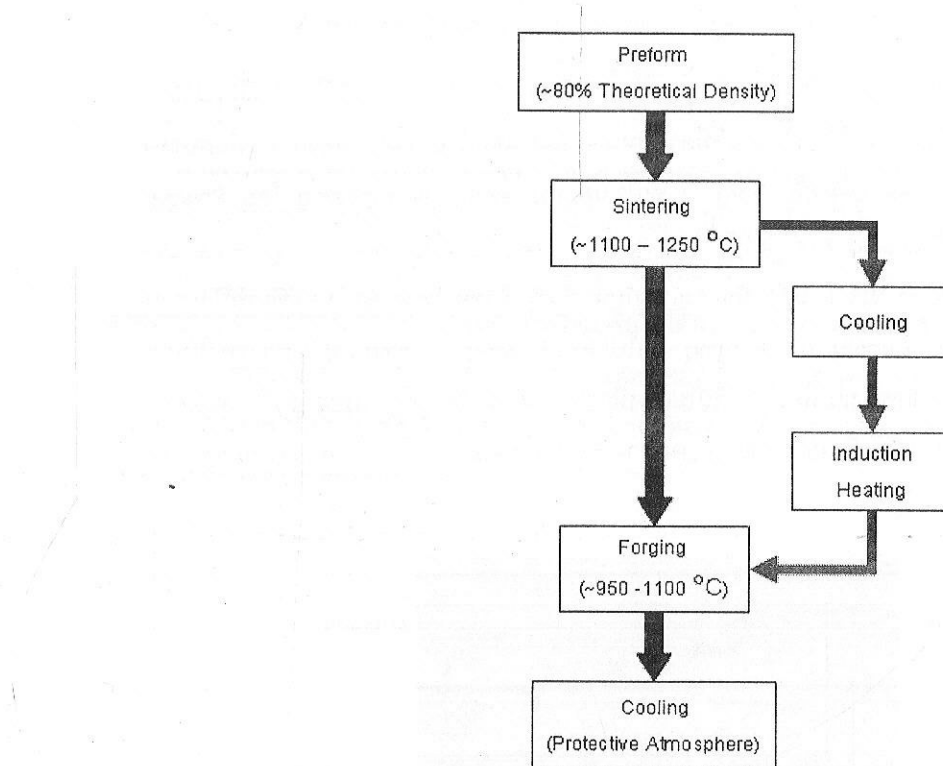
5.10 Powder Forging

Powder Forging เป็นกระบวนการที่ให้แรงดันสูงอย่างรวดเร็วแก่ Preform ทำให้เกิดการเสียบปูอย่างถาวรของ Preform ภายใต้แม่พิมพ์ ทำให้ได้ชิ้นงานที่มีความหนาแน่นสูงและมีรูปร่างตามต้องการ รูปแบบของกระบวนการ Powder Forging คล้ายคลึงกับ Forging ทั่วไปผสมกับ Axial Die Pressing โดย Powder Forging ต่างจาก Axial Die Pressing ตรงที่วัสดุเดิมของ Powder Forging เป็น Preform ส่วน Axial Die Pressing เป็นผงโลหะ ซึ่ง Preform ไม่จำเป็นต้องมีขนาดเท่ากับพื้นที่หน้าตัดของโครงแบบในแม่พิมพ์ก็ได้ ส่วนความแตกต่างระหว่าง Powder Forging กับ Forging ทั่วไปคือ Powder Forging จะไม่มีการทำให้เกิด Flashing หรือครีบที่เกิดจากการอยต่อของแม่พิมพ์ ทำให้ไม่ต้องมีกระบวนการ Trimming หรือการกลึง หลังจาก Powder Forging และ ภาพ 5.75 เปรียบเทียบความแตกต่างระหว่าง Axial Die Pressing, Forging และ Powder Forging



ภาพ 5.75 เปรียบเทียบความแตกต่างระหว่าง Axial Die Pressing, Forging และ Powder Forging

Preform ได้จากการอัดขึ้นรูปท่อไป เช่น Axial Die Pressing ซึ่งมีจะมีความหนาแน่นและความแข็งแรงพอประมาณ และก่อนที่จะนำ Preform มาทำการ Powder Forging ต้องนำไปเผาประสานภายในเตาบรรยายกาศ ที่ทำให้เกิดการ Reduction เช่น H_2 , cracked NH_3 เป็นต้น อุณหภูมิการเผาประสานภายในอยู่กับชนิดของโลหะ สำหรับเหล็กกล้าส่วนใหญ่เผาประสานที่อุณหภูมิประมาณ 1100 – 1250 องศาเซลเซียส หลังจากเผาประสานแล้วชิ้นงานควรออกจากหรือมีปริมาณชั้น Oxide น้อย เนื่องจากชั้น Oxide ที่ผิวของผงโลหะมักจะมีความเปราะและอาจทำให้เกิดรอยแตกจากการ Forging ได้ง่ายขึ้น หลังจากนั้นจึงปล่อยให้เย็นตัวหรืออาจนำไป Forging โดยตรงที่อุณหภูมิประมาณ 950 – 1100 องศาเซลเซียส เนื่องจากเป็นอุณหภูมิช่วงที่ Austenite ซึ่งมีโครงสร้างผลึกแบบ Face Center Cubic ซึ่งมี Slip plane มากทำให้ขึ้นรูปได้ง่าย ก่อนการ Forging ต้องทำการเคลือบด้วยพลาสติกไฟฟ์เพื่อการหล่อลื่นและป้องกัน Decarburization ภายหลังจากการ Forging เสร็จแล้ว ชิ้นงานจะถูกทำให้เย็นลงภายใต้บรรยายกาศเดียวกับชั้นป้องกันการเกิด Oxide และ Decarburization ภาพ 5.76 แสดงแผนภาพขั้นตอนการทำ Powder Forging สำหรับเหล็กกล้า



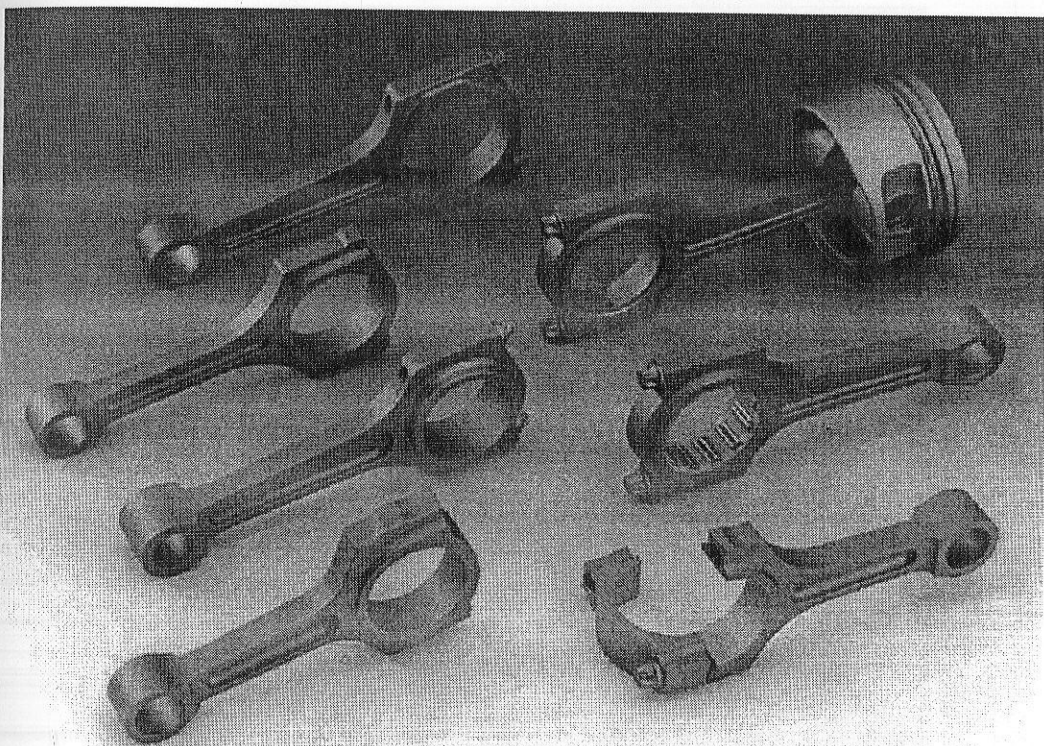
ภาพ 5.76 แผนภาพขั้นตอนการทำ Powder Forging สำหรับเหล็กกล้า

จากภาพ 5.75 เส้นผ่านศูนย์กลางของ Preform เท่ากับ d_0 และเส้นผ่านศูนย์กลางของแม่พิมพ์หรือรูปร่างสุดท้ายของชิ้นงานเท่ากับ d_f ถ้า $\frac{d_0}{d_f}$ มีค่าเท่ากับ 1 จะเป็นการ "Repressing" หรือเป็นการอัดเข้าอีกครั้ง หนึ่ง Preform จะถูกทำให้เสียรูปอย่างถาวรด้วย Principle Stress เป็นหลัก (Hydrostatic condition) และถ้า

$\frac{d_0}{d_f}$ มีค่าน้อยกว่า 1 Preform จะถูกทำให้เสียรูปอย่างถาวร ด้วย Shear Stress เป็นหลัก (Deviatoric condition) ซึ่งทำให้ผงโลหะภายในชิ้นงานเขื่อมประสานกันดีกว่า

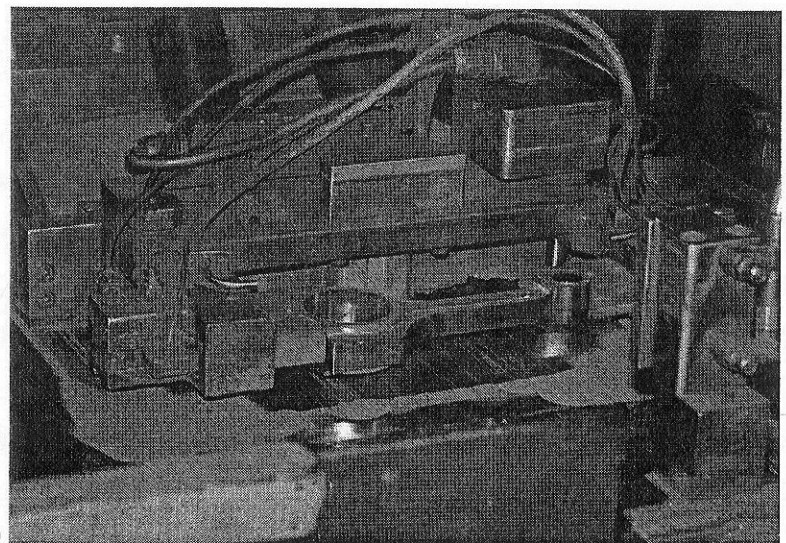
สมบัติเชิงกลของชิ้นงานที่ได้จาก Powder Forging ไม่เป็นรองชิ้นงานที่ได้จาก Forging ทั่วไป เนื่องจาก มีความหนาแน่นเทียบเท่ากับ Theoretical Density ซึ่งในทางปฏิบัติแล้วจะมีข้อได้เปรียบกว่า Forging ทั่วไป ตรงที่ Powder Forging ให้สมบัติที่มีความเท่ากันทุกทิศทาง (Isotropy) มากกว่า

การทำ Powder Forging มีการขยายตัวลดลง Forging ทั่วไปมาก เนื่องจากให้สมบัติเชิงกลที่ไม่เป็น ร่องและยังช่วยลดขั้นตอนการกลึง ໄສ กัด เจาะ เชื่อม คว้าน ไปได้ ชิ้นงานที่ผลิตด้วยวิธีการ Powder Forging ส่วนใหญ่ได้แก่ ชิ้นงานที่ต้องรับความเคี้ยวสูง เช่น Gear, Stator Cam, Connecting Rod เป็นต้น ภาพ 5.77 แสดง Connecting Rod จากกระบวนการ Powder Forging

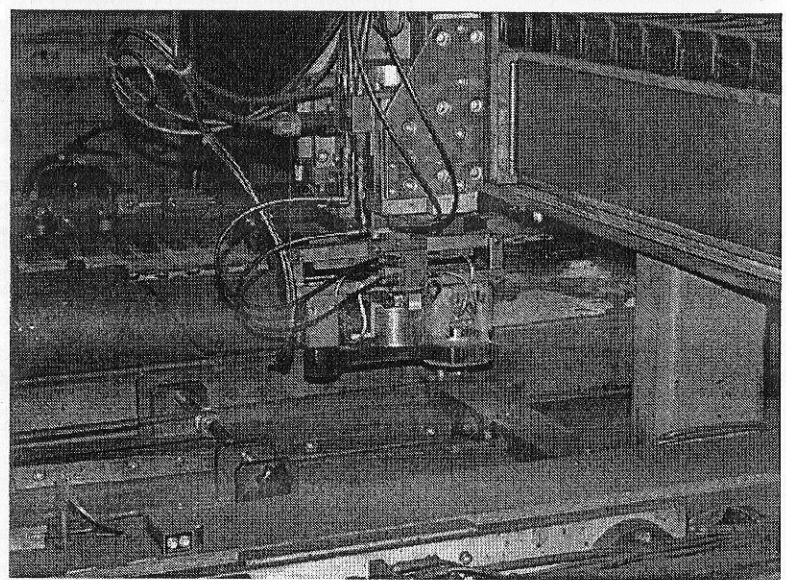


ภาพ 5.77 Connecting Rod จากกระบวนการ Powder Forging

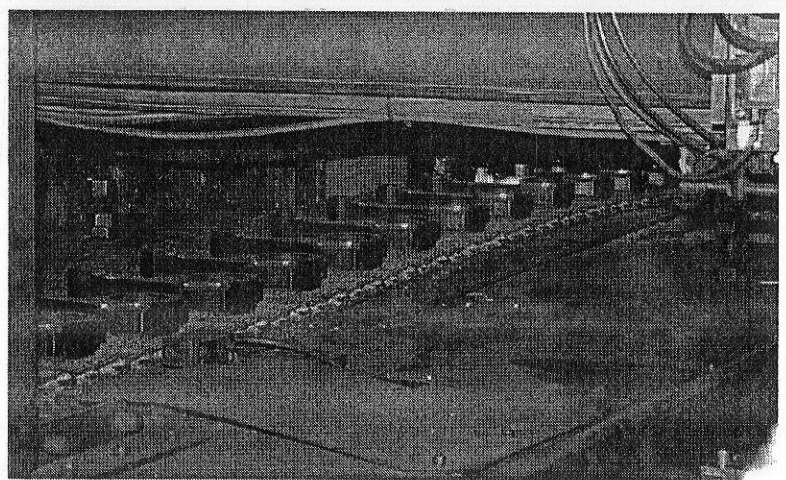
ภาพ 5.78 แสดงกระบวนการผลิต Connecting Rod ด้วยกระบวนการ Powder Forging ซึ่งภายหลังจาก ขัดขี้นรูป Preform แล้วจะมีการซั่งน้ำหนักเพื่อคัดแยก Preform ที่ไม่ได้มาตรฐานออกไป ชิ้นงานที่ได้จาก กระบวนการโลหะผงมีลักษณะที่แตกต่างจากชิ้นงานที่ได้จากการหล่อหดคอม โดยชิ้นงานจะมีขนาดและ น้ำหนักที่คงที่ข้างหนึ่งกัน การมีซ่องว่างหรือความหนาแน่นสูงหรือต่ำกว่าปกติจะทำให้ชิ้นงานมีน้ำหนักไม่ เท่ากัน จึงสามารถใช้การซั่งน้ำหนักในการคัดแยกได้โดยไม่ต้องอาศัยการตรวจสอบแบบไม่ทำลาย ทำให้มีอัตรา การผลิตสูง



a)



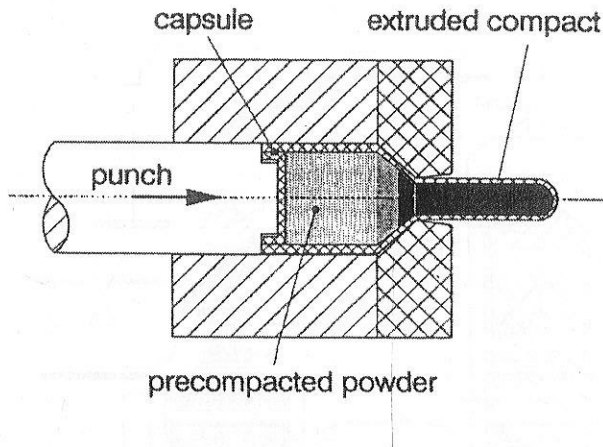
b)



c)

ภาพ 5.78 การผลิต Connecting Rod ด้วยกระบวนการ Powder Forging
a) Preform compaction
b) Weight Examination c) Sintering ก่อนนำไป Forging

อีกกระบวนการหนึ่งที่จัดได้ว่าเป็น Powder Forging เช่นกันคือ กระบวนการ Powder Extrusion โดยแทนที่จะเป็นการ Forging ผงโลหะภายในแม่พิมพ์ปิด แต่เป็นการ Forging ผงโลหะภายในภาชนะบรรจุผ่าน Die ทำให้ผงโลหะอัดตัวแน่นภายในภาชนะบรรจุ วิธีการนี้นิยมใช้ในการผลิต Composite Material ที่มี Reinforcement เป็นอนุภาคกระจายตัวอยู่ใน Matrix ทำให้สุดมีความแข็งแรงขึ้น (Dispersion Strengthening) ภาพ 5.79 แสดงส่วนประกอบของ Powder Extrusion



ภาพ 5.79 ส่วนประกอบของ Powder Extrusion

5.11 Explosive Compaction

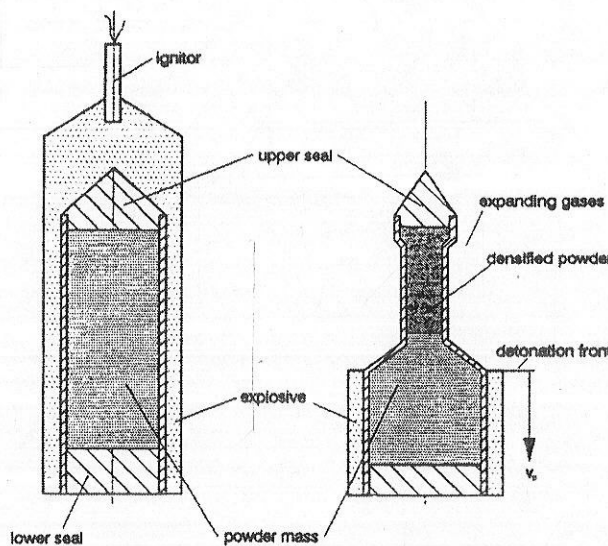
ในการอัดขึ้นรูปผงโลหะทั่วไปจะมีอัตราในการอัดต่ำ (ยกเว้น Powder Forging) ซึ่งได้ความหนาแน่นของชิ้นงานไม่สูงนัก จึงได้มีการพัฒนากระบวนการอัดขึ้นรูปผงโลหะที่มีอัตราในการอัดสูง โดยมีวัตถุประสงค์คือ เพื่อให้ได้ความหนาแน่นที่ใกล้เคียงกับความหนาแน่นทางทฤษฎี (~97% Theoretical Density) หลักการทั่วไปคือการเพิ่มแรงดันให้กับ Die หรือ Upper Punch อย่างรวดเร็ว โดยอาจอาศัยแรงจากการระเบิดหรือจากแรงแม่เหล็กไฟฟ้าในการขับเคลื่อนก็ได้

Explosive Compaction เป็นการใช้แรงระเบิดจากวัตถุระเบิดอัดผงโลหะที่อยู่ภายใต้ความหนาแน่นมากขึ้น ส่วนประกอบของ Explosive Compaction แสดงดังภาพ 5.80 ซึ่งประกอบไปด้วย ชนวนจุดระเบิด (Ignitor), Upper และ Lower Seal และภาชนะบรรจุผงโลหะ เมื่อจุดระเบิดก้าชจะเกิดการขยายตัวอย่างรวดเร็วและให้ความร้อนจำนวนหนึ่งออกมายกปฏิกิริยาความร้อนอย่างรุนแรง แรงดันจากก้าชจะทำให้ภาชนะและผงโลหะภายใต้ความดันของแรงดันเร็วจนมีความหนาแน่นสูงใกล้เคียงกับค่าทางทฤษฎี กระบวนการ Explosive Compaction สามารถทำต่อเนื่องไปได้เรื่อยๆ โดยความร้อนที่ได้จากการจุดระเบิดจะทำให้เกิดการระเบิดแบบลูกใหญ่ เมื่อเสร็จสิ้นกระบวนการแล้วจึงทำการ Decapsulation หรือแยกออกจากชิ้นงาน

ในขณะที่เกิดการอัดตัวอย่างรวดเร็วของผงโลหะจะเกิดความร้อนจากทั้งการเสียดสีกันระหว่างผงโลหะและการเสียดสีกันระหว่างผงโลหะกับภาชนะ นอกจากนี้ความร้อนอีกส่วนหนึ่งได้จากการระเบิด ความร้อนเหล่านี้อาจทำให้ผงโลหะเกิดการหลอมตัวบางส่วน ถ้าหากผงโลหะเกิดการหลอมตัวบางส่วนจะทำให้ได้ความ

หนาแน่นมากขึ้น ภาพ 5.81 เปรียบเทียบความหนาแน่นที่ได้จากการกระบวนการ Isostatic Pressing และ Explosive Compaction จะเห็นได้ว่าห้องผงโลหะหังส滕, มีลิบดีนัมและเหล็กกล้าไวร์สนิม Explosive Compaction ให้ความหนาแน่นสูงกว่า Isostatic Pressing ซึ่งในกรณีที่เกิดการหลอมตัวให้ความหนาแน่นใกล้เคียง Theoretical Density มาก

อย่างไรก็ได้แรงระเบิดหรืออุณหภูมิจากการระเบิดที่สูงเกินไปอาจทำให้ภาชนะบรรจุผงโลหะเดี่ยหาย และทำให้ชิ้นงานเสียหายตามไปด้วย ดังนั้นในการปฏิบัติจริงต้องควบคุมแรงระเบิดให้เหมาะสม



ภาพ 5.80 ลักษณะของ Explosive Compaction

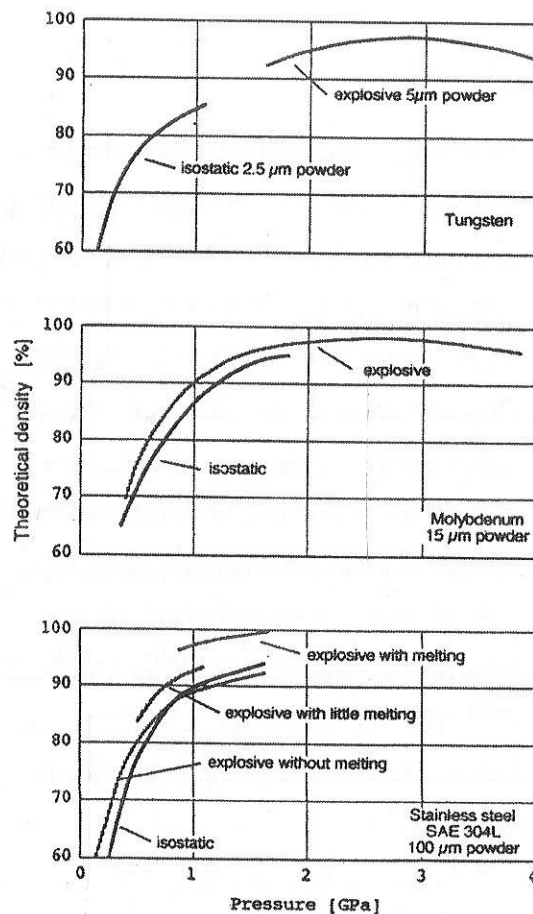
5.12 Pressureless Powder Shaping

Pressureless Powder Shaping กระบวนการขึ้นรูปผงโลหะโดยไม่ใช้แรงดัน ถึงแม้ว่าการขึ้นรูปผงโลหะโดยไม่ใช้แรงดันจะมีความสำคัญอย่างมากว่าการอัดขึ้นรูปผงโลหะ อย่างไรก็ได้การขึ้นรูปผงโลหะโดยไม่ใช้แรงดันก็ยังคงมีความสำคัญ โดยมีลักษณะเด่นดังนี้

1. ไม่จำเป็นต้องมีเครื่องมือให้แรงดันและ Tooling ที่มีความซับซ้อนและต้นทุนสูง
2. สามารถขึ้นรูปชิ้นงานที่มีขนาดใหญ่มากได้ ขนาดของชิ้นงานจะถูกจำกัดด้วยขนาดของเตาเผา ประสาน และการควบคุมบรรยายกาศ
3. ไม่มี Density Gradient เกิดขึ้นเมื่อกับในการนีกการอัดขึ้นรูปผงโลหะ
4. ไม่มีการเสียรูปของผงโลหะเกิดขึ้น และขนาดของจุดสัมผัสระหว่างผงโลหะมีขนาดเล็กกว่าการอัดขึ้นรูปผงโลหะมาก
5. ไม่มีการทำลายหรือทำให้ชั้น Oxide ที่ผิวของผงโลหะแตกเดี่ยหาย

สามข้อแรกเป็นข้อได้เปรียบของการขึ้นรูปผงโลหะโดยไม่ใช้แรงดัน และสองข้อหลังเป็นข้อด้อย การที่จุดสัมผัสระหว่างผงโลหะมีขนาดเล็กทำให้ความแข็งแรงหลังการเผาประสานต่ำ และไม่มีทางได้ชิ้นงานที่มีความ

หนาแน่นสูงได้ การที่ไม่มีการทำลายหรือทำให้ชั้น Oxide แตก ทำให้การเผาประสานเป็นไปได้ช้าลง เนื่องจากชั้น Oxide ทำหน้าที่เป็นตัวขัดขวางการเผา ดังนั้นการขันรูปผงโลหะโดยไม่ใช้แรงดันจึงเหมาะสมสำหรับการขันรูป รุ้งงานที่อาศัยรูปrun เช่น ตัวกรองที่อุณหภูมิสูงจากการบรอนช์ เป็นต้น



ภาพ 5.81 เมริบเทียบความหนาแน่นที่ได้จากการกระบวนการ Isostatic Pressing และ Explosive Compaction

5.12.1 Powder Filling และ Vibration

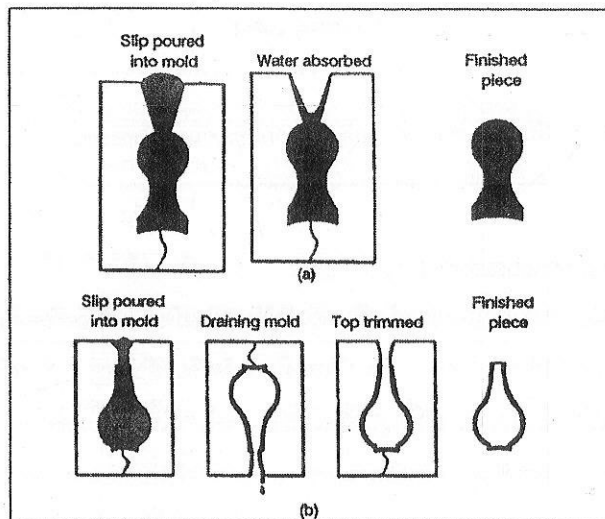
เมื่อผงโลหะถูกเติมลงในภาชนะ ผงโลหะจะจัดเรียงตัวอยู่กันอย่างหลวม ๆ ซึ่งมีความหนาแน่นต่ำ เพื่อให้ได้ความหนาแน่นสูงขึ้นจึงอาจใช้การสั่นสะเทือนทำให้ผงโลหะมีการจัดเรียงตัวใหม่ โดยทั่วไปแล้ว Powder Vibration ไม่สามารถใช้ในทางปฏิบัติกับผงโลหะที่มีรูปร่างซับซ้อน ซึ่งส่วนใหญ่แล้วใช้กับผงโลหะที่มีรูปทรงกลม และมีผิวไม่ขรุขระเท่านั้น

ขั้นตอนที่ได้จากการกระบวนการ Powder Vibration สามารถปรับปรุงให้มีความหนาแน่นสูงเท่าเดิมงานที่ได้จากการขัดขันรูปได้โดยการใช้ผงโลหะต่างชนิดกัน เช่น 44 – 74 ไมครอน, 149 – 222 ไมครอน, 840 – 1400 ไมครอน และให้การสั่นสะเทือนแก่ผงโลหะทำให้เกิดการจัดเรียงตัวใหม่จนมีความหนาแน่นได้ถึง 80% Theoretical Density ถึงแม้ว่าการทำให้ได้ความหนาแน่นสูงถึง 80% Theoretical Density จะสามารถทำได้

ในทางทฤษฎีแต่ว่าในทางปฏิบัติทำได้ค่อนข้างยาก ทำให้มีการนำไปใช้งานน้อยมาก นอกจากการผลิตชิ้นส่วนที่อาศัยความพรุนในชิ้นงาน เช่น ตัวกรองที่อุณหภูมิสูง เป็นต้น อย่างไรก็ได้ Powder Vibration มีความสำคัญมากในกระบวนการ Isostatic Pressing โดยในการบรรจุผงโลหะลงในภาชนะ ผงโลหะภายในภาชนะควรมีความหนาแน่นมากกว่า 60% Theoretical Density ขึ้นไป เพื่อป้องกันการเกิดตัวของอากาศ ทำให้ชิ้นงานมีรูปร่างผิดเพี้ยนไป

5.12.2 Slip Casting

Slip Casting ก็เป็นกระบวนการรีดขึ้นรูปโดยอีกกระบวนการหนึ่งที่ไม่มีการใช้แรงดันในการรีดขึ้นรูป Slip Casting มีอีกชื่อหนึ่งคือ "Slurry Casting" ซึ่งเป็นกรรมวิธีการรีดขึ้นรูปดังเดิมของวัสดุเซรามิก วิธีการเริ่มต้นจากการเติมแม่พิมพ์ที่มีโครงแบบภายใน แม่พิมพ์สำหรับกระบวนการ Slip Casting จะมีความพรุนสูงทำจากวัสดุที่ทำปฏิกิริยากับน้ำ เช่น Calcium Sulphate ($\text{CaSO}_4 \cdot 0.5 \text{ H}_2\text{O}$) ทำปฏิกิริยากับน้ำเป็น $\text{CaSO}_4 \cdot 2\text{H}_2\text{O}$ เป็นต้น ความพรุนทำให้เกิด Capillary Force ช่วยในการดึงน้ำออกจากแบบ สร้ววัสดุแม่พิมพ์ที่ทำปฏิกิริยากับน้ำก็เพื่อช่วยในการกำจัดน้ำอีกทางหนึ่ง ผงโลหะจะถูกผสมกับน้ำ (บางครั้งเป็นแอลกอฮอล์) เรียกว่า Slip โดย Slip จะมีความเข้มข้นของผงโลหะได้ถึง 70 – 80% หลังจากนั้น Slip จะถูกเทลงในแม่พิมพ์ น้ำใน Slip จะถูกดึงออกด้วย Capillary Force และปฏิกิริยา ทำให้ผงโลหะใน Slip ที่บริเวณผนังแม่พิมพ์เกิดการเรียงตัวแน่นขึ้นเป็นชั้นของแข็ง การทำสูญญากาศช่วยให้อัตราการกำจัดน้ำออกจากแม่พิมพ์เป็นไปได้เร็วขึ้น เมื่อได้ชั้นความหนาของผงโลหะที่ต้องการแล้วก็สามารถทำได้โดยปล่อยให้การกำจัดน้ำดำเนินต่อไปเรื่อยๆ ทั้งนี้จะมีการหดตัวของ Slip คล้ายกับการแข็งตัวของโลหะในงานหล่อ จึงต้องมีการออกแบบโครงแบบเพื่อให้ Slip สามารถไหลไปชดเชยการหดตัวได้ แล้วจึงนำชิ้นงานไปตัดส่วนเกินในภายหลัง ภาพ 5.82 แสดงขั้นตอนของกระบวนการ Slip Casting



ภาพ 5.82 ขั้นตอนของกระบวนการ Slip Casting

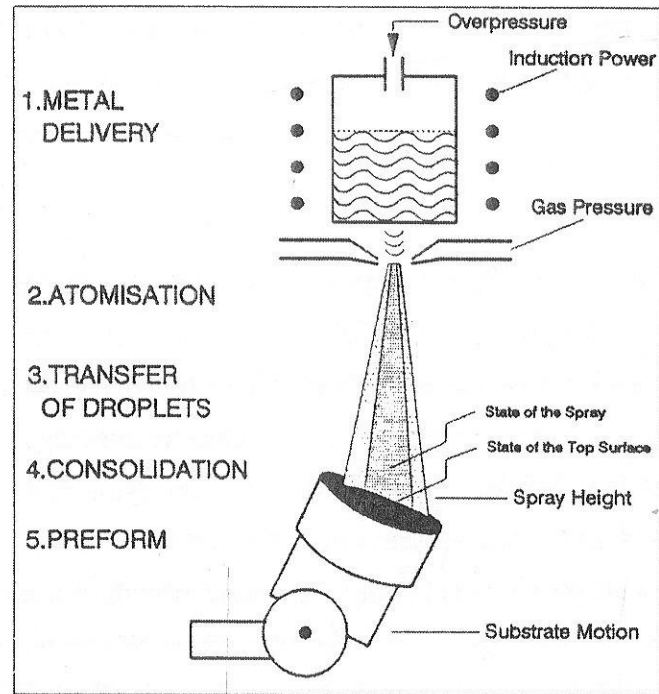
สิ่งสำคัญในกระบวนการ Slip Casting คือพฤติกรรมของผงโลหะใน Slip กล่าวคือ ความต้านทานต่อการตกตะกอนของผงโลหะในขั้นตอนการขึ้นรูปและความสามารถในการหล่อ (Castability) ซึ่งสามารถควบคุมได้ด้วยการเติม Additives, pH และความหนืด

5.13 Spray Forming

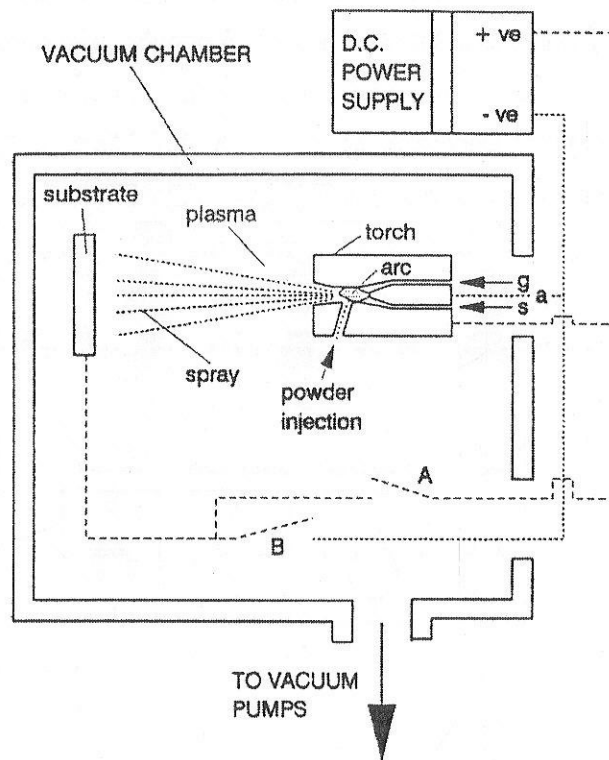
กระบวนการ Spray Forming ที่รู้จักกันดีที่สุดคือ Osprey Process เป็นกระบวนการที่เปลี่ยนโลหะหลอมเหลวเป็นโลหะของแข็งที่มีโครงสร้างละเอียด วิธีการคือทำให้โลหะหลอมตัวด้วยเตาเหนียวนำด้วยไฟฟ้า โลหะหลอมเหลวจะถูกปล่อยให้หล่อผ่าน Nozzle ในลักษณะเดียวกับกระบวนการ Atomization ทำให้โลหะหลอมเหลวเกิด Disintegration เป็นละอองที่มีความเร็วสูง ละอองโลหะหลอมเหลวจะพุ่งไปตกรอบบนผิวของ Substrate การแข็งตัวของโลหะเกิดขึ้นในระหว่างที่ละอองโลหะหลอมเหลวเดินทางไปสู่ Substrate บริเวณข้องเหลวในละอองโลหะจะลดลงเรื่อยๆ ตามระยะทาง (ภาพ 5.83) และเมื่อตกรอบบน Substrate จะเหลือปริมาณของเหลวในละอองโลหะเพียงเล็กน้อยเท่านั้นและเกิดการแข็งตัวพร้อมกับเชื่อมประสานกับ Substrate ภาพ 5.84 แสดงแผนภาพ Osprey Process ด้วยวิธีการนี้สามารถได้ชิ้นงานที่มีความหนาแน่นสูงถึง 97 – 99% Theoretical Density โดยปกติแล้ว Substrate จะถูกติดตั้งบนแท่นที่สามารถเคลื่อนไหวและสามารถหันบีบริเวณที่ต้องการไปสู่ลำลองของของโลหะได้ ละอองของโลหะที่ไม่ตกลงบนชิ้นงานเรียกว่า "Over Spray" ซึ่งไม่สามารถหลีกเลี่ยงได้ โดยทั่วไป Over Spray มีประมาณ 15 – 30%

อีกกระบวนการหนึ่งที่ถือว่าเป็นกระบวนการ Spray Forming ได้แก่ Vacuum Plasma Spraying วิธีการคือการให้ความต่างศักย์ไฟฟ้ามากจนทำให้เกิดการ Arc และป้อนผงโลหะเข้าไปบริเวณที่เกิดการ Arc ด้วย Metal Powder Injection เมื่อผงโลหะเกิดการ Arc จะถูกทำให้หลอมตัวและพุ่งออกไปด้วยความเร็วสูงจากแรงดันก๊าซ ผ่านบริเวณ Plasma ไปตกรอบบนผิว Substrate กระบวนการทั้งหมดนี้เกิดขึ้นใน Chamber ศูนย์ญากาศ กระบวนการนี้มีอัตราการ Deposition สูง (100 kg/h) ซึ่งทำให้สามารถเป็นอีกทางเลือกหนึ่งที่มีข้อควรระวังคือ Axial Die Pressing ผงโลหะที่ใช้ในกระบวนการนี้ไม่ควรมีขนาดเล็กเกินไป มิเช่นนั้นอาจมีปริมาณ Oxide ในชิ้นงานสูงได้ ภาพ 5.85 แสดงแผนภาพของกระบวนการ Vacuum Plasma Spraying

ภาพ 5.83 ปริมาณของเหลวในละอองโลหะที่ลดลงตามระยะทางที่ละอองโลหะเดินทาง



ภาพ 5.84 แผนภาพ Osprey Process



ภาพ 5.85 แผนภาพของกระบวนการ Vacuum Plasma Spraying

ปัจจุบันกระบวนการ Vacuum Plasma Spraying มีบทบาทสำคัญในการนำไปใช้ผลิต Composite Material จำพวก Particle Strengthen Metal Matrix โดยการป้อนผงโลหะเข้าไปพร้อมกับอนุภาคที่ต้องเสริม ความแข็งแรง เช่น Al – Al_3C_4 และ Al – SiC เป็นต้น

บทที่ 6
การตรวจสอบชิ้นงานอัดขึ้นรูป
Compacted Specimen Examination

6.1 บทนำ

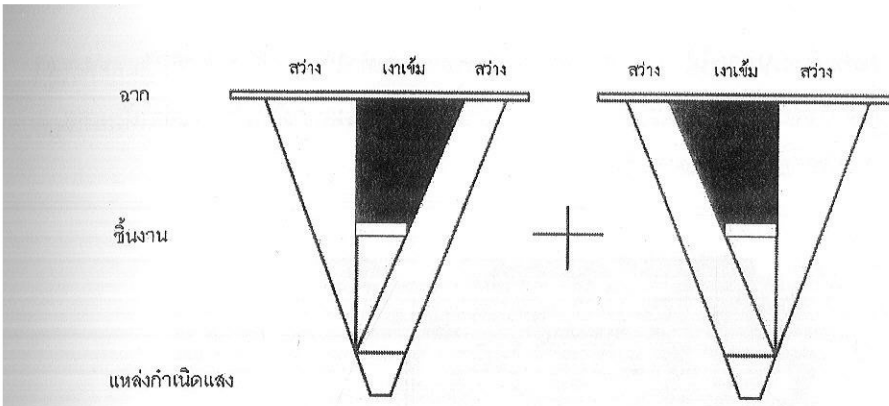
การตรวจสอบชิ้นงานอัดขึ้นรูปมีวัตถุประสงค์หลักในการควบคุมและประกันคุณภาพ ชิ้นงานที่มีข้อบกพร่องจากการอัดขึ้นรูปจะไม่สามารถทำให้กลับคืนมาเป็นชิ้นงานที่มีคุณภาพสูงได้ด้วยการเผาประสานดังนี้รีชั่นงานที่ผ่านการอัดขึ้นรูปถึงควรถูกตรวจสอบก่อนนำไปเผาประสาน นอกจากนี้การตรวจสอบชิ้นงานอัดขึ้นรูปยังมีวัตถุประสงค์เพื่อแยกแยะหาสาเหตุของข้อบกพร่องว่าเกิดขึ้นในขั้นตอนการอัดขึ้นรูปหรือในขั้นตอนการเผาประสาน การตรวจสอบรีชั่นงานหลัก ๆ ได้แก่ การตรวจสอบด้วยสายตา (Eye Inspection), การซั่งน้ำหนักชิ้นงานและการหาค่า Green Strength

6.2 การตรวจสอบด้วยสายตา

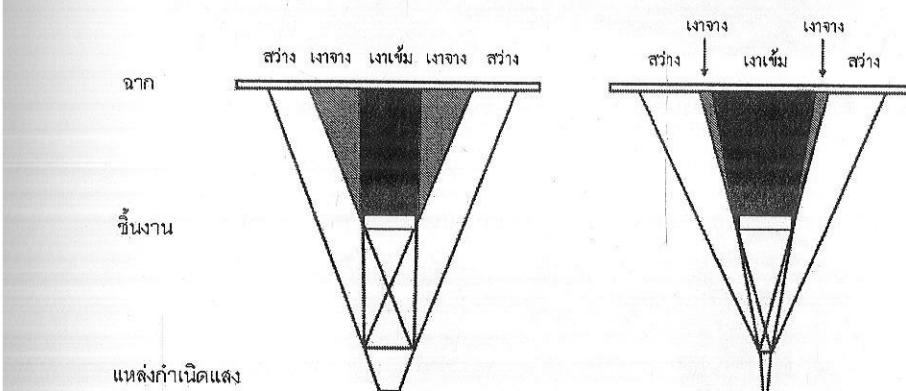
ในโรงงานอุตสาหกรรมการตรวจสอบชิ้นงานอัดขึ้นรูปเพื่อควบคุมคุณภาพที่พื้นฐานที่สุด ได้แก่ การตรวจสอบด้วยสายตา ซึ่งไม่จำเป็นต้องมีอุปกรณ์ตรวจสอบที่มีราคาแพง ต้นทุนการตรวจสอบด้วยสายตาส่วนใหญ่ได้แก่ ค่าจ้างแรงงาน ทั้งนี้เนื่องจากบริษัทฯ มีการตรวจสอบอย่างต่อเนื่อง ถ้าหากทำการตรวจสอบชิ้นงานด้วยสายตาทุกชิ้นก็ต้องการแรงงานจำนวนมาก แต่ถ้าหากใช้วิธีการซักตัวอย่างมาช่วยก็สามารถลดค่าจ้างแรงงานลงได้ อย่างไรก็ตาม สำหรับชิ้นงานที่ต้องตรวจสอบโดยสายตา ควรใช้วิธีการซักตัวอย่างมาช่วยก็สามารถลดค่าจ้างแรงงานลงได้

อุปกรณ์ที่ใช้ในการตรวจสอบด้วยสายตาได้แก่ แว่นขยายและแหล่งกำเนิดแสง สำหรับแว่นขยายสามารถใช้วางขยายทั่วไป ควรใช้วางขยายที่มีขาตั้งแบบปรับตำแหน่งและระดับได้จะทำให้ผู้ตรวจสอบสามารถใช้มือทั้งสองพิลึกชิ้นงานตรวจสอบและจัดวางชิ้นงานได้สะดวก

แหล่งกำเนิดแสงได้แก่หลอดไฟ โดยทั่วไปการตรวจสอบด้วยสายตาชิ้นงานอัดขึ้นรูปจะทำบริเวณใกล้กับเครื่องอัดขึ้นรูป ซึ่งอาจอยู่ในบริเวณที่มีสภาพแสงไม่เหมาะสม แต่ด้วยความจำเป็นที่จะจัดเรียงและนำชิ้นงานไปเผาประสานต่อไปได้สะดวก จึงอาจใช้หลอดไฟขนาดเล็กติดตั้งบริเวณใกล้กับแหล่งขยาย แต่สำหรับชิ้นงานที่ทำการซักตัวอย่างแล้ว สามารถนำชิ้นงานไปตรวจสอบภายในห้องที่มีสภาพแสงเหมาะสม สภาพแสงที่เหมาะสมคือมีแสงกระจายสม่ำเสมอ ซึ่งได้จากแหล่งกำเนิดแสงขนาดใหญ่ ยิ่งแหล่งกำเนิดแสงมีขนาดใหญ่เท่าใด จะยิ่งทำให้เงาที่เกิดขึ้นบนชิ้นงานจากแสงของไฟน้อยลง ภาพ 6.1 แสดงการเกิดข้อบกพร่องจากการถูกชิ้นงานบังทิศทางแสง ซึ่งได้จากการรวมกันของแสงจากขอบทางซ้ายและขอบทางขวาของแหล่งกำเนิดแสง ถ้าแหล่งกำเนิดแสงมีขนาดใหญ่ จะทำให้ขอบทางซ้ายและขวาห่างกันมากขึ้น ภาพ 6.2 เปรียบเทียบลักษณะการเกิดเงาของแหล่งกำเนิดแสงขนาดใหญ่และแหล่งกำเนิดแสงขนาดเล็ก จะเห็นได้ว่าแหล่งกำเนิดแสงขนาดเล็กทำให้เกิดเงาเข้มเนื่องจากมีมุมที่แสงจะเข้าถึงบริเวณที่เป็นเงาอยกว่า ในทางตรงกันข้ามถ้าแหล่งกำเนิดแสงมีขนาดใหญ่จะทำให้เงาที่เกิดขึ้นเป็นเงาจากเพราะมีมุมที่แสงจะเข้าถึงบริเวณที่เป็นเงามากกว่า



ภาพ 6.1 ลักษณะการเกิดของ像



ภาพ 6.2 เปรียบเทียบลักษณะการเกิด像ของแหล่งกำเนิดแสงขนาดใหญ่และแหล่งกำเนิดแสงขนาดเล็ก

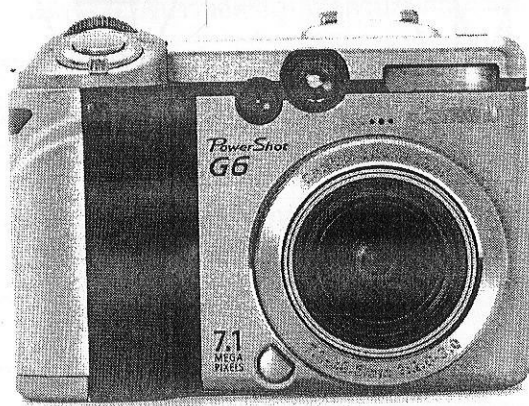
การที่สภาพแสงมีความนุ่มนวลกระจายกว่าทำให้สังเกตเห็นจุดบกพร่องได้ง่ายกว่า ถ้าแสงแข็งส่วนนุ่มนวน ขึ้นงานอาจทำให้เกิดเจาทดสอบบนชิ้นงานและทำให้เข้าใจผิดว่าเป็นรอยแตกได้ การจัดแสงอาจทำได้โดยใช้หลอดไฟดูดหรือเส้นสีติดเป็นแผงรอบ ๆ ห้องตรวจสอบ ค่าความเข้มแสงก็ควรเหมาะสมต่อการตรวจสอบไม่ต่างกันไปจนทำให้ปัดสายตาได้ง่ายหรือมีดูในไปจนทำให้สังเกตได้ยาก

การถ่ายภาพจุดบกพร่องบนชิ้นงานควรถ่ายภาพด้วยสภาพแสงที่นุ่มนวลกระจายด้วยเช่นกัน ควรหลีกเลี่ยงการใช้แฟลชโดยตรง จุดบกพร่องส่วนใหญ่มีขนาดเล็กเนื่องจากชิ้นงานในกระบวนการผลิตผังมีขนาดเล็ก ดังนั้น จุดบกพร่องจึงมีขนาดเล็กตามไปด้วย การถ่ายภาพสิ่งของที่มีขนาดเล็กให้เห็นได้ชัดเจน เลนส์ถ่ายภาพจะต้องสามารถโฟกัสได้ใกล้กว่าปกติจึงจะสามารถถ่ายภาพจุดบกพร่องจากระยะใกล้ได้ โดยที่ไปแล้วเลนส์ถ่ายภาพจะมีระยะโฟกัสใกล้สุด ซึ่งถ้าวัตถุอยู่ที่ระยะไกลกว่านี้จะไม่สามารถโฟกัสและถ่ายภาพให้คมชัดได้ เลนส์ถ่ายภาพที่มีระยะโฟกัสใกล้สุดน้อยได้แก่ เลนส์มาโคร (Macro lens) ซึ่งส่วนใหญ่ทำให้สามารถถ่ายภาพได้ใกล้ชิด 1:1 (ภาพที่ปรากฏบนฟิล์มมีขนาดเท่ากับวัตถุ) ภาพ 6.3 แสดงตัวอย่างเลนส์มาโคร อย่างไรก็ได้ปัจจุบันนิยมถ่ายภาพดิจิตอลแบบพกพามากจะมีขนาดเซ็นเซอร์ที่เล็กกว่าฟิล์มมาก (ภาพ 6.4) ทำให้ทางยาวไฟก์ของเลนส์ที่ติดมากับกล้องน้อย และทำให้สามารถโฟกัสได้ใกล้มาก ซึ่งเพียงพอต่อการถ่ายภาพจุดบกพร่องได้ อย่างไรก็ได้ก็ควรหลีกเลี่ยงการใช้แฟลชโดยตรง เพราะระยะทางจากเลนส์ถึงวัตถุที่น้อยมากอาจทำให้ตัวเลนส์

ไปบังแสงจากแฟลชทำให้เกิดรอยมีดบนภาพได้ แสงที่มาจากการหักทางตรงทำให้ภาพที่ได้ดูไม่มีมิติและทำให้จุดบกพร่องที่มีลักษณะเป็นร่องหรือรอยนูนมองเห็นได้เมื่อดูเจน การให้แสงเยื่องจากด้านข้างจะทำให้มองเห็นจุดบกพร่องที่มีลักษณะเป็นร่องหรือรอยนูนได้ชัดเจนขึ้น



ภาพ 6.3 ตัวอย่างเลนส์มาโครสามารถถ่ายภาพได้กำลังขยาย 1:1 (Life Size)

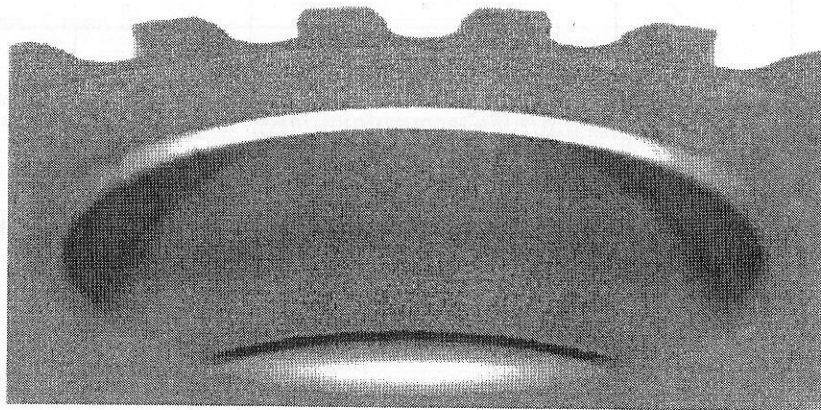


ภาพ 6.4 กล้องดิจิตอลแบบพกพามีระบบไฟกลั่นสีที่มีระยะ focal length 50 มิลลิเมตร

ลักษณะของจุดบกพร่องที่สามารถตรวจสอบด้วยสายตาได้แก่ End Capping, Weak Equator, Localized Crack และ Die Fouling เป็นต้น End Capping เกิดจากการที่บริเวณในชิ้นงานได้รับความเค้นสูงเกินกว่า Ultimate Tensile Strength ทำให้เกิดการแตก End Capping ส่วนใหญ่เกิดบริเวณที่ได้รับความเค้นสูงที่สุดในชิ้นงานซึ่งได้แก่มุมของชิ้นงานด้านที่มีการป้อนแรงดัน ลักษณะการแตกแบบ End Capping จะเป็นเส้นโค้งที่แยกมุมจากมุมของชิ้นงานเข้าไปภายในชิ้นงาน วิธีแก้ไขคือลดแรงดันที่ใช้ในการอัดลงแล้วใช้ Lubricant ช่วยทำให้การกระจายตัวของความหนาแน่นสม่ำเสมอมากขึ้น

Weak Equator เกิดจากบริเวณในชิ้นงานได้รับความเค้นต่ำเกินไป ทำให้บริเวณนั้นมีความหนาแน่นต่ำกว่าบริเวณอื่น Weak Equator จะเกิดขึ้นบริเวณมุมด้านล่างในกรณีการอัดแบบ Single Action และเกิดขึ้นบริเวณใจกลางในกรณีการอัดแบบ Double Action วิธีการสังเกตคือที่บริเวณนั้นจะมีความพุ่นมากกว่าและจะ

ถ้าต้องการว่าบริเวณอื่น ภาพ 6.5 แสดงภาพถ่ายตัวอย่าง Weak Equator จุดบกพร่องแบบนี้อาจทำให้ชิ้นงานเสียหายระหว่างการขันข่ายก่อนແນาประسان วิธีแก้ไขคือเพิ่มปริมาณ Binder และ Lubricant

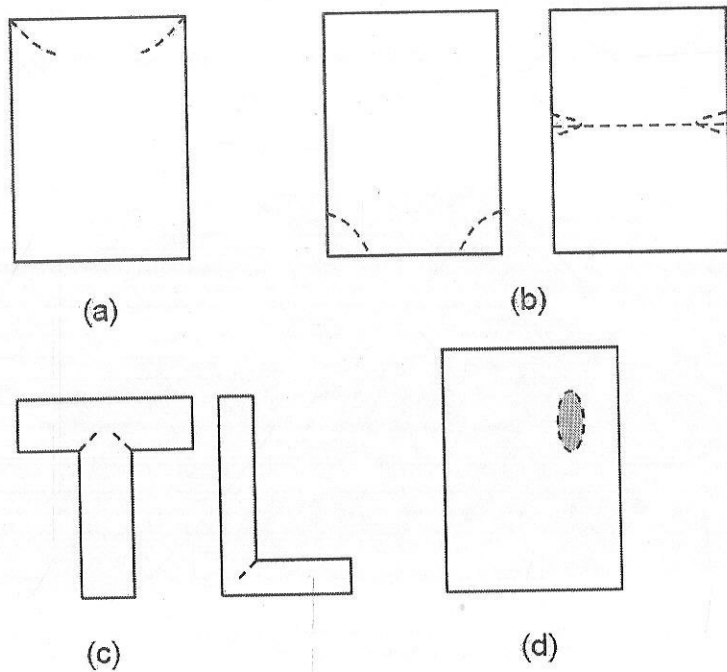


ภาพ 6.5 ภาพถ่ายตัวอย่าง Weak Equator

Localized Crack เกิดจากบริเวณในชิ้นงานได้รับความเดันสูงเกินไป ทำให้เกิดการแตก Localized Crack ต่างจาก End Capping คือ End Capping เกิดจากการแรงดันในการอัดสูงเกินไป แต่ Localized Crack เกิดขึ้นได้เมื่อว่าแรงดันในการอัดไม่สูงเกินไป แต่จะเกิดขึ้นตามบริเวณที่มี Stress Concentration สูง เช่น จุดเปลี่ยนความหนาของชั้นพลั่น, จุดรอยต่อระหว่าง Punch, ขอบ, มุม หรือสัน เป็นต้น ในการตรวจสอบด้วยสายตาควรสังเกตบริเวณเหล่านี้เป็นพิเศษ Localized Crack แก้ไขได้ด้วยการเพิ่มปริมาณ Lubricant Die Fouling เกิดจากการที่ผิวของแม่พิมพ์ลอกออกตามติดกับผิวชิ้นงานเนื่องจากแรงเสียดทานระหว่างชิ้นงานกับผนังของแม่พิมพ์มีมากเกินไป แรงดันที่ใช้ในการอัดชิ้นรูปที่สูงก็เป็นอีกเหตุผลหนึ่งที่ทำให้แรงเสียดทานมากเกินไป จุดบกพร่องแบบนี้จะมีโอกาสเกิดขึ้นได้มากกว่าในช่วงแรกของการใช้งานแม่พิมพ์เนื่องจากเป็นช่วงที่มีอัตราการสึกหรอสูง วิธีการแก้ไขคือเพิ่มปริมาณ Lubricant เพื่อลดแรงเสียดทานระหว่างชิ้นงานและผนังของแม่พิมพ์และในบางกรณีการอุดแบบแม่พิมพ์ที่ดีก็ช่วยป้องกันได้ ภาพ 6.6 แสดงภาพสรุปรวมรูปแบบของจุดบกพร่องจากการอัดชิ้นรูป

6.3 การซั่งน้ำหนักชิ้นงาน

ชิ้นงานที่ผ่านการอัดชิ้นรูปด้วยกระบวนการผลิตจะมีน้ำหนักต่อหน่วยยาวแน่นอน โดยมีช่วงความคาดเดือนของน้ำหนักต่อหน่วยน้อย ดังนั้นหากชิ้นงานที่ผ่านการอัดชิ้นรูปมีน้ำหนักมากหรือน้อยไปกว่าเกณฑ์ที่ยอมรับได้ จะถือว่าเป็นชิ้นงานที่ไม่สมบูรณ์และถูกคัดแยกออกไป ไม่นำไปเผาประسان สาเหตุของการที่ชิ้นงานมีน้ำหนักคลาดเคลื่อนไปจากเกณฑ์ได้แก่ การผังตัวของสิ่งปนเปื้อน, การแตกออกตามบริเวณขอบและมุมของชิ้นงาน, การมีปริมาณ Binder และ Lubricant มากรหรือน้อยเกินไป เป็นต้น



ภาพ 6.6 รูปแบบของขุดบกพร่องจากการอัดขึ้นรูป

a) End Capping b) Weak Equator

c) Localized Crack d) Die Fouling

สำหรับการผังตัวของสิ่งปะนเปื้อนจะทำให้น้ำหนักเปลี่ยนแปลงไป เพราะว่าสิ่งปะนเปื้อนจะมีความถ่วงจำเพาะต่างไปจากวัสดุคงเหลือ ขันตอนที่อาจมีการปะนเปื้อนได้แก่ การผลิตคงเหลือ, การผสมคงเหลือ, การถ่ายเทนส่งคงเหลือ เป็นต้น แหล่งที่มาของลิ่งปะนเปื้อนได้แก่ วัสดุลูกบดที่ใช้ในการผสมคงเหลือ (ในกรณีที่มีการใช้ลูกบดร่วมด้วย), ผังภาชนะที่เกิดการสึกหรอ, ผังแม่พิมพ์และการเกิด Oxide ในขันตอนต่าง ๆ เมื่อเกิดการปะนเปื้อนและถูกอัดขึ้นรูปเป็นชิ้นงานแล้วจะไม่สามารถตรวจสอบด้วยสายตาได้ ยกเว้นการปะนเปื้อนที่สามารถสังเกตด้วยสายตาได้คือ Die Fouling ปริมาณการปะนเปื้อนขึ้นอยู่กับความเสียดทานระหว่างคงเหลือและความสามารถในการหล่อตัวของคงเหลือ เนื่องจากจะทำให้มีอัตราการสึกหรอมาก

การแทกออกตามบริเวณขอบและมุมของชิ้นงานทำให้น้ำหนักของชิ้นงานเปลี่ยนแปลงไปอย่างเห็นได้ และสามารถสังเกตด้วยสายตาได้ สาเหตุของการแทกออกคือมีความหนาแน่น้อยเกินไปทำให้ชิ้นงานมีความแข็งแรงไม่เพียงพอที่จะรับแรงดันขณะนำชิ้นงานออกจากแม่พิมพ์ได้ หรือ อาจเกิดจากได้รับความเค้นขณะอัดมากเกินไปจนเกิดการแทก ซึ่งสามารถแก้ไขโดยปรับปรุง Lubricant ได้

การปีริมาณ Binder และ Lubricant มากหรือน้อยเกินไปก็ทำให้น้ำหนักของชิ้นงานมากหรือต่ำไปกว่าเกณฑ์ได้เช่นกัน ตามปกติแล้วปริมาณของ Binder และ Lubricant จะถูกคำนวณเพื่อให้ได้ Green Density ตามต้องการ แต่ว่าถ้าในขันตอนการผสมคงเหลือ Binder และ Lubricant ถูกผสมไม่ดีพอ ทำให้มีปริมาณไม่เท่ากันในแต่ละบริเวณจะทำให้ชิ้นงานบางชิ้นอาจมี Binder หรือ Lubricant มากหรือน้อยไปจากค่าเฉลี่ย ซึ่งหากค่าความคลาดเคลื่อนที่เกิดขึ้นเกินกว่าเกณฑ์ที่ยอมรับได้ ชิ้นงานจะถูกคัดแยกออก

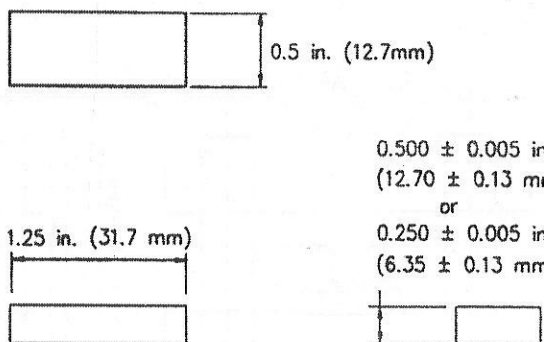
การซึ่งน้ำหนักชิ้นงานมักจะทำบนสายพาน สายพานจะนำชิ้นงานเข้าไปยังเครื่องซึ่งโดยอัตโนมัติ เมื่อหยุดนิ่งและทำการซึ่งแล้ว จะมีแขนกลทำหน้าที่คัดแยกชิ้นงาน ถ้าชิ้นงานมีน้ำหนักตามเกณฑ์ แขนกลก็จะผลัก

ให้ชิ้นงานผ่านไปสู่บริเวณการบดที่เพื่อเผาประสาร แต่หากชิ้นงานมีน้ำหนักไม่เป็นไปตามเกณฑ์ แขนกลจะผลักชิ้นงานให้ตกลงสู่ภาชนะคั่ดแยก ซึ่งจะนำไปเก็บเคราะห์หาสาเหตุต่อไป ในบางครั้งรูปแบบการซั่งน้ำหนักชิ้นงานก็ต่างออกไป เช่นการซั่งน้ำหนัก Connecting Rod ในภาพ 5.78 เป็นต้น

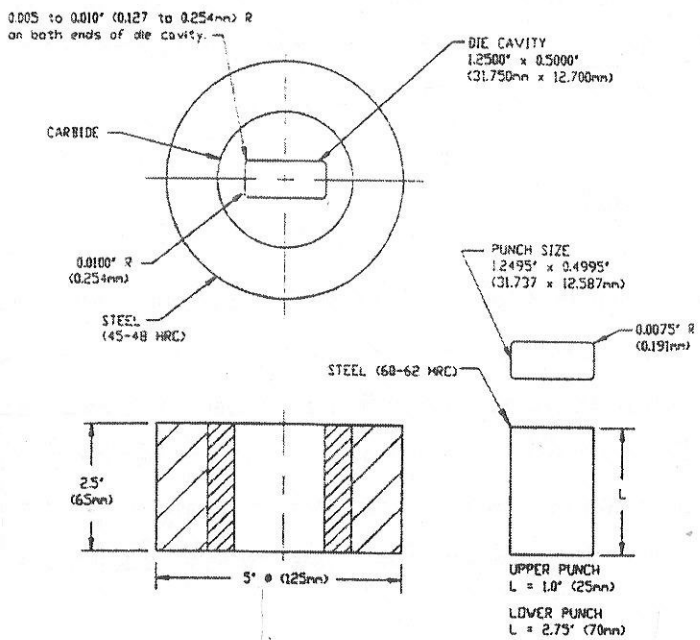
6.4 การทดสอบ Green Strength

การหาค่า Green Strength ของชิ้นงานที่ผ่านการอัดขึ้นรูปมีมาตรฐานการทดสอบคือ ASTM B312 (Standard Test Method for Green Strength for Compacted Metal Powder Specimens) วิธีการทดสอบคือ นำผงโลหะมาอัดขึ้นรูปให้มีรูปร่างตามมาตรฐานและมีปริมาณ Binder, Lubricant ตามที่ต้องการทดสอบ รูปร่างชิ้นงานมาตรฐานมีความหนา 6.35 ± 0.13 หรือ 12.70 ± 0.13 มิลลิเมตร ยาว 31.75 ± 0.13 มิลลิเมตร และกว้าง 12.70 ± 0.13 มิลลิเมตร ภาค 6.6 แสดงรูปร่างชิ้นงานมาตรฐาน ภาค 6.7 แสดงเครื่องมือและแม่พิมพ์ในการอัดขึ้นรูปชิ้นงานมาตรฐาน สำหรับทดสอบ Green Strength ชิ้นงานมาตรฐานแต่ละชิ้นไม่มีความมี Green Density ต่างกันเกิน $\pm 0.05 \text{ g/cm}^3$

ในการอัดขึ้นรูปชิ้นงานมาตรฐานต้องกำหนดปริมาณ Lubricant และ Binder ตามปริมาณที่มีการใช้ผลิตจริง สำหรับการทดสอบผงโลหะที่มีความเสียดทานระหว่างผงโลหะมากสามารถใช้ Zinc Stearate 100 กรัม ผสมกับแอลกอฮอล์ 1 ลิตร ทابนผังแม่พิมพ์ สารเข่วนลอยนี้สามารถติดไฟได้ ดังนั้นจึงควรทำให้ที่ที่มีการถ่ายเทอากาศได้ดี ในการอัดขึ้นรูปให้แรงดันจากสองทิศทาง (Double Action Pressing) ด้วยแรงดันเริ่มต้น 34 MPa และจึงเพิ่มแรงดันจนถึงค่าแรงดันที่ทำให้ได้ขนาดชิ้นงานตามมาตรฐานด้วยอัตรา $414 \pm 34 \text{ MPa/min}$ หลังจากน้ำชิ้นงานออกจากแม่พิมพ์ควรทำความสะอาดบุด้านบนและด้านล่างของชิ้นงาน

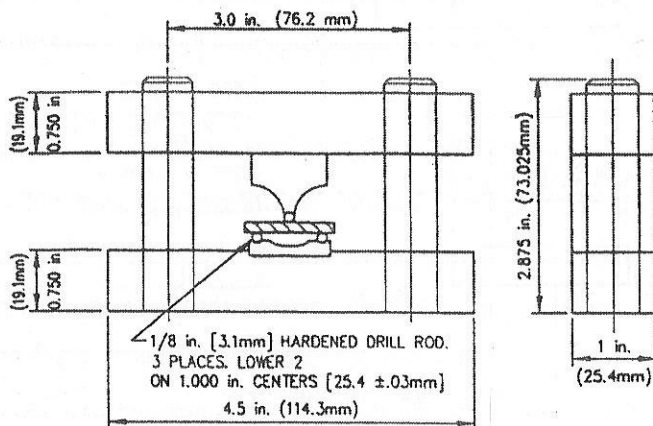


ภาพ 6.6 รูปร่างชิ้นงานมาตรฐาน



ภาพ 6.7 เครื่องมือและแม่พิมพ์ในการอัดขี้นรูปชิ้นงานมาตรฐาน สำหรับทดสอบ Green Strength

หลังจากได้ชิ้นงานมาตรฐานแล้ว นำไปทดสอบ Transverse Rupture Test โดยวางชิ้นงานดังภาพ 6.8 หันด้านบนของชิ้นงานที่ทำเครื่องหมายไว้ขึ้น ค่าย ๆ เลื่อน Cross Head ลงด้วยความเร็ว 0.1 inch/min และให้แรงเพิ่มขึ้นด้วยอัตราคงที่เท่ากับ 89 N/min จนกว่าจะเกิดการแตกหัก บันทึกค่าแรงสูงสุดที่ทำให้เกิดการแตกหัก ได้



ภาพ 6.8 Transverse Rupture Test

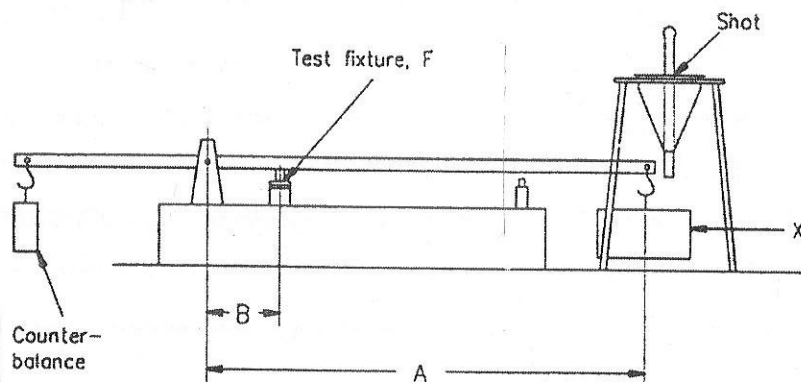
อีกวิธีการนึงคือใช้เครื่อง Constant Loading Beam (ภาพ 6.9) โดยวางชิ้นงานหันด้านบนขึ้นไปที่จุด F แล้วเพิ่มน้ำหนัก Shot ลงในภาชนะ X ให้แรงที่กระทำต่อชิ้นงานด้วยอัตราคงที่เท่ากับ 89 N/min จนกว่าจะเกิด

การแตกหักแล้วบันทึกน้ำหนักที่ทำให้เกิดการแตกหัก
คืองานดังนี้

น้ำหนักที่ใช้สามารถนำมาคำนวณเป็นแรงกระทำต่อ

$$P = \frac{AX}{B}$$

เมื่อ	P	คือ แรงที่กระทำต่อชิ้นงาน (N)
	A	คือ ระยะทาง A ในภาพ 6.9 (m)
	B	คือ ระยะทาง B ในภาพ 6.9 (m)
	X	คือ น้ำหนักของ Shot ที่ทำให้เกิดการแตกหัก (kg)



ภาพ 6.9 เครื่อง Constant Loading Beam

ค่าแรงที่ทำให้ชิ้นงานแตกหักจากทั้ง Transverse Rupture Test และ Constant Loading Beam
สามารถนำมาคำนวณเป็น Green Strength ได้ดังนี้

$$S = \frac{3PL}{2t^2w}$$

เมื่อ	S	คือ Green Strength (MPa)
	P	คือ แรงที่ทำให้ชิ้นงานแตกหัก (N)
	L	คือ ความยาวของชิ้นงาน (m)
	w	คือ ความกว้างของชิ้นงาน (m)
	t	คือความหนาของชิ้นงาน (m)

สำหรับความผ่านเชื่อถือของการทดสอบสามารถตรวจสอบได้จากค่า Repeatability interval (r)

$$r = 0.037S + 78$$

ค่า Green Strength (S) จากการทดสอบเงื่อนไขเดียวกันไม่ควรมีค่าต่างกันเกินค่า r ถ้าต่างกันเกินค่า r ควรตรวจสอบวิธีการทดสอบของวัสดุคุณตัวแปรต่าง ๆ ได้ดีหรือไม่

ถ้าต้องการเปรียบเทียบผลการทดสอบระหว่างเครื่องทดสอบชนิดเดียวแต่คนละเครื่อง หรือผลจากห้องปฏิบัติการคนละแห่ง สามารถตรวจสอบได้จากค่า Reproducibility (R)

$$R = 0.13S + 220$$

ค่า Green Strength (S) จากการทดสอบเงื่อนไขเดียวกันไม่ควรมีค่าต่างกันเกินค่า R ถ้าต่างกันเกินค่า R ควรตรวจสอบเครื่องมือและการควบคุมตัวแปรต่าง ๆ



บทที่ 7

การเผาประสาน : หกษี

Sintering Theory

7.1 บทนำ

ชิ้นงานที่ผ่านการอัดขึ้นรูปจะยังคงมีความแข็งแรงต่ำและต้องทำการเผาประสานเพื่อเพิ่มความแข็งแรง การเผาประสานคือการให้อุณหภูมิแก่ชิ้นงานทำให้เกิดการเริ่มประสานระหว่างผงโลหะ อุณหภูมิที่ใช้ขึ้นอยู่กับ ประเภทของวัสดุผงโลหะ โดยทั่วไปอุณหภูมิเผาประสานจะมีค่าประมาณมากกว่ากึ่งหนึ่งของอุณหภูมิหลอมตัว สัมบูรณ์ (Absolute Melting Temperature) ของวัสดุชนิดนั้น ๆ ดังนั้นจะเห็นได้ว่าอุณหภูมิเผาประสานไม่จำเป็นต้องเกิดขึ้นที่อุณหภูมิสูงก็ได้ เช่น สำหรับน้ำเงินจะเกิดการประสานกันได้ที่อุณหภูมิต่ำ เพราะที่ 0 องศาเซลเซียสถือว่าเป็นอุณหภูมิที่สูงแล้วสำหรับน้ำ ในทำนองเดียวกันสำหรับทังสเตน อาจต้องใช้อุณหภูมิสูงถึง 1800 องศาเซลเซียสในการเผาประสาน

กลไกของการเผาประสานคือการลดลงของพื้นที่ผิว โดยโลหะเมื่ออยู่ในรูปของผงจะมีพื้นที่ผิวต่อหน่วย ปริมาตรสูงมาก เมื่อทำการเผาประสานพื้นที่ผิวผงโลหะจะลดน้อยลงโดยเกิดการเริ่มประสานกัน พลังงานของระบบ (ถือว่าชิ้นงานเป็นระบบ) จะลดลงเท่ากับ γdA ดังนั้นรวมชาติของวัสดุในการลดพื้นที่ผิวคือเพื่อลด พลังงานลงนั่นเอง ยกตัวอย่างเช่น เมื่อวางก้อนน้ำแข็งทรงลูกบาศก์ไว้ที่อุณหภูมิห้อง น้ำแข็งจะเริ่มละลาย ่วนที่ เป็นนม สัน ขอบจะเริ่มโค้งมนขึ้น และถ้าหากไม่มีแรงโน้มถ่วงกระทำ สุดท้ายแล้วน้ำแข็งก็จะกลายเป็นหยดน้ำที่ มีรูปร่างเป็นทรงกลม

ในขณะที่เกิดการเริ่มประสานจะมีการถ่ายเทมวลสารจากบริเวณต่าง ๆ ไปยังจุดเริ่มต้นระหว่างผง โลหะ ทำให้จุดเริ่มต้นเกิดการหดขึ้น กลไกการถ่ายเทมวลสารอาจเกิดจากการแพร่ในสถานะของแข็ง หรือถ้าในขณะนั้นมีเฟสของเหลวเกิดขึ้น ก็อาจเกิดการถ่ายเทมวลสารแบบการหลอดด้วย Capillary Force นอกจากนี้มวลสารบางส่วนอาจกลายเป็นไอและไปควบแน่นทับบริเวณจุดเริ่มต้น ในบางกระบวนการมีการให้แรงดันระหว่างเผาประสานไปด้วย เช่น Hot Isostatic Pressing และ Hot Pressing เป็นต้น แรงดันที่ให้มีส่วนช่วยให้สามารถได้ความหนาแน่นสูงใกล้เคียง Theoretical Density

ถ้าแบ่งการเผาประสานตามวัตถุประสงค์จะแบ่งได้เป็นสองประเภทที่แตกต่างกัน คือ การเผาประสานเพื่อให้ได้ความหนาแน่นสูงสุด เนื่องจากความหนาแน่นสูงสุดมีแนวโน้มที่จะทำให้ได้สมบัติเชิงกลที่ดีกว่า สารอีกประเภทคือการเผาประสานให้ได้รูปร่างและขนาดของรูพรุนตามต้องการ โดยประเภทหลังได้แก่ ชิ้นงานที่ใช้ประโยชน์ของรูพรุน เช่น Self-Lubricated Bearing และ Filter เป็นต้น

เมื่อชิ้นงานที่ผ่านการเผาประสานมีความหนาแน่นขึ้น โดยทั่วไปผลที่ตามมาคือชิ้นงานเกิดการหดตัว งานส่วนใหญ่จะทำการคายเนบิวามการหดตัวแล้วทำการอัดขึ้นรูปชิ้นงานให้มีขนาดเพื่อสำหรับการหดตัวแล้วได้รูปร่างชิ้นงานที่ต้องการ งานบางลักษณะรูปร่างชิ้นงานมีความสำคัญมากกว่าความหนาแน่น ก็อาจทำการเผาประสานที่อุณหภูมิต่ำลงเพื่อลดปริมาณการหดตัว

ในบทนี้จะกล่าวถึงการเผาประสานเฉพาะในส่วนของหกษี โดยรวมไปถึงการหดทวนอุณหพลศาสตร์ ของพื้นผิวและรอยต่อ ซึ่งจะนำมาใช้ใน匕ายกลไกและอัตราการเผาประสาน สำหรับส่วนปฏิบัติซึ่งค่อนข้างจะ

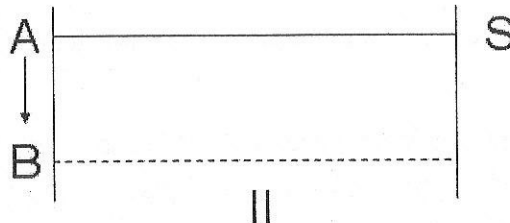
เกี่ยวข้องกับคุณภาพน์, วิธีการและตัวแปร จะได้กล่าวถึงในบทที่ 8 ซึ่งการเข้าใจหลักในการปฏิบัติต้องเข้าใจหลักทฤษฎีเสียก่อน

7.2 อุณหพลศาสตร์ของรอยต่อ

Thermodynamic of Interfaces

ก่อนที่จะเริ่มศึกษาทฤษฎีของการเผาประสานต้องทำความเข้าใจอุณหพลศาสตร์ของรอยต่อเสียก่อน เนื่องจากในการเผาประสานวัสดุได้รับอุณหภูมิสูงเป็นเวลานาน วัสดุจะปรับตัวให้เข้าสู่สมดุลได้เพราเมื่อเวลาและ พลังงานกระตุ้น (Activation Energy) มากพอ ดังนั้นการเปลี่ยนรูปร่างของผงโลหะ การโตขึ้นของเกรน, รูปร่างของเกรน, รูปร่างของรูพุน, รูปร่างของ Second Phase, การโตขึ้นของรอยต่อระหว่างผงโลหะ ทั้งหมดนี้ล้วนทำ ความเข้าใจได้ด้วยอุณหพลศาสตร์ของรอยต่อทั้งสิ้น

ถ้าสมมุติว่าในระบบที่มี Component เดียวระบบหนึ่งมี Grain Boundary "S" แบ่งระหว่างเฟส I และ II เมื่อ Grain Boundary เคลื่อนที่จากจุด A เป็นจุด B ดังภาพ 7.1 จะทำให้เกิดการเปลี่ยนแปลงปริมาตรและมวล ของเฟส I และเฟส II โดยเฟส I จะมีปริมาตรและมวลเพิ่มขึ้น ในขณะที่เฟส II จะมีปริมาตรและมวลลดลง



ภาพ 7.1 Grain Boundary "S" แบ่งระหว่างเฟส I และ II

การเปลี่ยนแปลงปริมาตรและมวลของเฟส I และ II ทำให้ Gibbs free energy เปลี่ยนแปลงไปดังสมการ

$$dG = \underline{G}_I dm_I + \underline{G}_{II} dm_{II} + \gamma dA$$

เมื่อ dG คือ Gibbs free energy ที่เปลี่ยนแปลงไป

\underline{G}_I \underline{G}_{II} คือ Specific Gibbs free energy ของเฟส I และ II

dm_I dm_{II} คือมวลที่เปลี่ยนแปลงไปของเฟส I และ II

γ คือพลังงานพื้นผิว

dA คือพื้นที่ผิวของรอยต่อที่เปลี่ยนแปลงไป

ซึ่งสำหรับระบบที่มี Component เดียวแล้ว \underline{G}_I มีค่าเท่ากับ μ , (Chemical Potential) และที่สมดุล dG มีค่าเท่ากับศูนย์ ดังนั้น

$$\mu_I dm_I + \mu_{II} dm_{II} + \gamma dA = 0$$

แต่เนื่องจากในกรณีที่ร้อยต่อเป็นพื้นผิวเรียบ มวลที่เพิ่มขึ้นของเฟส I จะเท่ากับมวลที่ลดลงของเฟส II

$$dm_I = -dm_{II} = dm$$

$$\mu_I dm - \mu_{II} dm = \gamma dA$$

$$\mu_I - \mu_{II} = \gamma \frac{dA}{dm}$$

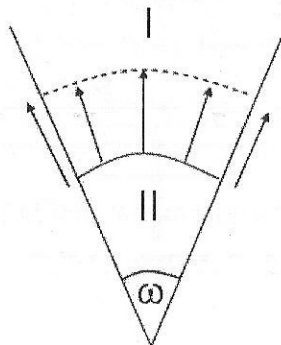
พิจารณาพจน์ $\frac{dA}{dm}$ ในกรณีที่ร้อยต่อเป็นพื้นผิวเรียบ ไม่มีการเปลี่ยนแปลงพื้นที่ผิวเมื่อมวลเปลี่ยนแปลง

ดังนั้น

$$\mu_I = \mu_{II} = \mu_\infty$$

เมื่อ μ_∞ คือค่า Chemical Potential ในกรณีที่ร้อยต่อมีรัศมีความโค้งอนันต์ หรือเป็นผิวเรียบนั่นเอง

พิจารณาร้อยต่อที่มีพื้นผิวโค้งดังภาพ 7.2 จะเห็นได้ว่าถ้าร้อยต่อมีการเคลื่อนที่ $\frac{dA}{dm} \neq 0$



ภาพ 7.2 ร้อยต่อที่มีพื้นผิวโค้งเมื่อเคลื่อนที่ $\frac{dA}{dm} \neq 0$

ถ้านิยามให้ Molar Volume หรือปริมาตรต่อหน่วยมวล $V = \frac{dV}{dm}$

$$\mu_I - \mu_{II} = \gamma \frac{dA}{dm}$$

$$= V \gamma \frac{dA}{dV}$$

จะเห็นได้ว่าพจน์ $\frac{dA}{dV}$ หรือพื้นที่ผิวที่瓜ที่เปลี่ยนแปลงไปเมื่อปริมาตรเปลี่ยนแปลงไปนั้นมีค่าไม่เท่ากับคูณ
เพื่อความสะดวกสมมุติให้พื้นผิวได้เป็นส่วนหนึ่งของทรงกลม

$$dV = \omega r^2 dr$$

$$dA = 2\omega r dr$$

$$\frac{dA}{dV} = \frac{2}{r}$$

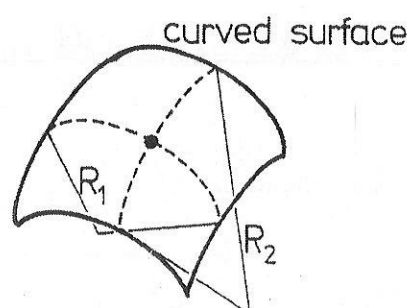
ดังนั้น

$$\begin{aligned}\mu_I - \mu_{II} &= V \frac{dA}{dV} \\ &= V \gamma \frac{2}{r} \\ \mu_I - \mu_{II} &= V \frac{2\gamma}{r}\end{aligned}$$

จะเห็นได้ว่าความแตกต่างระหว่าง Chemical Potential ระหว่างเฟส I และ II ขึ้นอยู่กับรัศมีความโค้งของพื้นผิว rotary ต่อ ยิ่งรัศมีความโค้งของ rotary ต่อเล็ก ค่าความแตกต่างระหว่าง Chemical Potential ระหว่างเฟส I และ II ยิ่งมาก ซึ่งหมายถึงมี Driving Force มากขึ้นด้วยเช่นกัน ในกรณีที่เปลี่ยนเที่ยบระหว่างเฟสที่มีรัศมีความโค้ง r และเฟสที่มีพื้นผิว rotary ต่อเรียบ จะเขียนสมการใหม่ได้ดังนี้

$$\mu_r - \mu_\infty = V \frac{2\gamma}{r}$$

ถ้าหากพื้นผิว rotary ต่อไม่ได้เป็นส่วนหนึ่งของทรงกลม กล่าวคือมีรัศมีความโค้งไม่เท่ากันในแต่ละทิศทางดังภาพ 7.3 ต้องทำการนิยาม Principal Radii ซึ่งเป็นรัศมีความโค้งในทิศทางที่ตั้งฉากกัน สมการจะเขียนใหม่ได้ดังนี้



R_1 & R_2 = principal radii of curvature

ภาพ 7.3 Principal radii of curvature

$$\mu_{r_1, r_2} - \mu_\infty = V\gamma \left[\frac{1}{r_1} + \frac{1}{r_2} \right]$$

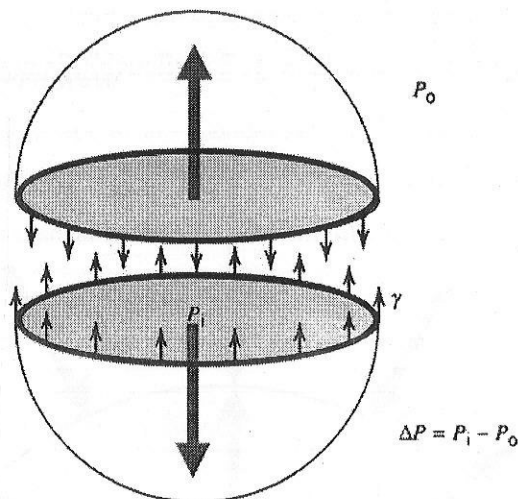
และถ้าให้

$$K = \frac{1}{2} \left[\frac{1}{r_1} + \frac{1}{r_2} \right]$$

ดังนั้น

$$\mu_{r_1, r_2} - \mu_\infty = 2V\gamma K$$

อีกวิธีการหนึ่งในการพิสูจน์สมการความแตกต่างระหว่าง Chemical Potential ทำได้โดยใช้กลศาสตร์ โดยสมมุติว่ามีพื้นผิวรายต่อเป็นทรงกลมถูกล้อมรอบด้วยเฟสอื่น ดังภาพ 7.4



ภาพ 7.4 พื้นผิวรายต่อทรงกลม

ถ้าภายในและภายนอกพื้นผิวรายต่อ มีความดันไม่เท่ากัน แรงที่พยายามจะแยกพื้นผิวรายต่อออกจากกัน จะกระทำต่อพื้นที่ภาคตัดขวางของทรงกลม ส่วนแรงที่พยายามรังপ์พื้นผิวรายต่อไว้ด้วยกันคือแรงดึงผิวที่กระทำต่อเส้นขอบวงของทรงกลม ดังนั้น

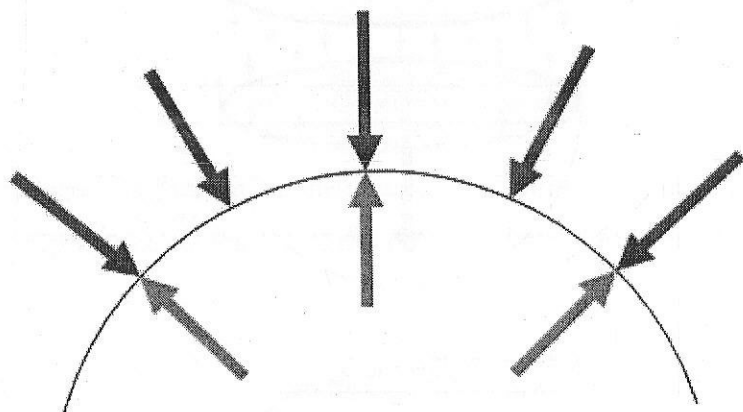
$$\begin{aligned}\sum F_y &= 0 \\ \pi r^2 \Delta P &= 2\pi r \gamma \\ \Delta P &= \frac{2\gamma}{r}\end{aligned}$$

เนื่องจาก

$$\begin{aligned}d\mu &= \underline{V} dP \\ \int d\mu &= \int \underline{V} dP \\ \int_{\mu_0}^{\mu_i} d\mu &= \underline{V} \int_{P_0}^{P_i} dP \\ \mu_r - \mu_\infty &= \underline{V}(P_i - P_0) \\ &= \underline{V} \Delta P \\ \mu_r - \mu_\infty &= \underline{V} \frac{2\gamma}{r}\end{aligned}$$

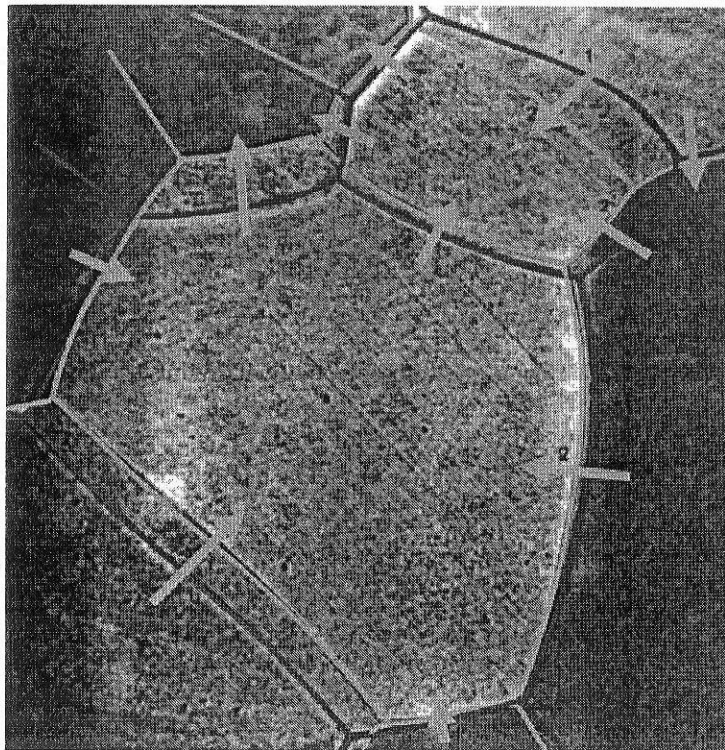
ซึ่งก็คือสมการเดียวกันนั่นเอง

ถ้าพิจารณาพื้นผิวโค้งจะพบว่าพื้นผิวนิวรอยต่อด้านนูนจะมี Stress Concentration มากกว่าด้านเว้า ดังภาพ 7.5 ดังนั้นที่อุณหภูมิสูง ซึ่งรอยต่อมี Mobility ต่ำ ผิวนูนมีแนวโน้มที่จะหลุดหายไป ส่วนผิวเว้ามีแนวโน้มที่จะขยายตัวออกไป



ภาพ 7.5 ลักษณะแรงที่กระทำบนพื้นผิวนิวรอยต่อ

ดังนั้นเมื่อนำเข้าขึ้นงานโลหะไปอบที่อุณหภูมิสูงเป็นเวลานานจะทำให้ Grain Boundary ด้านนูนหลุดหายไป และ Grain Boundary ด้านเว้าขยายตัวออกดังภาพ 7.6



ภาพ 7.6 การเคลื่อนทั้งของ Grain Boundary เมื่อจากความโด้ง

7.2.1 ผลของความโด้งต่อความดันไอ

การกลายน้ำไอและควบแน่น (Evaporation – Condensation) เป็นรูปแบบหนึ่งของการถ่ายเทนวัล莎ร์ ที่มีความโด้งของพื้นผิวอยู่ต่ำกว่าความดันไอ ซึ่งมีผลต่อการถ่ายเทนวัล莎ร์เข่นกัน ที่สมดุลทางเคมี Chemical Potential ของของแข็งและไอมีค่าเท่ากัน

$$\mu_c = \mu_v$$

ซึ่งสมการข้างต้นเป็นจริงสำหรับกรณีร้อยต่อที่มีผิวเรียบและร้อยต่อที่มีความโด้ง

$$\mu_{c,r} = \mu_{v,r}$$

$$\mu_{c,\infty} = \mu_{v,\infty}$$

$$\mu_{c,r} - \mu_{c,\infty} = V \frac{2\gamma}{r}$$

และด้วยนิยามของ Fugacity

$$G_{i,2} - G_{i,1} = RT \ln \frac{f_{i,2}}{f_{i,1}} = \mu_{i,2} - \mu_{i,1}$$

ดังนั้น

$$\mu_{c,r} - \mu_{c,\infty} = RT \ln \frac{f_r}{f_\infty}$$

และในทำนองเดียวกันสำหรับเฟสที่เป็นไอจะเขียนได้ว่า

$$\mu_{v,r} - \mu_{v,\infty} = RT \ln \frac{f_r}{f_\infty}$$

สำหรับ Ideal Gas แล้ว Fugacity มีค่าเท่ากับความดันไอดังนั้น

$$\mu_{c,r} - \mu_{c,\infty} = RT \ln \frac{P_r^\circ}{P_\infty^\circ}$$

เมื่อ P_r° คือ ความดันไอของอนุภาคที่มีรัศมีความโด้งเท่ากับ r
จดภูปสมการใหม่ได้ดังนี้

$$\ln \frac{P_r^\circ}{P_\infty^\circ} = \frac{V}{RT} \frac{2\gamma}{r}$$

จากสมการจะเห็นได้ว่า ยิ่งค่า r น้อยจะยิ่งทำให้ค่า P_r° มากขึ้น ซึ่งหมายความว่าถ้ามีอนุภาคของเล็ก และใหญ่อยู่ใกล้เคียงกัน อนุภาคขนาดเล็กมีแนวโน้มที่จะกล้ายเป็นไอ เนื่องจากมีค่า P_r° มากกว่าแล้วจากค่า P_∞° ที่มากกว่าจะทำให้มวลสารถูกแพร่ไปยังบริเวณที่มีค่า P_r° ต่ำกว่าซึ่งก็คือบริเวณที่มีอนุภาคขนาดใหญ่ และเมื่อไอของมวลสารอิ่มตัวก็จะเกิดการควบแน่นบริเวณอนุภาคที่มีขนาดใหญ่ ปรากฏการณ์นี้ทำให้อนุภาคขนาดเล็กจะค่อย ๆ กล้ายเป็นไอหายไป และอนุภาคขนาดใหญ่จะเกิดการโดยทั่วไป ทำให้จำนวนประชากรของอนุภาคน้อยลงแต่มีขนาดเฉลี่ยใหญ่ขึ้น

ตัวอย่างการใช้สมการข้างต้นได้แก่ ถ้ามีเส้นลวดทำจากเงินเส้นผ่านศูนย์กลาง 1 ไมครอนถูกนำไปบนภายในได้สูญญากาศที่อุณหภูมิ 1000 K สามารถคำนวณความดันไอของเส้นลวดดังกล่าวสัมพันธ์กับความดันไอของเงินที่มีพื้นผิวเรียบได้ดังนี้

ข้อมูล :

น้ำหนักอะตอมของ Ag	=	107.88	g/mol
ความหนาแน่นของ Ag	=	10.49	g/cm ³
γ ที่ 1000 K	=	1140	ergs/cm ²
	=	1.14	J/m ²

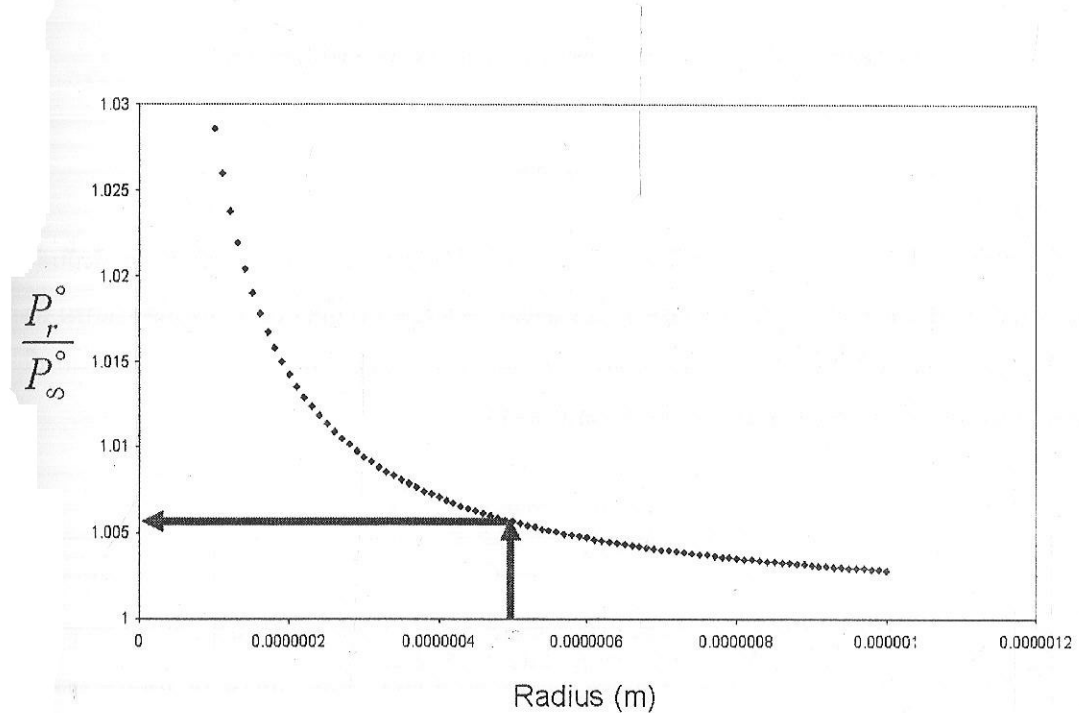
$$\ln \frac{P_r^{\circ}}{P_{\infty}^{\circ}} = \frac{V}{RT} \frac{2\gamma}{r}$$

$$\frac{P_r^{\circ}}{P_{\infty}^{\circ}} = \exp \left(\frac{\frac{V}{RT} 2\gamma}{r} \right)$$

$$= \exp \frac{\left(\frac{107.88}{10.49} \right) (2)(1.140)}{(8.314)(1000)(0.5 \times 10^{-6})}$$

$$= 1.00565$$

หรือถ้านำมาสร้างเป็นกราฟได้ดังภาพ 7.7

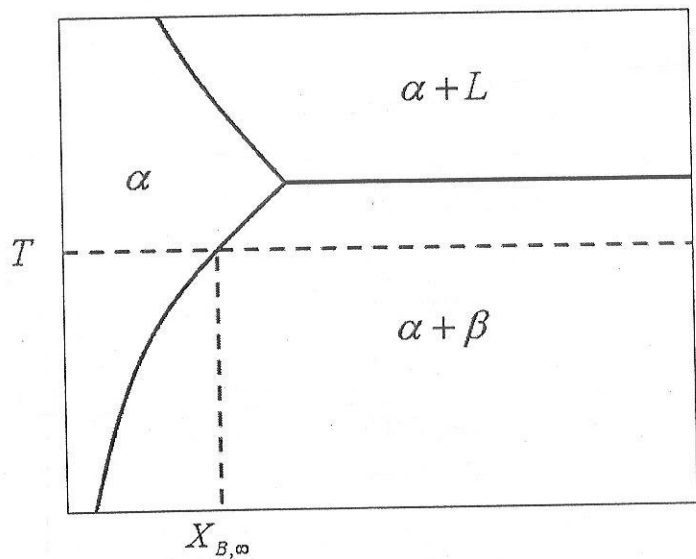


ภาพ 7.7 ความสัมพันธ์ระหว่างรัศมีของเส้นลวด Ag กับ $\frac{P_r^{\circ}}{P_{\infty}^{\circ}}$

7.2.2 ผลของการเปลี่ยนแปลงต่อความสามารถในการละลาย

ความโกรังค์มีผลต่อความสามารถในการละลายด้วยเช่นกัน ซึ่งความสามารถในการละลายจะเป็นตัวกำหนดการมีอยู่ของ Second Phase กล่าวคือถ้าสัดส่วนมีความสามารถในการละลายสูงจะทำให้ Second Phase ละลายไป ถ้าสัดส่วนมีความสามารถในการละลายต่ำจะทำให้เกิดการตกผลึก Second Phase มากขึ้น

ค่าความสามารถในการละลาย (Solubility) ที่อ่านได้จากเฟสไดอะแกรม ดังภาพ 7.8 คือค่าความสามารถในการละลายของร้อยต่อที่มีพื้นผิวเรียบ ($r = \infty$)



ภาพ 7.8 การข่านค่าความสามารถในการละลายที่อุณหภูมิใด ๆ จากเฟสไดอะแกรม

$$X_B = X_{B,\infty}$$

ซึ่งในทางปฏิบัติ Second Phase จะมีขนาดเล็กมาก หรือมีรสมีความเดิงน้อยกว่าอนันต์มาก ดังนั้นค่าความสามารถในการละลายของ Second Phase ทั่วไปนั้นจะแตกต่างไปจากค่าที่อ่านได้จากเฟสไดอะแกรม ถ้าสมมุติให้ Second Phase มีพื้นผิวรอยต่อแบบทรงกลม ค่าความแตกต่างของ Chemical Potential ระหว่างกรณีที่มีรอยต่อเป็นพื้นผิวโค้งและรอยต่อที่มีพื้นผิวเรียบคำนวนได้จาก

$$\mu_{B,r} - \mu_{B,\infty} = \frac{2V\gamma_{\alpha-\beta}}{r}$$

เมื่อ $\gamma_{\alpha-\beta}$ คือ Interfacial free energy ระหว่างเฟส α และ β
จาก

$$\begin{aligned}\mu_H - \mu_I &= RT \ln \left(\frac{f_H}{f_I} \right) \\ &= RT \ln a\end{aligned}$$

ถ้าให้ ∞ เป็น Standard State จะได้ว่า

$$\mu_{B,r} - \mu_{B,\infty} = RT \ln a_{B,r}$$

$$\mu_{B,r} = \mu_{B,\infty} + RT \ln a_{B,r}$$

ถ้าสมมุติให้ค่า Activity ($a_{B,r}$) เป็นพื้นที่สัมภันธ์กับ Mole Fraction (x_B) หรือตาม Henry's Law ซึ่งในทางปฏิบัติส่วนใหญ่แล้ว Second Phase จะมีความสามารถในการละลายน้อย และ Henry's Law ก็สามารถใช้ได้กับกรณี Dilute Solution ได้ดี จึงเป็นสมมุติฐานที่ค่อนข้างนำไปใช้ก็ได้ จากสมมุติฐานนี้เราจะเขียนความสัมพันธ์ระหว่าง a_B และ x_B ได้ดังนี้

$$a_B = kx_B$$

จากความรู้ที่ว่าค่า Activity จะมีค่าเท่ากับ 1 ที่รอยต่อระหว่างเฟลส α และ β

$$1 = kx_{B,\infty}$$

$$k = \frac{1}{x_{B,\infty}}$$

ดังนั้น

$$a_{B,r} = \frac{x_{B,r}}{x_{B,\infty}}$$

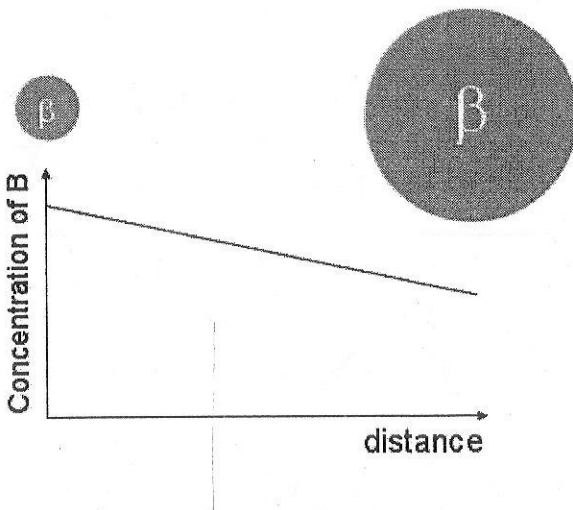
$$\begin{aligned}\mu_{B,r} - \mu_{B,\infty} &= RT \ln a_{B,r} \\ &= RT \ln \frac{x_{B,r}}{x_{B,\infty}} = \frac{2V\gamma_{\alpha-\beta}}{r} \\ &= \ln \frac{x_{B,r}}{x_{B,\infty}} = \frac{V}{RT} \frac{2\gamma_{\alpha-\beta}}{r}\end{aligned}$$

จากสมการจะเห็นได้ว่าความสามารถในการละลายจะเพิ่มขึ้นเมื่อขนาดอนุภาคเล็กลง ($x_{B,r}$ เพิ่มขึ้นเมื่อ r เล็กลง) ดังนั้นถ้ามีอนุภาค Second Phase ขนาดแตกต่างกันอยู่ใกล้เคียงกัน จะทำให้บริเวณรอบ ๆ อนุภาคทั้งสองมีความสามารถในการละลายไม่เท่ากัน และเกิด Concentration Gradient ขึ้นดังภาพ 7.9

เมื่อความสามารถในการละลายบริเวณรอบ Second Phase ขนาดเล็กสูงกว่าจะทำให้อนุภาคนั้นละลายตัวจนมีขนาดเล็กลงและการเกิดการแพร่จาก Concentration Gradient ไปยังบริเวณที่มีความสามารถขึ้นต่ำกว่าหรือบริเวณรอบ ๆ อนุภาค Second Phase ขนาดใหญ่กว่า และเมื่อความสามารถขึ้นต่ำลงนี้มีความสามารถในการละลายก็จะทดลองให้ Second Phase มีขนาดใหญ่ขึ้น เมื่อปีกากภารณ์นี้ดำเนินไปเรื่อย ๆ จะทำให้อนุภาค Second Phase ที่มีขนาดเล็ก ละลายตัวและหายไปในที่สุด ส่วนอนุภาคขนาดใหญ่ก็จะขยายตัวไปเรื่อย ๆ ทำให้จำนวนประชากรของ Second Phase ลดลงและมีขนาดเฉลี่ยใหญ่ขึ้น ปรากฏการณ์นี้เรียกว่า "Ostwald Rippening"

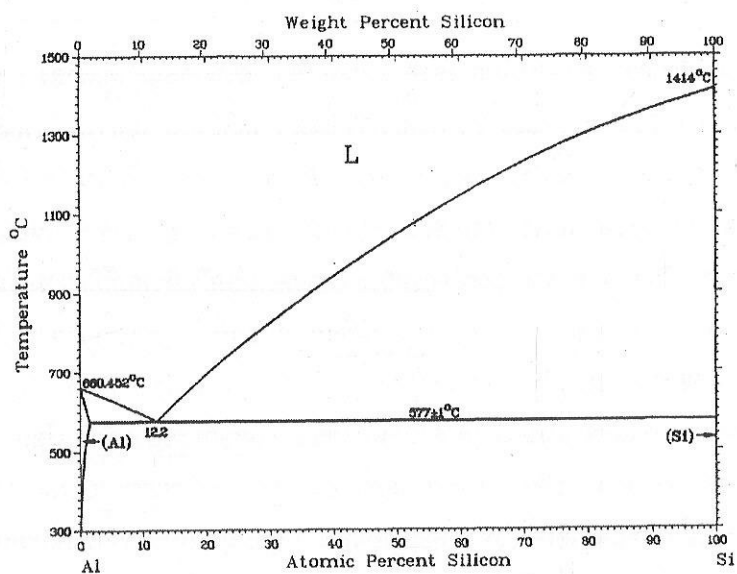
อันที่จริงแล้วทฤษฎีเดียวกับทางเคมีฟิสิกส์โดยสมมุติให้ประชากรแต่ละคนมีเงินออมมากน้อยต่างกัน (เทียบได้กับค่า r) ด้วยระบบอัตราดอกเบี้ยจะทำให้คนที่มีเงินออมน้อยจะจนลงเรื่อย ๆ และคนที่มีเงินออมมากก็จะรวยขึ้นเรื่อย ๆ โดยที่ไม่ต้องลงทุนอะไร ในเวลาเดียวกันจำนวนเงินออมเฉลี่ยของประชากรก็จะ

สูงขึ้นเรื่อยๆ และเมื่อคนที่มีเงินออมปานกลางมีเงินออมน้อยกว่าค่าเฉลี่ยก็จะเริ่มจนลงเรื่อยๆ ทฤษฎีนี้บอกว่า คนจนจะจนลงและมีจำนวนมากขึ้นเรื่อยๆ ส่วนคนรวยจะรวยขึ้นและมีจำนวนน้อยลง ซึ่งปรัชญาของระบบบุคคลของระบบทุนนิยมจะทำให้เกิดความแตกต่างระหว่างชนชั้นมากขึ้น เนื่องจากระบบทุนนิยมจะทำให้เกิดความ



ภาพ 7.9 Concentration Gradient ระหว่างอนุภาค Second Phase ที่มีขนาดแตกต่างกัน

กรณีตัวอย่างสำหรับผลของการความเคืองต่อความสามารถในการละลาย ได้แก่ Si phase ในโลหะผสม Al-Si ด้านนำโลหะผสม Al-Si ไปอบที่อุณหภูมิ 723 K โดยจากแผนภูมิสมดุลอ่านความสามารถในการละลายของ Si ใน Al ได้เท่ากับ 0.05 at% 说明ความสามารถในการละลายของ Al ใน Si มีค่าน้อยมากสามารถประมาณได้ว่า เท่ากับศูนย์ ถ้าอนุภาค Si มีขนาดเด่นผ่านศูนย์กลาง 100 \AA สามารถคำนวณความสามารถในการละลายใน Al ได้ดังนี้



ภาพ 7.10 แผนภูมิสมดุลของ Al-Si

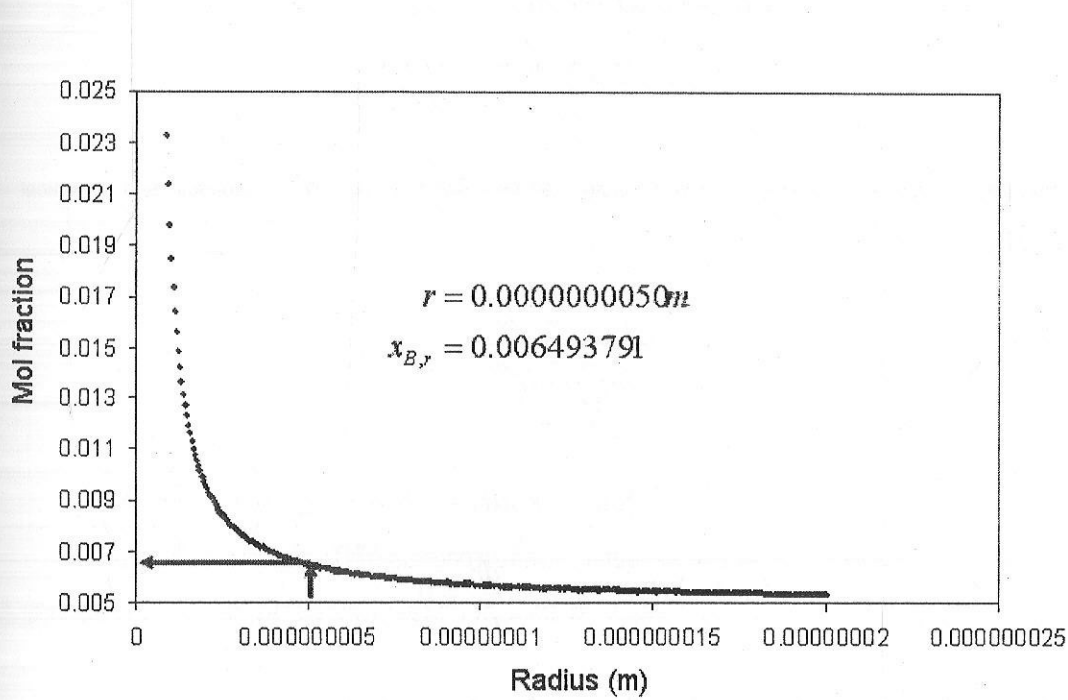
ข้อมูล :

น้ำหนักอะตอม Si	=	27 g/mol
ความหนาแน่น Si	=	2.7 g/cm ³
γ ของ Si-Al ที่ 723 K	=	0.42 J/m ²

จาก

$$\ln \frac{x_{B,r}}{x_{B,\infty}} = \frac{V}{RT} \frac{2\gamma_{\alpha-\beta}}{r}$$
$$\frac{x_{B,r}}{x_{B,\infty}} = \exp \left(\frac{\frac{V}{RT} \frac{2\gamma_{\alpha-\beta}}{r}}{\left(\frac{2.7}{27} \right) \frac{(2)(0.42)}{(8.314)(723)(0.5 \times 10^{-10})}} \right)$$
$$= \exp 0.006493791$$

หรือนำความสัมพันธ์มาสร้างเป็นกราฟได้ดังภาพ 7.11



ภาพ 7.11 ความสัมพันธ์ระหว่างรัศมีของอนุภาค Si และ Solubility ของ Si ใน Al ที่อุณหภูมิ 723 K

7.2.3 ผลของความคึ้งต่อจุดหลอมตัว

ความคึ้งมีผลต่อจุดหลอมตัว ตัวอย่างก็คือถ้ามีเข็มแท่งหนึ่งมีปลายแหลม จุดหลอมตัวที่บริเวณปลายแหลมจะแตกต่างไปจากบริเวณอื่น โดยรวมจะสังเกตได้ว่าบริเวณปลายแหลมนักจะเกิดการหลอมตัวเป็นบริเวณแรก ปรากฏการณ์นี้อธิบายได้ด้วยความคึ้งนั้นเอง

ที่สมดุลหรือที่จุดหลอมตัวอุณหภูมิของของเหลวจะเท่ากับอุณหภูมิของของแข็ง เนื่องจากเป็นอุณหภูมิที่มีสมดุลร่วมกันระหว่างของเหลวและของแข็ง ดังนั้น

$$T_s = T_l$$

$$\mu_s = \mu_l$$

และจากความรู้พื้นฐาน

$$P_s = P_l + \frac{2\gamma_{l-s}}{r}$$

จากนิยามของ Chemical Potential

$$d\mu_l = -S_l dT + V_l dP_l$$

$$d\mu_s = -S_s dT + V_s dP_s$$

$$= -S_s dT + V_s d\left(P_l + \frac{2\gamma_{l-s}}{r}\right)$$

ที่สมดุลค่า Chemical Potential ของเฟสของเหลวและของแข็งจะเท่ากัน และ differential ของ Chemical Potential ก็เท่ากันด้วย ดังนั้น

$$\mu_s = \mu_l$$

$$d\mu_s = d\mu_l$$

$$-S_l dT + V_l dP_l = -S_s dT + V_s d\left(P_l + \frac{2\gamma_{l-s}}{r}\right)$$

$$(S_l - S_s) dT - (V_l - V_s) dP_l - 2V_s \gamma_{l-s} \frac{dr}{r^2} = 0$$

ถ้าสมมติให้เฟสของเหลวไม่มีการเปลี่ยนแปลงความดัน ($dP_l = 0$)

$$dP_l = 0$$

$$S_l - S_s = \Delta S_m$$

$$(S_l - S_s) dT - (V_l - V_s) dP_l - 2V_s \gamma_{l-s} \frac{dr}{r^2} = 0$$

$$\Delta S_m dT - 2V_s \gamma_{l-s} \frac{dr}{r^2} = 0$$

$$\Delta S_m dT = 2V_s \gamma_{l-s} \frac{dr}{r^2}$$

$$\Delta S_m \int_{T_\infty}^{T_r} dT = 2V_s \gamma_{l-s} \int_{r=\infty}^{r=r} \frac{dr}{r^2}$$

$$\Delta S_m (T_r - T_\infty) = -\frac{2V_s \gamma_{l-s}}{r}$$

$$\Delta S_m \Delta T = -\frac{2V_s \gamma_{l-s}}{r}$$

$$\Delta T = -\frac{2V_s \gamma_{l-s}}{\Delta S_m} \frac{1}{r}$$

และจาก

$$\Delta S_m = \frac{\Delta H_m}{T_m}$$

ดังนั้น

$$\Delta T = -\frac{2V_s \gamma_{l-s} T_m}{\Delta H_m} \frac{1}{r}$$

วิเคราะห์หน่วยได้ดังนี้

$$K = \frac{\left(\frac{m^3}{mol}\right)\left(\frac{J}{m^2}\right)(K)}{\left(\frac{J}{mol}\right)(m)}$$

สมการข้างต้นสามารถนำไปใช้คำนวณการเปลี่ยนแปลงของจุดหลอมตัวของผงโลหะที่มีขนาดเล็กมาก ๆ ได้ ยกตัวอย่าง เช่น ต้องการคำนวณจุดหลอมตัวของผงทองคำที่มีรัศมี $100 \text{ } \text{Å}$

ข้อมูล :

จุดหลอมตัวของ Au	=	1336	K
Molar Volume	=	10.2×10^{-6}	m^3/mol
ΔH_m	=	12360	J/mol
γ_{s-l}	=	0.132	J/m ²

$$\Delta T = -\frac{2V_s \gamma_{l-s} T_m}{\Delta H_m} \frac{1}{r}$$

$$= -\frac{2(10.2 \times 10^{-6})(0.132)(1336)}{12360} \frac{1}{10^{-8}}$$

$$= -29.1 K$$

$$T_{m,r} = T_{m,\infty} + \Delta T$$

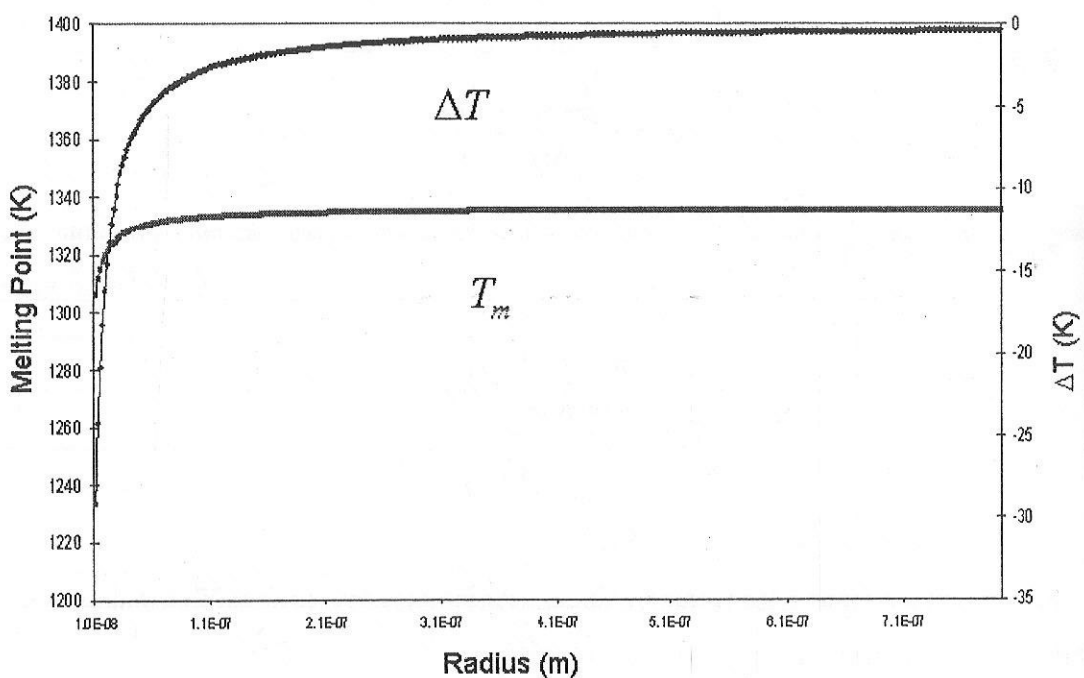
$$= 1336 - 29.1$$

$$= 1306.9 K$$

ດ້ານນຳໄປເປົ້າຍບເທິຍບກັບກຣນີ Bulk Au ຈະໄດ້

$$\frac{T_{m,r}}{T_{m,\infty}} = 0.985$$

ດ້ານນຳສາມາດໄປສ້າງເປັນກຣາຟຈະໄດ້ດັ່ງການ 7.12

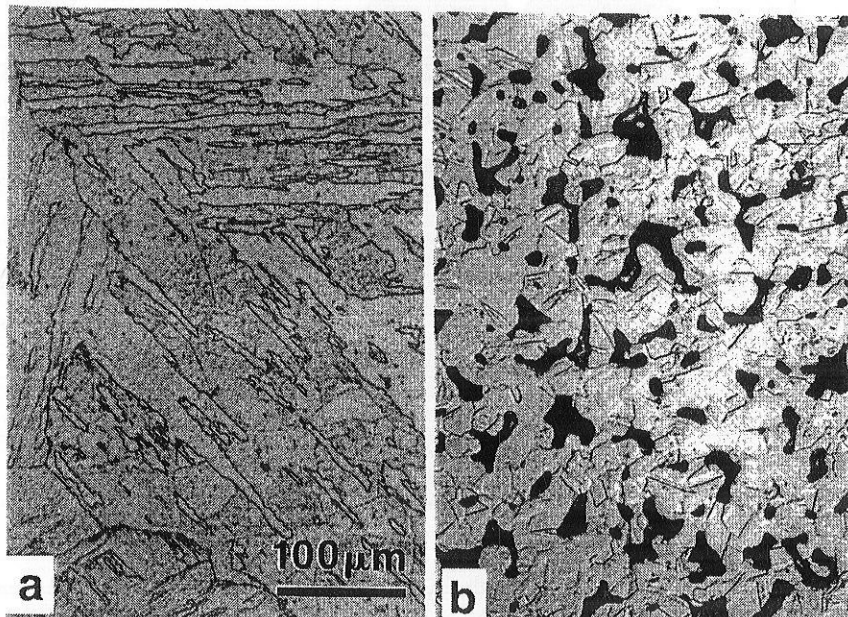


ການ 7.12 ຄວາມສ່ວນຮັບຮ່າງຮັບມືຂອງພົງທອນຄຳກັບຈຸດລອມຕັກ

ຈະເຫັນໄດ້ວ່າຍິງອນນູກາຄມືຂາດເລີກ ຈຸດລອມຕັກຈະຍິ່ງຕໍ່າລັງ ດັ່ງນັ້ນໃນການເລືອກອຸນຫກມີເປົ້າປະສານຕ້ອງ
ຄໍານຶ່ງທີ່ຂາດອນນູກາຄຕໍ່າຍ

7.3 กลไกการถ่ายเทมวลสารในการเผาประสาน

เมื่อชิ้นงานได้รับความร้อนจะเกิดการเข้มต่อระหว่างองlobne. สำหรับกลไกการเผาประสานได้แก่การลดพลังงานพื้นผิวลงด้วยการลดพื้นที่ผิวภายนอกของโลหะและพื้นที่ผิว Grain Boundary ซึ่งกรณีหลังทำให้เกิดกระบวนการขึ้นหรือที่เรียกว่า "Grain Growth" เมื่อให้ความร้อนกับชิ้นงานต่อไปปริมาณวัสดุจะลดลงได้จาก การหดตัวของชิ้นงาน โดยที่ว่าไปแล้วลักษณะงานเปลี่ยนไปตามเป้าหมายในการเผาประสาน คืองานที่เผาประสานเพื่อเพิ่มความแข็งแรงเป็นหลักจะต้องการความหนาแน่นสูงและยอมให้มีการหดตัวได้และออกแบบให้ Green Compact มีขนาดใหญ่กว่ารูปปั้นชิ้นงานสุดท้ายที่ต้องการ และอีกประการหนึ่งคืองานที่เผาประสานเพื่อเพิ่มความแข็งแรงโดยยังคงรักษารูปปั้นชิ้นงานไว้ได้ งานประทัดหลังนี้ส่วนหนึ่งเป็นงานที่อาศัยความพูนของโครงสร้างในการใช้งาน ตัวอย่างของงานที่เผาประสานเพื่อให้ได้ความหนาแน่นสูงเท่าที่จะทำได้ ได้แก่ เหล็กกล้า, Silicon Nitride, Alumina, Cemented Carbide, Silicon Carbide เป็นต้น ในทางตรงกันข้ามในการเผาประสานชิ้นงานพวก Capacitor, Casting Core, Bearing, Filter, Sound Absorber พยายามที่จะให้ได้ชิ้นงานที่มีความแข็งแรงเพิ่มขึ้นโดยไม่มีการเพิ่มความหนาแน่นขึ้น ภาพ 7.13 แสดงภาพถ่ายโครงสร้างจุลภาคของเหล็กกล้าไร้สนิมที่ผ่านการเผาประสาน จะเห็นได้ว่าในภาพ 7.13a) ชิ้นงานมีความหนาแน่นสูงสุดในขณะที่ภาพ 7.13b) โครงสร้างของชิ้นงานประกอบไปด้วยรูพรุน



ภาพ 7.13 ภาพถ่ายโครงสร้างจุลภาคของเหล็กกล้าไร้สนิมที่ผ่านการเผาประสาน

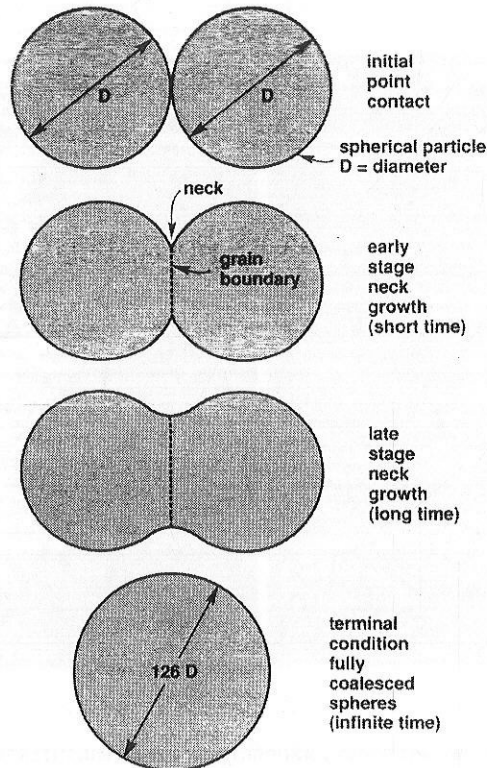
- a) ชิ้นงานมีความหนาแน่นสูงสุด
- b) โครงสร้างของชิ้นงานประกอบไปด้วยรูพรุน

อุณหภูมิเผาประสานชิ้นอยู่กับวัสดุและขนาดองlobne อุณหภูมิเผาประสานนิยมบอกเป็น Homologous Temperature ซึ่งคืออัตราส่วนระหว่างอุณหภูมิเผาประสานหารด้วยจุดหลอมตัวของวัสดุชนิดนั้น วัสดุส่วน

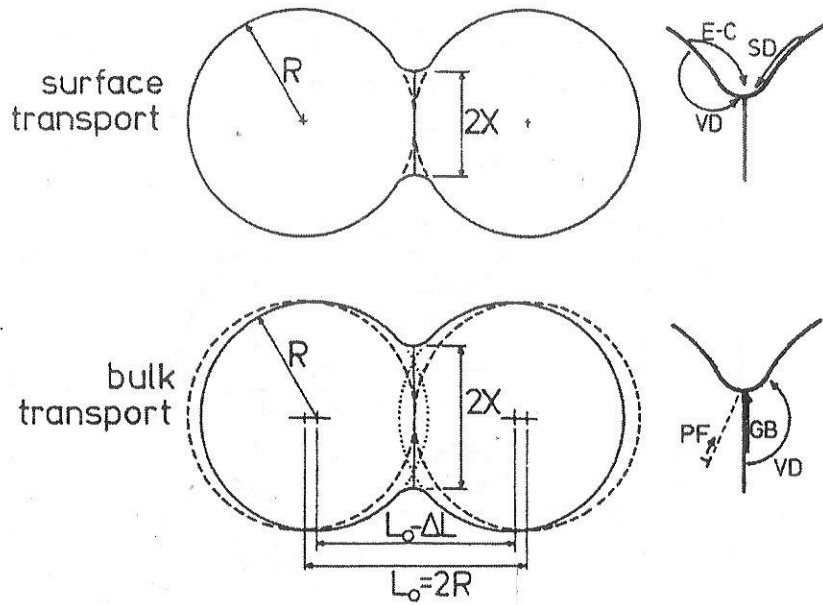
ในญี่ปุ่นใช้คุณสมบัติเพาเวอร์สานประมาณ 0.5 ถึง 0.8 Homologous Temperature เงื่อนไขที่จะทำให้ได้ความหนาแน่นสูงสุดโดยทั่วไปได้แก่การเพาเวอร์สานที่คุณสมบัติเป็นระยะเวลาหนักกับผลลัพธ์ที่มีขนาดเล็ก อย่างไรก็ได้ การใช้คุณสมบัติเพาเวอร์สานสูงทำให้ปริมาณการหดตัวสูงขึ้นด้วย ซึ่งอิทธิพลของตัวแปรเหล่านี้จะได้กล่าวถึงในตอนท้ายของบทนี้

ถ้าสมมุติให้ผงโลหะมีรูปร่างทรงกลมสัมผัสกัน (ภาพ 7.14) เมื่อนำไปเพาเวอร์สานจะเกิดการหดขึ้นของคอคอด (Neck) เมื่อให้เวลาการเพาเวอร์สานนานขึ้น ผงโลหะจะพยายามลดพื้นที่ผิวด้วยไปคอกอดจะเริ่มโดยขึ้นทำให้รูปทรงมีลักษณะโค้งมนขึ้นเมื่อปั่นคล้ายทรงกระบอกและกลายเป็นทรงกลมในเวลาต่อมา โดยถ้าให้เวลาถึงอนันต์ผงโลหะจะหดตัวกันเป็นทรงกลมเดียวที่มีขนาดใหญ่กว่าเดิม $2^{1/3}$ เท่า ซึ่งในระหว่างที่ผงโลหะพยายามลดพื้นที่ผิวจะเกิดการถ่ายเทมวลสาร กลไกการถ่ายเทมวลสารมีหลายรูปแบบโดยจำแนกตามลักษณะ "ได้แก่ Surface Transport และ Bulk Transport แต่ละแบบยังสามารถจำแนกย่อยได้อีกขึ้นอยู่กับ Driving Force ของ การถ่ายเทมวลสาร กลไกการถ่ายเทมวลสารบางแบบไม่ทำให้เกิดการ Densification และกลไกการถ่ายเทมวลสารบางแบบที่ทำให้เกิดการ Densification ภาพ 7.15 แสดงกลไกการถ่ายเทมวลสารแบบ Surface Transport และ Bulk Transport ในแบบจำลอง 2-Spherical Sintering Model

Two Sphere Sintering Model



ภาพ 7.14 Two Spherical Sintering Model



ภาพ 7.15 กลไกการถ่ายเทมาตราแบบ Surface Transport และ Bulk Transport
ในแบบจำลอง 2-Spherical Sintering Model

7.3.1 Evaporation – Condensation

รูปแบบหนึ่งของการถ่ายเทมวลสารในกระบวนการการเผาประสานคือการถ่ายเทเป็นไอและควบแน่น อะตอมของวัสดุหรืออะไหล่เคลื่อนที่จากพื้นผิวด้วยการถ่ายเทเป็นไอแล้วแพร่ผ่านบริเวณที่เป็นช่องว่างระหว่างผงอะไหล่ไปควบแน่นบริเวณคงคอด จากทฤษฎีเรื่องผลของการถ่ายเทความต้องต่อความดันไอในหัวข้อ 7.2.1 พื้นผิวที่มีรัศมีความโค้งน้อยจะมีความดันไอสูงและพื้นผิวที่มีรัศมีความโค้งน้อยจะมีความดันไอต่ำ จึงในการนี้คือผิวนูนและผิวน้ำ บริเวณที่เป็นผิวนูนจะมีความดันไอสูงกว่าบริเวณที่เป็นผิวน้ำ และวัสดุบริเวณผิวนูนจะถ่ายเทเป็นไอและแพร่จากบริเวณที่มีความดันไอต่ำไปยังบริเวณที่มีความดันไอต่ำ (สวนว้า) และควบแน่นบริเวณนั้น จากสมการ

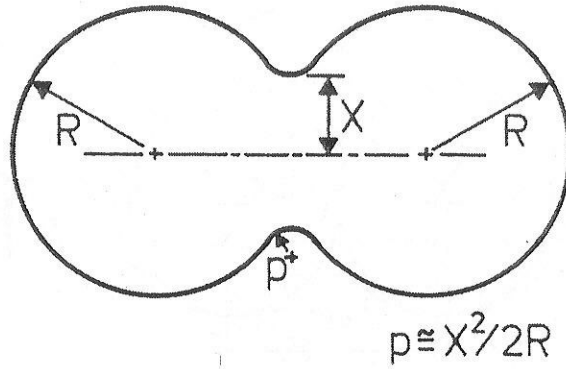
$$\ln \frac{P_r}{P_\infty} = \frac{V}{RT} \frac{2\gamma}{r}$$

เนื่องจากบริเวณคงคอดพื้นไม่ได้เป็นทรงกลมจึงมีรัศมีความโค้งไม่เท่ากันในแต่ละทิศทาง ถ้าให้รัศมีความต้องในแต่ละด้านคือ x และ p ($x = \frac{X}{2}$ เมื่อ X คือเส้นผ่านศูนย์กลางคงคอด) ดังภาพ 7.16 จึงเปลี่ยนสมการให้อยู่ในรูปของ Principle Radii โดยแทนผิวนูนเป็นบริเวณ || ส่วนว้าเป็นบริเวณ | จะได้

$$\ln \frac{P_H}{P_I} = \frac{V\gamma}{RT} \left[\frac{1}{x} + \frac{1}{p} \right]$$

นำให้ความดันไอบริเวณ | เท่ากับ P_0 และต่างจากบริเวณ || อยู่เท่ากับ ΔP

$$\ln \frac{P_0 + \Delta P}{P_0} = \frac{V\gamma}{RT} \left[\frac{1}{x} + \frac{1}{p} \right]$$



ภาพ 7.16 นิยามตัวแปรในการพิสูจน์สูตร

และจาก

$$\begin{aligned} \ln(1+x) &= x - \frac{x^2}{2} + \frac{x^3}{3} - \frac{x^4}{4} + \frac{x^5}{5} + \dots \\ &\approx x \end{aligned}$$

ดังนั้น

$$\frac{\Delta P}{P_0} = \frac{V\gamma}{RT} \left[\frac{1}{x} + \frac{1}{p} \right]$$

ในขั้นตอนเริ่มแรกประมาณ $p \ll x$ ดังนั้น

$$\frac{\Delta P}{P_0} = \frac{V\gamma}{RT} \left[\frac{1}{p} \right]$$

$$\text{และจาก } \underline{V} = \frac{M}{\rho}$$

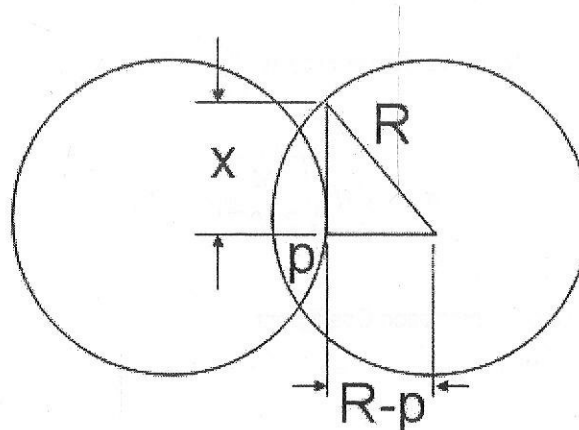
$$\frac{\Delta P}{P_0} = \frac{M\gamma}{\rho RT} \left[\frac{1}{p} \right]$$

หากความสัมพันธ์ระหว่าง p กับ x ได้จาก Pythagoras จากภาพ 7.17

$$\begin{aligned} R^2 &= x^2 + (R - p)^2 \\ &= x^2 + R^2 - 2Rp + p^2 \end{aligned}$$

จะได้ $p \ll x$

$$\begin{aligned} R^2 &= x^2 + R^2 - 2Rp \\ R^2 - R^2 &= x^2 - 2Rp \\ p &= \frac{x^2}{2R} \end{aligned}$$



ภาพ 7.17 ความสัมพันธ์ระหว่าง p กับ x

ดังนั้นจะเปลี่ยนรูปสมการได้เป็น

$$\frac{\Delta P}{P_0} = \frac{M\gamma}{\rho RT} \left[\frac{2R}{x^2} \right]$$

และเพื่อป้องกันการสับสนระหว่างรัศมีกับ Universal Gas Constant จึงเปลี่ยนสมการให้อยู่ในรูปของ
เส้นผ่านศูนย์กลาง (D)

$$\Delta P = \frac{M\gamma P_0}{\rho RT} \left[\frac{D}{x^2} \right]$$

อัตราการได้รับของคอกอตดาวบคุมด้วยอัตราการควบแน่น ดังสมการ

$$\frac{m}{\rho} A = \frac{dV}{dt}$$

วิเคราะห์หน่วยได้ดังนี้

$$\frac{\frac{g}{m^2 s}}{\frac{g}{m^3}} m^2 = \frac{m^3}{s}$$

เมื่อ A, V คือพื้นที่ผิวและปริมาตรของคอกอต

m คืออัตราการควบแน่นมีหน่วยเป็น $\frac{g}{m^2 s}$ หาได้จาก Langmuir's Equation

$$m = \alpha \Delta P \sqrt{\frac{M}{2\pi RT}}$$

เมื่อ α คือ Accommodation Coefficient

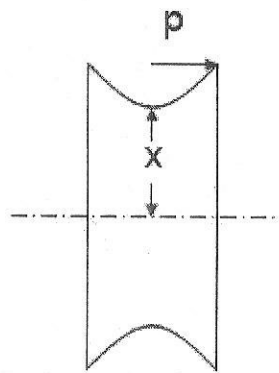
M คือ น้ำหนักอะตอม

สำหรับการหาค่า A พิจารณาได้จากการ 7.18

$$A = 2\pi x \cdot \pi D$$

เปลี่ยนให้อยู่ในรูปของ x และ D จาก $p = \frac{x^2}{D}$

$$A = 2\pi^2 \frac{x^3}{D}$$



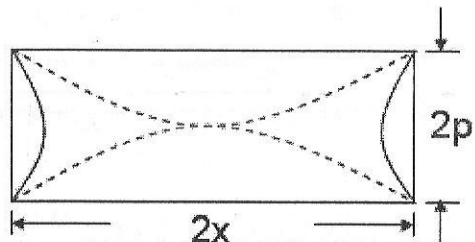
ภาพ 7.18 $A = 2\pi x \cdot \pi p$

สำหรับการหาค่า V พิจารณาได้จากภาพ 7.19

$$V = \frac{\pi x^2 2p}{2}$$

เปลี่ยนให้อยู่ในรูปของ x และ D จาก $p = \frac{x^2}{D}$

$$V = \frac{\pi x^4}{D}$$



ภาพ 7.19 $V = \frac{\pi x^2 2p}{2}$

สรุปค่า m , A และ V ได้ดังภาพ 7.20

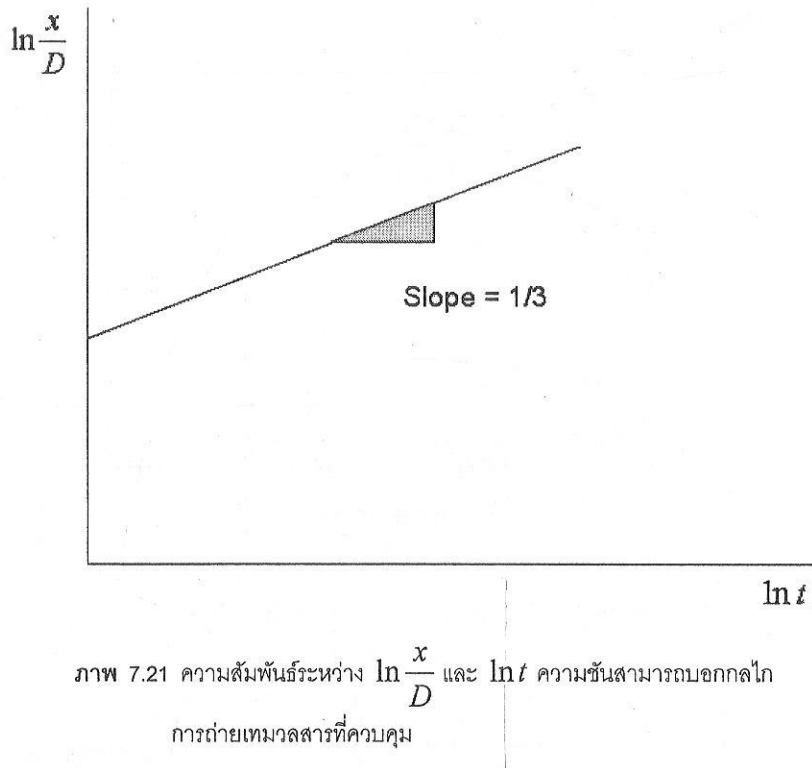
$$\begin{array}{c}
 A = 2\pi^2 \frac{x^3}{D} \\
 m = \alpha \Delta P \sqrt{\frac{M}{2\pi R T}} \quad \swarrow \\
 \frac{m}{\rho} A = \frac{dV}{dt} \quad \leftarrow \quad V = \frac{\pi x^4}{D}
 \end{array}$$

ภาพ 7.20 สรุปค่า m , A และ V ในการแทนค่าสมการอัตราการควบแน่น

เมื่อแทนค่าจะได้

$$\begin{aligned}
 \frac{\alpha \Delta P}{\rho} \left(\frac{M}{2\pi R T} \right)^{1/2} \frac{2\pi^2 x^3}{D} &= \frac{4\pi x^3}{D} \frac{dx}{dt} \\
 \frac{dx}{dt} &= \frac{\alpha}{2} \Delta P \left(\frac{M}{2\pi R T} \right)^{1/2} \frac{\pi}{\rho} \\
 \frac{dx}{dt} &= \frac{\alpha}{2} \frac{M \gamma P_0}{\rho R T x^2} D \left(\frac{M}{2\pi R T} \right)^{1/2} \frac{\pi}{\rho} \\
 \int x^2 dx &= \int \frac{\alpha M \gamma P_0 D \pi}{2 \rho^2 R T} \left(\frac{M}{2\pi R T} \right)^{1/2} dt \\
 \frac{x^3}{3} &= \frac{\alpha M \gamma P_0 D \pi}{2 \rho^2 R T} \left(\frac{M}{2\pi R T} \right)^{1/2} t \\
 \frac{x}{D} &= \left(\frac{3\alpha M \gamma P_0 \pi}{2 \rho^2 R T} \right)^{1/3} \left(\frac{M}{2\pi R T} \right)^{1/6} \frac{t^{1/3}}{D^{2/3}}
 \end{aligned}$$

สมการที่ได้บวกอัตราการโตขึ้นของคงคอดในรูปแบบของเศษส่วน $\frac{x}{D}$ ที่ขึ้นกับเวลา (t) ซึ่งเป็นตัวอย่างการพยากรณ์ที่จะสร้างแบบจำลองเพื่อใช้ในการทำนายเวลาในการเผาประสาน ในทำนองเดียวกันการถ่ายเทมวลสารรูปแบบอื่นก็มีแบบจำลองในลักษณะนี้ เช่นกัน และถ้าทำการทดลองเพื่อสร้างกราฟความสัมพันธ์ระหว่าง $\ln \frac{x}{D}$ กับ $\ln t$ แล้วหากความชันของกราฟที่จะสามารถระบุกลไกการถ่ายเทมวลสารที่เป็นกลไกควบคุมได้ เช่นถ้ากลไกที่ควบคุมคือ Evaporation – Condensation กราฟที่ได้จะมีลักษณะดังภาพ 7.21

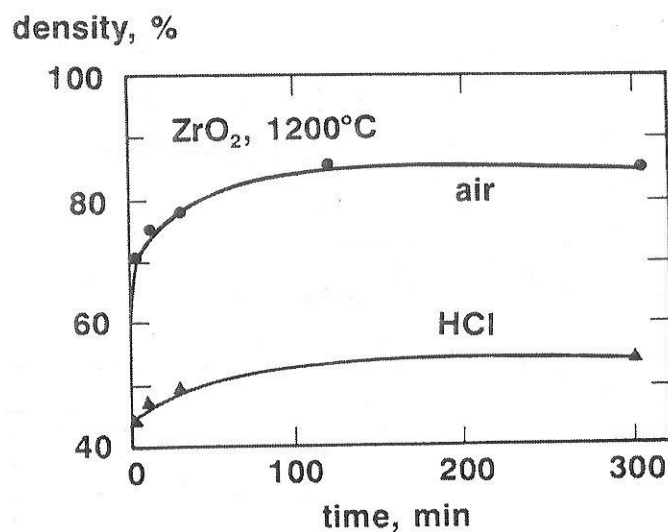


ภาพ 7.21 ความสัมพันธ์ระหว่าง $\ln \frac{x}{D}$ และ $\ln t$ ความชันสามารถออกกลไกการถ่ายเทมาลสารที่ควบคุม

จะเห็นได้ว่าการถ่ายเทมาลสารแบบ Evaporation – Condensation ทำให้ผังโลหะรีบรวมประสามกันและมีความแข็งแรงเพิ่มขึ้น โดยไม่ทำให้เกิด Densification หรือจากการของผงโลหะแต่ละเม็ดไม่ได้เข้าใกล้กันมากขึ้น ทำให้มีการหดตัวเนื่องจากการถ่ายเทมาลสารแบบนี้

สำหรับโลหะส่วนใหญ่การถ่ายเทมาลสารแบบ Evaporation – Condensation เป็นกระบวนการที่ค่อนข้างช้า และบ่อยครั้งที่ Evaporation – Condensation จะถูกหลีกเลี่ยงเพื่อความสะดวกในการทำงาน冶การเผาประสาน โลหะที่จะมีถูกควบคุมด้วยการถ่ายเทมาลสารแบบ Evaporation – Condensation มักจะเป็นโลหะที่มีความดันไอสูงและกล้ายเป็นไอได้ง่ายที่อุณหภูมิเผาประสาน การใช้สารเติมบางปะ嵬ที่เรียกว่า Halide ลงในในบรรยายกาศเผาประสานมีส่วนช่วยให้ Evaporation – Condensation รวดเร็วขึ้น ยกตัวอย่างเช่น การเติม HCl สำหรับการเผาประสานทั้งสูตร การเติม HCl ในกระบวนการเหล็กกล้า การเติม HCl ในกระบวนการเผาประสานมีผลทำให้กลไกการถ่ายเทมาลสารที่ควบคุมเปลี่ยนไปเป็น Evaporation – Condensation ซึ่งไม่มีการ Densification ความหนาแน่นจึงไม่เพิ่มขึ้นมากเหมือนการเผาประสานในอากาศทั่วไป

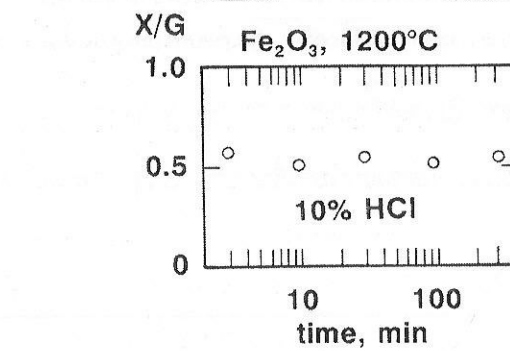
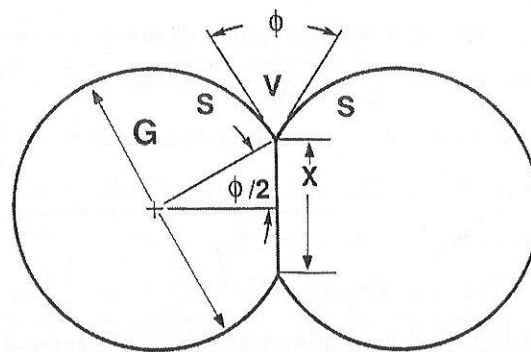
เมื่อทำการเผาประสานไปถึงจุดหนึ่งคงคอดจะไม่โตขึ้นอีก เนื่องจากถึงจุดสมดุลของ Solid – Vapor Dihedral angle และทำให้มุนที่บริเวณคงคอดไม่ลดลงอีก ภาพ 7.23 แสดงขนาดของคงคอด ($\frac{X}{D}$) ที่ไม่ขึ้นอยู่กับเวลาในการเผาประสาน Fe_2O_3 การโตขึ้นของคงคอดต่อไปจะขึ้นอยู่กับ Grain Growth สมดุลของพลังงานพื้นผิวในกรณีคือ ($X = 2x$)



ภาพ 7.22 อิทธิพลของ HCl ในการเผาประสาน ZrO_2

$$\gamma_{ss} = 2\gamma_{sv} \cos \frac{\phi}{2}$$

- เมื่อ γ_{ss} คือ Solid – Solid surface free energy
 γ_{sv} คือ Solid – Vapor surface free energy
 ϕ คือ Dihedral Angle



ภาพ 7.23 ขนาดของคอกอต ($\frac{X}{D}$) ที่ไม่ขึ้นอยู่กับเวลาในการเผาประสาน Fe_2O_3

ณ จุดนี้ขนาดของคอกออดและขนาดเกรนสัมพันธ์กันดังนี้

$$X = G \sin \frac{\phi}{2}$$

เมื่อ	x	คือ ขนาดของคอกออด
	G	คือขนาดเกรน

เพราะนั้นการถ่ายเทมวลสารแบบ Evaporation – Condensation จะทำให้คอกออดมีขนาดใหญ่ที่สุด ได้เท่าไหร่ขึ้นอยู่กับ Dihedral angle ที่สมดุล หลังจากนั้นการโต้เข้าของคอกออดจะขึ้นอยู่กับ Grain Growth ซึ่ง โดยทั่วไปเป็นรากที่ 2, 3 หรือ 4 ของเวลาการเผาประสาน

$$G \approx t^{1/3}$$

7.3.2 Surface Diffusion

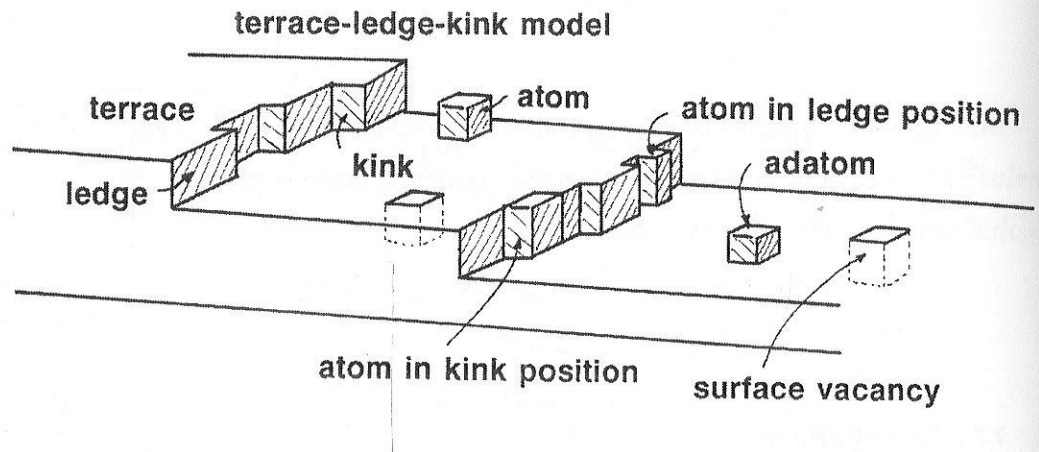
พื้นผิวของของแข็งที่มีโครงสร้างผลึกจะไม่เป็นผิวนานเรียบ โดยจะประกอบไปด้วย Defect เช่น ledge, kink, vacancy และ adatom ดังแสดงในภาพ 7.24 การถ่ายเทมวลสารแบบ Surface Diffusion เกี่ยวข้องกับ Defect บนผิวนี้ ยกเว้น vacancy ซึ่งสำหรับ vacancy จะเกี่ยวข้อง Volume Diffusion เนื่องจากเส้นทางการเคลื่อนที่ของ Vacancy นั้นเกิดขึ้นผ่าน lattice จำนวนและความสามารถในการเคลื่อนที่ของ Defect เหล่านี้ ขึ้นอยู่กับอุณหภูมิ ทำให้อุณหภูมิเผาประสานเป็นตัวควบคุมพฤติกรรมของ Surface Diffusion โดยตรง นอกจากนี้ตัวแปรที่มีความสำคัญของลงมาคือทิศทางของโครงสร้างผลึก เพราะโครงสร้างผลึกจะให้การแพร่เกิดได้ง่ายขึ้นในบางทิศทาง ขั้นตอนของการถ่ายเทมวลสารแบบ Surface Diffusion มีสามขั้นตอน เริ่มจาก Defect เคลื่อนที่ออกจาก Defect Source เมื่อ Defect เคลื่อนออกมاءแล้วจะเคลื่อนที่ไปยัง Defect Sink โดยทั่วไปแล้ว ขั้นตอนนี้เป็นขั้นตอนที่เร็วที่สุด และขั้นตอนสุดท้ายคือ Defect กลับมาสู่สภาพสมดุลอีกครั้งที่ Defect Sink ขั้นตอนใดขั้นตอนหนึ่งอาจเป็นขั้นตอนที่ช้าที่สุดก็ได้ ขั้นตอนที่ช้าที่สุดจะเป็นตัวควบคุมอัตราการถ่ายเทมวลสาร ซึ่งทั้งสามขั้นตอนเป็นกระบวนการที่ขึ้นอยู่กับอุณหภูมิและอาศัยพลังงานในการกระตุ้น (Activation Energy) ซึ่ง พลังงานนี้เรียกว่า Surface Diffusion Activation Energy

Driving Force ของการถ่ายเทมวลสารแบบ Surface Diffusion คือความหนาแน่นของ Defect ที่ไม่เท่ากันระหว่างบริเวณคอกออดและพื้นผิวบริเวณอื่นของผิวโลหะ เนื่องจากว่ามีความต้องที่ไม่เท่ากัน บริเวณคอกออดจะมีความหนาแน่นของ Defect น้อยกว่าบริเวณอื่น เมื่อให้พลังงานมากกว่า Activation Energy จะทำให้ Defect พยายามเคลื่อนที่ไปยังบริเวณคอกออด

Surface Diffusion จะเป็นรูปแบบการถ่ายเทมวลสารที่ควบคุมการเผาประสานในช่วงที่ขึ้นงานเริ่มได้รับความร้อน ซึ่งโดยทั่วไปแล้ว Surface Diffusion Activation Energy จะมีค่า 낮กว่า Activation Energy ของ การถ่ายเทมวลสารรูปแบบอื่น จึงทำให้ Surface Diffusion สามารถเกิดก่อนในขณะที่การถ่ายเทมวลสารแบบ อื่นยังคงไม่เกิด การเคลื่อนที่ของ Defect จาก Defect Source ไปยัง Defect Sink ทำให้คอกออดโต้เข้าโดยไม่ทำ

ให้เกิด Densification เช่นเดียวกับ Evaporation – Condensation ดังนั้นจึงเป็นรูปแบบการถ่ายเทมวลสารที่ต้องการในกรณีที่ต้องการเพาประสาณให้ความแข็งแรงเพิ่มขึ้นโดยไม่ทำให้ชิ้นงานเปลี่ยนแปลงมิติ

เมื่อกระบวนการเพาประสาณเดินต่อไป อุณหภูมิที่เพิ่มขึ้นจะทำให้การถ่ายเทมวลสารรูปแบบอื่นเริ่มขึ้น และทำให้ Surface Diffusion ลดความสำคัญลง บรรยายกาศในการเพาประสาณก็มีผลต่ออัตราการถ่ายเทมวลสารแบบ Surface Diffusion ด้วยเช่นกัน



ภาพ 7.24 Defect บนผิวของวัสดุที่มีโครงสร้างผลึก

7.3.3 Volume Diffusion

Volume Diffusion หรืออีกชื่อหนึ่งคือ Lattice Diffusion เกี่ยวข้องกับการถ่ายเท Vacancy โดย Driving Force ของการถ่ายเทมวลสารแบบนี้เกิดขึ้นจาก Vacancy Concentration ที่ไม่เท่ากันระหว่างบริเวณสองข้าง กับบริเวณเดียว Vacancy Concentration ขึ้นอยู่กับอุณหภูมิและรัศมีความโค้ง สำหรับพื้นผิวเรียบ Vacancy สามารถหาได้จากการสมการ

$$C_0 = \frac{N_V}{N_0} = \exp\left(-\frac{\Delta G_V}{kT}\right)$$

เมื่อ	C_0	คือ Equilibrium Vacancy Concentration
	N_V	คือ จำนวน Vacancy ต่อโมล
	N_0	คือ Avogadro's number
	ΔG_V	คือ Vacancy Activation Energy หรือพลังงานกระตุ้นในการเกิด Vacancy
	k	คือ Boltzmann's Constant

สำหรับพื้นผิวโค้งสมการจะเปลี่ยนไปโดยขึ้นอยู่กับรัศมีความโค้งดังนี้

สำหรับระบบที่มี Component เดียว ΔG_V เท่ากับ Chemical Potential Difference

$$C = C_0 \exp\left(-\frac{\Delta\mu}{kT}\right)$$

เมื่อ C คือ Vacancy Concentration

ค่า Chemical Potential Difference เท่ากับ

$$\Delta\mu = \frac{M\gamma}{\rho} \left(\frac{1}{R_1} + \frac{1}{R_2} \right)$$

แทนค่าจะได้

$$C = C_0 \exp\left[-\frac{M\gamma}{\rho kT} \left(\frac{1}{R_1} + \frac{1}{R_2} \right)\right]$$

บริเวณคงอยู่จะมีรัศมีความโค้งน้อยมากจะมีค่า Principle radii น้อย (x และ p) และทำให้ Vacancy Concentration ต่างไปจาก Equilibrium Vacancy Concentration มากขึ้น สำหรับบริเวณคงอยู่ Vacancy Concentration จะค่ามากกว่า Equilibrium Vacancy Concentration ส่วนบริเวณผิวผุนจะมี Vacancy Concentration น้อยกว่า Equilibrium Vacancy Concentration ทำให้เกิด Vacancy Concentration Gradient และได้มีพลังงานมากกว่า Activation Energy ของการเคลื่อนที่ของ Vacancy จะทำให้เกิดการถ่ายเทมวลสารไปยังบริเวณคงอยู่ ซึ่งพลังงานที่มากกว่า Activation Energy ได้จากอุณหภูมิสูงหรือการเผาประสานนั่นเอง

สำหรับผิวผุน

$$C_1 = C_0 \exp\left(-\frac{M\gamma}{\rho kT} \left(\frac{1}{R_1} + \frac{1}{R_2} \right)\right)$$

ที่บริเวณนั้นรัศมีความโค้งเท่ากันทุกทิศทาง ดังนั้น

$$R_1 = R_2$$

ดังนั้น

$$C_1 = C_0 \exp\left(-\frac{M\gamma}{R\rho kT}\right)$$

สำหรับผิวเรียบ รัศมีความโค้งคือ x และ p ดังนี้

$$C_2 = C_0 \exp\left(-\frac{M\gamma}{\rho kT} \left(\frac{1}{x} + \frac{1}{p}\right)\right)$$

ถ้าสมมุติให้

$$x \gg p$$

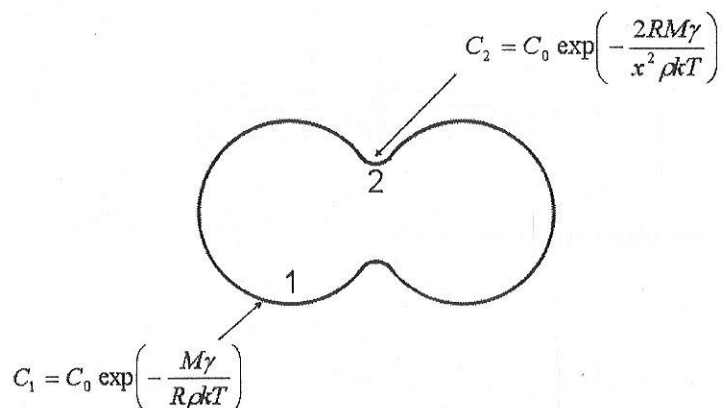
ดังนั้น

$$C_2 = C_0 \exp\left(-\frac{M\gamma}{\rho kT} \left(\frac{1}{p}\right)\right)$$

และจากความสัมพันธ์ $p = \frac{x^2}{2R}$ จะได้

$$C_2 = C_0 \exp\left(-\frac{2RM\gamma}{x^2 \rho kT}\right)$$

Driving Force คือ $C_2 - C_1$ ภาพ 7.25 สรุป Vacancy Concentration ที่บริเวณผิวเรียบและมน

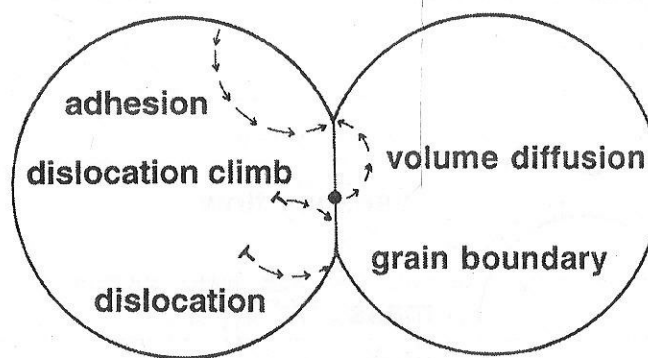


ภาพ 7.25 สรุป Vacancy Concentration ที่บริเวณผิวเรียบและมน

เส้นทางการถ่ายเทมวลสารแบบ Volume Diffusion มี 3 เส้นทางดังแสดงในภาพ 7.26 เส้นทางแรกเริ่มจากบริเวณผิวส่วนนูนไปยังบริเวณคอกออด การถ่ายเทมวลสารแบบนี้ถือแม้ว่าจะเป็นการแพร่ผ่าน Lattice แต่เมื่อจากมีจุดเดิมตันและปลายทางเป็นบริเวณผิวหั้งคู่ จึงเปรียบเสมือนการถ่ายเทมวลสารแบบ Surface Diffusion ต่างกันที่มีความเร็วน้อยกว่า และไม่ทำให้เกิด Densification ในบางครั้งจึงเรียกการแพร่ของ Vacancy แบบนี้ว่า "Adhesion Diffusion" เพื่อแยกความแตกต่างจาก Volume Diffusion แบบอื่น

การถ่ายเทมวลสารเส้นทางที่สองคือจากบริเวณรอยต่อระหว่างผองโลหะไปยังคอกออด การแพร่ของ Vacancy แบบนี้ทำให้เกิด Densification ดังนั้นจึงเรียกว่า "Volume Diffusion Densification" ข้อควรจำในการแพร่ของ Vacancy คือมวลสารจะแพร่ส่วนทางกับ Vacancy เพราะ Vacancy เปรียบเสมือนช่องว่างเมื่อเคลื่อนไปทางหนึ่งมวลก็จะถูกแทนที่แล้วเคลื่อนไปอีกทางหนึ่ง ลูกศรในภาพ 7.26 แสดงทิศทางการเคลื่อนที่ของมวล

diffusion vacancy pathways



ภาพ 7.26 เส้นทางการถ่ายเทมวลสารแบบ Volume Diffusion

การถ่ายเทมวลสารเส้นทางที่สามคือ Dislocation Climb คือ Dislocation ในผองโลหะซึ่งมีทั้งที่เกิดในกระบวนการผลิตผงโลหะและในขั้นตอนการอัดขึ้นรูป Vacancy จะถูกกำจัดหรือเพิ่มจากการถ่ายเทมวลสารแบบนี้ ซึ่งไม่ใช่เส้นทางที่สำคัญในการโต้ขึ้นของคอกออดในการเผาประสาน

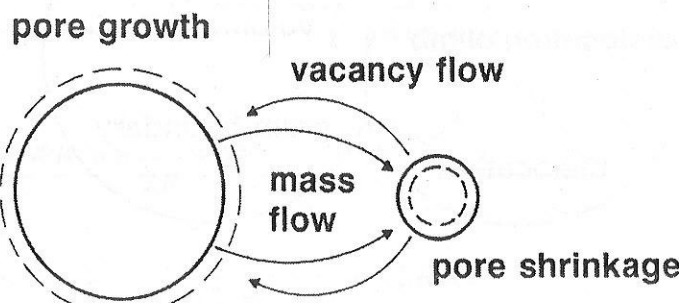
อัตราการเผาประสาน (Sintering Rate) คำนวณได้ด้วย Fick's First Law

$$J = -D_v \frac{dC}{dx}$$

เมื่อ	J	คือ Flux ของอะตอมหรือ Vacancy ต่อหน่วยพื้นที่ต่อหน่วยเวลา
	D_v	คือ Diffusivity
	$\frac{dC}{dx}$	คือ Vacancy Concentration Gradient

ค่า Diffusivity ขึ้นอยู่กับ Vacancy concentration และอุณหภูมิ ดังนั้นอัตราการเผาประสานจึงขึ้นอยู่กับ เวลาและอุณหภูมิ ก่อการคือที่อุณหภูมิเดียวกันอัตราการเผาประสานจะเปลี่ยนแปลงไปแต่ละช่วงของการเผา ประสานโดยขึ้นอยู่กับ Vacancy Concentration และ Vacancy Concentration Gradient อุณหภูมิที่สูงกว่าจะ ให้อัตราการเผาประสานสูงกว่า

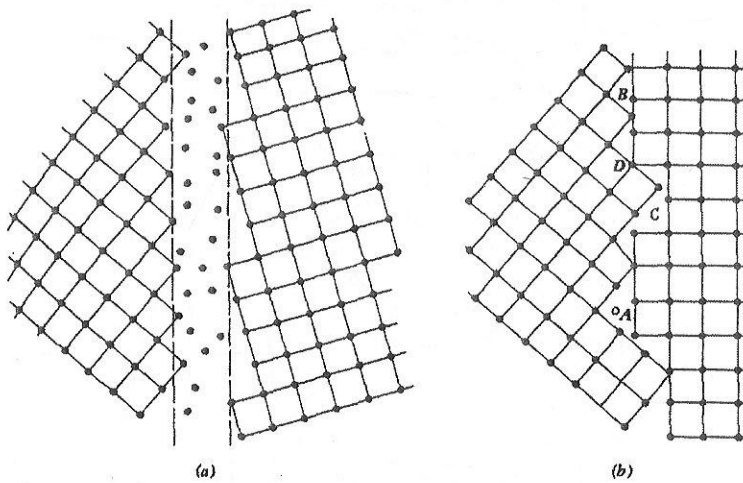
เมื่อการเผาประสานเข้าสู่ช่วงท้าย รูป/run เริ่มมีรูปร่างกลมมากขึ้น จะเกิดปรากฏการณ์ Pore coarsening ซึ่งมีกลไกเหมือนกับ Ostwald Ripplening คือรอบ ๆ รูป/run ทรงกลมที่มีขนาดใหญ่จะมี Vacancy Concentration น้อย รอบ ๆ รูป/run ทรงกลมขนาดเล็กจะมี Vacancy Concentration มากกว่า ทั้งนี้เนื่องจากผล ของความต้อง เมื่อเผาประสานต่อไปจะทำให้ Vacancy จะแพร่ไปยังรอบ ๆ รูป/run ทรงกลมขนาดใหญ่และมากจะ ถูกถ่ายเทไปในทิศทางตรงกันข้ามหรือไปยังรอบ ๆ รูป/run ทรงกลมขนาดเล็กและเมื่อมลถ่ายเทไปยังบริเวณนั้น มากขึ้นจะทำให้รูป/run มีขนาดเล็กลงเรื่อย ๆ ในขณะที่รอบ ๆ รูป/run ขนาดใหญ่จะสูญเสียมวลไปเรื่อย ๆ และทำให้ รูป/run ขยายตัวขึ้น ผลของ Pore coarsening คือทำให้รูป/run ขนาดใหญ่จะใหญ่ขึ้น รูป/run ขนาดเล็กจะเล็กลง ขนาดของรูป/run เนื่องจากในที่นั่นและมีจำนวนน้อยลง ภาพ 7.27 แสดงแผนภาพอธิบายกลไกการเกิด ปรากฏการณ์ Pore coarsening



ภาพ 7.27 แผนภาพอธิบายกลไกการเกิดปรากฏการณ์ Pore coarsening

7.3.4 Grain Boundary Diffusion

Grain Boundary Diffusion เป็นกลไกการถ่ายเทมวลสารที่สำคัญมากในการเกิด Densification ของการ เผาประสานผงโลหะ Grain Boundary เป็นบริเวณรอยต่อระหว่างผลึกของโลหะ ซึ่งประกอบไปด้วย Defect เช่น Vacancy, Dislocation ในอดีตนักวิทยาศาสตร์เคยมีความคิดว่า Grain Boundary เป็นชั้นบาง ๆ ที่ไม่มี โครงสร้างผลึกเป็น Amorphous Layer (ดูภาพ 7.28a) ในปัจจุบันแบบจำลอง Grain Boundary ที่น่าเชื่อถือว่า คือ Lattice Defect Model ซึ่งเป็นแนวคิดที่ว่า Grain Boundary เป็นรอยต่อระหว่าง Lattice 2 อันซึ่งประกอบไป ด้วย Defect ดูภาพ 7.28b) Defect ได้แก่ Adatom (A), Edge Dislocation (B), Vacancy (C) และ Shared Atom (D)

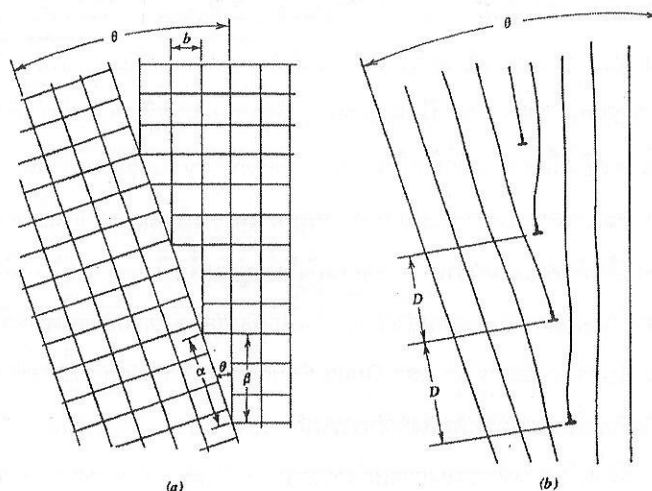


ภาพ 7.28 แบบจำลองของ Grain Boundary

a) Amorphous Layer Model

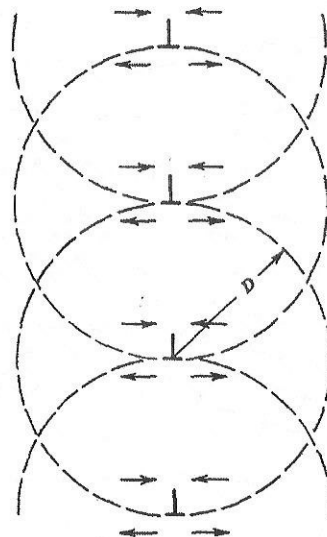
b) Lattice Defect Model

Edge Dislocation ที่บริเวณ Grain Boundary เกิดขึ้นเป็นอนุกรมได้ดังแบบจำลองในภาพ 7.29 ระยะห่างระหว่าง Edge Dislocation (D) เป็นระยะที่เกิด Compression Field และ Tension Field โดย Tension Field จะเกิดขึ้นบริเวณด้านล่างของ Edge Dislocation ส่วน Compression Field จะเกิดขึ้นบริเวณด้านบนของ Edge Dislocation (ภาพ 7.30)



ภาพ 7.29 ลักษณะการเกิด Edge Dislocation ที่ Grain Boundary

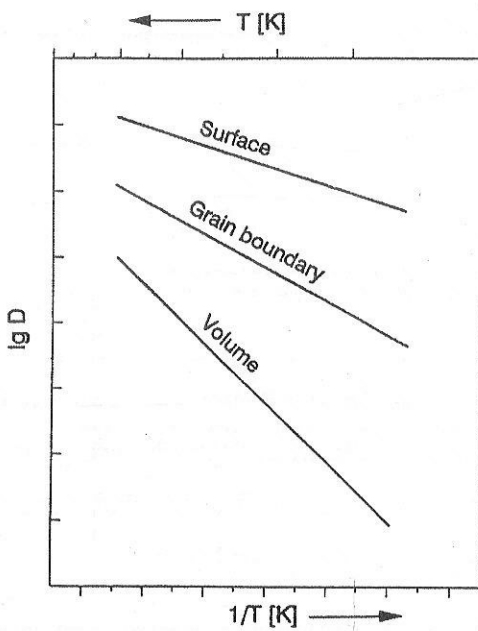
a) Lattice representation b) Line representation



ภาพ 7.30 Compression Field และ Tension Field รอบ Edge Dislocation

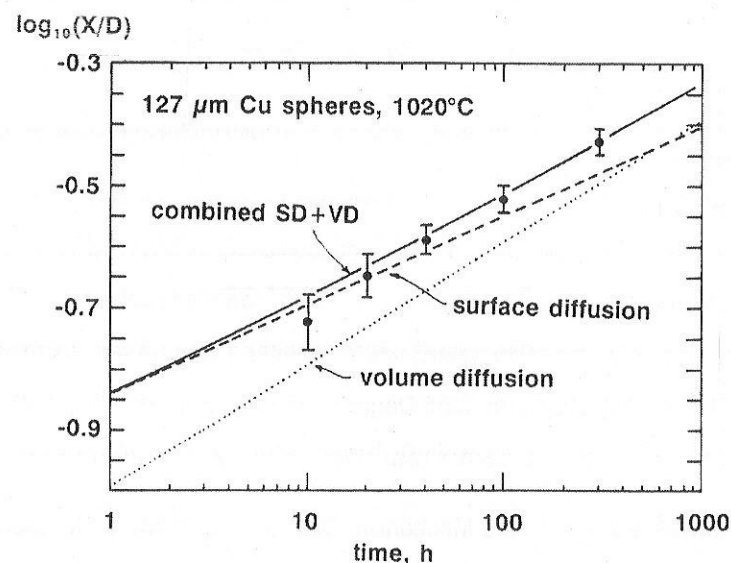
Defect ใน Grain Boundary ทำให้การถ่ายเทมวลสารเกิดขึ้นได้โดยใช้ Activation Energy มีค่าน้อยกว่า Volume Diffusion แต่สูงกว่า Surface Diffusion ถึงแม้ว่า Grain Boundary จะมีเป็นบริเวณที่ค่อนข้างแคบ แต่ยังเป็นกลไกการถ่ายเทมวลสารที่สำคัญได้ขึ้นอยู่กับ Grain Boundary Area/Unit Volume หรือขั้นอยู่กับขนาดเกรนนั้นเอง ผงโลหะที่แข็งตัวโดยมี Undercooling มาจะมี Dendrite Arm Spacing น้อยและมีเกรนละเอียดทำให้มี Grain Boundary Area/Unit Volume มาก หาก ทำให้ Grain Boundary Diffusion เป็นกลไกการถ่ายเทมวลสารที่ควบคุมอัตราการเผาประสาน แต่เมื่อการเผาประสานผ่านไปจะทำให้เกิด Grain Growth และมี Grain Boundary Area/Unit Volume น้อยลง และทำให้ Grain Boundary Diffusion ลดความสำคัญลง

โดยสรุปกลไกการถ่ายเทมวลสารด้วยการแพร่ (Surface Diffusion, Volume Diffusion, Grain Boundary Diffusion) กลไกที่มี Activation Energy น้อยที่สุดได้แก่ Surface Diffusion รองลงมาได้แก่ Grain Boundary Diffusion และ Volume Diffusion มี Activation Energy มากที่สุด จึงทำให้ชนะให้ความร้อนแก่ชิ้นงาน Surface Diffusion จะเกิดขึ้นก่อนแล้วจึงเป็น Grain Boundary Diffusion และ Volume Diffusion ถึงแม้ว่า Activation Energy จะเป็นดัชนีบอกกลไกการถ่ายเทมวลสารเป็นไปได้ยากหรือง่าย แต่ว่าการที่กลไกการถ่ายเทมวลสารแบบใดจะเป็นตัวควบคุมการเผาประสานยังขึ้นอยู่กับพื้นที่ กลไกที่มีพื้นที่มากที่สุดได้แก่ Volume Diffusion รองลงมาคือ Grain Boundary Diffusion และ Surface Diffusion มีพื้นที่น้อยที่สุด ดังนั้นในช่วงแรกของการเผาประสาน Surface Diffusion และ Grain Boundary Diffusion จะมีบทบาทมาก แต่เมื่อการเผาประสานผ่านไปพื้นที่ผิวของผงโลหะจะเริ่มลดลงจากการใต้ดินของคงคอด พื้นที่ Grain Boundary ก็น้อยลง เนื่องจาก Grain Growth ดังนั้นในช่วงท้ายของการเผาประสาน Volume Diffusion จะเข้ามายึดกลไกการถ่ายเทมวลสารที่ควบคุมอัตราการเผาประสาน ค่า Diffusivity จะขึ้นอยู่กับ Vacancy หรือ Defect Concentration และอุณหภูมิ ภาพ 7.31 แสดงความสัมพันธ์ระหว่าง Diffusivity กับอุณหภูมิของ Surface Diffusion, Grain Boundary Diffusion และ Volume Diffusion



ภาพ 7.31 ความสัมพันธ์ระหว่าง Diffusivity กับอุณหภูมิของ Surface Diffusion,
Grain Boundary Diffusion และ Volume Diffusion

ในการทดลองเพื่อนำร่องสู่การถ่ายเทมวลสารเป็นตัวควบคุมอัตราการเผาประสาน ทำได้โดยการสร้าง
ความสัมพันธ์ระหว่าง $\frac{X}{D}$ และเวลา แล้วหาความชันนำไปเปรียบเทียบกับความชันทางทฤษฎี ซึ่งอาจเกิดการ
ถ่ายเทมวลสารสองกลไกในเวลาเดียวกันความชันของกราฟที่จะเปลี่ยนไป ยกตัวอย่าง ผงทองแดงทรงกลม
ขนาด 127 ไมครอน เมื่อนำไปเผาประสานที่ 1020 องศาเซลเซียสแล้วได้ความสัมพันธ์ดังภาพ 7.32 ซึ่งพบว่าเป็น
ผลรวมของการถ่ายเทมวลสารแบบ Surface Diffusion และ Volume Diffusion



ภาพ 7.32 ความสัมพันธ์ระหว่าง $\frac{X}{D}$ และเวลา ในการเผาประสานผงทองแดงทรงกลมขนาด 127 ไมครอน
ที่ 1020 องศาเซลเซียส

R. M. German "ได้รับรวมแบบจำลองทางคณิตศาสตร์ของการถ่ายเทมวลสารแต่ละรูปแบบในช่วง Initial Stage Sintering โดยจัดสมการให้อยู่ในรูป"

$$\left(\frac{X}{D}\right)^n = \frac{Bt}{D^m}$$

เมื่อ	X	คือเส้นผ่านศูนย์กลางของคอกออด
	D	คือขนาดขององค์ประกอบ
	t	คือเวลาในการเผาประสานที่อุณหภูมิคงที่ (Isothermal Sintering Time)
	B	คือค่าคงที่ของสัดส่วนระหว่างผลลัพธ์ที่ขึ้นอยู่กับอุณหภูมิ (ตาราง 7.1)
	n, m	คือ Sintering Rate Exponent ซึ่งแตกต่างกันตามข้อควรพิจารณาในแต่กัลไก ดังตาราง 7.1

ตาราง 7.1 Sintering Rate Exponent ของการถ่ายเทมวลสารช่วง Initial Stage Sintering

Mechanism	n	m	B
Evaporation – Condensation	3	2	$\left(\frac{3P\gamma}{\rho^2}\right)\left(\frac{\pi}{2}\right)^{1/2}\left(\frac{M}{kT}\right)^{3/2}$
Volume Diffusion	5	3	$\frac{80D_v\gamma M}{\rho kT}$
Grain Boundary Diffusion	6	4	$\frac{20\delta D_b\gamma M}{\rho kT}$
Surface Diffusion	7	4	$\left(\frac{56D_s\gamma}{kT}\right)\left(\frac{M}{\rho}\right)^{4/3}$

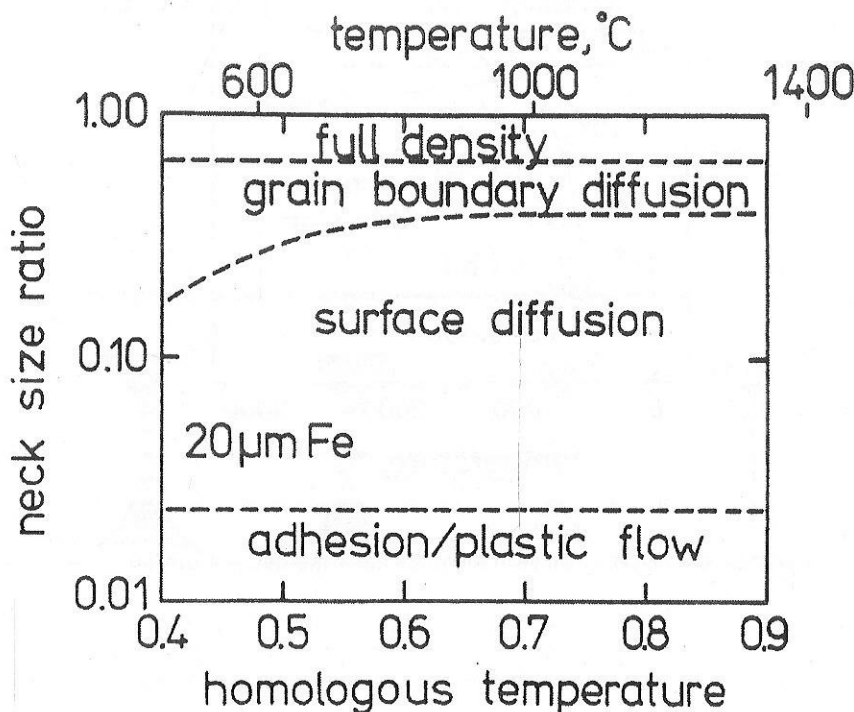
δ	คือ Grain Boundary Width
D_v	คือ Volume Diffusivity
D_s	คือ Surface Diffusivity
D_b	คือ Grain Boundary Diffusivity

7.3.5 Sintering Mechanism Diagram

Sintering Mechanism Diagram หรือ บางครั้งเรียกว่า Sinter Diagram คือแผนภูมิที่บอกร่องในการถ่ายเทมวลสารในการเผาประสานที่อุณหภูมิ เท่าและ Degree of Sintering สำหรับ Degree of Sintering คือระดับของการเผาประสานซึ่งบอกว่าการเผาประสานดำเนินไปมากแค่ไหน ส่วนใหญ่นิยมบอกเป็น Neck Size Ratio ($\frac{x}{D}$) ภาพ 7.33 แสดงตัวอย่าง Sintering Mechanism Diagram ของการเผาประสานผงเหล็กขนาด 20

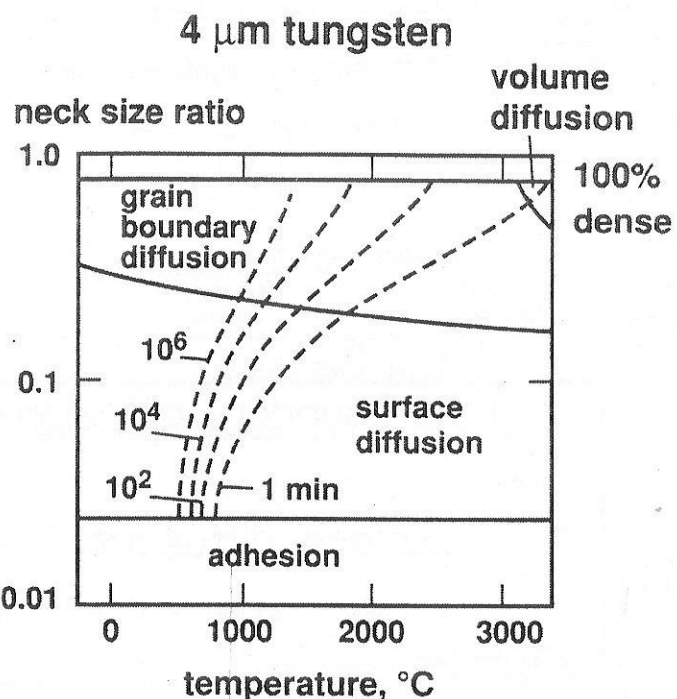
ไมครอน แกนตั้งคือค่า $\frac{X}{D}$ แกนนอนเป็นอุณหภูมิโดยต้านล่างเป็น Homologous Temperature ($\frac{T}{T_m}$) ต้านบน

เป็นของศาสตร์เชิงชีวะ แรงที่ $\frac{X}{D}$ ยังมีค่าน้อยลงโดยจะยึดติดกันด้วยแรงทางกลและการเสียรูปอย่างถาวรจาก การอัดขึ้นรูป เมื่อเริ่มทำการเผาประสาน กลไกการถ่ายเทมวลสารเป็นที่เป็นตัวควบคุมอัตราการเผาประสาน ได้แก่ Surface Diffusion แล้วจึงเป็น Grain Boundary Diffusion

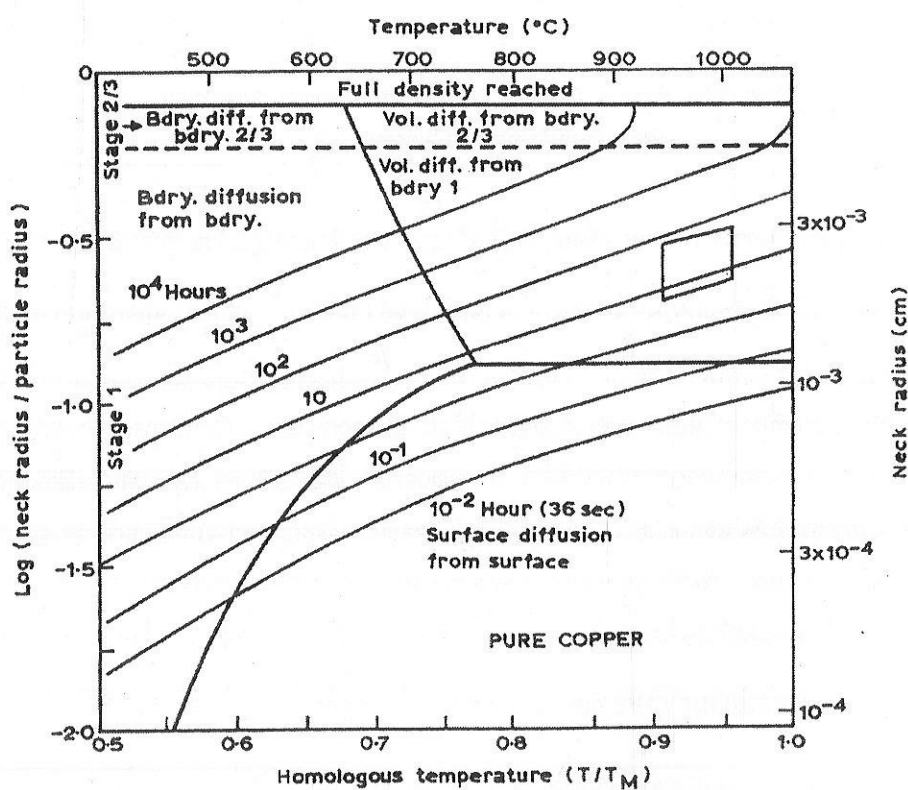


ภาพ 7.33 ตัวอย่าง Sintering Mechanism Diagram ของการเผาประสานผงเหล็กขนาด 20 ไมครอน

เพื่อความสะดวกในการอ่านแผนภูมิจึงมีการเพิ่มเส้นเวลาลงไปในแผนภูมิด้วย ซึ่งทำให้เราทราบได้ว่าเมื่อเผาประสานผงโลหะชนิดนั้นที่อุณหภูมิหนึ่งเป็นเวลากานานเท่าใดแล้วจะได้ $\frac{X}{D}$ เท่าใด และกลไกการถ่ายเทมวลสารได้เป็นตัวควบคุมอัตราการเผาประสาน รวมทั้งยังใช้ความรู้นี้ในการลดหรือเพิ่มปริมาณการหดตัวได้ โดยกลไกการถ่ายเทมวลสารที่ไม่ทำให้เกิด Densification ได้แก่ Evaporation – Condensation และ Surface Diffusion และกลไกการถ่ายเทมวลสารที่ทำให้เกิด Densification ได้แก่ Grain Boundary Diffusion และ Volume Diffusion ภาพ 7.34 และ 7.35 แสดงตัวอย่างของ Sintering Diagram ที่มีเส้นเวลาในแผนภูมิ



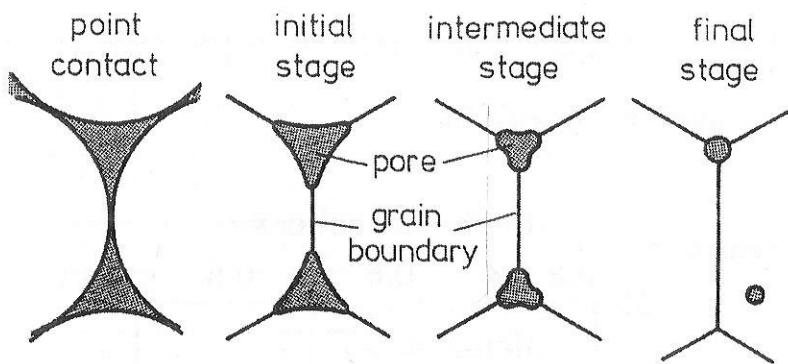
ภาพ 7.34 Sintering Diagram ของการเผาประสานผงทั้งสูตรขนาด 4 μm ครุภัณฑ์



ภาพ 7.35 Sintering Diagram ของการเผาประสานผงทองแดงบริสุทธิ์

7.4 Stages of Sintering

ขั้นตอนของการเผาประสานคือความพยายามอิสไบทางกายภาพเพื่อให้เห็นความแตกต่างในแต่ละช่วง ตั้งแต่ผงโลหะที่ถูกอัดไปจนถึงชิ้นงานที่มีความหนาแน่นสูง ผงโลหะที่ผ่านการอัดขึ้นรูปอาจจะจัดเรียงตัวอยู่อย่างไม่มีการเสียรูปอย่างถาวรเลยหรืออาจเสียรูปอย่างถาวรมาก ชิ้นอยู่กับเปลือกไว้และชนิดของวัสดุ แต่เพื่อความสะดวกในที่นี่จึงกล่าวถึงกรณีที่ผงโลหะทรงกลมเรียงตัวชิดกันโดยไม่มีการเสียรูปอย่างถาวรเลย ภาพ 7.36 แสดง ขั้นตอนของการเผาประสานดังต่อไปนี้



ภาพ 7.36 ขั้นตอนของการเผาประสานดังต่อไปนี้

7.4.1 Initial Stage Sintering

การได้ชิ้นของคoccoดเริ่มจากจุดสัมผัสระหว่างผงโลหะที่ถูกอัดขึ้นรูปมาไปจนถึงช่วงที่รูพูนเปลี่ยนรูปร่าง เป็นทรงกระบอกถือเป็น Initial Stage Sintering ในช่วง Initial Stage Sintering ค่า $\frac{X}{D}$ จะมีค่าตั้งแต่ 0 ไปจนถึง 0.3 โดยประมาณ รูพูนในช่วง Initial Stage Sintering จะมีรูปร่างแบบ Irregular ซึ่งเป็น Open pore ต่อเมื่องกันทั่วทั้งชิ้นงาน Initial Stage Sintering จะสิ้นสุดเมื่อคoccoดเริ่มเกิด impinge ซึ่งจะเกิดขึ้นที่ $\frac{X}{D}$ มีค่าเท่ากับ 0.3 โดยประมาณ กลไกการถ่ายเทมวลสารที่สำคัญได้แก่ Surface Diffusion และ Evaporation – Condensation และ Driving Force ที่สำคัญที่สุดคือ Curvature

แบบจำลองการเผาประสานส่วนใหญ่มักจะเป็นแบบจำลองในช่วง Initial Stage Sintering รวมทั้งแบบจำลองในตาราง 7.1 เนื่องจากในแบบจำลองเหล่านี้ตั้งสมมุติฐานอยู่บน Two-Sphere Sintering Model ที่เริ่มจาก $\frac{X}{D}$ เท่ากับศูนย์ ในทางปฏิบัติการวัดค่า $\frac{X}{D}$ เป็นเรื่องยาก และการวัดปริมาณการหดตัวเป็นเรื่องที่ง่ายกว่า ความสัมพันธ์ระหว่างปริมาณการหดตัวและ $\frac{X}{D}$ โดยประมาณได้ดังนี้

$$\frac{\Delta L}{L_0} = \left(\frac{X}{2D} \right)^2$$

เมื่อ $\frac{\Delta L}{L_0}$ คือความยานชีนงานที่เปลี่ยนไปหารด้วยความยานของชีนงานก่อนเริ่มเผาประสาน

โดยทั่วไปแล้วปริมาณการหดตัวสัมพันธ์นี้จะมีค่าเป็นลบ แต่เพื่อความสะดวกจึงมักจะถูกลากไว้ในสูตรที่

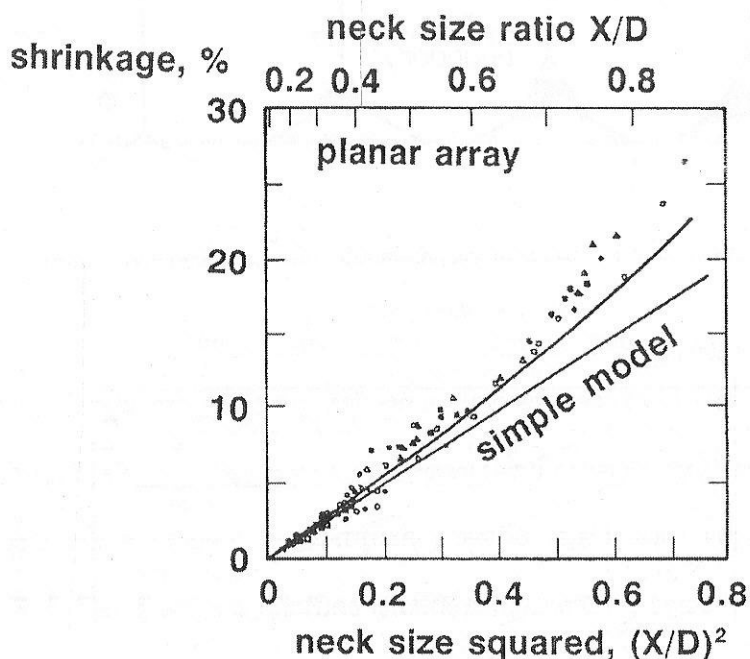
เข้าใจ ผลจากการทดลองหาค่า $\frac{\Delta L}{L_0}$ และ $\left(\frac{X}{D}\right)^2$ แสดงให้เห็นว่าในความเป็นจริงความสัมพันธ์ระหว่าง $\frac{\Delta L}{L_0}$

และ $\left(\frac{X}{D}\right)^2$ จะเป็นไปจากสมการข้างต้นเล็กน้อยโดยเฉพาะเมื่อผ่าน Initial Stage Sintering ไปแล้ว ภาพ

7.37 แสดงความสัมพันธ์ระหว่าง $\frac{\Delta L}{L_0}$ และ $\left(\frac{X}{D}\right)^2$ จากการทดลองเผาประสานลูกแก้วทรงกลม จะเห็นว่าเมื่อ

ค่า $\frac{X}{D}$ มากกว่า 0.3 ค่า $\frac{\Delta L}{L_0}$ จะเปลี่ยนไปจากสมการ โดยค่า $\frac{\Delta L}{L_0}$ จะมีค่ามากกว่าที่ได้จากการคำนวณด้วย

สมการ และถ้าหากอัตราการหดตัวของชีนงานจะได้ดังนี้



ภาพ 7.37 ความสัมพันธ์ระหว่าง $\frac{\Delta L}{L_0}$ และ $\left(\frac{X}{D}\right)^2$ จากการทดลองเผาประสานลูกแก้วทรงกลม

จะเห็นว่าเมื่อค่า $\frac{X}{D}$ มากกว่า 0.3 ค่า $\frac{\Delta L}{L_0}$ จะเปลี่ยนไปจากสมการ

จาก

$$\frac{\Delta L}{L_0} = \left(\frac{X}{2D}\right)^2$$

ดังนั้น

$$\frac{X}{D} = 2 \sqrt{\frac{\Delta L}{L_0}}$$

แล้วจาก

$$\left(\frac{X}{D} \right)^n = \frac{Bt}{D^m}$$

จะได้ว่า

$$\begin{aligned} \left(2 \left(\frac{\Delta L}{L_0} \right)^{1/2} \right)^n &= \frac{Bt}{D^m} \\ 2^n \left(\frac{\Delta L}{L_0} \right)^{n/2} &= \frac{Bt}{D^m} \\ \left(\frac{\Delta L}{L_0} \right)^{n/2} &= \frac{Bt}{2^n D^m} \end{aligned}$$

โดย B เป็นค่าที่ขึ้นอยู่กับอุณหภูมิอย่าง Exponential

$$B = B_0 \exp\left(\frac{-Q}{kT}\right)$$

เมื่อ k คือ Boltzmann's constant

T คืออุณหภูมิสัมบูรณ์

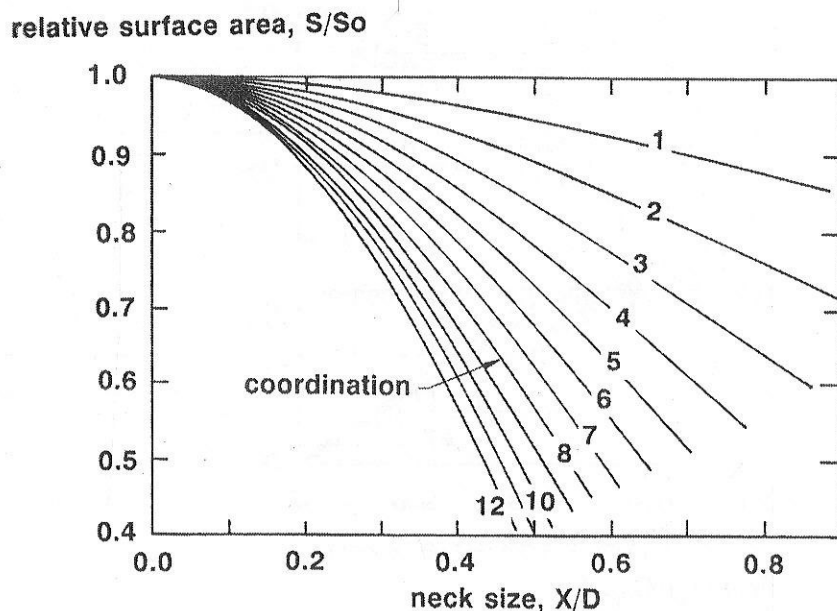
ข้อจำกัดของการศึกษาการเผาประสานด้วยการวัดปริมาณการหาดตัวของชิ้นงานคือในการเผาประสานบางเงื่อนไข ไม่ทำให้เกิดการหาดตัวเสมอไป เนื่องจากกลไกการถ่ายเทมวลสารหลายกลไกที่เป็นแบบ Surface Transport ไม่ก่อให้เกิดการหาดตัว เช่น Surface Diffusion, Evaporation – Condensation เป็นต้น ในกรณีนี้ ปริมาณการหาดตัวจะไม่ใช้ตัวแทนของการให้ของคอกออดได้ อีกบริการหนึ่งในการศึกษาการเผาประสานคือการวัดปริมาณพื้นที่ผิวของชิ้นงาน ภาพ 7.38 แสดงความสัมพันธ์ของปริมาณพื้นที่ผิวสัมพัทธ์และ $\frac{X}{D}$ จะเห็นได้ว่า ปริมาณพื้นที่ผิวสัมพัทธ์ลดลงเมื่อคอกออดโตขึ้น ยิ่งลงโลหะมี Coordination Number มากพื้นที่ผิวสัมพัทธ์จะขึ้นอยู่กับขนาดของคอกอุดมากขึ้น เนื่องจากยิ่งมี Coordination Number มากจะทำให้มีจำนวนคอกอุดมากขึ้น

ด้วย เมื่อคอกออดตอี้นจึงทำให้อัตราการลดลงของพื้นที่ผิวเพิ่มขึ้น ในช่วง Initial Stage Sintering พื้นที่ผิวสัมพัทธ์สัมพันธ์กับเวลาการเผาประสานดังสมการ

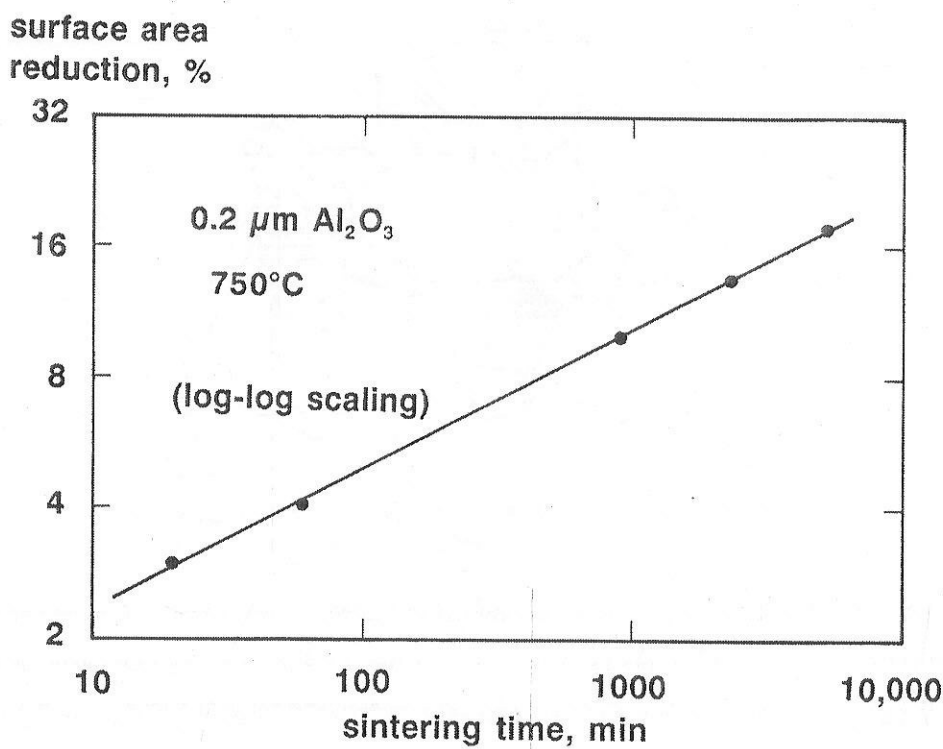
$$\left(\frac{\Delta S}{S_0} \right)^{n/2} = C_s t$$

เมื่อ	$\frac{\Delta S}{S_0}$	คือพื้นที่ผิวสัมพัทธ์ที่เปลี่ยนแปลงไป
	C_s	คือตัวแปรของกระบวนการแปรผันโดยตรงกับค่า B
	t	คือเวลาในการเผาประสาน

ภาพ 7.39 แสดงเปอร์เซ็นต์การลดลงของพื้นที่ผิวเมื่อเวลาการเผาประสานผ่านไปในการเผาประสานผงอะลูминีนาขนาด 0.2 ไมครอนที่อุณหภูมิ 750 องศาเซลเซียส จากความสัมพันธ์พบว่ากลไกการถ่ายเทมวลสารที่ควบคุมคือ Surface Diffusion



ภาพ 7.38 ความสัมพันธ์ของปริมาณพื้นที่ผิวสัมพัทธ์และ $\frac{X}{D}$

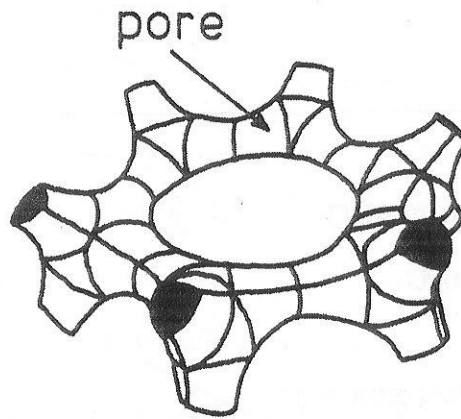


ภาพ 7.39 เมอร์เซ็นต์การลดลงของพื้นที่ผิวเมื่อเวลาการเผาประสานผ่านไปในการเผาประสานผงอะลูมิเนียมขนาด $0.2 \mu\text{m}$ ครองที่ 750°C ของเศษเสียส

7.4.2 Intermediate Stage Sintering

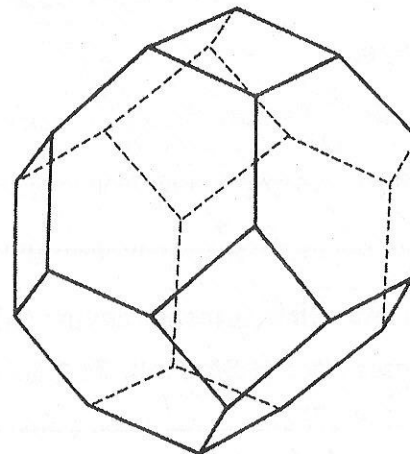
Initial Stage Sintering สิ้นสุดลงเมื่อ $\frac{X}{D}$ มีขนาดเท่ากับ 0.3 โดยประมาณ รูปร่างของรูพูนในช่วง Initial Stage Sintering เป็นแบบ Irregular เมื่อรูปร่างของรูพูนเปลี่ยนไปจาก Irregular เป็นทรงกระบอก จะเข้าสู่ช่วง Intermediate Stage Sintering โดยการเปลี่ยนรูปร่างของรูพูนจะเปลี่ยนไปที่ $\frac{X}{D}$ เท่ากับ 0.3 โดยประมาณ ถึงแม้ว่า Initial Stage Sintering มีบทบาทในการ提高ขึ้นของคุณภาพ แต่มีบทบาทในการ Densification น้อยมาก กลไกการถ่ายเทมวลสารที่สำคัญคือ Surface Diffusion และรองลงมาคือ Evaporation - Condensation

Intermediate Stage Sintering เป็นช่วงที่มีอัตรา Densification สูงที่สุด Driving Force ในขั้นตอนนี้คือ การลดลงของพื้นที่ผิว เนื่องจาก Curvature awan ในรูปเปลี่ยนแปลงไปมากในช่วง Initial Stage Sintering แล้ว หรือในแห่งของรูพูนคือเปลี่ยนจาก Irregular ซึ่งมีความแคลมนคอมไปเป็นทรงกระบอกที่มีความกลมมนมากขึ้น ภาพ 7.40 แสดงแบบจำลองของรูปร่างรูพูนในช่วง Intermediate Stage Sintering จะเห็นได้ว่ารูพูนยังมีลักษณะที่ต่อเนื่อง (Interconnect)

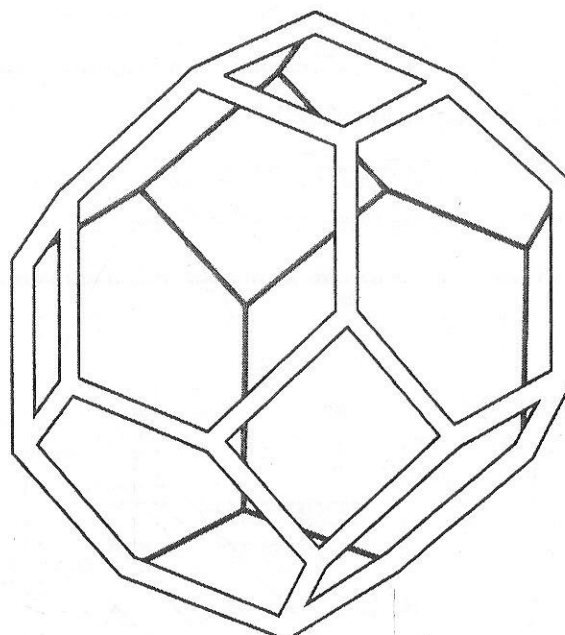


ภาพ 7.40 แบบจำลองของรูปปริ่งรูพุนในช่วง Intermediate Stage Sintering

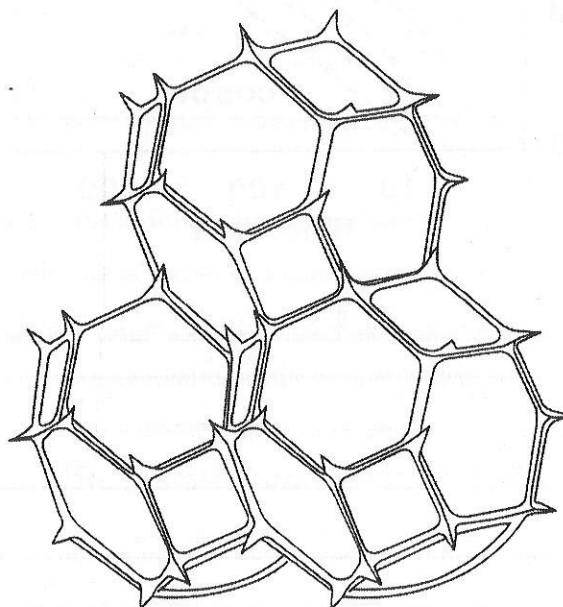
เนื่องจากรูปทรงที่สมดุลของสัดที่มีโครงสร้างผลึกไม่ใช่ทรงกลม แต่เป็นทรง Tetrakaidecahedron (รูปทรงที่ประกอบไปด้วย 14 หน้า) แสดงดังภาพ 7.41 ทำให้ในสามมิติแล้วรูปทรงของรูพุนจะวางตัวตามแนวขอบและสันของ Tetrakaidecahedron ดังภาพ 7.42 และ 7.43 ในกรณีที่มีสามเกณฑ์ต่อกัน และเนื่องจากโอลัฟ แต่ละชนิดมี Dihedral Angle ไม่เท่ากัน ดังนั้นรูปปริ่งของรูพุนจึงขึ้นอยู่กับ Dihedral Angle และ volume fraction



ภาพ 7.41 Tetrakaidecahedron



ภาพ 7.42 การวางแผนตัวข้องรูปrunตามสันและขอบของ Tetrakaidecahedron



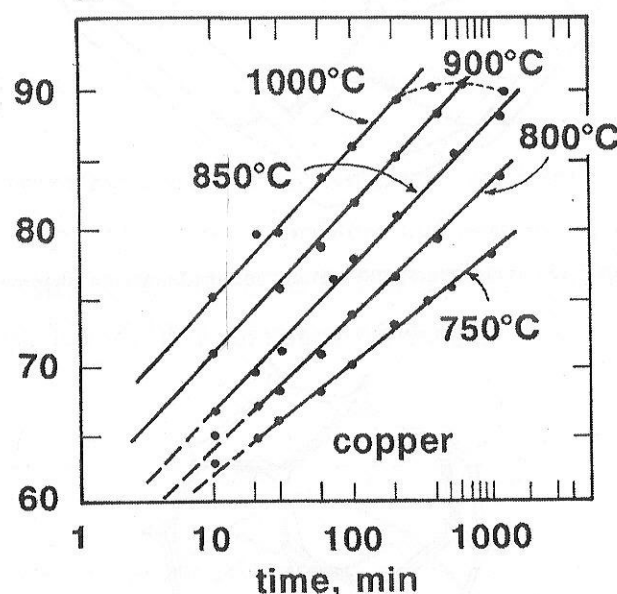
ภาพ 7.43 การวางแผนตัวข้องรูปrunตามสันและขอบของ Tetrakaidecahedron ในกรณีที่มีสามากันต่อ กัน แสดงให้เห็นลักษณะของ Interconnected pore

มีผู้เสนอแบบจำลอง Densification rate ($\frac{d\rho}{dt}$) ในช่วง Intermediate Stage Sintering จำนวนมาก แบบจำลองอย่างง่ายส่วนใหญ่จะใช้ผลการคำนวณที่ไม่แม่นยำ โดยมักจะให้ Densification rate ต่ำกว่าค่าที่ได้จริงเสมอ ซึ่งสันนิษฐานได้ว่าเกิดจากในการจำลองให้โครงสร้างอุดกั๊ดเป็นแบบพื้นฐาน แต่ในความเป็นจริงโครงสร้างอุดกั๊ดมีความซับซ้อนกว่า ความซับซ้อนที่มากขึ้นหมายถึง Vacancy Concentration มากขึ้นด้วย

และ Vacancy concentration ส่งผลโดยตรงต่อ Volume Diffusion และ Grain Boundary Diffusion จึงทำให้ Densification rate สูงกว่าค่าที่ทำนาย สำหรับแบบจำลองที่สามารถทำนายผลได้ใกล้เคียงไม่ได้นำมากระบวนการได้เนื่องจากมีความซับซ้อนมากเกินไปที่จะนำมาอธิบายในที่นี้

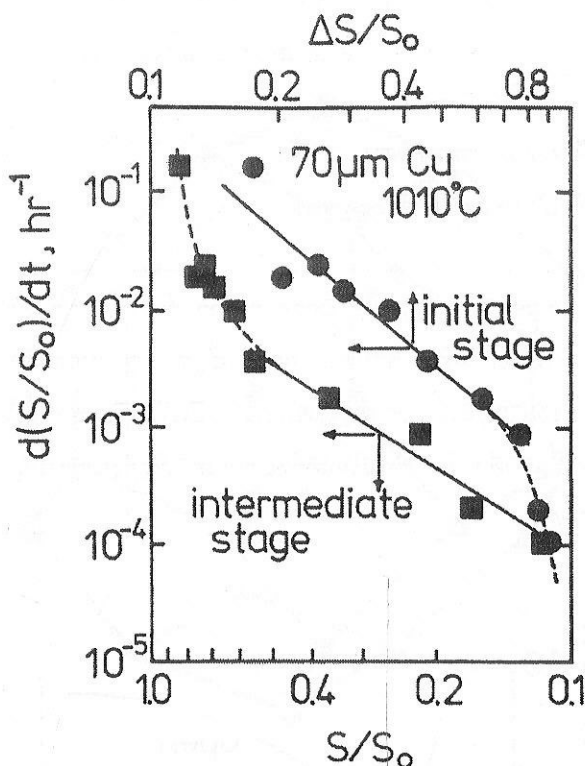
Densification rate ขึ้นอยู่กับขนาดเกราะ, ขนาดผงโลหะ, อุณหภูมิและโครงสร้างจุลภาค โดยที่ปัจจัยที่มีอิทธิพลมากที่สุดคืออุณหภูมิ ภาพ 7.44 แสดงอิทธิพลของอุณหภูมิต่อ Densification rate ในช่วง Intermediate Stage Sintering ของการเผาประสานผงโลหะทองแดง จะเห็นได้ว่า Densification rate สูงขึ้นเมื่อเพาประสานที่อุณหภูมิสูงขึ้น

density, %



ภาพ 7.44 อิทธิพลของอุณหภูมิต่อ Densification rate ในช่วง Intermediate Stage Sintering ของการเผาประสานผงโลหะทองแดง

Densification rate สามารถติดตามได้ด้วยพื้นที่ผิวเข่นกัน ซึ่งสามารถบ่งชี้ได้ด้วยค่า Surface Area Lost Rate ($\frac{d(S/S_0)}{dt}$) เมื่อ S คือพื้นที่ผิวที่เหลืออยู่ขณะนั้น เมื่อพื้นที่ผิวเหลือน้อยลง Surface Area Lost Rate จะลดต่ำลง ซึ่งหมายถึง Densification rate จะลดลงเมื่อการเผาประสานผ่านไป ภาพ 7.45 แสดงความสัมพันธ์ $\frac{d(S/S_0)}{dt}$ และพื้นที่ผิวที่เหลืออยู่ S/S_0 ของการเผาประสานผงโลหะทองแดงขนาด 70 ไมครอนที่อุณหภูมิ 1010 องศาเซลเซียส



ภาพ 7.45 ความถี่ของการเส้นพันธ์ $\frac{d(S/S_0)}{dt}$ และพันธ์ที่ผิวที่เหลืออยู่ S/S_0 ของการเผาประสาน

ผงโลหะทองแดงขนาด 70 μm 琨อ่อนหุ่ม 1010 องศาเซลเซียส

เมื่อความหนาแน่นภายในชิ้นงานเพิ่มขึ้น รูปrun จะมีขนาดเล็กลง จนถึงจุดหนึ่งรูปrun จะเริ่มไม่ต่อเนื่องกัน เป็นจุดสิ้นสุดของ Intermediate Stage Sintering ในช่วงสุดท้ายนี้ Grain Boundary จะขยายตัวจนมีขนาดเท่ากับขนาดของ孔 และ Grain Boundary จะพยายามเคลื่อนที่ผ่านรูปrun ที่ปิด (Closed pore) และ Closed pore ทำหน้าที่เป็นตัวขัดขวาง Grain Growth ทำให้ได้โครงสร้างสุดท้ายของชิ้นงานที่ละเอียด ดังนั้นการเลือกใช้ ผงโลหะที่มีขนาดละเอียดจึงได้เปรียบ รายละเอียดเกี่ยวกับ Grain Growth และรูปrun จะได้กล่าวถึงในขั้น Final Stage Sintering

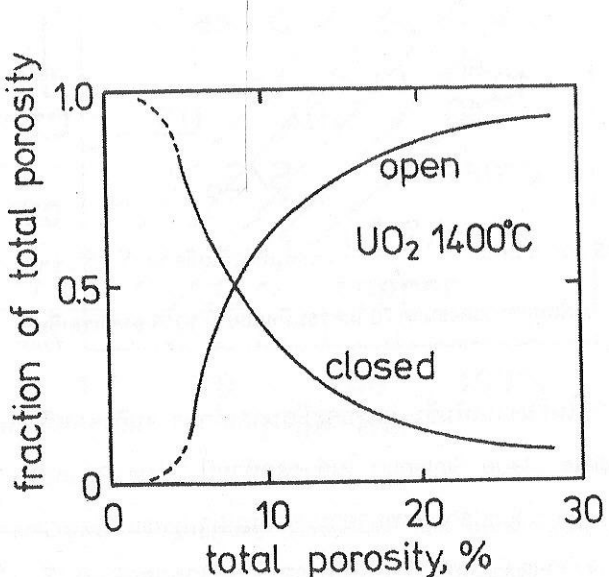
7.4.3 Final Stage Sintering

ภาพ 7.46 แสดงปริมาณ Closed และ Open pore ใน การเผาประสาน UO_2 ที่ 1400 องศาเซลเซียส ในช่วงเริ่มต้นเผาประสาน (Initial และ Intermediate Stage Sintering) ปริมาณ porosity มีมากและส่วนใหญ่ เป็น Open pore เมื่อการเผาประสานผ่านไปรูปrun จะเปลี่ยนรูปร่างจาก Irregular ไปเป็นทรงกระบอก และจากทรงกระบอกจะเข้าสู่ Final Stage Sintering ซึ่งรูปrun ส่วนใหญ่จะถูกปิดกลายเป็น Closed pore ในทางทฤษฎี แล้วรูปrun จะเริ่มปิดที่ประมาณ 92% Theoretical Density หรือประมาณได้จากเงื่อนไข

$$l \geq d_p \pi$$

เมื่อ	l	คือความยาวของรูพุน
	d_p	คือเส้นผ่านศูนย์กลางของรูพุน

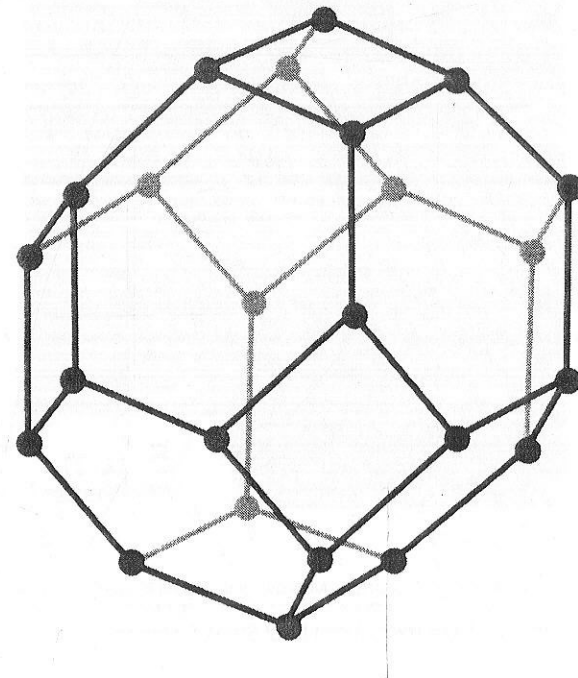
ในช่วง Intermediate Stage Sintering เมื่อ Densification ดำเนินไป d_p จะมีค่าน้อยลงโดยที่ l จะเพิ่มขึ้นจาก Grain Growth ทำให้โอกาสที่ l จะมีค่ามากกว่า $d_p \pi$ มาขึ้นและทำให้รูพุนปิดลง ถึงแม้ว่าในทางทฤษฎีรูพุนจะเริ่มปิดที่ประมาณ 8% porosity แต่ในความเป็นจริงเนื่องจากในโครงสร้างอุดกัมมีขนาดเล็ก, รูปร่างผังโลหะและรูพุนที่แตกต่างกันออกໄไปในแต่ละบริเวณทำให้รูพุนจะเริ่มปิดที่ประมาณ 15% และปิดหมดที่ประมาณ 5% porosity



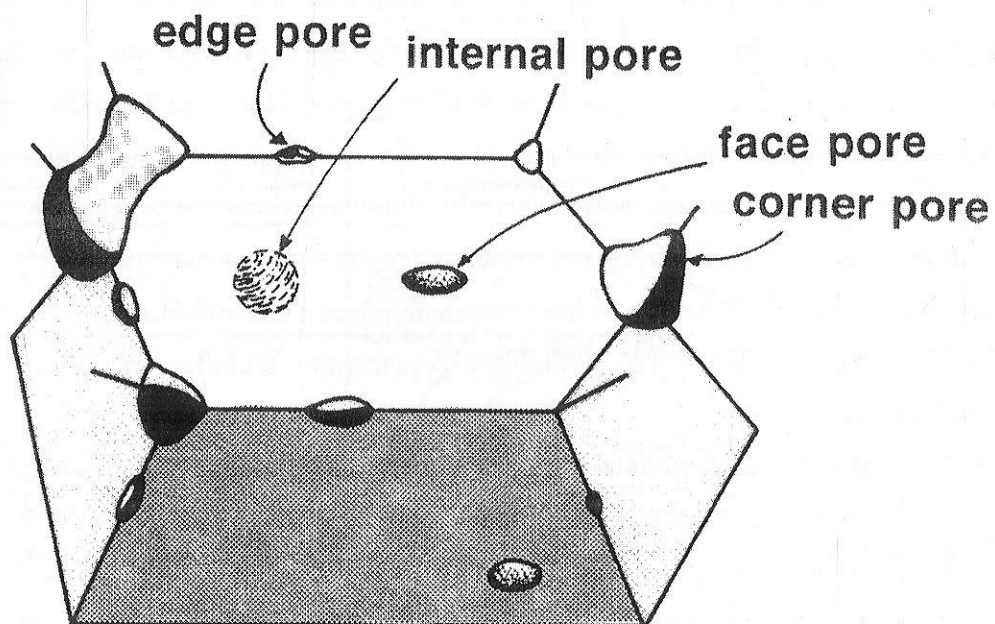
ภาพ 7.46 ปริมาณ Closed และ Open pore ในการเผาประสาน UO_2 ที่ 1400 องศาเซลเซียส

เมื่อเปรียบเทียบ Initial Stage Sintering และ Intermediate Stage Sintering แล้ว Final Stage Sintering มี Densification rate ที่ต่ำกว่ามาก เนื่องจากมี Driving Force น้อยลง Driving Force สำหรับ Final Stage Sintering คือการลดลงของพื้นที่ผิวเหมือนกับ Intermediate Stage Sintering ภาพ 7.47 แสดงแบบจำลองตำแหน่งการวางตัวของรูพุนในช่วง Final Stage Sintering จะเห็นได้ว่ารูพุนส่วนใหญ่เป็น Closed pore และจะอยู่บริเวณมุม (Corner) ระหว่างเก伦 นอกจากนี้รูพุนอาจอยู่บริเวณ Edge, Face หรือเป็น Internal pore ก็ได้ หากรูพุนอยู่ภายในเก伦 (Internal pore) จะมีรูปร่างเป็นทรงกลม ถ้ารูพุนอยู่ที่บริเวณหน้า (Face) หรือขอบ (Edge) ระหว่างเก伦 รูพุนจะมีรูปร่างเป็น Lenticular ถ้ารูพุนอยู่ที่บริเวณมุมระหว่างเก伦 (Corner) จะมีรูปร่างเป็น tetrahedron ภาพ 7.48 แสดงแบบจำลองรูปร่างของรูพุนในช่วง Final Stage

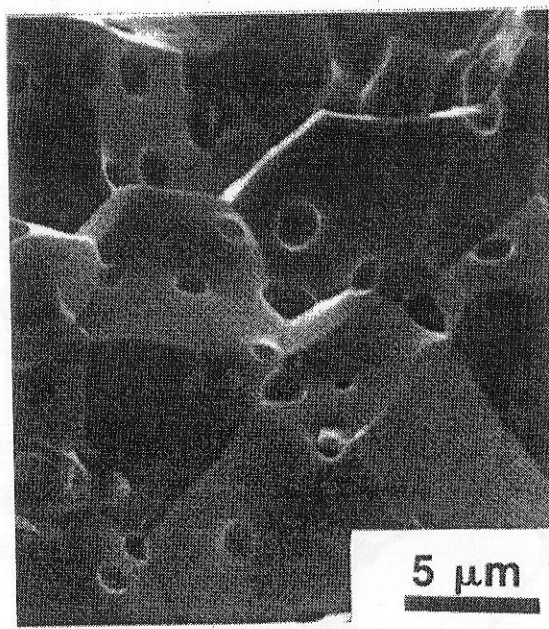
Sintering และภาพ 7.49 แสดงภาพถ่าย Scanning Electron Microscope ของร้อยแท่งแสดงให้เห็นรูปร่างและตำแหน่งการวางตัวของรูพรุนในช่วง Final Stage Sintering



ภาพ 7.47 แบบจำลองตำแหน่งการวางตัวของรูพรุนในช่วง Final Stage Sintering



ภาพ 7.48 แบบจำลองรูปร่างของรูพรุนในช่วง Final Stage Sintering



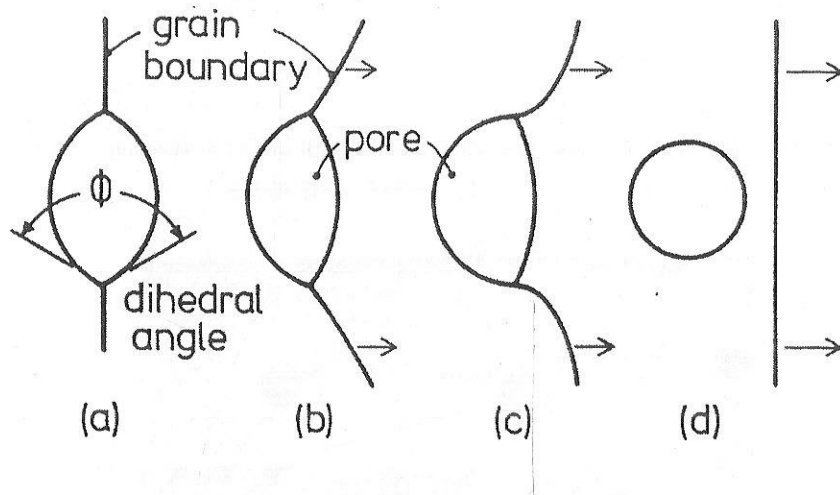
ภาพ 7.49 ภาพถ่าย Scanning Electron Microscope ของรายเดกแสดงให้เห็นรูปร่างและตัวແນ่งการวางตัวของรูพ魯นในช่วง Final Stage Sintering

รูพ魯นและขอบเกรنمี Binding Energy ต่อ กันและกัน เนื่องจากรูพ魯นช่วยลดพลังงานพื้นที่ผิวของขอบเกรنم Binding Energy ขึ้นอยู่กับขนาดและปริมาณของรูพ魯น รูพ魯นที่มีขนาดใหญ่จะลดพื้นที่ผิวของขอบเกรنمไปได้มากและมี Binding Energy มากกว่า เมื่อการเผาประสานดำเนินไป เกิด Densification ขึ้นทำให้ห้องงานมีความหนาแน่นมากขึ้น รูพ魯นมีปริมาณน้อยลงและมีขนาดเล็กลง ทำให้ Binding Energy ลดลง ขณะที่เผาประสานจะเกิด Grain Growth ขึ้นและบังคับให้ขอบเกรนเคลื่อนที่ผ่านรูพ魯น ทำให้ขอบเกรนเพิ่มพื้นที่ผิวมากขึ้น และดัดให้บริเวณรูพ魯น เมื่อพื้นที่ผิวของขอบเกรนมากขึ้นจนถึงจุดหนึ่ง ระบบจะสามารถลดพลังงานได้โดยการให้ขอบเกรนเคลื่อนผ่านรูพ魯นไป ถ้ามองในแง่ของพลังงานจะเห็นว่าในตอนแรก พื้นที่ผิวประกอบไปด้วยพื้นที่ผิวของรูพ魯นซึ่งเป็นทรง Lenticular และพื้นที่ผิวของขอบเกรนที่เป็นระนาบตรง เมื่อขอบเกรนเคลื่อนที่ผ่านรูพ魯นไป ของรูพ魯นซึ่งเป็นทรง Lenticular และพื้นที่ผิวของขอบเกรนที่เป็นระนาบตรง เมื่อขอบเกรนเคลื่อนที่ผ่านรูพ魯นไปแล้วพื้นที่ผิวจะประกอบไปด้วยพื้นที่ผิวของรูพ魯นที่เป็นทรงกลมและพื้นที่ผิวของขอบเกรนที่เป็นระนาบตรง จะเห็นได้ว่าถึงแม้พื้นที่ผิวของขอบเกรนจะเพิ่มขึ้น แต่พื้นที่ผิวของรูพ魯นจะลดลง โดยที่ปริมาณเท่ากัน รูปทรง Lenticular จะมีพื้นที่ผิวมากกว่าทรงกลม

ภาพ 7.50 แสดงแบบจำลองการเคลื่อนที่ของขอบเกรนผ่านรูพ魯น การเคลื่อนที่ของขอบเกรนผ่านรูพ魯นแบบนี้เรียกว่าเงื่อนไข “Break Away” ซึ่งขอบเกรนต้องมี Drag Force มากพอที่จะทำให้เกิด Break Away ขึ้นได้ Drag Force ขึ้นอยู่กับสมมติความต้องของขอบเกรนและ Mobility ของขอบเกรน ซึ่ง Mobility ของขอบเกรนขึ้นอยู่กับอุณหภูมิและรากฐาน ภาพ 7.51 แสดงความสัมพันธ์ระหว่าง Drag Force กับอัตราการเกิด Grain Growth จะเห็นว่า อัตราการเกิด Grain Growth จะลดลงเมื่อขอบเกรนเคลื่อนที่ผ่านรูพ魯น แต่จะเริ่มเมื่อเกิด Break Away และ ดังนั้นรูพ魯นที่มีจำนวนมากและขนาดเล็กจะพยายามตัวดีดซ้ายให้การเกิด Grain Growth ข้าลงและทำให้ได้โครงสร้างจุลภาคที่ละเอียด

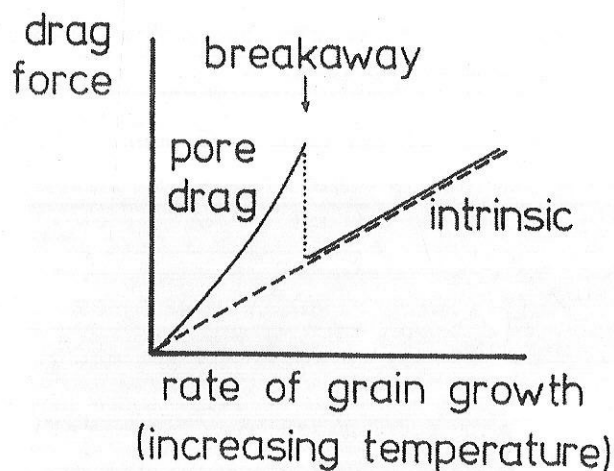
ภายหลังจากการเกิด Break Away แล้วรูพ魯นที่ขอบเกรนเคลื่อนที่ผ่านจะกลายเป็น Internal pore ซึ่งจะไม่เกิดการหลัดตัวลงอีก กล่าวคือจะไม่ทำให้เกิด Densification ต่างจากรูพ魯นที่ขอบ มุน หน้าของเกรนจะมีการ

เหตุตัวและทำให้เกิด Densification ดังนั้นถ้าเกิดเมื่อไหร่ Break Away แล้วจะทำให้ความหนาแน่นของชิ้นงานไม่เพิ่มขึ้นอีกและไม่เป็นที่ต้องการเนื่องจาก Internal pore จะกลายเป็นช่องว่างภายในริบบิ้นงานและทำให้ความแข็งแรงของชิ้นงานลดลง รวมทั้ง Internal pore ไม่สามารถใช้ประโยชน์จากความพูนได้ เช่นกัน ภาพ 7.52 แสดงลักษณะโครงสร้างจุลภาคที่เกิด Densification ได้และที่ไม่เกิด Densification

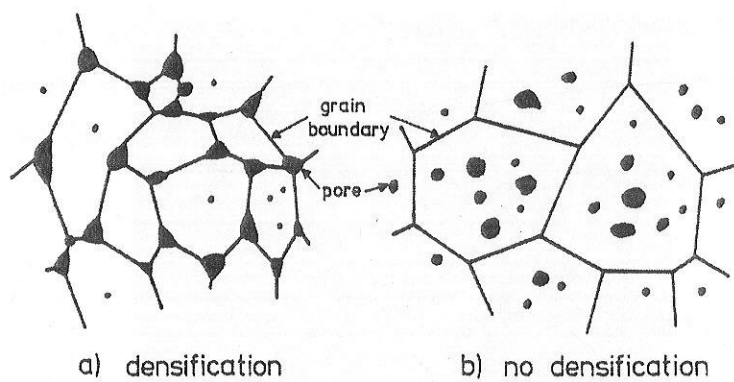


ภาพ 7.50 แบบจำลองการเคลื่อนที่ของขอบเกรนผ่านรูพูน

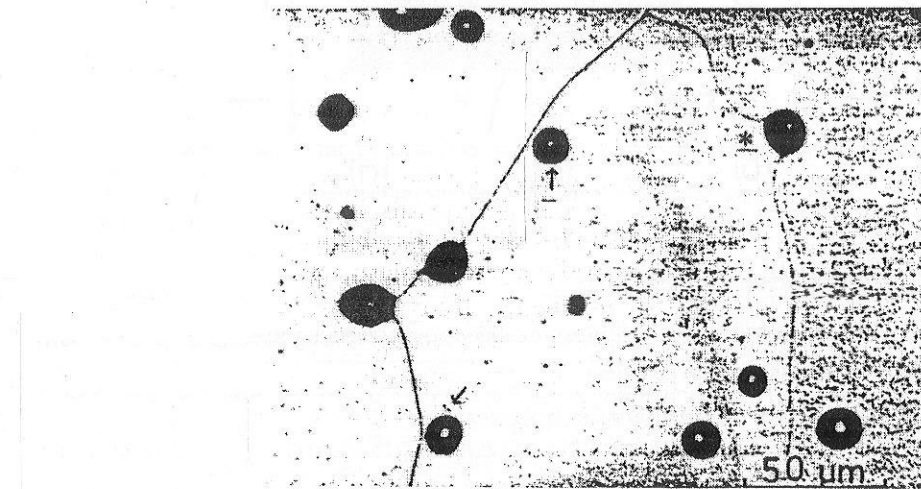
- รูพูนที่ขอบเกรนมีรูปทรงแบบ Lenticular มีมุมระหว่างขอบเกรนคือ dihedral angle
- และ c) Grain Growth ทำให้เกิด Pore drag
- d) Internal pore และขอบเกรน ภายนหลังเกิดเมื่อไหร่ Break Away



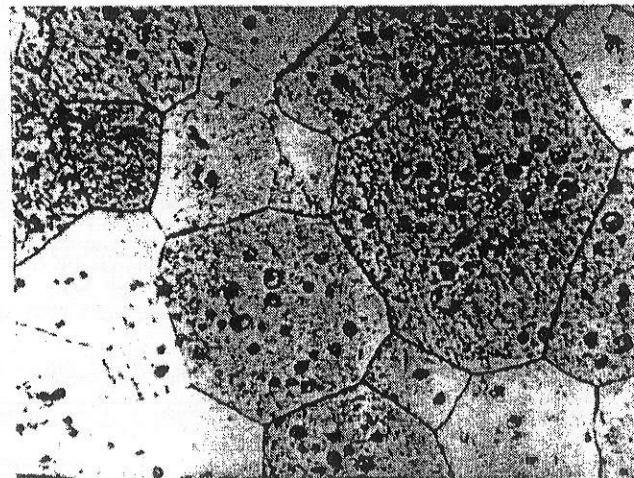
ภาพ 7.51 ความสัมพันธ์ระหว่าง Drag Force กับอัตราการเกิด Grain Growth



ภาพ 7.52 ลักษณะโครงสร้างอุลจุลภาค a) เกิด Densification b) ไม่เกิด Densification

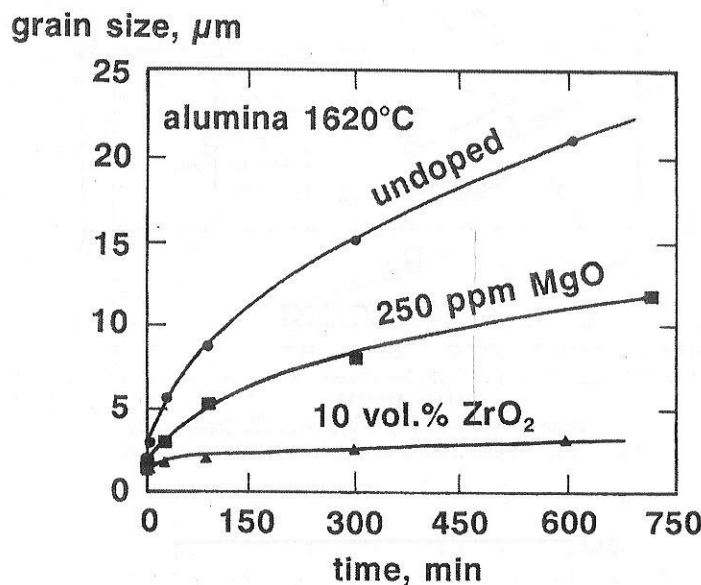


ภาพ 7.53 ภาพถ่าย Pore Drag และ Internal Pore ในการเผาประสานผงหั้งสเตนท์ 1400 องศาเซลเซียสเป็นเวลา 3 ชั่วโมง



ภาพ 7.54 ตัวอย่างโครงสร้างอุลจุลภาคที่ไม่เกิด Densification เมื่อเผาประสานต่อไป

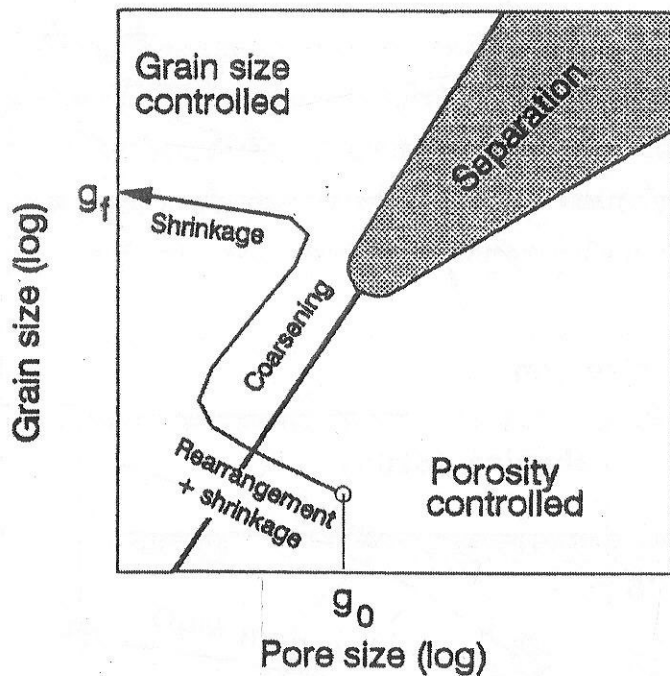
Additive คล้ายชนิด, Second Phase และ Inclusion สามารถช่วยลดอัตราการเกิด Grain Growth ใน Final Stage Sintering ยกตัวอย่างเช่น ในการเผาประสาน Al_2O_3 พบว่าการเติม Magnesia (MgO) ช่วยลด อัตราการขยายตัวของเกรนได้ และการเติม 10% Zirconia (ZrO_2) จะช่วยลดอัตราการขยายตัวของเกรนมากขึ้น อีก โดย ZrO_2 จะเข้าไปอยู่ในรูปของ Dispersoid ในโครงสร้างจุดภาค ภาพ 7.55 แสดงความสัมพันธ์ระหว่าง ขนาดเกรนและการเติม Additive ใน การเผาประสานอะลูминิที่ 1620 องศาเซลเซียส



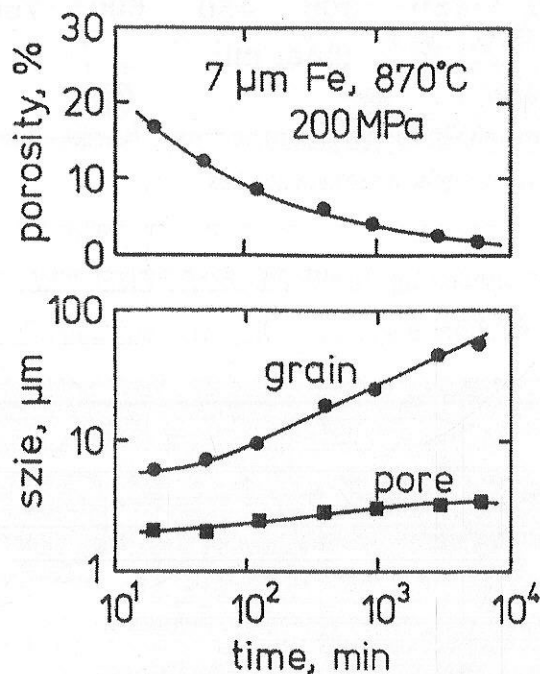
ภาพ 7.55 ความสัมพันธ์ระหว่างขนาดเกรนและการเติม Additive ใน การเผา
ประสานอะลูминิที่ 1620 องศาเซลเซียส

เพื่อที่จะให้ได้ขั้นงานที่มีความหนาแน่นสูงต้องหลีกเลี่ยงเงื่อนไข Break Away ใน การเผาประสาน จาก ภาพ 7.56 จะเห็นได้ว่าเงื่อนไขที่ทำให้เกิด Break away คือรูพุนและเกรนขนาดใหญ่ เพื่อหลีกเลี่ยงเงื่อนไข Break away ในช่วงแรกของการเผาประสาน รูพุนทำหน้าที่ยับยั้งการเกิด Grain Growth ทำให้ในช่วงนี้เกรนจะ ไม่ขยายตัวมากนัก แต่รูพุนจะมีขนาดเล็กลง และในช่วง Final Stage Sintering รูพุนมีจำนวนน้อยลงและมี ขนาดเล็กลงต่อไปแต่จะขนาดของรูพุนจะลดลงไม่มากนัก ในทางตรงกันข้ามเกรนจะมีขนาดใหญ่ขึ้นมากขึ้น ในช่วงนี้ ดังนั้นในการเผาประสานต้องควบคุม Thermal Cycle และ Microstructural coarsening เพื่อ หลีกเลี่ยงขนาดรูพุนและเกรนวิกฤตเพื่อไม่ให้เกิดเงื่อนไข Break away ได้

ในบางครั้งถึงแม้การเผาประสานจะเป็นแบบ Grain size control แต่ขนาดของรูพุนอาจเพิ่มขึ้นได้ พอกสมควร ทั้งนี้เนื่องจากเมื่อเกิด Densification จะมีการกำจัดรูพุนที่มีขนาดเล็กไป หรือเกิดปรากฏการณ์ Ostwald Ripening เมื่อรูพุนขนาดเล็กถูกกำจัดไปจึงทำให้ขนาดของรูพุนเปลี่ยนเพิ่มมากขึ้น แม้ว่าขนาดของรูพุนที่แท้จริงจะเพิ่มขึ้นเพียงเล็กน้อยเท่านั้น ภาพ 7.57 แสดงความสัมพันธ์ระหว่าง Porosity, ขนาดเกรนกับ เวลาการเผาประสานผงเหล็กที่ผลิตด้วยกระบวนการ Carbonyl ขนาด 7 ไมโครอนที่อุณหภูมิ 870 องศาเซลเซียส อัดขึ้นรูปที่ 200 MPa

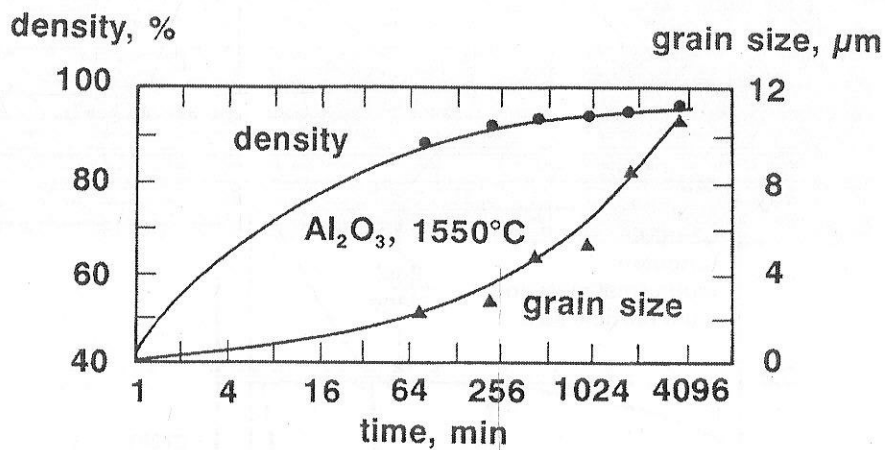


ภาพ 7.56 แผนภาพความสัมพันธ์ระหว่างขนาดของรูพรุนและขนาดเกร็น
เกร็นและรูพรุนขนาดใหญ่ทำให้เกิดเงื่อนไข Break away



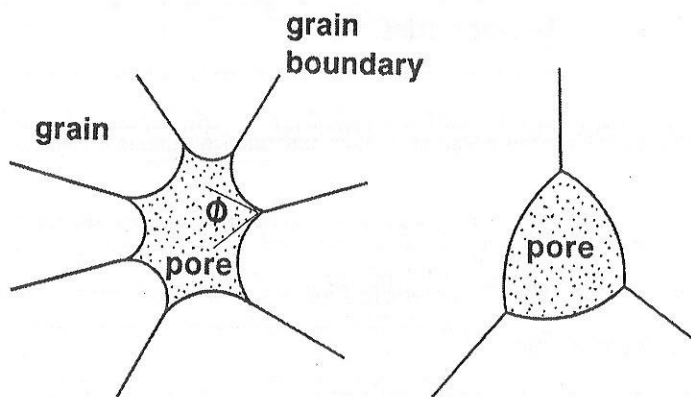
ภาพ 7.57 ความสัมพันธ์ระหว่าง Porosity, ขนาดเกร็นกับเวลาการเผาประสานผงเหล็กที่ผลิต
ด้วยกระบวนการ Carbonyl ขนาด 7 ไมครอนที่อุณหภูมิ 870 องศาเซลเซียส ขัดขึ้น
รูปที่ 200 MPa

ภาพ 7.58 แสดงข้อมูลของ Final Stage Sintering ของอะลูมินา โดยที่ความหนาแน่นและขนาดเกรนจะเพิ่มขึ้นตามเวลาในการเผาประสาน จากการทดลองพบว่ารูปrunที่มีขนาดใหญ่กว่า 5 ไมครอนจะมีความเสถียรมากและไม่สามารถกำจัดให้หายไปได้ในการเผาประสาน เพราะเมื่อขนาดใหญ่จนทำให้เกิดเงื่อนไข Break away ดังนั้นการใช้ผงอะลูมินาที่มีการกระจายตัวของขนาดผงสม่ำเสมอจะทำให้ได้รูปrunที่มีขนาดสม่ำเสมอเช่นกัน และทำให้ควบคุมการเผาประสานได้ง่ายขึ้น



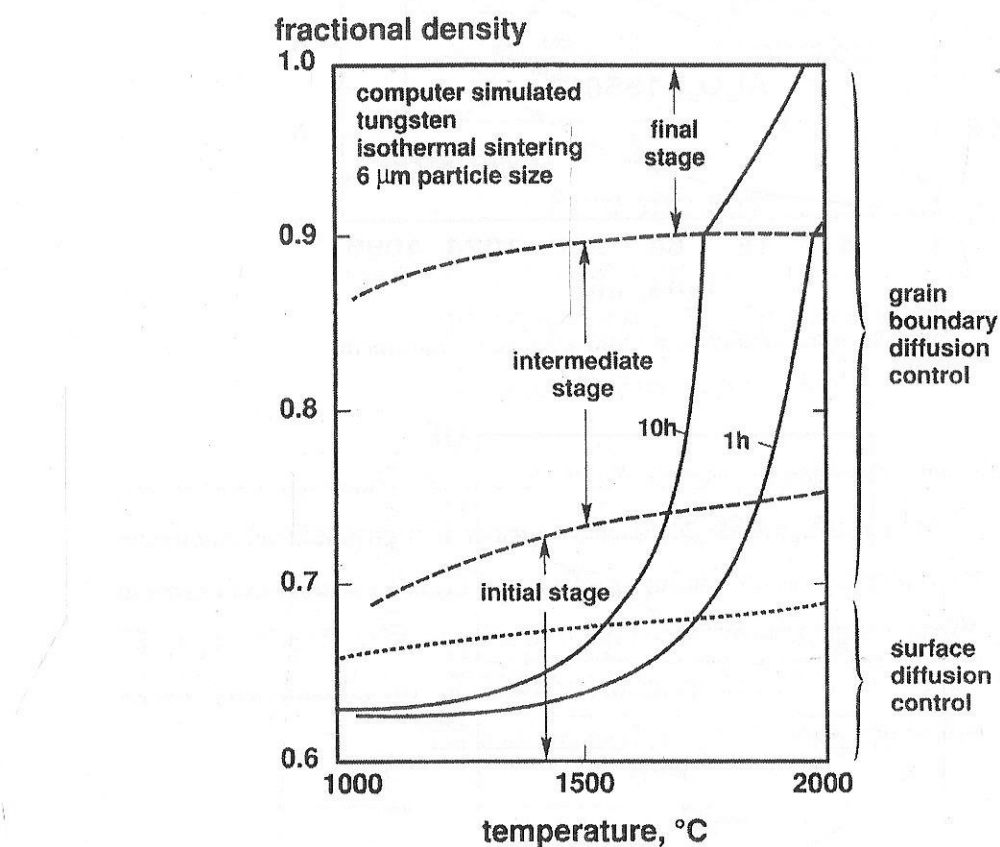
ภาพ 7.58 ความสัมพันธ์ระหว่างความหนาแน่น, ขนาดเกรนกับเวลาใน
การเผาประสานของอะลูมินาที่ 1550 ชั่วโมง Celsius

รูปร่างของรูปrunขึ้นอยู่กับ Coordination number ด้วยเช่นกัน ภาพ 7.59 แสดงภาพจำลองรูปrunที่มี Coordination number ไม่เท่ากัน สำหรับรูปrunที่มี Coordination number มาก รูปrunจะมีผิวเรียบและมีขนาดใหญ่ เพราะเกิดจากเกรนจำนวนมากเกรน ซึ่งจะทำให้เป็นรูปrunที่มีความเสถียรและกำจัดในขั้นตอนเผาประสานได้ยาก เนื่องจากรูปrunที่มีขนาดใหญ่และพื้นผิวเรียบมีแนวโน้มที่จะขยายตัวออก ในทางตรงกันข้ามรูปrunที่มี Coordination number น้อยจะมีขนาดเล็กและผิวrunจะสามารถกำจัดได้ง่าย เพราะผิวrunมีแนวโน้มที่จะหดหายไป และรูปrunที่มีขนาดเล็กจะถูกกำจัดด้วยปรากฏการณ์ Ostwald Ripening



ภาพ 7.59 ภาพจำลองรูปrunที่มี Coordination number
(ซ้าย) Coordination number มาก
(ขวา) Coordination number น้อย

จากที่ได้กล่าวไปในหัวข้อกลไกการถ่ายเทมวลสารแล้วว่ากลไกการถ่ายเทมวลสารที่ควบคุมในช่วง Initial Stage Sintering คือ Surface Diffusion และ Evaporation – Condensation และกลไกการถ่ายเทมวลสารที่ควบคุมในช่วง Intermediate Stage Sintering และ Final Stage Sintering คือ Volume Diffusion และ Grain Boundary Diffusion ภาพ 7.60 แสดง Sintering Mechanism Map ของการเผาประสานผงหั่นขนาด 6 ไมครอน โดยช่วง Initial Stage Sintering กลไกการถ่ายเทมวลสารที่ควบคุมคือ Surface Diffusion และในช่วง Intermediate Stage Sintering และ Final Stage Sintering กลไกการถ่ายเทมวลสารที่ควบคุมคือ Grain Boundary Diffusion

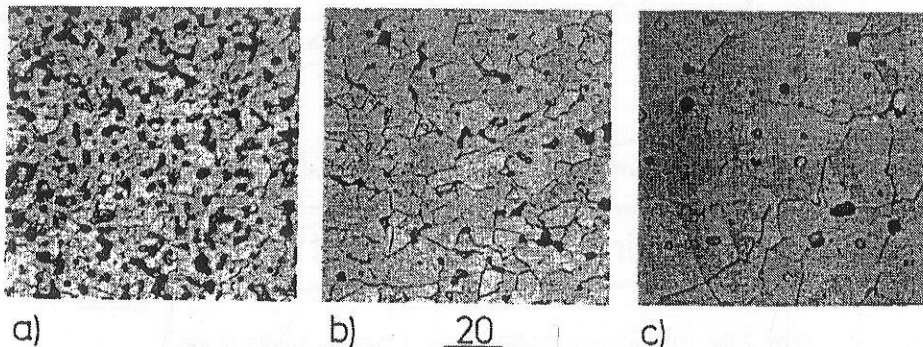


ภาพ 7.60 Sintering Mechanism Map ของการเผาประสานผงหั่นขนาด 6 ไมครอน

โดยสรุปรวมเกี่ยวกับ Sintering Stage แล้ว ในแต่ละช่วงของการ Densification แล้ว ช่วง Initial Stage Sintering และ Final Stage Sintering มีอัตราการ Densification ค่อนข้างต่ำ และในช่วง Intermediate Stage Sintering มีอัตราการ Densification สูงที่สุด

สำหรับกลไกการถ่ายเทมวลสารที่เป็นตัวควบคุมในช่วง Initial Stage Sintering “ได้แก่” Surface Diffusion และ Evaporation – Condensation ส่วน Intermediate และ Final Stage Sintering “ได้แก่” Volume Diffusion และ Grain Boundary Diffusion

รูปร่างรูพรุนจะเริ่มต้นจากในช่วง Initial Stage Sintering เป็นรูปทรง Irregular ในช่วง Intermediate Stage Sintering รูพรุนมีรูปร่างเป็นทรงกระบอก และในช่วง Final Stage Sintering รูพรุนมีรูปร่างเป็น tetrahedron, lenticular และทรงกลมขึ้นอยู่กับตำแหน่งของรูพรุน ภาพ 7.61 เปรียบเทียบรูปร่างของรูพรุน ในช่วงการเผาประสานต่าง ๆ



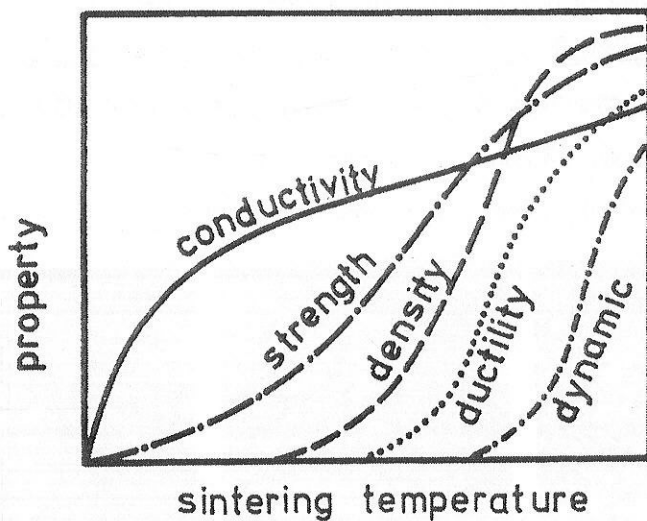
ภาพ 7.61 เปรียบเทียบรูปร่างของรูพรุนในช่วงการเผาประสานต่าง ๆ กัน

- a) Initial Stage Sintering
- b) Intermediate Stage Sintering
- c) Final Stage Sintering

7.5 อิทธิพลของตัวแปรในการเผาประสาน

ขั้นงานที่ผลิตด้วยกระบวนการโลหะผงจะมีสมบัติแตกต่างจากการกระบวนการการดั้งเดิม เนื่องจากมีรูพรุนในโครงสร้างอุดลักษณ์ รูพรุนเมื่อปักภัยในโครงสร้างอุดลักษณ์แล้วจะทำให้ความสามารถในการนำไฟฟ้า (Electrical Conductivity) ลดลง, ความสามารถในการนำความร้อน (Thermal Conductivity) ลดลง, ความแข็งแรงดึง (Tensile Strength) ต่ำลง, ความเหนียว (Ductility) น้อยลงและความต้านทานแรงกระแทก (Impact Resistance) ต่ำลง สมบัติทั้งหมดนี้ล้วนขึ้นอยู่กับปริมาณของรูพรุนหรือความสามารถหนาแน่นของรูพรุน ดังนั้นเมื่อเผาประสานจะทำให้ความสามารถในการนำความร้อนและไฟฟ้าสูงขึ้น, ความแข็งแรงดึงสูงขึ้น, ความเหนียวมากขึ้น และความต้านทานแรงกระแทกสูงขึ้น ภาพ 7.62 แสดงการเปลี่ยนแปลงของสมบัติต่าง ๆ ของชิ้นงานที่เผาประสานที่อุณหภูมิต่างกันด้วยเวลาเท่ากัน จะเห็นได้ว่าสมบัติส่วนใหญ่จะขึ้นอยู่กับอุณหภูมิการเผาประสานค่อนข้างมาก

ในหัวข้อนี้จะกล่าวถึงอิทธิพลของตัวแปรในการเผาประสาน ซึ่งได้แก่ อุณหภูมิเผาประสาน, เวลาการเผาประสาน, แรงดันในการอัดขึ้นรูปและขนาดของผงโลหะ สองตัวแปรหลังแม้จะไม่ใช้ตัวแปรของกระบวนการเผาประสานโดยตรง แต่ว่ามีอิทธิพลต่อคุณภาพผลิตภัณฑ์ที่ได้จะนำมาควบคุมไว้ในที่นี้ด้วย



ภาพ 7.62 การเปลี่ยนแปลงของสมบัติต่าง ๆ ของชิ้นงานที่เผาประสานที่อุณหภูมิต่างกันด้วยเวลาเท่ากัน

7.5.1 อุณหภูมิและเวลาในการเผาประสาน

อุณหภูมิเผาประสานที่สูงกว่าทำให้กระบวนการถ่ายเทมวลสารเกิดได้เร็วขึ้น ดังนั้นอุณหภูมิเผาประสานที่สูงกว่าจึงทำให้อัตรา Densification สูงขึ้นด้วย จากภาพ 7.63 จะเห็นได้ว่าที่เวลาการเผาประสานเท่ากัน อุณหภูมิเผาประสานที่สูงกว่าจะทำให้ได้ความหนาแน่นสูงกว่า การหดตัวส่วนใหญ่เกิดขึ้นในช่วงแรกของการเผาประสานและเกิดขึ้นน้อยลงเมื่อเวลาผ่านไป ในทำนองเดียวกันในช่วงแรกของการเผาประสานอัตราการ Densification จะสูงและค่อยๆ ลดลงเมื่อเวลาผ่านไป ผ้าสังเกต Sintering Mechanism Map ดูจะพบว่ากลไกการถ่ายเทมวลสารที่จะเป็นตัวควบคุมนั้นจะขึ้นอยู่กับอุณหภูมิการเผาประสานด้วยเช่นกัน

ถ้าลองพิจารณาตัวแปรที่ใช้ในการศึกษาพฤติกรรมการเผาประสานที่ได้กล่าวถึงมาแล้ว ซึ่งได้แก่ ขนาด

คอคอด (Neck Size) $\frac{X}{D}$, พื้นที่ผิวสัมผัท (Relative Surface Area) $\frac{S}{S_0}$, ปริมาณการหดตัวสัมพัทธ์ (Relative

Shrinkage) $\frac{L}{L_0}$ ซึ่งทั้งหมดนี้เป็นตัวเลขไร้หน่วย (Unitless Number) ทำให้ง่ายต่อการวิเคราะห์ นอกจ้านี้อีกด้วย

표현นี้ที่ควรลากถูกต้องคือ Densification (ϕ) ซึ่งคำนวณได้จาก

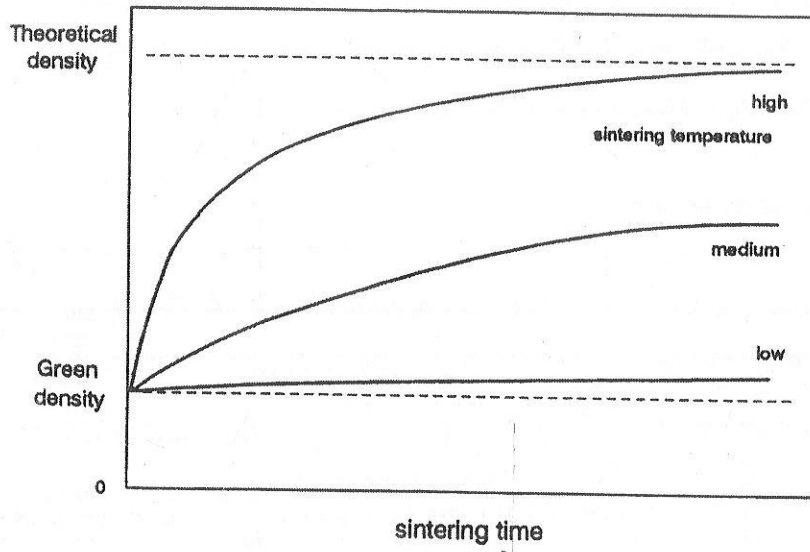
$$\phi = \left[\frac{\rho_s - \rho_g}{\rho_t - \rho_g} \right]$$

อัตราการเปลี่ยนแปลงของค่า $\frac{X}{D}, \frac{S}{S_0}, \frac{L}{L_0}$ และ ϕ ขึ้นอยู่กับอุณหภูมิเผาประสาน ดังภาพ 7.64 โดย

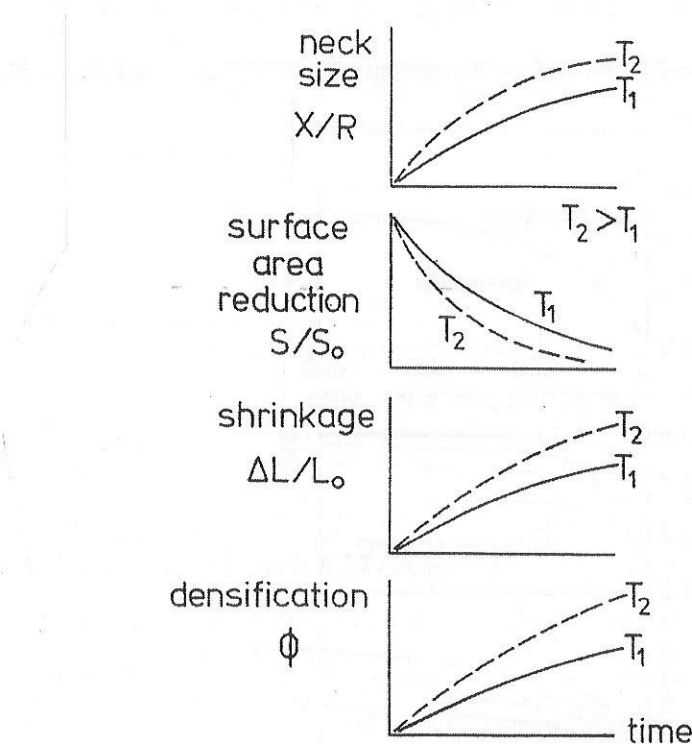
พจนะสูงความสัมพันธ์ได้ดังนี้คือ เมื่อใช้อุณหภูมิเผาประสานสูงขึ้นจะทำให้อัตราการขยายตัวของคอคอด $\frac{X}{D}$

เพิ่มขึ้น, อัตราการลดลงของพื้นที่ผิวสัมผัท $\frac{S}{S_0}$ เพิ่มขึ้น, อัตราการเพิ่มขึ้นของปริมาณการหดตัวสัมพัทธ์ $\frac{L}{L_0}$

เพิ่มขึ้นและอัตราการเกิด Densification เพิ่มขึ้น จึงพอที่จะสรุปได้ว่ากระบวนการการเผาประสานเป็นแบบ Thermal Activated Process



ภาพ 7.63 ความสัมพันธ์ระหว่างความหนาแน่นและเวลาการเผาประสานที่อุณหภูมิเผาประสานต่างกัน

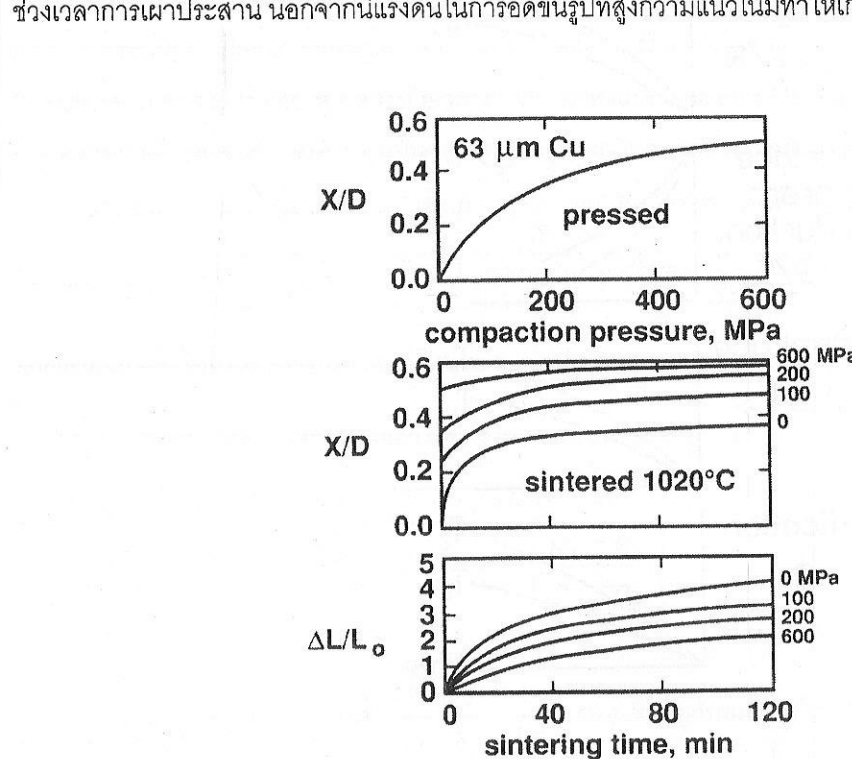


ภาพ 7.64 ความสัมพันธ์ระหว่างค่า $\frac{X}{D}$, $\frac{S}{S_0}$, $\frac{\Delta L}{L_0}$, ϕ และเวลาการเผา
ประสานที่อุณหภูมิเผาประสานต่างกัน

สำหรับเวลาในการเผาประสาน จากภาพ 7.58 จะเห็นได้ว่าแม้เวลาการเผาประสานที่นานขึ้นจะช่วยทำให้ได้ความหนาแน่นมากขึ้น แต่ว่าก็ทำให้เกิด Grain Growth มากขึ้นด้วยเช่นกัน พฤติกรรมการเพิ่มขึ้นของความหนาแน่นและขนาดเกรนแตกต่างกัน โดยความหนาแน่นจะเพิ่มขึ้นด้วยอัตราที่ช้าลงแต่ขนาดเกรนจะเพิ่มขึ้นด้วยอัตราที่เพิ่มขึ้นเมื่อเวลาผ่านไป ดังนั้นในการออกแบบกระบวนการผลิต เวลาเผาประสานที่เหมาะสมเพื่อที่จะให้ได้ความแข็งแรงของผลิตภัณฑ์สูงสุดจะต้องเป็นจุดสมดุลระหว่างความหนาแน่นของชิ้นงานและขนาดเกรน ควรทำการทดลองเพื่อหาค่าดังกล่าวก่อนเริ่มผลิตชิ้นงานจำนวนมาก

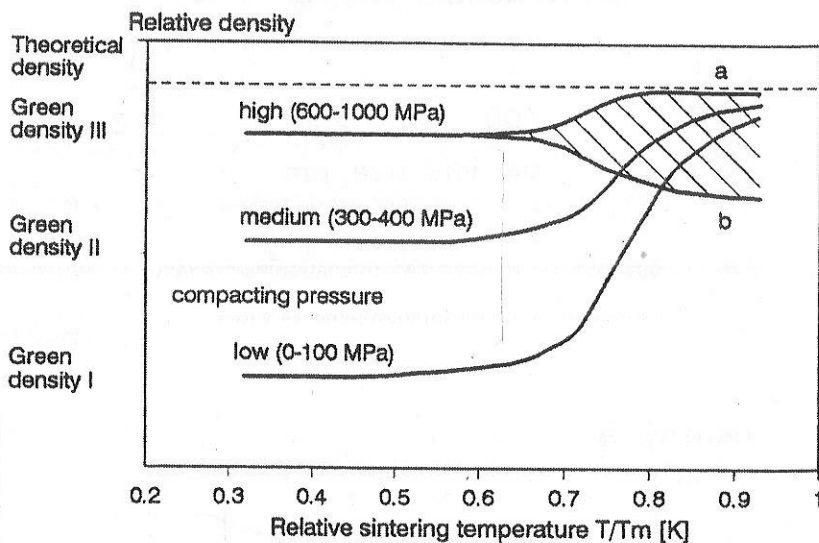
7.5.2 แรงดันในการอัดขึ้นรูป

อันที่จริงแล้วแรงดันในการอัด (Compaction Pressure) เป็นตัวแปรในกระบวนการอัดขึ้นรูป อย่างไรก็ได้ แรงดันในการอัดขึ้นรูปมีผลต่อกระบวนการเผาประสานด้วย เช่นกัน จึงได้นำมากล่าวถึงในหัวข้อนี้ เมื่อผงโลหะถูกอัดขึ้นรูป ผงโลหะแต่ละเม็ดจะเข้ามติดกันด้วยแรงทางกลและเกิดการเสียรูปอย่างถาวร การเสียรูปอย่างถาวรทำให้พื้นที่ผิวสัมผัสระหว่างผงโลหะมีมากขึ้น หรือจากล่างได้ว่า $\frac{X}{D}$ มีค่ามากขึ้น ดังนั้นถ้าหากใช้แรงดันในการอัด $\frac{X}{D}$ ขึ้นรูปมากก็จะทำให้ค่า $\frac{X}{D}$ มีค่ามากขึ้นด้วยเช่นกัน (ภาพ 7.65) และค่า $\frac{X}{D}$ นี้จะเป็นค่า $\frac{X}{D}$ เริ่มต้นในการเผาประสาน การที่ค่า $\frac{X}{D}$ เริ่มต้นนี้มีค่ามากมีแนวโน้มที่จะทำให้ได้ $\frac{X}{D}$ สูงกว่าด้วยเวลาการเผาประสานเท่ากัน และในหลายกรณีพบว่าค่า $\frac{X}{D}$ ที่ได้จากการอัดขึ้นรูปที่สูงกว่าทำให้ได้ค่า $\frac{X}{D}$ สูดท้ายสูงกว่าทุกช่วงเวลาการเผาประสาน นอกจากนี้แรงดันในการอัดขึ้นรูปที่สูงกว่ามีแนวโน้มทำให้เกิดการหดตัวน้อยลงด้วย



ภาพ 7.65 อิทธิพลของแรงดันในการอัดขึ้นรูปต่อพฤติกรรมการเผาประสานผงโลหะทองแดงขนาด 63 ไมครอน

จากที่ได้กล่าวมาคือข้อได้เปรียบของการใช้แรงดันในการอัดขึ้นรูปสูง แต่ข้อควรระวังคือแรงดันในการอัดขึ้นรูปที่สูงเกินไปอาจทำให้รั้มงานเกิดการแตกหักแบบ Localized crack หรือ End Capping ได้ (ทบทวนเนื้อหาได้ในบทที่ 6 การตรวจสอบคุณภาพชิ้นงานอัดขึ้นรูป) รวมทั้งทำให้อาชญากรรมใช้งานของแมพิมพ์สั้นลง ในบางกรณีเมื่อเพาประisanชิ้นงานที่อุณหภูมิสูง ชิ้นงานที่ใช้แรงดันในการอัดขึ้นรูปสูงอาจเกิดการพองตัว (Swelling) ตามแนวการอัดขึ้นรูป ทำให้ได้ความหนาแน่นต่ำลง สาเหตุของการพองตัวเนื่องจากเมื่อใช้แรงดันในการอัดขึ้นรูปสูงทำให้รูพูนส่วนใหญ่ถูกปิดเป็น Closed pore เมื่อเพาประisanทำให้ก้าซ้ายภายใน Closed pore ขยายตัวและดันให้ชิ้นงานพองตัว ภาพ 7.66 แสดงอิทธิพลของแรงดันในการอัดขึ้นรูปเมื่อเพาประisanที่อุณหภูมิต่างกัน

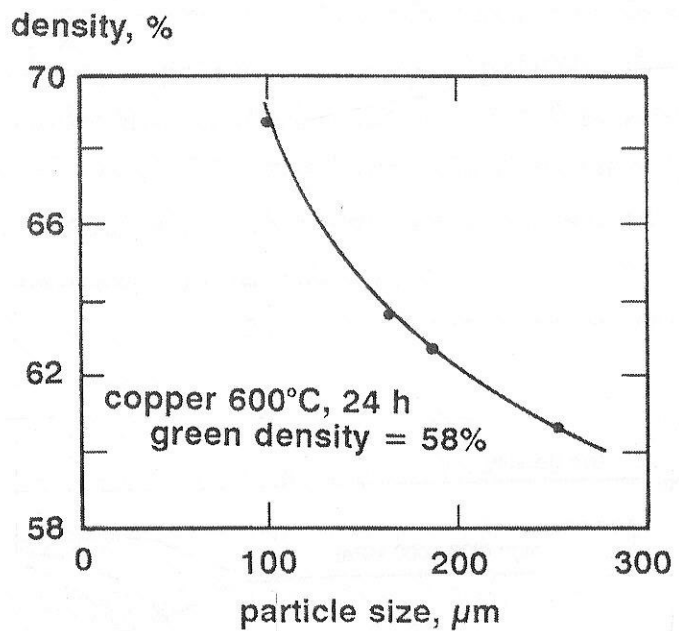


ภาพ 7.66 อิทธิพลของแรงดันในการอัดขึ้นรูปเมื่อเพาประisanที่อุณหภูมิต่างกัน

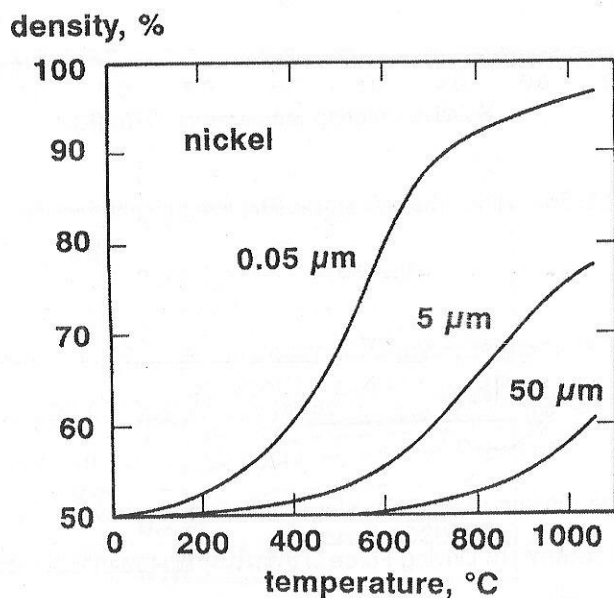
7.5.3 ขนาดผลโลหะ

ผลโลหะขนาดเล็กกว่าจะสามารถเผาประisanให้ได้ความหนาแน่นสูงได้เร็วกว่า เนื่องจากผลโลหะขนาดเล็กให้ Driving Force มากกว่าเนื่องจากมีรัศมีความโค้งน้อยและมีพื้นที่ผิวมากกว่า กลไกการถ่ายเทมวลสารจะเกิดได้ง่ายขึ้นด้วย Driving Force ที่มากกว่านี้ ในช่วง Initial Stage Sinter นั้น Driving Force คือ Curvature สำนในช่วง Intermediate Stage Sintering และ Final Stage Sintering นั้น Driving Force คือการลดลงของพื้นที่ผิว จะเห็นได้ว่าผลโลหะขนาดเล็กทำให้ Driving Force มากขึ้นในทุกช่วงของการเผาประisan นอกจากนี้ในการถ่ายเทมวลสารแบบ Surface Diffusion ความเร็วของการถ่ายเทมวลสารแปรผันโดยตรงกับปริมาณพื้นที่ผิว ด้วยเหตุผลทั้งหมดนี้ทำให้ผลโลหะขนาดเล็กสามารถเผาประisanได้ความหนาแน่นที่ต้องการด้วยเวลาการเผาประisanที่สั้นกว่า ภาพ 7.67 และ 7.68 แสดงอิทธิพลของขนาดผลโลหะต่อพฤติกรรมการเผาประisan จะเห็นว่า ถ้าผลโลหะมีขนาดเล็กจะสามารถได้ความหนาแน่นสูงแม้เผาประisanที่อุณหภูมิต่ำ

ข้อได้เปรียบอีกอย่างหนึ่งของการใช้ผลโลหะขนาดเล็กคือทำให้ได้รูพูนขนาดเล็ก รูพูนขนาดเล็กช่วยให้การเกิด Grain Growth ช้าลง จนกว่าจะเกิดเงื่อนไข Break away ข้อเสียเบรียบของผลโลหะขนาดเล็กส่วนใหญ่เกี่ยวกับความสามารถในการโหลดตัวและการผลิต (ทบทวนเนื้อหาได้ในบทที่ 2 และ 3)



ภาพ 7.67 อิทธิพลของขนาดผงโลหะต่อความหนาแน่นเมื่อเผาประสาน
ผงทองแดงที่ 600 องศาเซลเซียสเป็นเวลา 24 ชั่วโมง



ภาพ 7.68 อิทธิพลของขนาดผงโลหะต่ออุณหภูมิเผาประสานผงโลหะ Ni

ในการคำนวณเวลาในการเผาประสานสำหรับผงโลหะที่มีขนาดต่างกันสามารถทำได้โดย Scaling Law ซึ่งสำหรับผงโลหะขนาดต่างกัน เวลาที่ใช้ในการเผาประสานทำให้ได้ขนาดของค่าคงที่ ($\frac{X_1}{D_1} = \frac{X_2}{D_2}$) เพื่อกัน
คำนวณได้จาก

$$\frac{t_2}{t_1} = \left(\frac{D_2}{D_1} \right)^m$$

เมื่อ	t_1	คือเวลาในการเผาประสานผงโลหะเส้นผ่านศูนย์กลาง D_1
	t_2	คือเวลาในการเผาประสานผงโลหะเส้นผ่านศูนย์กลาง D_2
	m	ขั้นตอนกับกลไกการถ่ายเทมวลสาร
	$m = 4$	สำหรับ Grain Boundary Diffusion
	$m = 3$	สำหรับ Volume Diffusion
	$m = 2$	สำหรับ Evaporation - Condensation
	$m = 1$	สำหรับ Plastic Flow

ตัวอย่างที่แสดงให้เห็นถึงอิทธิพลของขนาดอนุภาคต่อการเผาประสานคือการเผาประสานของน้ำแข็ง ซึ่งเกิดขึ้นที่อุณหภูมิต่ำได้ ภาพ 7.69 แสดงความสัมพันธ์ระหว่าง $\log t$ และ $\log D$ จะเห็นได้ว่าเวลาที่ทำให้ได้ $\frac{X}{D} = 0.1$ นั้นเปลี่ยนตามขนาดอนุภาคน้ำแข็ง และความชันของกราฟเท่ากับ 4 ซึ่งในกรณีนี้ความชันของกราฟคือค่า m นั่นเอง

จาก

$$\frac{t_2}{t_1} = \left(\frac{D_2}{D_1} \right)^m$$

$$\ln \frac{t_2}{t_1} = m \ln \frac{D_2}{D_1}$$

และถ้า定义ให้ ψ เป็น Degree of Sintering ขั้นตอนกับเวลาและอุณหภูมิตั้งนี้

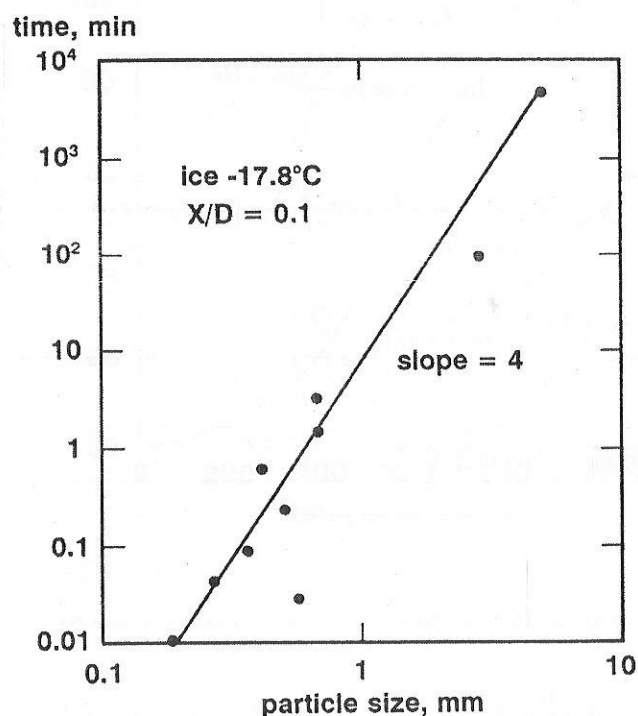
$$\psi = t \exp\left(\frac{-Q}{kT}\right)$$

สำหรับ t_1 และ t_2 ที่ Degree of Sintering เท่ากัน

$$\begin{aligned}\psi_2 &= \psi_1 \\ t_2 \exp\left(-\frac{Q}{kT_2}\right) &= t_1 \exp\left(-\frac{Q}{kT_1}\right) \\ \exp\left(-\frac{Q}{kT_2}\right) &= \frac{t_1}{t_2} \exp\left(-\frac{Q}{kT_1}\right) \\ \frac{Q}{kT_2} &= \frac{Q}{kT_1} - \ln \frac{t_1}{t_2} \\ \frac{1}{T_2} &= \frac{1}{T_1} - \frac{k}{Q} \ln \frac{t_1}{t_2}\end{aligned}$$

และจาก $\frac{t_2}{t_1} = \left(\frac{D_2}{D_1}\right)^m$ ดังนั้น

$$\begin{aligned}\frac{1}{T_2} &= \frac{1}{T_1} - \frac{km}{Q} \ln\left(\frac{D_2}{D_1}\right) \\ T_2 &= \frac{1}{\frac{1}{T_1} - \frac{km}{Q} \ln\left(\frac{D_2}{D_1}\right)}\end{aligned}$$



ภาพ 7.69 ความสัมพันธ์ระหว่าง $\log t$ และ $\log D$ ของการเผาประสานน้ำแข็ง

ถ้าผงโลหะขนาด D_2 เล็กกว่า D_1 เพื่อที่จะให้ได้ Degree of Sintering เท่ากัน T_2 จะต้องกว่า T_1 ด้วย

7.6 Blended Powder Sintering

ในหัวข้อที่ผ่านมาทั้งหมดกล่าวถึงการเผาประสานผงโลหะที่มีขนาดเท่ากัน แต่ในทางปฏิบัติผงโลหะจะมีการกระจายตัวกว้างหรือแคบขึ้นอยู่กับกรรมวิธีและคุณภาพของผลิตผงโลหะ ผงโลหะที่มีขนาดแตกต่างกันสามารถช่วยเพิ่มความหนาแน่นในการจัดเรียงตัวของผงโลหะได้ อย่างไรก็ได้การจัดเรียงตัวของผงโลหะอย่างหนาแน่นอาจทำให้การเพิ่มขึ้นของความหนาแน่นในขั้นตอนเผาประสานเป็นไปได้ยากขึ้น

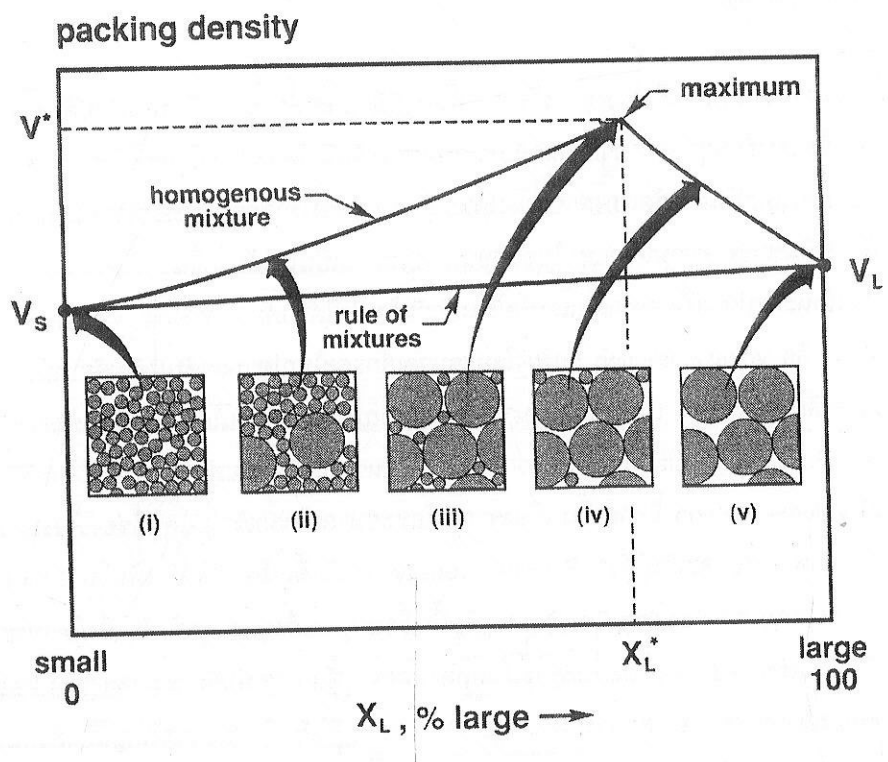
ถ้าสมมุติให้ผงโลหะมีรูปร่างเป็นทรงกลมและจัดเรียงตัวกันโดยไม่ได้ออาศัยแรงทางกล (ไม่เกิดการเสียรูปอย่างถาวร) V_s และ V_l คือ Volume fraction ของผงโลหะขนาดเล็กและใหญ่ตามลำดับ (สัญลักษณ์ และ $\text{หมายถึง} \text{ผงโลหะขนาดเล็กและใหญ่}$) เมื่อผงโลหะขนาดเล็กและใหญ่จัดเรียงตัวกันโดยไม่อาศัยแรงทางกลจะมี Volume fraction ต่ำ (Packing Density ต่ำ) เนื่องจากมีช่องว่างระหว่างผงโลหะ แต่หากผสมผงโลหะที่มีขนาดแตกต่างกันจะทำให้ Volume fraction มีค่าสูงขึ้น เนื่องจากผงโลหะขนาดเล็กจะเข้าไปแทนที่ช่องว่างระหว่างผงโลหะขนาดใหญ่ จากภาพ 7.70 จะเห็นได้ว่า Packing Density จะเพิ่มขึ้นเมื่อ $\%X$, เพิ่มขึ้น ($\%X$, คือ เปอร์เซ็นต์ผงโลหะขนาดใหญ่) ค่า Packing Density จะเพิ่มขึ้นเรื่อยๆ จนถึงจุดสูงสุดที่ X_l^* ซึ่งมีค่าประมาณ 70% ทางทฤษฎี (V^*) และค่า Packing Density จะเริ่มลดลงหลังจากนั้น การเพิ่มขึ้นและลดลงของ Packing Density จะเป็นไปอย่างเชิงเส้น ค่า X_l^* สามารถคำนวณได้จากการสมมุติให้ผงโลหะขนาดใหญ่เรียงตัวกันอย่างหนาแน่นที่สุดและผงโลหะขนาดเล็กเรียงตัวกันอย่างหนาแน่นที่สุดภายใต้แรงทางกลอย่างต่อเนื่อง

$$V^* = V_l + (1 - V_l)V_s$$

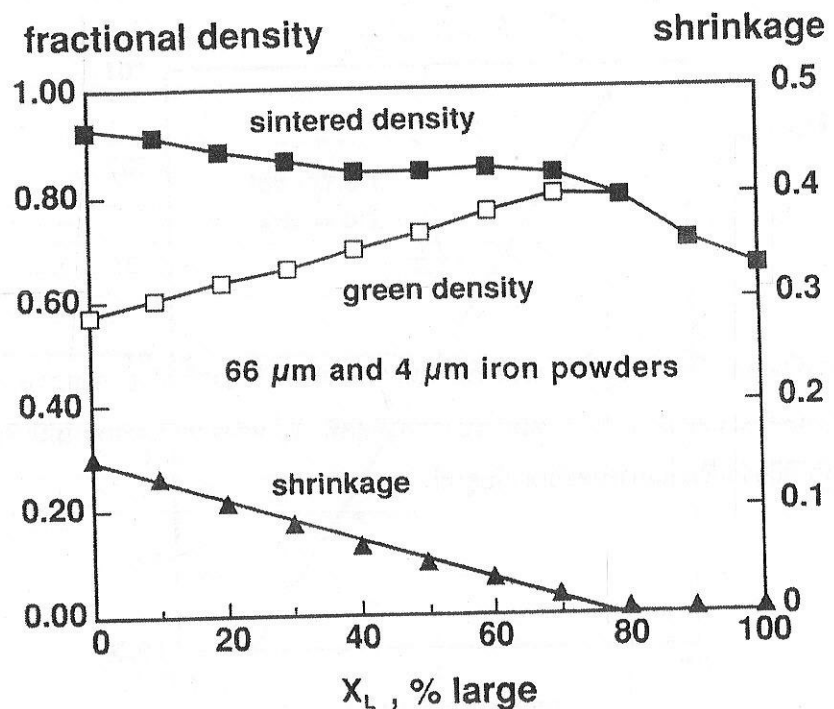
ดังนั้น X_l^* จึงเท่ากับ

$$X_l^* = \frac{V_l}{V^*}$$

อย่างไรก็ได้การที่ผงโลหะมีขนาดต่างกันก็จะมีส่วนทำให้การหดตัวเกิดได้ยากขึ้นด้วย จากภาพ 7.71 จะเห็นได้ว่าปริมาณการหดตัวจะลดลงตาม $\%X_l$ ที่เพิ่มขึ้นและต่ำที่สุดที่ X_l^* หลังจากนั้นจะແບບไม่มีปริมาณการหดตัว หรือในทางปฏิบัติคือว่าปริมาณการหดตัวเท่ากับศูนย์



ภาพ 7.70 Volume fraction หรือ Packing Density ของผงโลหะที่มี $\%X_L$ ต่างกัน



ภาพ 7.71 Green Density, Sintered Density และ Shrinkage ที่ขึ้นอยู่กับ X_L^*

จากการที่ปริมาณการหดตัวในช่วง $X_l < X_l^*$ เป็นไปอย่างเชิงเส้นจึงทำให้สามารถประมาณปริมาณการหดตัวได้ดังนี้

จากสมการเส้นตรง เมื่อกำหนดให้ m คือความชันของเส้นตรงและ Y_0 คือจุดตัดแกน Y

$$Y = Y_0 - mX$$

ดังนั้นถ้าให้ Y คือปริมาณการหดตัวของชิ้นงาน

$Y_0 = Y_s$ และ Y_l คือปริมาณการหดตัวของผงโลหะขนาดเล็กและใหญ่ตามลำดับ

ความชันของสมการเส้นตรงคือ

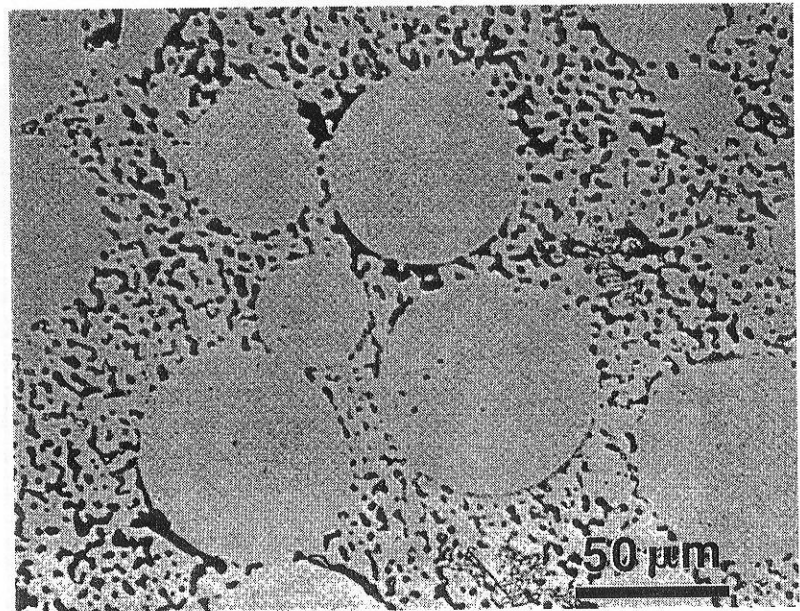
$$\frac{Y_s - Y_l}{X_l^*}$$

แทนลงในสมการเส้นตรงจะได้

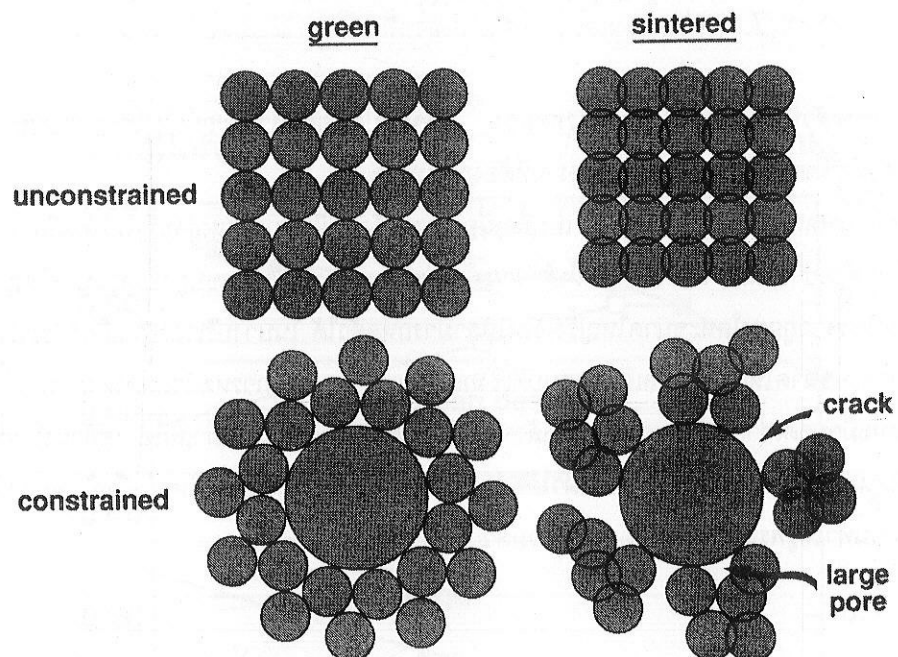
$$Y = Y_s - \frac{Y_s - Y_l}{X_l^*} X_l$$

ค่าปริมาณการหดตัวนี้สามารถหาได้จากการทดลอง ซึ่งจะมีประโยชน์สามารถนำไปใช้ออกแบบขนาดชิ้นงานอัดขึ้นรูปว่าควรให้มีขนาดใหญ่กว่ารูปจริงชิ้นงานที่ต้องการเท่าใด

การที่ปริมาณการหดตัวลดลงเมื่อ X_l^* เพิ่มขึ้นเนื่องจากผงโลหะที่มีขนาดใหญ่จะรักไม่ให้ผงโลหะที่มีขนาดเล็กหดตัวได้ ยกตัวอย่าง เช่น ภาพ 7.72 จะเห็นได้ว่าผงโลหะขนาดเล็กที่อยู่ล้อมรอบผงโลหะขนาดใหญ่จะมีความหนาแน่นต่ำเนื่องจากถูกผงโลหะขนาดใหญ่รัดไว้ไม่ให้สามารถหดตัวได้ ในบางบริเวณอาจเกิดการรวมตัวของรูพุกหลายเป็นรูพุนขนาดใหญ่ซึ่งส่งผลเสียต่อสมบัติเชิงกล แบบจำลองของขนาดหดตัวแสดงดังภาพ 7.73 จะเห็นได้ว่าถ้าผงโลหะมีขนาดเท่ากันเมื่อผ่านแล้วจะทำให้เกิดการหดตัวอย่างสม่ำเสมอ แต่ถ้าผงโลหะมีขนาดไม่เท่ากัน ผงโลหะขนาดเล็กจะไม่สามารถหดตัวได้อย่างเต็มที่ ทำให้เกิดรูพุนขนาดใหญ่ หรือถ้าความเด่นจากหดตัวมีมากจนทำให้รูพุนขนาดใหญ่ดังกล่าวรวมตัวกันกลายเป็นรอยแตก

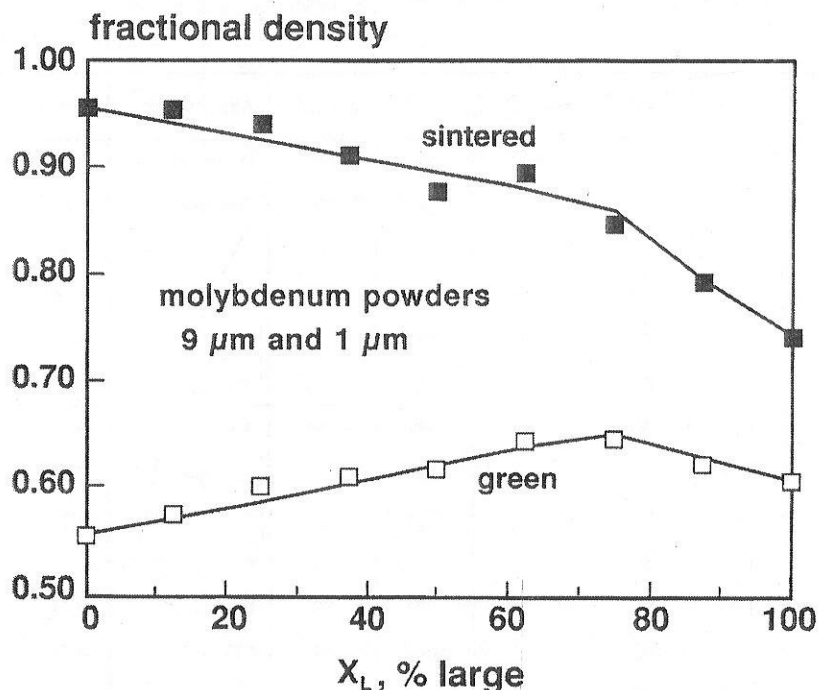


ภาพ 7.72 ตัวอย่างโครงสร้างอุจจาระขั้นมาณ์ที่ผ่านการเผาประสานประภกอบปีปด้วยแรงผลักส่องขนาดต่างกัน ในโครงสร้างอุจจาระปราการภูพูนขนาดใหญ่และรอยแตก

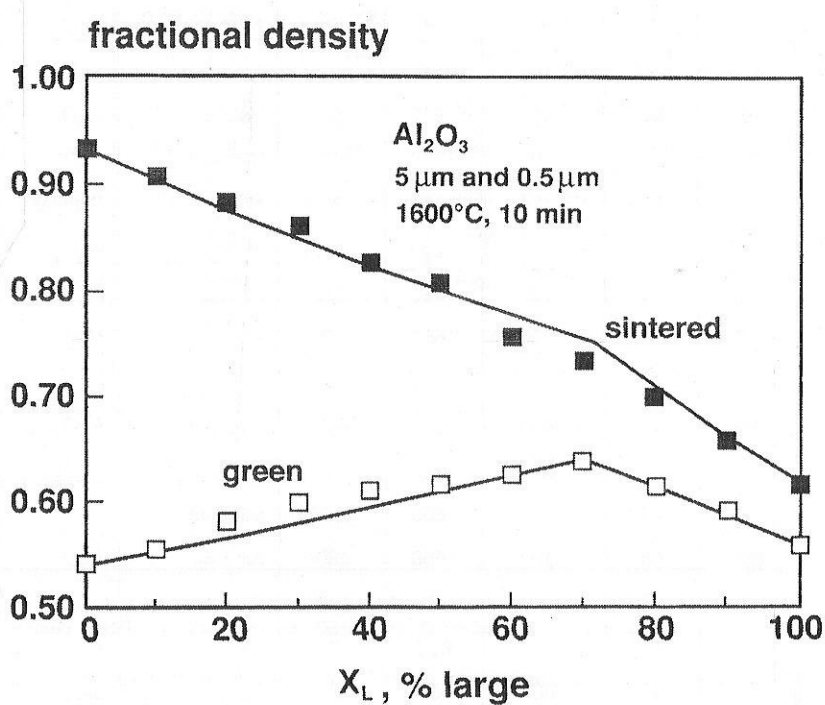


ภาพ 7.73 แบบจำลองการหดตัวของผงโลหะที่มีขนาดเท่ากันและผงโลหะที่มีขนาดต่างกัน

ตัวอย่างข้อมูล Green Density และ Sintered Density ในการเผาประสานผงโลหะที่มีขนาดไม่เท่ากัน แสดงดังภาพ 7.74 และ 7.75 จะเห็นได้ว่ามีพฤติกรรมเป็นไปตามที่อธิบายไว้ข้างต้นแล้วเช่นกัน



ภาพ 7.74 Green Density และ Sintered Density ที่ได้จากการเผาประสาน
ผงโมลบดีนัมขนาด 9 และ 1 ไมครอน



ภาพ 7.75 Green Density และ Sintered Density ที่จากการเผาประสานผงอะลูมินา
ขนาด 5 และ 0.5 ไมครอน ที่ 1600 องศาเซลเซียสเป็นเวลา 10 นาที

ตัวอย่างของตัวแปรในกระบวนการเผาประสาน แสดงไว้ดังตาราง 7.2

ตาราง 7.2 ตัวอย่างตัวแปรในกระบวนการการเผาประสาน (Solid-state Sintering)

Materials	$D, \mu m$	$\% \rho_G$	$\frac{dT}{dt}, ^\circ C/min$	$T, ^\circ C$	t, min	Atmosphere	Support	$\% \rho_S$
Ag	90	67	1400	900	60	Hydrogen	Stainless	70
AlN	1.5	58	15	1950	180	Nitrogen	BN	93
Al_2O_3	0.4	40	5	1650	240	Air	Al_2O_3	99
B	9	50	300	1950	240	Vacuum	Boron	50
B_4C	4	54	12	2250	60	Vacuum	TiC	86
Be	30	63	-	1180	300	Vacuum	Graphite	98
BeO	0.3	50	300	1500	120	Air	Al_2O_3	93
CdS	<1.5	60	-	600	60	Nitrogen	Silica	98
CeO ₂	9	50	-	1500	180	Air	SiC	85
CePO ₄	0.3	50	-	1500	180	Air	-	99
Co	0.04	30	10	700	60	Hydrogen	Al_2O_3	100
Cr_2O_3	<1	63	5	1600	60	CO	Al_2O_3	99
Cr_2O_3	<1	58	-	1600	60	Vacuum	Zirconia	95
Cu	9	70	10	900	60	Hydrogen	Al_2O_3	94
Cu	35	62	10	1045	120	Hydrogen	Al_2O_3	96
Cu	70	78	50	850	60	Nitrogen	Al_2O_3	90
Cu	70	93	50	850	60	Nitrogen	Al_2O_3	75
Fe	0.04	30	10	800	60	Hydrogen	Al_2O_3	100
Fe-1C	5	60	10	1200	60	Vacuum	Al_2O_3	100
Fe-2Ni-0.5C	75	92	10	1260	120	Vacuum	Al_2O_3	94
Fe-2Ni-0.8C	75	92	15	1150	30	N_2-H_2	Stainless	92
$Fe_2O_3-MnO-ZnO$	0.15	65	3	1250	120	N_2-O_2	Al_2O_3	94
MgO	0.07	50	60	1300	360	$Ar-H_2O$	Al_2O_3	98
MgO	0.2	50	1000	1650	20	Air	Magnesi a	97
Mo	1.5	40	1400	1400	480	Hydrogen	Al_2O_3	92
Mo	2.2	52	2.5	1350	60	Hydrogen	Al_2O_3	53
$MoSi_2$	1	47	3	1600	6000	Vacuum	-	88
Mullite	0.7	58	10	1660	480	Air	Al_2O_3	95
Mullite	<0.1	56	-	1600	120	Air	-	98
Ni	0.05	50	6	800	0	Vacuum	Al_2O_3	98
Ni	4	35	60	650	60	N_2-H_2	Steel	42
Ni_3Al	22	68	10	1350	60	Hydrogen	Al_2O_3	95
Ni_3Al	14	52	10	1340	60	Hydrogen	Al_2O_3	99
NiO	0.3	50	-	900	60	Oxygen	-	57
Pd	4	56	20	1400	60	Hydrogen	Al_2O_3	95
Re	1.8	43	5	1400	60	Hydrogen	Al_2O_3	62
Si	0.3	57	-	1350	120	Helium	Si ₃ N ₄	60

Materials	$D, \mu m$	% ρ_G	$\frac{dT}{dt}, ^\circ C/min$	$T, ^\circ C$	t, min	Atmosphere	Support	% ρ_S
Stainless	15	62	10	1325	120	Vacuum	Al_2O_3	97
Stainless	22	77	20	1300	240	Hydrogen	Al_2O_3	83
Stainless	<45	65	12	1250	45	N_2-H_2	Stainless	70
Stainless	80	86	8	1300	60	Vacuum	Al_2O_3	89
Plain Carbon Steel	4	58	4	1200	60	Hydrogen	Al_2O_3	97
Fe-Ni-Mo-C	36	50	15	1400	60	N_2-H_2	Al_2O_3	88
Ta	0.7	35	30	1480	30	Vacuum	Tantalum	37
Ta	4.1	60	15	1700	480	Vacuum	Al_2O_3	81
TaB ₂	4	57	600	2100	30	Vacuum	Tantalum	94
TaC	0.04	45	10	1400	0	Hydrogen	Mo	95
Ti	30	55	10	1300	120	Vacuum	Al_2O_3	97
Ti	88	42	10	1150	60	Vacuum	Stainless	45
TiAl	10	58	3	1400	60	Vacuum	Al_2O_3	98
Ti-6Al-4V	<45	90	10	1300	240	Vacuum	Zirconia	99
TiO ₂	0.4	74	55	1050	90	Air	Al_2O_3	100
TiO ₂	0.01	72	-	1000	1080	Vacuum	-	96
UN	1	70	-	1700	120	Argon	Al_2O_3	95
UO ₂	0.05	49	100	1450	300	Hydrogen	Al_2O_3	94
W	0.05	48	10	1335	900	Hydrogen	Tungsten	94
W	0.9	48	1700	1700	120	Hydrogen	Mo	93
WC	0.3	52	100	1500	120	Hydrogen	Graphite	78
Y ₂ O ₃	0.4	48	50	1700	720	Vacuum	-	98
ZnO	0.1	65	10	900	60	Air	Al_2O_3	98
Zr	10	74	-	1250	240	Vacuum	Beryllia	99
Zr	52	90	-	1290	360	Vacuum	-	99
ZrO ₂	<0.1	50	-	1300	120	Air	-	98
ZrO ₂ -3Y ₂ O ₃	0.3	60	3	1450	120	Air	-	100

7.7 Mixed Powder Sintering

การเผาประสานหั้งหมัดที่ได้กล่าวถึงตั้งแต่ต้นเป็นการเผาประสานผงโลหะชนิดเดียวกัน ซึ่งผงโลหะจะมีส่วนผสมทางเคมีตามที่ต้องการอยู่แล้ว (Prealloyed powder) แต่ถ้าหากเป็นการเผาประสานผงโลหะต่างชนิดกัน (Mixed powder) จะต้องทำการเติมผงโลหะบริสุทธิ์ (Elemental powder) แต่ละชนิดด้วยปริมาณที่ทำให้ได้ส่วนผสมทางเคมีที่ต้องการ ข้อดีของการใช้ Elemental powder คือการมี work hardening rate ต่ำ ทำให้สามารถขัดขี้นรูปได้ง่ายด้วยแรงดันต่ำกว่า Prealloyed powder ดังที่ได้กล่าวในบทที่ 5 ไปแล้ว

เมื่อมีการใช้ผงโลหะหลายชนิดผสมเข้าด้วยกัน พฤติกรรมการเผาประสานจะขึ้นอยู่กับความสามารถในการละลายของระหว่างผงโลหะแต่ละชนิด ผงโลหะที่มีปริมาณมากกว่าเรียกว่า Base powder และผงโลหะที่มี

บริมาณน้อยกว่าเรียกว่า Additive powder ถ้าลองพิจารณาจากการนีเพื่อฐานที่สุดคือใช้ผงโลหะสองชนิด จะมีความเป็นได้ไปของพฤติกรรมเเผ่ประสาน 4 รูปแบบด้วยกันคือ

(1) Homogenization Sintering เกิดขึ้นเมื่อมี Intersolubility ระหว่างผงโลหะทั้งสองชนิด

(2) Enhanced Sintering เมื่อ Base powder สามารถละลายได้ใน Additive powder แต่ Additive powder ไม่สามารถละลายได้ใน Base powder

(3) Pore Formation Sintering เมื่อ Additive powder สามารถละลายได้ใน Base powder แต่ Base powder ไม่สามารถละลายได้ใน additive powder

(4) Composite Sintering เมื่อผงทั้งสองชนิดไม่มี Intersolubility

ภาพ 7.76 แสดงแผนภาพอธิบายพฤติกรรมของการเเผ่ประสานผงโลหะต่างชนิดกัน โดย B แทน Base powder และ A แทน Additive powder จะเห็นได้ว่าพฤติกรรมการเเผ่ประสานจะเป็นประเภทใดขึ้นอยู่กับความสามารถในการละลายระหว่างผงทั้งสองชนิด

B = base A = additive

A solubility in B

high

low

low

swelling
pore
generation

composite
inhibited

homogenize
chemical
gradient

enhanced
second
phase

B solubility in A

ภาพ 7.76 แผนภาพอธิบายพฤติกรรมของการเเผ่ประสานผงโลหะต่างชนิดกัน

โดย B แทน Base powder และ A แทน Additive powder

สำหรับกรณี Homogenization ยกตัวอย่างเช่น การเเผ่ประสานชิ้นงานเหล็กกล้าไนซ์นิม ซึ่งใช้ผง Cr และ Ni ส่วนในกรณี Enhanced Sintering ยกตัวอย่างได้แก่ การเเผ่ประสานผง W ที่เหล็กกล้าผสมกับผง Cr และ Ni ส่วนในกรณี Pore Formation ยกตัวอย่างเช่น การเเผ่ประสาน Ti-Al, Al-Zn และ Fe-Ti ซึ่งจะเกิดเพลที่ได้เร็วขึ้น ในกรณีของ Pore Formation ยกตัวอย่างเช่น การเเผ่ประสาน Ti-Al, Al-Zn และ Fe-Ti ซึ่งจะเกิดเพลที่มี molar volume น้อยกว่า molar volume ของสารตั้งต้นทำให้อาจเกิดการขยายตัวและมักจะได้ชิ้นงานที่มีรูพุ่นมาก ส่วนในกรณีสุดท้าย ได้แก่ การเเผ่ประสานวัสดุเชิงประภณบสึ่งมี matrix เป็นโลหะ และมีพุ่นมาก ส่วนในกรณีสุดท้าย ได้แก่ การเเผ่ประสานวัสดุเชิงประภณบสึ่งมี matrix เป็นโลหะ และมี

reinforcement เป็นวัสดุเซรามิก ซึ่งมีความสามารถในการละลายระหว่างกันน้อยมาก ยกตัวอย่างเช่น Al-Al₂O₃, Ti-6Al-4V-W เป็นต้น

7.7.1 Homogenization Sintering

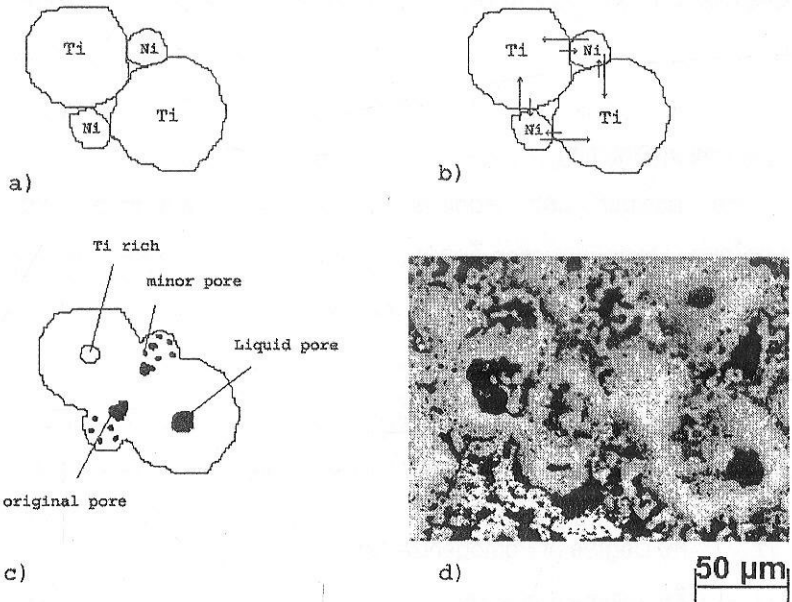
เกิดขึ้นเมื่อ Base powder และ Additive powder มีความสามารถในการละลายระหว่างกัน (Intersolubility) สูง กลไกของ Homogenization คือการแพร่ โดยมี Driving force คือ Chemical Composition Gradient ถ้าเรียกให้ Degree of Homogenization คำนวนได้จาก

$$H \approx \frac{D_v t}{\lambda^2}$$

เมื่อ	H	คือ Degree of Homogenization
	D_v	คือ Volume Diffusivity
	t	คือเวลาในการเผาประสาน
	λ	คือระยะทางในการแพร่

จะสังเกตว่า Degree of Homogenization ขึ้นอยู่กับหลายปัจจัย เนื่องจาก Homogenization อาศัยการแพร่ ดังนั้น Degree of Homogenization จึงขึ้นอยู่กับเวลา, อุณหภูมิและระยะทาง กล่าวคือ เวลาเผาประสานที่นานกว่าจะทำให้ได้ Degree of Homogenization สูงกว่าเนื่องจากมีเวลาให้กับการแพร่มากกว่านั้นเอง และที่อุณหภูมิสูงการแพร่เกิดได้เร็วขึ้นจึงทำให้ได้ Degree of Homogenization สูงขึ้นด้วยเห็นกัน สำหรับระยะทางในการแพร่ในที่นี้ขึ้นอยู่กับขนาดผงโลหะ ขนาดผงโลหะที่จะช่วยลดการแพร่ที่จำเป็นสั้นลง และทำให้ Degree of Homogenization สูงกว่าที่เวลาและอุณหภูมิเผาประสานเท่ากัน

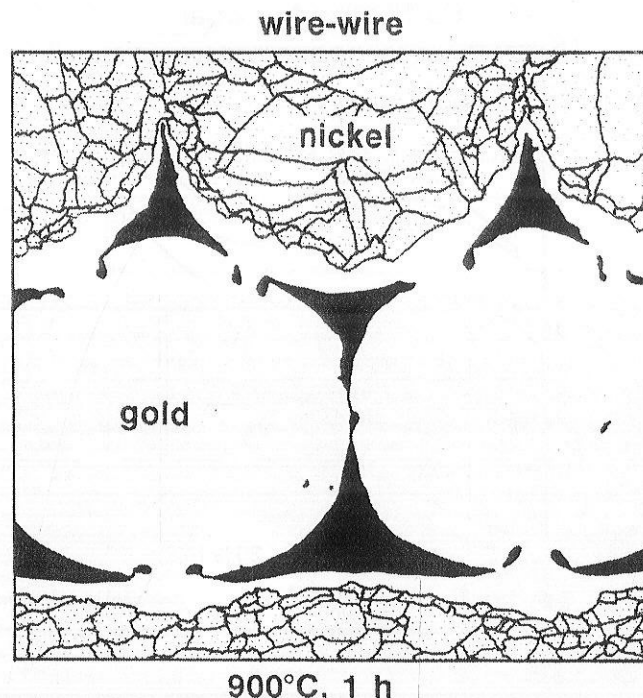
โลหะแต่ละชนิดมี Diffusivity ไม่เท่ากัน โดยที่มีจุดหลอมด้ากต่ำกว่ามักจะมีค่า Diffusivity สูงกว่า การที่ผงโลหะแต่ละชนิดมี Diffusivity ไม่เท่ากันจะทำให้เกิดความไม่สมดุลในการถ่ายเทมวัลสารระหว่างการแพร่ กล่าวคือ โลหะที่มี Diffusivity สูงกว่าจะถ่ายเทมวัลสารไปยังโลหะที่มี Diffusivity ต่ำได้มากกว่าในทางกลับกัน ทำให้โดยรวมแล้วมวลสารจะเคลื่อนย้ายไปยังบริเวณที่มี Diffusivity ต่ำ ปรากฏการณ์นี้คือ "Kirkendall Effect" นั้นเอง ภาพ 7.77 แสดงตัวอย่างของการเกิด Kirkendall Effect ในกระบวนการ Homogenization ของการเผาประสานผงโลหะ Ni และ Ti ซึ่งในที่นี้ Ni มี Diffusivity สูงกว่า Ti เมื่อเผาประสานแล้วจึงมีการถ่ายเทมวัลสาร จาก Ni ไปหา Ti มากกว่าจาก Ti มากกว่า Ni ผลรวมจึงทำให้เกิดรูพูนบริเวณที่เป็นผงโลหะ Ni (ดูภาพ 7.77c) ขนาดของรูพูนในภาพ 7.77b) แสดงถึงอัตราการถ่ายเทมวัลสารที่แตกต่างกัน ภาพ 7.77d) แสดงภาพถ่ายโครงสร้างจุลภาคของชิ้นงาน NiTi ปรากฏรูพูนขนาดเล็กจำนวนมากบริเวณที่เคยเป็นผงโลหะ Ni รูพูนที่เกิดจาก Kirkendall Effect มีชื่อเรียกเฉพาะว่า Kirkendall Voidage ซึ่งรูพูนเหล่านี้มีส่วนช่วยยับยั้งการขยายตัวของเกรนด้วยเช่นกัน



ภาพ 7.77 แบบจำลองการเปลี่ยนแปลงโครงสร้างอุลภาคนของการเผาประสานผงโลหะ Ni และ Ti

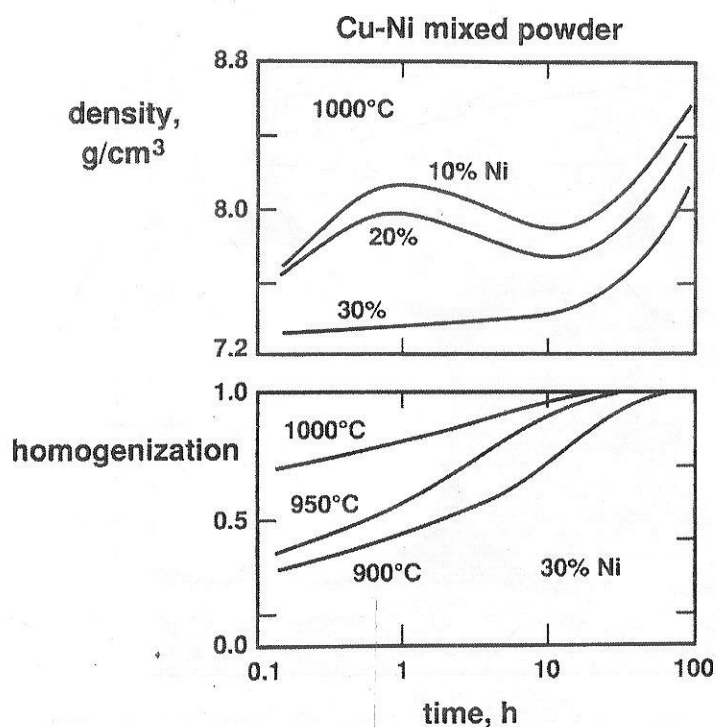
- ก่อนการเผาประสาน
- ทิศทางและอัตราการถ่ายเทมลสาร
- พื้นผิวน้ำของรูปุ่นที่เกิดขึ้น
- ภาพถ่ายโครงสร้างอุลภาคน้ำที่เกิดขึ้น

อีกด้านอย่างหนึ่งที่แสดงให้เห็น Kirkendall Effect อย่างชัดเจนคือการเผาประสาน Ni และ Au เนื่องจาก Au มี Diffusivity สูงกว่า Ni มาก เมื่อเผาประสานไปแล้วจึงทำให้เกิดความไม่สมดุลของการถ่ายเทมลสารมาก จนทำให้เกิดคอกอคอดขึ้นที่จุดสัมผัสระหว่างผงโลหะ นี้เป็นตัวอย่างของการที่ Chemical Concentration Gradient มี Driving force สูงกว่า Surface free energy ซึ่งโดยปกติแล้วการเผาประสานจะมี Driving force คือการลดลงของพื้นที่ผิวและความต้อง แต่ในกรณีนี้ Chemical Concentration Gradient มีอิทธิพลมากกว่า มาก จึงทำให้เกิดคอกอคอดแทน อนึ่งในการเผาประสาน Mixed powder อาจจะเกิดปวากภารณ์อย่างนี้ขึ้น ปอยครั้ง เนื่องจาก Driving force จากพลังงานพื้นที่ผิวมีค่าน้อยกว่า Enthalpy และ Entropy of Mixing หาก

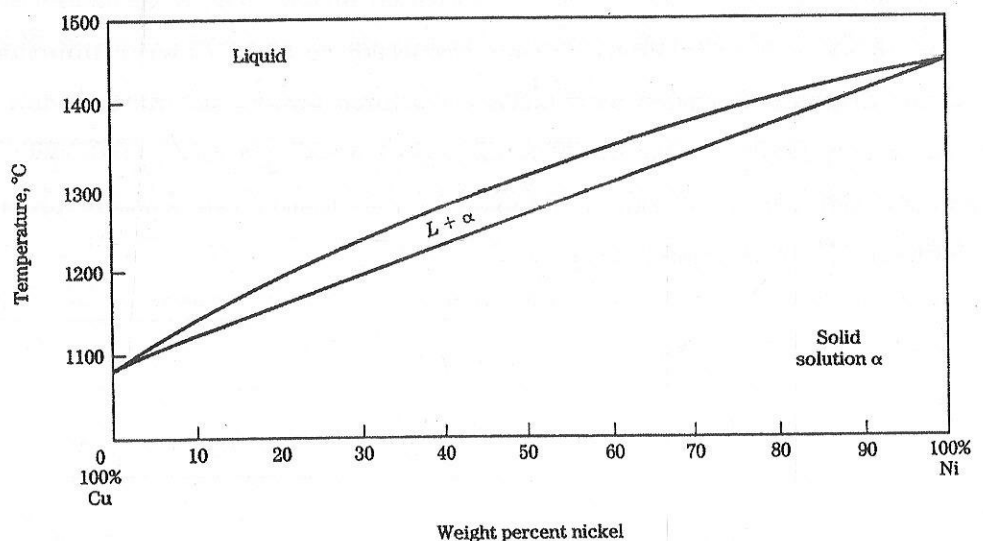


ภาพ 7.78 โครงสร้างจุลภาคของชิ้นงาน Ni-Au แสดงให้เห็นคอกออดที่เกิดขึ้น
เนื่องจาก Kirkendall Effect

Homogenization rate และ Densification rate ไม่จำเป็นจะต้องสัมพันธ์กันเสมอไป ผงโลหะบางระบบ ก็สามารถ Homogenization ได้เร็วกว่า Densification ดังนั้นจึงมีโอกาสที่จะได้โครงสร้างที่มีส่วนผสมทางเคมี สม่ำเสมอแล้วแต่ยังคงมีขนาดของคอกออดหรือความหนาแน่นของชิ้นงานต่ำอยู่ ภาพ 7.79 แสดงการเพิ่มขึ้นของ ความหนาแน่นและ Degree of Homogenization เมื่อเวลาการเผาประสานเพิ่มขึ้น ใน การเผาประสานผง Ni และ Cu ที่ส่วนผสมและอุณหภูมิต่าง ๆ จะเห็นได้ว่าชิ้นงานมี Degree of Homogenization สูงได้โดยที่ชิ้นงาน อาจยังมีความหนาแน่นต่ำ นอกจากนี้ปริมาณ Ni ที่เพิ่มขึ้นทำให้ Densification rate ต่ำลงด้วย เนื่องจาก ปริมาณ Ni ที่เพิ่มขึ้นทำให้โลหะสมมีจุดหลอมตัวสูงกว่า



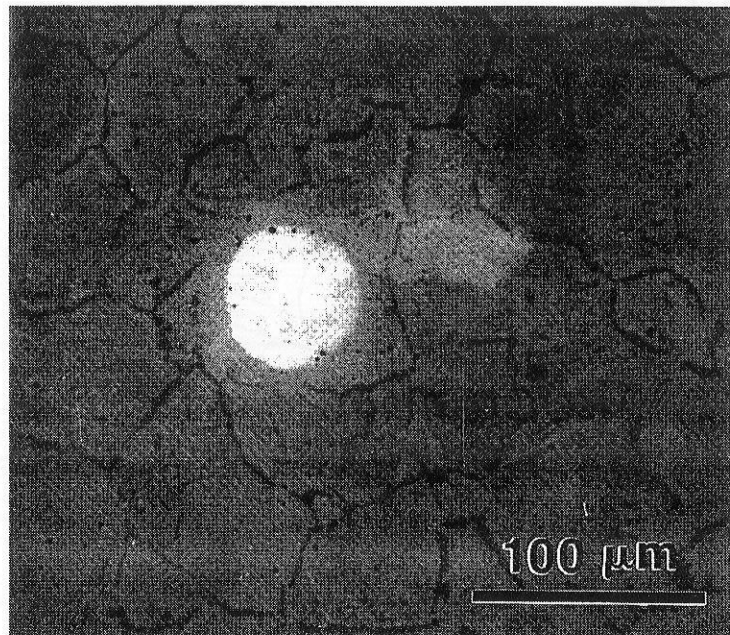
ภาพ 7.79 การเพิ่มขึ้นของความหนาแน่นและ Degree of Homogenization เมื่อเวลาการเผาประสานเพิ่มขึ้น ในการเผาประสานผง Ni และ Cu ที่ส่วนผสมและอุณหภูมิต่าง ๆ



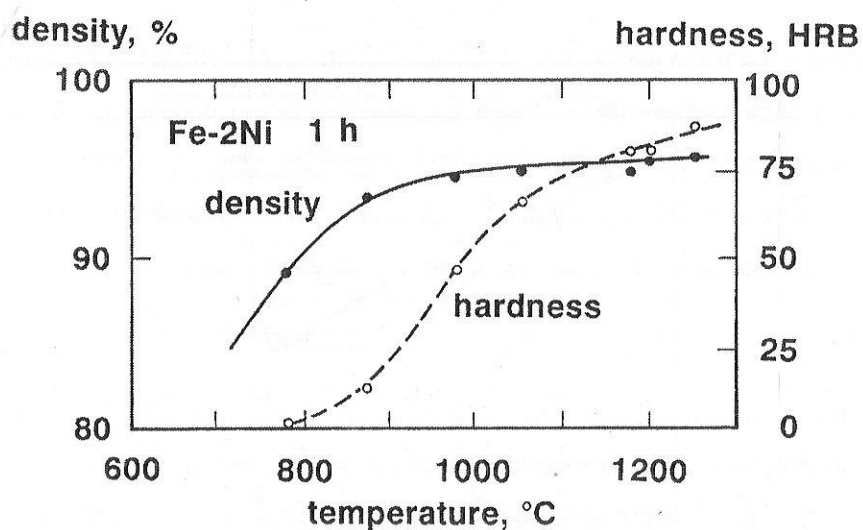
ภาพ 7.80 แผนภูมิสมดุลระหว่าง Ni และ Cu สังเกตได้ว่าจุดหลอมตัวจะสูงขึ้นเมื่อบริษณา Ni เพิ่มขึ้นทำให้ Densification rate ต่ำลง

ในทางตรงกันข้ามผงโลหะบางระบบ เช่น Fe และ Ni มี Densification rate ต่ำกว่า Homogenization rate ดังนั้นจึงมีโอกาสที่จะได้โครงสร้างจุลภาคที่มีความหนาแน่นสูงสุดแต่ยังคงมีส่วนผสมทางเคมีที่ไม่สม่ำเสมอได้ ภาพ 7.81 แสดง Backscattered Electron Image ของชิ้นงาน Fe-Ni จะเห็นได้ว่าถึงแม่โครงสร้างจะไม่

ปรากฏภูพุนแล้วก็ตามแต่ผังโลหะ Ni ยังคงไม่สามารถแพร่ลงไปใน Fe "ได้อย่างสมบูรณ์" ซึ่งในทางปฏิบัติทำให้รุ้นงานมีความแข็งต่ำกว่าที่ต้องการ จึงอาจต้องเพิ่มอุณหภูมิและเวลาในการเผาประสานขึ้น เพื่อเพิ่มความแข็งให้กับชิ้นงาน ภาพ 7.82 แสดงการเพิ่มขึ้นของความหนาแน่นและความแข็งตามอุณหภูมิเผาประสานที่เพิ่มขึ้นในการเผาประสานชิ้นงาน Fe-2Ni จะเห็นได้ว่าความแข็งเพิ่มขึ้นภายหลังความหนาแน่น จึงหมายความว่า Densification rate ต่ำกว่า Homogenization rate

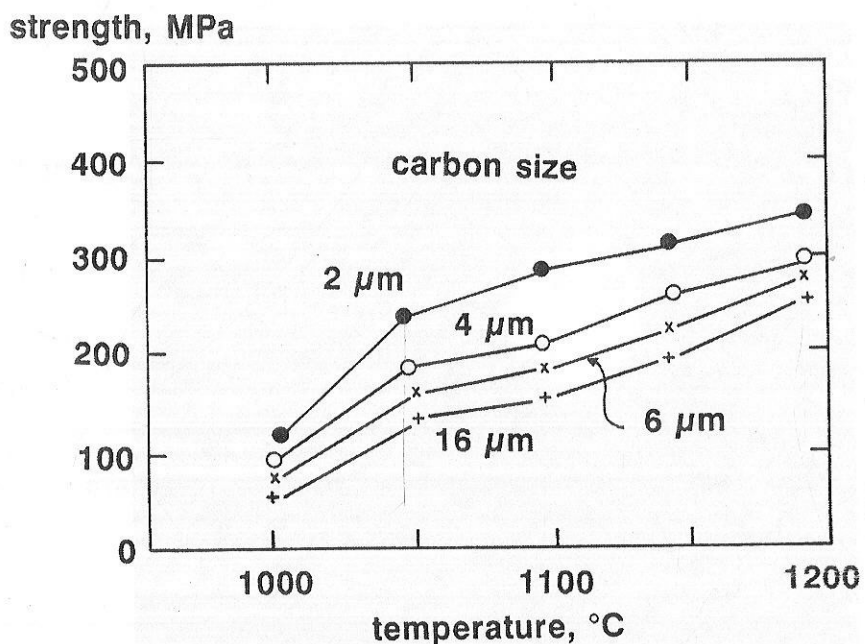


ภาพ 7.81 Backscattered Electron Image ของชิ้นงาน Fe-Ni



ภาพ 7.82 การเพิ่มขึ้นของความหนาแน่นและความแข็งตามอุณหภูมิเผาประสานที่เพิ่มขึ้น ในการเผาประสานชิ้นงาน Fe-2Ni

ดังที่ได้กล่าวไว้ในตอนต้นว่าการใช้ผงโลหะขนาดเล็กช่วยลดเวลาในการ Homogenization ได้ ตัวอย่างของการใช้ผงขนาดต่างกันแสดงดังภาพ 7.83 ซึ่งเป็นการเผาประสาน Fe-C จะเห็นได้ว่าขนาดผง C ที่เล็กลงทำให้ความแข็งแรงมากขึ้นที่อุณหภูมิเผาประสานเท่ากัน การที่ความแข็งแรงมากขึ้นหมายถึงปริมาณของคาร์บอนที่เพรลิงในเนื้อเหล็กมากขึ้นด้วยเช่นกัน



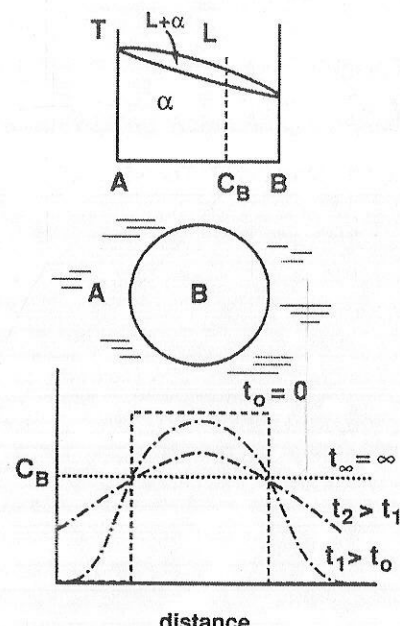
ภาพ 7.83 ความสัมพันธ์ระหว่างความแข็งแรงของเหล็กกล้าและอุณหภูมิเผาประสานของชิ้นงานที่ใช้ผง C ขนาดต่างกัน

ในตอนแรกก่อนการเผาประสานส่วนผสมทางเคมีในแต่ละบริเวณจะแตกต่างกันมาก เมื่อเริ่มเผาประสานไปจะทำให้เกิดการแพร่และส่วนผสมทางเคมีเริ่มใกล้เคียงกัน โดยมี Chemical Concentration Gradient เป็น Driving force ส่วนผสมทางเคมีจะปรับเข้าหากันมากขึ้นด้วยอัตราที่ช้าลงเรื่อย ๆ เนื่องจาก Chemical Concentration Gradient ลดลงเรื่อย ๆ และเท่ากันทุกบริเวณที่เวลาเผาประสานอนันต์ ภาพ 7.84 แสดงภาพวาดแสดง Concentration profile ของ Additive powder (A) และ Base powder (B)

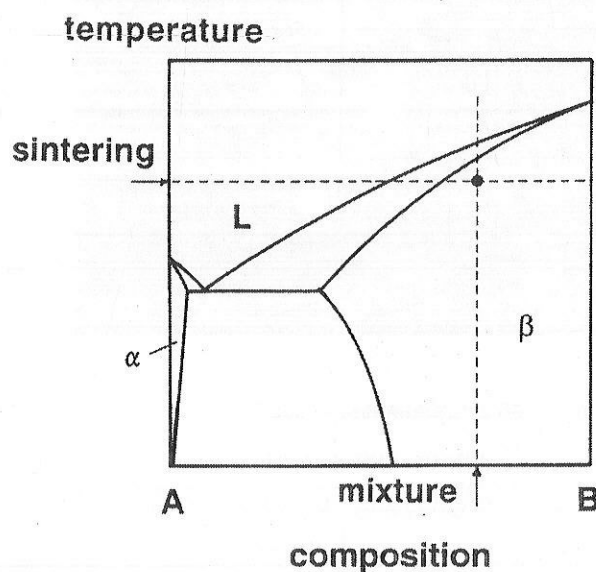
7.7.2 Pore Formation Sintering

ผงโลหะบางระบบ Additive powder มีความสามารถในการละลายใน Base powder พอดีควร แต่ Base powder สามารถละลายได้ใน Additive powder อย่างจำกัด โดยเมื่อเกินความสามารถในการละลายแล้วอาจเกิดเป็นสารประกอบ ดังนั้นเมื่อกระบวนการ Homogenization เกิดขึ้นจะทำให้ Additive powder แพร่เข้าสู่ Base powder ทำให้บริเวณที่เคยเป็น Additive powder เปลี่ยนเป็นรูปrun ทำให้ลักษณะเฉพาะของ Pore Formation Sintering คือมีโครงสร้างที่ค่อนข้างพูน ในบางกรณีอาจเกิดปฏิกิริยาได้สารประกอบที่มีส่วนผสมระหว่างผงโลหะทั้งสองชนิด สารประกอบที่เกิดขึ้นอาจมีความหนาแน่นต่ำหรือสูงกว่าสารตั้งต้น ในกรณีที่สารประกอบนั้นมีความหนาแน่นสูงกว่าสารตั้งต้นจะทำให้เกิดการหดตัวขึ้นมากกว่าการเผาประสานปกติ ส่วน

ในกรณีที่สารประกอบนั้นมีความหนาแน่นต่ำกว่าสารตั้งต้นก็เป็นหนึ่งในหลายสาเหตุที่ทำให้ขึ้นงานเกิดการพองตัว (Swelling) ได้ ภายหลังจากการเกิดปฏิกิริยาแล้วจะกระบวนการ Homogenization จะเกิดขึ้นตามมา กล่าวคือส่วนผสมทางเคมีภายในขึ้นงานจะเริ่มสม่ำเสมอมากขึ้นตามเวลาและอุณหภูมิการเผาประสานที่เพิ่มขึ้น เช่นเดียวกันกับ Homogenization Sintering ลักษณะแผนภูมิสมดุลที่ทำให้เกิด Pore Formation Sintering แสดงดังภาพ 7.85



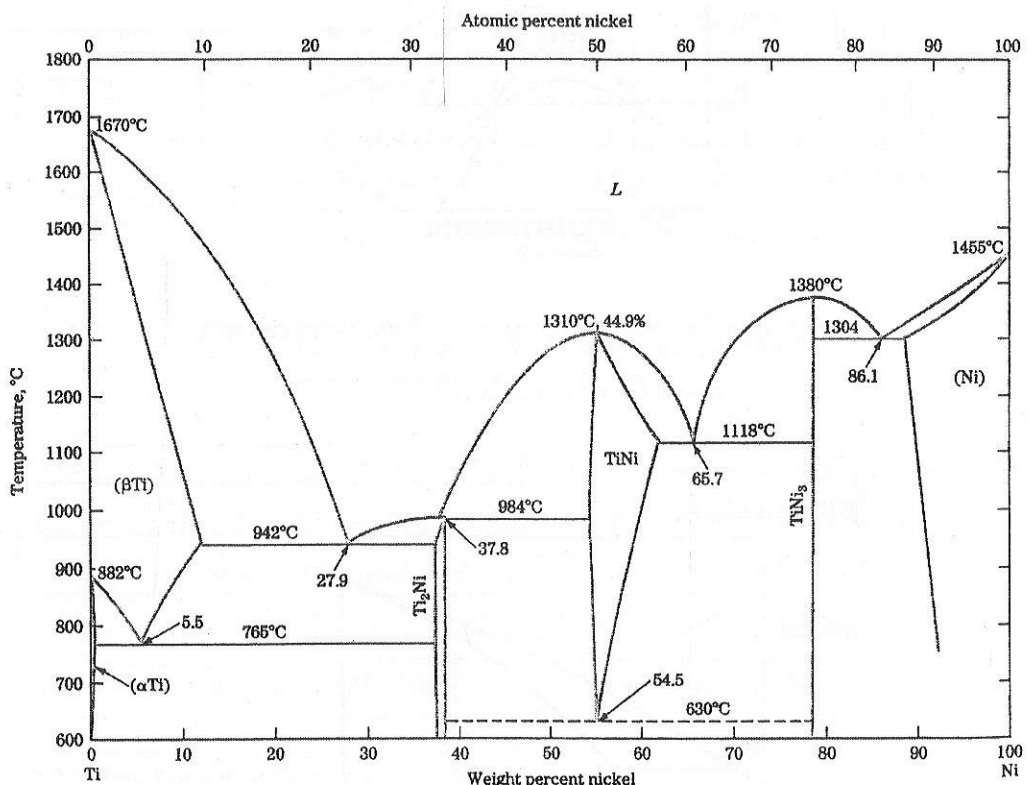
ภาพ 7.84 Concentration profile ที่เวลาต่าง ๆ ของ Additive powder (A) และ Base powder (B)



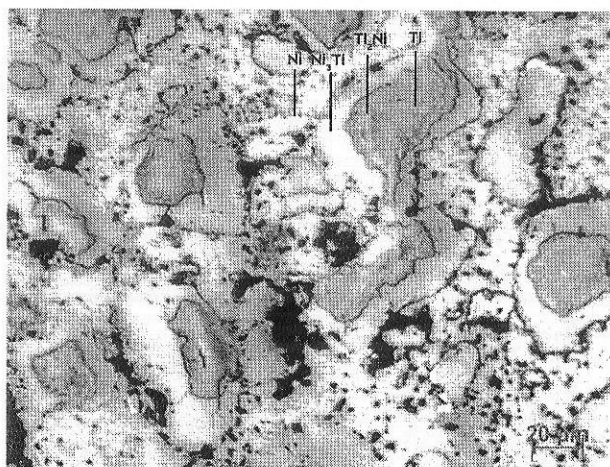
ภาพ 7.85 ลักษณะแผนภูมิสมดุลที่ทำให้เกิด Pore Formation Sintering

การเผาประสานที่ทำให้เกิดปฏิกิริยาเมื่อเรียกเฉพาะว่า "Reactive Sintering" ยกตัวอย่างเช่น ในการเผาประสานผง Ni และ Ti เพื่อให้ได้เฟส NiTi โดยผสมผงโลหะทั้งสองชนิดให้มีส่วนผสมตามที่ต้องการ เมื่อเริ่มเผาประสาน Ni จะแพร์ไปหา Ti และ Ti จะแพร์ไปหา Ni ทำให้เกิดชั้นของสารประกอบเรียงตามลำดับในแผนภูมิสมดุล (ภาพ 7.86) โดยเรียงจาก Solid solution ของ Ni, Ni_3Ti , NiTi, Ti_2Ni , βTi ภาค 7.87 แสดงตัวอย่างการเรียงตัวของเฟสต่าง ๆ ในชิ้นงาน Ni-Ti จะเห็นได้ว่ายังไม่ปรากฏเฟส NiTi ซึ่งเมื่อเพิ่มอุณหภูมิเผาประสานจะทำให้ Homogenization เกิดมากขึ้น จากภาค 7.88 เป็นผลการวิเคราะห์เฟสด้วยเทคนิค XRD (X-ray Diffractometer) จะเห็นว่า NiTi เกิดมากขึ้นเรื่อย ๆ ในขณะที่ Ni, Ni_3Ti , Ti_2Ni และ βTi ค่อย ๆ หายไป

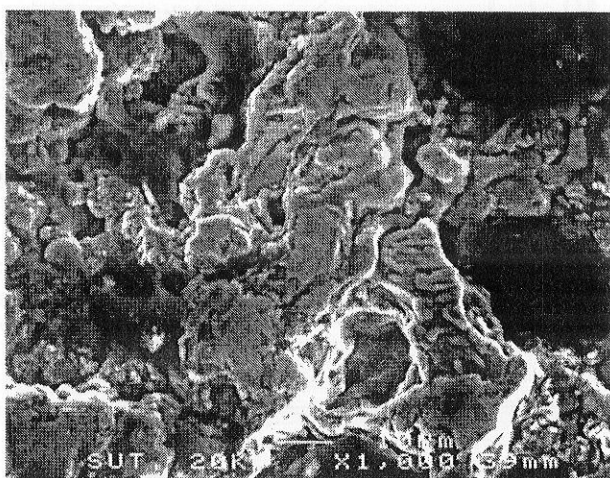
หลักฐานของการมีเฟส NiTi มากขึ้นคือการดูดกลืนและขยายความร้อนเมื่อเปลี่ยนแปลงอุณหภูมิเนื่องจากเฟส NiTi เป็นเฟสเดียวที่มีการเปลี่ยนเฟสแบบ Martensitic Transformation ดังนั้นพัฒนาการແงใน การเปลี่ยนเฟสที่เพิ่มขึ้นหมายถึงการมีเฟส NiTi มากขึ้นด้วยเช่นกัน ภาค 7.89 แสดงผลการวิเคราะห์อุณหภูมิการเปลี่ยนเฟสของโลหะผสม 50.0 atom% Ni-Ti ที่ผ่านเผาประสานที่ $900^{\circ}C$ เป็นเวลา 2, 4 และ 6 ชั่วโมง



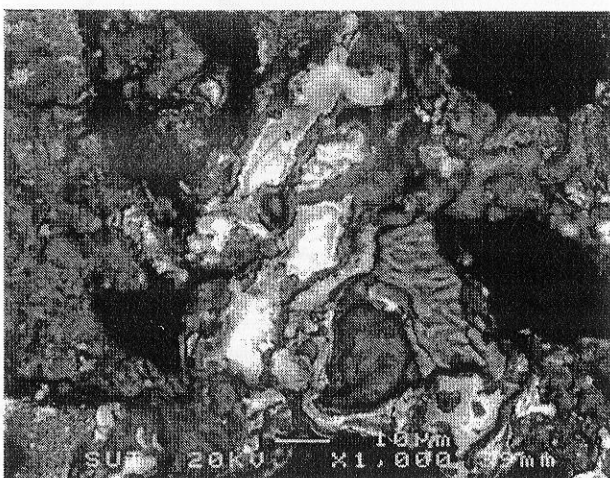
ภาพ 7.86 แผนภูมิสมดุลของ Ni และ Ti



(a)



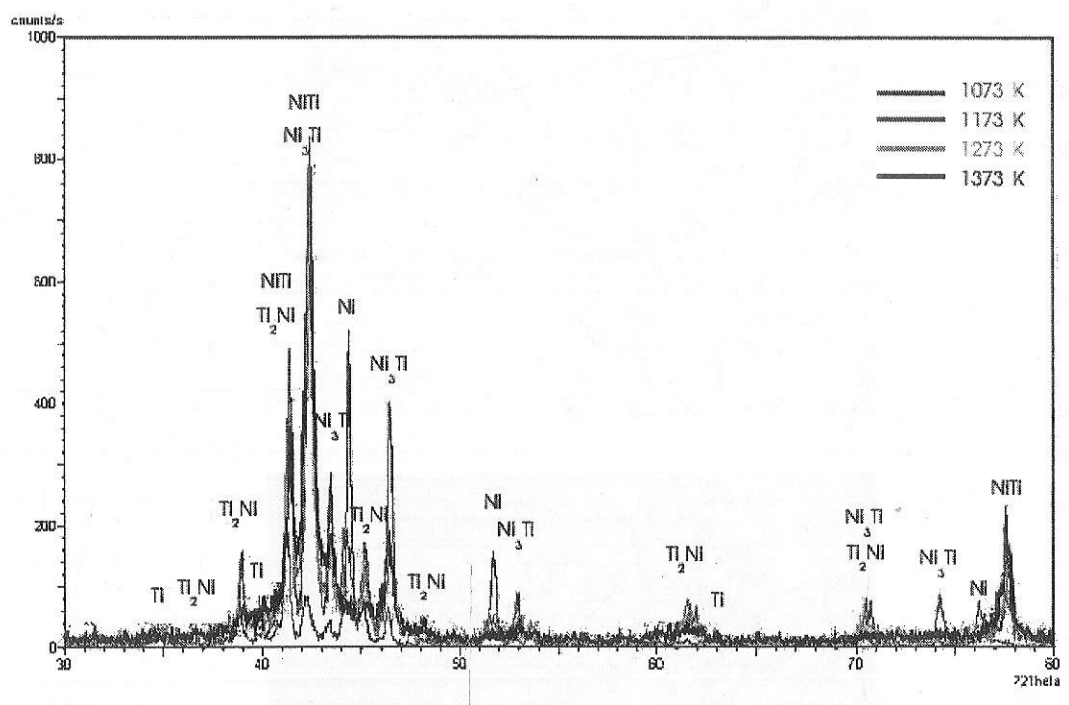
(b)



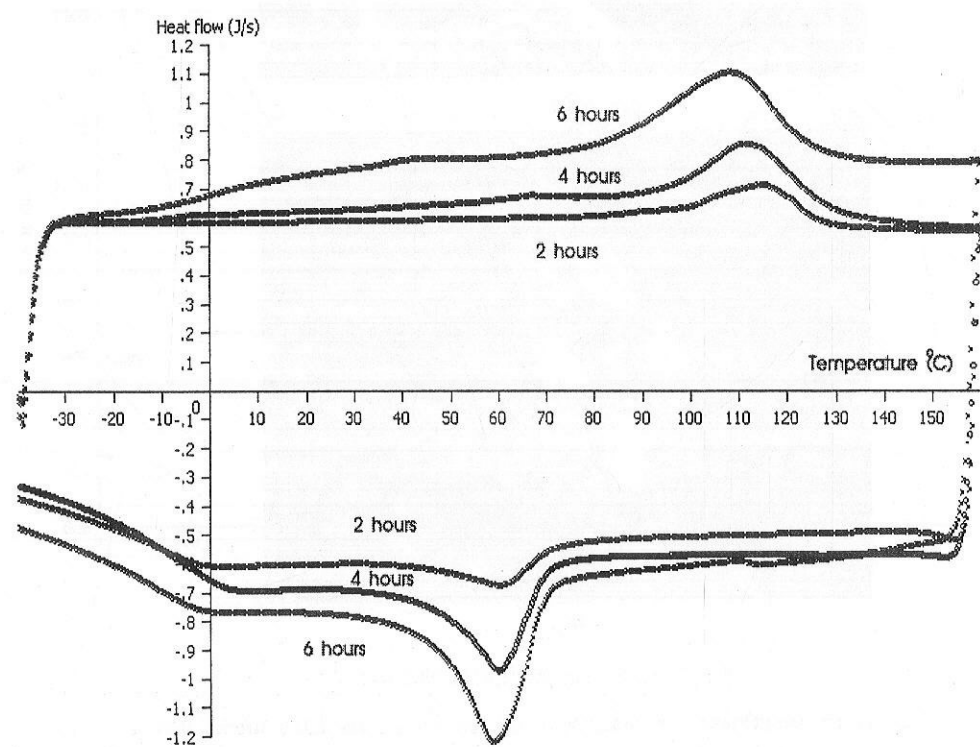
(c)

ภาพ 7.87 ภาพถ่ายโครงสร้างจุลภาคของวัสดุ Ti-50 อะลูมิเนียมที่ผ่านการเผาประสานที่ 800 องศา เชลตีเยสเป็นเวลา 4 ชั่วโมง ในสภาพประกอบไปด้วย Ni, Ni₃Ti, Ti₂Ni และ βTi

- a) Optical Microscopy
- b) SEM – Secondary Electron Image
- c) SEM – Backscattered Electron Image



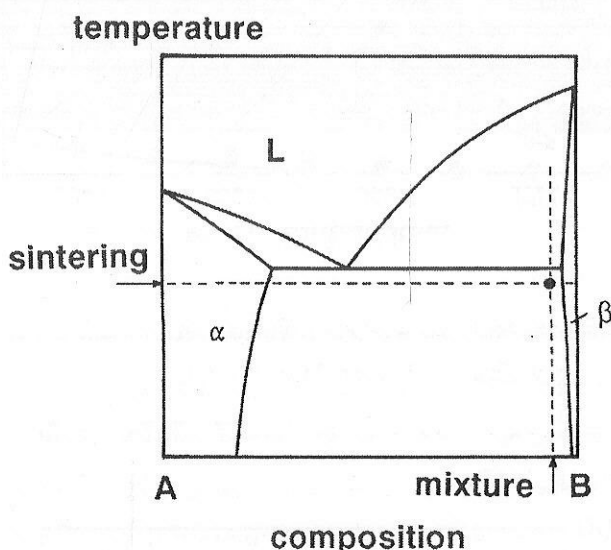
ภาพ 7.88 ผลการวิเคราะห์ไฟฟ้าด้วยเทคนิค XRD ของขั้นงาน Ni-Ti ที่ผ่านการเผาประสานเป็นเวลา 4 ชั่วโมงที่อุณหภูมิต่าง ๆ



ภาพ 7.89 ผลการวิเคราะห์อุณหภูมิการเปลี่ยนเฟสของโลหะผสม 50.0 atom% Ni-Ti ที่ผ่านเผาประสานที่ 900 °C เป็นเวลา 2, 4 และ 6 ชั่วโมง

7.7.3 Enhanced Sintering

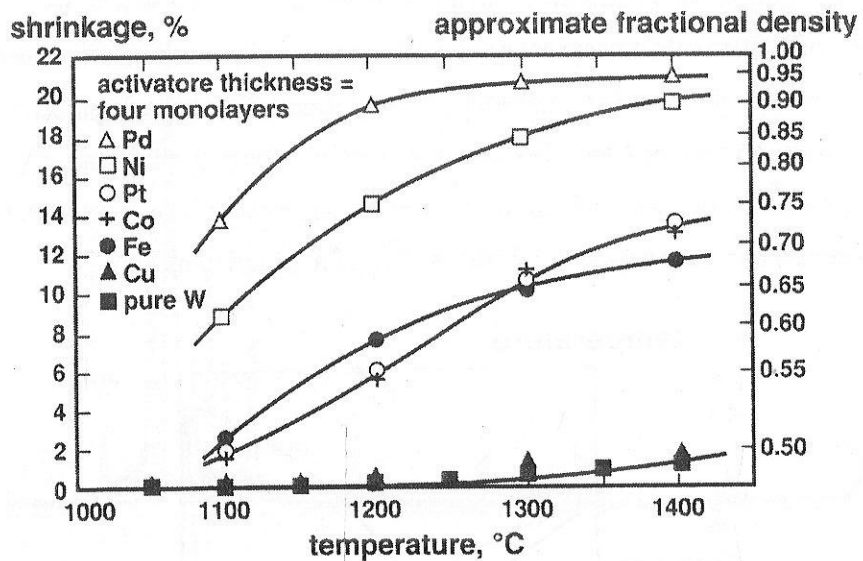
Enhanced Sintering หรืออีกชื่อหนึ่งคือ Activated Sintering เกิดขึ้นเมื่อความสามารถในการละลายของ Base powder ใน Additive powder สูง แต่ในทางกลับกันความสามารถในการละลายของ Additive powder ใน Base powder ต่ำ ดังนั้นเมื่อทำการเผาประสานแล้ว Base powder จะละลายลงไปใน Additive powder เนื่องจากมีความสามารถในการละลายสูง และจะถ่ายเทมวลสารผ่านทาง Additive powder กลายเป็นเส้นทางการถ่ายเทมวลสารที่มีความเร็วสูง นอกจากนี้ Base powder ที่มีจุดหลอมตัวสูงต้องการอุณหภูมิเผาประสานที่สูง การเติม Additive powder ที่มีจุดหลอมตัวต่ำ จะช่วยให้เกิดบริเวณที่มีจุดหลอมตัวต่ำลงมาและมีอัตราการแพร์สูง ดังนั้นการเติม Additive powder จึงช่วยให้ Densification rate สูงขึ้น แผนภูมิแสดงของ Additive powder (A) และ Base powder (B) ที่เหมาะสมควรจะมีลักษณะดังภาพ 7.90



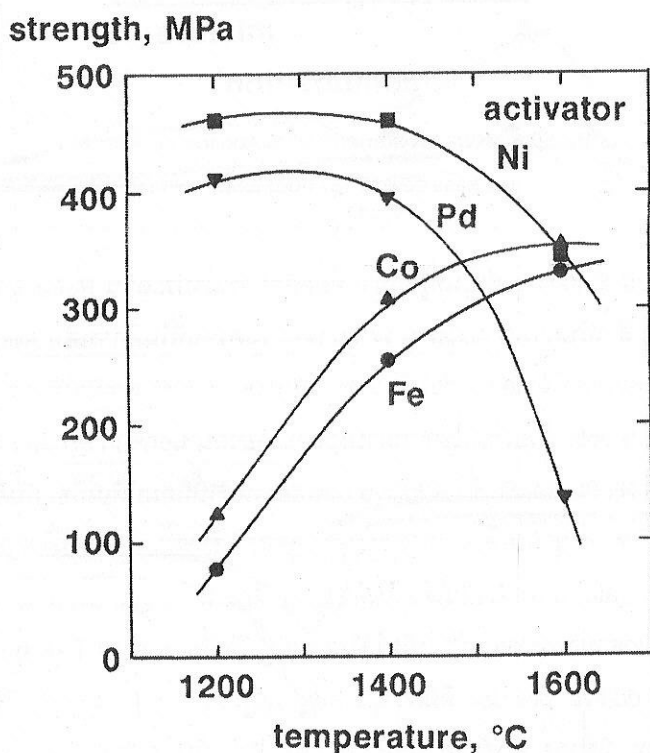
ภาพ 7.90 ลักษณะแผนภูมิสมดุลระหว่าง Additive powder (A)
และ Base powder (B) ที่เหมาะสม

ตัวอย่างของ Activated Sintering ที่เป็นที่รู้จักมากที่สุดคือการเผาประสาน Refractory metal เช่น W, Mo, Cr, Re และ Ta เป็นต้น สำหรับการเผาประสาน W ขนาด 1 ไมโครเมตรที่ไม่มีการเติม Additive powder ได้เลยที่อุณหภูมิ 1400 องศาเซลเซียสเป็นเวลา 1 ชั่วโมง ได้ความหนาแน่น 78% แต่เมื่อเติมผง Pd ลงไป 1% ทำให้ได้ความหนาแน่นเพิ่มขึ้นเป็น 96% ด้วยเงื่อนไขการเผาประสานเดียวกัน นอกจาก Pd แล้ว Additive powder อื่นที่ให้ผลลัพธ์คล้ายคลึงกันได้แก่ Ni, Pt, Co, Fe ซึ่ง Additive powder เหล่านี้มีสมบัติเหมือนกันคือสามารถละลายใน W ได้น้อยมาก แต่ยอมให้ W ละลายได้พอสมควร รวมทั้งมีจุดหลอมตัวต่ำกว่า W หากในขณะที่ Cu แทนไม่ได้ช่วยเพิ่ม Densification rate เลย จะเห็นได้ว่าในทางอุตสาหกรรม การเผาประสาน W โดยปราศจาก Additive powder จะต้องใช้เวลานานมากจนเป็นไปไม่ได้ในทางปฏิบัติเนื่องจาก W มีจุดหลอมตัวสูงถึง 3660 องศาเซลเซียส อย่างไรก็ได้ Additive powder ที่มีความไวต่ออุณหภูมิเผาประสานมากกว่าก็มีข้อด้อยคือทำให้ Grain Growth เกิดขึ้นที่อุณหภูมิต่ำลง ยกตัวอย่างเช่น Ni และ Pd เป็น Additive powder ที่ทำให้ความหนาแน่นสูงขึ้นมากกว่า Fe และ Co แต่ถ้าเผาประสานที่อุณหภูมิสูงขึ้นก็จะมีส่วนทำให้เกิด Grain Growth มากขึ้นและทำให้ความแข็งแรงลดลง (ภาพ 7.92) สำหรับ Additive powder ที่มีความไวต่ออุณหภูมิมากกว่า เช่น Fe และ Co

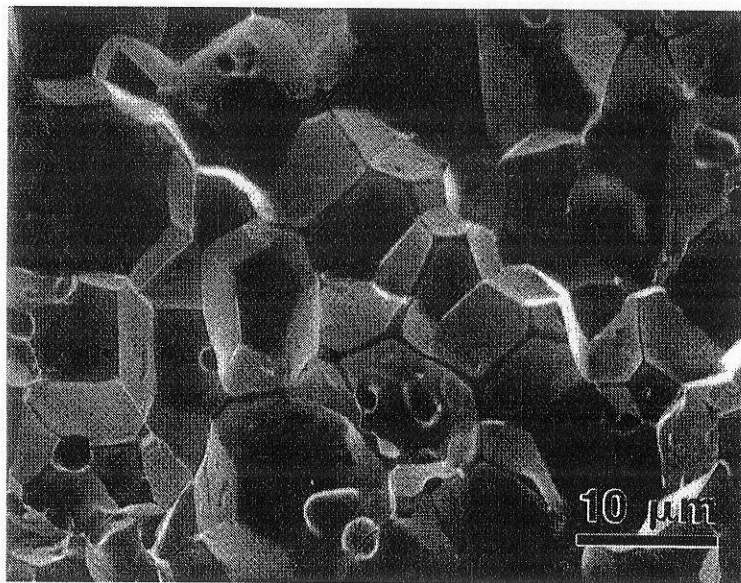
จะทำให้เกิด Grain Growth มากกว่า Ni และ Pd ที่อุณหภูมิเผาประสานเท่ากัน ภาพ 7.93 แสดงภาพถ่ายรอยแตกหักของชิ้นงาน W-Pd จะเห็นได้ว่า Pd วางแผนบวกรอบสันเกเรนของ W เป็นเส้นทางการถ่ายเทมวลสารที่มีอัตราการแพร่สูง



ภาพ 7.91 อิทธิพลของ Additive powder ต่อการเพิ่มขึ้นของความหนาแน่นในการเผาประสาน W เมื่อเวลา 1 ชั่วโมงภายใต้บรรยากาศ H_2



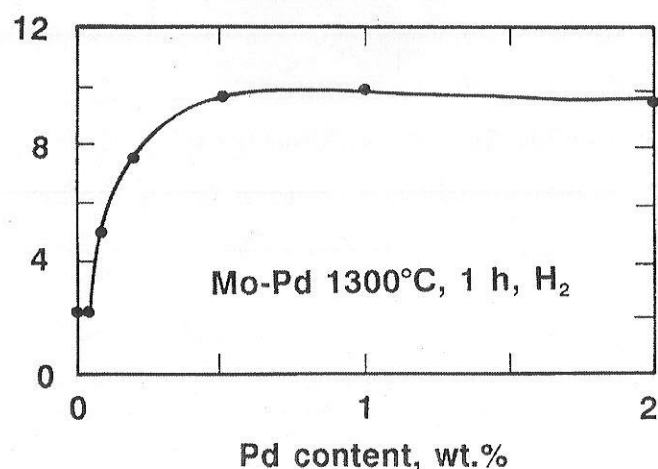
ภาพ 7.92 ความล้มเหลวท่องากความแข็งแรงและอุณหภูมิเผาประสานของ W ด้วยการเติม Additive powder ต่างชนิดกัน



ภาพ 7.93 ภาพถ่ายรอยแตกหักของชิ้นงาน W-Pd จะเห็นได้ว่า Pd
วางแผนผ่าตามบวиваниеสันเกรนของ W

ปริมาณ Additive powder ควรเกินความสามารถในการละลายของ Additive powder ใน Base powder ไม่เช่นนั้นการเติม Additive powder จะไม่มีประโยชน์ใดเลย เนื่องจาก Additive powder ละลายลงใน Base powder ทั้งหมดไม่เหลือส่วนหนึ่งเป็นเส้นทางการถ่ายเทมวลสาร ในขณะที่ปริมาณ Additive powder ที่เกินความสามารถในการละลายใน Base powder มากนั้น แทบจะไม่มีผลต่อ Densification rate มากนัก ภาพ 7.94 แสดงอัทธิพลของปริมาณ Pd ในการเผาประสาน Mo-Pd ที่อุณหภูมิ 1300 องศาเซลเซียสเป็นเวลา 1 ชั่วโมงภายใต้บรรยากาศไออกไซด์เรเจน จะเห็นได้ว่าเมื่อปริมาณ Pd เกิน 0.5% ปริมาณการหดตัวเริ่มคงที่ โดยที่ยังคงไม่ได้ความหนาแน่นสูงสุด ตาราง 7.3 แสดงตัวอย่างระบบผงโลหะที่อาศัยหลักการ Activated Sintering

shrinkage, %



ภาพ 7.94 อัทธิพลของปริมาณ Pd ในการเผาประสาน Mo-Pd ที่อุณหภูมิ 1300 องศาเซลเซียส
เป็นเวลา 1 ชั่วโมงภายใต้บรรยากาศไออกไซด์เรจเคน

ตาราง 7.3 ตัวอย่างระบบผงโลหะที่อาศัยหลักการ Activated Sintering

Base powder	Additive powder
Cr	Pd
Mo	Ni
Re	Pd
TaC	Ni
TiB ₂	Ni
W	Pd, Ni, Pt, Co, Fe

7.7.4 Composite Sintering

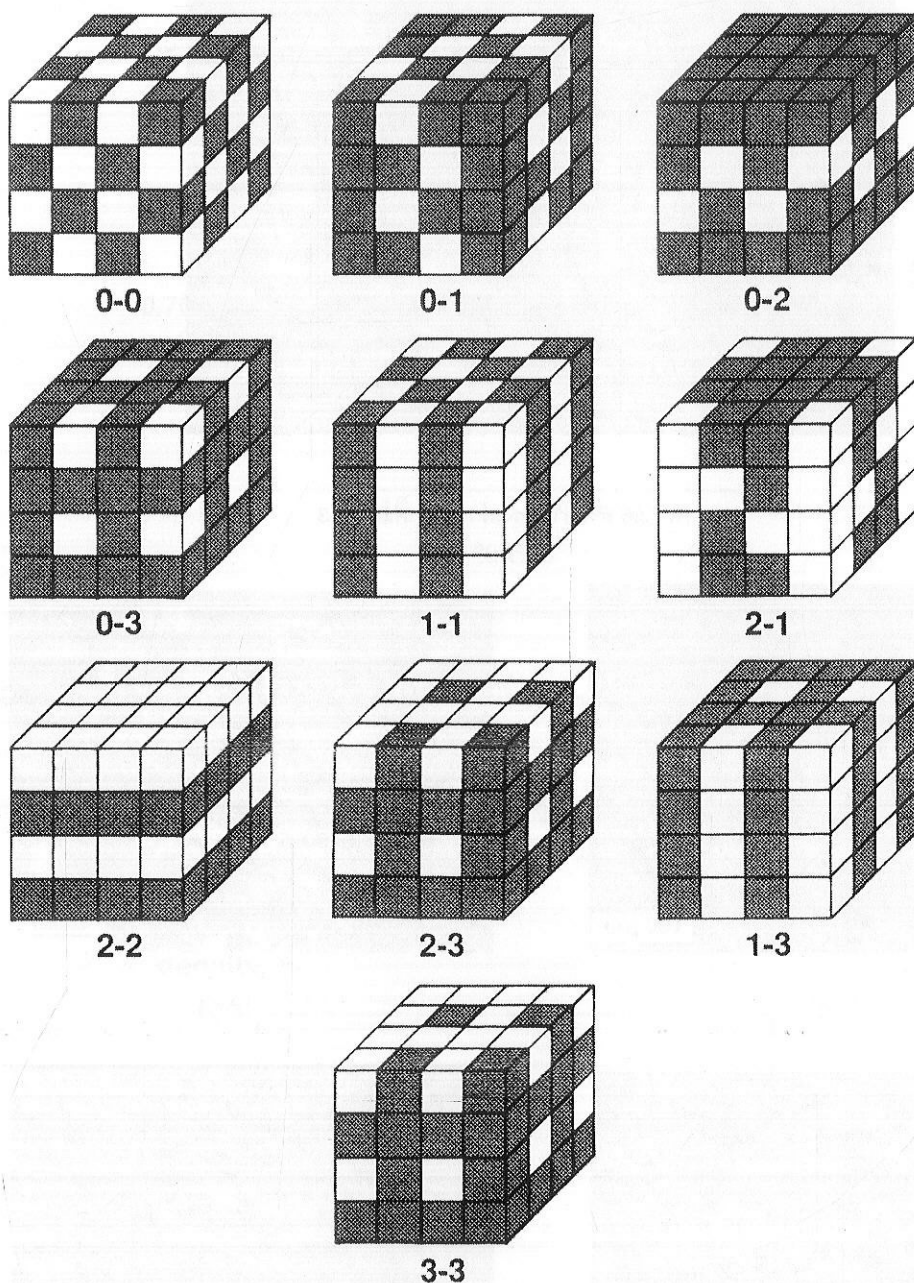
ถ้าหาก Base powder และ Additive powder ไม่มี Intersolubility เลย จะทำให้ไม่เกิดปฏิกิริยาได้เฟสใหม่ รูปร่างและปริมาณของ Additive powder มีส่วนทำให้ลักษณะของโครงสร้างจุลภาคแตกต่างกัน ดังภาพ 7.95 รหัส 0 แทนอนุภาค 1 แทนเส้นใยหรือ whisker 2 แทน flake หรือ planar 3 แทน network จากภาพ 7.95 จะเห็นว่าระดับของการต่อเขื่อมกันระหว่าง Base powder และ Additive powder แบ่งออกเป็น 10 ระดับ ภาพ 7.96 แสดงตัวอย่างโครงสร้างจุลภาคแบบ 3-3

ใน Composite sintering มีทั้งที่เกิดและไม่เกิดเฟสของเหลว ซึ่งในการนี้ที่เกิดเฟสของเหลวเรียกว่า Liquid Phase Sintering ซึ่งจะกล่าวถึงในหัวข้อต่อไป ดังนั้นในหัวข้อนี้จะกล่าวถึงเฉพาะกรณีที่ไม่เกิดเฟสของเหลวเท่านั้น ตัวอย่างของ Composite Sintering ได้แก่ Al₂O₃-SiC, Al₂O₃-Si₃N₄, Fe-Al₂O₃, Ni-Al₂O₃, Al-Al₂O₃, Al-SiC, superalloy-Al₂O₃, Ti-6Al-4V-W เป็นต้น ภาพ 7.97 แสดงตัวอย่างโครงสร้างจุลภาคที่ได้จาก Composite Sintering

ปริมาณ Additive powder หรือ Reinforcement มีผลต่อ Packing Density โดยมีผลลัพธ์การเดียวกันกับการเรียงตัวของ Blended powder ความแตกต่างของขนาด Additive powder และ Base powder ที่มากขึ้นจะทำให้ได้ Packing Density ที่มากขึ้น จนเมื่อค่าสูงสุดค่าหนึ่ง หลังจากนั้น Packing Density จะลดต่ำลงอีก

อย่างไรก็ได้การได้ผลของ Additive powder ก็มีลักษณะเช่นเดียวกับการผสมผงโลหะขนาดใหญ่และเล็กเข้าด้วยกัน คือผงโลหะขนาดเล็กจะเกิดการหดตัวมากกว่าในชั้nton เผาประสานและทำให้ได้ Sintered Density สูงกว่า ในขณะที่ผงโลหะขนาดใหญ่จะเกิดการหดตัวน้อยกว่าและข้อความไม่ให้ผงโลหะขนาดเล็กหดตัวได้ทำให้ได้ Sintered Density ต่ำลง ดังนั้นยิ่งปริมาณ Reinforcement มากจะมีแนวโน้มทำให้ Sintered Density ต่ำลงด้วยเช่นกัน ภาพ 7.98 แสดงความสัมพันธ์ระหว่าง Fractional Density กับปริมาณ SiC ในการเผาประสาน ZnO-SiC

composite microstructures



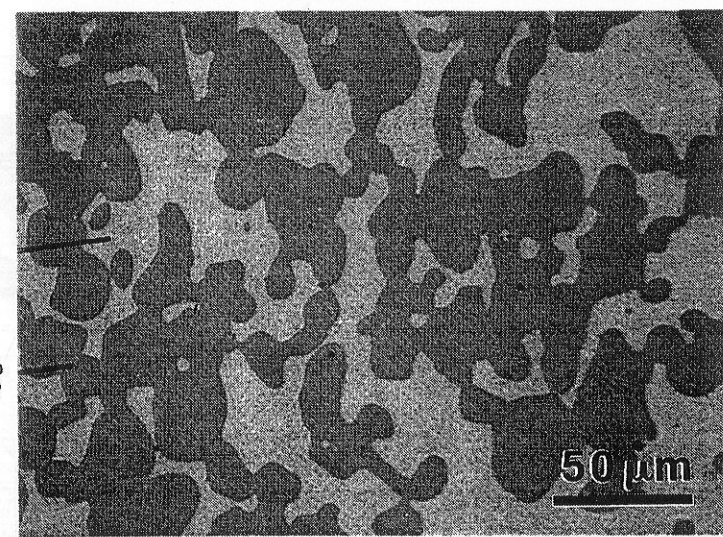
ภาพ 7.95 ระดับของการต่อเข้ากันระหว่าง Base powder และ Additive powder

0 แทน Particle

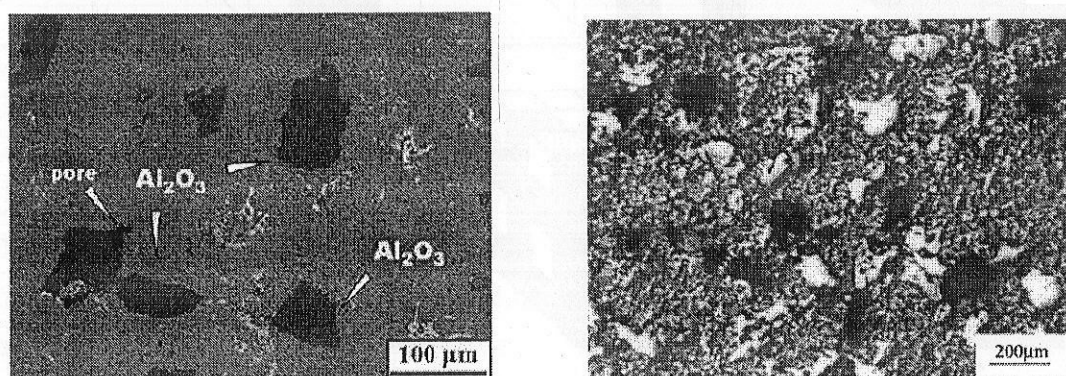
1 แทน Fiber หรือ Whisker

2 แทน Flake

3 แทน Network

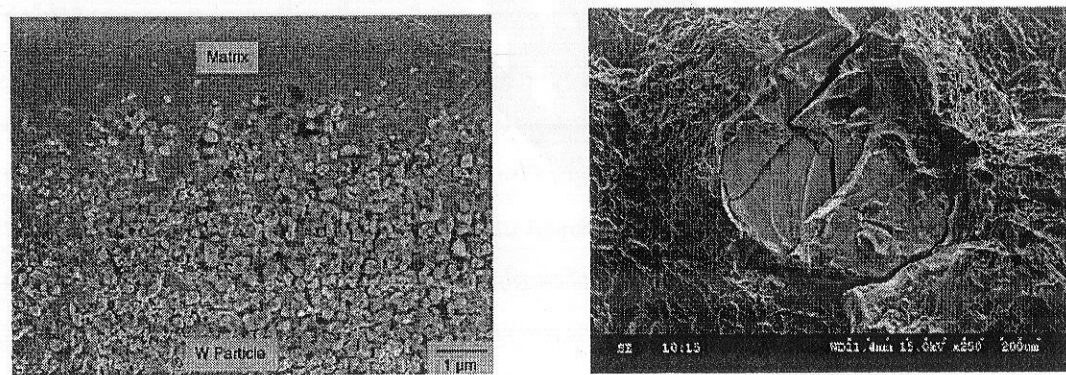


ภาพ 7.96 ตัวอย่างโครงสร้างจุลภาคแบบ 3-3



a)

b)

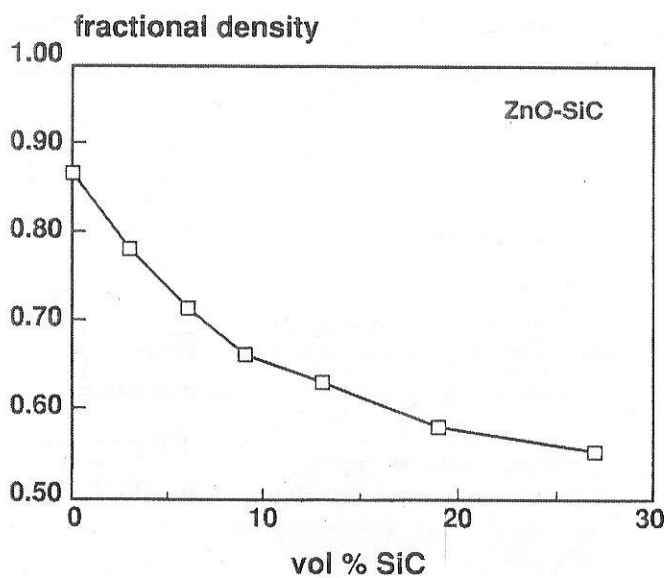


b)

d)

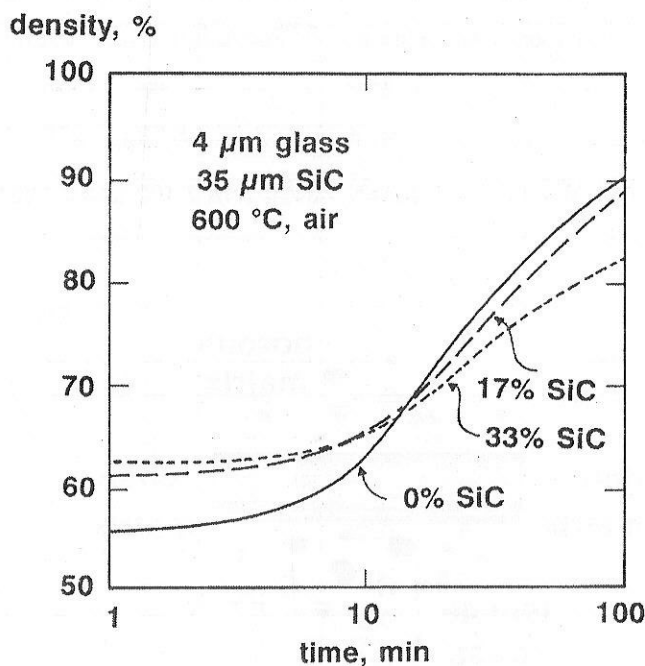
ภาพ 7.97 ตัวอย่างโครงสร้างจุลภาคที่ได้จากการ Composite Sintering

- a) Al-Al₂O₃
- b) Al-Graphite
- c) Ti-6Al-4V-W
- d) Ti-6Al-4V-W



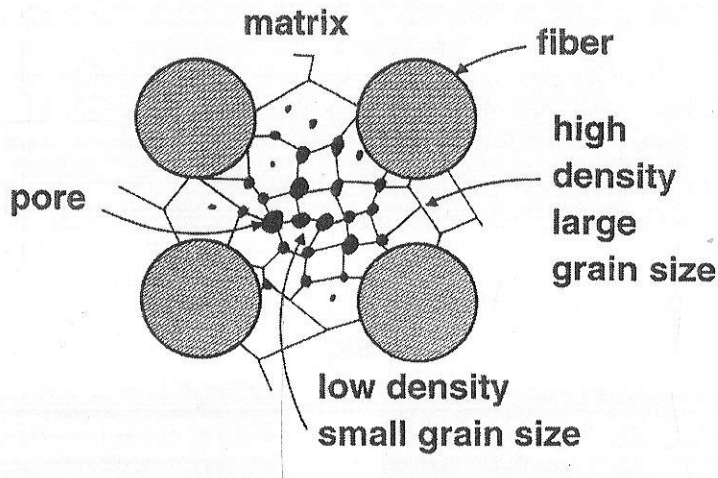
ภาพ 7.98 ความสัมพันธ์ระหว่าง Fractional Density กับปริมาณ SiC ในการเผาประสาน ZnO-SiC

สำหรับ Composite ที่มีปริมาณ Reinforcement น้อยในต่อน้ำหนักจะมี Packing Density ต่ำ ในขณะที่ Composite ที่มีปริมาณ Reinforcement 多 ก็จะมี Packing Density สูง แต่เมื่อทำการเผาประสาน Composite ที่มีปริมาณ Reinforcement น้อยจะมี Densification rate ที่สูงกว่าและได้ Sintered Density มากกว่าในที่สุด ภาพ 7.99 แสดงความสัมพันธ์ระหว่าง Density และเวลาในการเผาประสานของผงแก้วและ SiC ที่ปริมาณต่างกัน



ภาพ 7.99 ความสัมพันธ์ระหว่าง Density และเวลาในการเผาประสาน
ของผงแก้วและ SiC ที่ปริมาณต่างกัน

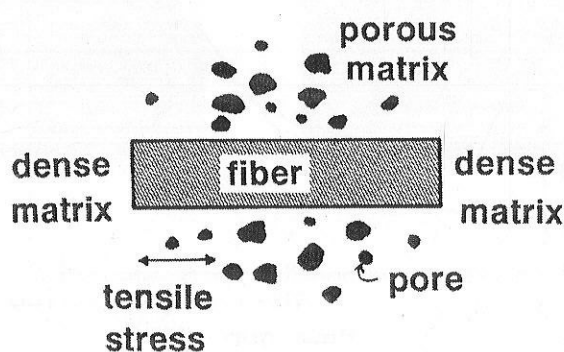
รอบ ๆ Reinforcement มักจะมีรูปร่างเป็น whisker บริเวณรอบ whisker ในทิศทางขานานกับด้านยาวของ whisker จะเกิด Tensile stress ขึ้นจากการหดตัวของ Base powder ในขั้นตอนเผาประสาน ซึ่งทำให้บริเวณรอบริมของ whisker มักจะมีรูปรุนมากกว่าทางด้านหัวและด้านท้ายของ whisker (ภาพ 7.101) และถ้าหาก whisker ในชิ้นงานมีการเรียงตัวอย่าง Preferential Orientation จะทำให้ชิ้นงานเกิดการหดตัวหรือพองตัวไม่เท่ากันในแต่ละทิศทาง



ภาพ 7.100 แบบจำลองลักษณะรูปรุนและขนาดเด่นรอบ Reinforcement ใน Composite Sintering

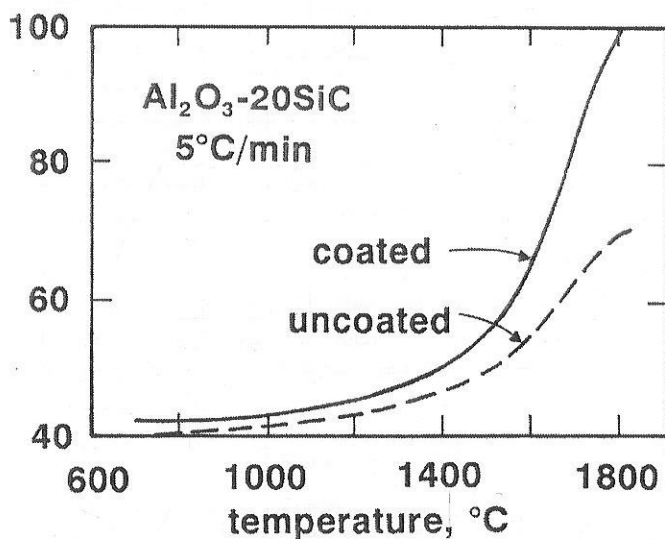
ถ้า Reinforcement มีรูปร่างเป็น whisker บริเวณรอบ whisker ในทิศทางขานานกับด้านยาวของ whisker จะเกิด Tensile stress ขึ้นจากการหดตัวของ Base powder ในขั้นตอนเผาประสาน ซึ่งทำให้บริเวณรอบริมของ whisker มักจะมีรูปรุนมากกว่าทางด้านหัวและด้านท้ายของ whisker (ภาพ 7.101) และถ้าหาก whisker ในชิ้นงานมีการเรียงตัวอย่าง Preferential Orientation จะทำให้ชิ้นงานเกิดการหดตัวหรือพองตัวไม่เท่ากันในแต่ละทิศทาง

เพื่อเพิ่ม Sintered Density อาจทำการเคลือบผิว Reinforcement ทำให้ลด Tensile stress ที่เกิดขึ้นจาก การหดตัวของ Base powder ทำให้ได้ Sintered Density ที่สูงขึ้น ภาพ 7.102 แสดงผลของการเคลือบผิว SiC ในการเผาประสาน Al_2O_3 -20SiC



ภาพ 7.101 แบบจำลองลักษณะรูปรุนรอบ whisker

density, %



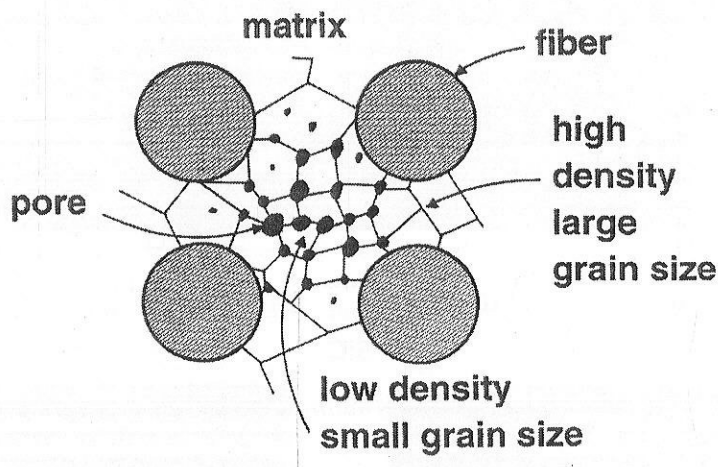
ภาพ 7.102 ผลของการเคลือบผิว SiC ในการเผาประสาน Al₂O₃-20SiC

ตัวอย่างของตัวแปรในกระบวนการ Mixed Powder Sintering แสดงดังตาราง 7.4

ตาราง 7.4 ตัวอย่างตัวแปรในกระบวนการ Mixed Powder Sintering

Materials	D, μm	% ρ_G	$\frac{dT}{dt}$, $^{\circ}C/min$	T, $^{\circ}C$	t, min	Atmosphere	Support	% ρ_s
Al ₂ O ₃ -5Mo	0.3	50	15	1540	60	Vacuum	Al ₂ O ₃	96
Al ₂ O ₃ -15SiC	0.2	50	-	1800	30	Argon	Al ₂ O ₃	88
Al ₂ O ₃ -30SiC	0.5	70	5	1500	240	Nitrogen	Al ₂ O ₃	80
Co-50Fe	5	50	50	1250	120	Hydrogen	Al ₂ O ₃	98
Co-50Ni	40	70	10	1400	60	Hydrogen	Al ₂ O ₃	94
Cr-1Pd	1	65	-	1400	60	Hydrogen	-	96
Cr ₂ O ₃ -30ZrO ₂	0.6	53	-	1500	120	Air	Graphite	98
Cu-4Al	50	65	20	1030	1	Hydrogen	-	60
Cu-8Fe	5	70	10	975	30	Hydrogen	Al ₂ O ₃	100
Fe-Cr-Al-Y ₂ O ₃	6	52	10	1350	120	Hydrogen	Mo	98
Fe-2Ni	5	64	15	1250	60	Hydrogen	Al ₂ O ₃	99
Fe-50Ni	5	60	10	1250	60	N2-H2	Al ₂ O ₃	96
Fe-2Ni-0.5C	75	92	10	1260	120	Vacuum	Al ₂ O ₃	94
Fe-2Ni-0.9C	6	60	10	1250	60	N2-H2	Al ₂ O ₃	95
Fe-6Ni-2Mo	80	87	15	1315	45	N2-H2	Steel	89
Mo-0.3Ni	5	58	5	600	180	Hydrogen	Al ₂ O ₃	86
Mo-0.3Ni ₃ P	0.9	50	2400	1200	60	Hydrogen	Mo	99

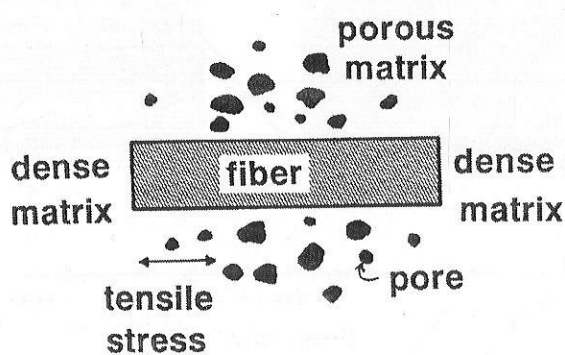
รอบ ๆ Reinforcement มักจะประกอบด้วยรูปทรงมากกว่าบิเวนอื่น เพราะ Reinforcement จะเกิดการหดตัวน้อยและทำให้ Base powder รอบ ๆ ไม่สามารถหดตัวได้อย่างเต็มที่ รูปทรงที่ยังคงเหลืออยู่นี้จะทำให้เกิด Grain Growth น้อยกว่า ผลสุดท้ายจึงทำให้บริเวณรอบ Reinforcement จะมี Degree of Sintering ต่ำกว่าบริเวณห่างออกไป ดังแบบจำลองในภาพ 7.100



ภาพ 7.100 แบบจำลองลักษณะรูปทรงและขนาดเกรนรอบ Reinforcement ใน Composite Sintering

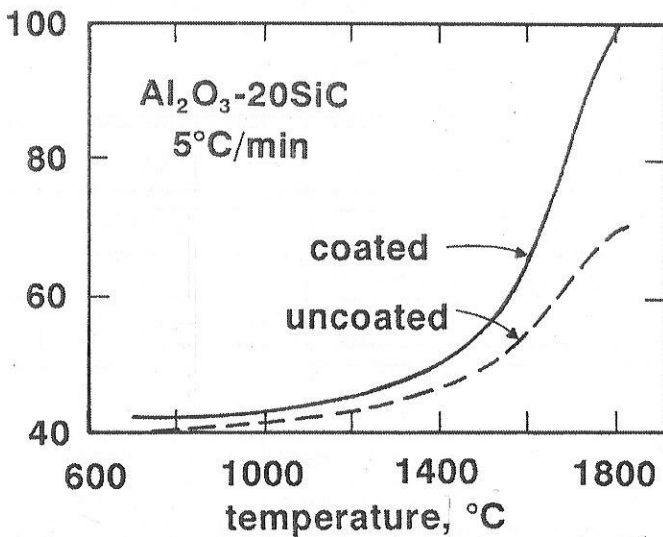
ถ้า Reinforcement มีรูปร่างเป็น whisker บริเวณรอบ whisker ในทิศทางข้างกับด้านยาวของ whisker จะเกิด Tensile stress ขึ้นจากการหดตัวของ Base powder ในชั้นตอนเผาประสาน ซึ่งทำให้บริเวณรอบรัศมีของ whisker มักจะมีรูปทรงมากกว่าทางด้านหัวและด้านท้ายของ whisker (ภาพ 7.101) และถ้าหาก whisker ในชิ้นงานมีการเรียงตัวอย่าง Preferential Orientation จะทำให้ชิ้นงานเกิดการหดตัวหรือพองตัวไม่เท่ากันในแต่ละทิศทาง

เพื่อเพิ่ม Sintered Density อาจทำการเคลือบผิว Reinforcement ทำให้ลด Tensile stress ที่เกิดขึ้นจาก การหดตัวของ Base powder ทำให้ได้ Sintered Density ที่สูงขึ้น ภาพ 7.102 แสดงผลของการเคลือบผิว SiC ในการเผาประสาน Al_2O_3 -20SiC



ภาพ 7.101 แบบจำลองลักษณะรูปทรงรอบ whisker

density, %



ภาพ 7.102 ผลของการเคลือบผิว SiC ในการเผาประสาน Al_2O_3 -20SiC

ตัวอย่างของตัวแปรในกระบวนการ Mixed Powder Sintering แสดงดังตาราง 7.4

ตาราง 7.4 ตัวอย่างตัวแปรในกระบวนการ Mixed Powder Sintering

Materials	$D, \mu\text{m}$	$\% \rho_G$	$\frac{dT}{dt}, ^\circ\text{C}/\text{min}$	$T, ^\circ\text{C}$	t, min	Atmosphere	Support	$\% \rho_S$
Al_2O_3 -5Mo	0.3	50	15	1540	60	Vacuum	Al_2O_3	96
Al_2O_3 -15SiC	0.2	50	-	1800	30	Argon	Al_2O_3	88
Al_2O_3 -30SiC	0.5	70	5	1500	240	Nitrogen	Al_2O_3	80
Co-50Fe	5	50	50	1250	120	Hydrogen	Al_2O_3	98
Co-50Ni	40	70	10	1400	60	Hydrogen	Al_2O_3	94
Cr-1Pd	1	65	-	1400	60	Hydrogen	-	96
Cr_2O_3 -30 ZrO_2	0.6	53	-	1500	120	Air	Graphite	98
Cu-4Al	50	65	20	1030	1	Hydrogen	-	60
Cu-8Fe	5	70	10	975	30	Hydrogen	Al_2O_3	100
Fe-Cr-Al-Y ₂ O ₃	6	52	10	1350	120	Hydrogen	Mo	98
Fe-2Ni	5	64	15	1250	60	Hydrogen	Al_2O_3	99
Fe-50Ni	5	60	10	1250	60	N2-H2	Al_2O_3	96
Fe-2Ni-0.5C	75	92	10	1260	120	Vacuum	Al_2O_3	94
Fe-2Ni-0.9C	6	60	10	1250	60	N2-H2	Al_2O_3	95
Fe-6Ni-2Mo	80	87	15	1315	45	N2-H2	Steel	89
Mo-0.3Ni	5	58	5	600	180	Hydrogen	Al_2O_3	86
Mo-0.3Ni ₃ P	0.9	50	2400	1200	60	Hydrogen	Mo	99

Materials	$D, \mu m$	$\% \rho_G$	$\frac{dT}{dt}, ^\circ C/min$	$T, ^\circ C$	t, min	Atmosphere	Support	$\% \rho_S$
Mullite-10ZrO ₂	<1	-	-	1610	120	Air	-	94
SIC-6Al ₂ O ₃ -Y ₂ O ₃	0.6	58	50	2000	120	Air	Graphite	99
Stainless-4Al ₂ O ₃	40	74	10	1350	5	Hydrogen	Al ₂ O ₃	95
Stainless-6Al ₂ O ₃	100	75	10	1350	180	Hydrogen	Al ₂ O ₃	91
Tool steel-10Al ₂ O ₃	5	74	10	1300	60	Hydrogen	Al ₂ O ₃	90
W-0.4Ni	2	55	10	1350	120	Hydrogen	Al ₂ O ₃	98
W-13Ni-7Co	5	65	10	1425	120	Hydrogen	Al ₂ O ₃	99
W-0.2Pd	0.8	60	10	1300	60	Hydrogen	Al ₂ O ₃	98
ZrO ₂ -6Y ₂ O ₃	0.6	56	5	1500	160	Air	-	100

7.8 Liquid Phase Sintering

Liquid Phase Sintering เป็นเทคนิคในการเผาประสานที่อาศัยการเกิดเฟสของเหลวในขณะเผาประสาน ซึ่งการถ่ายเทนวัลสารผ่านเฟสของเหลวเกิดขึ้นได้เร็วกว่า Solid state diffusion จึงทำให้ได้ Densification rate สูง ของเหลวที่เกิดขึ้นจะแพร่เข้มผ่านรูพุรุนด้วย Capillary force และมีปูร่างเป็น Network ออยล์ล้อมรอบเพสของแข็ง เปรียบเสมือนทางด่วนในการถ่ายเทนวัลสาร

ผู้อ่านอาจเคยไปรับน้ำแข็งหลอดบรรจุที่จำหน่ายตามร้านสะดวกซื้อ บางครั้งจะพบว่าน้ำแข็งหลอดแต่ละหลอดติดกันเป็นแผ่น ทำให้ก่อนที่จะนำไปใส่ในเครื่องดื่มต้องทุบน้ำแข็งในถุงให้แตกออกเสียก่อน หั้นี้เกิดจากขณะลงสิ่นค้าอาจมีช่วงที่อุณหภูมิสูงขึ้นและทำให้น้ำแข็งละลาย เมื่อนำไปแช่เย็นอีกครั้งทำให้น้ำแข็งตัวกล้ายเป็นน้ำแข็งอีกและมีการประสานกันเกิดขึ้น ซึ่งก็มีพฤติกรรมเหมือนกับ Liquid Phase Sintering นั่นเอง ด้วยความรู้สึกนี้ทำให้หักแกะสลักน้ำแข็งให้น้ำในการเชื่อมก้อนน้ำแข็งเข้าด้วยกัน ถ้าท่านผู้อ่านลองสังเกตจะเห็นว่าที่รอยเชื่อมนั้นมีความไม่平整แสงไม่เท่ากับบริเวณอื่น ในทำนองเดียวกันถ้าปืนหิมะเป็นก้อนจะมีความแข็งแรงแล้วให้น้ำดลงไปอย่างช้า ๆ แล้วปล่อยให้น้ำกล้ายเป็นน้ำแข็งอีก ก็จะได้น้ำแข็งที่มีความแข็งแรงมากขึ้น แต่ก็จะมีความไม่平整แสงน้อยกว่าน้ำแข็งที่แกะสลักจากน้ำแข็งก้อนเดียว หั้นี้เนื่องจากช่องว่างภายในทำให้เกิดการหักเหของแสง

ข้อได้เปรียบของ Liquid Phase Sintering คือสามารถได้ความหนาแน่นสูงด้วยระยะเวลาอันสั้น ซึ่งทำให้ได้ชิ้นงานที่มีความแข็งแรงสูงด้วย แต่ข้อเสียเปรียบได้แก่ เกิดการเปลี่ยนแปลงมิติมากซึ่งยากต่อการควบคุม ความแข็งแรงของชิ้นงานจะเปาประสานด้วยการทำให้อาจเกิดการบิดเบี้ยวหรือเสียรูปได้ง่าย นำชิ้นส่วนไปใช้งานที่อุณหภูมิสูงไม่ได้ เพราะถ้าสามารถทำ Liquid Phase Sintering ที่อุณหภูมิเผาประสานได้ย่อมหมายถึงอาจจะเกิดเฟสของเหลวที่อุณหภูมนั้นด้วยเห็นกัน และ Liquid Phase Sintering จะเกิดเฟสของเหลวและของแข็งพร้อมกันได้ต้องประกอบไปด้วยผงโลหะสองชนิดที่มีจุดหลอมตัวต่างกันเท่านั้น

ตัวอย่างของ Liquid Phase Sintering ได้แก่ Cu-Co, W-Cu, W-Ni-Fe, W-Ag, Cu-Sn, Fe-Cu, WC-Co, Ni-Ti และ Cu-P เป็นต้น ตาราง 7.5 แสดงตัวอย่างของ Liquid Phase Sintering และการใช้งาน

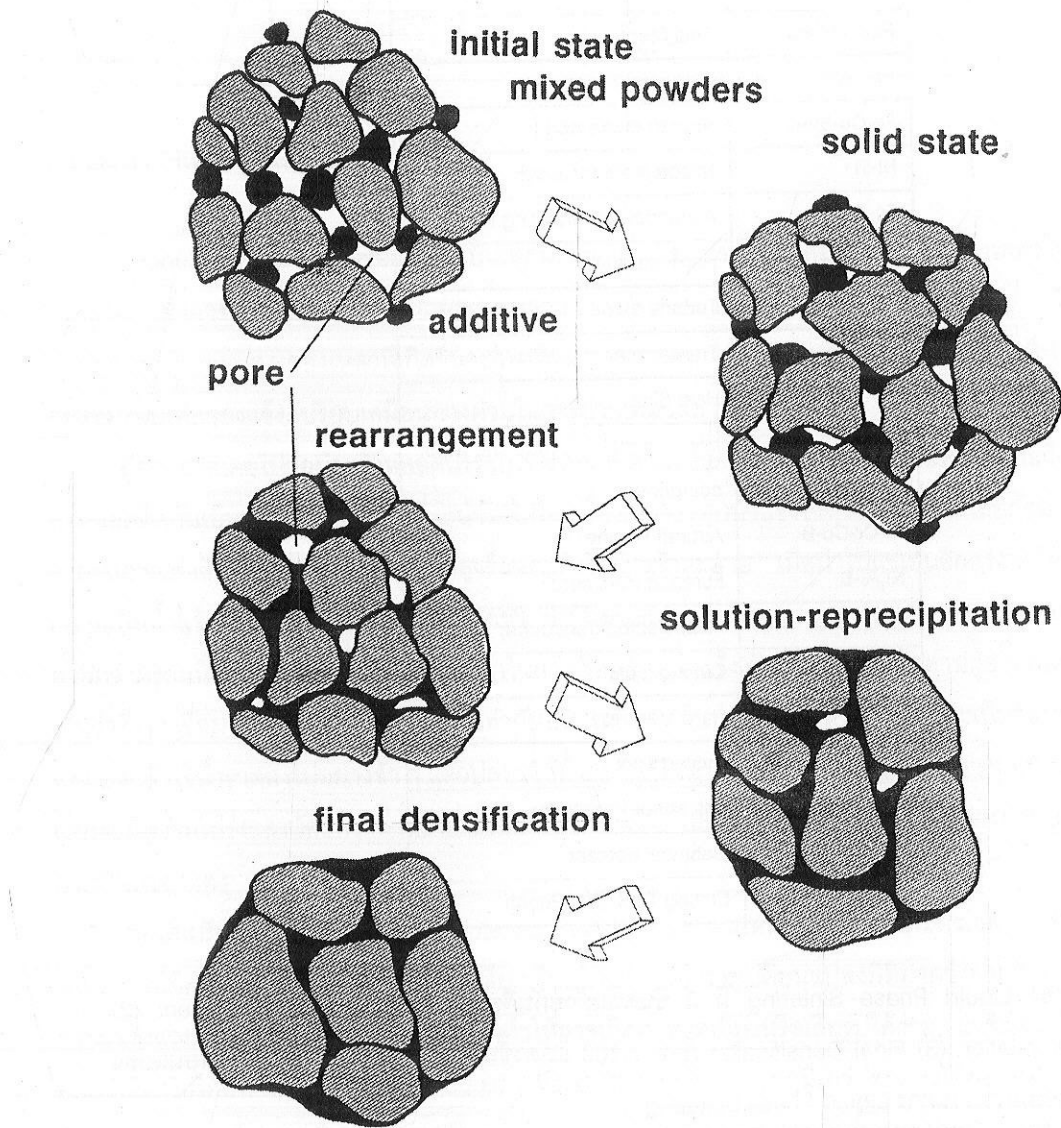
ตาราง 7.5 ตัวอย่าง Liquid Phase Sintering และการใช้งาน

Materials	Applications
Ag-Hg	Dental Amalgam
Al-Cu	Structural Component
Al-Pb	Bearing
Al ₂ O ₃ -MgO	Refractory
Al ₂ O ₃ -SiO ₂	Crucible
Cu-Sn	Oil-less bearing
Fe-Ni-Mo-C	Tool Steel
Fe-Fe ₃ P	Magnetic Sensor
Fe-Cu-Sn-C	Aircraft brake pad
Ni-Ti	Shape memory alloys
Fe-Cu-C	Automotive connecting rod
Fe-Nd-B	Hard Magnet
Fe-Ni-B	Turbine blade
Fe-Si	Transformer
Mo-Cu	Heat Sink
Mo ₂ FeB ₂ -Fe	Injection molding machine wear component
Ni-Cr-Co-B	Aircraft Engine
Ni ₃ Al-B	Furnace Hardware
Pb-Zr-TiO	Piezoelectric transducer
SiAlON	Cutting tools
SmCo ₅ -Co	Hard Magnet
TiC-Mo-Ni	Cutting Tool
W-Ni-Fe	Anti armor Penetrator
W-Cu	Electrical contact
WC-Co	Cutting Tool, Die, Punch

ขั้นตอนของ Liquid Phase Sintering มี 3 ขั้นตอนด้วยกันคือ (1) Particle Rearrangement (2) Solution-Reprecipitation (3) Final Densification ภาพ 7.103 แสดงขั้นตอนและแบบจำลองการเปลี่ยนแปลงโครงสร้างจุลภาคในกระบวนการ Liquid Phase Sintering

เริ่มต้นจากชิ้นงานที่ผ่านการอัดขึ้นรูปเมื่อได้รับความร้อนในช่วง Heating จะทำให้เกิด Solid State Diffusion ซึ่งมี Densification rate ต่ำ หลังจากนั้นมีอุณหภูมิสูงถึงจุดหลอมตัว จะทำให้เกิดเฟสของเหลวขึ้น จำนวนหนึ่ง ซึ่งจะมีปริมาณมากหรือน้อยขึ้นอยู่กับสถานะขององค์ประกอบทางเคมี เช่น ออกไซด์ ไฮดรอกไซด์ คาร์บอนัต ฯลฯ ที่มีผลต่อความสามารถในการเคลื่อนย้ายของอะตอม ทำให้เกิดการซึมซับของเหลวเข้าไปในช่องว่างของเฟส固ตัว ทำให้เกิดการลดขนาดของเฟส固ตัว จนกว่าจะไม่สามารถซึมซับได้อีก ชั้นตอนนี้เรียกว่า "Particle Rearrangement" หลังจากนั้นจะเกิดการถ่ายเทมวลสารทำให้เกิดการหักเหของแสง ทำให้เกิดการส่องประกาย หรือสะท้อนแสง ซึ่งเป็นเครื่องแสดงว่าการสintering ดำเนินต่อไปอย่างต่อเนื่อง

เกิด Homogenization โดยเฟสของเหลวจะทำหน้าที่คล้ายคลึงกับ Additive powder ในกระบวนการ Enhanced Sintering แต่ว่ามีอัตราการถ่ายเทน้ำสารสูงกว่ามาก เมื่อ Homogenization เกิดขึ้นพอดังนี้จะทำให้เฟสของเหลวไม่เสถียรที่อุณหภูมิเพาประسانอีกต่อไปและเปลี่ยนเป็นเฟสของแข็ง ขั้นตอนนี้เรียกว่า "Solution-Reprecipitation" และเมื่อเฟสของเหลวถูกถ่ายเทน้ำสารแล้วก็จะเกิดการถ่ายเทน้ำสารต่อไปในสภาพของแข็งทำให้รูปจนที่เกิดจากเฟสของเหลวลดลงและได้ความหนาแน่นสุดท้าย ขั้นตอนนี้เรียกว่า "Final Densification"

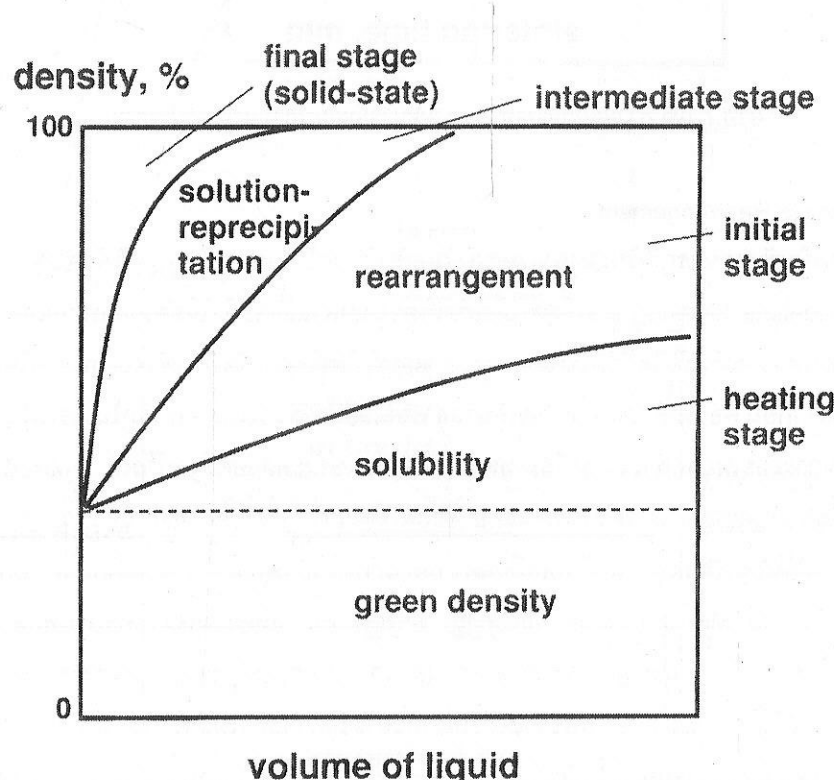


ภาพ 7.103 ขั้นตอนและแบบจำลองการเปลี่ยนแปลงโครงสร้างอุดภาคในกระบวนการการ Liquid Phase Sintering

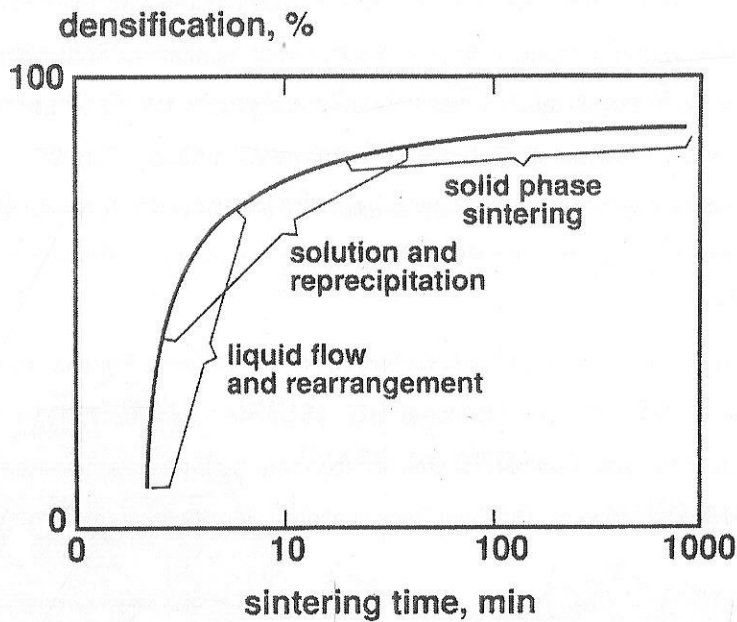
ในกระบวนการการ Liquid Phase Sintering บางครั้งไม่จำเป็นต้องมีขั้นตอนเหล่านี้ครบถ้วน ทั้งนี้ขึ้นอยู่กับปริมาณเฟสของเหลวที่เกิดขึ้น ภาพ 7.104 แสดงแผนภาพขั้นตอนของ Liquid Phase Sintering ที่ขึ้นอยู่กับปริมาณเฟสของเหลว จะเห็นได้ว่าถ้าเฟสของเหลวมีปริมาณน้อยจะมีขั้นตอนครบถ้วนคือ

Particle Rearrangement – Solution-Reprecipitation – Final Densification แต่ถ้าเฟสของเหลวมีปริมาณมาก จะทำให้เหลือแค่ Particle Rearrangement หรืออาจมี Solution-Reprecipitation ก็สามารถทำให้ได้ความหนาแน่นสูงสุดได้ โดยไม่ต้องมีขั้นตอน Final Densification ถ้าตั้งสมมุติฐานว่าผงโลหะทรงกลมขนาดเท่ากันจะเรียงตัวหนาแน่นที่สุดที่ 74% Theoretical Density ต้องมีปริมาณเฟสของเหลวอย่างน้อย 26% เพื่อไปแทนที่ของว่างจากการเรียงตัวก็จะทำให้ได้ความหนาแน่นสูงสุดได้ อย่างไรก็ได้การที่มีเฟสของเหลวเกิดขึ้นมากก็จะทำให้เกิดการเปลี่ยนแปลงนิติของชิ้นงานมาก และชิ้นงานมีโอกาสเสียรูปร่างได้ง่าย เนื่องจากชิ้นงานขณะเผาประสานมีความแข็งแรงต่ำ

ดังนั้นจะเห็นได้ว่าความหนาแน่นภายในชิ้นงานจะเพิ่มขึ้นเรื่อยๆ ตามขั้นตอน Particle-Rearrangement, Solution-Reprecipitation ไปจนถึง Final Densification ภาพ 7.105 แสดงความสัมพันธ์ระหว่างความหนาแน่นกับเวลาในการเผาประสาน จากภาพจะเห็นว่าช่วงที่มี Densification rate สูงที่สุดคือ Particle-Rearrangement และรองลงมาคือ Solution-Reprecipitation และ Final Densification มี Densification rate ต่ำที่สุด



ภาพ 7.104 แผนภาพขั้นตอนของ Liquid Phase Sintering ที่ขึ้นอยู่กับปริมาณเฟสของเหลว



ภาพ 7.105 ความสัมพันธ์ระหว่างความหนาแน่นกับเวลาในการเผาประสาน

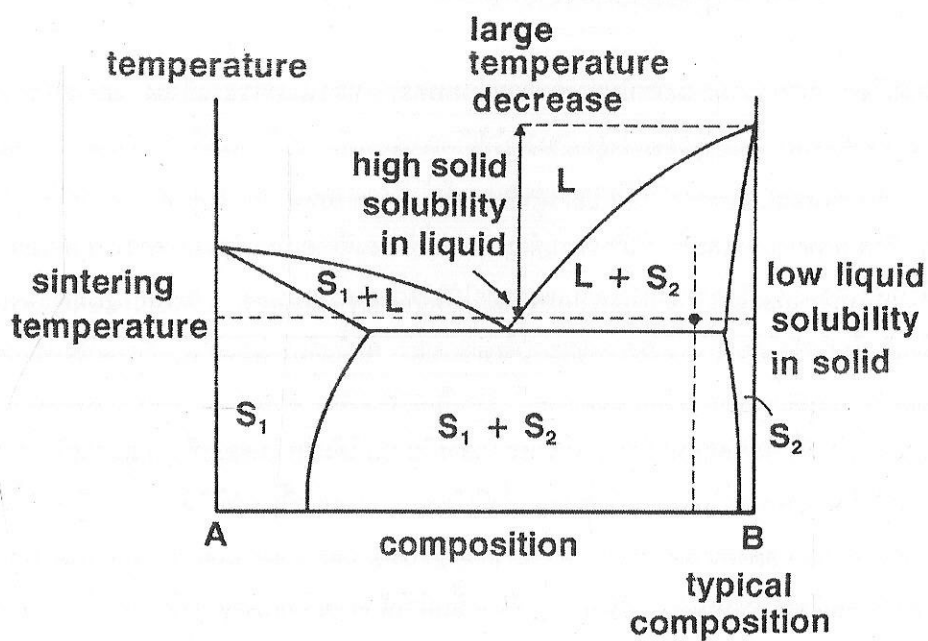
7.8.1 Particle Rearrangement

ในขั้นตอนเป็นขั้นตอนแรกที่เริ่มปรากฏเพสของเหลวในโครงสร้างจุลภาค ซึ่งในขั้นตอนนี้จะมีความแตกต่างจาก Solid-state Sintering มากที่สุด เมื่อเกิดเฟสของเหลวแล้วจะทำให้อัตราการถ่ายเทมาลสารสูงขึ้น นอกจากนี้เฟสของเหลวจะทำให้เกิด Capillary force และทำให้เกิดการจัดเรียงตัวของอนุภาคใหม่ ในที่นี่จะกล่าวถึงประดิษฐ์และก่อน คือ พฤติกรรมการถ่ายเทมาลสารขณะที่มีเฟสของเหลวปรากฏในโครงสร้างจุลภาค

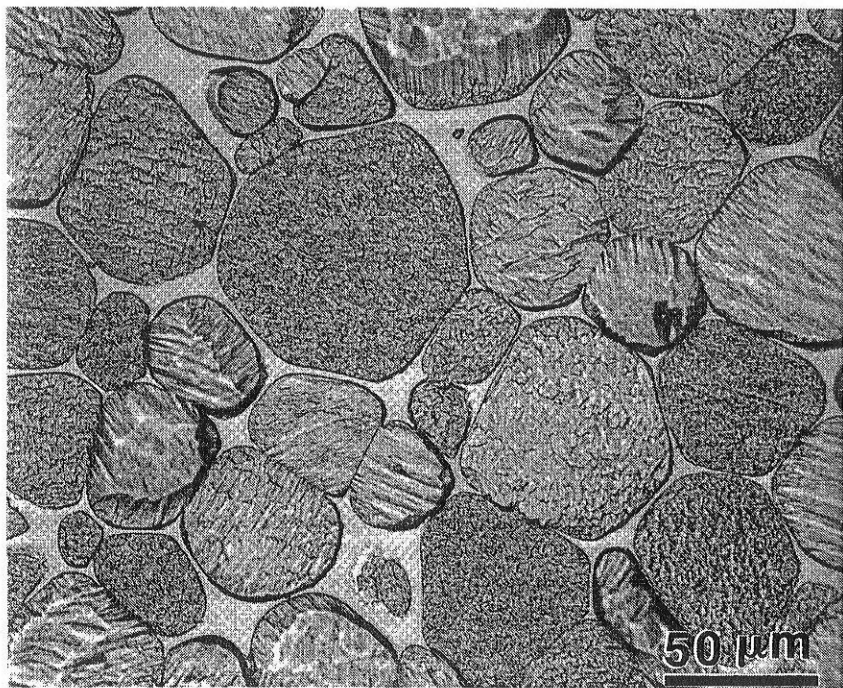
พฤติกรรมการถ่ายเทมาลสารในกรณีที่มีเฟสของเหลวมีลักษณะคล้ายคลึงกับกรณี Mixed powder sintering โดยขึ้นอยู่กับความสามารถในการละลายของเฟสของแข็งในเฟสของเหลว และความสามารถในการละลายเฟสของเหลวในเฟสของแข็ง (เบรียบเสมือนความสามารถในการละลายของ Additive powder และ Base powder ในกรณี Mixed powder sintering) ภาพ 7.106 แสดงแผนภาพอธิบายพฤติกรรมการเผาประสานของ Liquid Phase Sintering จากภาพ ถ้าความสามารถในการละลายของเฟสของแข็งในเฟสของเหลวสูง แต่ความสามารถในการละลายของเฟสของเหลวในเฟสของแข็งต่ำจะทำให้เกิด Densification ช้า ช้างาน เกิดการหดตัว เฟสของเหลวจะทำหน้าที่เบรียบเสมือนทางด่วนของการถ่ายเทมาลสาร โดยเฟสของแข็งจะละลายลงในเฟสของเหลวและแพร่ไปตามรูปทุนที่ของเหลวไปถึง ซึ่งในกรณีนี้เฟสของเหลวจะไม่แพร่เข้าสู่เฟสของแข็ง เพราะมีความสามารถในการละลายต่ำ กรณีนี้เป็นกรณีที่เหมาะสมต่อการทำ Liquid Phase Sintering ทั่วไปที่ต้องการให้ได้ความหนาแน่นสูง (เบรียบเสมือน Enhanced Sintering ใน Mixed Powder Sintering) ดังนั้nlักษณะแผนภูมิสมดุลที่เหมาะสมต่อการทำ Liquid Phase Sintering ซึ่งจะทำให้เกิด Densification ช้า ต้องมีลักษณะดังภาพ 7.107 ตัวอย่างของ Liquid Phase Sintering แบบนี้ที่ดัดเจนได้แก่การเผาประสาน W ร่วมกับ Additive powder ที่มีจุดหลอมตัวต่ำกว่าอุณหภูมิเผาประสาน ภาพ 7.108 แสดงตัวอย่างโครงสร้างจุลภาคของชิ้นงาน W-3.5Ni-1.5Fe เผาประสานที่ 1470 องศาเซลเซียสเป็นเวลา 2 ชั่วโมงภายใต้บาร์ยักษ์ไฮดรูเจน

		solid solubility in liquid
		low high
liquid solubility in solid	low	limited densification, rearrangement
	high	swelling, transient liquid
		extensive densification
		mixed effect swelling & densification

ภาพ 7.106 แผนภาพอธิบายพฤติกรรมการเผาประสานของ Liquid Phase Sintering

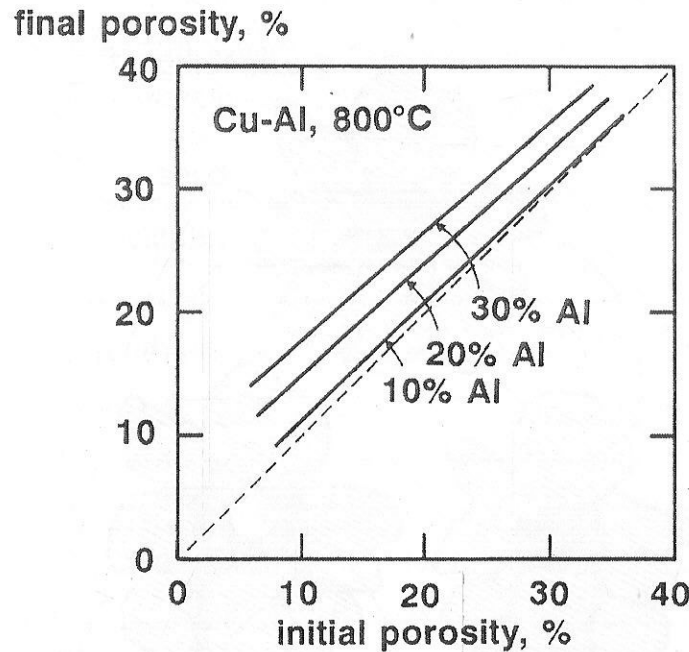


ภาพ 7.107 ลักษณะแผนภูมิสมดุลที่เหมาะสมต่อการทำ Liquid Phase Sintering



ภาพ 7.108 ตัวอย่างโครงสร้างจุลภาคของชิ้นงาน W-3.5Ni-1.5Fe ผ่านประสานที่ 1470 องศาเซลเซียส เป็นเวลา 2 ชั่วโมงภายใต้บาร์ยาการค่าไดรเจน

ในทางตรงกันข้ามหากความสามารถในการละลายของเฟสของเหลวในเฟสของแข็งสูง แต่ความสามารถในการละลายของเฟสของเหลวในเฟสของแข็งสูง จะทำให้เกิดการพองตัว (เปรียบเสมือน Pore Formation Sintering ใน Mixed Powder Sintering) เนื่องจากเฟสของแข็งไม่สามารถละลายลงในเฟสของเหลวได้ แต่เฟสของเหลวจะแพร่เข้าสู่เฟสของแข็งและทำให้เกิดรูปrun จำนวนมากบริเวณที่เคยเป็นเฟสของเหลว พฤติกรรมแบบนี้โดยทั่วไปแล้วไม่เป็นที่ต้องการในการเผาประสาน เพราะทำให้ความหนาแน่นต่ำ ควบคุมรูปร่างชิ้นงานได้ยาก และรูปrun ที่เกิดขึ้นกำจัดได้ยากในขั้นตอน Final Densification ดังนั้นลักษณะแคนภูมิสมดุลที่ไม่เหมาะสมต่อการทำ Liquid Phase Sintering จะมีลักษณะตรงกันข้ามกับภาพ 7.107 ตัวอย่าง Liquid Phase Sintering แบบนี้ได้แก่ Cu-Al ซึ่ง Al ที่มีจุดหลอมตัวต่ำกว่าความสามารถละลายใน Cu ได้มาก ในขณะที่ Cu ละลายใน Al น้อยกว่า ดังนั้นจึงทำให้เกิดการพองตัวในการเผาประสาน ยิ่งมีปริมาณ Al มากขึ้นจะทำให้การพองตัวของชิ้นงานมากขึ้นเช่นกัน ภาพ 7.109 แสดงความสัมพันธ์ระหว่าง Final porosity และ Initial porosity ในการเผาประสาน Cu-Al ที่ 800 องศาเซลเซียส จะเห็นได้ว่าปริมาณ Al ที่มากขึ้นทำให้ Final porosity สูงขึ้น ภาพ 7.110 แสดงแบบจำลองของการเกิด Shrinkage และ Swelling จากอิทธิพลของความสามารถในการละลายระหว่างเฟสของเหลวและของแข็ง ตามที่ได้อธิบายไว้ข้างต้น



ภาพ 7.109 ความสัมพันธ์ระหว่าง Final porosity และ Initial porosity ใน การเผาประสาน Cu-Al ที่ 800 องศาเซลเซียส

ถ้าหากความสามารถในการละลายระหว่างเฟสของเหลวและของแข็งต่ำ จะเปรียบเสมือนการทำ Composite Sintering ซึ่งเกิด Densification อย่างจำกัดจากการจัดเรียงตัวใหม่ของอนุภาค และถ้าความสามารถในการละลายระหว่างเฟสของเหลวและของแข็งสูงจะเกิดพุติกรรมแบบผสมระหว่าง Swelling และ Shrinkage ยกตัวอย่างเช่นการเผาประสาน Cu-Sn เป็นต้น

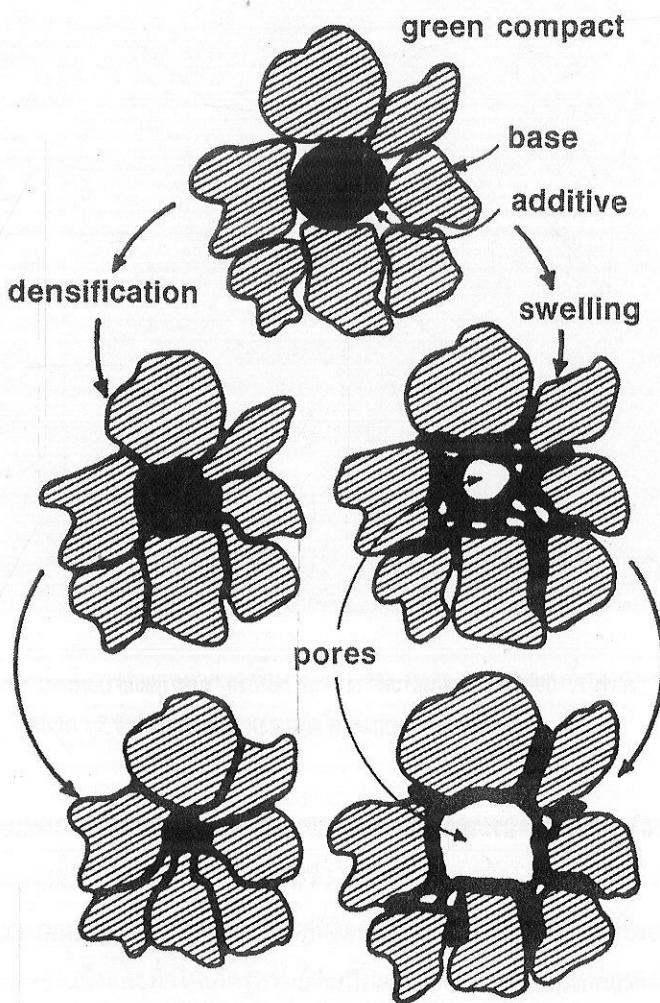
ประเด็นต่อมาเกี่ยวกับการจัดเรียงตัวของอนุภาคเนื่องจาก Capillary force สามารถอธิบายได้ดังนี้ คือ ก่อนการเกิดข่องเหลวภายในโครงสร้างอนุภาค พลังงานพื้นผิวที่สำคัญคือ γ_{s-v} หรือพลังงานพื้นผิวอิสระระหว่างเฟสของแข็งและไอ แต่เมื่อกีดเฟสของเหลวขึ้น γ_{s-l} จะถูกทดแทนด้วย γ_{l-v} หรือพลังงานพื้นผิวอิสระระหว่างเฟสของแข็งและของเหลว ซึ่งได้

$$\gamma_{s-v} > \gamma_{s-l} + \gamma_{l-v}$$

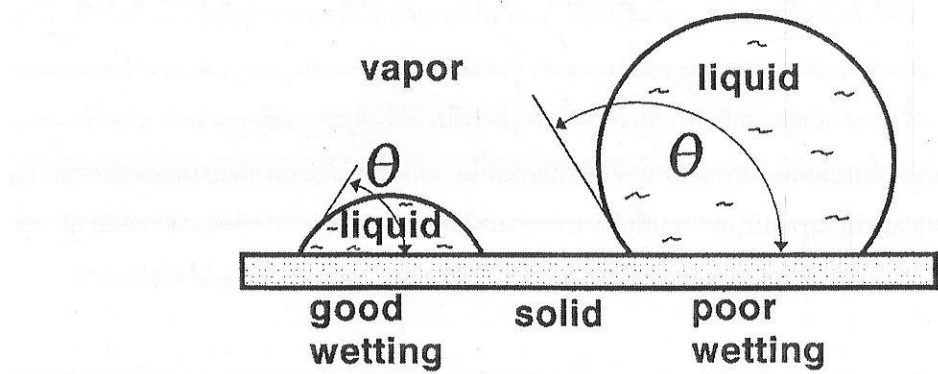
จะทำให้พลังงานของระบบลดลงเมื่อเฟสของเหลวเข้าไปแทนที่ไอ จึงทำให้ระบบพยายามลดพลังงานด้วยการทำให้เฟสของเหลวแพร่ผ่านรูพรุนไปทุกแห่งพื้นที่ มิฉะนั้นจะมีการหักเหของเหลว หรืออาจเรียกว่ามี Wetability ต่ำ ด้วย Wetting Angle ดังภาพ 7.111 ซึ่งคำนวณ Wetting Angle ได้จากสมการ

$$\gamma_{s-v} = \gamma_{s-l} + \gamma_{l-v} \cos \theta$$

ดังนั้นจะเห็นได้ว่าถ้าค่า θ ต่ำหมายถึงเฟสของเหลวมี Wetability สูง และถ้าค่า θ สูงหมายถึงเฟสของเหลวมี Wetability ต่ำ

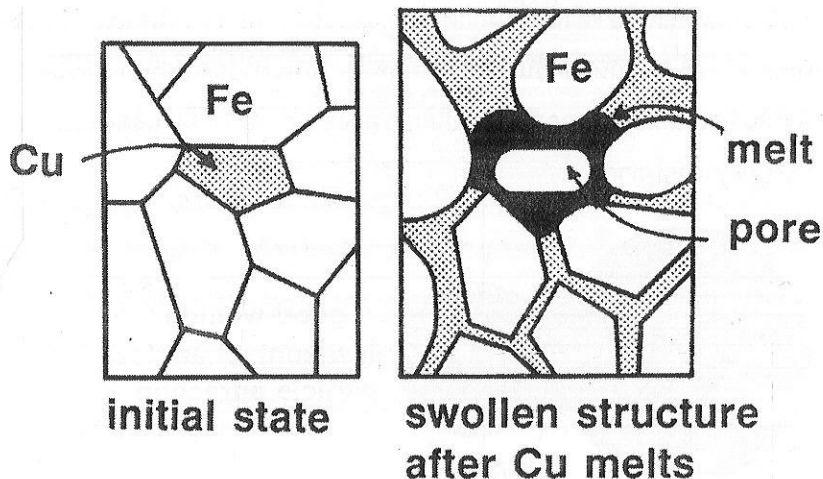


ภาพ 7.110 แบบจำลองของการเกิด Shrinkage และ Swelling จากอิทธิพลของ
ความสามารถในการละลายน้ำของเฟสของเหลวและของแก้ว

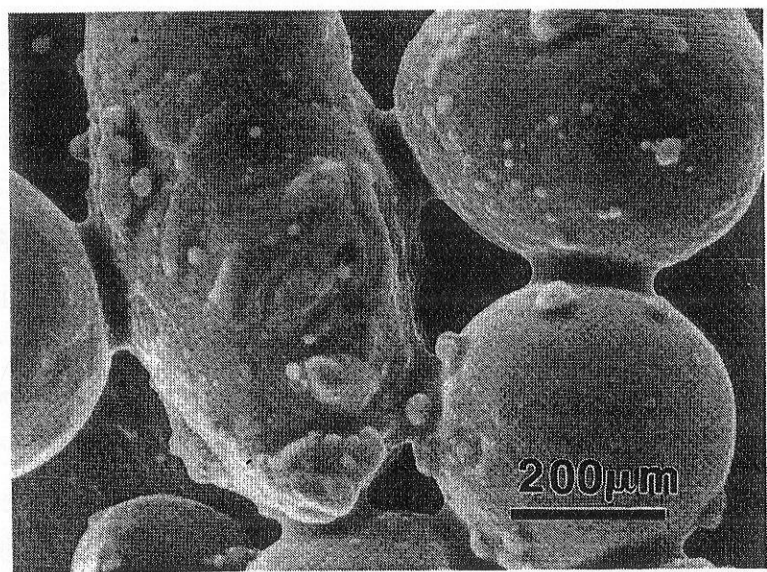


ภาพ 7.111 Wetting Angle และ Wettability

ในกรณีที่เฟสของเหลวมี Wetability สูงจะเพริ่ปตามรูพจน์โดยมีแนวโน้มที่จะแพร่ยังบริเวณที่มีรูพจน์เล็กที่สุด เนื่องจากรูพจน์ที่เล็กที่สุดใช้ปริมาณเฟสของเหลวน้อยแต่สามารถดูดแทนพื้นที่ผิวระหว่างเฟสของแข็งและไอได้มากกว่า ผลจากการที่เฟสของเหลวพยายามแพร่ไปยังบริเวณที่มีรูพจน์ขนาดเล็กอาจทำให้เกิดช่องว่างบริเวณที่มีรูพจน์ขนาดใหญ่กว่า ภาพ 7.112 แสดงแบบจำลองของการเกิดรูพจน์จาก Liquid Phase Sintering ของ Fe-Cu ผู้อ่านอาจคิดว่าเฟสของเหลวจะไห้เหลือตามแรงโน้มถ่วงโดยหัวใจบริเวณด้านล่างของชิ้นงาน แต่ในความเป็นจริงพบว่า ถ้าผังโลหะทั่วไปที่มีขนาดประมาณ 1 มิลลิเมตร บริเวณเฟสของเหลวประมาณ 5% จะมี Capillary force ที่เกิดขึ้นจากพลังงานพื้นผิวมากกว่าแรงที่เกิดจากอัตราเร่งแรงโน้มถ่วงโดยถึง 10,000 เท่า นอกจากนี้ด้วย Capillary force ที่เกิดขึ้นจะพยายามดึงให้เฟสของแข็งเข้าใกล้กันมากขึ้นเพื่อลดปริมาตรที่ใช้ในการแทนที่พื้นผิวระหว่างเฟสของแข็งแล้ว และมีส่วนทำให้เกิดการเรียงตัวใหม่ของอนุภาค ความหนาแน่นภายในชิ้นงานจึงสูงขึ้น ภาพ 7.113 แสดงถ่ายภาพกล้องจุลทรรศน์อิเล็กตรอนแสดงให้เห็นรอยเทือนต่อของเฟสของเหลวระหว่างอนุภาค ซึ่งทำให้เกิดแรงดึงอนุภาคให้ใกล้กันมากขึ้น หลักฐานที่ยืนยันทฤษฎีนี้คือถ้าเราลองนำกระดาษเปล่ามาติดกับฝาผนัง กระดาษแผ่นนั้นจะร่วงหล่นลงสู่พื้นทันทีที่ปล่อยมือ แต่ถ้าใช้น้ำเปล่าทาลงบนกระดาษเล็กน้อยจะทำให้กระดาษแผ่นนั้นยึดติดกับฝาผนังได้จาก Capillary force และถ้าปล่อยไว้ เช่นนั้นสักพัก เมื่อน้ำเกิดการระเหยจนมีปริมาณน้อยลง จะไม่สามารถทำให้เกิด Capillary force มากพอที่จะรับน้ำหนักของกระดาษแผ่นนั้นได้ กระดาษก็จะร่วงลงสู่พื้น

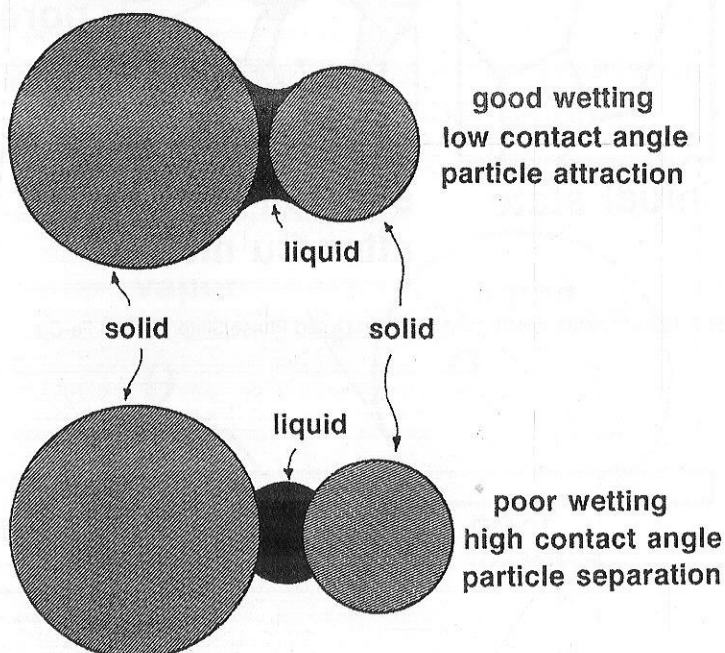


ภาพ 7.112 แบบจำลองของการเกิดรูพจน์จาก Liquid Phase Sintering ของ Fe-Cu



ภาพ 7.113 ถ่ายภาพกล้องจุลทรรศน์อิเล็กตรอนแสดงให้เห็นรอยเชื่อมต่อของเฟสของเหลวระหว่างอนุภาค ซึ่งทำให้เกิดแรงดึงดูดอนุภาคให้ใกล้ชิดกันมากขึ้น

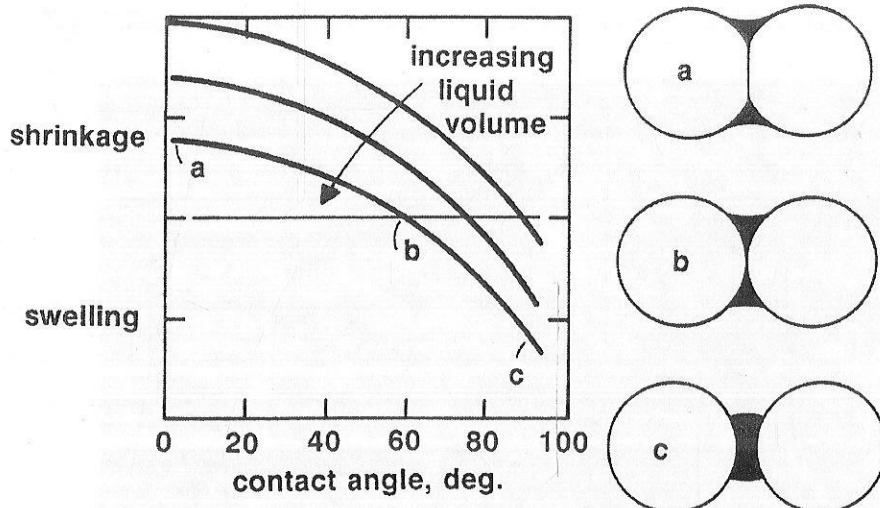
ในทางตรงกันข้ามหากเฟสของเหลวมี Wetability ต่ำ เฟสของเหลวจะไม่แพร่ไปตามพื้นผิว เพราะไม่มีส่วนซึ่งให้พลังงานของระบบลดลงได้ เมื่อจากมีพลังงานพื้นผิวระหว่างเฟสของเหลวและของแข็งมากกว่า พลังงานพื้นผิวระหว่างเฟสของแข็งและไอ ดังนั้นจึงไม่เกิด Densification นอกจากนี้เฟสของเหลวยังพยายามผลักให้ผงโลหะหรือเฟสของแข็งห่างจากกันมากขึ้น เพื่อลดพลังงานพื้นผิวของเฟสของเหลวโดยจะพยายามเปลี่ยนเป็นทรงกลม ทำให้ผลักผงโลหะออกจากกัน และเกิดการพองตัว ภาพ 7.114 แสดงแบบจำลองอิทธิพลของ Wetability ต่อการเรียงตัวของอนุภาค



ภาพ 7.114 แบบจำลองอิทธิพลของ Wetability ต่อการเรียงตัวของอนุภาค

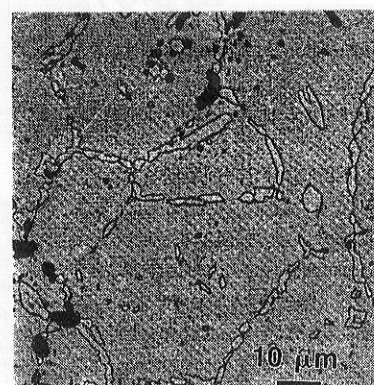
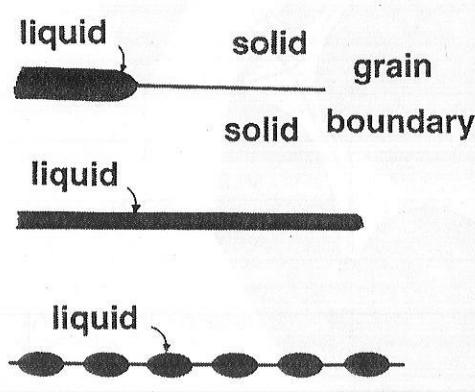
แรงที่กระทำระหว่างอนุภาคเฟล็กซ์ของแข็งขึ้นอยู่กับปริมาณและ Wetability ซึ่งมีผลต่อการหดหรือพองตัวของชิ้นงาน ตัวอย่างลักษณะความสัมพันธ์ของปริมาณเฟล็กซ์ของเหลว, Wetability และการเปลี่ยนแปลงมิติของชิ้นงานแสดงดังภาพ 7.115

Interparticle force



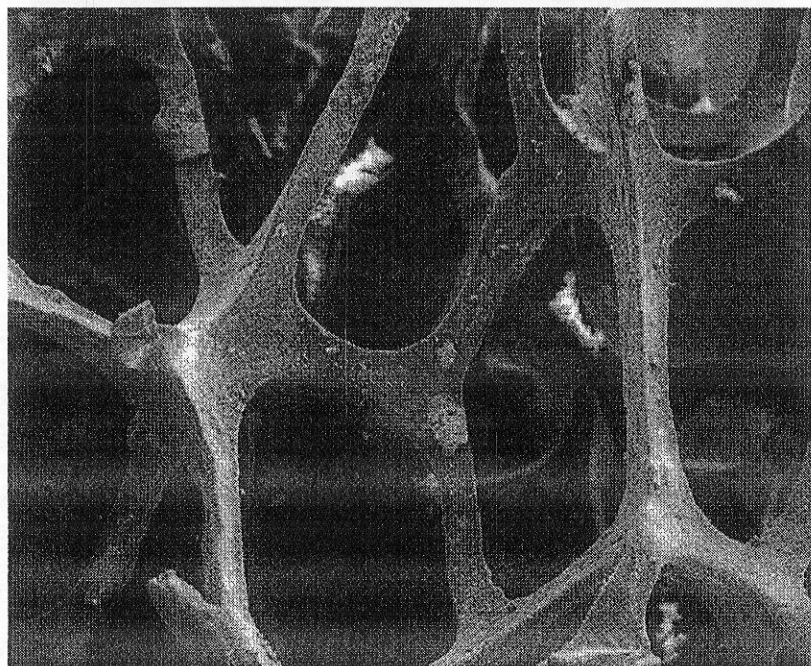
ภาพ 7.115 ตัวอย่างลักษณะความสัมพันธ์ของปริมาณเฟล็กซ์ของเหลว, Wetability
และการเปลี่ยนแปลงมิติของชิ้นงาน

โครงสร้างจุลภาคสุดท้ายในชิ้นงานที่ได้ขึ้นอยู่กับปริมาณเฟล็กซ์ของเหลวที่เกิดขึ้นในขั้นตอน Particle-Reprecipitation และ Wetability สำหรับปริมาณเฟล็กซ์ของเหลวที่เกิดขึ้น ถ้ามีปริมาณค่อนข้างน้อยจะทำให้โครงสร้างจุลภาคเปรากภูลักษณะ Necklace Microstructure ซึ่งดูคล้ายสร้อยคอ เกิดจากความไม่ต่อเนื่องกันของเฟล็กซ์ของเหลวซึ่งมีปริมาณน้อย ภาพ 7.116 แสดงตัวอย่าง Necklace Microstructure ของ Fe-7Ti จะเห็นได้ว่าโครงสร้างจุลภาคมีรูปrunที่เกิดจากการแพร่ของเฟล็กซ์ของเหลวในลักษณะเดียวกันกับภาพ 7.112

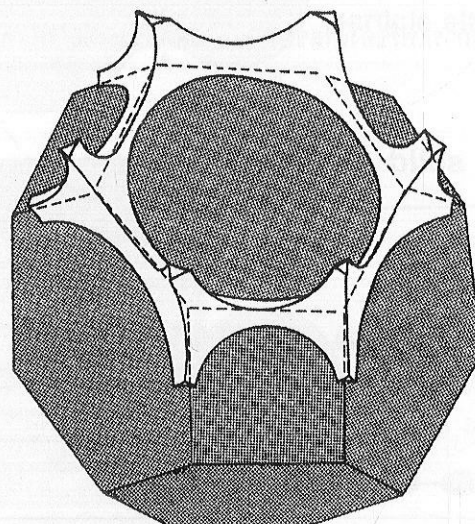


ภาพ 7.116 ตัวอย่าง Necklace Microstructure ของ Fe-7Ti

ถ้าหากว่าเฟสของเหลวมีปริมาณมากขึ้นจะทำให้ได้โครงสร้างที่เป็นโครงข่ายของบริเวณที่เคยเป็นเฟสของเหลว ซึ่งมักจะมีลักษณะคล้ายกับรูปร่างของรูปทรงในช่วง Intermediate Stage Sintering ภาพ 7.117 แสดงภาพถ่ายกล้องจุลทรรศน์อิเล็กตรอน แสดงให้เห็นลักษณะของเฟสของเหลวที่มีความต่อเนื่องกันเป็นโครงข่ายโดยบริเวณที่เป็นเฟสของแข็งถูกกำจัดออกด้วยวิธีการกัดกรดอย่างรุนแรง จะเห็นว่าในกรณีนี้เฟสของแข็งมีรูปร่างแบบ Tetrakaidecahedron (ทรง 14 หน้า) และเฟสของเหลวที่เห็นในภาพ 7.116 นั้นวางตัวอยู่ตรงบริเวณสันและขอบของเกรน ภาพ 7.118 แสดงแบบจำลองการวางตัวของเฟสของเหลวและเฟสของแข็ง



ภาพ 7.117 ภาพถ่ายกล้องจุลทรรศน์อิเล็กตรอน แสดงให้เห็นลักษณะของเฟสของเหลวที่มีความต่อเนื่องกันเป็นโครงข่าย

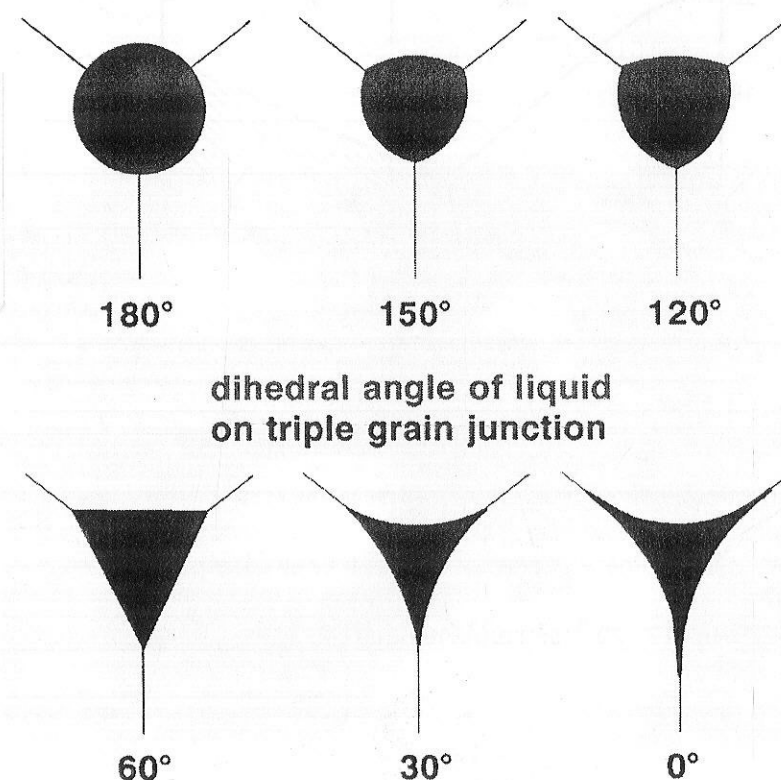


ภาพ 7.118 แบบจำลองการวางตัวของเฟสของเหลวและเฟสของแข็ง

อีกปัจจัยหนึ่งนอกเหนือปริมาณเฟสของเหลวที่มีผลต่อโครงสร้างจุลภาคที่ได้คือ Wetability ค่าที่เป็นตัวบ่งบอก Wetability คือ Wetting Angle ดังที่กล่าวมาแล้ว แต่ยังมีอีกด้านหนึ่งซึ่งมีลักษณะเช่นเดียวกันกับ Wetting Angle คือ Dihedral Angle โดย Dihedral Angle (ϕ) ต่างจาก Wetting Angle ตรงที่ Wetting Angle เป็นมุมที่เกิดจากเฟส 3 เฟสได้แก่ ของเหลว, ของแข็งและไอ แต่ Dihedral Angle เป็นมุมที่เกิดจากเฟส 2 เฟส โดยอาจได้แก่ ของเหลว-ของแข็ง, ของเหลว-ไอ หรือ ของแข็ง-ไอ ก็ได้ ซึ่ง Dihedral Angle จะเหมาะสมต่อการวิเคราะห์ในกรณีของ Liquid Phase Sintering มากกว่าเพราะเกี่ยวข้องกับเฟส 2 เฟส ได้แก่ ของเหลวและของแข็ง Dihedral Angle คำนวณได้จาก

$$2\gamma_{s-l} \cos \frac{\phi}{2} = \gamma_{s-s}$$

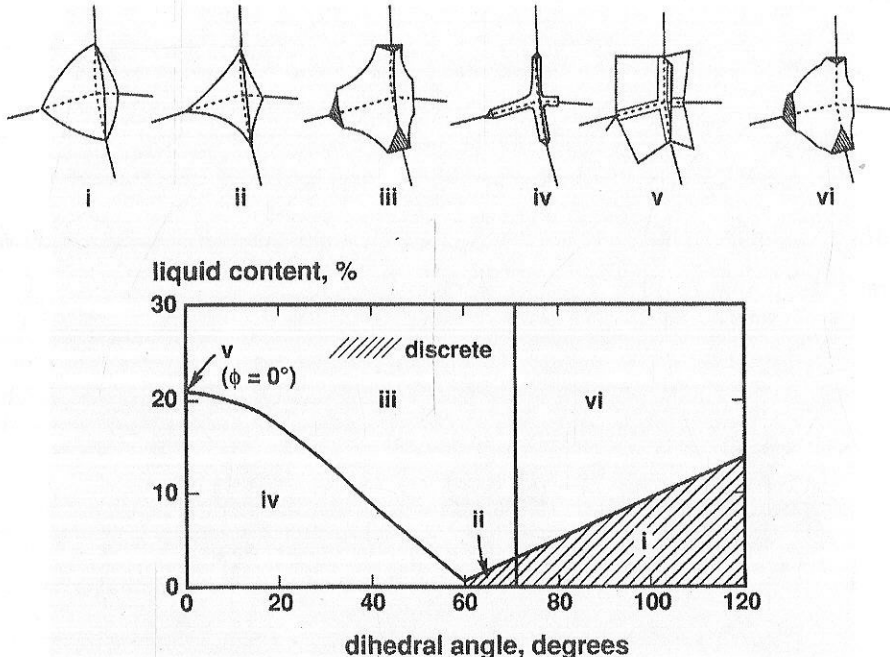
ถ้าหากมีเฟสของเหลวเกิดบริเวณรอยต่อระหว่าง 3 เกรน (Tri-pole Junction) จะมีรูปร่างแตกต่างกันขึ้นอยู่กับ Dihedral Angle ดังภาพ 7.118



ภาพ 7.118 รูปร่างของเฟสของเหลวบริเวณ Tri-pole Junction ที่ขึ้นอยู่กับ Dihedral Angle

จะเห็นได้ว่าทั้งปริมาณเฟสของเหลวและ Dihedral Angle มีผลต่อโครงสร้างจุลภาคสุดท้ายที่ได้ ดังนั้นจึงต้องพิจารณาผลของทั้งสองร่วมกัน ดังภาพ 7.119 จากภาพจะเห็นว่าถ้ามีปริมาณเฟสของเหลวน้อยลงมี

Dihedral Angle มาก (กรณี i และ ii) จะทำให้ได้เฟสของเหลวที่มีลักษณะไม่ต่อเนื่องกัน แต่ถ้ามีปริมาณเฟสของเหลวมากพอก็จะทำให้ได้เฟสของเหลวที่ต่อเนื่องกันได้แม้จะมี Dihedral Angle มากก็ตาม (กรณี vi) ถ้ามี Dihedral Angle น้อยกว่า 60 องศาจะทำให้ได้โครงสร้างที่ต่อเนื่องกันแม้ว่าจะมีปริมาณเฟสของเหลวมาก (กรณี iii) และถ้ามี Dihedral Angle น้อยและปริมาณเฟสของเหลวมาก จะทำให้ได้เฟสของเหลวที่ต่อเนื่องและมีรูปทรงเล็กกว้างตัวอยู่ด้วยกัน (กรณี iv และ v) และถ้ามี Dihedral Angle = 0 องศาจะทำให้ได้เฟสของเหลวที่มีลักษณะชาบไปทั่วผิวน้ำของเกรน



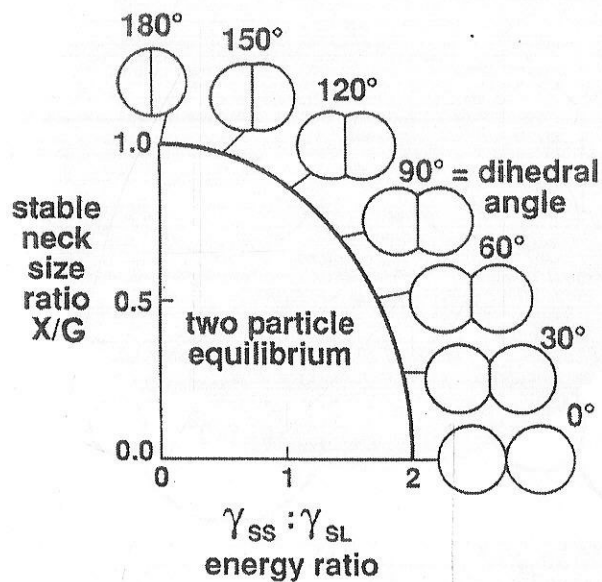
ภาพ 7.119 ลักษณะเฟสของเหลวที่ขึ้นอยู่กับปริมาณเฟสและ Dihedral Angle

นอกจากนี้ Dihedral Angle มีผลต่อลักษณะการเชื่อมของเกรนตัววาย เช่นกัน เนื่องจาก Dihedral Angle เป็นตัวกำหนดคุณภาพที่ใหญ่ที่สุด กล่าวคือเป็นตัวกำหนดคุณภาพของคุณภาพระหว่างเกรนหนึ่ง ถ้ามีอนุภาคสองเม็ดต่อเชื่อมกันในขณะทำ Liquid Phase Sintering ขนาดของคุณภาพที่สัมพัทธ์กับขนาดอนุภาค $\left(\frac{X}{G}\right)$ จะขึ้นอยู่กับ Dihedral Angle ดังภาพ 7.120 ซึ่งอธิบายได้ด้วยสมการ

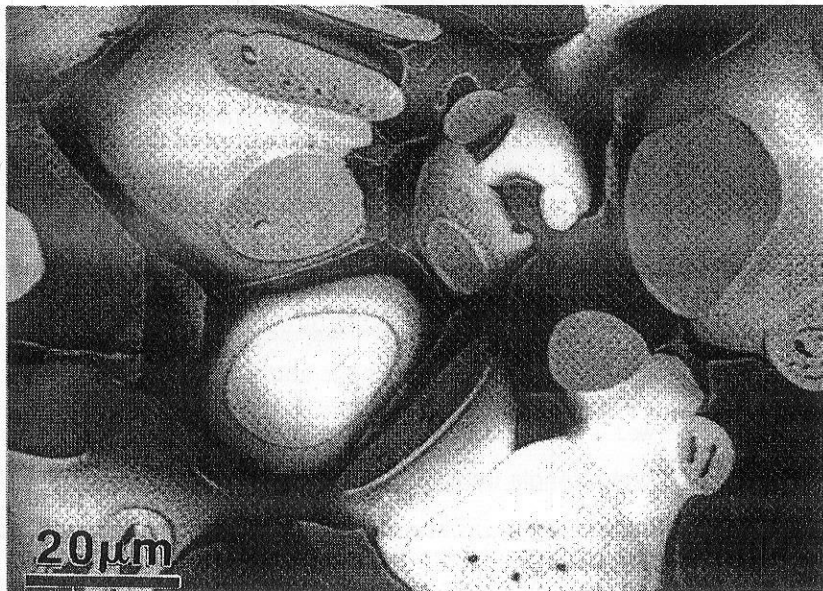
$$\left(\frac{X}{G}\right) = \sin \frac{\phi}{2}$$

ถ้า Dihedral Angle น้อยจะทำให้ได้ขนาดคุณภาพน้อย โดยเฉพาะกรณีที่ Dihedral Angle เท่ากับ 0 องศาจะทำให้ออนุภาคไม่สามารถต่อเชื่อมกันได้เลย ซึ่งแสดงถึงคุณภาพภาพ 7.118 เนื่องจากเฟสของเหลวสามารถชาบไปทั่วผิวน้ำของรอยต่อ ถ้า Dihedral Angle มีค่ามากจะทำให้ได้คุณภาพที่มีขนาดใหญ่ แต่ถ้าไม่มีลักษณะ Dihedral Angle ที่มีค่ามากเกินไปจะมีผลเสียต่อ Densification เนื่องจากการที่ Wetability ต่ำจะทำให้เฟส

ของเหลวออกแรงผลักดันนุภาคออกจากกันและได้ความหนาแน่นต่ำ ภาพ 7.120 แสดง Backscattered Electron Image ของรอยแตก แสดงให้เห็นลักษณะของคอกคอดและเฟสของเหลวที่ต่อเนื่องกัน



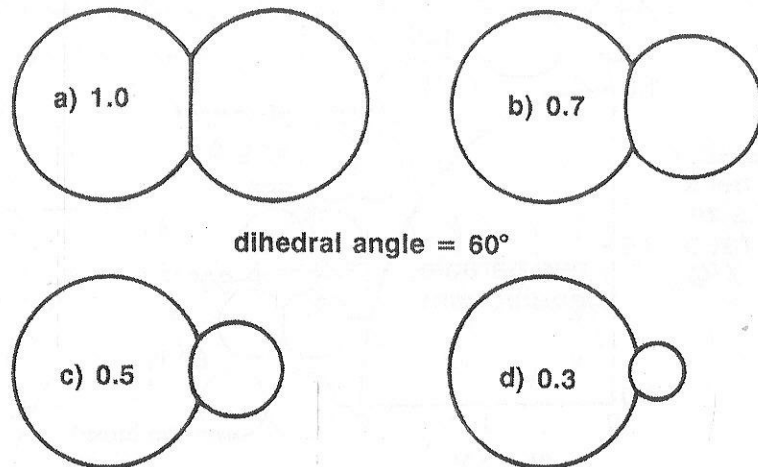
ภาพ 7.120 ขนาดของคอกคอดที่สัมพันธ์กับขนาดอนุภาคที่เข้าอยู่กับ Dihedral Angle



ภาพ 7.121 Backscattered Electron Image ของรอยแตก แสดงให้เห็นลักษณะของคอกคอด และเฟสของเหลวที่ต่อเนื่องกัน

ถ้าหากอนุภาคมีขนาดไม่เท่ากันจะทำให้คอกคอดที่ได้มีขนาดแตกต่างกันไป รวมทั้งทำให้เกิดความโค้งขึ้นที่รอยต่อด้วย โดยยิ่งอนุภาคมีขนาดต่างกันมากเท่าไหร่ขนาดของคอกคอดจะเล็กลงตามอนุภาคขนาดเล็ก และมีความโค้งมากขึ้น รัศมีความโค้งมีผลต่อแรงดันรอบรอยต่อโดยจะทำให้รอยต่อเกิดการขยายตัว ด้านเว้าจะ

ขยายออกและด้านในจะหนาแน่นขึ้น หรือกล่าวคืออนุภาคขนาดเล็กจะเล็กลงเรื่อยๆ และหนาแน่นไปในที่สุด ภาพ 7.122 แสดงขนาดของคอกอุดที่ขึ้นอยู่กับขนาดสัมพัทธ์ระหว่างอนุภาคขนาดใหญ่และขนาดเล็ก ยังเกตว่าไม่ว่าอนุภาคจะมีขนาดแตกต่างกันแค่ไหน แต่ Dihedral Angle จะมีค่าคงที่

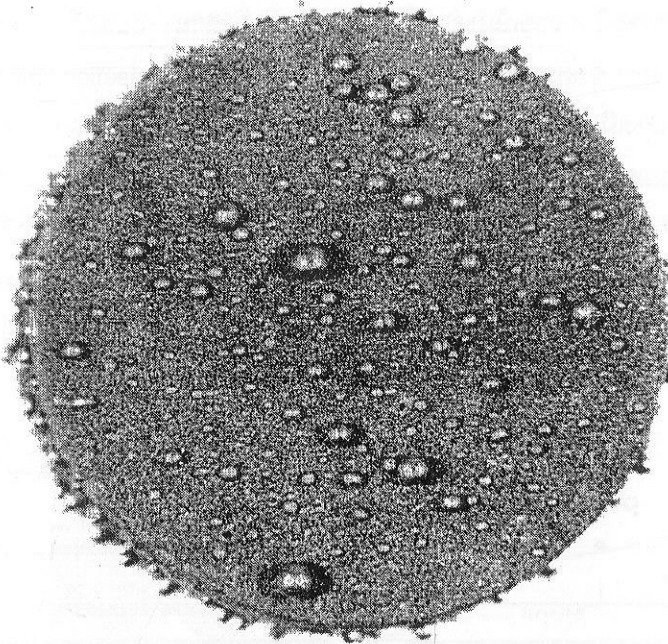


ภาพ 7.122 ขนาดของคอกอุดที่ขึ้นอยู่กับขนาดสัมพัทธ์ระหว่างอนุภาคขนาดใหญ่และขนาดเล็ก

จากการที่มีรักษามาตรฐานต้องที่บริเวณรอยต่อทำให้เกิดการ Coarsening ขึ้น นอกจากนี้ Coarsening ยังเกิดได้จากการความสามารถในการละลายที่ไม่เท่ากันระหว่างอนุภาคขนาดเล็กและขนาดใหญ่ด้วย โดยอนุภาคขนาดเล็กจะสามารถละลายในเฟสของเหลวได้มากกว่าอนุภาคขนาดใหญ่ ทำให้เกิดการถ่ายเทมวลสารจากอนุภาคขนาดเล็กลงสู่เฟสของเหลวและจากเฟสของเหลวที่มีความเข้มข้นมากไปยังบริเวณที่มีความเข้มข้นน้อย (รอบๆ อนุภาคขนาดใหญ่) และต่อตะกอนกลายเป็นของแข็งที่อนุภาคขนาดใหญ่ กระบวนการนี้เรียกว่า "Ostwald Ripening" ซึ่งได้กล่าวไว้ในหัวข้อ 7.22 แล้ว ผลลัพธ์สุดท้ายทำได้โครงสร้างที่หยาบขึ้น ดังนั้นจึงต้องควบคุมเวลาในการ Liquid Phase Sintering เช่นเดียวกับกรณี Solid-state Sintering

การที่เฟสของเหลวมี Wettability ต่ำมากส่งผลเสียในทางปฏิบัติคือทำให้เฟสของเหลวไหลออกมากจากช่องทาง Open pore ได้ หรือเรียกว่า Exuded Liquid ซึ่งเป็นรูปแบบหนึ่งของ Defect ที่เกิดจาก Liquid Phase Sintering โดยอาจเกิดจากการกำจัด Lubricant และ Binder ออกไม่หมดทำให้กลายเป็นไอและดันเฟสของเหลวออกมากที่ผิวชิ้นงาน

จากที่กล่าวมาทั้งหมด ทั้ง Dihedral Angle และปริมาณเฟสของเหลวลักษณะนี้อยู่กับอุณหภูมิเพาประสาณ เนื่องจากปริมาณเฟสของเหลวสามารถหาได้จากแผนภูมิสมดุลซึ่งจะมีปริมาณมากขึ้นเมื่ออุณหภูมิสูงขึ้น และจะเกิด Segregation มากหรือน้อยขึ้นอยู่กับความต่างระหว่าง Solidus และ Liquidus สำหรับ Dihedral Angle นั้นขึ้นอยู่กับค่าพลังงานฟื้นผืนอิสระซึ่งขึ้นอยู่กับอุณหภูมิตัวเรือนกัน ดังนั้นจะเห็นได้ว่าอุณหภูมิเพาประสาณเป็นหัวใจหลักของ Liquid Phase Sintering เนื่องจากส่งผลกับทั้ง Dihedral Angle, ปริมาณเฟสของเหลวและความสามารถในการละลายระหว่างเฟสต่างๆ



ภาพ 7.123 Exude Liquid เกิดจาก Wetability ที่ต่ำมากทำให้เฟสของเหลวไนหลออกมาทาง Open pore ได้ง่าย

จากความรู้ทั้งหมดที่ได้กล่าวมาถ้าต้องการสรุปปัจจัยที่ส่งเสริมให้เกิด Swelling หรือ Shrinkage สามารถสรุปได้ดังตาราง 7.6

ตาราง 7.6 สรุปปัจจัยที่ส่งเสริมให้เกิด Swelling หรือ Shrinkage

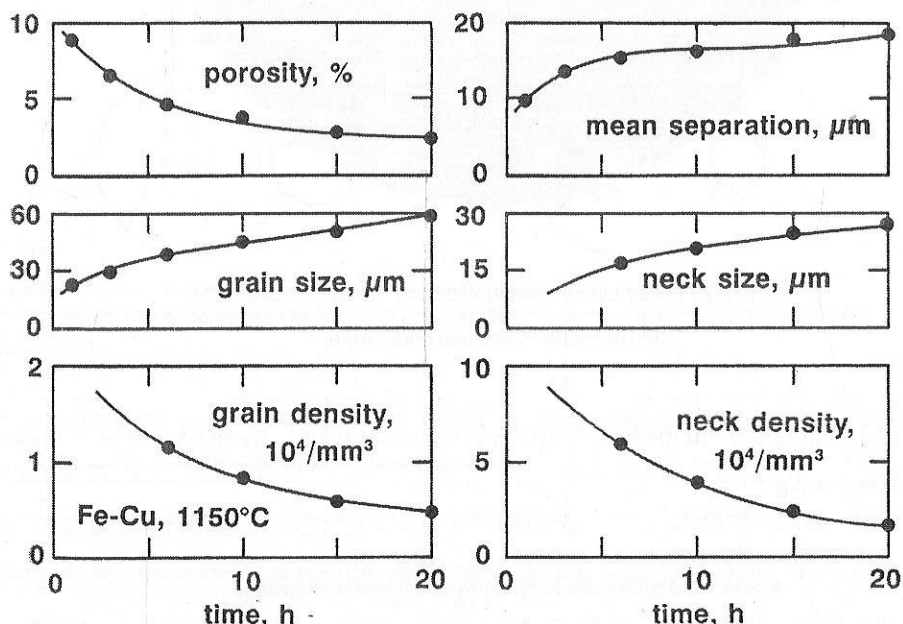
Factor	Swelling	Shrinkage
Solid solubility in liquid	Low	High
Liquid solubility in solid	High	Low
Diffusivity	Unequal	Equal
Additive powder size	Large	Small
Base powder size	Large	Small
Green density	High	Low
Wetability	Low	High
Dihedral Angle	High	Low
Temperature	Low	High
Time	Short	Long

7.8.2 Solution-Reprecipitation

หลังจากที่เกิดเฟสของเหลวขึ้นและเกิดการจัดเรียงตัวใหม่ของอนุภาค หลังจากนั้นเฟสของเหลวและของแข็งซึ่งมีส่วนผสมทางเคมีไม่เท่ากัน (หาได้จากแม่ภูมิสมดุล) จะเกิดการ Homogenization คือเกิดการแพร่เข้าหากันและปรับส่วนผสมทางเคมีเข้าสู่สมดุล โดยพยากรณ์ Compostion Gradient เมื่อส่วนผสมทางเคมี

เริ่มเข้าสู่สมดุล โดยจะมีผลิตภัณฑ์ที่อุดหนูมิเพาประสาร และเกิดการแตกตะกอนจากเฟสของเหลวภายในเป็นของแข็งรอบ ๆ อนุภาคของแข็งแบบ Heterogeneous Nucleation และขั้นตอน Solution-Reprecipitation จะเสร็จสิ้นลงเมื่อเฟสของเหลวภายในเป็นของแข็งทั้งหมด

ในขณะที่เกิดกระบวนการ Solution-Reprecipitation จะทำให้ร่องรอยของ Porosity ลดลง และขนาดของคอกอุดขยายตัวขึ้น กล่าวคือเกิด Densification ในช่วงเวลาเดียวกันมั่นกรนจะมีขนาดใหญ่ขึ้น (Coarsening) โดยจะมีจำนวนเกรนและจำนวนคอกอุดน้อยลง ภาพ 7.124 แสดงตัวแปรต่าง ๆ ที่เปลี่ยนแปลงไปในช่วง Solution-Reprecipitation ในการทำ Liquid Phase Sintering Fe-20Cu ที่ 1150 องศาเซลเซียส



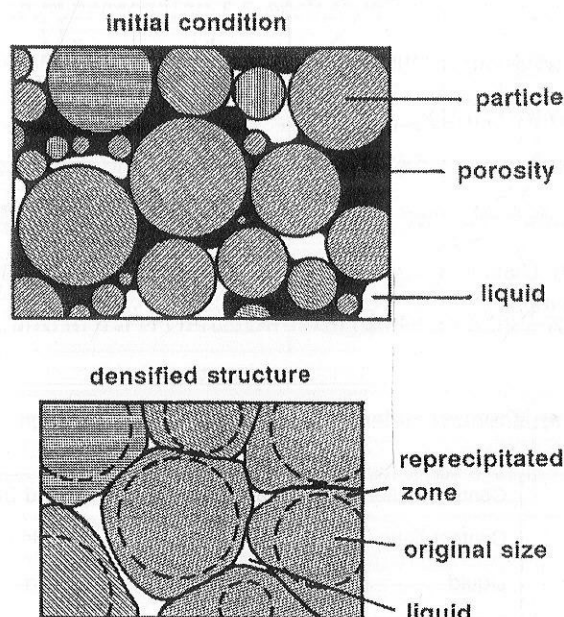
ภาพ 7.124 ตัวแปรต่าง ๆ ที่เปลี่ยนแปลงไปในช่วง Solution-Reprecipitation ในการทำ Liquid Phase Sintering Fe-20Cu ที่ 1150 องศาเซลเซียส

จากภาพ 7.124 จะเห็นได้ว่าในช่วง Solution-Reprecipitation นั้นจะเกิดการเปลี่ยนแปลงโครงสร้าง ๆ ลักษณะ ได้แก่ Grain Shape Accommodation, Coalescence และ Pore filling

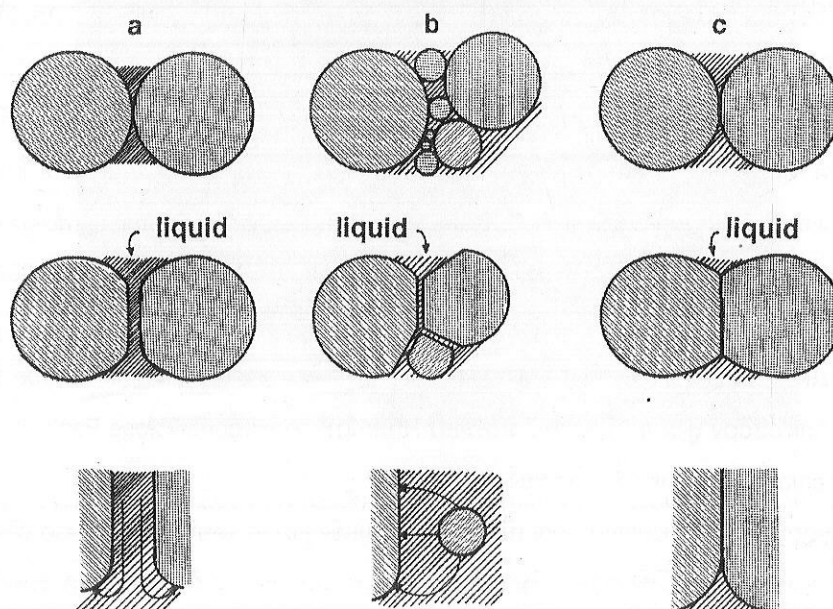
7.8.2.1 Grain Shape Accommodation

ส่วนใหญ่แล้วในกระบวนการ液相烧结，微孔的形状会随着烧结时间的增加而发生变化。在烧结初期，由于颗粒之间的距离较大，孔隙的形状和大小相对较小且分布较为均匀。随着烧结时间的延长，颗粒逐渐向彼此靠拢，孔隙的形状会变得更加复杂且尺寸减小。当颗粒完全接触并开始融合时，孔隙会消失或显著减小。同时，颗粒的形状也会发生改变，以适应新的空间限制，这就是所谓的“Grain Shape Accommodation”。这种变化通常伴随着晶粒尺寸的增加（Coalescence）和孔隙的填充（Pore filling）。

กลไกการเปลี่ยนแปลงของรูปร่างเกرنั้นมีหลายกลไก ได้แก่ Contact Flattening, Grain Dissolution และ Solid State Diffusion ภาพ 7.126 แสดงแบบจำลองอิมباิกลไกการเปลี่ยนแปลงรูปร่างเกrn สำหรับในกรณีของ Contact Flattening นั้น กล่าวว่าที่บริเวณรอยต่อระหว่างเกrn จะได้รับ Capillary force และแพร่ลงสู่ เพศของเหลวและไปตกตะตอนใหม่ที่บริเวณรอยต่อ ทำให้รอยต่อระหว่างเกrn เป็นพื้นผิวราบเรียบและ บริเวณใจกลางของเกrn ใกล้ชิดกันมากขึ้น



ภาพ 7.125 การเปลี่ยนแปลงรูปร่างของอนุภาคในขั้นตอน Solution-Reprecipitation



ภาพ 7.126 แบบจำลองอิมباิกลไกการเปลี่ยนแปลงรูปร่างเกrn ในขั้นตอน Solution-Reprecipitation

สำหรับ Grain Dissolution ผังเกิดจากการความได้ที่ไม่เท่ากันของอนุภาคขนาดใหญ่และเล็ก อนุภาคขนาดเล็กจะถูกทำให้หดหายไปด้วยกลไกของ Ostwald Ripening และบริเวณรอยต่อที่เกิดขึ้นใหม่จะมีลักษณะเป็นพื้นผิวเรียบด้วยกลไกเดียวกันกับ Contact Flattening ด้วยกลไกนี้ทำให้ความหนาแน่นเพิ่มขึ้นด้วยเช่นกัน โดยรูปร่างเกรนจะเปลี่ยนไปทำให้ปั๊ซองกว้างระหว่างเกรนได้สนิทมากขึ้นและใจกลางของแต่ละเกรนเข้าใกล้กันมากขึ้น

สำหรับ Solid State Diffusion มีทฤษฎีเมื่อในกับหัวข้อ 7.3 กลไกการถ่ายเทมวลสารทุกประการ แต่ว่า เพศของเหลวที่ล้อมรอบเกรนมีส่วนช่วยให้การถ่ายเทมวลสารเกิดเร็วขึ้นมาก รวมทั้งขนาดคอกออดที่ใหญ่ที่สุดจะถูกควบคุมด้วย γ_{s-l} และ γ_{s-s} แทนที่จะเป็น γ_{s-v} และ γ_{s-s}

ตาราง 7.7 สรุปลักษณะของกลไกการเกิด Grain Shape Accommodation จะเห็นได้ว่าแต่ละกลไกมี แหล่งที่มาของวัสดุต่างกัน และมีเส้นทางในการถ่ายเทมวลสารต่างกัน ซึ่งกลไกที่เกี่ยวข้องเพศของเหลวได้แก่ Contact Flattening และ Grain Dissolution และทั้งสองกลไกนี้มีจลดาศตร์ที่ค่อนข้างเร็วกว่า Solid State Diffusion แต่ว่าต้องมีความสามารถในระยะทางของอนุภาคในเพศของเหลวจึงสามารถเกิดขึ้นได้

ตาราง 7.7 สรุปลักษณะของกลไกการเกิด Grain Shape Accommodation

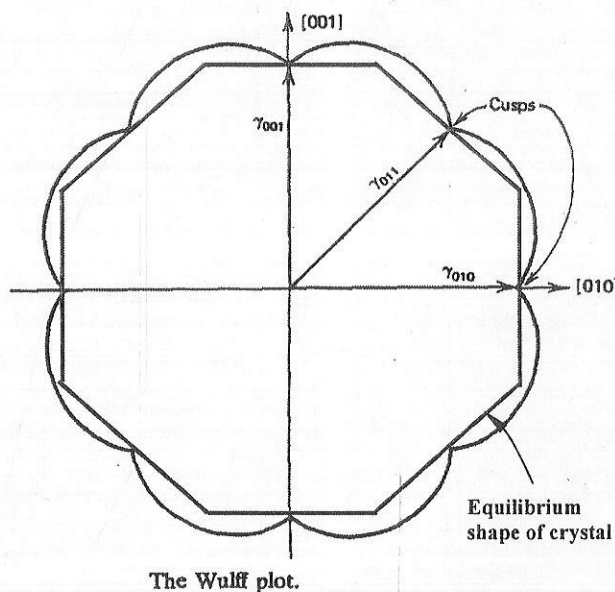
Mechanism	Contact Flattening	Grain Dissolution	Solid State Diffusion
Material Source	Contact Zone	Small Grain	Grain Boundary
Transport path	Liquid	Liquid	Solid
Transport rate	Rapid	Rapid	Slow
Grain Coarsening	No	Yes	No
Solubility in Liquid	Necessary	Necessary	Not Required

ในบางกรณีมีข้อยกเว้น โดยการเปลี่ยนแปลงรูปร่างของอนุภาคไม่ได้ขึ้นอยู่กับ Dihedral Angle เท่านั้น แต่ยังขึ้นอยู่กับค่าพลังงานพื้นผิวในแต่ละระนาบทองโครงสร้างผลึกด้วย เนื่องจากวัสดุที่มีโครงสร้างผลึก (Crystalline Material) นั้น พลังงานพื้นผิวเป็นสมบัติที่ขึ้นอยู่กับพิศทาง (Anisotropy) ดังนั้นเพื่อลดพลังงานในระบบผลึกจึงพยายามจัดเรียงตัวในระนาบที่มีพลังงานพื้นผิวที่ต่ำที่สุด ภาพ 7.127 แสดง Wulff plot ซึ่งแสดงค่าพลังงานพื้นผิวในระนาบต่าง ๆ รูปร่างของผลึกจะสามารถหาได้จากเส้นตั้งฉากกับ Cusps ที่ใกล้ที่สุดดังแสดงในภาพ ภาพ 7.128 แสดงภาพถ่ายกล้องจุลทรรศน์อิเล็กตรอนของหยดน้ำโลหะตะกั่วที่อุณหภูมิ 200 องศาเซลเซียส จะเห็นมีรูปร่างเหมือนกับแบบจำลองในภาพ 7.127

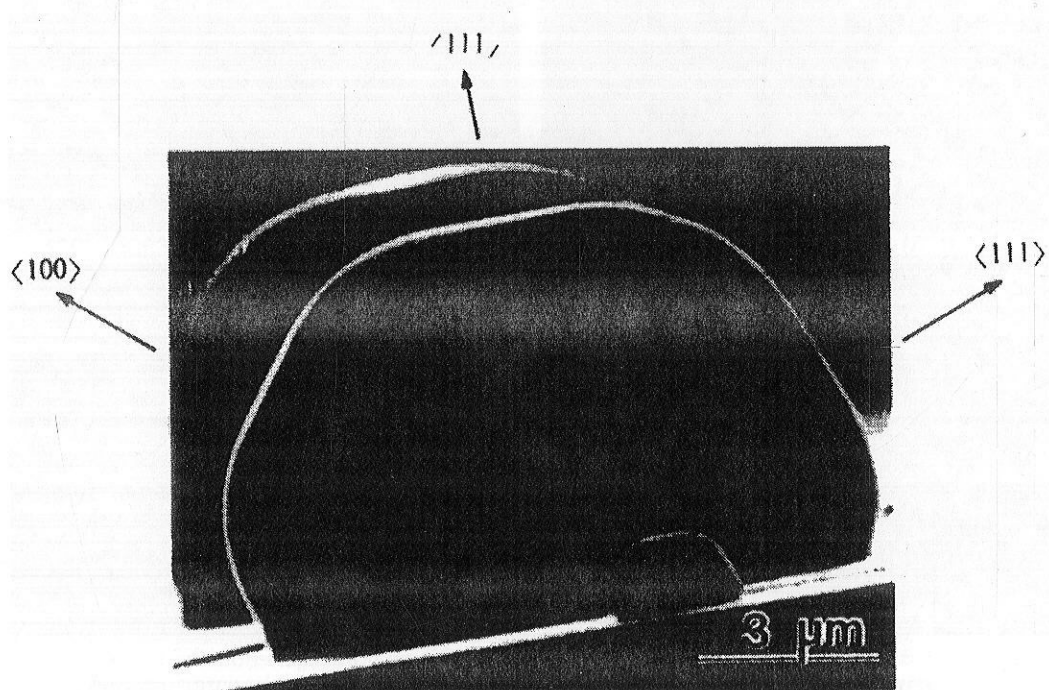
ตัวอย่างที่เห็นได้ชัดเจนที่สุดคือรูปร่างของ WC ซึ่งมีรูปร่างแบบ Prismatic Triangular Shape ซึ่งถือว่า เป็นรูปร่างที่มีความ Anisotropy สูงมาก เมื่อ WC มีโครงสร้างผลึกแบบ Hexagonal Close Pack ภาพ 7.129 แสดงแบบจำลอง Prismatic Triangular Shape ของ WC

WC 适合ในญี่ปุ่นนำไปใช้ทำ Cutting Tool เนื่องจากมีความแข็งสูงมาก โดยทำการผสม Co เป็นเสริมอ่อนตัวเข้มประสาน รูปร่างของ WC ยังขึ้นอยู่กับบริมาณคาร์บอนด้วย โดยจะพบว่าถ้ามีบริมาณคาร์บอนต่ำกว่า 1.0% แล้ว WC จะมีรูปร่างเปลี่ยนไปจาก Triangular แต่เมื่อมีบริมาณคาร์บอนเกินกว่า 1.0% จะถึงจุดอิ่มตัว และมีรูปร่างเป็น Triangular และมักจะมีขนาดเล็กลงเล็กน้อย ภาพ 7.130 และ 7.131 แสดงลักษณะ

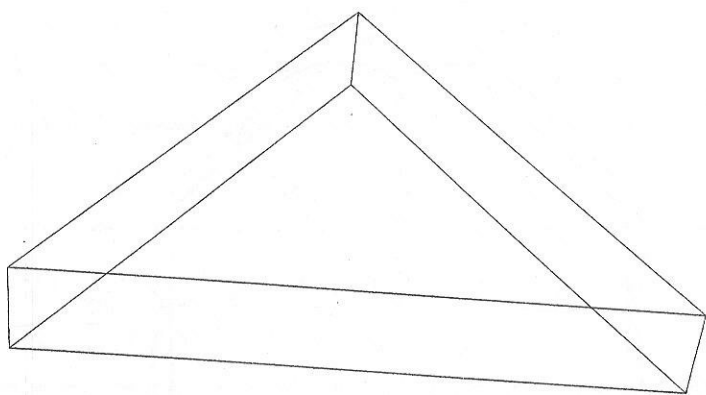
รูปร่างของ WC ที่เปลี่ยนแปลงไปตามปริมาณคาร์บอนถ่ายโดยกล้องจุลทรรศน์แบบใช้แสงและกล้องจุลทรรศน์
อิเล็กตรอนตามลำดับ



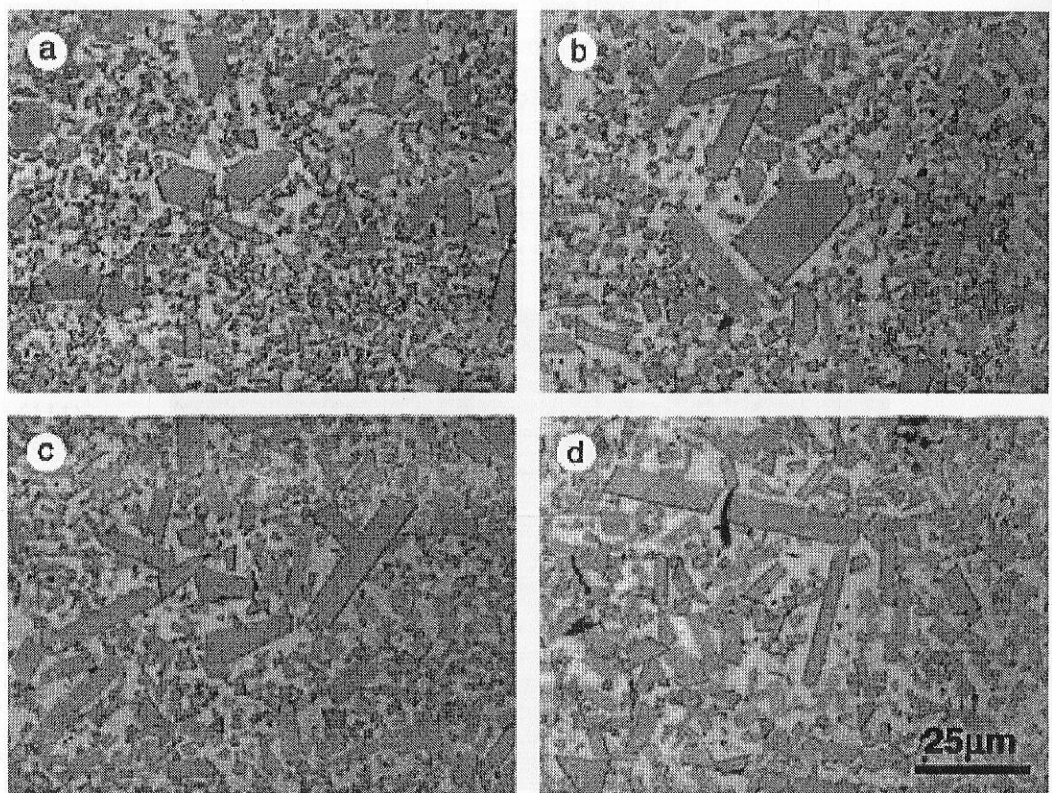
ภาพ 7.127 Wulff plot และ Equilibrium Shape of Crystal



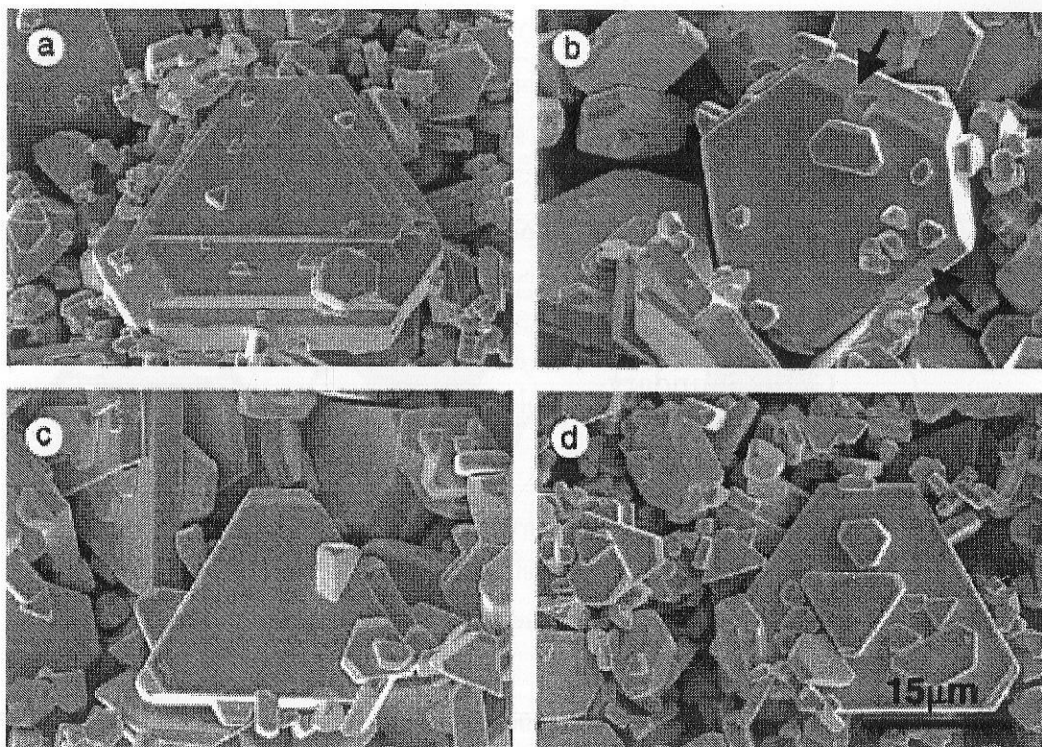
ภาพ 7.128 ภาพถ่ายกล้องจุลทรรศน์อิเล็กตรอนของหยดน้ำโลหะตะกั่วที่อุณหภูมิ 200 องศาเซลเซียส



ภาพ 7.129 แบบจำลอง Prismatic Triangular Shape ของ WC



ภาพ 7.130 โครงสร้างจุลภาคของ WC-30Co ที่มีปริมาณคาร์บอนไม่เท่ากัน ผ่านการเผาประสานที่ 1450 องศาเซลเซียส 2 ชั่วโมง a) 0.1%C b) 0.3%C c) 0.7%C d) 1.0%C

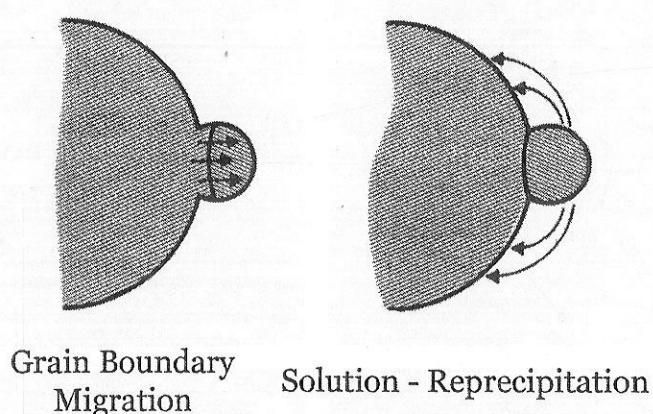


ภาพ 7.131 ภาพถ่ายกล้องจุลทรรศน์อิเล็กตรอนแสดงโครงสร้างจุลภาคของ WC-30Co ที่มีปริมาณ คาร์บอนไม่เท่ากัน ผ่านการเผาประสานที่ 1450 องศาเซลเซียส 8 ชั่วโมง a) 0.1%C b) 0.3%C c) 0.7%C d) 1.0%C

7.8.2.2 Coalescence

Coalescence คือการรวมตัวของเกราะหลายเกราะที่มีขนาดต่างกันกลายเป็นเกราะเดียวกัน ซึ่งทำให้เกิด Microstructural Coarsening ขึ้น

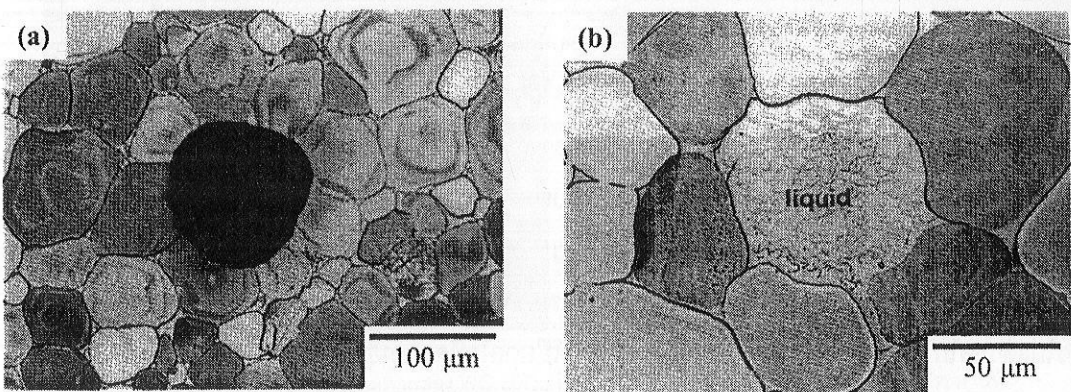
จากที่ได้กล่าวในหัวข้อ Particle Rearrangement ในกรณีที่อนุภาคมีขนาดไม่เท่ากัน (ภาพ 7.122) จะเกิด Coalescence ได้จากการขยายตัวของ Grain Boundary หรือที่เรียกว่า Grain Boundary Migration จนทำให้อนุภาคมีขนาดเล็กหน่ายไปในที่สุด ในขั้นตอน Solution-Reprecipitation ก็เป็นอีกหนึ่งกลไกที่ทำให้เกิด Coalescence ได้ เช่นกัน ภาพ 7.132 เปรียบเทียบกลไกการเกิด Coalescence แบบ Grain Boundary Migration และ Solution-Reprecipitation ซึ่งในกรณีของ Grain Boundary Migration แล้ว Driving Force ได้แก่รัศมีความโถ้งของ Grain Boundary ส่วนกรณี Solution-Reprecipitation ได้แก่การลดลงของพื้นที่ผิวของอนุภาคน โดยทั่วไปแล้วการลดลงของพื้นที่ผิวจะมี Driving Force มากกว่ารัศมีความโถ้ง นอกจากนี้การถ่ายแท้มวลสารผ่านเฟสของเหลวก็น่าจะมีผลศาสตร์ที่เร็วกว่าการเคลื่อนที่ของ Grain Boundary ด้วยเช่นกัน ดังนั้น โดยทั่วไปแล้วกลไก Solution-Reprecipitation จึงเป็นกลไกที่ควบคุมการเกิด Coalescence



ภาพ 7.132 เมริบบที่ยับกอลไกการเกิด Coalescence แบบ Grain Boundary Migration และ Solution-Reprecipitation

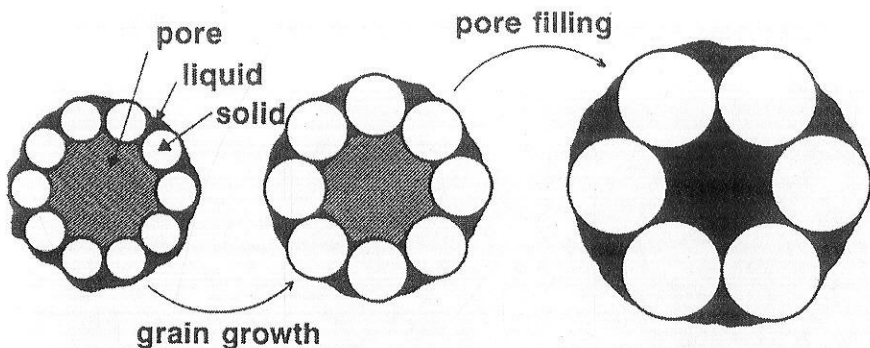
7.8.2.3 Pore Filling

จากที่ได้กล่าวในหัวข้อ 7.8.1 Particle Rearrangement แล้วว่าเพื่อของเหลวจะพยายามไปแทรกตัวอยู่ในโพงที่มีขนาดเล็กถ้าหากมี Wetability พอดีเนื่องจากจะสามารถลดพลังงานพื้นผิวระหว่างเพื่อของแข็งและไอเดียมากกว่า ด้วยเหตุนี้จึงทำให้รูพรุนขนาดใหญ่ที่เกิดจาก Bridging มักจะเป็นบริเวณสุดท้ายที่เพื่อของเหลวจะเข้ามาปิดให้ได้โครงสร้างจุลภาคที่มีความหนาแน่นสูงสุด นอกจากนี้แล้วรูพรุนขนาดใหญ่ที่เกิดจาก Bridging ยังไม่สามารถกำจัดได้ในขั้นตอน Final Densification ด้วย เนื่องจากมีพื้นผิวคงไว้ ซึ่งมีแนวโน้มที่จะขยายตัวออกมากกว่าหาดทรายไป ซึ่งในขั้นตอน Solution-Reprecipitation ถ้าเกิด Pore Filling จะทำให้ได้ความหนาแน่นสูงสุดได้ ภาพ 7.133 แสดงภาพถ่ายโครงสร้างจุลภาคบริเวณที่เกิดรูพรุนจาก Bridging และรูพรุนที่เกิด Pore Filling



ภาพ 7.133 ภาพถ่ายโครงสร้างจุลภาคของ 96Mo-4Ni นาประสารที่ 1460 องศาเซลเซียส สามครั้ง ครั้งละ 30 นาที กัดกรดด้วย Murakami solution เป็นเวลา 5 นาที
 a) บริเวณที่เกิดรูพรุนจาก Bridging
 b) รูพรุนที่เกิด Pore Filling

Pore Filling จะเกิดขึ้นเมื่อเกิด Microstructural Coarsening ไประยะหนึ่ง เพศของเหลวจะเข้าไปในบริเวณซ่องว่างได้ก็ต่อเมื่อ โครงระหว่างเกรนมีขนาดใหญ่ขึ้นจนทำให้พลังงานพื้นผิวที่ลดลงได้มีค่าน้อยกว่าแรงดึงของเพศของเหลว ภาพ 7.134 แสดงลักษณะการเกิด Pore Filling

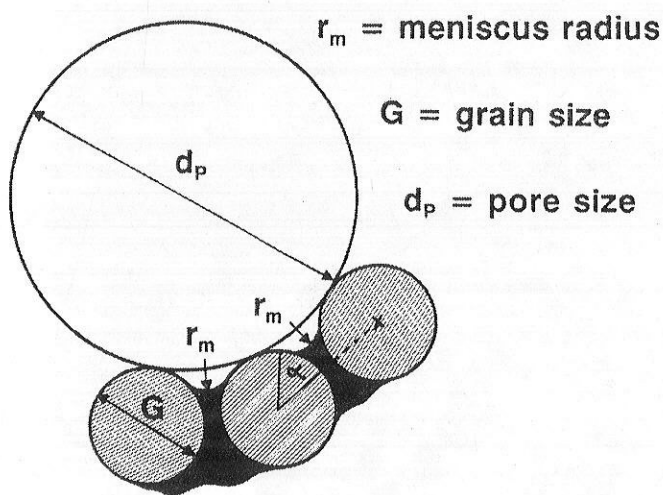


ภาพ 7.134 ลักษณะการเกิด Pore Filling

Meniscus radius หรือรัศมีของเพศของเหลวระหว่างเกรน (ภาพ 7.135) จะมีขนาดใหญ่ขึ้นตามขนาดเกรนที่ใหญ่ขึ้น ดังสมการ

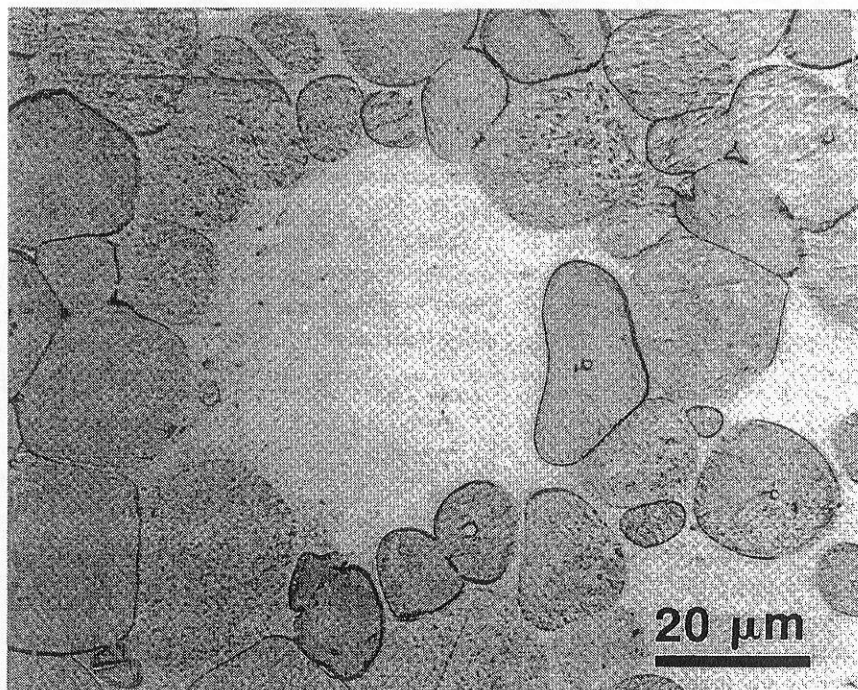
$$r_m = \frac{G}{2} \frac{1 - \cos \alpha}{\cos \alpha}$$

เมื่อ	r_m	คือ Meniscus radius
	G	คือ ขนาดเกรน
	α	คือ Meniscus angle

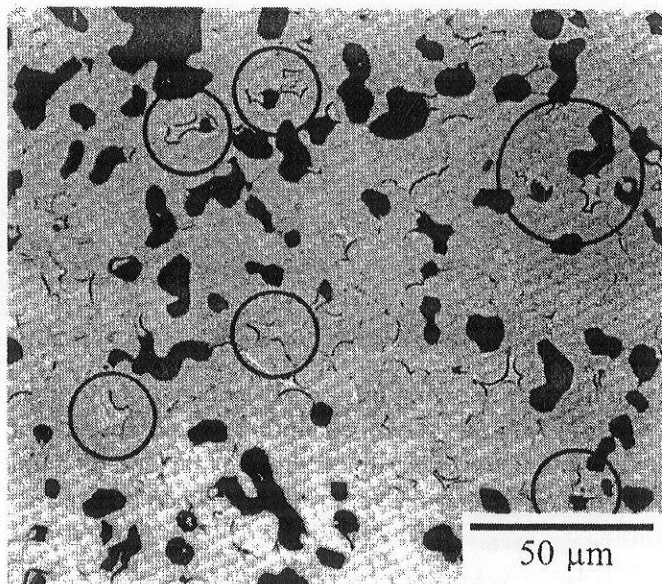


ภาพ 7.135 นิยามตัวแปรสำหรับการหาค่า Meniscus

จะเห็นได้ว่า Meniscus radius แปรผันตรงกับขนาดกราน สำหรับเฟสของเหลวที่มี Wetting Angle เท่ากับ 0 องศา Pore Filling จะเกิดขึ้นเมื่อ Meniscus radius เท่ากับ Pore radius และสำหรับเฟสของเหลวที่มี Wetting Angle สูงกว่านี้จะต้องการ Meniscus radius สูงขึ้นจึงจะเกิด Pore Filling ได้ หรือกล่าวคือเปลี่ยนจากลักษณะผิวได้รีเว้าของรูปกรานเป็นผิวโค้งมนของ Meniscus เมื่อเป็นผิวโค้งมนแล้ว ระบบจะพยายามลดพื้นที่ผิวด้วยการลดขนาดของช่องว่างลง จนรูปกรานปิดไปนั่นเอง ภาพ 7.136 และ 7.137 แสดงตัวอย่างโครงสร้างจุลภาคที่เกิด Pore Filling

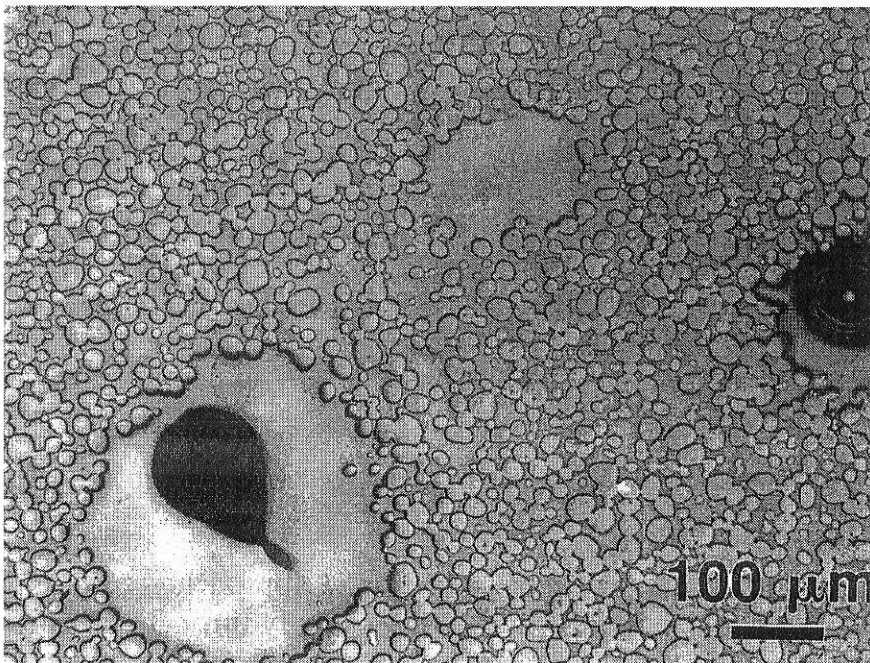


ภาพ 7.136 ตัวอย่างโครงสร้างจุลภาคที่เกิด Pore Filling



ภาพ 7.137 ตัวอย่างโครงสร้างจุลภาคที่เกิด Pore Filling

อย่างไรก็ตี Pore Filling อาจเกิดขึ้นไม่สมบูรณ์เนื่องจากแรงดันของก๊าซภายในรูพุรุน และถ้าแรงดันของก๊าซภายในรูพุรุนมีค่าเกิน $\frac{4\gamma}{d_p}$ จะทำให้ไม่เกิด Pore Filling ได้ ภาพ 7.137 แสดงโครงสร้างจุลภาคของ W-12Ni-5Fe เมาประสาทที่ 1475 องศาเซลเซียส เป็นเวลา 30 นาที จากภาพจะเห็นว่ารูพุรุนปิดไม่สนิทเนื่องจากแรงดันของก๊าซภายในรูพุรุนนั่นเอง



ภาพ 7.136 โครงสร้างจุลภาคของ W-12Ni-5Fe เมาประสาทที่ 1475 องศาเซลเซียส เป็นเวลา 30 นาที

7.8.3 Final Densification

ทฤษฎีที่เกี่ยวข้องในช่วง Final Densification นี้ เหมือนกันกับ Final Stage Sintering ในหัวข้อ 7.4.3 โดยรูพุรุนจะทำให้อัตราการเกิด Grain Growth ต่ำลง และถ้าเกิดเสื่อมไป Break Away จะทำให้ไม่สามารถได้ความหนาแน่นสูงสุด ในกรณี Liquid Phase Sintering นั้น หลังจากที่เฟสของเหลวเกิดการตกลอกกลับไปเป็นของแข็งแล้วจะมีรูปร่างเป็นโครงข่ายไปตามบริเวณสันและขอบของเกรน ขึ้นอยู่กับปริมาณเฟสของเหลวและ Dihedral Angle ดังที่ได้กล่าวมาแล้ว โครงข่ายนี้มีผลทำให้ Densification rate ต่ำลง เนื่องจากทำให้เกิด Shrinkage ได้มากขึ้น แต่ในกรณีที่โครงข่ายมีความสามารถในการละลายในเฟสของแข็งพอสมควรก็สามารถทำให้เกิดการ Densification ได้ แต่หากที่ได้กล่าวไว้แล้วว่าถ้าความสามารถในการละลายของเฟสของเหลวในเฟสของแข็งสูงจะทำให้เกิด Swelling ซึ่งมักจะเป็นเงื่อนไขที่ไม่ต้องการ ดังนั้น Liquid Phase Sintering สำหรับขั้นตอน Final Densification มีความสำคัญค่อนข้างน้อยกว่าสองขั้นตอนแรก

มีรูพุรุนอีกประเภทหนึ่งที่อาจเกิดขึ้นในเชิงงาน Liquid Phase Sintering คือรูพุรุนอันเนื่องมาจากการ Entrapped Gas เนื่องจากขณะที่เป็นของเหลว ก๊าซต่าง ๆ เช่น H₂ มีความสามารถในการละลายในเฟสของเหลวสูง ซึ่งเมื่อเปลี่ยนเป็นของแข็งแล้วความสามารถในการละลายของก๊าซดังกล่าวจะลดลงอย่างมาก ทำให้ก๊าซเหล่านั้นแยกตัวออกมาเป็นฟองก๊าซผึ่งตัวป่วยเป็นรูพุรุนในโครงสร้างจุลภาค รูพุรุนที่เกิดขึ้นมักจะมี

รูปร่างเป็นทรงกลม เนื่องจากมีพื้นที่ผิวน้อยที่สุด รูปrun เป็นรูปแบบนี้แตกต่างจากรูปrun ที่เหลือค้างจาก Pore Filling เนื่องจากมีแหล่งที่มาของก๊าซต่างกัน นอกจากนี้ยังมีลักษณะเฉพาะด้วยที่แตกต่างกันด้วย โดยรูปrun เหลือค้างจาก Pore Filling มักจะมีรูปร่างเบี่ยงเบนไปจากทรงกลม วิธีลดการเกิด Entrapped Gas ได้แก่การเผาประสานในสุญญาการหรือภายในตัวอย่างตัวแปรในกระบวนการ Liquid Phase Sintering และดังตาราง 7.8

ตาราง 7.8 ตัวอย่างตัวแปรในกระบวนการ Liquid Phase Sintering

Materials	$D, \mu\text{m}$	% ρ_G	$\frac{dT}{dt}, ^\circ\text{C}/\text{min}$	$T, ^\circ\text{C}$	t, min	Atmosphere	Support	% ρ_s
Al-4Cu	10	92	-	640	60	Nitrogen	Al_2O_3	97
Al-5Cu-1Si	100	95	20	595	20	Nitrogen	Steel	96
Al-5Sn	100	90	15	600	60	Vacuum	-	85
Al-3Zn	60	90	10	630	30	Nitrogen	Steel	94
AlN-4YF ₃	0.5	56	5	1800	60	Nitrogen	BN	98
Al_2O_3 -26SiO ₂	0.3	60	-	1300	480	Air	Al_2O_3	99
Cu-30Pb	30	68	-	650	160	Hydrogen	Silica	74
Cu-10Sn	75	75	15	820	5	Nitrogen	Graphite	80
Fe-4Al	70	90	18	1250	30	Hydrogen	Stainless	85
Fe-1B	75	85	10	1250	60	Hydrogen	Al_2O_3	95
Fe-2Cu-0.8C	65	91	8	1330	45	$\text{N}_2\text{-H}_2$	Al_2O_3	91
Fe-2Cu-0.8C	120	85	10	1120	10	$\text{N}_2\text{-H}_2$	Al_2O_3	86
Fe-4Cu-3Ti	<45	88	200	1350	60	Argon	Al_2O_3	90
Fe-1Mo-1C	75	90	15	1230	30	$\text{N}_2\text{-H}_2$	Al_2O_3	90
Fe-3Mo-3Ni-0.5P	85	87	10	1250	60	Hydrogen	Al_2O_3	93
Fe-0.8P	66	85	25	1120	25	$\text{N}_2\text{-H}_2$	Stainless	86
Fe-3Si	70	92	10	1250	60	Vacuum	Stainless	98
Fe-6Si	100	83	10	1230	120	Hydrogen	-	93
Fe-5Ti	37	81	200	1200	120	Argon	Al_2O_3	97
Mo-15Cu	9	30	10	1400	60	Hydrogen	Al_2O_3	86
Mo-5Ni-1P	4	68	200	1300	60	Vacuum	Al_2O_3	92
NbC—20Co	7	60	10	1450	120	Vacuum	NbC	100
Si-0.4B	0.2	50	-	1350	60	Argon	Al_2O_3	86
TaC-20Co	2	60	10	1450	120	Vacuum	TaC	100
Ti-4Cu	30	50	10	1300	60	Vacuum	Al_2O_3	96
TiC-5Co	1	62	10	1400	60	Vacuum	Graphite	99
TiC-20Co	2	60	10	1450	120	Vacuum	TiC	100
TiC-10Ni	10	60	8	1350	0	Vacuum	Graphite	78
VC-20Co	5	60	10	1380	120	Vacuum	VC	100
W-35Ag	8	65	10	1050	180	Hydrogen	Al_2O_3	98
W-10Cu	<8	50	10	1350	60	Hydrogen	Al_2O_3	98

Materials	$D, \mu m$	$\% \rho_G$	$\frac{dT}{dt}, ^\circ C/min$	$T, ^\circ C$	t, min	Atmosphere	Support	$\% \rho_S$
W-16Mo-8Ni-2Fe	3	62	10	1500	30	Hydrogen	Al_2O_3	99
W-5Ni-2Cu	4	60	10	1400	60	Hydrogen	Al_2O_3	97
W-5Ni-2Fe	2	55	10	1500	30	H_2-H_2O	Al_2O_3	100
W-6Ni-4Mn	1	68	10	1300	60	Hydrogen	Al_2O_3	98
W-5Ni ₃ Al-2Fe	6	35	5	1500	60	Hydrogen	Al_2O_3	99
WC-10Co	<1	56	10	1400	60	Vacuum	Graphite	99
ZnO-15BaO	<10	60	10	1300	240	Air	Al_2O_3	100

บทที่ 8
การเผาประสาน : ปฏิบัติ
Sintering Practice

8.1 บทนำ

ในบทที่แล้วได้กล่าวถึงทฤษฎีในการเผาประสานซึ่งส่วนใหญ่เกี่ยวข้องกับแบบจำลองทางคณิตศาสตร์, ขั้นตอนและกลไกของการเผาประสาน ในบทนี้จะกล่าวถึงการเผาประสานในอีกแง่มุมซึ่งมีความสำคัญมากต่อ นักศึกษาและวิศวกรที่ปฏิบัติงานในโรงงานอุตสาหกรรม คือ การเผาประสานภาคปฏิบัติ เนื้อหาในบทนี้จะครอบคลุมเกี่ยวกับการควบคุมกระบวนการในด้านต่าง ๆ เช่น มิติของชิ้นงาน, โครงสร้างอุลตรา นอกจากนี้จะได้กล่าวถึงอุปกรณ์ต่าง ๆ ที่เกี่ยวข้องกับการเผาประสาน เช่น ประเภทของเตาเผาประสาน เป็นต้น ลักษณะและค่าทั่วไปของกระบวนการการเผาประสานในอุตสาหกรรมแสดงในตาราง 8.1

ตาราง 8.1 ลักษณะและค่าทั่วไปของกระบวนการการเผาประสานในอุตสาหกรรม

Attribute	Possible Range	Most Common
Materials	All	Steel, Carbide, Nitride, Refractory Metals
Dimension	0.1 mm to 1 m	10 to 100 mm
Mass	0.1 g to 300 kg	100 g
Production Quantities	1 to 10^{11} per year	10^4 to 10^7 per year
Pore size	0.01 μm to 1 mm	1 to 10 μm
Dimensional tolerance	± 0.005 %	± 0.2 %
Density uniformity	± 0.1 to 1 %	± 0.2 %
Weight uniformity	± 0.005 to 1 %	± 0.4
Surface roughness	0.1 to 40 μm	10 μm
Strength variation	0.2 to 100 %	5 %

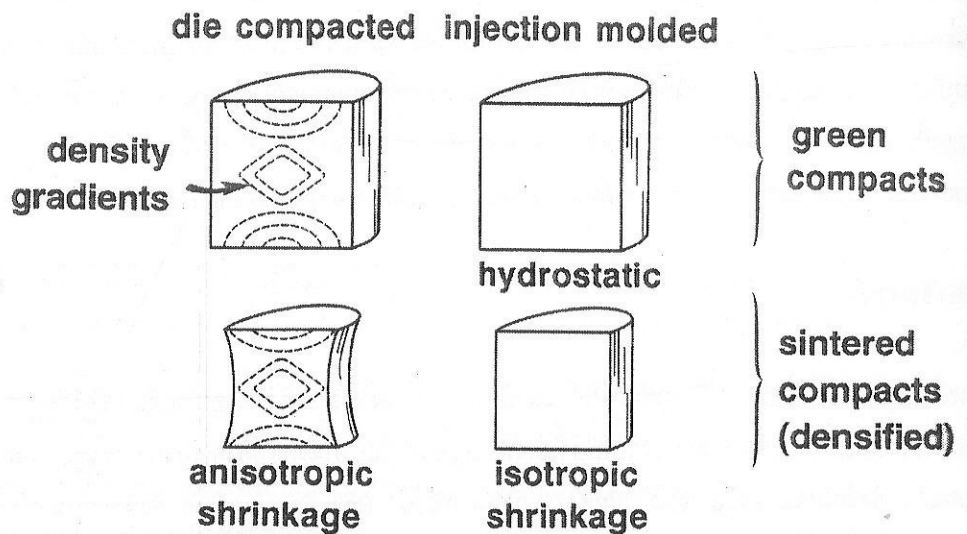
กระบวนการการเผาประสานในภาคอุตสาหกรรมมีความแตกต่างจากการเผาประสานในห้องปฏิบัติการวิจัย โดยสิ้นเชิง การควบคุมตัวแปรต่าง ๆ เช่น อุณหภูมิ, เกลา, บรรยายกาศ ทำได้ยากกว่าในห้องปฏิบัติการวิจัย จึงเป็นที่รู้กันดีว่าแบบจำลองทางคอมพิวเตอร์อาจมีความคลาดเคลื่อนในการคำนวณพุทธิกรรวมการเผาประสานค่อนข้างสูง เนื่องจากแบบจำลองเหล่านี้ตั้งอยู่บนสมมุติฐานหลายอย่าง เช่น สมมุติให้แรงผลักดันเป็นทรงกลมขนาดเท่ากันทั้งหมด, สมมุติให้รูปทรงมีรูปทรงพื้นฐานเพื่อความสะดวกในการคำนวณ, สมมุติให้มีการเสียรูปอย่างถาวรเมื่อแรงผลักดันลดลงเป็นศูนย์, สมมุติให้อุณหภูมิเผาประสานคงที่, ไม่คำนึงถึงอิทธิพลของบรรยายกาศ การเผาประสาน เป็นต้น อย่างไรก็ได้ในอนาคตเมื่อมีการพัฒนาแบบจำลองที่ซับซ้อนมากขึ้น รวมกับการพัฒนาของซอฟต์แวร์และฮาร์ดแวร์คอมพิวเตอร์ ในที่สุดการนำคอมพิวเตอร์มาช่วยในการคำนวณพุทธิกรรวมการเผาประสานจะมีบทบาทสำคัญมากขึ้น ด้วยเหตุผลนี้ในปัจจุบันการทดลองยังคงมีความสำคัญอยู่มาก

ข้อจำกัดของการเผาประสานในทางปฏิบัติส่วนใหญ่เกิดเนื่องมาจากการวัสดุที่นำมาใช้เป็นส่วนประกอบของเตาเผาประสาน, Support ชิ้นงาน, Heating Element เป็นต้น พัฒนาการของ การเผาประสานมีแนวโน้มที่จะเพิ่มอุณหภูมิเผาประสานสูงขึ้น ทำให้วัสดุที่นำมาใช้เป็นส่วนประกอบเตาเผาประสานต้องทนต่อความคืบและความร้อนสูงขึ้นด้วย ซึ่งที่อุณหภูมิสูงนั้นวัสดุมีความไวต่อการเกิดปฏิกิริยามากขึ้นและทำให้ต้องควบคุม bravely กิจกรรมการเผาประสานมากขึ้นด้วย การเพิ่มและลดอุณหภูมิก็มีส่วนทำให้เกิด Thermal Stress ด้วยเช่นกัน

8.2 มิติของชิ้นงาน

การควบคุมมิติของชิ้นงานได้ดีหมายถึงความสามารถในการเผาประสานซ้ำได้เรียบ平整 และมิติของชิ้นงานเหมือนเดิม กระบวนการเผาประสานส่วนใหญ่จะเป็นแบบไม่ต่อเนื่องจากการอัดขึ้นรูป กล่าวคือ อัดขึ้นรูปมาแล้ว จึงนำมาเผาประสานในภายหลัง (ยกเว้นกรณีของ Roll Compaction ซึ่งทำการเผาประสานทันทีภายหลังจากการอัดขึ้นรูปแล้ว) ปัญหาในการควบคุมมิติของชิ้นงานส่วนใหญ่เกิดขึ้นในขั้นตอนการอัดขึ้นรูป มากกว่าในขั้นตอนการเผาประสาน ซึ่งถ้าเกิดขึ้นในขั้นตอนการอัดขึ้นรูปแล้วจะไม่สามารถแก้ไขได้ด้วยการเผาประสาน ปอยครั้งในโรงงานอุตสาหกรรมเมื่อกีดปัญหาในการควบคุมมิติภายหลังเผาประสานแล้ว มักจะเข้าใจผิดและคิดว่าเป็นปัญหาที่เกิดขึ้นในขั้นตอนการเผาประสาน เนื่องจากก่อนการเผาประสานชิ้นงานอัดขึ้นรูปมีรูปร่างและมิติตามข้อกำหนดอยู่แต่มาเดียรูปร่างและมิติภายหลังจากการเผาประสาน ซึ่งอันที่จริงแล้วเมื่อกีดปัญหาในการควบคุมมิติของชิ้นงานแนะนำให้ย้อนกลับไปตรวจสอบขั้นตอนการอัดขึ้นรูปซึ่งมักจะเป็นที่มาของปัญหานี้

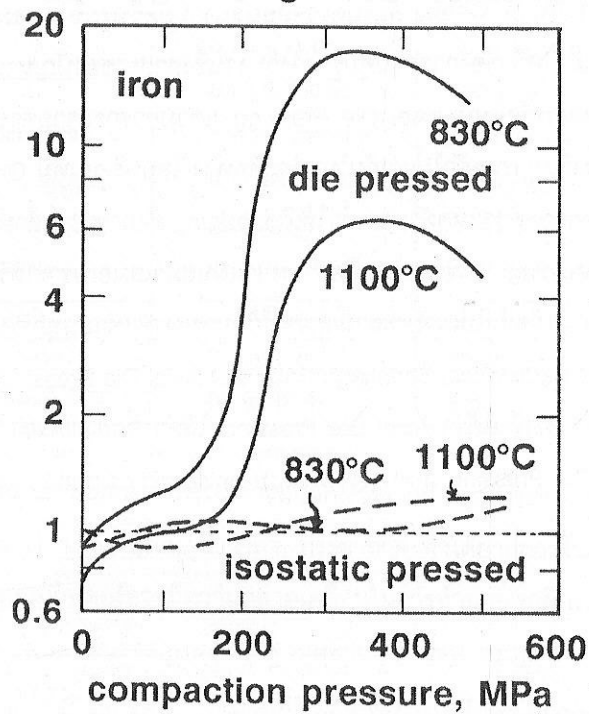
ภาพ 8.1 แสดงรูปแบบหนึ่งของการควบคุมรูปร่างชิ้นงานซึ่งสามารถดูเหตุของปัญหาเกิดจาก การขันรูป สำหรับชิ้นงานที่ผ่านการอัดแบบ Axial Die Pressing และมีการกระจายตัวของความหนาแน่นไม่ต่ำ (มี Density Gradient สูง) จะเกิดการหดตัวไม่เท่ากันในแต่ละทิศทาง โดยบริเวณที่มี Green Density สูงจะหดตัวน้อย บริเวณที่มี Green Density ต่ำจะหดตัวมาก ทำให้เกิด Bulging ดังภาพ 8.1 สำหรับชิ้นงานที่ผ่านการขันรูปด้วยวิธี Injection Molding ชิ้นงานจะมีความหนาแน่นสม่ำเสมอ เพราะได้รับแรงดันเท่ากันทุกทิศทาง (Hydrostatic Pressure) เมื่อนำไปเผาประสานแล้วจะเกิดการหดตัวเท่ากันทุกทิศทางทำให้รักษารูปร่างของชิ้นงานได้ดี ภาพ 8.2 แสดง Radial/Axial Shrinkage Ratio ของ Axial Die Pressing และ Isostatic Pressing ของการเผาประสานพองเหล็ก จะเห็นได้ว่า Axial Die Pressing ให้ค่า Radial/Axial Ratio มากกว่า Isostatic Pressing และแสดงว่า Axial Die Pressing เกิดการหดตัวแบบ anisotropy มากกว่า และมากขึ้นเมื่อใช้แรงดันในการอัดขึ้นรูปมากขึ้น



ภาพ 8.1 Green Density Gradient เมื่อสัมผัสร่องรอยของการเสียบูรุ่งของชิ้นงาน

(ซ้าย) Axial Die Pressing (ขวา) Injection Molding

radial/axial shrinkage ratio



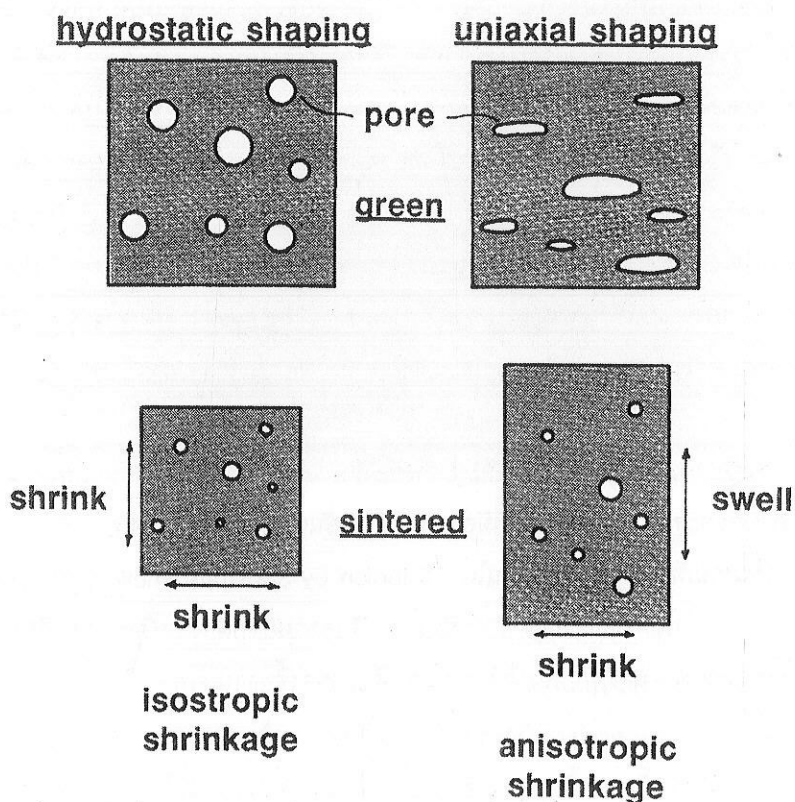
ภาพ 8.2 Radial/Axial Shrinkage Ratio ของ Axial Die Pressing

และ Isostatic Pressing ของการเผาประสานผงเหล็ก

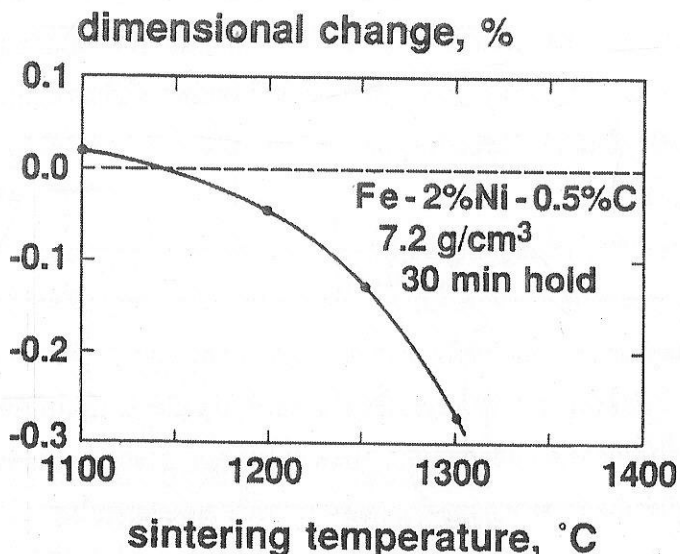
ในบางกรณีชิ้นงานที่ผ่านการอัดขึ้นรูปแบบ Axial Die Pressing จะเกิดการพองตัว (Swelling) แทนการหดตัวได้เช่นกัน ภาพ 8.3 แสดงกลไกการพองตัวของชิ้นงาน สำหรับชิ้นงานที่ผ่านการอัดขึ้นรูปและได้รับแรงดัน

แบบ Hydrostatic จะให้การหดตัวที่สม่ำเสมอ แต่สำหรับชิ้นงานที่ผ่านการอัดขึ้นรูปแบบ Axial Die Pressing จะทำให้รูปฐานมีลูปว่างแบบ เมื่อนำไปเผาประสาน รูปฐานจะพวยยามเปลี่ยนเป็นทรงกลมเพื่อลดพลังงานพื้นผิวในระบบ รวมกับแรงดันของก๊าซภายใน Closed pore ที่เพิ่มขึ้น ทำให้ชิ้นงานพองตัวขึ้น กรณีนี้มักเกิดขึ้นกับการเผาประสานโลหะที่มี Ductility สูงเช่นเมืออัดขึ้นรูปแล้วจะเกิดการเสียรูปอย่างถาวรมากทำให้ได้ Closed pore แทนที่จะเป็น Open pore แบบทั่วไป

บริษัทการหดตัวของชิ้นงานขึ้นอยู่กับอุณหภูมิการเผาประสานและ Green Density สำหรับอุณหภูมิเผาประสาน ยิ่งอุณหภูมิเผาประสานสูงการหดตัวยิ่งมาก ดังนั้นอุณหภูมิเผาประสานที่ต่ำกว่าจะทำให้การหดตัวน้อยกว่า อย่างไรก็ดีอุณหภูมิเผาประสานทำให้ใช้เวลาในการเผาประสานนานกว่าด้วย เช่น กัน ภาพ 8.4 แสดงตัวอย่างอิทธิพลของอุณหภูมิต่อปริมาณการหดตัวของชิ้นงาน จะเห็นได้ว่ามีความเป็นไปได้ที่จะไม่ทำให้เกิดการเปลี่ยนแปลงมิติของชิ้นงานด้วยการเลือกใช้อุณหภูมิเผาประสานประมาณ 1140 องศาเซลเซียส ทั้งนี้เกิดจาก การเผาประสานที่อุณหภูมิต่ำเกิดการขยายตัวของชิ้นงานเพราการเกิดสารประกอบในภายโครงสร้างธาลิกาซึ่งสารประกอบที่เกิดขึ้นมีความหนาแน่นต่ำกว่าความหนาแน่นของวัสดุดิน อย่างไรก็ดีสำหรับการเผาประสาน Prealloyed powder กรณีนี้เกิดขึ้นได้ยากและเกิดขึ้นได้ยากกว่าสำหรับการเผาประสาน Elemental powder ดังนั้นการเผาประสานโดยไม่ทำให้เกิดการเปลี่ยนแปลงมิติของชิ้นงานจึงทำได้บางกรณีเท่านั้น ส่วนใหญ่แล้ว การเผาประสานทำให้เกิดการหดตัว



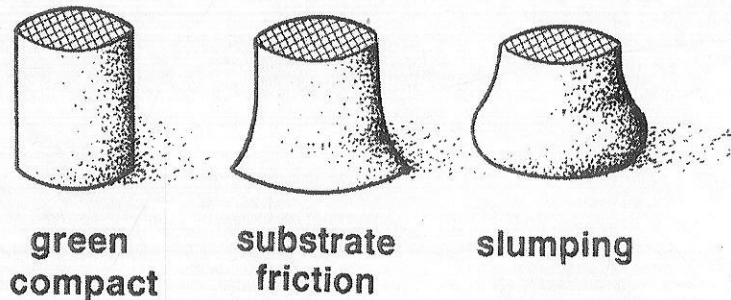
ภาพ 8.3 กลไกการพองตัวของชิ้นงาน



ภาพ 8.4 ตัวอย่างอิทธิพลของอุณหภูมิต่อปริมาณการหดตัวของชิ้นงาน

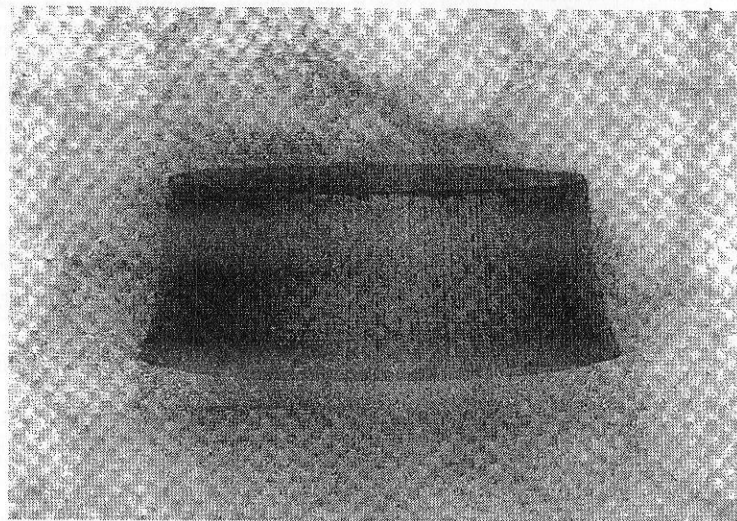
สำหรับ Green Density ยิ่ง Green Density มากก็จะยิ่งทำให้มีการหดตัวของชิ้นงานหลังเผาประสานน้ำอย่างด้วย ข้อเสียเปรียบของการเพิ่ม Green Density คือทำให้อาจการใช้งานของแม่พิมพ์สั้นลงเนื่องจากแรงที่ใช้ในการอัดมากขึ้นทำให้แรงเสียดทานระหว่างชิ้นงานกับแม่พิมพ์มากขึ้นด้วย นอกจากนี้การใช้แรงดันมากก็ตามด้วยการออกแบบเครื่องจักรขนาดใหญ่ขึ้นด้วยเช่นกัน (สามารถทบทวนได้จากเนื้อหาในบทที่ 5 การอัดขึ้นรูปงโดยละเอียด) และในบางกรณี Green Density ที่สูงเกินไปอาจทำให้เกิดการพองตัวของชิ้นงานได้เช่นกัน จากที่กล่าวมาจะเห็นได้ว่า Green Density สูงทำให้การหดตัวน้อย ดังนั้นการหดตัวจึงขึ้นอยู่กับวิธีการอัดขึ้นรูปด้วยสำหรับวิธีการอัดขึ้นรูปที่ให้ Green Density สูง เช่น Axial Die Pressing จะมีปริมาณการหดตัวประมาณ 0.1 – 2.5% และอาจสูงถึง 8 – 16% สำหรับการเผาประสานแบบ Liquid Phase Sintering สำหรับวิธีการขึ้นรูปงโดยที่ให้ Green Density ต่ำเช่น Metal Injection Molding และ Slip Casting อาจมีปริมาณการหดตัวสูงถึง 14 – 25%

ทั้งหมดที่กล่าวมาเป็นการเปลี่ยนแปลงมิติและรูปร่างของชิ้นงานที่มีสาเหตุมาจากขั้นตอนการอัดขึ้นรูป สำหรับการเปลี่ยนแปลงมิติและรูปร่างของชิ้นงานที่มีสาเหตุมาจากขั้นตอนการเผาประสาน ได้แก่ (1) เกิดจากความเสียดทานระหว่างชิ้นงานกับ Support สูงเกินไป (Distortion by Substrate Friction) (2) ชิ้นงานมีความแข็งแรงต่ำเกินไป (Distortion by Slumping) (3) ชิ้นงานได้รับความแตกต่างของอุณหภูมิ (Distortion by Temperature Gradient) ภาพ 8.5 แสดงภาพว่าดัดลองการเสียรูปของชิ้นงาน



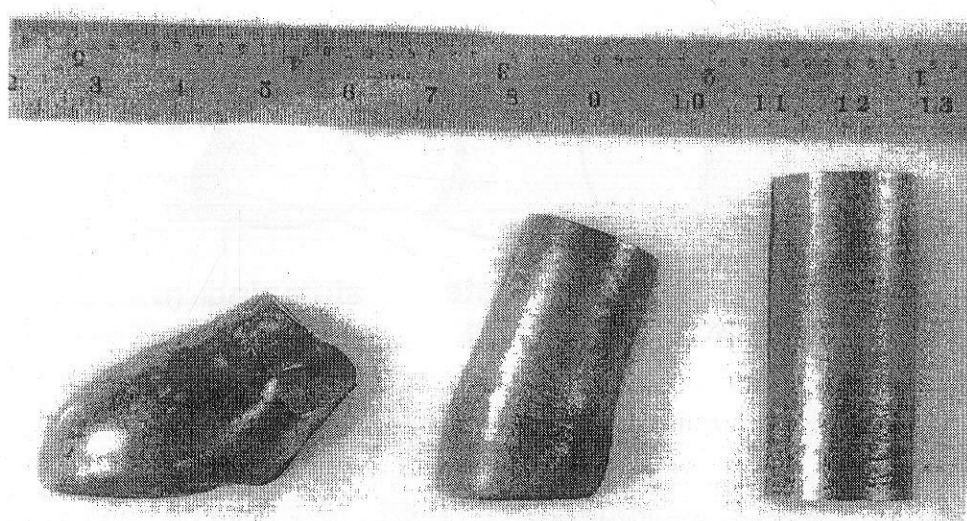
ภาพ 8.5 ภาพพาดจำลองการเสียบูร่าของชิ้นงาน

การเสียบูร่าของชิ้นงานทั้งสองกรณี บริมานการหดตัวด้านบนและด้านล่างของชิ้นงานไม่เท่ากัน ในกรณีของการเสียบูร่าเนื่องจาก Substrate Friction ในขณะเผาประสานด้านบนของชิ้นงานเกิดการหดตัวได้อย่างอิสระ แต่ด้านล่างของชิ้นงานการหดตัวถูกความเดียดทานระหว่างชิ้นงานและ Support รักษาทำให้ไม่สามารถเกิดการหดตัวได้อย่างอิสระ (Constrained Shrinkage) ทำให้เกิดการบิดเบี้ยวขึ้น ภาพ 8.6 แสดงภาพถ่ายด้วยตัวอย่างชิ้นงานที่เกิดการเสียบูร่าเนื่องจาก Substrate Friction



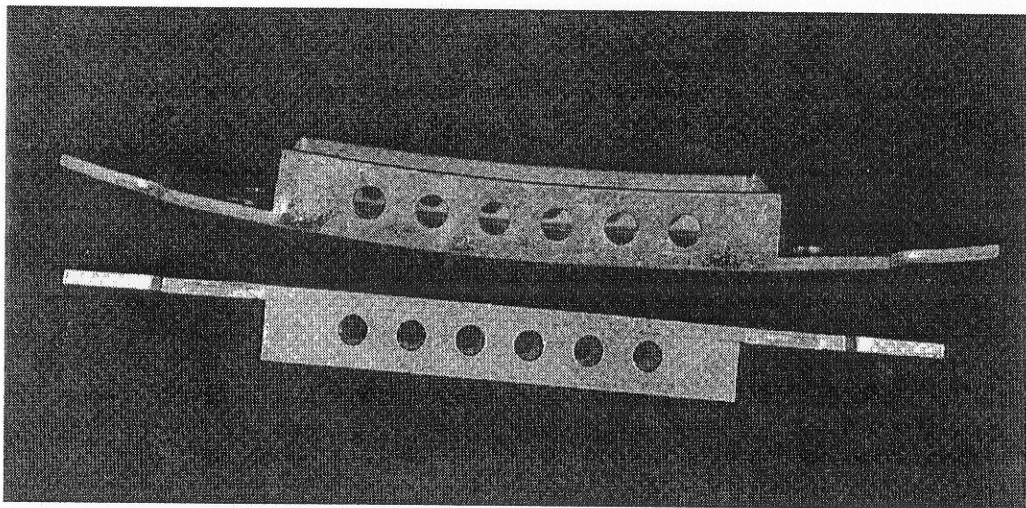
ภาพ 8.6 ภาพถ่ายด้วยตัวอย่างชิ้นงานที่เกิดการเสียบูร่าเนื่องจาก Substrate Friction

สำหรับการเสียบูร่าเนื่องจาก Slumping เกิดจากเมื่อแรงโน้มถ่วงกระทำต่อชิ้นงาน แรงกดเนื่องจากแรงโน้มถ่วงบริเวณด้านล่างของชิ้นงานจะมากกว่าบริเวณด้านล่างของชิ้นงานเนื่องจาก ที่ด้านล่างต้องรับน้ำหนักของชิ้นงานด้านบนด้วย และหากความแข็งแรงของชิ้นงานที่อุณหภูมิเผาประสานต่ำเกินไปก็จะทำให้เกิดการบิดเบี้ยวได้บูร่าชิ้นงานคล้ายกับเท้าซ้าง (ภาพ 8.7) ความแข็งแรงของชิ้นงานขึ้นอยู่กับปริมาณเฟสของเหลวที่เกิดขึ้นขณะเผาประสานแบบ Liquid Phase Sintering ซึ่งในภาพ 8.7 จะเห็นได้ว่าปริมาณหั้งสเตนที่น้อยลงจะทำให้เกิดการบิดเบี้ยวมากขึ้น เมื่อหั้งสเตนทำหน้าที่เป็นโครงสร้างให้กับชิ้นงาน ในขณะที่นิกเกิลและเหล็กจะกล้ายเป็นของเหลวแทรกซึ่งกันระหว่างห้องเผา



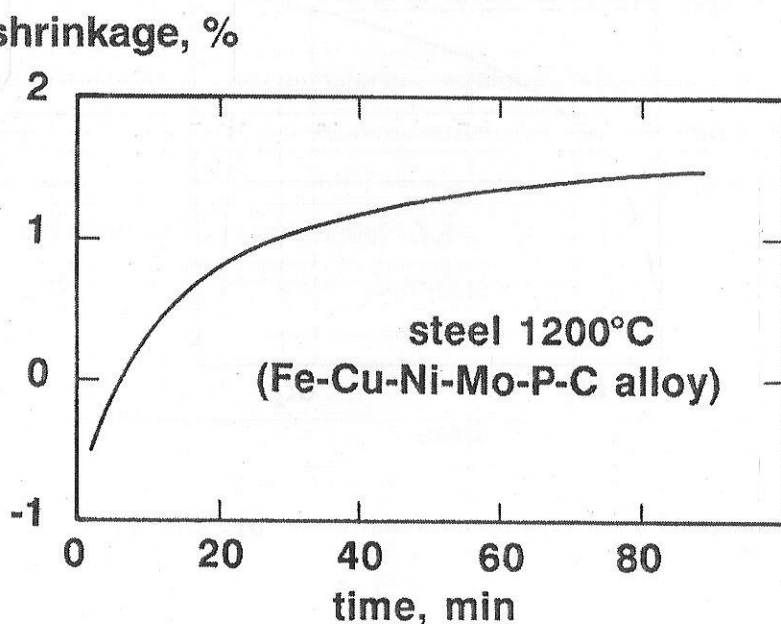
ภาพ 8.7 ภาพถ่ายตัวอย่างชิ้นงานที่เกิดการเสียรูปร่างเนื่องจาก Slumping ในการเผาประสาน W-Ni-Fe ที่มีปริมาณ W ต่างกัน

ความแตกต่างของอุณหภูมิภายในเดา (Temperature Gradient) ก็มีผลต่อการเสียรูปร่างของชิ้นงาน เช่นกัน ภาพ 8.8 แสดงภาพถ่ายชิ้นงานที่เกิดการเสียรูปร่างเนื่องจาก Temperature Gradient จะเห็นได้ว่า ชิ้นงานเกิดการโค้งงอ ซึ่งรูปร่างของชิ้นงานที่ต้องการคือเป็นระนาบตรง ในขณะที่เริ่มเพิ่มอุณหภูมิไปทางอุณหภูมิเผาประสานเมื่อชิ้นงานหันด้านหนึ่งเข้าหาบริเวณที่ร้อนกว่าจะทำให้เกิดการหดตัวก่อนอีกบริเวณที่หันเข้าหาด้านที่เย็นกว่า เมื่อชิ้นงานด้านที่ร้อนกว่าเกิดการหดตัวจะดึงอีกด้านหนึ่งซึ่งมีความแข็งแรงต่ำกว่า (ยังไม่เกิดการประสาน) ให้โค้งตาม จึงเป็นสาเหตุของการบิดเบี้ยวของชิ้นงาน ในทางปฏิบัติในภายใต้เผาประสานจะมีบริเวณที่มีอุณหภูมิต่างกัน คือไกลส์ ๆ Heating Element จะร้อนกว่า และจะพบว่าชิ้นงานที่มีลักษณะเป็นแผ่น เมื่อเกิดการบิดเบี้ยวจาก Temperature Gradient จะเกิดการโค้งงอหันด้านเวลาเข้าหา Heating Element ดังนั้น การออกแบบเดาเผาประสานจึงควรให้มีการกระจายตัวของอุณหภูมิที่สม่ำเสมอที่สุดเท่าที่จะเป็นไปได้ Heating rate มีผลต่อการเสียรูปร่างชิ้นงานแบบนี้มาก เนื่องจากถ้า Heating rate สูงจะทำให้มีเวลาในการถ่ายเทความร้อนให้เทากันน้อยและ Temperature Gradient มากจะเกิดการเสียรูปร่างชิ้นงานได้ง่าย ในกรณีเผาประสานโดยจะการคำนึงถึง Heating rate ด้วย

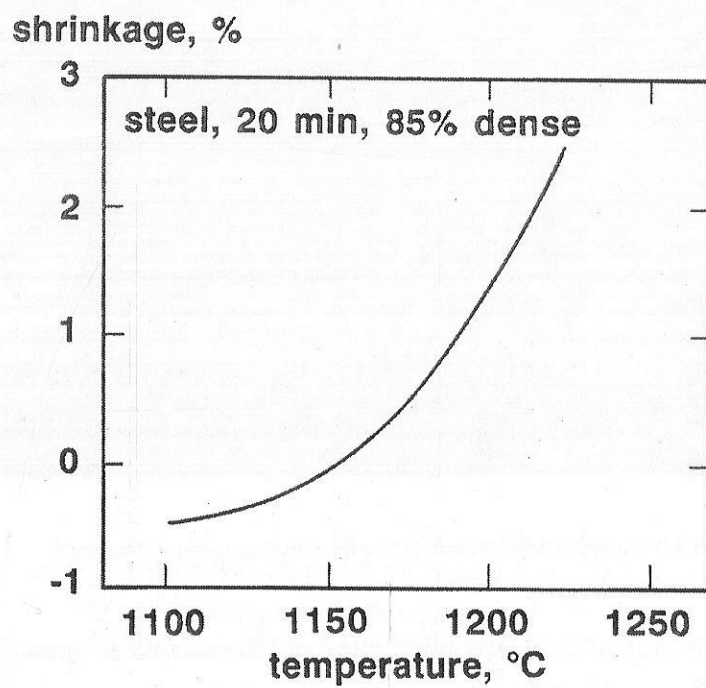


ภาพ 8.8 ภาพถ่ายชิ้นงานที่เกิดการเสียบูร่างเนื่องจาก Temperature Gradient

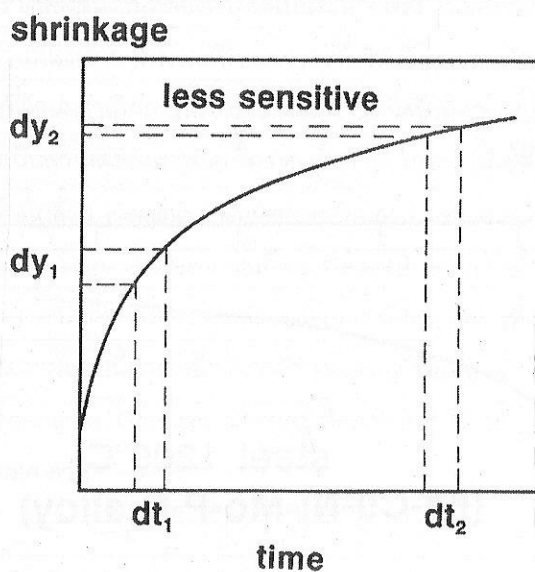
โดยสรุปอิทธิพลของตัวแปรในการเผาประสานต่อการหดตัวของชิ้นงานมีดังนี้คือ อุณหภูมิเผาประสานมีอิทธิพลค่อนข้างมากและเปรียบเทียบกับอุณหภูมิเผาประสานอย่าง Exponential ในขณะที่เวลาในการเผาประสานจะมีอิทธิพลต่อปริมาณการหดตัวน้อยกว่าและน้อยลงเรื่อย ๆ เมื่อเวลาเผาประสานผ่านไปดังนั้นตัวแปรที่ต้องควบคุมอย่างใกล้ชิดเพื่อให้ได้รูปร่างชิ้นงานเท่ากันทุกครั้งคือ อุณหภูมิ ในขณะที่เวลาการเผาประสานควบคุมได้ง่ายกว่า ภาพ 8.9 และ 8.10 แสดงอิทธิพลของอุณหภูมิและเวลาในการเผาประสานต่อการหดตัวของชิ้นงานเหล็กกล้า



ภาพ 8.9 อิทธิพลของเวลาในการเผาประสานต่อการหดตัวของชิ้นงานเหล็กกล้า

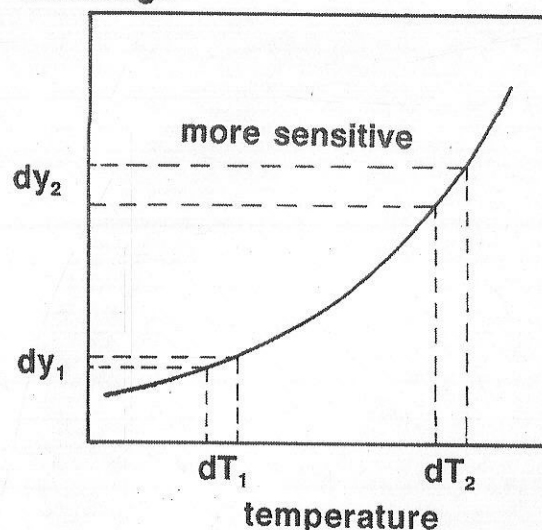


ภาพ 8.10 อิทธิพลของอุณหภูมิในการเผาประสานต่อการหดตัวของชั้นงานเหล็กก่อร้า



ภาพ 8.11 อิทธิพลของเวลาในการเผาประสานต่อการหดตัว ($dy_2 < dy_1$)

shrinkage

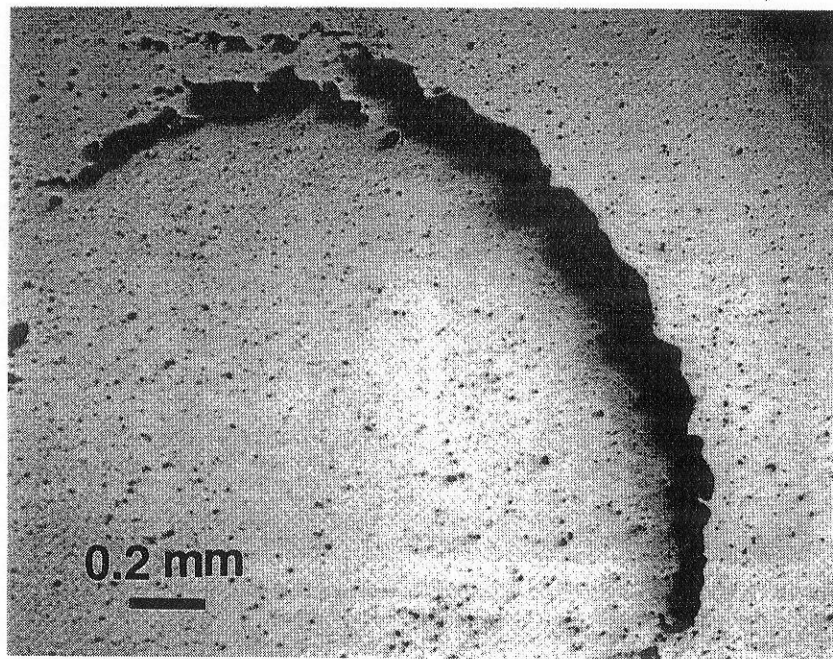


ภาพ 8.12 อิทธิพลของอุณหภูมิในการเผาประสานต่อการหดตัว ($dy_2 > dy_1$)

8.3 รอยแตกในชิ้นงาน

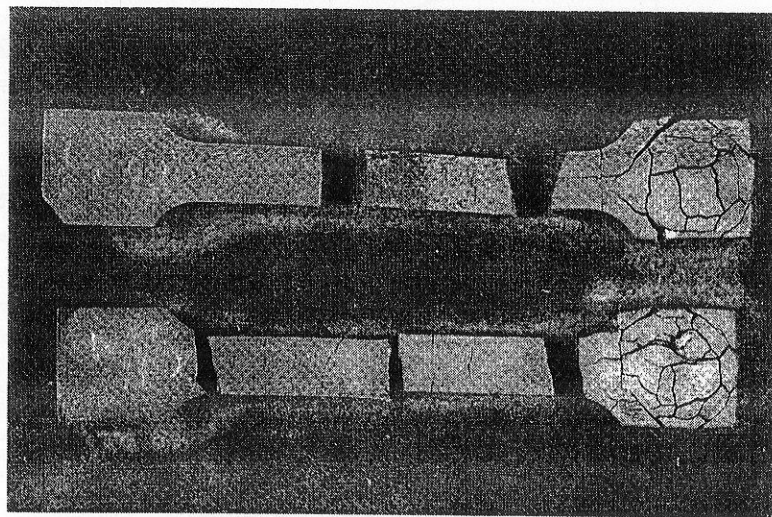
ที่อุณหภูมิต่ำกว่าก่อนเริ่มเผาประสาน ผงโลหะยึดติดกันด้วยแรงทางกลเท่านั้น ทำให้ชิ้นงานมีความแข็งแรงค่อนข้างน้อย โดยเฉพาะสำหรับชิ้นงานที่ขึ้นรูปด้วยวิธี Slip Casting อาจมี Fracture Toughness เพียง $0.02 \text{ MPa}^{\sqrt{m}}$ เท่านั้น ที่ Fracture Toughness ขนาดนี้แรงดันขนาด 10 MPa ก็สามารถทำให้เกิดรอยแตกในชิ้นงานได้

ขณะที่ทำการเผาประสานจะมีความเดินเกิดขึ้น ความเดินที่เกิดขึ้นอาจเกิดเนื่องมาจากการหดตัวในแต่ละบริเวณที่ไม่เท่ากัน ความแตกต่างระหว่างอุณหภูมิภายในชิ้นงาน (Thermal Gradient) และการหดตัวที่ไม่เท่ากันของชิ้นงานและ Support ความเดินที่เกิดขึ้นอาจมีขนาดไม่มาก แต่เนื่องจากชิ้นงานมี Fracture Toughness ต่ำจึงอาจทำให้เกิดรอยแตกหรือรอยร้าวในชิ้นงานได้ ภาพ 8.13 แสดงภายถ่ายรอยแตกในโครงสร้างจุลภาคของเหล็กกล้าที่เกิดจากการหดตัวไม่เท่ากันระหว่างสองบริเวณ



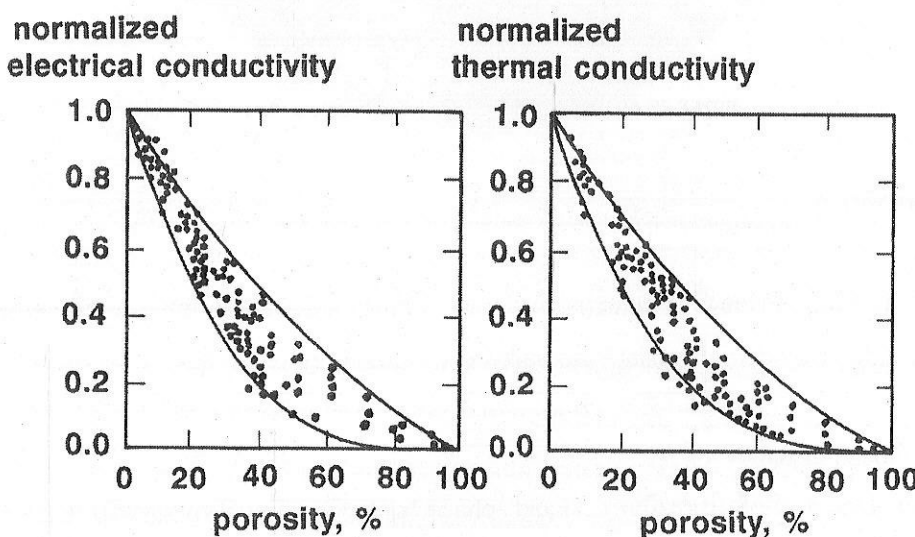
ภาพ 8.13 ภาพถ่ายรอยแตกในโครงสร้างอุลกาคของเหล็กกล้าที่เกิดจากการหดตัวไม่เท่ากันระหว่างสองบริเวณ

อัตราการเพิ่มขึ้นของอุณหภูมิ (Heating rate) มีผลทำให้เกิด Thermal Gradient และทำให้เกิดความเด่นสูงเมื่อเทียบกับความเด่นที่เกิดจากสาเหตุอื่น ดังนั้นในการเผาประสาน หากใช้ Heating rate สูงเกินไปจะทำให้มีโอกาสสูงที่ชิ้นงานจะแตกได้ง่าย ภาพ 8.14 แสดงภาพถ่ายชิ้นงานทดสอบแบบดึงเหล็กกล้าที่รีสนิมที่เกิดการแตกหักเนื่องจาก Heating rate ในการเผาประสานสูงเกินไป



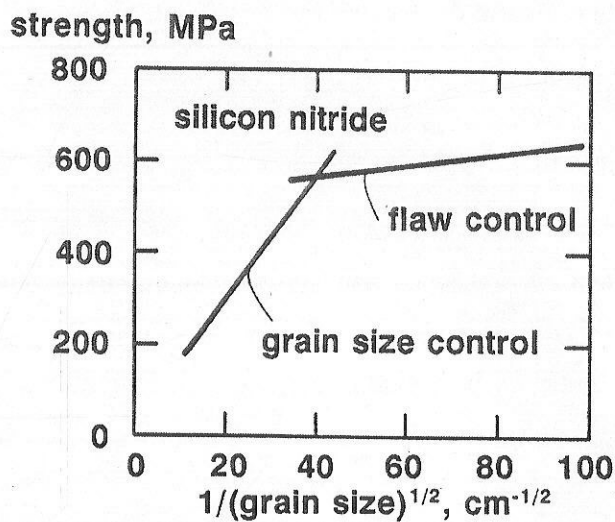
ภาพ 8.14 ภาพถ่ายชิ้นงานทดสอบแบบดึงเหล็กกล้าที่รีสนิมที่เกิดการแตกหักเนื่องจาก Heating rate ในการเผาประสานสูงเกินไป

ชิ้นงานที่มีความเสี่ยงต่อการเกิดรอยแตกได้แก่ ชิ้นงานที่มีการเปลี่ยนแปลงมิติอย่างฉับพลัน, ชิ้นงานที่มีสัดส่วน $\frac{H}{D}$ สูง, ชิ้นงานที่มีขนาดใหญ่ สำหรับชิ้นงานที่มีการเปลี่ยนแปลงมิติอย่างฉับพลัน บริเวณที่เป็นมุนต่างๆ จะเกิดรอยแตกได้ง่ายเนื่องจากเป็นจุดที่มี Stress Concentration สูง ส่วนชิ้นงานที่มีสัดส่วน $\frac{H}{D}$ สูงจะมี Density Gradient สูงและทำให้แต่ละบริเวณในชิ้นงานมีภาระตัวไม่เท่ากัน ชิ้นงานที่มีขนาดใหญ่จะทำให้มี Thermal Gradient สูงและมีผิวสัมผัสกับ Support มา ก็จะทำให้การไหลของความร้อนเป็นไปได้ยากขึ้นและทำให้ Thermal Gradient ภายนอกชิ้นงานสูงในช่วงเริ่มต้นเผาประสาน ภาพ 8.15 แสดงความสามารถในการนำไปฟื้นฟ้าและความร้อนที่ขึ้นอยู่กับ Porosity



ภาพ 8.15 ความสามารถในการนำไปฟื้นฟ้าและความร้อนที่ขึ้นอยู่กับ Porosity

ประเด็นที่ควรกล่าวถึงซึ่งเกี่ยวกับ Grain Growth และความหนาแน่น จากบทที่ 7 ได้กล่าวไว้ว่าเวลาการเผาประสานที่ยาวนานจะทำให้ชิ้นงานมีความหนาแน่นสูง แต่ในเวลาเดียวกันก็ทำให้เกิด Grain Growth และได้ชิ้นงานที่มีเกรณ์หยาบ แต่ถ้าใช้เวลาในการเผาประสานสั้นลงเมื่อจะได้ชิ้นงานที่มีเกรณ์ละเอียดแต่ความหนาแน่นก็จะต่ำและได้รูปกรุที่มีรูปร่างแหลมคม เปรียบเสมือนรอยร้าวในชิ้นงาน และทำให้ได้ความแข็งแรงต่ำเช่นกัน จากการทดลองพบว่าช่วงแรกของการเผาประสานความแข็งแรงของชิ้นงานจะขึ้นอยู่กับรอยร้าว (รูปร่างของรูปกรุ) หรือ Flaw control และในช่วงท้ายของการเผาประสานความแข็งแรงของชิ้นงานจะขึ้นอยู่กับขนาดเกรณ์ หรือ Grain size control ภาพ 8.16 แสดงความแข็งแรงของชิ้นงานที่ขึ้นอยู่กับขนาดเกรณ์



ภาพ 8.16 ความแข็งแรงของชิ้นงานที่ขึ้นอยู่กับขนาดกราน

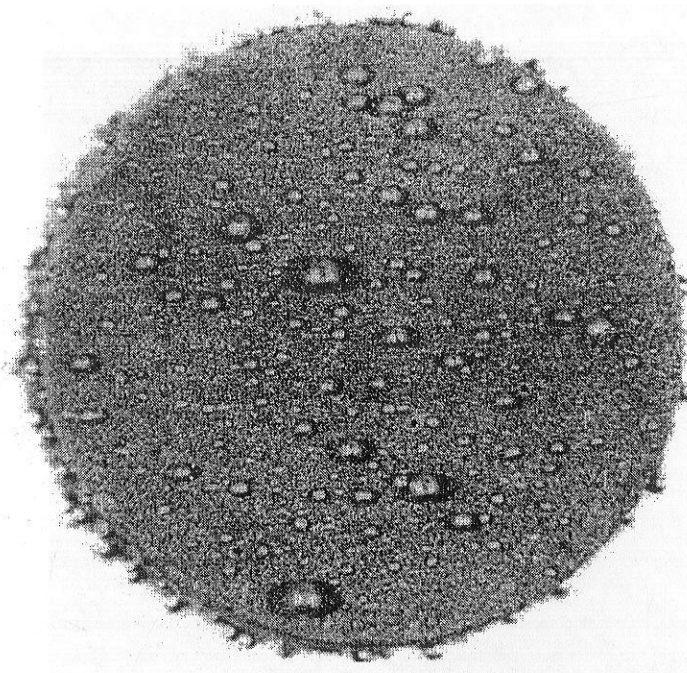
8.4 ข้อบกพร่องอื่น ๆ

นอกจากการเสียรูปร่างของชิ้นงานและการเกิดรอยแตกในชิ้นงานแล้ว ข้อบกพร่องอื่นที่อาจเกิดขึ้นในชิ้นงานได้แก่ Exuded Liquid, Preferential Evaporation และ Shadowing

8.4.1 Exuded Liquid

Exuded Liquid เกิดขึ้นในกรณีของ Liquid phase sintering เมื่อผงโลหะผสมกับ Binder และ Lubricant เพื่อเพิ่มความแข็งแรงและลดแรงเสียดทานระหว่างชิ้นงานกับแม่พิมพ์ Binder และ Lubricant จะถูกกำจัดในขั้นตอนเผาประสาน โดยครุภักดิ์กำจัดให้หมดก่อนใน Preheat Zone และจึงเริ่มให้อุณหภูมิสูงขึ้นเพื่อเผาประสาน แต่ถ้าหากไม่กำจัด Binder และ Lubricant ออกให้หมดก่อนและขณะเผาประสานมีเศษของเหลวเกิดขึ้น (Liquid Phase Sintering) Binder และ Lubricant ที่เหลืออยู่จะกลายเป็นไอและดันของเหลวออกมาน้ำหนักของชิ้นงาน ภาพ 8.17 แสดงภาพถ่ายของชิ้นงานโลหะมีค่าที่เมื่อเผาประสานแล้วเกิด Exuded Liquid

ข้อบกพร่องประเภทนี้แก้ไขโดยปรับ Sintering Cycles ให้มีการ Preheat จนแน่ใจว่า Binder และ Lubricant ถูกกำจัดหมดก่อนเผาประสาน

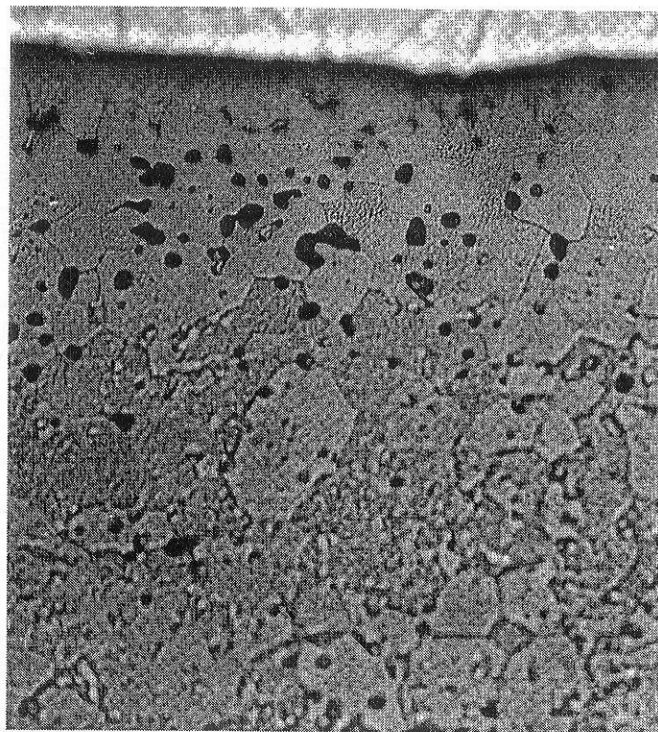


ภาพ 8.17 ภาพถ่ายของชั้นงานโลหะมีด้าที่เมื่อเผาประสานแล้วเกิด Exuded Liquid

8.4.2 Preferential Evaporation

สำหรับโลหะสมและสารประกอบ ขณะเผาประสานวัสดุอาจเกิด Preferential Evaporation ซึ่งก็คือเกิดการระเหยของวัสดุโดยจะระเหยเฉพาะส่วนประกอบใดส่วนประกอบหนึ่งเท่านั้น ยกตัวอย่างเช่น การระเหยของชิลิกอนในชั้นงานชิลิกอนคาร์บิด หรือ การระเหยของโครเมียมในชั้นงานเหล็กกล้าไร้สนิม ในกรณีแรกการระเหยของชิลิกอนทำให้ชั้นงานมีความหนาแน่นต่ำลง และในการนีหลังการระเหยของโครเมียมทำให้ความด้านทานการกัดกร่อนต่ำลง ภาพ 8.18 แสดงภาพถ่ายโครงสร้างจุลภาคของเหล็กกล้าไร้สนิมที่เกิดการระเหยของโครเมียมในการเผาประสานภายใต้สุญญากาศ ทำให้เกิดรูพรุนที่บริเวณใกล้กับผิวของชั้นงาน ซึ่งในกรณีนี้การเผาประสานภายใต้สุญญากาศไม่เหมาะสม ควรเปลี่ยนไปใช้ Residual Atmosphere แทน

จากตาราง 8.2 จะเห็นว่าอุณหภูมิที่ความดันไอน้ำเท่ากับ 10^3 Pa ของธาตุแต่ละธาตุไม่เท่ากัน ธาตุที่มีอุณหภูมนี้ต่ำจะลายเป็นไอน้ำได้ง่ายกว่า ดังนั้นธาตุที่ไม่มีปัญหา Preferential Evaporation ได้แก่ W, Mo, Ta, Nb, Ir, Zr เป็นต้น แต่ธาตุที่มักจะเกิด Preferential Evaporation ได้แก่ Zn, Ba, Pb, Sn, In, Ag, Ga และ Al อย่างไรก็ได้ปอยคัังที่ธาตุเหล่านี้เมื่อออยู่ในรูปของสารประกอบกลับมีอุณหภูมิตั้งต่ำลง เพราะฉะนั้นจึงไม่จำเป็นที่ธาตุเหล่านี้จะต้องเกิด Preferential Evaporation เสมอไป



ภาพ 8.18 ภาพถ่ายโครงสร้างจุลภาคของเหล็กกล้าไวรอนิมที่เกิดการระเหยของโคโรเมียมในการเผาประสานภายในตัว

ตาราง 8.2 คุณลักษณะของการระเหยของธาตุ

Element	Boiling Temperature, °C	Temperature at Vapor pressure = 10^3 Pa, °C
Ag	2122	730
Al	2467	1140
Au	2807	1050
B	3658	1630
Ba	1637	450
Co	2870	1180
Cr	2672	1070
Cu	2567	930
Fe	2750	1120
Ga	2403	730
Ge	2817	1030
In	2080	650
Ir	4130	1930
Mn	1962	720
Mo	4612	1930
Nb	4742	2130
Nd	3027	970

Ni	2732	1180
Pb	1740	460
Pd	3140	1100
Pt	3827	1600
Si	2355	1230
Sn	2270	800
Ta	5425	2380
Ti	3286	1310
U	3745	1560
V	3377	1230
W	5657	2550
Y	3338	1430
Zn	906	200
Zr	4650	1860

8.4.3 Shadowing

เมื่อขึ้นงานจำนวนมากถูกบรรจุใส่ใจเตาเผาประสาน ชิ้นงานที่อยู่ด้านนอกจะได้รับความร้อนมากกว่า ชิ้นงานด้านในเนื่องจากการแพร่งสี ทำให้ในแต่ละส่วนของเตาไม่มี Degree of Sintering ไม่เท่ากัน ทั้งนี้เป็นเพราะ ชิ้นงานในตอนเริ่มต้นจะมีความพูนมากและนำความร้อนได้慢 การทำให้ความคุณภาพได้ยาก เช่น ชิ้นงานจากแต่ละบริเวณมีความหนาแน่นไม่เท่ากัน ขนาด เกรนไม่เท่ากัน เป็นต้น วิธีการแก้อย่างหนึ่งคือการใช้การพาราความร้อนของก๊าซบริยากาศ คือไม่มีการไหลเรียน ของบริยากาศอย่างเหมาะสมทำให้แต่ละส่วนในเตาเผาประสานมีอุณหภูมิเท่ากัน การจัดเรียงชิ้นงานก็มีผลต่อ การเกิด Shadowing เช่นกัน

8.5 วัสดุและอุปกรณ์ในการเผาประสาน

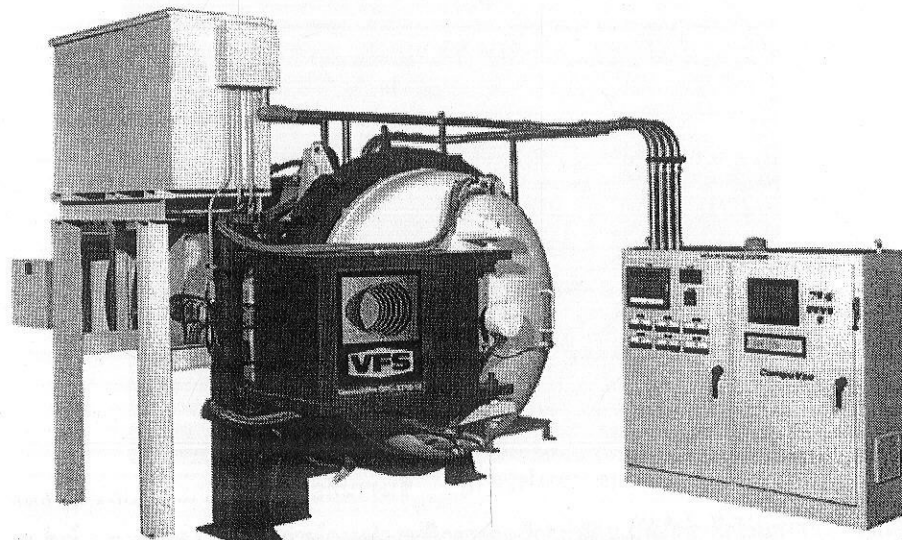
วัสดุและอุปกรณ์ในการเผาประสานมีส่วนต่อข้อจำกัดของกระบวนการโดยตรง เช่น อุณหภูมิเผาประสาน ฐานสุดที่เตาสามารถทำได้ขึ้นอยู่กับวัสดุทำสายพาน หรือ วัสดุ Support ควรจะมีความเสียดทานกับชิ้นงานน้อย และไม่ทำปฏิกิริยา กับชิ้นงาน เป็นต้น

ในหัวข้อนี้จะกล่าวถึงวัสดุและอุปกรณ์ในการเผาประสาน ซึ่งได้แก่ เตาเผาประสาน, Heating Element, วัสดุ Support และ Thermo Couple โดยจะกล่าวถึงในเบื้องต้นได้เปลี่ยน ข้อจำกัด ข้อมูลทางเทคนิค ของวัสดุ และอุปกรณ์แต่ละประเภท

8.5.1 เตาเผาประสาน

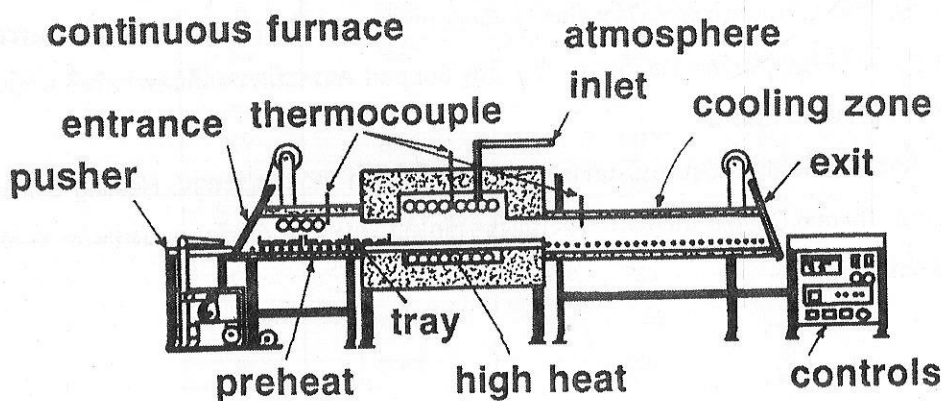
เตาเผาประสานมีหน้าที่ควบคุมอุณหภูมิและเวลาในการเผาประสาน รวมทั้งควบคุมบริยากาศในการเผาประสานด้วย เตาเผาประสานมีทั้งแบบที่เป็น Batch และ Continuous สำหรับเตาเผาประสานแบบ Batch มี ความยืดหยุ่นมากกว่าแต่เมื่อต้องการผลิตต่ำกว่า การเผาประสานร่วมกับการใช้แรงดันทำได้กับเฉพาะเตาเผา ประสานแบบ Batch เท่านั้น เช่นเดียวกันกับการเผาประสานภายใต้สูญญากาศ ภาพ 8.19 แสดงภาพวิวดาเผา

ประสานแบบ Batch ด้วยอัตราการผลิตที่ต่ำกว่าทำให้เตาประภานี้เหมาะสมสำหรับผลิตชิ้นส่วนที่มีมูลค่าสูง ต้องการคุณภาพสูงแต่มีปริมาณการผลิตต่ำ การบรรจุชิ้นงานเข้าสู่เตาขึ้นอยู่กับการออกแบบมีทั้งบรรจุจากทางด้านบน, ด้านหน้าหรือด้านล่าง สำหรับกรณีการบรรจุชิ้นงานจากทางด้านล่างนิยมใช้กับเตาขนาดใหญ่กว่า โดยมีระบบลิฟต์ยกชิ้นงานเข้าสู่เตา



ภาพ 8.19 ภาพรวมเผาประสานแบบ Batch

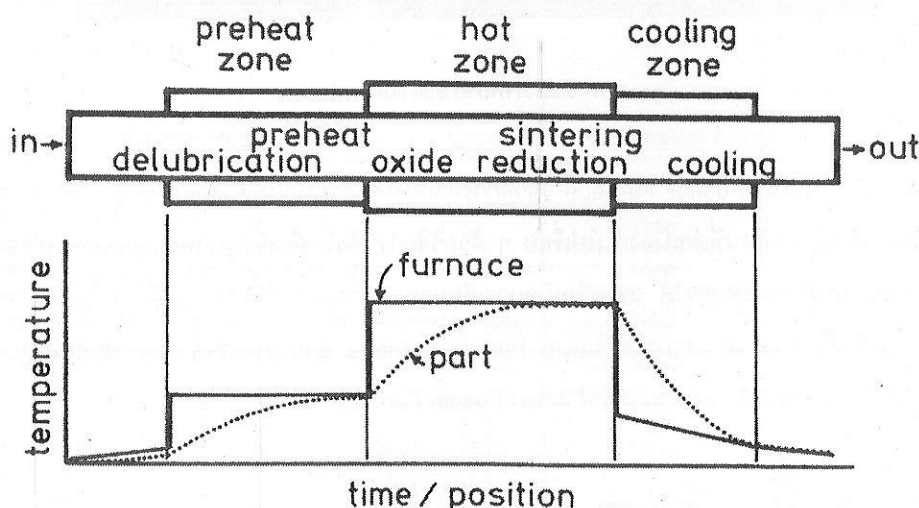
เตาเผาประสานแบบ Continuous มีข้อได้เปรียบคือมีอัตราการผลิตสูงกว่าเตาเผาประสานแบบ Batch แต่ว่าเตาเผาประสานแบบ Continuous ไม่สามารถใช่วร่วมกับแรงดันหรือเผาประสานภายใต้สุญญากาศได้ ภายในเตาเผาประสานแบบ Continuous จะแบ่งออกเป็นหลายช่วง ได้แก่ Preheat Zone, High Heat Zone และ Cooling Zone แผนภาพแสดงการทำงานของเตาเผาประสาน Continuous Furnace แสดงไว้ในภาพ 8.20



ภาพ 8.20 แผนภาพแสดงการทำงานของเตาเผาประสาน Continuous

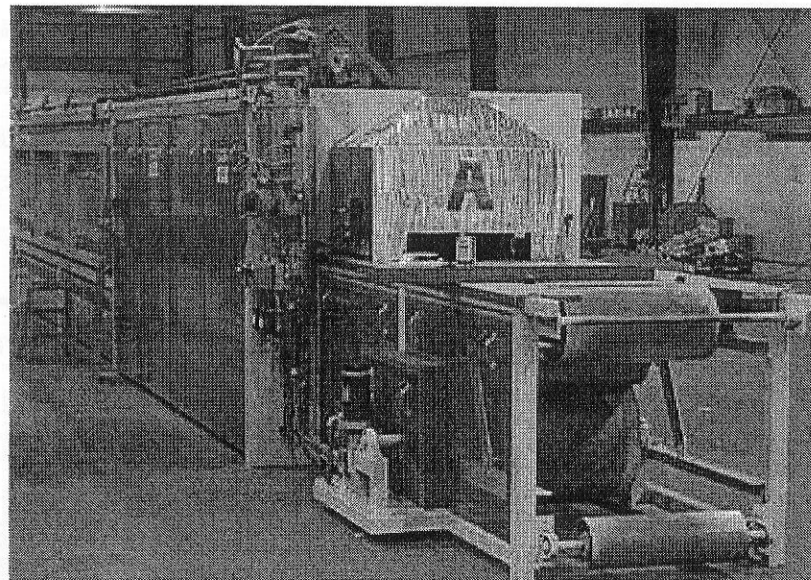
สำหรับ Preheat Zone จะมีอุณหภูมิไม่สูงมากนัก วัตถุประสงค์หลักของ Preheat Zone คือเพื่อกำจัด Binder, Contaminant และ Lubricant ออกจากชิ้นงาน วัตถุประสงค์ของคือเพื่อลด Heating Rate และโอกาสเกิดการแตกหักเนื่องจาก Thermal Stress ในบางครั้งอาจมีการใช้บรรยายกาศ Reduction เพื่อลดอุกอาจได้ที่ผิวของผงโลหะ

อุณหภูมิ, เวลาและบรรยายกาศที่ใช้ในการเผาประสานจริงคือในช่วงที่ชิ้นงานอยู่ใน High Heat Zone ซึ่งนี้จะให้มีการไหลเวียนของบรรยายกาศ เพื่อให้เกิดการพากวนร้อนให้ทั่วถึง และได้อุณหภูมิสม่ำเสมอทุกส่วนภายในเตาส่วนสุดท้ายในเตาเผาประสานคือ Cooling Zone ในช่วงนี้ชิ้นงานได้สัมผัสกับก้าช์ที่ไหลเวียนด้วยความเร็วสูง วัตถุประสงค์ในช่วงนี้คือเพื่อป้องกันการเกิดปฏิกิริยาเคมีกับอากาศในช่วงที่ชิ้นงานยังมีอุณหภูมิสูงอยู่ ภาพ 8.21 แสดงอุณหภูมิและตำแหน่งใน Continuous Furnace



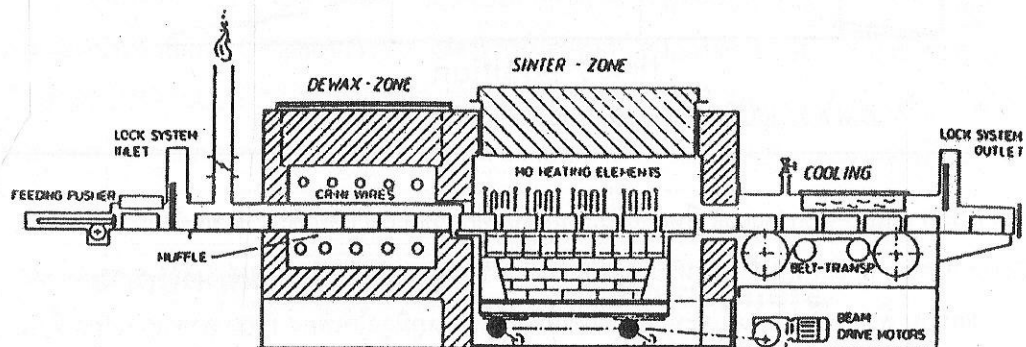
ภาพ 8.21 แผนภาพแสดงอุณหภูมิและตำแหน่งใน Continuous Furnace

เตาเผาประสานแบบ Continuous มีหลายประเภท ขึ้นอยู่กับวิธีการลำเลียงชิ้นงาน ยกตัวอย่างเช่น Belt, Pusher, Roller, Lifting beam เป็นต้น สำหรับ Belt Furnace ชิ้นงานจะถูกลำเลียงผ่านส่วนต่าง ๆ ของเตาเผาประสานด้วยสายพาน สายพานส่วนใหญ่จะทำด้วยலวดถักซึ่งทนอุณหภูมิสูงได้เพียง 1200 องศาเซลเซียส จึงไม่สามารถเผาประสานที่อุณหภูมิสูงกว่านี้ได้ ด้วยเหตุนี้จึงทำให้วัสดุทำสายพานเป็นข้อจำกัดของ Belt Furnace สำหรับ Belt Furnace ที่มีราคาแพงอาจใช้สายพานที่ทำจาก Ceramic หรือ Refractory metal ซึ่งสามารถทนอุณหภูมิสูงได้ถึง 2000 องศาเซลเซียส แต่อาจเสียหายได้ง่ายเนื่องจากมี Fracture Toughness ต่ำ วัสดุทำสายพานที่ดีควรมี Creep Resistance สูง ภาพ 8.22 แสดงภาพถ่าย Belt Furnace



ภาพ 8.22 ภาชนะ Belt Furnace

เตาเผาประสานแบบ Pusher Furnace ใช้วิธีการลำเลียงชิ้นงานที่แตกต่างออกไป โดยใช้การ Support ดันให้ Support ด้านในเคลื่อนที่ต่อเนื่องกันไปเรื่อยๆ ด้วยวิธีการนี้จึงไม่ต้องขึ้นรูปวัสดุ Support เป็นสายพาน ทำให้เลือกใช้วัสดุที่ทนความร้อนสูงได้ และเมื่อเกิดการเสียหาย ก็สามารถเปลี่ยน Support ใหม่ได้โดยไม่ต้องหยุดการทำงานเตาเพื่อซ่อม เตาเผาประสานแบบ Pusher Furnace สามารถสามารถอุณหภูมิได้สูงถึง 2200 องศาเซลเซียส ภาพ 8.23 แสดงการทำงานของ Pusher Furnace



ภาพ 8.23 การทำงานของ Pusher Furnace

การเลือกใช้ประเภทและขนาดของเตาเผาประสานที่เหมาะสม ขึ้นอยู่กับอัตราการผลิตที่ต้องการ, วัสดุที่ต้องการเผาประสาน, มูลค่าของชิ้นงาน, ขนาดของชิ้นงาน, บรรยายกาศเผาประสานที่ต้องการ เตาเผาประสานในโรงงานอุตสาหกรรมทั่วไปมีอัตราการผลิตประมาณ 100 กิโลกรัมต่อชั่วโมง เตาเผาประสานแบบ Tunnel Furnace ขนาดใหญ่อาจให้อัตราการผลิตได้ถึง 2000 กิโลกรัมต่อชั่วโมง

8.5.2 Heating Element

เตาเผาประสานผงโลหะเกือบทั้งหมดเป็นเตาไฟฟ้า ในการเผาประสานเซรามิกมีการใช้ทั้งเตา น้ำมันและเตาไฟฟ้า ดังนี้ในที่นี้จะกล่าวถึงเฉพาะเตาไฟฟ้าเท่านั้น

แหล่งกำเนิดความร้อนเกิดจากกระแสไฟฟ้าไอล์ฟงาน Heating Element ทำให้ Heating Element เกิด การเปล่งแสงแพร่รังสีความร้อน วัสดุที่ใช้ทำ Heating Element ได้แก่ Nichrome (Ni – 20Cr), W, Mo เป็นต้น วัสดุเหล่านี้จะต้องมีจุดหลอมตัวสูงมากและจะต้องไม่เกิดปฏิกิริยา กับบรรยากาศเผาประสาน ตาราง 8.3 แสดง อุณหภูมิใช้งานและบรรยากาศเผาประสานที่สามารถใช้งานได้ของวัสดุที่ใช้ทำ Heating Element

ตาราง 8.3 แสดงอุณหภูมิใช้งานและบรรยากาศเผาประสานที่สามารถใช้งานได้ของวัสดุที่ใช้ทำ Heating Element

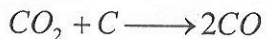
Heating Element	Maximum Serviced Temperature, °C	Recommended Atmosphere
Nichrome (Ni-20Cr)	1100	O, R, I, V
Fecralco (Fe-23Cr-5Al-1Co)	1150	O, R, D
	1300	I, V
Molybdenum Disilicide (MoSi ₂)	1100	R, V
	1600	I
	1700	O
Molybdenum Disilicide Composite (MoSi ₂ -SiC)	1900	O, I
Molybdenum Disilicide – Tungsten Disilicide (MoSi ₂ -WSi ₂)	1800	O
Silicon Carbide (SiC)	1250	R, I
	1600	O
Platinum (Pt)	1700	O, I, V
Molybdenum (Mo)	1700	R, I, V
Tantalum (Ta)	2400	I, V
Tungsten (W)	2000	I
	2800	R, V
Graphite (C)	1700	R, D
	2500	V, C
Zirconia (ZrO ₂)	2200	O, I, V

O = Oxidizing; R = Reducing; I = Inert; V = Vacuum; C = Carburizing; D = Decarburizing

ในแรงของความสามารถในการนำไฟฟ้า Mo และ W มีความสามารถในการนำไฟฟ้าสูง ในทางตรงกันข้าม SiC, Graphite Fecralco และ Nichrome มีความสามารถในการนำไฟฟ้าค่อนข้างต่ำ สำหรับความแข็งแรง SiC, MoSi₂ และ Graphite มีความแข็งแรงค่อนข้างต่ำ ในขณะที่ Heating Element จำพวกโลหะมีความแข็งแรงสูง กว่า แต่มีปัญหารือ Oxidation ในแรงของราคา Nichrome และ Fecralco มีต้นทุนต่ำที่สุดและอุณหภูมิใช้งาน ต่ำที่สุดด้วยเช่นกัน

สำหรับ Graphite สามารถใช้ได้ที่อุณหภูมิค่อนข้างสูงเมื่อเทียบกับ Heating Element อื่น โดยเฉพาะ ภายในได้สูญญากาศ แต่ Graphite ไม่สามารถใช้ภายในได้บรรยายกาศได้จริงเนื่องจากจะทำปฏิกิริยาให้

Methane ซึ่งจากข้อมูลทางอุณหพลศาสตร์ปฏิกิริยาเกิด Methane จะเกิดขึ้นที่อุณหภูมิค่อนข้างต่ำ ดังนั้น Methane จึงมักจะเกิดขึ้นในส่วนที่เย็นที่สุดในเตา และ Graphite ไม่สามารถใช้กায์ได้บรรยายกาศ Oxidizing ได้เนื่องจากเกิดปฏิกิริยา กับออกซิเจน



สำหรับ Molybdenum Disilicide สามารถใช้ในบรรยายกาศอากาศได้ เนื่องจากมีฟิล์มออกไซด์ของ SiO_2 ปกป้องการ Oxidation แต่ในบรรยายกาศ Reducing หรือสูญญากาศ ฟิล์มออกไซด์จะถูกกำจัดและ Molybdenum Silicide จะไม่สามารถใช้ได้ โดยเฉพาะที่อุณหภูมิสูงกว่า 1200 องศาเซลเซียส นอกจากนี้ Molybdenum Silicide ยังทำปฏิกิริยากับคาร์บอนทำให้ไม่สามารถใช้ในบรรยายกาศ Carburizing และ Support Graphite ได้

Refractory metal สามารถใช้ได้ที่อุณหภูมิค่อนข้างสูง ประมาณ 1700 – 2800 องศาเซลเซียส และมี Fracture Toughness สูงกว่า Heating Element ประเภทอื่น แต่มีข้อจำกัดคือเกิดปฏิกิริยาได้ง่ายกว่า Heating Element จำพวกเซรามิก ทำให้ไม่สามารถใช้งานในบรรยายกาศ Oxidizing และ Carburizing ได้ การพัฒนาการของ Heating Element ที่ทำจาก Refractory metal เกิดขึ้นควบคู่กับการวิจัย Creep โดยมุ่งที่จะเพิ่มอุณหภูมิการใช้งานขึ้น กลไกการเพิ่ม Creep Resistance ได้แก่ การใช้ Oxide dispersion strengthening ยกตัวอย่าง เช่น TZM alloy ($0.5Ti - 0.08Zr - 0.03C - Mo$)

SIC สามารถใช้ได้ในช่วงอุณหภูมิเผาประสานปานกลาง ที่อุณหภูมิสูงกว่า 1500 องศาเซลเซียสจะเกิดการปนเปื้อนของออกซิเจน จึงไม่สามารถใช้งานเกิดอุณหภูมิดังกล่าวได้

วัสดุ Heating Element ที่ได้รับการพัฒนาในช่วงหลังได้แก่ $LaCr_2O_4$ และ ZrO_2 ซึ่งสามารถใช้งานในอากาศได้สูงถึง 2200 องศาเซลเซียส แต่ไม่สามารถใช้งานในบรรยายกาศ Reducing ได้ สำหรับ ZrO_2 มีความต้านทานการนำไฟฟ้าที่สูงมากที่อุณหภูมิปกติ จึงต้องทำการ Preheat ให้ถึงอุณหภูมิ 1200 องศาเซลเซียส เพื่อให้ความสามารถในการนำไฟฟ้าสูงขึ้น จึงให้กระแสไฟฟ้า

8.5.3 Support

ในการเผาประสานส่วนใหญ่ชึ้นงานจะถูกวางบน Support ซึ่งถูกวางเรียงเป็นชั้นบรรจุลงในเตาเผาประสานแบบ Batch หรือถูกลำเลียงผ่านส่วนต่าง ๆ ของเตาเผาประสานแบบ Continuous ตัว Support อาจมีพื้นผิวไม่เรียบสมนิทเพื่อป้องกันการเชื่อมติดกับชิ้นงานขณะเผาประสานได้ง่าย รวมทั้งป้องกันไม่ให้ชิ้นงานสัมผัสและเชื่อมติดกันเอง วัสดุ Support อาจทำจากเหล็กกล้า, Molybdenum, Silica, Graphite, Alumina หรือวัสดุที่ทนความร้อนอ่อน ๆ เช่นในการเลือกใช้วัสดุ Support คือ Support จะต้องคงรูปร่างไว้ได้ที่อุณหภูมิเผาประสาน และไม่ทำให้เกิดการปนเปื้อนในชิ้นงาน ข้อมูลทางเทคนิคของวัสดุ Support แสดงไว้ในตาราง 8.4

ตาราง 8.4 ข้อมูลทางเทคนิคของวัสดุ Support

Materials	Maximum Serviced Temperature, °C	Atmosphere	Example Sintered Material
Alumina (Al_2O_3)	1500	R, C	Most metal, Oxides, Glass,
	1800	O, I, V	Intermetallics, No carbides
Beryllia (BeO)	1600	R, V, C, D	Be, Cr, Fe, Ni, Oxides,
	2100	O, I	Intermetallics, No carbides
Boron Carbide (B_4C)	2000	R, I, V	Borides, Carbides
Boron Nitride (BN)	1800	R, I, V	Ta, AlN, Nitrides
Calcia (CaO)	2400	O, I	Fe, Pt
Fecraly (Fe-Cr-Al-Y)	1300	O, R, I	Steels, Intermetallics
Graphite (C)	2000	V	Au, Ag, Cu, Zn, WC, Cr_2O_3 ,
	2500	I, V, C	SiC, TaC, Carbides
Ni alloys (Ni – Cr)	1300	R, I, V, C, D	Ni, Fe, Stainless
Iron (Fe)	1200	R, I, V, D	Fe, Cu
Magnesia (MgO)	1600	V	Ag, Au, Co, Cu, Fe, Ni, MgO,
	2000	O, I	No carbides
Molydenum (Mo)	2100	R, I, V	Steel; Rare Earth, SiC
Mullite ($\text{Al}_2\text{O}_3\text{-SiO}_2$)	1100	O	Steel
Silica (SiO_2)	1000	I, D	Ag, Al, Au, Cu, Zn, Ni
	1200	O, V	
Silicon Nitride (Si_3N_4)	1600	I, V	Many metals
Silicon Carbide (SiC)	1400	O, R, C	
	2300	I	CeO_2
Tantalum (Ta)	2000	I, V	Ta, TaB_2 , No oxides
Tungsten (W)	2800	R, I, V	Mo, W, MoSi_2 , TiSi_2
Zirconia (ZrO_2)	2500	O, I	Au, Co, Cr, Fe, Ni, Ti

O = Oxidizing; R = Reducing; I = Inert; V = Vacuum; C = Carburizing; D = Decarburizing

8.5.4 Thermo Couple

การวัดอุณหภูมิภายในเตาเป็นสิ่งสำคัญในกระบวนการเผาประสาน เอฟเฟคต์ที่ใช้วัดอุณหภูมิภายใน เตาเผาประสานได้แก่ Pyrometer และ Thermo Couple โดย Thermo Couple เป็นอุปกรณ์ที่มีการใช้อย่าง แพร่หลายกว่า สำหรับ Pyrometer ใช้หลักการวัดความเข้มของแสงที่เปล่งออกมากจากวัสดุภายในเตา แล้วนำค่า ความเข้มแสงมาแบร์ผลเป็นอุณหภูมิ ด้วยวิธีการนี้มักจะให้อุณหภูมิคลาดเคลื่อนไป จึงทำให้ Thermo Couple เป็นอุปกรณ์ที่นิยมกว่า ในการเลือกใช้ Thermo Couple ขึ้นอยู่กับช่วงอุณหภูมิที่ต้องการวัดและระยะเวลาใน การเผาประสาน ตาราง 8.5 แสดงข้อมูลทางเทคนิคสำหรับการเลือกใช้ Thermo Couple

ตาราง 8.5 ข้อมูลทางเทคนิคสำหรับการเลือกใช้ Thermo Couple

Types	Composition	Maximum Serviced Temperature, °C	Atmosphere
B	Pt-30Rh/Pt-6Rh	1700	V, I, O
C	W/W-Re	2000	nO
E	Ni-9Cr/Cu-44Ni	900	O
J	Fe/Cu-44Ni	800	O, R
K	Ni-9Cr/Ni-Mn-Si-Al	1200	O
R	Pt/Pt-13Rh	1500	O, I
S	Pt/Pt-10Rh	1500	O, I
T	Cu/Cu-44Ni	400	O, R

O = Oxidizing; nO = non-Oxidizing; R = Reducing; I = Inert; V = Vacuum;
C = Carburizing; D = Decarburizing.

8.6 Sintering Atmosphere

บรรยายการในการเผาประสานมีอิทธิพลต่อการเรื่องประสานกันของผงโลหะและส่วนผสมทางเคมีของชิ้นงาน หน้าที่ของบรรยายการในการเผาประสานได้แก่

- 1) ป้องกันการเกิดปฏิกิริยา Oxidation
- 2) ทำให้เกิดปฏิกิริยา Reduction
- 3) ควบคุม Heating rate และ Cooling rate

ผงโลหะส่วนใหญ่เมื่อสัมผัสกับอากาศที่อุณหภูมิสูงแล้วจะทำให้เกิด Oxide ซึ่งที่ผ่านของผงโลหะเนื่องจากในอากาศมีออกซิเจนอยู่ แลจะทำปฏิกิริยา Oxidation กับโลหะให้สารประกอบประเภท Oxide สำหรับ Oxide ที่เกิดขึ้นจะมีผลทำให้อัตราการถ่ายเทมวลสารต่ำลงและทำให้การเผาประสานเกิดได้ยากขึ้น หรือไม่เกิดขึ้นเลยเนื่องจากผงโลหะมีพื้นที่ผิวมาก Oxidation สามารถเกิดขึ้นได้ทั่วทั้งชิ้นงาน ดังนั้นหน้าที่หนึ่งของบรรยายการในการเผาประสานคือป้องกันการเกิด Oxidation โดยอาจเป็นก้าวเดียว หรือ หลาย步

สำหรับโลหะบางชนิด เช่น อะลูมิเนียมและเหล็กกล้าไร้สนิม มีฟิล์ม Oxide ที่ผิวโดยธรรมชาติอยู่แล้ว จึงทำให้เผาประสานได้ยาก จะต้องทำภายใต้บรรยายการที่ทำให้เกิดปฏิกิริยา Reduction เพื่อที่จะลด Oxide ที่ผิวของผงโลหะและทำให้เผาประสานได้ง่ายขึ้น ตัวอย่างบรรยายการที่ทำให้เกิดปฏิกิริยา Reduction ได้แก่ Exothermic Atmosphere, Endothermic Atmosphere, Nitrogen-Hydrogen, Hydrogen, Dissociated Ammonia เป็นต้น

นอกจากนี้บรรยายการในการเผาประสานยังมีบทบาทในการควบคุมการถ่ายเทความร้อนภายในเตาด้วยโดยเฉพาะในช่วงอุณหภูมิต่ำ เนื่องจากที่อุณหภูมิต่ำรูปแบบการถ่ายเทความร้อนที่สำคัญได้แก่ Convection และ Conduction ซึ่งบรรยายการที่มีสัมประสิทธิ์การพาความร้อนและมีสัมประสิทธิ์การถ่ายเทความร้อนสูงจะทำให้อุณหภูมิภายนอกเตาสูงกว่า ในขณะที่อุณหภูมิสูงรูปแบบการถ่ายเทความร้อนจะเปลี่ยนไปเป็นแบบ Radiation ซึ่งไม่ขึ้นอยู่กับความสามารถในการถ่ายเทความร้อนของบรรยายการในการเผาประสาน ดังนั้นจะเห็น

ได้เวลาที่อุณหภูมิเพาเวอร์สานประภากของบรรยายการศึกษาไม่มีผลต่อการกระจายตัวภายในเตาเพาเวอร์สาน
ประภากของบรรยายการศึกษาไม่มีผลต่อการถ่ายเทความร้อนในช่วง Heating และ Cooling ของชิ้นงาน แต่

Inexpensive	Sintering Atmosphere
	In-situ Exothermic Atmosphere
	In-situ Endothermic Atmosphere
	Nitrogen
	Generated Exothermic Atmosphere
	Generated Endothermic Atmosphere
	Dissociated Methanol Atmosphere
	Dissociated Ammonia
	Hydrogen
	Argon
	Helium
↓ Expensive	